

International Nonproprietary Names for Pharmaceutical Substances (INN)

RECOMMENDED International Nonproprietary Names: List 93

Notice is hereby given that, in accordance with paragraph 7 of the Procedure for the Selection of Recommended International Nonproprietary Names for Pharmaceutical Substances [*Off. Rec. Wld Health Org.*, 1955, **60**, 3 (Resolution EB15.R7); 1969, **173**, 10 (Resolution EB43.R9); Resolution EB115.R4 (EB115/2005/REC/1)], the following names are selected as Recommended International Nonproprietary Names. The inclusion of a name in the lists of Recommended International Nonproprietary Names does not imply any recommendation of the use of the substance in medicine or pharmacy.

Lists of Proposed (1–117) and Recommended (1–78) International Nonproprietary Names can be found in *Cumulative List No. 17, 2017* (available in CD-ROM only).

Dénominations communes internationales des Substances pharmaceutiques (DCI)

Dénominations communes internationales RECOMMANDÉES: Liste 93

Il est notifié que, conformément aux dispositions du paragraphe 7 de la Procédure à suivre en vue du choix de Dénominations communes internationales recommandées pour les Substances pharmaceutiques [Actes off. Org. mond. Santé, 1955, **60**, 3 (résolution EB15.R7); 1969, **173**, 10 (résolution EB43.R9); résolution EB115.R4 (EB115/2005/REC/1)] les dénominations ci-dessous sont choisies par l'Organisation mondiale de la Santé en tant que dénominations communes internationales recommandées. L'inclusion d'une dénomination dans les listes de DCI recommandées n'implique aucune recommandation en vue de l'utilisation de la substance correspondante en médecine ou en pharmacie.

On trouvera d'autres listes de Dénominations communes internationales proposées (1–117) et recommandées (1–78) dans la *Liste récapitulative No. 17, 2017* (disponible sur CD-ROM seulement).

Denominaciones Comunes Internacionales para las Sustancias Farmacéuticas (DCI)

Denominaciones Comunes Internacionales RECOMENDADAS: Lista 93

De conformidad con lo que dispone el párrafo 7 del Procedimiento de Selección de Denominaciones Comunes Internacionales Recomendadas para las Sustancias Farmacéuticas [Act. Of. Mund. Salud, 1955, **60**, 3 (Resolución EB15.R7); 1969, **173**, 10 (Resolución EB43.R9); Résolution EB115.R4 (EB115/2005/REC/1) EB115.R4 (EB115/2005/REC/1)], se comunica por el presente anuncio que las denominaciones que a continuación se expresan han sido seleccionadas como Denominaciones Comunes Internacionales Recomendadas. La inclusión de una denominación en las listas de las Denominaciones Comunes Recomendadas no supone recomendación alguna en favor del empleo de la sustancia respectiva en medicina o en farmacia.

Las listas de Denominaciones Comunes Internacionales Propuestas (1–117) y Recomendadas (1–78) se encuentran reunidas en *Cumulative List No. 17, 2017* (disponible sólo en CD-ROM).

Latin, English, French, Spanish: Recommended INN	<i>Chemical name or description; Molecular formula; Graphic formula</i>
DCI Recommandée	<i>Nom chimique ou description; Formule brute; Formule développée</i>
DCI Recomendada	<i>Nombre químico o descripción; Fórmula molecular; Fórmula desarrollada</i>

abipapogenum suvaplasmidum #

abipapogene suvaplasmid

DNA plasmid encoding a mutation-inactivated human papillomavirus type 16 E6 / E7 fusion protein linked to the human cytokine CCL3L1 (chemokine (C-C motif) ligand 3-like 1) via a dimerization module consisting of upper and lower hinge regions and constant heavy chain domain from human immunoglobulin G3 (IgG3). Expression of the transgene is under control of a cytomegalovirus (CMV) promoter/enhancer and terminated by a rabbit β-globin polyadenylation signal. The plasmid also contains a kanamycin resistance gene, an immunostimulatory (CpG-rich) sequence and a pUC origin of replication

abipapogène suvaplasmide

plasmide d'ADN codant une protéine de fusion E6 / E7 du papillomavirus humain de type 16, inactivée par mutation et liée à la cytokine humaine CCL3L1 (chimiokine(motif C-C) ligand 3-like 1) par l'intermédiaire d'un module de dimérisation constitué des régions charnières supérieure et inférieure, et d'un domaine de chaîne lourde invariante de l'immunoglobuline G3 (IgG3) humaine. L'expression du transgène est contrôlée par un promoteur/amplificateur du cytomégalovirus (CMV), et se termine par un signal de polyadénylation de la β-globine de lapin. Le plasmide contient également un gène de résistance à la kanamycine, une séquence immunostimulante (riche en CpG) et une origine de réPLICATION pUC

abipapogén suvaplásrido

plásmido de ADN que codifica para una proteína de fusión E6/E7 del virus del papiloma humano tipo 16 inactivada por mutación y ligada a la citoquina humana CCL3L1 (ligando de quimoquina (motivo C-C) 1 similar a 3) a través de un módulo de dimerización que consiste en regiones bisagra superiores e inferiores y un dominio de la cadena pesada constante de la inmunoglobulina humana G3 (IgG3). La expresión del transgén está bajo el control de un promotor/potenciador del citomegalovirus (CMV) y terminada por una secuencia señal de poliadenilación de la β-globina de conejo. El plásmido también contiene un gen de resistencia a kanamicina, una secuencia inmunoestimuladora (rica en CpG) y un origen de replicación pUC

actinium (²²⁵Ac) alpitatugum satetrahexetanum #

actinium (²²⁵Ac) alpitatug satetrahexetan immunoglobulin G1-kappa, anti-[*Homo sapiens* KLK2 (kallikrein-2, kallikrein peptidase 2, kallikrein 2 prostatic)], humanized monoclonal antibody, conjugated to *satetrahexetan* (DOTA derivative) and radiolabelled with actinium-225; H-gamma1 heavy chain humanized (1-447) [VH (*Homo sapiens*IGHV4-28*01 (90.7%) -(IGHD) - IGHJ1*01 (100%), CDR-IMGT [9.7.10] (26-34.52- 58.97-106)) (1-117) -*Homo sapiens*IGHG1*03v (100%) G1m3>G1m17, nG1m1 CH1 K120, CH3 E12, M14 (CH1 R120>K (214) (118-215), hinge 1-15 (216-230), CH2 (231-340), CH3 E12 (356), M14 (358) (341-445), CHS (446-447)) (118-447)], (220-218')-disulfide with L-kappa light chain humanized (1'-218') [V- KAPPA (*Homo sapiens*IGKV4-1*01 (81.2%) - IGKJ2*01 (100%), CDR-IMGT [10.3.9] (27'-36'-54'- 56'.93'-101')) (1'-111') -*Homo sapiens*IGKC*01 (100%) Km3 A45.1, V101 (C-KAPPA A45.1 (157'), V101 (195')) (112'-218')]; dimer (226-226":229-229")- bisdisulfide, produced in Chinese hamster ovary (CHO) cells, glycoform alfa; conjugated via the side chain nitrogen of an average of 3 lysine residues to (²²⁵Ac)actinium radiolabeled *rac*-(4-[(2R)-1,4,7,10-tetrakis(carboxymethyl)-1,4,7,10-tetraazacyclododecan-2-yl]methyl)phenyl)carbamothioyl (*satetrahexetan*)

actinium (²²⁵Ac) alpitatug satétraxétan

immunoglobuline G1-kappa, anti-[*Homo sapiens* KLK2 (kallikréine-2, kallikréine peptidase 2, kallikréine prostatique)], anticorps monoclonal humanisé; conjugué au *satétraxétan* (dérivé DOTA) et radiomarqué à l'actinium-225; chaîne lourde H-gamma1 humanisée (1-447) [VH (*Homo sapiens*IGHV4-28*01 (90.7%) -(IGHD) - IGHJ1*01 (100%), CDR-IMGT [9.7.10] (26-34.52- 58.97-106)) (1-117) -*Homo sapiens*IGHG1*03v (100%) G1m3>G1m17, nG1m1 CH1 K120, CH3 E12, M14 (CH1 R120>K (214) (118-215), charnière 1-15 (216-230), CH2 (231-340), CH3 E12 (356), M14 (358) (341-445), CHS (446-447)) (118-447)], (220-218')- disulfure avec la chaîne légère L-kappa humanisée (1'-218') [V-KAPPA (*Homo sapiens*IGKV4-1*01 (81.2%) - IGKJ2*01 (100%), CDR-IMGT [10.3.9] (27'-36'-54'- 56'.93'-101')) (1'-111') -*Homo sapiens*IGKC*01 (100%) Km3 A45.1, V101 (C-KAPPA A45.1 (157'), V101 (195')) (112'-218')]; dimère (226-226":229-229")- bisdisulfure, produit dans des cellules ovariennes de hamster chinois (CHO), glycoforme alfa; conjugué par l'azote de la chaîne latérale de 3 résidus lysine en moyenne au *rac*-(4-[(2R)-1,4,7,10-tétrakis(carboxyméthyl)-1,4,7,10-tétraazacyclododécan-2-yl]méthyl)phényle (satétraxétan) et radiomarqué au (²²⁵Ac)actinium

actino (²²⁵Ac) alpitatug satetrahexetán

imunoglobulina G1-kappa, anti-[*Homo sapiens* KLK2 (kalikreína-2, kalikreína peptidasa 2, kalikreína prostática)], anticuerpo monoclonal humanizado;

conjugado con *satetraxitán* (derivado DOTA) y radiomarcado con el actinio-225; cadena pesada H-gamma1 humanizada (1-447) [VH (*Homo sapiens*) IGHV4-28*01 (90.7%) -(IGHD)-IGHJ1*01 (100%), CDR-IMGT [9.7.10] (26-34.52-58.97-106)] (1-117) -*Homo sapiens* IGHG1*03v (100%) G1m3>G1m17, nG1m1 CH1 K120, CH3 E12, M14 (CH1 R120>K (214) (118-215), bisagra 1-15 (216-230), CH2 (231-340), CH3 E12 (356), M14 (358) (341-445), CHS (446-447)) (118-447)], (220-218')-disulfuro con la cadena ligera L-kappa humanizada (1'-218') [V-KAPPA (*Homo sapiens*) IGKV4-1*01 (81.2%) -IGKJ2*01 (100%), CDR-IMGT [10.3.9] (27'-36'.54'-56'.93'-101')) (1'-111') -*Homo sapiens* IGKC*01 (100%) Km3 A45.1, V101 (C-KAPPA A45.1 (157'), V101 (195')) (112-218')]; dímero (226-226":229-229")-bisdisulfuro, producido en las células ováricas de hámster chino (CHO), forma glicosilada alfa; conjugado por el nitrógeno de la cadena lateral de 3 residuos de lisina en promedio al *rac*-(4-[(2R)-1,4,7,10-tetrakis(carboximetil)-1,4,7,10-tetraazaciclododecan-2-il]metil]fenil)carbamotioilo (*satetraxitán*) y radiomarcado con el (²²⁵Ac)actinio

Heavy chain / Chaîne lourde / Cadena pesada

```

QVQLQESPGP LVKPSDTLSQLCAVGSNSIT SDYAWNWIRO PPGKGLEWIG 50
YISYSGTTTY NPSLKSRSVTM SRDTSKNQFS IKLSSVTAVD TAVYYCATGY 100
YYGGSGFWGGQ TLTVTSSAST KGPVSFPLAP SSKSTSGGTA ALGCLVKDYF 150
PEPVTVWSNS GALTSGVHTF PAVLQSSGLY SLSSVVTVPS SSLGQTQYIC 200
NVNHKPSNTK VDKKVEPKSC DKTHTCPPCP APPELLGGPSV FLFPFPKPKD 250
LMISRTEVTI CVVVDVSHED PEVKENWYVD GVEVHNAAKTK PREEQYNSTY 300
RVVSVLTVLH QDWLNGKEYA CRVSNKALPA PIEKTISKAK GQPREPQVYT 350
LPPSREEMTK NQVSLTLCVGF GFYPSDIAVE WESNGQPEENN YKTTTPVLDs 400
DGSSFLYSLK TVDKSRWQQG NVFSCSVMHE ALHNHYTQKS LSSLSPGK 447

```

Light chain / Chaîne légère / Cadena ligera

```

DIVLTQSPDS LAVSLGERAT INKASESVE YFGTSLMHWY QQKPGQPPKLL 50
LIYAAASRNRES GVDPDRSGSG SGTDFLTIS SLQAEDVAVY YCQQFRKVPVY 100
TFGGGTTKLEI KRTVAAPSIV IFPPSDDEQLK SGTAGSVVCLL NNFTYPREAKV 150
QWKVDNALQSG NSQESVTEQ DSKDSTYSLSTLTL SKADY EKHKVYACEV 200
THQGLSSPVTK SFNMRGEC 218

```

Post-translational modifications

Disulfide bridges location / Position des ponts disulfure / Posiciones de los puentes disulfuro
Intra-H (C23-C104) 22-96 144-200 261-321 367-425
22"-96" 144"-200" 261"-321" 367"-425"

Intra-L (C23-C104) 23"-92" 138"-198"
23"-92" 138"-198"

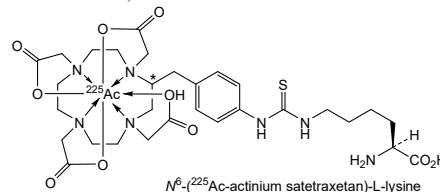
Inter-H-L (h 5-CL 126) 220-218" 220"-218"
Inter-H-H (h 11, h 14) 226-226" 229-229"

N-terminal glutaminyl cyclization / Cyclisation du glutaminyle N-terminal / Ciclación del glutamínico N-terminal
Q > pyroglutamyl (pE, 5-oxopropilo) / pyroglutamyle (pE, 5-oxopropile) / piroglutamilo (pE, 5-oxopropilo)
H VH Q1:1, 1"

N-glycosylation sites / Sites de N-glycosylation / Posiciones de N-glicosilación
H CH2 N84.4: 297, 297"
Fucosylated complex bi-antennary CHO-type glycans / glycanes de type CHO bi-antennaires complexes fucosylés / glicanos de tipo CHO biantenarios complejos fucosilados

C-terminal lysine clipping / Coupe de la lysine C-terminale / Recorte de lisina C-terminal
H CHS K2: 447, 447"

Potential modified residues / résidus modifiés potentiels / restos modificados potenciales*
K (65, 222, 246, 248, 392, 49*, 130*, 211*, 65*, 222*, 246*, 248*, 392*, 49", 130", 211")
*(*satetraxitán*:mAb ~ 3:1)



adargiminsum #

adargiminase

L-methionyl albumin binding domain fragment (2-47 in the current sequence) derived from protein G of *Streptococcus* sp. G148 fused via peptide linker ⁴⁸SGSNNNNNGGG⁶⁰ to *Mycoplasma arginini* arginine deiminase (EC:3.5.3.6, arginine dihydrolase) (61-469 in the current sequence), produced in *Escherichia coli*

adargiminase

L-méthionyl fragment du domaine de liaison à l'albumine (2-47 dans la séquence actuelle) dérivé de la protéine G de *Streptococcus* sp. G148 fusionné, via un peptide liant ⁴⁸SGSNNNNNGGG⁶⁰, à l'arginine désiminase de *Mycoplasma arginini* (EC:3.5.3.6, arginine dihydrolase) (61-469 dans la séquence actuelle), produit chez *Escherichia coli*

adargiminasa

L-metionil fragmento del dominio de union a albúmina (2-47 en la secuencia actual) derivado de la proteína G de *Streptococcus* sp. G148 fusionado a través del enlace peptídico ⁴⁸SGSNNNNNGGG⁶⁰ al *Mycoplasma arginini* arginina deiminasa (EC:3.5.3.6, arginina dihidrolasa) (61-469 en la secuencia actual), producido en *Escherichia coli*

Sequence / Séquence / Secuencia

MLAEAKVIAN RELDKYGVSD YYKNLINNAK TVEGVKALID EILAALPSGS	50
<u>NNNNNNNGGG</u> SVFDSFKGKI HVYSEIGELE SVLVHEPGRE IDYITPARLD	100
ELLFSAILS HDARKEHQKF VAEKLKANDIN VVELIDLVAE TYDLASQEAK	150
DKLIEEFLED SEPVLSEEHK VVVRNFLKAK KTSRELVEIM MAGITKYDLG	200
IHEADHELIVD PMPNLYFTRD PFASVGNGVT IHYMRYKVHQ RETLFSRFVF	250
SNHPKLINTP WYYDPSLKLS IEGGDVFIYN NDTLUVGVSE RTDLQTVTLL	300
AKNIVANKEC EFKRIVAINV PKWTNLNMHLD TWLTMLDKDK FLYSPIANDV	350
FKFWDYDLVN GGAEPPQPVEN GLPLEGLIQS IINKKPVLIP IAGEGASQME	400
IERETHFDGT NYLAIRPGVV IGYSRNEKTN AALEAAGIKV LPFHGNQLSL	450
GMGNARCMMSM PLSRKDVWK	469

Peptide linker / Peptide liant / Péptido de unión

⁴⁸SGSNNNNNGGG⁶⁰**Post-translational modifications**

none / aucun / ninguna

afimkibartum #

afimkibart

immunoglobulin G1-kappa, anti-[*Homo sapiens* TNFSF15 (tumor necrosis factor (TNF) superfamily member 15, vascular endothelial cell growth inhibitor, VEGI, VEGI192A, TNF superfamily ligand TL1A)], *Homo sapiens* monoclonal antibody;
 H-gamma1 heavy chain *Homo sapiens* (1-453) [VH (*Homo sapiens* IGHV1-18*01 (92.9%) -(IGHD) -IGHJ3*01 (92.3%) M123>T (119), CDR-IMGT [8.8.17] (26-33.51-58.97-113)) (1-124) -*Homo sapiens* IGHG1*03v, G1m3>G1m17, nG1m1 CH1 K120, CH3 E12, M14, G1v14-1 CH2 A1.3, A1.2, A1 (CH1 R120>K (221) (125-222), hinge 1-15 (223-237), CH2 L1.3>A (241), L1.2>A (242), G1>A (244)(238-347), CH3 E12 (363), M14 (365) (348-452), CHS K2>del (453)) (125-453)], (227-214')-disulfide with L-kappa light chain *Homo sapiens* (1'-214') [V-KAPPA (*Homo sapiens* IGKV3-11*01 (100%) -IGKJ1*01 (100%), CDR-IMGT [6.3.9] (27'-32'.50'-52'.89'-97')) (1'-107') -*Homo sapiens* IGKC*01 (100%) Km3 A45.1, V101 (C-KAPPA A45.1 (153'), V101 (191')) (108'-214')]; dimer (233-233":236-236")-bisdisulfide, produced in Chinese hamster ovary (CHO) cells, cell line CHO-K1SV lacking the glutamine synthetase (GS-KO) gene, glycoform alfa

afimkibart

immunoglobuline G1-kappa, anti-[*Homo sapiens* TNFSF15 (membre 15 de la superfamille du facteur de nécrose tumorale (TNF), inhibiteur de la croissance des cellules endothéliales vasculaires, VEGI, VEGI192A, ligand TL1A de la superfamille du TNF)], anticorps monoclonal *Homo sapiens*;

chaîne lourde H-gamma1 *Homo sapiens* (1-453) [VH (*Homo sapiens*IGHV1-18*01 (92.9%) -(IGHD) -IGHJ3*01 (92.3%) M123>T (119), CDR-IMGT [8.8.17] (26-33.51-58.97-113)) (1-124) -*Homo sapiens* IGHG1*03v, G1m3>G1m17, nG1m1 CH1 K120, CH3 E12, M14, G1v14-1 CH2 A1.3, A1.2, A1 (CH1 R120>K (221) (125-222), charnière 1-15 (223-237), CH2 L1.3>A (241), L1.2>A (242), G1>A (244)(238-347), CH3 E12 (363), M14 (365) (348-452), CHS K2>del (453)) (125-453)], (227-214')-disulfure avec la chaîne légère L-kappa *Homo sapiens* (1'-214') [V-KAPPA (*Homo sapiens* IGKV3-11*01 (100%) -IGKJ1*01 (100%), CDR-IMGT [6.3.9] (27'-32'.50'-52'.89'-97')) (1'-107') -*Homo sapiens* IGKC*01 (100%) Km3 A45.1, V101 (C-KAPPA A45.1 (153'), V101 (191')) (108'-214')]; dimère (233-233":236-236")-bisdisulfure, produit dans des cellules ovarianes de hamster chinois (CHO), lignée cellulaire CHO-K1SV ne présentant pas le gène de la glutamine synthétase (GS-KO), glycoforme alfa

afimkibart inmunoglobulina G1-kappa, anti-[*Homo sapiens* TNFSF15 (miembro 15 de la super familia del factor de necrosis tumoral (TNF), inhibidor del crecimiento de las células endoteliales vasculares, VEGI, VEGI192A, ligando TL1A de la super familia del TNF)], anticuerpo monoclonal *Homo sapiens*; cadena pesada H-gamma1 *Homo sapiens* (1-453) [VH (*Homo sapiens*IGHV1-18*01 (92.9%) -(IGHD) -IGHJ3*01 (92.3%) M123>T (119), CDR-IMGT [8.8.17] (26-33.51-58.97-113)) (1-124) -*Homo sapiens* IGHG1*03v, G1m3>G1m17, nG1m1 CH1 K120, CH3 E12, M14, G1v14-1 CH2 A1.3, A1.2, A1 (CH1 R120>K (221) (125-222), bisagra 1-15 (223-237), CH2 L1.3>A (241), L1.2>A (242), G1>A (244)(238-347), CH3 E12 (363), M14 (365) (348-452), CHS K2>del (453)) (125-453)], (227-214')-disulfuro con la cadena ligera L-kappa *Homo sapiens* (1'-214') [V-KAPPA (*Homo sapiens* IGKV3-11*01 (100%) -IGKJ1*01 (100%), CDR-IMGT [6.3.9] (27'-32'.50'-52'.89'-97')) (1'-107') -*Homo sapiens* IGKC*01 (100%) Km3 A45.1, V101 (C-KAPPA A45.1 (153'), V101 (191')) (108'-214')]; dímero (233-233":236-236")-bisdisulfuro, producido en las células ováricas de hámster chino (CHO), línea celular CHO-K1SV en ausencia del gen de la glutamina sintetasa (GS-KO), forma glicosilada alfa

Heavy chain / Chaîne lourde / Cadena pesada
 QVQLVGSAG E VKKPGAVSKV SCKASGYDFT YYGISWVRQA PGQGLEWMGW 50
 ISTYNGNTHY ARMLQGRVTM TTDTSRTAY MELRSLRSDD TAVYYCAREN 100
 YYSGAYRG MDVWGQGTTV TVSSASTKGP SVFPLAPSX STSGCTAALG 150
 CLVKDYFPEP PTWVSNSGAL TSGVHTFPAV LQSSGLYLSL SVTVTPSSL 200
 GTQTYICNVN HKPSNTKVDK KVEPKSCDKT HTCPCCPAPE AAGAPSFLF 250
 PPKPKDTLM SRTPEVTCVV DVDSHEDPEV KFNWVVDGVE VHNAKTKPQE 300
 EQYNSTYRVRV SVLTVLHQDW LNGKEYKCKV SNKALPAPIE KTISKAKGQP 350
 REPQVYTLP SREEMTRKNQV SLTCLVRGFY PSDIAWEVES NGQFENNYKT 400
 TFPVLSDSDGS FFPLYSKLTVD KSRWQQGNVF SCCSVMEHALN NYHTQKSLSL 450
 SPG 453

Light chain / Chaîne légère / Cadena ligera
 EIVLTQSPAT LSLSPGERAT LSCRASQSVS SYLAWYQQKP GQAPRLIYD 50
 ASN RATGIPA RFSGSGSGTD FTILTISLEP EDFAVYYCQQ RSNWFWTFGG 100
 GTKVIEIKRTV AAPSFVIFPP SDEQLKSGTA SVVCLNNFY PREAKVQWKV 150
 DNA LQSGNSQ ESVTEQDSKD STYSLSSLT LSKADYEKHK VYACEVTHHQ 200
 LSSPVTKSFN RGE C 214

Post-translational modifications

Disulfide bridges location / Position des ponts disulfure / Posiciones de los puentes disulfuro
 Intra-H (C23-C104) 22-96 151-207 268-328 374-432
 22"-96" 151"-207" 268"-328" 374"-432"
 Intra-L (C23-C104) 23"-88" 134"-194"
 23"-88"" 134""-194""
 Inter-H-L (h 5-CL 126) 227-214" 227"-214"
 Inter-H-H (h 11, h 14) 233-233" 236-236"

N-terminal glutaminyl cyclization / Cyclisation du glutaminyle N-terminal / Ciclación del glutaminilo N-terminal
 Q > pyroglutamyl (pE, 5-oxoprolyl) / pyroglutamyle (pE, 5-oxoprolyle) / piroglutamilo (pE, 5-oxoprolilo)
 H VH Q1: 1, 1"

N-glycosylation sites / Sites de N-glycosylation / Posiciones de N-glicosilación
 H CH2 N84.4: 304, 304"
 Fucosylated complex bi-antennary CHO-type glycans / glycanes de type CHO bi-antennaires complexes fucosylés / glicanos de tipo CHO biantenarios complejos fucosilados

alcestobartum #

alcestobart

immunoglobulin G4-kappa, anti-[*Homo sapiens* LAG3 (lymphocyte activating 3, lymphocyte-activation 3, CD223)], *Homo sapiens* monoclonal antibody; H-gamma4 heavy chain *Homo sapiens* (1-439) [VH (*Homo sapiens* IGHV3-20*04 (91.8%) -(IGHD) - IGHJ4*01 (100%), CDR-IMGT [8.8.5] (26-33.51-58.97-101)) (1-112) -*Homo sapiens* IGHG4*01, nG4m(a) CH2 L92, G4v5 h P10(CH1 (113-210), hinge 1-12 S10>P (220) (211-222), CH2 L92 (301) (223-332), CH3 (333-437), CHS (438-439)) (113-439)], (126-215')-disulfide with L-kappa light chain *Homo sapiens* (1'-215') [V-KAPPA (*Homo sapiens* IGKV1-39*01 (95.8%) -IGKJ2*01 (81.8%) EIK125-127>TVLG (105'-108'), CDR-IMGT [6.3.9] (27'-32'.50'-52'.89'-97')] (1'-108') -*Homo sapiens* IGKC*01 (100%) Km3 A45.1, V101 (C-KAPPA A45.1 (154'), V101 (192')) (109'-215')]; dimer (218-218":221-221")-bisdisulfide, produced in Chinese hamster ovary (CHO) cells, cell line CHO-K1, glycoform alfa

alcestobart

immunoglobuline G4-kappa, anti-[*Homo sapiens* LAG3 (activateur 3 des lymphocytes, lymphocyte-activation 3, CD223)], anticorps monoclonal *Homo sapiens*; chaîne lourde H-gamma4 *Homo sapiens* (1-439) [VH (*Homo sapiens* IGHV3-20*04 (91.8%) -(IGHD) - IGHJ4*01 (100%), CDR-IMGT [8.8.5] (26-33.51-58.97-101)) (1-112) -*Homo sapiens* IGHG4*01, nG4m(a) CH2 L92, G4v5 h P10(CH1 (113-210), charnière 1-12 S10>P (220) (211-222), CH2 L92 (301) (223-332), CH3 (333-437), CHS (438-439)) (113-439)], (126-215')-disulfure avec la chaîne légère L-kappa *Homo sapiens* (1'-215') [V-KAPPA (*Homo sapiens* IGKV1-39*01 (95.8%) -IGKJ2*01 (81.8%) EIK125-127>TVLG (105'-108'), CDR-IMGT [6.3.9] (27'-32'.50'-52'.89'-97')] (1'-108') -*Homo sapiens* IGKC*01 (100%) Km3 A45.1, V101 (C-KAPPA A45.1 (154'), V101 (192')) (109'-215')]; dimère (218-218":221-221")-bisdisulfure, produit dans des cellules ovariennes de hamster chinois (CHO), lignée cellulaire CHO-K1, glycoforme alfa

alcestobart

inmunoglobulina G4-kappa, anti-[*Homo sapiens* LAG3 (activador 3 de los linfocitos, linfocito-activación 3, CD223)], anticuerpo monoclonal *Homo sapiens*; cadena pesada H-gamma4 *Homo sapiens* (1-439) [VH (*Homo sapiens* IGHV3-20*04 (91.8%) -(IGHD) - IGHJ4*01 (100%), CDR-IMGT [8.8.5] (26-33.51-58.97-101)) (1-112) -*Homo sapiens* IGHG4*01, nG4m(a) CH2 L92, G4v5 h P10(CH1 (113-210), bisagra 1-12 S10>P (220) (211-222), CH2 L92 (301) (223-332), CH3 (333-437), CHS (438-439)) (113-439)], (126-215')-disulfuro con la cadena ligera L-kappa *Homo sapiens* (1'-215') [V-KAPPA (*Homo sapiens* IGKV1-39*01 (95.8%) -IGKJ2*01 (81.8%) EIK125-127>TVLG (105'-108'), CDR-IMGT [6.3.9] (27'-32'.50'-52'.89'-97')] (1'-108') -*Homo sapiens* IGKC*01 (100%) Km3 A45.1, V101 (C-KAPPA A45.1 (154'), V101 (192')) (109'-215')]; dímero (218-218":221-221")-bisdisulfuro, producido en las células ováricas de hámster chino (CHO), línea celular CHO-K1, forma glicosilada alfa

Heavy chain / Chaîne lourde / Cadena pesada	
QVQLQESGGG VVRPGGLRLR SCAASGFTFD DYGMNSWVRQA PGKGLEWVSG 50	
INWSGGSTYY ADSVKGRSTI SRDNNSKNTLY LQMNSLRAED TAVYYCATGG 100	
YWGGGTIVTV SSASTKGPSV FPLAPCSRST SESTAALGLC VKDYFFEPVT 150	
VSNWNSGALTGS GVHTFPVQLQ SSGLYSLLSSV VTVPSSSLGT KTYTCNVDHK 200	
PSNTKVDRV ESKYGVPPCPF CPAPEFLGPP SVFLFPKPDK DTLMISRTPE 250	
VTCVVVDVSQ EDPEVQFNWY VDGVEVHNAK TKPREEQFNS TYRVSVLTV 300	
LHQDWLNNGKE YKCKVSNKGL PSSIEKTISK AKGQPREGPVY TLPLPSQEEM 350	
TKNQVSLTCL VKGFYVPSDAA VEWESENQPEE NNYKTTTPVLD SDGDSFFFLYS 400	
RLTVDKSRWQ EGNVFSCSVM HEALHNHYTQ KSLSLSLGK 439	
Light chain / Chaîne légère / Cadena ligera	
DIRLTQSPPS LSASVGDRVT ITCRASQSIIS SYLNWYQQKPG GKAPKLLIYA 50	
ASSLQGGVPFS RFSGSSGGDT FTTLTISSLQP EDSATYYCQQ SYSTPYTFGQ 100	
GTLKLTVLGLRT VAAPSVFIFP PSDEQLKSGT ASVVCCLNNF YPREAKVQWK 150	
VDNALQSGNS QESVTEQDSK DSTYTSLSSTL TLSKALYEKH KVAYCEVTHQ 200	
GLSSPVTKSF NRGECK 215	
Post-translational modifications	
Disulfide bridges location / Position des ponts disulfure / Posiciones de los puentes disulfuro	
Intra-H (C23-C104) 22-96 139-195 253-313 359-417	
22"-96" 139"-195" 253"-313" 359"-417"	
Intra-L (C23-C104) 23-88 135"-195"	
23"-88" 135"-195"	
Inter-H-L (CH1 10-CL 126) 126-215" 126"-215"	
Inter-H-H (h 8, h 11) 218-218" 221-221"	
N-terminal glutaminyl cyclization / Cyclisation du glutaminyle N-terminal / Ciclación del glutamínico N-terminal	
Q> pyroglutamyl (pE, 5-oxopropyl) / pyroglutamyle (pE, 5-oxopropyle) / piroglutamilo (pE, 5-oxopropilo)	
H VH Q1: 1, 1"	
N-glycosylation sites / Sites de N-glycosylation / Posiciones de N-glicosilación	
VH N57: 52, 52"	
No glycans / Pas de glycane / Sin glicanos	
H CH2 N84: 4: 289, 289"	
Fucosylated complex bi-antennary CHO-type glycans / glycane de type CHO bi-antennaires complexes fucosyles / glicanos de tipo CH0 bi-antennarios complejos fucosilados	
C-terminal lysine clipping / Coupe de la lysine C-terminale / Recorte de lisina C-terminal	
H CHS K2: 439, 439"	
aleniglipronum	
aleniglipron	(^{3⁴S,6¹S,6²S)-1⁴-(diethylphosphoryl)-3²-(4-fluoro-3,5-dimethylphenyl)-3⁴,6²-dimethyl-1³-(methylamino)-5⁵-(oxan-4-yl)-3²,3⁴,3⁶,3⁷-tetrahydro-2²H-3(3,5)-pyrazolo[4,3-c]pyridina-5(2,1)-indola-7(3)-[1,2,4]oxadiazola-2(1,3)-imidazola-1(1)-benzena-6(1,1)-cyclopropanaheptaphane-2²,4,7⁵(7²H)-trione}
aléniglipron	(^{3⁴S,6¹S,6²S)-1⁴-(diethylphosphoryl)-3²-(4-fluoro-3,5-dimethylphenyl)-3⁴,6²-dimethyl-1³-(methylamino)-5⁵-(oxan-4-yl)-3²,3⁴,3⁶,3⁷-tetrahydro-2²H-3(3,5)-pyrazolo[4,3-c]pyridina-5(2,1)-indola-7(3)-[1,2,4]oxadiazola-2(1,3)-imidazola-1(1)-benzena-6(1,1)-cyclopropanaheptaphane-2²,4,7⁵(7²H)-trione}
alenigliprón	(^{3⁴S,6¹S,6²S)-1⁴-(dietfifosforil)-3²-(4-fluoro-3,5-dimetilfenil)-3⁴,6²-dimetil-1³-(metilamino)-5⁵-(oxan-4-il)-3²,3⁴,3⁶,3⁷-tetrahidro-3(3,5)-pirazolo[4,3-c]piridina-5(2,1)-indola-7(3)-[1,2,4]oxadiazola-2(1,3)-imidazola-1(1)-bencena-6(1,1)-ciclopropanaheptafano-2²,4,7⁵(7²H)-triona}
C ₄₉ H ₅₅ FN ₉ O ₆ P	

aletekitugum #

aletekitug

immunoglobulin G1-kappa, anti-[*Homo sapiens* IL18 (interleukin 18, IL-18, interferon gamma-inducing factor, IGIF, interleukin-1 gamma, IL-1G, IL1F4)], humanized monoclonal antibody; H-gamma1 heavy chain humanized (1-456) [VH (*Homo sapiens*IGHV1-24*01 (82.7%) -(IGHD) -IGHJ1*01 (100%), CDR-IMGT [8.8.19] (26-33.51-58.97-115)) (1-126) -*Homo sapiens* IGHG1*01 (100%) G1m17,1 CH1 K120, CH3 D12, L14 (CH1 K120 (223) (127-224), hinge 1-15 (225-239), CH2 (240-349), CH3 D12 (365), L14 (367) (350-454), CHS (455-456)) (127-456)], (229-214')-disulfide with L-kappa light chain humanized (1'-214') [V-KAPPA (*Homo sapiens* IGKV1-12*01 (83.2%) -IGKJ2*01 (100%), CDR-IMGT [6.3.9] (27'-32'.50'-52'.89'-97')) (1'-107') -*Homo sapiens* IGKC*01 (100%), Km3 A45.1, V101 (C-KAPPA A45.1 (153'), V101 (191')) (108'-214')]; dimer (235-235":238-238")-bisdisulfide, produced in Chinese hamster ovary (CHO) cells, cell line CHO-DG44, glycoform alfa

alétékitug

immunoglobuline G1-kappa, anti-[*Homo sapiens* IL18 (interleukine 18, IL-18, facteur inducteur d'interferon gamma, IGIF, interleukine-1 gamma, IL-1G, IL1F4)], anticorps monoclonal humanisé; chaîne lourde H-gamma1 humanisée (1-456) [VH (*Homo sapiens*IGHV1-24*01 (82.7%) -(IGHD) -IGHJ1*01 (100%), CDR-IMGT [8.8.19] (26-33.51-58.97-115)) (1-126) -*Homo sapiens* IGHG1*01 (100%) G1m17,1 CH1 K120, CH3 D12, L14 (CH1 K120 (223) (127-224), charnière 1-15 (225-239), CH2 (240-349), CH3 D12 (365), L14 (367) (350-454), CHS (455-456)) (127-456)], (229-214')- disulfure avec la chaîne légère L-kappa humanisée (1'-214') [V-KAPPA (*Homo sapiens* IGKV1-12*01 (83.2%) -IGKJ2*01 (100%), CDR-IMGT [6.3.9] (27'-32'.50'-52'.89'-97')) (1'-107') -*Homo sapiens* IGKC*01 (100%) Km3 A45.1, V101 (C-KAPPA A45.1 (153'), V101 (191')) (108'-214')]; dimère (235-235":238-238")-bisdisulfure, produit dans des cellules ovarianes de hamster chinois (CHO), lignée cellulaire CHO-DG44, glycoforme alfa

aletekitug

inmunoglobulina G1-kappa, anti-[*Homo sapiens* IL18 (interleukina 18, IL-18, factor inductor del interferón gamma, IGIF, interleukina-1 gamma, IL-1G, IL1F4)], anticuerpo monoclonal humanizado; cadena pesada H-gamma1 humanizada (1-456) [VH (*Homo sapiens*IGHV1-24*01 (82.7%) -(IGHD) -IGHJ1*01 (100%), CDR-IMGT [8.8.19] (26-33.51-58.97-115)) (1-126) -*Homo sapiens* IGHG1*01 (100%) G1m17,1 CH1 K120, CH3 D12, L14 (CH1 K120 (223) (127-224), bisagra 1-15 (225-239), CH2 (240-349), CH3 D12 (365), L14 (367) (350-454), CHS (455-456)) (127-456)], (229-214')- disulfuro con la cadena ligera L-kappa humanizada (1'-214') [V-KAPPA (*Homo sapiens* IGKV1-12*01 (83.2%) -IGKJ2*01 (100%), CDR-IMGT [6.3.9] (27'-32'.50'-52'.89'-97')) (1'-107') -*Homo sapiens* IGKC*01 (100%) Km3 A45.1, V101 (C-KAPPA A45.1 (153'), V101 (191')) (108'-214')]; dímero (235-235":238-238")-bisdisulfuro, producido en las células ováricas de hámster chino (CHO), línea celular CHO-DG44, forma glicosilada alfa

Heavy chain / Chaîne lourde / Cadena pesada

QVQLVQSGAE VKKPGAVSVKV SCKVSGEIST GYYFHWVRQA PGKGLEWMGR 50
 IDPEDDSTKY AERFKDRVTM TDETDSTDY MELSSLRSED TAVYYCTTWR 100
 IYRDSSGRPF YVMDAWGQGT LTVTSSASTK GPSVFPLAPS SKSTSGGTAA 150
 LGCLVKDYFP EEEVTVSNWNG ALTSGVHTTFP AVLQSSGLYS LSSVVITVFS 200
 SLGTQTYICN VNHRPKSNTKV DRKVEPKSCD KTHTCPPCPA PELLGGPSVF 250
 LFPPRKPDTL MISRTPEVTC VVVDVSHEDP EVKFNWYVVG VEVHNAKTKP 300
 REEQXNNSYR VVSVLTVLHQ DWLNGKEYK C KVSNKALPAP IEKTISAKG 350
 QPREPVYVTL PPSRDELTKN QVSLTCLVKG FYPSTDIAEW ESNQGPENNY 400
 KITPPVVLSDS GSFFFLYSKLT VDKSRWQQGN VFSCSVMHEA LHNHYTQKSL 450
 SLSPGK 456

Light chain / Chaîne légère / Cadena ligera

DIQMTQSPSS VSASVGDRTV ITCLASEDIY TYLTWYQQKP GKAPKLIIYG 50
 ANKLQDGVPVS RFSFGSGSTD YTIISSLLQP EDFATYQCLQ GSFKPLTFGQ 100
 GTKLEIKRTV AAPSVFIFPP SDEQLKSGTA SVVCLLNNFY PREAKVQNKV 150
 DNALQSGSNQ ESVTEQDSKSD STYSLSSTLT LSKADYEKHK YVACEVTHQG 200
 LSSPVTKSFn RGEc 214

Post-translational modifications

Disulfide bridges location / Position des ponts disulfure / Posiciones de los puentes disulfuro
 Intra-H (C23-C104) 22°-96° 153°-209° 270°-330° 376°-434°
 22°-96° 153°-209° 270°-330° 376°-434°
 Intra-L (C23-C104) 23°-88° 134°-194°
 23°-88° 134°-194°
 Inter-H-L (h 5-CL 126) 229°-214° 229°-214°
 Inter-H-H (h 11, h 14) 235°-235° 238°-238°

N-terminal glutaminyl cyclization / Cyclisation du glutaminyle N-terminal / Ciclación del glutaminilo N-terminal

Q > pyroglutamyl (pE, 5-oxopropyl) / pyroglutamyl (pE, 5-oxopropyle) / piroglutamyl (pE, 5-oxopropilo)
 H VH Q1: 1, l"

N-glycosylation sites / Sites de N-glycosylation / Posiciones de N-glicosilación

H CH2 N84: 4, 306, 306°
 Fucosylated complex bi-antennary CHO-type glycans / glycanes de tipo CHO bi-antennarios complejos fucosilados

C-terminal lysine clipping / Coupe de la lysine C-terminale / Recorte de lisina C-terminal
 H CHS K2: 456, 456°

alizulatidum vixocianinum

alizulatide vixocianine

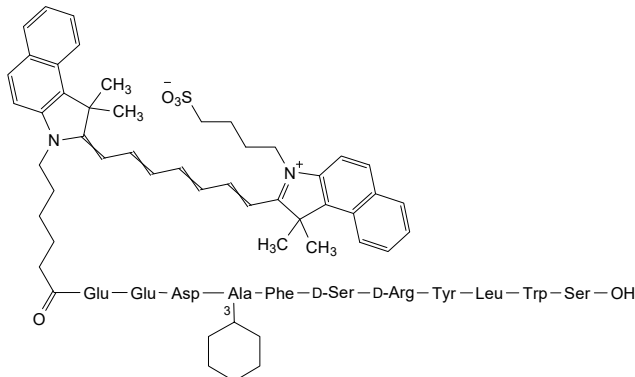
N-{6-[(2Ξ)-2-((2Ξ,4Ξ,6Ξ)-7-[1,1-dimethyl-3-(4-sulfonatobutyl)-1H-benzo[e]indol-3-iium-2-yl]hepta-2,4,6-trienylidene)-1,1-dimethyl-1,2-dihydro-3H-benzo[e]indol-3-yl]hexanoyl}-L-α-glutamyl-L-α-glutamyl-L-α-aspartyl-3-cyclohexyl-L-alanyl-L-phenylalanyl-D-séryl-D-arginyl-L-tyrosyl-L-leucyl-L-tryptophyl-L-serine

alizulatide vixocianine

N-{6-[(2Ξ)-2-((2Ξ,4Ξ,6Ξ)-7-[1,1-diméthyl-3-(4-sulfonatobutyl)-1H-benzo[e]indol-3-iium-2-yl]hepta-2,4,6-trien-1-ylidène)-1,1-diméthyl-1,2-dihydro-3H-benzo[e]indol-3-yl]hexanoyl}-L-α-glutamyl-L-α-glutamyl-L-α-aspartyl-3-cyclohexyl-L-alanyl-L-phénylalanyl-D-séryl-D-arginyl-L-tyrosyl-L-leucyl-L-tryptophyl-L-sérine

alizulatida vixocianina

N-{6-[(2Ξ)-2-((2Ξ,4Ξ,6Ξ)-7-[1,1-dimétيل-3-(4-sulfonatobutyl)-1H-benzo[e]indol-3-io-2-ill]hepta-2,4,6-trien-1-ilideno)-1,1-dimétيل-1,2-dihidro-3H-benzo[e]indol-3-ill]hexanoilo}-L-α-glutamíl-L-α-glutamíl-L-α-aspartíl-3-ciclohexíl-L-alaníl-L-fenilalaníl-D-seríl-D-arginíl-L-tírosíl-L-leucíl-L-triptofíl-L-serína

**alpitatugum #**

alpitatug

immunoglobulin G1-kappa, anti-[*Homo sapiens* KLK2 (kallikrein-2, kallikrein peptidase 2, kallikrein 2 prostatic)], humanized monoclonal antibody;
 H-gamma1 heavy chain humanized (1-447) [VH (*Homo sapiens* IGHV4-28*01 (90.7%) -(IGHD) -IGHJ1*01 (100%), CDR-IMGT [9.7.10] (26-34.52-58.97-106)) (1-117) -*Homo sapiens*IGHG1*03v (100%) G1m3>G1m17, nG1m1 CH1 K120, CH3 E12, M14 (CH1 R120>K (214) (118-215), hinge 1-15 (216-230), CH2 (231-340), CH3 E12 (356), M14 (358) (341-445), CHS (446-447)) (118-447)], (220-218')-disulfide with L-kappa light chain humanized (1'-218') [V-KAPPA (*Homo sapiens* IGKV4-1*01 (81.2%) -IGKJ2*01 (100%), CDR-IMGT [10.3.9] (27'-36'.54'-56'.93'-101')) (1'-111') -*Homo sapiens* IGKC*01 (100%) Km3 A45.1, V101 (C-KAPPA A45.1 (157'), V101 (195')) (112'-218')]; dimer (226-226":229-229")-bisdisulfide, produced in Chinese hamster ovary (CHO) cells, glycoform alfa

alpitatug

immunoglobuline G1-kappa, anti-[*Homo sapiens* KLK2 (kallikréine-2, kallikréine peptidase 2, kallikréine prostatique)], anticorps monoclonal humanisé;
 chaîne lourde H-gamma1 humanisée (1-447) [VH (*Homo sapiens* IGHV4-28*01 (90.7%) -(IGHD) -IGHJ1*01 (100%), CDR-IMGT [9.7.10] (26-34.52-58.97-106)) (1-117) -*Homo sapiens*IGHG1*03v (100%) G1m3>G1m17, nG1m1 CH1 K120, CH3 E12, M14 (CH1 R120>K (214) (118-215), charnière 1-15 (216-230), CH2 (231-340), CH3 E12 (356), M14 (358) (341-445), CHS (446-447)) (118-447)], (220-218')-disulfure avec la chaîne légère L-kappa humanisée (1'-218') [V-KAPPA (*Homo sapiens* IGKV4-1*01 (81.2%) -IGKJ2*01 (100%), CDR-IMGT [10.3.9] (27'-36'.54'-56'.93'-101')) (1'-111') -*Homo sapiens* IGKC*01 (100%) Km3 A45.1, V101 (C-KAPPA A45.1 (157'), V101 (195')) (112'-218')]; dimère (226-226":229-229")-bisdisulfure, produit dans des cellules ovariennes de hamster chinois (CHO), glycoforme alfa

alpitatug

inmunoglobulina G1-kappa, anti-[*Homo sapiens* KLK2 (kalikréina-2, kalikréina peptidasa 2, kalikréina prostática)], anticuerpo monoclonal humanizado;

cadena pesada H-gamma1 humanizada (1-447) [VH (*Homo sapiens* IGHV4-28*01 (90.7%) -(IGHD)-IGHJ1*01 (100%), CDR-IMGT [9.7.10] (26-34.52-58.97-106)) (1-117) -*Homo sapiens* IGHG1*03v (100%) G1m3>G1m17, nG1m1 CH1 K120, CH3 E12, M14 (CH1 R120>K (214) (118-215), bisagra 1-15 (216-230), CH2 (231-340), CH3 E12 (356), M14 (358) (341-445), CHS (446-447)) (118-447)], (220-218')-disulfuro con la cadena ligera L-kappa humanizada (1'-218') [V-KAPPA (*Homo sapiens* IGKV4-1*01 (81.2%) -IGKJ2*01 (100%), CDR-IMGT [10.3.9] (27'-36'.54'-56'.93'-101')) (1'-111') -*Homo sapiens* IGKC*01 (100%) Km3 A45.1, V101 (C-KAPPA A45.1 (157'), V101 (195')) (112'-218')]; dímero (226-226":229-229")-bisdisulfuro, producido en las células ováricas de hamster chino (CHO), forma glicosilada alfa

Heavy chain / Chaîne lourde / Cadena pesada

```

QVQLQESGPGLVVKPSDTLSLTCAVSGNSITSDYAWNWIROPPGKGLEWIG 50
YISYSGSTTYNPSLKSRTVM SRTDSKNQFSLKLSVTAVDTAVYYCATGY 100
YYSGSGFWGQGLTIVVSSASTKGPSVFPLAPSSKSTSGGTAALGCLVKDYF 150
PEPVTVWSNS GALTSGVHTFPAVLQSSGLYSLSSVVTVPSSSLGTQTYIC 200
NVNPKPSNTKVDKVKVEPKSCDKTHTCPPCPAPELGGPSVFLFPPKPKD 250
LMISRTPEVT CVVVDVSHEDPEVKFNWYVDGVEVHNNAKTKPREEQYNSTV 300
RVSVSLTVLHQDWLNGKEYKCKVSNKALPAPIEKTISKAKGQPREPQVYT 350
LPPSREEMTKNQVSLTCLVKGFYPSDIVAWESENQQPENN YKTTTPVLD 400
DGSSFLYSLKTVDKSRWQQGNFVSCSVMHEALHNHYTQKSLSLSPGK 447

```

Light chain / Chaîne légère / Cadena ligera

```

DIVLTQSPDLSAVSLGERATINCKASESVEYFGTSLMHWYQQKPGQPPKL 50
LIYAAASNRESGVPDFRGSGSGTDFTLTISLQAEDVAVYQCQCTRKPVY 100
TFGQGTKLEIKRTVAAPSFIGPPSDEQLKSGTASVVCLNNFYPREAKV 150
QWKVDNALQSGNSQESVTEQDSKDSTYSLSSTLTSKADYEKKHVYACEV 200
THQGLSSPVTKSFNRGECA 218

```

Post-translational modifications

Disulfide bridges location / Position des ponts disulfure / Posiciones de los puentes disulfuro
 Intra-H (C23-C104) 22-96 144-200 261-321 367-425
 22"-96" 144"-200" 261"-321" 367"-425"
 Intra-L (C23-C104) 23"-92" 138"-198"
 23"-92" 138"-198"
 Inter-H-L (h 5-CL 126) 220-218" 220"-218"
 Inter-H-H (h 11, h 14) 226-226" 229-229"

N-terminal glutaminyl cyclization / Cyclisation du glutaminyle N-terminal / Ciclación del glutaminilo N-terminal

Q > pyroglutamyl (pE, 5-oxoprolyl) / pyroglutamyle (pE, 5-oxoprolyle) / piroglutamilo (pE, 5-oxoprolilo)
 H VH Q1: 1, 1"

N-glycosylation sites / Sites de N-glycosylation / Posiciones de N-glicosilación

H CH2 N84.4: 297, 297"
 Fucosylated complex bi-antennary CHO-type glycans / glycanes de type CHO bi-antennaires complexes fucosylés / glicanos de tipo CHO biantenarios complejos fucosilados

C-terminal lysine clipping / Coupe de la lysine C-terminale / Recorte de lisina C-terminal
 H CHS K2: 447, 447"

amezosvateinum

amezosvatein

human varicella-zoster virus also known as human herpesvirus 3 (HHV-3, human alphaherpesvirus 3) envelope glycoprotein E (gE) fragment (1-507), produced in Chinese hamster ovary (CHO) cells, cell line CHO DG44(S), glycoform alfa

amézosvatéine

fragment (1-507) de la glycoprotéine d'enveloppe E (gE) du virus varicelle-zona humain, connu également sous le nom d'herpès-virus humain de type 3 (HVH-3, alphaherpès-virus 3 humain), produit dans des cellules ovarianes de hamster chinois (CHO), lignée cellulaire CHO DG44(S), glycoforme alfa

amezosvateína fragmento (1-507) de la glicoproteína de envoltura E (gE) del virus de la varicela-zóster humano, también conocido como herpesvirus humano de tipo 3 (HVH-3, alfaherpesvirus humano 3), producido en células de ovario de hámster chino (CHO), línea celular CHO DG44(S), glicoforma alfa

Sequence / Séquence / Secuencia

SVLRYDDFHT	DEDKLDTNSV	YEPPYYHSDHA	ESSWVNRGES	SRKAYDHNSP	50
YIWPRLNDYDG	FLENAAEHHG	VYNQGRGIDS	GERLMQPTQM	SAQEDLGDDT	100
GIHVIPLTLNG	DDRHKIVNVD	QRQYGDVFKG	DLNPKPQGQR	LIEVSVEENH	150
PFTLRAPIQR	IYGVRYTETW	SFLPSLTCTG	DAAPAIQHIC	LKHTTCFQDV	200
VVDVDCAEKT	KEDQLAELISY	RFGQKKEAQD	PWIVVNNTSL	FDELELDPPP	250
IEPGVVLKVLR	TEKQYLGVYI	WNMRQSGDTS	TYATFLVTWL	GDEKTRNPTP	300
AVTPQOPRGAE	FHMWNHYHSHV	FSVGDTSFLA	MHLQYKIHEA	PFDLLEWLWLY	350
VPIDPTCQPM	RLYSTCLYHP	NAPQCLSHMN	SGCTFTSPHL	AQRVASTVYQ	400
NCEAHADNYTA	YCLGISHMEP	SFGQLILHDGG	TTLIKFDVTPE	SLSGLYLVFVV	450
YFNHGHEAVEA	YTVVSTVDHY	VNAIEERGFY	PTAGQQPPATT	KPKEITPVNP	500
GTSPLLLR					

Post-translational modifications

Disulfide bridges location / Position des ponts disulfure / Posiciones de los puentes disulfuro
178-190, 196-206, 357-383, 366-375, 402-412

N-glycosylation sites / Sites de N-glycosylation / Posiciones de N-glicosilación
236, 407

O-glycosylation sites / Sites de O-glycosylation / Posiciones de O-glicosilación
S49, S91, T107, T195, T299, T303

Deamidation sites / Sites de déamidation / Posiciones de desamidación
N73, N407 and N453

Oxidation site / Site de désamidation / Posición de desamidación
M379

Phosphorylation site / Site de désamination / Posición de desamidación
S80

amimestrocelum**amimestrocel**

allogeneic mesenchymal stromal cells (MSC) derived from umbilical cord tissue and Wharton's jelly. The tissue is enzymatically digested, and the cells cultured in a serum-free medium supplemented with epidermal growth factor (EGF) and basic fibroblast growth factor (bFGF) and then cryopreserved. The cells are positive ($\geq 95\%$) for the mesenchymal stromal cell surface markers CD10, CD73, CD90, and CD105, and are negative ($\leq 2\%$) for CD14, CD19, CD31, CD34, CD45 and HLA class II histocompatibility antigen (HLA-DR) gamma chain markers. The cells secrete prostaglandin E2 (PGE2), interleukin 6 (IL-6), hepatocyte growth factor (HGF), transforming growth factor alpha (TGF- α), and can be induced by interferon gamma (IFN- γ) to express indoleamine 2,3-dioxygenase 1 (IDO-1). The cells can be induced to differentiate into adipogenic, osteogenic and chondrogenic lineages *in vitro*. The cells demonstrate inhibitory effects in an *in vitro* T lymphocyte proliferation assay

amimestrocel

cellules stromales mésenchymateuses allogéniques (CSM) dérivées du tissu du cordon ombilical et de la gelée de Wharton. Le tissu est digéré enzymatiquement, et les cellules sont cultivées dans un milieu sans sérum, additionné de facteur de croissance épidermique (EGF) et de facteur de croissance des fibroblastes de type 2 (FGF2), qui sont cryoconservées. Les cellules sont positives ($\geq 95\%$) pour les marqueurs de surface des cellules stromales mésenchymateuses CD10, CD73, CD90 et CD105, et négatives ($\leq 2\%$) pour les marqueurs de la chaîne gamma CD14, CD19, CD31, CD34, CD45 et les antigènes du complexe majeur d'histocompatibilité de classe II (HLA-DR). Les cellules secrètent la prostaglandine E2 (PGE2), l'interleukine-6 (IL-6), le facteur de croissance transformant alpha (TGF- α), et peuvent être induites par l'interféron gamma (IFN- γ) pour exprimer l'indoléamine-2,3-dioxygénase de type 1 (IDO-1). Les cellules peuvent se différencier en lignées adipogènes, ostéogènes et chondrogènes *in vitro*. Les cellules présentent des effets inhibiteurs, lors d'un essai *in vitro* de prolifération des lymphocytes T

amimestrocel células estromales mesenquimales (CEM) alogénicas derivadas de tejido de cordón umbilical y gelatina de Wharton. El tejido se digiere enzimáticamente y las células se cultivan en medio sin suero suplementado con factor de crecimiento epidérmico (EGF) y factor de crecimiento de fibroblastos básico (bFGF) y después se criopreservan. Las células son positivas ($\geq 95\%$) para los marcadores de superficie de células estromales mesenquimales CD10, CD73, CD90 y CD105 y son negativas ($\leq 2\%$) para los marcadores CD14, CD19, CD31, CD34, CD45 y la cadena gamma del antígeno de histocompatibilidad HLA de clase II (HLA-DR). Las células secretan prostaglandina E2 (PGE2), interleuquina 6 (IL-6), factor de crecimiento de hepatocitos (HGF), factor de crecimiento transformante alfa (TGF- α) y pueden ser inducidas mediante interferón gamma (IFN- γ) a expresar indoleamina 2,3-dioxigenasa 1 (IDO-1). Las células pueden ser inducidas a diferenciarse *in vitro* a los linajes adipogénico, osteogénico y condrogénico. Las células demuestran efectos inhibidores en un ensayo de proliferación de linfocitos T *in vitro*

amogammadexum

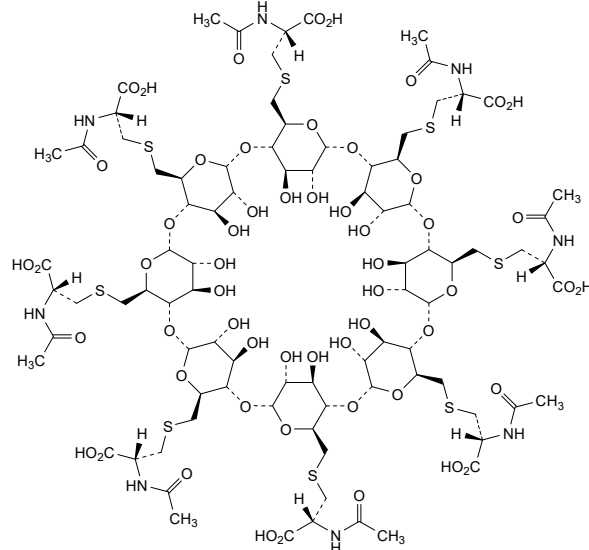
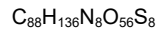
amogammadex

cyclooctakis-(1→4)-{6-S-[(2R)-2-acetamido-2-carboxyethyl]-6-thio- α -D-glucopyranosyl}

amogammadex

cyclooctakis-(1→4)-{6-S-[(2R)-2-acétamido-2-carboxyéthyl]-6-thio- α -D-glucopyranosyl}

amogammadex

cyclooctakis-(1→4)-{6-S-[(2R)-2-acetamido-2-carboxietil]-6-tio- α -D-glucopiranosilo}**amtabafuspum alfa #**

amtabafuspum alfa

humanized immunoglobulin G1-lambda anti-[*Homo sapiens* CD3E (CD3 epsilon, Leu-4)] monomer disulfide bridged to human T-cell surface glycoprotein CD4 extracellular domain 1, engineered to bind human immunodeficiency virus gp120 envelope glycoprotein, fused to an Fc fragment of human immunoglobulin G1;

gamma 1 heavy chain (1-445) [VH (*Homo sapiens* IGHV3-72*01 -(IGHD) - IGHJ4*01, CDR-Kabat [5.19.14] (31-35.50-68.101-114)) (1-125) -*Homo sapiens* IGHG1*03 (CH1 R²²²>K (126-223), hinge (224-238), CH2 L²⁴²>A, L²⁴³>A, P³³⁹>S (239-348), CH3 T³⁷⁴>S, L³⁷⁶>A, Y⁴¹⁵>V, H⁴⁴³>R (349-453), CHS (454-455)) (126-455)], (228-214')-disulfide with lambda light chain (1'-215') [V-LAMBDA (*Homo sapiens* IGLV7-46*01 -IGLJ3*02, CDR-Kabat [14.7.9] (23'-36'.52'-58'.91'-99')) (1'-109') -*Homo sapiens* IGLC2*01 (110'-215')]; human T-cell surface glycoprotein CD4 extracellular domain 1 [mutant L⁵>Y, S²³>N, A⁵⁵>V, I⁷⁶>P, L⁹⁶>V, F⁹⁸>V] (fragment 1"-99"), fused via a ¹⁰⁰"GS¹⁰¹" peptide linker to an Fc fragment of immunoglobulin 1 [*Homo sapiens* IGHG1*03, hinge (102'-111", N-terminal EPKSC deleted), CH2 L¹¹⁵>A, L¹¹⁶>A, M¹³³>Y, S¹³⁵>T, T¹³⁷>E, P²¹²>S (112"-221"), CH3 T²⁴⁷>W (222"-326", CHS (327"-328")) (102"-328")]; heterodimer (234-107", 237-110")-bisdisulfide, produced in Chinese hamster ovary (CHO) cells, glycoform alfa

amtabafusp alfa immunoglobuline G1-lambda humanisée anti-[*Homo sapiens* CD3E (CD3 epsilon, Leu-4)], monomère, disulfure ponté au domaine extracellulaire 1 de la glicoprotéine de surface des lymphocytes T humains CD4, modifiée pour se lier à la glicoprotéine d'enveloppe gp120 du virus de l'immunodéficience humaine, fusionnée à un fragment Fc de la chaîne lourde gamma 1 l'immunoglobuline G1 humaine G1; chaîne lourde gamma 1 (1-445) [VH (*Homo sapiens* IGHV3-72*01 -(IGHD) - IGHJ4*01, CDR-Kabat [5.19.14] (31-35.50-68.101-114)) (1-125) -*Homo sapiens* IGHG1*03 (CH1 R²²²>K (126-223), charnière (224-238), CH2 L²⁴²>A, L²⁴³>A, P³³⁹>S (239-348), CH3 T³⁷⁴>S, L³⁷⁶>A, Y⁴¹⁵>V, H⁴⁴³>R (349-453), CHS (454-455)) (126-455)], (228-214')-disulfure avec la chaîne légère lambda (1'-215') [V-LAMBDA (*Homo sapiens* IGLV7-46*01 -IGLJ3*02, CDR-Kabat [14.7.9] (23'-36'.52'-58'.91'-99')) (1'-109') -*Homo sapiens* IGLC2*01 (110'-215')]; domaine extracellulaire 1 de la glicoprotéine de surface des lymphocytes T CD4 humains [mutant L⁵>Y, S²³>N, A⁵⁵>V, I⁷⁶>P, L⁹⁶>V, F⁹⁸>V] (fragment 1"-99"), fusionné à l'aide du coupleur peptidique ¹⁰⁰"GS¹⁰¹" à un fragment Fc de l'immunoglobuline G1 [*Homo sapiens* IGHG1*03, charnière (102"-111", N-terminale EPKSC déletée), CH2 L¹¹⁵>A, L¹¹⁶>A, M¹³³>Y, S¹³⁵>T, T¹³⁷>E, P²¹²>S (112"-221"), CH3 T²⁴⁷>W (222"-326", CHS (327"-328")) (102"-328")], hétérodimère (234-107", 237-110")-bisdisulfure, produite dans des cellules ovarianes de hamster chinois (CHO), glycoforme alfa

amtabafusp alfa inmunoglobulina G1-lambda humanizada anti-[*Homo sapiens* CD3E (CD3 epsilon, Leu-4)] monómero con puente disulfuro al dominio extracelular 1 de la glicoproteína CD4 de superficie de de linfocitos T humanos, diseñado para unirse a la glicoproteína de envoltura gp120 del virus de la inmunodeficiencia humana, fusionado a un fragmento Fc de inmunoglobulina humana G1; cadena pesada gamma 1 (1-445) [VH (*Homo sapiens* IGHV3-72*01 -(IGHD) -IGHJ4*01, CDR-Kabat [5.19.14] (31-35.50-68.101-114)) (1-125) -*Homo sapiens* IGHG1*03 (CH1 R²²²>K (126-223), bisagra (224-238), CH2 L²⁴²>A, L²⁴³>A, P³³⁹>S (239-348), CH3 T³⁷⁴>S, L³⁷⁶>A, Y⁴¹⁵>V, H⁴⁴³>R (349-453), CHS (454-455)) (126-455)], (228-214')-disulfuro con cadena ligera lambda (1'-215') [V-LAMBDA (*Homo sapiens* IGLV7-46*01 -IGLJ3*02, CDR-Kabat [14.7.9] (23'-36'.52'-58'.91'-99')) (1'-109') -*Homo sapiens* IGLC2*01 (110'-215')]; dominio extracelular 1 de la glicoproteína de superficie de los linfocitos T CD4 humanos [mutante L⁵>Y, S²³>N, A⁵⁵>V, I⁷⁶>P, L⁹⁶>V, F⁹⁸>V] (fragmento 1"-99"), fusionado a través de un enlace peptídico ¹⁰⁰"GS¹⁰¹" a un fragmento Fc de la inmunoglobulina 1 [*Homo sapiens* IGHG1*03, bisagra N-terminal EPKSC eliminada (102"-111"), CH2 L¹¹⁵>A, L¹¹⁶>A, M¹³³>Y, S¹³⁵>T, T¹³⁷>E, P²¹²>S (112"-221"), CH3 T²⁴⁷>W (222"-326", CHS (327"-328")) (102"-328")]; heterodímero (234-107", 237-110")-bisdisulfuro, producido en células ováricas de hámster Chino (CHO), glicoforma alfa

Sequence / Séquence / Secuencia
 Heavy chain (H):

EVQLVESGGG	LVQPGGSLRL	SCAASGFTFN	TYAMNNWVRQA	PGKGLEWVGR	50
IRSKYNNYAT	YYADSVKSRF	TISRDDSKNS	LYLEMNSLRT	EDTAVYYCVR	100
HGNFGHSYVS	WFAYWGQGTI	VTVSSASTKG	PSVFPLAPSS	KSTSGGTAAL	150
GCLVKDVFPE	PVTWSWNSGA	LTSGVHFFPA	VHQSSGLYSL	SSVVTVPSSS	200
LGTQTYICNV	NHKPSNTKVD	KKVEPKSCDK	THTCPPCPAP	E <u>A</u> GGPSVFL	250
FPPPKDITM	ISRTPEVTCV	VVDVSHEDPE	VKFNWYVTDGV	EVHNAKTKPR	300
EEQYNSTYRV	VSVLTVLHQD	WLNGKEYKCK	VSNKALP <u>A</u> SI	EKTISKAKGQ	350
PREPVQVYTL	PSREEMTKNQ	VSI <u>C</u> AVKGF	YPSDIAVEWE	SNGQPENNYK	400
TTTPVLDSDG	SFFLV <u>W</u> SKLT	DKSRRWQQNV	FSCSVMHEAL	HN <u>R</u> YTQKQLS	450
LSPGK					455

Light chain (L'):

QAVVQEPESL	TVPSPGGTVTL	TCCSSTGAVT	TGHYANWVQQ	KPGQAPRGLI	50
GGTSNRAPGV	PARFSGSLLG	GKAALTISGA	QPEDEAEYYC	ALWYSNRWVF	100
GGGTKLTVLG	QPKAAPSVTL	FPPSEELQ	NKATLVCLIS	DFYPGAVTVA	150
WKADSSPVKA	GVETTTPSKQ	SNNKYAASSY	LSLTPEQWKS	HRSYSCQVTH	200
EGSTVEKTV	A				215

CD4 domain 1-IgG1 Fc (H"):

KKVVGKKGD	TVELTCTASQ	KKN<u>I</u>QFHWK	SNQIKILGNQ	GSFLTKGPK	50
LNDRVDSRS	LDWDQGNFPLI	IKNLKP<u>D</u>SD	TYICEVED<u>Q</u>	EEVQLVVVG<u>G</u>	100
<u>S</u> DKTHTCPPC	PAPE <u>A</u> GGPS	VFLFPFPKPD	T <u>L</u> <u>Y</u> <u>I</u> <u>P</u> EV	TCVVVDVSHE	150
DPEVKFNWV	DGVEVHN	AKT KPREEQYNST	YRVVSVLTVL	HQDWLNGKEY	200
KCKVSNKALP	<u>A</u> SI	KEKTISKA	KGQPREPQVY	TLLPSREEMT	250
KGFYPSDIV	EWESENQOPEN	NYKTPPVLD	SDGSFFLYSK	LTVDKSRWQQ	300
GNFVSCSVMH	EALHNHYTQK	SLSLSPGK			328

Mutations / Mutations / Mutaciones

IgG1 heavy chain: L²⁴²>A, L²⁴³>A, P³³⁹>S, T³⁷⁴>S, L³⁷⁶>A, Y⁴¹⁵>V, H⁴⁴³>R,
 CD4 domain 1- IgG1 Fc: L^{5'}>Y, S^{23"}>N, A^{55'}>V, I^{76'}>P, L^{96'}>V, F^{98'}>V, L^{115'}>A,
 L^{116'}>A, M^{133"}>Y, S^{135"}>I, T^{137"}>E, P^{212"}>S, T^{247"}>W

Peptide linker / Peptide liant / Péptido de unión
 100"GS101"

Post-translational modifications

Disulfide bridges location / Position des ponts disulfure / Posiciones de los puentes disulfuro

Intra heavy chain: 22-98, 152-208, 269-329, 375-433

Intra light chain: 22'-90', 137'-196'

Intra CD4 domain 1-IgG1 Fc: 16"-84", 142"-202", 248"-306"

Inter heavy chain - light chain: 228-214'

Inter heavy chain - CD4 domain 1-IgG1 Fc: 234-107", 237-110"

N-glycosylation sites / Sites de N-glycosylation / Posiciones de N-glicosilación

Heavy chain: N305

CD4 domain 1-IgG1 Fc: N178"

N-terminal glutaminyl cyclization / Cyclisation du glutaminyle N-terminal / Ciclación del glutaminilo N-terminal

Light chain: Q1' > pyroglutamyl (pE, 5-oxo-L-prolyl)

C-terminal lysine clipping / Coupe de la lysine C-terminale / Recorte de lisina C-terminal
 455 (heavy chain); 328" (CD4 domain 1-IgG1 Fc)

armocibartum

armocibart

immunoglobulin G4-kappa, anti-[*Homo sapiens* TFPI (tissue factor pathway inhibitor, extrinsic pathway inhibitor, EPI, lipoprotein-associated coagulation inhibitor, LACI)];

	H-gamma4 heavy chain (1-448) [VH Musmus/Homsap (<i>Mus musculus</i>) IGHV1-81*01 (85.7%)-(IGHD)-IGHJ3*01 (83.3%) A128>S (121)/ <i>Homo sapiens</i> IGHV1-18*01 (77.6%)-(IGHD)-IGHJ1*01 (100%), CDR-IMGT [8.8.14] (26-33.51-58.97-110)) (1-121) - <i>Homo sapiens</i> IGHG4*01, nG4m(a) CH2 L92, G4v5 h P10 (CH1 (122-219), hinge 1-12 S10>P (229) (220-231), CH2 L92 (310) (232-341), CH3 (342-446), CHS (447-448)) (122-448)], (135-219')-disulfide with L-kappa light chain (1'-219') [V-KAPPA Musmus/Homsap (<i>Mus musculus</i>) IGKV1-135*01 (86.0%) -IGKJ2*03 (81.8%) S120>Q (105'), L124>V (109')/ <i>Homo sapiens</i> IGKV2-29*02 (84.0%) -IGKJ1*01 (100%), CDR-IMGT [11.3.9] (27'-37'.55'-57'.94'-102')) (1'-112') - <i>Homo sapiens</i> IGKC*01 (100%) Km3 A45.1, V101 (C-KAPPA A45.1 (158'), V101 (196')) (113'-219')]; dimer (227-227":230-230")-bisdisulfide, produced in Chinese hamster ovary (CHO) cells, cell line CHO-K1, glycoform alfa
armocibart	immunoglobuline G4-kappa, anti-[<i>Homo sapiens</i> TFPI (inhibiteur de la voie du facteur tissulaire, inhibiteur de la voie extrinsèque, EPI, inhibiteur de la coagulation associé aux lipoprotéines, LACI)]; chaîne lourde H-gamma4 (1-448) [VH Musmus/Homsap (<i>Mus musculus</i>) IGHV1-81*01 (85.7%)-(IGHD)-IGHJ3*01 (83.3%) A128>S (121)/ <i>Homo sapiens</i> IGHV1-18*01 (77.6%)-(IGHD)-IGHJ1*01 (100%), CDR-IMGT [8.8.14] (26-33.51-58.97-110)) (1-121) - <i>Homo sapiens</i> IGHG4*01, nG4m(a) CH2 L92, G4v5 h P10(CH1 (122-219), charnière 1-12 S10>P (229) (220-231), CH2 L92 (310) (232-341), CH3 (342-446), CHS (447-448)) (122-448)], (135-219')-disulfure avec la chaîne légère L-kappa (1'-219') [V-KAPPA Musmus/Homsap (<i>Mus musculus</i>) IGKV1-135*01 (86.0%) -IGKJ2*03 (81.8%) S120>Q (105'), L124>V (109')/ <i>Homo sapiens</i> IGKV2-29*02 (84.0%) -IGKJ1*01 (100%), CDR-IMGT [11.3.9] (27'-37'.55'-57'.94'-102')) (1'-112') - <i>Homo sapiens</i> IGKC*01 (100%) Km3 A45.1, V101 (C-KAPPA A45.1 (158'), V101 (196')) (113'-219')]; dimère (227-227":230-230")-bisdisulfure, produit dans des cellules ovarianes de hamster chinois (CHO), lignée cellulaire CHO-K1, glycoforme alfa
armocibart	inmunoglobulina G4-kappa, anti-[<i>Homo sapiens</i> TFPI (inhibidor de la vía del factor tisular, inhibidor de la vía extrínseca, EPI, inhibidor de la coagulación asociada con las lipoproteínas, LACI)]; cadena pesada H-gamma4 (1-448) [VH Musmus/Homsap (<i>Mus musculus</i>) IGHV1-81*01 (85.7%)-(IGHD)-IGHJ3*01 (83.3%) A128>S (121)/ <i>Homo sapiens</i> IGHV1-18*01 (77.6%)-(IGHD)-IGHJ1*01 (100%), CDR-IMGT [8.8.14] (26-33.51-58.97-110)) (1-121) - <i>Homo sapiens</i> IGHG4*01, nG4m(a) CH2 L92, G4v5 h P10(CH1 (122-219), bisagra 1-12 S10>P (229) (220-231), CH2 L92 (310) (232-341), CH3 (342-446), CHS (447-448)) (122-448)], (135-219')-disulfuro con la cadena ligera L-kappa (1'-219') [V-KAPPA Musmus/Homsap (<i>Mus musculus</i>) IGKV1-135*01 (86.0%) -IGKJ2*03 (81.8%) S120>Q (105'), L124>V (109')/ <i>Homo sapiens</i> IGKV2-29*02 (84.0%) -IGKJ1*01 (100%), CDR-IMGT [11.3.9] (27'-37'.55'-57'.94'-102')) (1'-112') - <i>Homo sapiens</i> IGKC*01 (100%) Km3 A45.1, V101 (C-KAPPA A45.1 (158'), V101 (196')) (113'-219')]; dímero (227-227":230-230")-bisdisulfuro, producido en las células ováricas de hámster chino (CHO), línea celular CHO-K1, forma glicosilada alfa

Heavy chain / Chaîne lourde / Cadena pesada
 QVQLVQSGAE VKPGASVKV SCKASGYSFT SYGISWVKQA PGOGLEWIGE 50
 IYPRSTNTYY NEKFMGKATL TADKSSSTAY MELSSLRSED TAVYYCARES 100
 FYGDYGMADF WGQGTLVTVS SASTKGPSVF PLAPCSRSTS ESTAAIGCLV 150
 KDYFPEPVTV SWNSGALTSG VHTFFPAVLQS SGLYSLSSVV TVPSSSLGTE 200
 TYTCNVVDHKP SNTKVDKRVE SKYGPCCPPC PAPEFLGGPS VFVFPPPKPD 250
 TLMISRTPEV TCVVVDVSQE DPEVQFNWYV DGEVHNAKT KPREEQFNST 300
 YRVVSVLTVL HQDWLNGKEY CKCKVSNKGLP SSIETKISKA KGQPREFPVY 350
 TLPPSQEEMT KNQVSLTCLV KGFYPSDIAV EWESENQOPEN NYKTTTPVLD 400
 SDGSFFLYSR LTVDKSRWQE GNVFSCSVMH EALHNHYTQK SLSLSLGK 448

Light chain / Chaîne légère / Cadena ligera
 DIVLTQSPLS LPVPTGEPAS IFCKSSQSSL ESDGKTYLNW LLQKPGQSPQ 50
 RLIYLVSKLD SGVPDRFSGS GSSTGDFTLKI SRVEAEDVGV YYCSQGTHFP 100
 RTFGQGTKEVE IKRTVVAAPSV FIFPPSDEQL KSGTASVVCL LNNFYPREAK 150
 VQWKVDNALQ SGNSQESVTE QDSKDSTYSL SSTLTLSKAD YEKHKVYACE 200
 VTHHQGLSSPV TKSFNRGEC 219

Post-translational modifications

Disulfide bridges location / Position des ponts disulfure / Posiciones de los puentes disulfuro
 Intra-H (C23-C104) 22-96 148-204 262-322 368-426
 22"-96" 148"-204" 262"-322" 368"-426"
 Intra-L (C23-C104) 23-93" 139"-199"
 23"-93" 139"-199"
 Inter-H-L (CH1 10-CL 126) 135-219" 135"-219"
 Inter-H-H (h 8, h 11) 227-227" 230-230"

N-terminal glutaminyl cyclization / Cyclisation du glutaminyle N-terminal / Ciclación del glutaminilo N-terminal
 Q > pyroglutamyl (pE, 5-oxoprolyl) / pyroglutamyle (pE, 5-oxoprolyle) / piroglutamilo (pE, 5-oxoprolilo)
 H VH Q1: 1, 1"

N-glycosylation sites / Sites de N-glycosylation / Posiciones de N-glicosilación
 H CH2 N84.4: 298, 298"
 Fucosylated complex bi-antennary CHO-type glycans / glycanes de type CHO bi-antennaires complexes fucosylés / glicanos de tipo CHO biantenarios complejos fucosilados

C-terminal lysine clipping / Coupure de la lysine C-terminale / Recorte de lisina C-terminal
 H CHS K2: 448, 448"

arvenacogenum sanparvovecum #

arvenacogene sanparvovéc recombinant non-replicating adeno-associated virus serotype 5 (AAV5) vector encoding a codon-optimized gain of function variant (Padua variant, R338L) of human coagulation factor IX (FIX), under the control of a murine liver-specific transthyretin (TTR) promoter and human growth hormone polyadenylation signal, flanked by AAV2 inverted terminal repeats. A human beta-globin intron has been inserted between the promoter and the FIX coding region. The virus vector also contains mutations in the viral AAV5 capsid protein VP1 (S2A and T71S)

arvénacogène sanparvovéc vecteur recombinant, non réplicatif, du virus adéno-associé de sérotype 5 (AAV5) modifié, codant un variant de gain de fonction optimisé par codon (variant Padoue, R338L) du facteur IX de coagulation humain (FIX), sous contrôle d'un promoteur de la transthyrétilé hépatique murine (TTR) et d'un signal de polyadénylation de l'hormone de croissance humaine, flanqué de répétitions terminales inversées de l'AAV2. Un intron de bêta-globine humaine a été inséré entre le promoteur et la région codante FIX. Le vecteur viral contient également des mutations dans la protéine de capside VP1 de l'AAV5 (S2A et T71S)

arvenacogén sanparvovéc vector de virus adenoasociado del serotipo 5 (modificado) (AAV5), recombinante, no replicativo, que codifica, con codones optimizados, para una variante con ganancia de función (variante Padua, R338L) del factor de coagulación IX (FIX) humano, bajo el control de un promotor específico de hígado de

la transtirretina (TTR) murina y una señal de poliadenilación de la hormona de crecimiento humana, flanqueado por las repeticiones terminales invertidas del AAV2. Se ha insertado un intrón de la beta-globina humana entre el promotor y la región codificante de FIX. El vector viral también contiene mutaciones en la proteína de la cápsida VP1 de AAV5 (S2A y T711S)

asaretoclaxum

asaretoclox

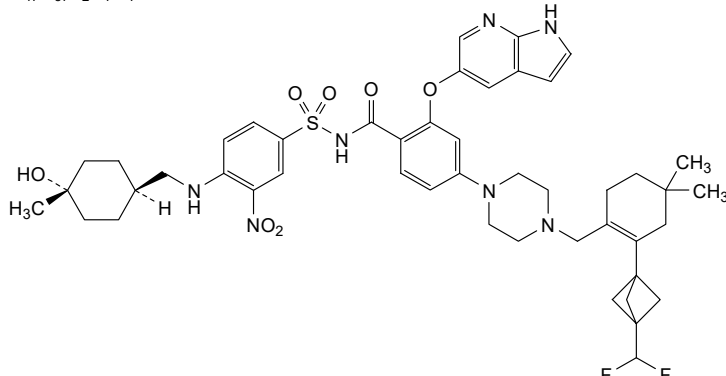
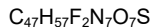
1^3 -(difluoromethyl)- N -[4-(([(1r,4r)-4-hydroxy-4-methylcyclohexyl]methyl]amino)-3-nitrobenzene-1-sulfonyl]-2 5 ,2 5 -dimethyl-7 1 H-6-oxa-7(5)-pyrrolo[2,3-b]pyridina-4(1,4)-piperazina-5(1,3)-benzena-2(1,2)-cyclohexana-1(1)-bicyclo[1.1.1]pentanaheptaphan-2 1 -ene-5 4 -carboxamide

asarétoclax

1^3 -(difluorométhyl)- N -[4-(([(1r,4r)-4-hydroxy-4-méthylcyclohexyl]méthyl]amino)-3-nitrobenzène-1-sulfonyl]-2 5 ,2 5 -diméthyl-7 1 H-6-oxa-7(5)-pyrrolo[2,3-b]pyridina-4(1,4)-pipérazina-5(1,3)-benzéná-2(1,2)-cyclohexana-1(1)-bicyclo[1.1.1]pentanaheptaphan-2 1 -ène-5 4 -carboxamide

asaretoclox

1^3 -(difluorometil)- N -[4-(([(1r,4r)-4-hidroxi-4-metilciclohexil]metil]amino)-3-nitrobenceno-1-sulfoniil]-2 5 ,2 5 -dimetil-7 1 H-6-oxa-7(5)-pirrolo[2,3-b]piridina-4(1,4)-piperazina-5(1,3)-bencena-2(1,2)-ciclohexana-1(1)-biciclo[1.1.1]pentanaheptafan-2 1 -eno-5 4 -carboxamida

**atenastobartum #**

atenastobart

immunoglobulin G1-lambda2, anti-[*Homo sapiens* TNFRSF9 (TNF receptor superfamily member 9, 4-1BB, T cell antigen ILA, CD137)], *Homo sapiens* monoclonal antibody;
H-gamma1 heavy chain *Homo sapiens* (1-450) [VH (*Homo sapiens* IGHV3-21*01 (90.8%) -(IGHD) -IGHJ4*01 (100%), CDR-IMGT [8.8.15] (26-33.51-58.97-111)) (1-122) -*Homo sapiens*IGHG1*03, G1m3, nG1m1 CH1 R120, CH3 E12, M14, G1v85 CH2 W1.2, N1.1, D30, K115, G1v87 CH2 R94, CH3 R1.2 (CH1 R120 (219) (123-220), hinge 1-15 (221-235), CH2 L1.2>W (240), G1.1>N (241), H30>D (273), Q94>R (316), A115>K (335) (236-345), CH3 E12 (361), M14 (363), P1.2>R (348) (346-450), CHS G1>del, K2>del)) (123-450)], (225-215')-disulfide with L-lambda2 light chain *Homo sapiens* (1'-216') [V-LAMBDA (*Homo sapiens* IGLV2-8*01 (93.5%) -IGLJ3*02 (100%), CDR-IMGT [9.3.10] (26'-34'.52'-54'.91'-100')) (1'-110') -*Homo sapiens* IGLC2*01 (100%) (C-LAMBDA2) (111'-216')]; dimer (231-231":234-234")-bisdisulfide, produced in Chinese hamster ovary (CHO) cells, cell line CHO-DXB11, glycoform alfa

aténastobart immunoglobuline G1-lambda2, anti-[*Homo sapiens* TNFRSF9 (membre 9 de la superfamille des récepteurs du TNF, 4-1BB, antigène ILA des cellules T, CD137)], anticorps monoclonal *Homo sapiens*; chaîne lourde H-gamma1 *Homo sapiens* (1-450) [VH (*Homo sapiens* IGHV3-21*01 (90.8%) -(IGHD) -IGHJ4*01 (100%), CDR-IMGT [8.8.15] (26-33.51-58.97-111)) (1-122) -*Homo sapiens* IGHG1*03, G1m3, nG1m1 CH1 R120, CH3 E12, M14, G1v85 CH2 W1.2, N1.1, D30, K115, G1v87 CH2 R94, CH3 R1.2 (CH1 R120 (219) (CH1 R120 (219) (123-220), charnière 1-15 (221-235), CH2 L1.2>W (240), G1.1>N (241), H30>D (273), Q94>R (316), A115>K (335) (236-345), CH3 E12 (361), M14 (363), P1.2>R (348) (346-450), CHS G1>del, K2>del)) (123-450)], (225-215')-disulfure avec la chaîne légère L-lambda2 *Homo sapiens* (1'-216') [V-LAMBDA (*Homo sapiens* IGLV2-8*01 (93.5%) -IGLJ3*02 (100%), CDR-IMGT [9.3.10] (26'-34'.52'-54'.91'-100')) (1'-110') -*Homo sapiens* IGLC2*01 (100%) (C-LAMBDA2) (111'-216')]; dimère (231-231":234-234")-bisdisulfure, produit dans des cellules ovarianes de hamster chinois (CHO), lignée cellulaire CHO-DXB11, glycoforme alfa

atenastobart immunoglobulina G1-lambda2, anti-[*Homo sapiens* TNFRSF9 (miembro 9 de la superfamilia de los receptores del TNF, 4-1BB, antígeno ILA de las células T, CD137)], anticuerpo monoclonal *Homo sapiens*; cadena pesada H-gamma1 *Homo sapiens* (1-450) [VH (*Homo sapiens* IGHV3-21*01 (90.8%) -(IGHD) -IGHJ4*01 (100%), CDR-IMGT [8.8.15] (26-33.51-58.97-111)) (1-122) -*Homo sapiens* IGHG1*03, G1m3, nG1m1 CH1 R120, CH3 E12, M14, G1v85 CH2 W1.2, N1.1, D30, K115, G1v87 CH2 R94, CH3 R1.2 (CH1 R120 (219) (CH1 R120 (219) (123-220), bisagra 1-15 (221-235), CH2 L1.2>W (240), G1.1>N (241), H30>D (273), Q94>R (316), A115>K (335) (236-345), CH3 E12 (361), M14 (363), P1.2>R (348) (346-450), CHS G1>del, K2>del)) (123-450)], (225-215')-disulfuro con la cadena ligera L-lambda2 *Homo sapiens* (1'-216') [V-LAMBDA (*Homo sapiens* IGLV2-8*01 (93.5%) -IGLJ3*02 (100%), CDR-IMGT [9.3.10] (26'-34'.52'-54'.91'-100')) (1'-110') -*Homo sapiens* IGLC2*01 (100%) (C-LAMBDA2) (111'-216')]; dímero (231-231":234-234")-bisdisulfuro, producido en las células ováricas de hámster chino (CHO), línea celular CHO-DXB11, forma glicosilada alfa

Heavy chain / Chaîne lourde / Cadena pesada
EVQLVESGGG LVKPGGSLRL SCAASGFTFS TFTMNWVRQA PGKGLEWVSS 50
ISSKGSYIYE PSNTKVKRTI SRDNKNSLRAED TAVYYCARYG 100
IKNELNWVFD YWGQGTLVTV SSATSKGPSPV FPLAPSSKST SGGAALGCL 150
VKDYFPEPVTT VSWNSGALT S GVHTFPVAILQ SSGLYSLSSV VTVPSSSLGT 200
QTYICVNHNK PSNTKVKDRV EPKSCDKTH C CCPCPAPEFLW NGPSVFLFPP 250
KPKDITLMISR TEVEPTCVVVD VSDEDEPEVKF NWYVYDGVEVH NAKTKPREEQ 300
YNSTYRVVSV LTVLHRDWLN GKEYKCKVSN KALPKPIEKT ISKAKGQRRE 350
PQVYTLPPSSR EEMTKNQVSL TCLVKGYFYP S DIAVEWESNG QPENNYKTPP 400
PVLDSDGSFF LYSKLTVDKS RWQQGNVFSC SVMHEALHNH YTQKSLSLSP 450

Light chain / Chaîne légère / Cadena ligera
QSALTQPPSA SGSPGQTVTI SCTGTSTDVG YYEYVSWYQQ HPGKAPKLM 50
YETSKRLLSGV PDRFSGSKSG NTASLTVSGL QAEDeadyyC SSYRYEHQVS 100
FGGGTQLTQLV GPQKAAPSVT LFPPSSEELQ ANKATLVCLI SDFYPGAVTV 150
AWKADDSPVK AGVETTTPSK QSNNKYAASS YLSLTPEQWK SHRSYSCQVT 200
HEGSTVEKTV APTECS 216

Post-translational modifications

Disulfide bridges location / Position des ponts disulfure / Posiciones de los puentes disulfuro
Intra-H (C23-C104) 22-96 149-205 266-326 372-430
22"-96" 149"-205" 266"-326" 372"-430"

Intra-L (C23-C104) 22"-90" 138"-197"
22"-90" 138"-197"

Inter-H-L (h 5-CL 126) 225-215' 225"-215"
Inter-H-H (h 11, h 14) 231-231" 234-234"

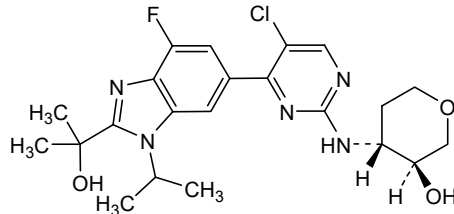
N-terminal glutaminyl cyclization / Cyclisation du glutaminyle N-terminal / Ciclación del glutamilo N-terminal
Q > pyroglutamyl (pE, 5-oxoprolyl) / pyroglutamyle (pE, 5-oxoprolile) / piroglutamilo (pE, 5-oxoprolilo)
L VL V-LAMBDA Q1: 1', 1""

N-glycosylation sites / Sites de N-glycosylation / Posiciones de N-glicosilación
H CH2 N84.4: 302, 302"

Fucosylated complex bi-antennary CHO-type glycans / glycanes de type CHO bi-antennaires complexes fucosylés / glicanos de tipo CHO biantenarios complejos fucosilados

atirmociclibum

- atirmociclib (3S,4R)-4-({5-chloro-4-[4-fluoro-2-(2-hydroxypropan-2-yl)-1-(propan-2-yl)-1H-1,3-benzimidazol-6-yl]pyrimidin-2-yl}amino)oxan-3-ol
- atirmociclib (3S,4R)-4-({5-chloro-4-[4-fluoro-2-(2-hydroxypropan-2-yl)-1-(propan-2-yl)-1H-1,3-benzimidazol-6-yl]pyrimidin-2-yl}amino)oxan-3-ol
- atirmociclib (3S,4R)-4-({5-cloro-4-[4-fluoro-2-(2-hidroxipropan-2-il)-1-(propan-2-il)-1H-1,3-benzimidazol-6-il]pirimidin-2-il}amino)oxan-3-ol

**azerutamigum #**

- azerutamig immunoglobulin (H-gamma1_L-kappa)_scFvkh-H-gamma1(h-CH2-CH3), anti-[*Homo sapiens* KLRK1 (killer cell lectin like receptor K1, NKG2D, KLR, NKG2-D, CD314)] and anti-[*Homo sapiens* ERBB2 (epidermal growth factor receptor 2, receptor tyrosine-protein kinase erbB-2, EGFR2, HER2, HER-2, p185c-erbB2, NEU, CD340)], *Homo sapiens* and humanized monoclonal antibody, bispecific; H-gamma1 heavy chain *Homo sapiens*, anti-KLRK1 (1-451) [VH (*Homo sapiens* IGHV3-21*01 (100%) -(IGHD) -IGHJ5*02 (100%), CDR-IMGT [8.8.15] (26-33.51-58.97-111)) (1-122) -*Homo sapiens* IGHG1*01 G1m17.1 CH1 K120, CH3 D12, L14, G1v75 CH3 C5, G1v90 E16, W88 (CH1 K120 (219) (123-220), hinge 1-15 (221-235), CH2 (236-345), CH3 Y5>C (354), D12 (361), L14 (363), K16>E (365), K88>W (414) (346-450), CHS K2>del (451)) (123-451)], (225-214')-disulfide with L-kappa light chain *Homo sapiens*, anti-KLRK1 (1'-214') [V-KAPPA (*Homo sapiens* IGKV1-12*01 (97.9%) -IGKJ4*01 (100%), CDR-IMGT [6.3.9] (27'-32'.50'-52'.89'-97')) (1'-107') -*Homo sapiens* IGKC*01 (100%) Km3 A45.1, V101 (C-KAPPA A45.1 (153'), V101 (191')) (108'-214')]; scFvkh-G1(h-CH2-CH3) heavy chain humanized, anti-ERBB2 (1"-475") [V-KAPPA (*Homo sapiens* IGKV1-39*01 (86.3%) -IGKJ1*01 (90.9%) Q120>C (100"), CDR-IMGT [6.3.9] (27"-32".50"-52".89"-97")) (1"-107") -20-mer tetrakis(tetraglycyl-seryl) linker (108"-127") -VH (*Homo sapiens* IGHV3-66*01 (80.6%) -(IGHD) -IGHJ4*01 (100%), CDR-IMGT [8.8.13] (153"-160".178"-185".224"-236")) (128"-247") -2-mer alanyl-seryl linker (248"-249") -*Homo sapiens* IGHG1*01 h-CH2-CH3 G1m1 CH3 D12, L14, G1v74 CH3 C10, G1v91 R3, V84.2, T85.1 (hinge 6-15 (250"-259"), CH2 (260"-369"), CH3 Q3>R (376"), S10>C (383"), D12 (385"), L14 (387"), D84.2>V (428"), F85.1>T (434") (370"-474"), CHS K2>del (475") (250"-475")]; dimer (231-255": 234-258":354-383")-trisdisulfide, produced in Chinese hamster ovary (CHO) cells, cell line CHO-K1, glycoform alfa

azérutamig

- immunoglobuline (H-gamma1_L-kappa)_scFvkh-H-gamma1(h-CH2-CH3), anti-[*Homo sapiens* KLRK1 (récepteur lectine like K1 de cellule tueuse, NKG2D, KLR, NKG2-D, CD314)] et anti-[*Homo sapiens* ERBB2 (récepteur 2 du facteur de croissance épidermique, récepteur tyrosine-protéine kinase erbB-2, EGFR2, HER2, HER-2, p185c-erbB2, NEU, CD340)], anticorps monoclonal *Homo sapiens* et humanisé, bispécifique;

chaîne lourde H-gamma1 *Homo sapiens*, anti-KLRK1 (1-451) [VH (*Homo sapiens* IGHV3-21*01 (100%) -(IGHD) -IGHJ5*02 (100%), CDR-IMGT [8.8.15] (26-33.51-58.97-111)) (1-122) -*Homo sapiens* IGHG1*01 G1m17,1 CH1 K120, CH3 D12, L14, G1v75 CH3 C5, G1v90 E16, W88 (CH1 K120 (219) (123-220), charnière 1-15 (221-235), CH2 (236-345), CH3 D12 (361), L14 (363), Y5>C (354), K16>E (365), K88>W (414) (346-450), CHS K2>del (451)) (123-451)], (225-214')-disulfure avec la chaîne légère L-kappa *Homo sapiens*, anti-KLRK1 (1'-214') [V-KAPPA (*Homo sapiens* IGKV1-12*01 (97.9%) -IGKJ4*01 (100%), CDR-IMGT [6.3.9] (27'-32'.50'-52'.89'-97')) (1'-107') -*Homo sapiens* IGKC*01 (100%) Km3 A45.1, V101 (C-KAPPA A45.1 (153'), V101 (191')) (108'-214')]; chaîne lourde scFvkh-G1(h-CH2-CH3) humanisée, anti-ERBB2 (1"-475") [V-KAPPA (*Homo sapiens* IGKV1-39*01 (86.3%) -IGKJ1*01 (90.9%) Q120>C (100"), CDR-IMGT [6.3.9] (27"-32".50"-52".89"-97")) (1"-107") -20-mer tétrakis(tétraglycyl-séryl) linker (108"-127") -VH (*Homo sapiens* IGHV3-66*01 (80.6%) -(IGHD) -IGHJ4*01 (100%), CDR-IMGT [8.8.13] (153"-160".178"-185".224"-236")) (128"-247") -2-mer alanil-séryl linker (248"-249") -*Homo sapiens* IGHG1*01 h-CH2-CH3, G1m1 CH3 D12, L14, G1v74 CH3 C10, G1v91 R3, V84.2, T85.1 (charnière 6-15 (250"-259"), CH2 (260"-369"), CH3 Q3>R (376"), S10>C (383"), D12 (385"), L14 (387"), D84.2>V (428"), F85.1>T (434") (370"-474"), CHS K2>del (475")) (250"-475")]; dimère (231-255": 234-258":354-383")-tridisulfure, produit dans des cellules ovaries de hamster chinois (CHO), lignée cellulaire CHO-K1, glycoforme alfa

azerutamig

inmunoglobulina (H-gamma1_L-kappa)_scFvkh-H-gamma1(h-CH2-CH3), anti-[*Homo sapiens* KLRK1 (receptor lectin like K1 de células tumorales, NKG2D, KLR, NKG2-D, CD314)] y anti-[*Homo sapiens* ERBB2 (receptor 2 del factor de crecimiento epidérmico, receptor tirosina-proteína kinasa erbB-2, EGFR2, HER2, HER-2, p185c-erbB2, NEU, CD340)], anticuerpo monoclonal *Homo sapiens* y humanizado, biespecífico; cadena pesada H-gamma1 *Homo sapiens*, anti-KLRK1 (1-451) [VH (*Homo sapiens* IGHV3-21*01 (100%) -(IGHD) -IGHJ5*02 (100%), CDR-IMGT [8.8.15] (26-33.51-58.97-111)) (1-122) -*Homo sapiens* IGHG1*01 G1m17,1 CH1 K120, CH3 D12, L14, G1v75 CH3 C5, G1v90 E16, W88 (CH1 K120 (219) (123-220), bisagra 1-15 (221-235), CH2 (236-345), CH3 D12 (361), L14 (363), Y5>C (354), K16>E (365), K88>W (414) (346-450), CHS K2>del (451)) (123-451)], (225-214')-disulfuro con la cadena ligera L-kappa *Homo sapiens*, anti-KLRK1 (1'-214') [V-KAPPA (*Homo sapiens* IGKV1-12*01 (97.9%) -IGKJ4*01 (100%), CDR-IMGT [6.3.9] (27'-32'.50'-52'.89'-97')) (1'-107') -*Homo sapiens* IGKC*01 (100%) Km3 A45.1, V101 (C-KAPPA A45.1 (153'), V101 (191')) (108'-214')]; cadena pesada scFvkh-G1(h-CH2-CH3) humanizada, anti-ERBB2 (1"-475") [V-KAPPA (*Homo sapiens* IGKV1-39*01 (86.3%) -IGKJ1*01 (90.9%) Q120>C (100"), CDR-IMGT [6.3.9] (27"-32".50"-52".89"-97")) (1"-107") -20-mer tétrakis(tétraglicil-séryl) linker (108"-127") -VH (*Homo sapiens* IGHV3-66*01 (80.6%) -(IGHD) -IGHJ4*01 (100%), CDR-IMGT [8.8.13] (153"-160".178"-185".224"-236")) (128"-247") -2-mer alanil-séryl linker (248"-249") -*Homo sapiens* IGHG1*01 h-CH2-CH3, G1m1 CH3 D12, L14, G1v74 CH3 C10, G1v91 R3, V84.2, T85.1 (bisagra 6-15 (250"-259"), CH2 (260"-369"), CH3 Q3>R (376"), S10>C (383"), D12 (385"), L14 (387"), D84.2>V (428"), F85.1>T (434") (370"-474"), CHS K2>del (475")) (250"-475")]; dímero (231-255": 234-258":354-383")-tridisulfuro, producido en las células ováricas de hamster chino (CHO), línea celular CHO-K1, forma glicosilada alfa

Heavy chain / Chaîne lourde / Cadena pesada: H-gamma1 anti-KLRK1 (H)
 EVQLVESGGG LVKPGGSRLR SCAASGGFTS SYSMNNWVRQA PGKGLEWVSS 50
 ISSSSYYIY ADSVKRGRFTI SRDNAKNSLY LQMNSLRAED TAVYYCARGA 100
 PMGAAAGGWED PWGQGTLTVV SSASTKGPSV FPLAPSSKST SGGTAALGCL 150
 VKDYFPFEPVT VSWNSGALT S GVHTFPVALQ SSGLYSILSSV VTFPSSSLGT 200
 QTYICVNHHK PSNTKVDKVV EPKSCDKTHT CPPCPAPELL GGFSVFLFPP 250
 KPKDTLMISR TPEVTCVVVD VSHEDPEVKF NWYVGDVEVN NAKTKPREEQ 300
 YNSTYRVSVL LTVLHQDWLN GKEYKCKVSN KALEPAPIEKT ISKAKGQPREG 350
 PQVCTLPPSR DELTEQNQVSL TCLVKGFYPS DIAVEWESNG QPENNYKTTP 400
 PVLDSDGSFF LYSLWLTVDKS RWQQGNVFSC SVMHEALHN YTKQKSLSLSP 450
 G 451

Light chain / Chaîne légère / Cadena ligera: L-kappa anti-KLRK1 (L')
 DIQMTQSPSS VSASVGDRVT ITCRASQGIV SWLAWYQQKP GKAPKLIIY 50
 ASSLQSGVPSS RFSGSGSGTD FTLTISLQP EDFATYVQCG QVSFPRTFGG 100
 GTKVEIKRTV AAPSVFIFP SDEQLKSGTA SVVCLINNNFY PREAKVQWVK 150
 DNALQSGNSQ ESVTEQDSKD STYLSLSSLT LSKADYEKKH VYACEVTHQG 200
 LSSPVTKSFN RGE 214

Heavy chain / Chaîne lourde / Cadena pesada: scFvkh anti-ERBB2 -H-gamma1 (h-CH2-CH3) (H")
 DIQMTQSPSS LSASVGDRVT ITCRASQDVN TAVAWYQQKP GKAPKLIIY 50
 ASFLYSGVFS RFSGSGSGTD FTLTISLQP EDFATYVQCG QVSFPRTFGG 100
 GTKVEIKGGG GSAGGGGGGG GSAGGGGSEVQ LVESGGLVQ PGGSRLRSCA 150
 ASGFGNIKDDY IHWVRQAFGK CLEWVARIYP TNGYTRYADS VKGRFTISAD 200
 TSKNTAYLQM NSLRAEDTAV YYCSRGWGGDG FYAMDYWQCG TLTVVSSASD 250
 KTHTCPFCPA PELLGGPSVLF PPPKPKDTL MISRTPEVTC VVVVDSHEDP 300
 EVKFNWYVDG VEVHNAKTPP REEQYNSTYR VVSVLTVLHQ DWLNGKEYKC 350
 KVSNKALPAP IEKTISKAKG QPREFPRVYPTL PPCRDELTKA QVSLTCLVKG 400
 FYPDSIAVEW ESNQOPENNY KTTFPVVLSD GSFTLYSKLT VDKSRWQGQN 450
 VFSCSVMHEA LHNHYTQKSL SLSPG 475

Post-translational modifications

Disulfide bridges location / Position des ponts disulfure / Posiciones de los puentes disulfuro
 Intra-H (C23-C104) 22-96 149-205 266-326 372-430

23"-88" 149"-223" 290"-350" 396"-454"

Intra-H scFv VL120-VH49* 100"-171"

Intra-L (C23-C104) 23"-88" 134"-194"

Inter-H-L (CH1 10-CL 126) 225-214"

Inter-H-H (h 8, h 11) 231-255" 234-258"

Inter-H-H (CH3 C5-C10)** 354-383"

*engineered additional disulfide bond C120 (VL)-C49 (VH) to stabilize the scFv (variant scFv-v2).

**variants G1v75 (CH3 C5) and G1v74 (CH3 C10) creating an additional inter-H-H disulfide bond.

N-glycosylation sites / Sites de N-glycosylation / Posiciones de N-glicosilación

H CH2 N84.4: 302, 326"

Fucosylated complex bi-antennary CHO-type glycans / glycanes de type CHO bi-antennaires complexes fucosylés / glicanos de tipo CHO biantenarios complejos fucosilados.

balinatunfibum

balinatunfib

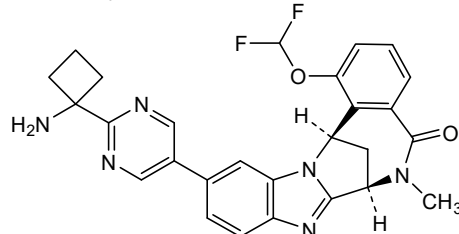
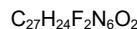
(*R*,*R*)-11-[2-(1-aminocyclobutyl)pyrimidin-5-yl]-1-(difluoromethoxy)-6-methyl-6,7-dihydro-7,14-methano[1,3]benzimidazo[1,2-*b*][2,5]benzodiazocin-5(*14H*)-one

balinatunfib

(*R*,*R*)-11-[2-(1-aminocyclobutyl)pyrimidin-5-yl]-1-(difluorométhoxy)-6-méthyl-6,7-dihydro-7,14-méthano[1,3]benzimidazo[1,2-*b*][2,5]benzodiazocin-5(*14H*)-one

balinatunfib

(*R*,*R*)-11-[2-(1-aminociclobutil)pirimidin-5-il]-1-(difluorometoxi)-6-metil-6,7-dihidro-7,14-metano[1,3]bencimidazo[1,2-*b*][2,5]benzodiazocin-5(*14H*)-ona



bavebegenum tovaccineum #

bavebegene tovaccine recombinant non-replicating vaccinia virus (Modified Vaccinia Ankara strain [MVA]) encoding two codon-optimised fusion proteins adjacent to one another containing hepatitis B virus (HBV) antigens, with the first one comprising the C-terminal region of the HBV Pre-S1 protein, Pre-S2, a non-functional polymerase, the pre-core antigen, and the core antigen, preceded by a shark Invariant (Sli) chain sequence and under control of the endogenous MVA F11 promoter and the vaccinia virus early termination signal. The second fusion protein comprises the signal peptide from tissue plasminogen activator (tpA), the N-terminal fragment of the HBVPre-S1 protein, and the HBV surface antigen (HBsAg) under control of a modified H5 promoter

bavébégène tovaccine virus de la vaccine recombinant non répliquant (modifié de la vaccine souche Ankara [MVA]), qui code deux protéines de fusion optimisées par codon, adjacentes, contenant des antigènes du virus de l'hépatite B (VHB), la première comprenant la région C-terminale de la protéine Pré-S1 du VHB, Pré-S2, une polymérase non fonctionnelle, l'antigène pré-core, et l'antigène core, tous précédés d'une séquence dérivée de la chaîne invariante de requin (Sli) et sous le contrôle du promoteur MVA F11 endogène et du signal d'arrêt précoce du virus de la vaccine. La seconde protéine de fusion comprend le peptide signal de l'activateur tissulaire du plasminogène (Atp), le fragment N-terminal de la protéine Pré-S1 du VHB et l'antigène de surface du VHB (AgHB) sous le contrôle d'un promoteur H5 modifié

bavebegén tovaccine virus vaccinia no replicativo, recombinante (Vaccinia cepa Ankara Modificado [MVA]) que codifica, con codones optimizados, para dos proteínas de fusión adyacentes que contienen antígenos del virus de la hepatitis B (VHB), la primera de las cuales consta de la región C-terminal de la proteína Pre-S1 del HBV, Pre-S2, una polimerasa no funcional, el antígeno pre núcleo y el antígeno del núcleo, todos precedidos por una secuencia de la cadena Invariable de tiburón (Sli) y bajo el control de del promotor endógeno MVA F11 y la señal de terminación temprana del virus vaccinia. La segunda proteína de fusión consta del péptido señal del activador del plasminógeno tisular (tpA), el fragmento N-terminal de la proteína pre-S1 del VHB y el antígeno de superficie del VHB (HbSAg), bajo el control de un promotor H5 modificado

becotatugum vedotinum #

becotatug vedotin immunoglobulin G1-kappa, anti-[*Homo sapiens* EGFR (epidermal growth factor receptor, receptor tyrosine-protein kinase erbB-1, ERBB1, HER1, HER-1, ERBB)], humanized monoclonal antibody, conjugated on an average of four cysteinyl residues to *vedotin*, comprising a cleavable linker and monomethylauristatin E (MMAE); H-gamma1 heavy chain humanized (1-449) [VH (*Homo sapiens* IGHV4-4*08 (79.4%) -(IGHD) -IGHJ4*01 (92.9%), CDR-IMGT [8.7.13] (26-33.51-57.96-108)) (1-119) -*Homo sapiens*IGHG1*03 (100%) G1m3, nG1m1 (CH1 R120 (216) (120-217), hinge 1-15 (218-232), CH2 (233-342), CH3 E12 (358), M14 (360) (343-447), CHS (448-449)) (120-449)], (222-214')-disulfide with L-kappa light chain humanized (1'-214') [V-KAPPA (*Homo sapiens* IGKV6-21*02 (89.5%) -IGKJ2*03 (100%), CDR-IMGT [6.3.9] (27-32.50-52.89-97)) (1'-107') -*Homo sapiens* IGKC*01 (100%) Km3 A45.1, V101 (C-KAPPA A45.1 (153'), V101 (191')) (108'-214')]; dimer (228-228": 231-231")-bisdisulfide, produced in Chinese hamster ovary (CHO)

cells, cell line CHO-S, glycoform alfa; substituted at the sulfur atoms of four L-cysteinyl residues on an average among 222, 228, 231, 214', 222", 228", 231" and 214" with a group consisting of (3RS)-1-(6-{{(2S)-1-{{(2S)-5-(carbamoylamino)-1-4-{{(2S)-1-{{(3R,4S,5S)-1-{{(2S)-2-[(1R,2R)-3-{{(1S,2R)-1-hydroxy-1-phenylpropan-2-yl]amino}-1-methoxy-2-methyl-3-oxopropyl]pyrrolidin-1-yl}-3-methoxy-5-methyl-1-oxoheptan-4-yl}(methyl)amino}-3-methyl-1-oxobutan-2-yl]amino}-3-methyl-1-oxobutan-2-yl}(methyl)carbamoyl]oxy)methyl]anilino}-1-oxopentan-2-yl]amino}-3-methyl-1-oxobutan-2-yl]amino}-6-oxohexyl)-2,5-dioxopyrrolidin-3-yl (*vedotin*)

bécotatug védotine

immunoglobuline G1-kappa, anti-[*Homo sapiens* EGFR (récepteur du facteur de croissance épidermique, récepteur tyrosine-protéine kinase erbB1, ERBB1, HER1, HER-1, ERBB)], anticorps monoclonal humanisé, conjugué, par quatre résidus cystéinylo en moyenne à la *védotine*, comprenant un linker clivable et monométhylauristatine E (MMAE); chaîne lourde H-gamma1 humanisée (1-449) [VH (*Homo sapiens* IGHV4-4*08 (79.4%) -(IGHD) - IGHJ4*01 (92.9%), CDR-IMGT [8.7.13] (26-33.51-57.96-108)) (1-119) -*Homo sapiens*IGHG1*03 (100%) G1m3, nG1m1 (CH1 R120 (216) (120-217), charnière 1-15 (218-232), CH2 (233-342), CH3 E12 (358), M14 (360) (343-447), CHS (448-449)) (120-449)], (222-214')-disulfure avec la chaîne légère L-kappa humanisée (1'-214') [V-KAPPA (*Homo sapiens* IGKV6-21*02 (89.5%) -IGKJ2*03 (100%), CDR-IMGT [6.3.9] (27-32.50-52.89-97)) (1'-107') -*Homo sapiens* IGKC*01 (100%) Km3 A45.1, V101 (C-KAPPA A45.1 (153'), V101 (191')) (108'-214')]; dimère (228-228": 231-231")-bisdisulfure, produit dans des cellules ovariques de hamster chinois (CHO), lignée cellulaire CHO-S, glycoforme alfa; substitué sur l'atome de soufre de quatre résidus L-cystéinylo en moyenne parmi 222, 228, 231, 214', 222", 228", 231" et 214" avec un groupe (3RS)-1-(6-{{(2S)-1-{{(2S)-5-(carbamoylamino)-1-4-{{(2S)-1-{{(3R,4S,5S)-1-{{(2S)-2-[(1R,2R)-3-{{(1S,2R)-1-hydroxy-1-phenylpropan-2-yl]amino}-1-méthoxy-2-méthyl-3-oxopropyl]pyrrolidin-1-yl}-3-méthoxy-5-méthyl-1-oxoheptan-4-yl}(methyl)amino}-3-méthyl-1-oxobutan-2-yl]amino}-3-méthyl-1-oxobutan-2-yl}(methyl)carbamoyl]oxy)méthyl]anilino}-1-oxopentan-2-yl]amino}-3-méthyl-1-oxobutan-2-yl]amino}-6-oxohexyl)-2,5-dioxopyrrolidin-3-ylo (*vedotin*)

becotatug vedotina

inmunoglobulina G1-kappa, anti-[*Homo sapiens* EGFR (receptor del factor de crecimiento epidérmico, receptor proteína-tirosina kinasa erbB1, ERBB1, HER1, HER-1, ERBB)], anticuerpo monoclonal humanizado, conjugado, en una media de cuatro residuos cisteinilo a la *vedotina*, que comprende un enlace escindible y monometilauristatina E (MMAE); cadena pesada H-gamma1 humanizada (1-449) [VH (*Homo sapiens* IGHV4-4*08 (79.4%) -(IGHD) - IGHJ4*01 (92.9%), CDR-IMGT [8.7.13] (26-33.51-57.96-108)) (1-119) -*Homo sapiens*IGHG1*03 (100%) G1m3, nG1m1 (CH1 R120 (216) (120-217), bisagra 1-15 (218-232), CH2 (233-342), CH3 E12 (358), M14 (360) (343-447), CHS (448-449)) (120-449)], (222-214')-disulfuro con la cadena ligera L-kappa humanizada (1'-214') [V-KAPPA (*Homo sapiens* IGKV6-21*02 (89.5%) -IGKJ2*03 (100%), CDR-IMGT [6.3.9] (27-32.50-52.89-97)) (1'-107') -*Homo sapiens* IGKC*01 (100%) Km3 A45.1, V101 (C-KAPPA A45.1 (153'), V101 (191')) (108'-214')]; dímero (228-228": 231-231")-bisdisulfuro, producido en las células ováricas de hamster chino (CHO), línea celular CHO-S, forma glicosilada alfa; sustituido en el átomo de azufre de cuatro residuos L-cisteinilo en una media entre 222, 228, 231, 214', 222", 228", 231" y 214" con un grupo (3RS)-1-(6-{{(2S)-1-{{(2S)-5-(carbamoylamino)-1-4-{{(2S)-1-{{(3R,4S,5S)-1-{{(2S)-2-[(1R,2R)-3-{{(1S,2R)-1-hidroxi-1-fenilpropan-2-yl]amino}-1-metoxi-2-metil-3-oxopropil]pirrolidin-1-yl}-3-metoxi-5-metil-1-oxoheptan-4-yl](methyl)amino}-3-metil-1-oxobutan-2-yl]amino}-3-metil-1-oxobutan-2-yl](methyl)carbamoyl]oxy)methyl]anilino}-1-oxopentan-2-yl]amino}-6-oxohexil)-2,5-dioxopyrrolidin-3-ilo (*vedotina*)

Heavy chain / Chaîne lourde / Cadena pesada

QVQLQESGPG LVKPSLTLV TCTVSGFSL SYDVKHWRQA PGKGLELGV 50
 IWSGGNTDYN TPFTSRITIS VDTSKNQFLS KLSSVTAADT AVYYCARALD 100
 YYDIEFAYWG QGTIVTVSSA STKGPSVFPL APSSKSTSGG TAALCCLVKD 150
 YFPEPVITVSW NSGALTSGVH TPAPAVLQSSC LYSSLSSVTTV PSSSLGQTYY 200
 ICNVNHRKPSN TKVDKRVEPK SCDKTHCTPP CDAPELLGDP SVFLFPPKPK 250
 DTLMSRTPE VTCVVVDVSH EDPEVKFNWY VGDEVHNNAK TKPREEQYNS 300
 TYRVVSVLTV LHQDWLNGKE YCKVKSNAK PAPIEKTISR AKGQPREFQV 350
 YTLPSPREEM TKNQVSLTCL VKGFYPSDIA VEWESENQOPR NNYKTTPEV L 400
 DSDGSFFLYS KLTVDKSRWQ QGNVFSCSVM HEALHNHYTQ KSLSLSPGK 449

Light chain / Chaîne légère / Cadena ligera

EIVLITQSPDF QSVTPKEKVT ITCRASQSGT TNIHWYQQKP DQSPKLILY 50
 ASESIISGIPS RFSGSGSGTD FTIITNSLEA EDAATYYCQQ NNEWPTSEFG 100
 GTKLEIKRTV AAPSVFIFPP SDEQLKSGTA SVVCLNNFY PREAKVQWKV 150
 DNAIQSGNSQ ESVTEQDSKD STYSLSLT LSKADYEKHE VYACEVTHQG 200
 LSSPVTKFSN RGEC 214

Post-translational modifications

Disulfide bridges location / Position des ponts disulfure / Posiciones de los puentes disulfuro
 Intra-H (C23-C104) 22*-95 146-202 263-323 369-427
 22"-95" 146"-202" 263"-323" 369"-427"

Intra-L (C23-C104) 23"-88" 134"-194"
 23"-88" 134"-194""

Inter-H-L (h 5-CL 126) 222-214" 222"-214"

Inter-H-H (h 11, h 14)* 228-228" 231-231"

*At least two of the four inter-chain disulfide bridges are not present, an average of four cysteinyl being conjugated each via a thioether bond to a drug linker.

*Au moins deux des quatre ponts disulfures inter-châines ne sont pas présents, quatre cystéinyl en moyenne étant chacun conjugué via une liaison thioéther à un linker-principe actif.

*Al menos dos de los cuatro puentes disulfuro inter-catenarios no están presentes, una media de cuatro cisteínil está conjugada a conectores de principio activo.

N-terminal glutaminyl cyclization / Cyclisation du glutaminyle N-terminal / Ciclación del glutamínilo N-terminal

Q> pyroglutamyl (pE, 5-oxoprolyl) / pyroglutamyle (pE, 5-oxoprolile) / piroglutamilo (pE, 5-oxoprolico)

H VH Q1: I, I"

N-glycosylation sites / Sites de N-glycosylation / Posiciones de N-glicosilación

H CH2 N84.4: 299, 299"

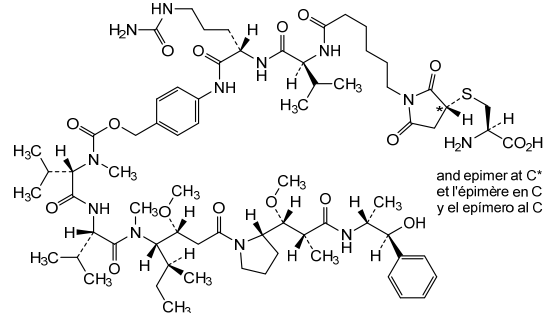
Fucosylated complex bi-antennary CHO-type glycans / glycanes de type CHO bi-antennaires complexes fucosylés / glicanos de tipo CHO biantenarios complejos fucosilados.

C-terminal lysine clipping / Coupage de la lysine C-terminale / Recorte de lisina C-terminal
 H CHS K2: 449, 449"

Potential modified residues / résidus modifiés potentiels / restos modificados potenciales*

C (222, 228, 231, 214, 222", 228", 231", 214")

*(vedotin:mAb ~ 4:1)

**beroterkibum**

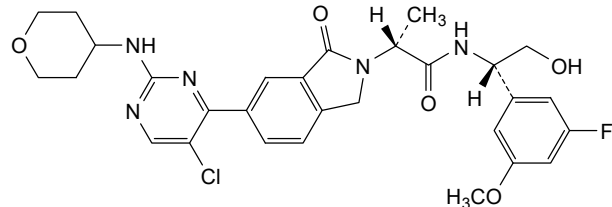
beroterkib

(2*R*)-2-(6-(5-chloro-2-[(oxan-4-yl)amino]pyrimidin-4-yl)-1,3-dihydro-2*H*-1-oxoisindol-2-yl)-*N*-(*(1S*)-1-(3-fluoro-5-methoxyphenyl)-2-hydroxyethyl)propanamide

béroterkib

(2*R*)-2-(6-(5-chloro-2-[(oxan-4-yl)amino]pyrimidin-4-yl)-1,3-dihydro-2*H*-1-oxoisindol-2-yl)-*N*-(*(1S*)-1-(3-fluoro-5-méthoxyphényl)-2-hydroxyéthyl)propanamide

beroterkib
 (2R)-2-(6-{5-cloro-2-[(oxan-4-il)amino]pirimidin-4-il}-1-oxo-1,3-dihidro-2H-isoindol-2-il)-N-[(1S)-1-(3-fluoro-5-metoxifenil)-2-hidroxietil]propanamida



betinukibartum #

betinukibart

immunoglobulin G1-kappa, anti-[*Homo sapiens* IL17A (interleukin 17A, IL-17A)];
 H-gamma1 heavy chain (1-447) [VH (*Homo sapiens*IGHV7-4-1*02 (90.7%) -(IGHD) -IGHJ4*01 (93.3%) L123>T (112), CDR-IMGT [8.8.10] (26-33.51-58.97-106)) (1-117) -*Homo sapiens* IGHG1*03, G1m3, nG1m1 CH1 R120, CH3 E12, M14, G1v14 CH2 A1.3, A1.2 (CH1 R120 (214) (118-215), hinge (216-230), CH2 L1.3>A (234), L1.2>A (235) (231-340), CH3 E12 (356), M14 (358) (341-445), CHS (446-447)) (118-447)], (220-219')-disulfide with L-kappa light chain (1'-219') [V-KAPPA Musmus/Homsap (*Mus musculus* IGKV1-110*01 (89.0%) -IGKJ2*01 (100%)/*Homo sapiens* IGKV2-28*01 (82.0%) -IGKJ2*01 (91.7%) Q120>G (105'), CDR-IMGT [11.3.9] (27'-37'.55'-57'.94'-102')) (1'-112') -*Homo sapiens* IGKC*01 (100%) Km3 A45.1, V101 (C-KAPPA A45.1 (158'), V101 (196')) (113'-219')]; dimer (226-226":229-229")-bisdisulfide, produced in Chinese hamster ovary (CHO) cells, cell line CHO-K1, glycoform alfa

bétinukibart

immunoglobuline G1-kappa, anti-[*Homo sapiens* IL17A (interleukine 17A, IL-17A)];
 chaîne lourde H-gamma1 (1-447) [VH (*Homo sapiens*IGHV7-4-1*02 (90.7%) -(IGHD) -IGHJ4*01 (93.3%) L123>T (112), CDR-IMGT [8.8.10] (26-33.51-58.97-106)) (1-117) -*Homo sapiens* IGHG1*03, G1m3, nG1m1 CH1 R120, CH3 E12, M14, G1v14 CH2 A1.3, A1.2 (CH1 R120 (214) (118-215), charnière (216-230), CH2 L1.3>A (234), L1.2>A (235) (231-340), CH3 E12 (356), M14 (358) (341-445), CHS (446-447)) (118-447)], (220-219')-disulfure avec la chaîne légère L-kappa (1'-219') [V-KAPPA Musmus/Homsap (*Mus musculus* IGKV1-110*01 (89.0%) -IGKJ2*01 (100%)/*Homo sapiens* IGKV2-28*01 (82.0%) -IGKJ2*01 (91.7%) Q120>G (105'), CDR-IMGT [11.3.9] (27'-37'.55'-57'.94'-102')) (1'-112') -*Homo sapiens* IGKC*01 (100%) Km3 A45.1, V101 (C-KAPPA A45.1 (158'), V101 (196')) (113'-219')]; dimère (226-226":229-229")-bisdisulfure, produit dans des cellules ovaries de hamster chinois (CHO), lignée cellulaire CHO-K1, glycoforme alfa

betinukibart

immunoglobulina G1-kappa, anti-[*Homo sapiens* IL17A (interleukina 17A, IL-17A)];

cadena pesada H-gamma1 (1-447) [VH (*Homo sapiens* IGHV7-4-1*02 (90.7%) -(IGHD) -IGHJ4*01 (93.3%) L123>T (112), CDR-IMGT [8.8.10] (26-33.51-58.97-106)) (1-117) -*Homo sapiens* IGHG1*03, G1m3, nG1m1 CH1 R120, CH3 E12, M14, G1v14 CH2 A1.3, A1.2 (CH1 R120 (214) (118-215), bisagra (216-230), CH2 L1.3>A (234), L1.2>A (235) (231-340), CH3 E12 (356), M14 (358) (341-445), CHS (446-447)) (118-447)], (220-219')-disulfuro con la cadena ligera L-kappa (1'-219') [V-KAPPA Musmus/Homsap (*Mus musculus* IGKV1-110*01 (89.0%) -IGKJ2*01 (100%)/*Homo sapiens* IGKV2-28*01 (82.0%) -IGKJ2*01 (91.7%) Q120>G (105'), CDR-IMGT [11.3.9] (27'-37'.55'-57'.94'-102')) (1'-112') -*Homo sapiens* IGKC*01 (100%) Km3 A45.1, V101 (C-KAPPA A45.1 (158'), V101 (196')) (113'-219')]; dímero (226-226"-229-229")-bisdisulfuro, producido en las células ováricas de hámster chino (CHO), línea celular CHO-K1, forma glicosilada alfa

Heavy chain / Chaîne lourde / Cadena pesada
 QVQLVQSGSE LKKPGASVKV SCKASEYIFT NYGMNWVKQA PGQGFEMGMW 50
 ID'NTGEPTY AQGFTGRFVT SLDTSVSTAY LQISLSLKAED TATYYCANYG 100
 WGYFDYNGQQ TTGTVTSVASSA KGPSPVPLAP SSKSTSGGTA ALGCLVKDYF 150
 PEPVTWSWNS GALTSGVHTF PAVLQSSGLY SLSSVVTVPSS SSI GTQTYIC 200
 NVNHPKPSNTK VDKRVEPKSC DKTHTCPCP APEAAGGPSV FLFPKPKD 250
 LMISRTPTEVT CVVVDVSHED PEVKENWYVD GVEVHNAKTK PREEQYNSTY 300
 RVVSLTQLH QDWLNKEYY CKVSNKALPA PIEKTISKAK GQPREPQVYT 350
 LPSPREEMTK NQVSILTCLV GFYPSDIAVE WESNGQPENN YKTPPVLD 400
 DGSFFLYSKL TVDKSRWQQG NVFSCSVMHE ALHNHYTQKS LSLSPGK 447

Light chain / Chaîne légère / Cadena ligera
 DVVMTQTTPBS LPVNPGEPAS ISCRSSQSLV HSNGYTYLHW YLOKPGQSPQ 50
 LLIYKVSNHL SGVPDRFSGS GSGTDFTLKI SWVEAEDVGV YFCSQSTHVP 100
 YTFGGGTKE IKRTVAAPSV FIFPPSDEQL KSGTASVCL LNNFYPREAK 150
 VQWKVDNALQ SGNSQESVTE QDSKDSTYSL SSTTLSKAD YEKHKVYACE 200
 VTHQGLSSPV TKSFRNRGEC 219

Post-translational modifications

Disulfide bridges location / Position des ponts disulfure / Posiciones de los puentes disulfuro
 Intra-H (C23-C104) 22-96 144-200 261-321 367-425
 22"-96" 144"-200" 261"-321" 367"-425"
 Intra-L (C23-C104) 23"-93" 139"-199"
 23"-93" 139"-199"
 Inter-H-L (h 5-CL 126) 220-219" 220"-219"
 Inter-H-H (h 11, h 14) 226-226" 229-229"

N-terminal glutaminyl cyclization / Cyclisation du glutaminyle N-terminal / Ciclación del glutamínilo N-terminal
 Q > pyroglutamyl (pE, 5-oxoprolyl) / pyroglutamyle (pE, 5-oxoprolyle) / piroglutamilo (pE, 5-oxoprolilo)
 H VH Q1: 1, 1"

N-glycosylation sites / Sites de N-glycosylation / Posiciones de N-glicosilación
 H CH2 N84.4: 297, 297"
 Fucosylated complex bi-antennary CHO-type glycans / glycanes de type CHO bi-antennaires complexes fucosylés / glicanos de tipo CHO biantenarios complejos fucosilados

C-terminal lysine clipping / Coupe de la lysine C-terminale / Recorte de lisina C-terminal
 H CHS K2: 447, 447"

bezeoteminum alfa

bezeotemin alfa human bone morphogenic protein 6 (BMP-6, VG-1-related protein (VG-1-R; VGR-1)), dímero, produced in Chinese hamster ovary (CHO) cells, cell line CHO-S, glycoform alfa

bézéotermine alfa

protéine osseuse morphogénique 6 humaine (BMP-6, protéine apparentée à VG-1 (VG-1-R; VGR-1)), dimère, produite dans des cellules ovarianas de hamster chino (CHO), lignée celular CHO-S glycoform alfa

bezeotermina alfa

proteína morfogénica ósea 6 humana (BMP-6, VG-1-proteína relacionada (VG-1-R; VGR-1)), dímero, producido en células ováricas de hámster Chino (CHO), línea celular CHO-S, glicoforma alfa

Sequence / Séquence / Secuencia

SASSRRQQS RNRSTQSQDV ARVSSASDYN SSELKTACRK HE LYVSFQDL	50
GWQDWIIAPK GYAANYCDGE CSFPLNAHMN ATNHAIQTL VHLMNPEYVP	100
KPCCAPTKLN AISVLYFDDN SNVILKKYRN MVVRACGCH	139

Post-translational modifications

Disulfide bridges location / Position des ponts disulfure / Posiciones de los puentes disulfuro

Intra chain: 38-104, 67-136, 71-138, 38'-104', 67'-136', 71'-138'

Inter chain: 103-103'

N-glycosylation sites / Sites de N-glycosylation / Posiciones de N-glicosilación
N120, N120'**birinkibartum #**

birinkibart

immunoglobulin G4-kappa, anti-[*Homo sapiens*] CSF2RB (colony stimulating factor 2 (CSF2) receptor subunit beta, granulocyte-macrophage colony stimulating factor (GM-CSF) receptor subunit beta, beta common cytokine receptor, IL3RB, IL5RB, CD131]), *Homo sapiens* monoclonal antibody; H-gamma4 heavy chain *Homo sapiens* (1-450) [VH (*Homo sapiens* IGHV1-24*01 (94.9%) -(IGHD) -IGHJ4*01 (100%), CDR-IMGT [8.8.16] (26-33.51-58.97-112)) (1-123) -*Homo sapiens*IGHG4*01, nG4m(a) CH2 L92, G4v5 h P10(CH1 (124-221), hinge 1-12 S10>P (231) (222-233), CH2 L92 (312) (234-343), CH3 (344-448), CHS (449-450)) (124-450)], (137-214')-disulfide with L-kappa light chain *Homo sapiens* (1'-214') [V-KAPPA (*Homo sapiens* IGKV3-20*01 (93.8%) -IGKJ2*01 (100%), CDR-IMGT [6.3.9] (27'-32'.50'-52'.89'-97')) (1'-107') -*Homo sapiens* IGKC*01 (100%) Km3 A45.1, V101 (C-KAPPA A45.1 (153'), V101 (191')) (108'-214')]; dimer (229-229":232-232")-bisdisulfide, produced in Chinese hamster ovary (CHO) cells, glycoform alpha

birinkibart

immunoglobuline G4-kappa, anti-[*Homo sapiens*] CSF2RB (sous-unité bêta du récepteur du facteur 2 stimulant les colonies (CSF2), sous-unité bêta du récepteur du facteur stimulant les colonies de granulocytes et macrophages (GM-CSF), bêta commun aux récepteurs de cytokines, IL3RB, IL5RB, CD131]), anticorps monoclonal *Homo sapiens*; chaîne lourde H-gamma4 *Homo sapiens* (1-450) [VH (*Homo sapiens* IGHV1-24*01 (94.9%) -(IGHD) -IGHJ4*01 (100%), CDR-IMGT [8.8.16] (26-33.51-58.97-112)) (1-123) -*Homo sapiens*IGHG4*01, nG4m(a) CH2 L92, G4v5 h P10(CH1 (124-221), charnière 1-12 S10>P (231) (222-233), CH2 L92 (312) (234-343), CH3 (344-448), CHS (449-450)) (124-450)], (137-214')-disulfure avec la chaîne légère L-kappa *Homo sapiens* (1'-214') [V-KAPPA (*Homo sapiens* IGKV3-20*01 (93.8%) -IGKJ2*01 (100%), CDR-IMGT [6.3.9] (27'-32'.50'-52'.89'-97')) (1'-107') -*Homo sapiens* IGKC*01 (100%) Km3 A45.1, V101 (C-KAPPA A45.1 (153'), V101 (191')) (108'-214')]; dimère (229-229":232-232")-bisdisulfure, produit dans des cellules ovariennes de hamster chinois (CHO), glycoforme alfa

birinkibart

inmunoglobulina G4-kappa, anti-[*Homo sapiens*] CSF2RB (subunidad beta del receptor del factor 2 estimulante de las colonias (CSF2), subunidad beta del receptor del factor estimulante de las colonias de granulocitos y macrófagos (GM-CSF), beta común con los receptores de citoquinas, IL3RB, IL5RB, CD131]), anticuerpo monoclonal *Homo sapiens*; cadena pesada H-gamma4 *Homo sapiens* (1-450) [VH (*Homo sapiens* IGHV1-24*01 (94.9%) -(IGHD) -IGHJ4*01 (100%), CDR-IMGT [8.8.16] (26-33.51-58.97-112)) (1-123) -*Homo sapiens*IGHG4*01, nG4m(a) CH2 L92, G4v5 h P10(CH1 (124-221), bisagra 1-12 S10>P (231) (222-233), CH2 L92 (312) (234-343), CH3 (344-448), CHS (449-450)) (124-450)], (137-214')-disulfuro con la cadena ligera L-kappa *Homo sapiens* (1'-214') [V-KAPPA (*Homo sapiens* IGKV3-20*01 (93.8%) -IGKJ2*01 (100%), CDR-IMGT [6.3.9] (27'-32'.50'-52'.89'-97')) (1'-107') -*Homo sapiens* IGKC*01 (100%) Km3 A45.1, V101 (C-KAPPA A45.1 (153'), V101 (191')) (108'-214')]; dímero (229-229":232-232")-bisdisulfuro, producido en las células ováricas de hámster chino (CHO), forma glicosilada alfa

Heavy chain / Chaîne lourde / Cadena pesada
 QMQLVQSGAE VKKPGASVKV SCKVSGYTLT ELSIHWRQA PGKGLEWMGG 50
 FDPEDGETTY AQKFQGRVTM TGDTSDDAY LEILSSLRSED TALYCATGR 100
 YTSLATTYGF DYWGQGTLVT VSSASTKGPS VPFLAPCRS TSESTAAALGC 150
 LVKDYFPEPV TVSMNSGALT SGVHTFPAVL QSSGLYSLSS VVTPVSSSLG 200
 TKTYYTCNVHD KPSNTKVDPKR VESKYGPCKP CCPAPEFLGG PSVFLFFPKP 250
 KDTLMISRPT EVTCVVDVDS QEPPEVQFWN YVDGVEVHN ATKPREEQFN 300
 STYRVVSVIT VLHQDWLNKG EYKCKVSNKG LPSSIEKTIS KAKGQPREPQ 350
 VYTLPPSQEE MTKNQVSLTC LVKGFYPSDI AVEWESNGQP ENNYKTTPPV 400
 LDSDGFFLY SRLTVDKSRW QEGNVFSCSV MHEALHNHYT QKSLSLSL GK 450

Light chain / Chaîne légère / Cadena ligera

EIVMTQSPAT LSLSPFGERAT LCSRQSOSV SYLAWYQQKP GQAPRLLIYG 50
 ASSRATGIPD RFSGSGGSTID FTLTISRLEP EDFAVYYCQQ YDNWPYFFGQ 100
 CTKLEIKRTV AAPSVFIFPP SDEQLKSGTA SVVCLLNNFY PREAKVQWKV 150
 DNALQSGNSQ ESVTEQDSKD STYSLSSLT LSKADYEKHK VYACEVTHQG 200
 LSSPVTKS FN RGEC 214

Post-translational modifications

Disulfide bridges location / Position des ponts disulfure / Posiciones de los puentes disulfuro

Intra-H (C23-C104) 22-96 150-206 264-324 370-428

22"-96" 150"-206" 264"-324" 370"-428"

Intra-L (C23-C104) 23"-88' 134"-194'

23"-88" 134"-194"

Inter-H-L (CH1 10-CL 126) 137-214' 137"-214"

Inter-H-H (h 8, h 11) 229-229" 232-232"

N-terminal glutaminyl cyclization / Cyclisation du glutaminyle N-terminal / Ciclación del glutaminilo N-terminal

Q > pyroglutamyl (pE, 5-oxoprolyl) / pyroglutamyle (pE, 5-oxoprolyle) / piroglutamilo (pE, 5-oxoprolilo)

H VH Q1: 1, 1"

N-glycosylation sites / Sites de N-glycosylation / Posiciones de N-glicosilación

H CH2 N84.4: 300, 300"

Fucosylated complex bi-antennary CHO-type glycans / glycanes de type CHO bi-antennaires complexes fucosyles / glicanos de tipo CHO biantenarios complejos fucosilados

C-terminal lysine clipping / Coupure de la lysine C-terminale / Recorte de lisina C-terminal

H CHS K2: 450, 450"

bosakitugum

bosakitug

immunoglobulin G1-kappa, anti-[*Homo sapiens* TSLP (thymic stromal lymphopoietin)], humanized monoclonal antibody;
 H-gamma1 heavy chain humanized (1-447) [VH (*Homo sapiens* IGHV1-46*01 (88.8%) -(IGHD) -IGHJ4*01 (93.3%), CDR-IMGT [8.8.10] (26-33.51-58.97-106)) (1-117) -*Homo sapiens* IGHG1*01 (100%), G1m17.1 CH1 K120, CH3 D12, L14 (CH1 K120 (214) (118-215), hinge 1-15 (216-230), CH2 (231-340), CH3 D12 (356), L14 (358) (341-445), CHS (446-447)) (118-447)], (220-214')-disulfide with L-kappa light chain humanized (1'-214') [V-KAPPA (*Homo sapiens* IGKV1-39*01 (85.3%) -IGKJ4*01 (100%), CDR-IMGT [6.3.9] (27'-32'.50'-52'.89'-97')) (1'-107') -*Homo sapiens* IGKC*01 (100%), Km3 A45.1 (153'), V101 (191') (108'-214')]; dimer (226-226":229-229")-bisdisulfide, produced in Chinese hamster ovary (CHO) cells, cell line CHO-S, glycoform alfa

bosakitug

immunoglobuline G1-kappa, anti-[*Homo sapiens* TSLP (lymphopoïétine stromale thymique)], anticorps monoclonal humanisé; chaîne lourde H-gamma1 humanisée (1-447) [VH (*Homo sapiens* IGHV1-46*01 (88.8%) -(IGHD) -IGHJ4*01 (93.3%), CDR-IMGT [8.8.10] (26-33.51-58.97-106)) (1-117) -*Homo sapiens* IGHG1*01 (100%), G1m17.1 CH1 K120, CH3 D12, L14 (CH1 K120 (214) (118-215), charnière 1-15 (216-230), CH2 (231-340), CH3 D12 (356), L14 (358) (341-445), CHS (446-447)) (118-447)], (220-214')-disulfure avec la chaîne légère L-kappa humanisée (1'-214') [V-KAPPA (*Homo sapiens* IGKV1-39*01 (85.3%) -IGKJ4*01 (100%), CDR-IMGT [6.3.9] (27'-32'.50'-52'.89'-97')) (1'-107') -*Homo sapiens* IGKC*01 (100%), Km3 A45.1 (153'), V101 (191') (108'-214')]; dimère (226-226":229-229")-bisdisulfure, produit dans des cellules ovarénnes de hamster chinois (CHO), lignée cellulaire CHO-S, glycoforme alfa

bosakitug

inmunoglobulina G1-kappa, anti-[*Homo sapiens* TSLP (linfoopoetina estromal tímica)], anticuerpo monoclonal humanizado; cadena pesada H-gamma1 humanizada (1-447) [VH (*Homo sapiens*IGHV1-46*01 (88.8%) -(IGHD) -IGHJ4*01 (93.3%), CDR-IMGT [8.8.10] (26-33.51-58.97-106)) (1-117) -*Homo sapiens*IGHG1*01 (100%), G1m17,1 CH1 K120, CH3 D12, L14 (CH1 K120 (214) (118-215), bisagra 1-15 (216-230), CH2 (231-340), CH3 D12 (356), L14 (358) (341-445), CHS (446-447)) (118-447)], (220-214')-disulfuro con la cadena ligera L-kappa humanizada (1'-214') [V-KAPPA (*Homo sapiens*IGKV1-39*01 (85.3%) -IGKJ4*01 (100%), CDR-IMGT [6.3.9] (27'-32'.50'-52'.89'-97')) (1'-107') -*Homo sapiens*IGKC*01 (100%), Km3 A45.1 (153'), V101 (191') (108'-214')]; dímero (226-226"-229-229")-bisdisulfuro, producido en las células ováricas de hámster chino (CHO), línea celular CHO-S, forma glicosilada alfa

Heavy chain / Chaîne lourde / Cadena pesada
 QVQLVQSGAE VKKPGAVKV SCKASGYFTF TYWMHWVRQA PGQGLEWMGV 50
 IDPSDSDDTY NQKFGRVTM TRDTSTSTVY MELSSLRSED TAVYYCTRSL 100
 DGYDYWGQQ TLTVTSSAST KGPSVFFLAP SSKSTSGGTA ALGCLVKDVF 150
 PEPVTWSWNS GALTSGVHTF PAVLQSSGLY SLSSVVTVP SSLGTQTYC 200
 NVNHKPSNTK VDKVKEPKSC DKHTTCPPCP APPELLGGPSV FLEPPKPKD 250
 LMISRTPETV CVVVDVSHED PEVKFWYVD GVEVHNAKTK PREEQYNSTY 300
 RVVSVLTVLH QDWLNKEYK CKVSNKALPA PIETKISAK GQPREPVQT 350
 LPPSRDELTH NQVSITCLVK GFYPSIDAVE WESNGQPENN YKTTPPVLD 400
 DGSSFLYLSKL TVDKSRWQQG NVFSCVMHE ALHNHYTQKS LSLSPGK 447

Light chain / Chaîne légère / Cadena ligera

DIQMTQSPSS LSASVGDRVT ITCRPTENIY SYLAWYQQKP GKAPKLLIYF 50
 ARTIAEGVPS RFSGSGSGTD FTLTISLQP EDFATYYCQH HYGTPWTFGG 100
 GTKVEIKRTV AAPSVFIFPP SDEQLKSGTA SVVCLNNFY PREAKVQWKV 150
 DNALOSGNSQ ESVTEQDSKD STYSLSSTLT LSKADYEKHK VYACEVTHQG 200
 LSSPVTKFSN RGECA 214

Post-translational modifications

Disulfide bridges location / Position des ponts disulfure / Posiciones de los puentes disulfuro
 Intra-H (C23-C104) 22"-96" 144"-200" 261"-321" 367"-425"
 22"-96" 144"-200" 261"-321" 367"-425"
 Intra-L (C23-C104) 23"-88" 134"-194"
 23"-88" 134"-194"
 Inter-H-L (h 5-CL 126) 220-214" 220"-214"
 Inter-H-H (h 11, h 14) 226-226" 229-229"

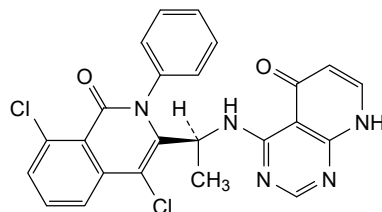
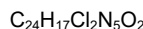
N-terminal glutaminyl cyclization / Cyclisation du glutaminyle N-terminal / Ciclación del glutaminilo N-terminal
 Q> pyroglutamyl (pE, 5-oxoprolyl) / pyroglutamyle (pE, 5-oxoprolyle) / piroglutamilo (pE, 5-oxoprolilo)
 H VH Q1: 1, 1"

N-glycosylation sites / Sites de N-glycosylation / Posiciones de N-glicosilación
 H CH2 N84.4; 297, 297"
 Fucosylated complex bi-antennary CHO-type glycans / glycanes de type CHO bi-antennaires complexes fucosylés / glicanos de tipo CHO biantenarios complejos fucosilados

C-terminal lysine clipping / Coupe de la lysine C-terminale / Recorte de lisina C-terminal
 H CHS K2: 447, 447"

bosmolisibum

- bosmolisib 4-[(1*S*)-1-(4,8-dichloro-1-oxo-2-phenyl-1,2-dihydroisoquinolin-3-yl)ethyl]amino}pyrido[2,3-*d*]pyrimidin-5(8*H*)-one
- bosmolisib 4-[(1*S*)-1-(4,8-dichloro-1-oxo-2-phényl-1,2-dihydroisoquinoléin-3-yl)éthyl]amino}pyrido[2,3-*d*]pyrimidin-5(8*H*)-one
- bosmolisib 4-[(1*S*)-1-(4,8-dicloro-2-fenil-1-oxo-1,2-dihidroisoquinolin-3-il)etil]amino}pirido[2,3-*d*]pirimidin-5(8*H*)-ona

**branosotinum**

branosotine

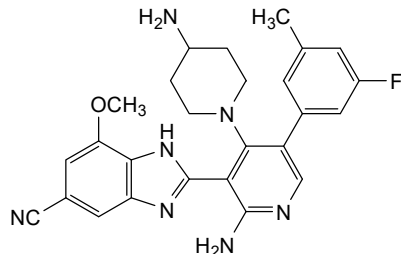
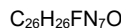
2-[2-amino-4-(4-aminopiperidin-1-yl)-5-(3-fluoro-5-methylphenyl)pyridin-3-yl]-7-methoxy-1*H*-1,3-benzimidazole-5-carbonitrile

branosotine

2-[2-amino-4-(4-aminopipéridin-1-yl)-5-(3-fluoro-5-méthylphényle)pyridin-3-yl]-7-méthoxy-1*H*-1,3-benzimidazole-5-carbonitrile

branosotina

2-[2-amino-4-(4-aminopiperidin-1-yl)-5-(3-fluoro-5-metilfenil)piridin-3-yl]-7-metoxi-1*H*-1,3-benzimidazol-5-carbonitrilo

**bretovameranum #**

bretovameran

messenger RNA (mRNA), 5'-capped, encoding a full-length, codon-optimised pre-fusion stabilised conformation variant (K982P and V983P) of the SARS-CoV-2 (severe acute respiratory syndrome coronavirus 2) spike (S) glycoprotein (Omicron JN.1 variant; based upon hCoV-19/Netherlands/NB-RIVM-135749/2023; GISAID: EPI_ISL_18701853), flanked by 5' and 3' untranslated regions and a 3' polyadenylation (polyA) tail; contains *N*¹-methylpseudouridine instead of uridine (*all*-U>m¹Ψ)

brétovaméran

ARN messager (ARNm), coiffé en 5', codant une variante de conformation stabilisée de préfusion, de longueur complète, optimisée par codon (K982P et V983P) de la glycoprotéine du spicule (S) du SRAS-CoV-2 (coronavirus 2 du syndrome respiratoire aigu sévère) (variant Omicron JN.1; basé sur hCov-19/Pays-Bas/NB-RIVM-135749/2023; GISAID: EPI_ISL_18701853), flanqué en 5' et 3' de régions non traduites et, d'une queue de polyadénylation (polyA) en 3'; contient de la *N*¹-méthylpseudouridine en lieu de l'uridine (*tout*-U>m¹Ψ)

bretovamerán

ARN mensajero (ARNm), protegido en 5', que codifica, con codones optimizados, para la secuencia completa de una variante estabilizada en conformación pre-fusión (K982P y V983P) de la glicoproteína de la espícula (S) del SRAS-CoV-2 (coronavirus 2 del síndrome respiratorio agudo severo) (variante Omicron JN.1; basada en hCoV-19/Netherlands/NB-RIVM-135749/2023; GISAID: EPI_ISL_18701853), flanqueada por regiones sin traducir 5' y 3' y una cola de poliadenilación (poliA) en 3'; contiene N¹-metilpseudoouridina en lugar de uridina (*todo-U>m¹Ψ*)

brexanolonum caprilcerbas

brexanolone caprilcerbate

caprilcerbate de brexanolone

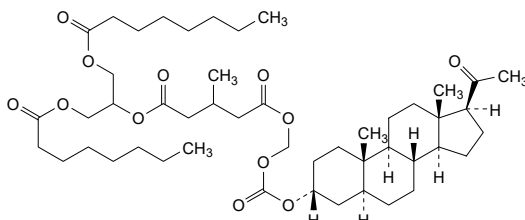
caprilcerbato de brexanolona

1-[1,3-bis(octanoyloxy)propan-2-yl] 5-[({{(20-oxo-5α-pregnan-3α-yl)oxy]carbonyl}oxy)methyl] 3-methylpentanedioate

3-méthylpentanedioate de 1-[1,3-bis(octanoyloxy)propan-2-yle] et de 5-[{{(20-oxo-5α-prégnan-3α-yl)oxy]carbonyl}oxy)méthyle]

3-metilpentanedioato de 1-[1,3-bis(octanoiloxy)propan-2-ilo] y de 5-[{{(20-oxo-5α-pregnano-3α-il)oxi]carbonil}oxi]metilo]

C₄₈H₇₈O₁₂

**brivestobartum #**

brivestobart

immunoglobulin G4-kappa, anti-[*Homo sapiens* LAG3 (lymphocyte activating 3, lymphocyte-activation 3, CD223)], *Homo sapiens* monoclonal antibody; H-gamma4 heavy chain *Homo sapiens* (1-448) [VH (*Homo sapiens* IGHV4-34*01 (91.8%) -(IGHD) -IGH5*01 (92.3%), CDR-IMGT [8.7.15] (26-33.51-57.96-110)) (1-121) -*Homo sapiens* IGHG4*01, nG4m(a) CH2 L92, G4v5 h P10(CH1 (122-219), hinge 1-12 S10>P (229) (220-231), CH2 L92 (310) (232-341), CH3 (342-446), CHS (447-448)) (122-448)], (135-214')-disulfide with L-kappa light chain *Homo sapiens* (1'-214') [V-KAPPA (*Homo sapiens* IGKV3-11*01 (95.8%) -IGKJ4*01 (100%), CDR-IMGT [6.3.9] (27'-32'.50'-52'.89'-97')) (1'-107') -*Homo sapiens* IGKC*01 (100%) Km3 A45.1, V101 (C-KAPPA A45.1 (153'), V101 (191')) (108'-214')]; dimer (227-227":230-230")-bisdisulfide, produced in Chinese hamster ovary (CHO) cells, cell line CHO-K1, glycoform alfa

brivestobart

immunoglobuline G4-kappa, anti-[*Homo sapiens* LAG3 (activateur 3 des lymphocytes, lymphocyte-activation 3, CD223)], anticorps monoclonal *Homo sapiens*;

chaîne lourde H-gamma4 *Homo sapiens* (1-448) [VH (*Homo sapiens* IGHV4-34*01 (91.8%) -(IGHD) -IGHJ5*01 (92.3%), CDR-IMGT [8.7.15] (26-33.51-57.96-110)) (1-121) -*Homo sapiens* IGHG4*01, nG4m(a) CH2 L92, G4v5 h P10,(CH1 (122-219), charnière 1-12 S10>P (229) (220-231), CH2 L92 (310) (232-341), CH3 (342-446), CHS (447-448)) (122-448)], (135-214')-disulfure avec la chaîne légère L-kappa *Homo sapiens* (1'-214') [V-KAPPA (*Homo sapiens* IGKV3-11*01 (95.8%) -IGKJ4*01 (100%), CDR-IMGT [6.3.9] (27'-32'.50'-52'.89'-97')) (1'-107') -*Homo sapiens* IGKC*01 (100%) Km3 A45.1, V101 (C-KAPPA A45.1 (153'), V101 (191')) (108'-214')]; dimère (227-227":230-230")-bisdisulfure, produit dans des cellules ovariennes de hamster chinois (CHO), lignée cellulaire CHO-K1, glycoforme alfa

brivestobart inmunoglobulina G4-kappa, anti-[*Homo sapiens* LAG3 (activador 3 de los linfocitos, linfocito-activación 3, CD223)], anticuerpo monoclonal *Homo sapiens*; cadena pesada H-gamma4 *Homo sapiens* (1-448) [VH (*Homo sapiens* IGHV4-34*01 (91.8%) -(IGHD) -IGHJ5*01 (92.3%), CDR-IMGT [8.7.15] (26-33.51-57.96-110)) (1-121) -*Homo sapiens* IGHG4*01, nG4m(a) CH2 L92, G4v5 h P10,(CH1 (122-219), bisagra 1-12 S10>P (229) (220-231), CH2 L92 (310) (232-341), CH3 (342-446), CHS (447-448)) (122-448)], (135-214')-disulfuro con la cadena ligera L-kappa *Homo sapiens* (1'-214') [V-KAPPA (*Homo sapiens* IGKV3-11*01 (95.8%) -IGKJ4*01 (100%), CDR-IMGT [6.3.9] (27'-32'.50'-52'.89'-97')) (1'-107') -*Homo sapiens* IGKC*01 (100%) Km3 A45.1, V101 (C-KAPPA A45.1 (153'), V101 (191')) (108'-214')]; dímero (227-227":230-230")-bisdisulfuro, producido en las células ováricas de hámster chino (CHO), línea celular CHO-K1, forma glicosilada alfa

Heavy chain / Chaîne lourde / Cadena pesada

QVLQQWGAG LLKPKSETTLSL TCGVYGGGS FGYWSWIRQP PGMLEWIGE 50
INHRGNTNNY PSLKSRVTIS EDTSKNQFSL RLSSVTAADT AVYFCTRGED 100
YSDYDYYGGE WGQGTLVTV SASTKGPSVF PLAPCSRSTS ESTAAALGCLV 150
KDVFPEPVTV SWNSGALTSG VHTFFPAVLQS SGYLSLSSVV TVPSSSLGTK 200
TYTCNVNDHKP SNTKVDKRVE SKYGPCCPC PAPEFLGGPS VFLFPKPKD 250
TLMISRTPEV TCVVVDSQSE DPEVQFPEV DGVEVHNNAKT KFREEQFNST 300
YRVVSVLTWL HQDWLNKEY KCKVSNKGLP SSIEKTISKA KQCPREPQVY 350
TLEPPSQEEMT KNQVSILTCLV KGFYPSDIAV EWESNGOPEN NYKTTPVLD 400
SDGSFFLYSR LTVDKSRWQE GNVFSCSVMH EALHNHYTQK SLSLSL GK 448

Light chain / Chaîne légère / Cadena ligera

EIVLTQSPAT LSLSQGERAT LSCRASQHSIS SYLAWYQQKP QGAPRLLIYA 50
ASN RATGIPA RFSGSGSGTD FTIITISSLEP EDFAIYYCQQ RSNWPLTFGG 100
GTVKEIKRTV AAPSVFIFPP SDEQLKSGTA SVVCLNNFY PREAKVQWKV 150
DNALQSGNSQ ESVTEQDSKD STYSLSSLT LSKADYEKHK VYACEVTHQG 200
LSSPVTKFSN RGE C 214

Post-translational modifications

Disulfide bridges location / Position des ponts disulfure / Posiciones de los puentes disulfuro

Intra-H (C23-C104) 22-95 148-204 262-322 368-426
22"-95" 148"-204" 262"-322" 368"-426"
Intra-L (C23-C104) 23"-88" 134"-194"
23"-88" 134"-194"

Inter-H-L (CH1 10-CL 126) 135-214' 135"-214"

Inter-H-H (h 8, h 11) 227-227" 230-230"

N-terminal glutaminyl cyclization / Cyclisation du glutaminyle N-terminal / Ciclación del glutamínilo N-terminal

Q > pyroglutamyl (pE, 5-oxopropyl) / pyroglutamyle (pE, 5-oxopropyle) / piroglutamilo (pE, 5-oxoprofilo)

H VH Q1: 1, 1"

N-glycosylation sites / Sites de N-glycosylation / Posiciones de N-glicosilación

H CH2 N84.4: 298, 299"

Fucosylated complex bi-antennary CHO-type glycans / glycanes de type CHO bi-antennaires

complexes fucosylés / glicanos de tipo CHO biantenarios complejos fucosilados

C-terminal lysine clipping / Coupe de la lysine C-terminale / Recorte de lisina C-terminal

H CHS K2: 448, 448"

bulumtatumug #

bulumtatumug

immunoglobulin G1-kappa, anti-[*Homo sapiens* NECTIN4 (nectin-4, nectin cell adhesion molecule 4, PVRL4, poliovirus receptor-related 4, PPR4, LNIR)]; H-gamma1 heavy chain (1-449) [VH Musmus/Homsap (*Mus musculus*IGHV2-6-5*01 (78.4%) -(IGHD) -IGHJ3*01 (91.7%) A128>S (119)/*Homo sapiens*IGHV4-4*08 (78.4%) -(IGHD) -IGHJ4*01 (100%), CDR-IMGT [8.7.13] (26-33.51-57.96-108)] (1-119) -*Homo sapiens*IGHG1*03 (100%) G1m3, nG1m1 CH1 R120, CH3 E12, M14 (CH1 R120 (216) (120-217), hinge 1-15 (218-232), CH2 (233-342), CH3 E12 (358), M14 (360) (343-447), CHS (448-449)) (120-449)], (222-220')-disulfide con la L-kappa ligera cadena (1'-220') [V-KAPPA (*Homo sapiens*IGKV4-1*01 (91.1%) -IGKJ4*01 (91.7%), CDR-IMGT [12.3.9] (27'-38'.56'-58'.95'-103')) (1'-113') -*Homo sapiens*IGKC*01 (100%) Km3 A45.1, V101 (C-KAPPA A45.1 (159'), V101 (197')) (114'-220')]; dímero (228-228":231-231")-bisdisulfuro, producido en una línea celular de las células ováricas de hámster chino (CHO), líneas celulares derivadas de CHO-K1, forma glicosilada alfa

bulumtatumug

immunoglobuline G1-kappa, anti-[*Homo sapiens* NECTIN4 (nectine-4, molécula d'adhésion cellulaire nectine 4, PVRL4, membre 4 apparenté au récepteur du poliovirus, PPR4, LNIR)]; chaîne lourde H-gamma1 (1-449) [VH Musmus/Homsap (*Mus musculus*IGHV2-6-5*01 (78.4%) -(IGHD) -IGHJ3*01 (91.7%) A128>S (119)/*Homo sapiens*IGHV4-4*08 (78.4%) -(IGHD) -IGHJ4*01 (100%), CDR-IMGT [8.7.13] (26-33.51-57.96-108)] (1-119) -*Homo sapiens*IGHG1*03 (100%) G1m3, nG1m1 CH1 R120, CH3 E12, M14 (CH1 R120 (216) (120-217), charnière 1-15 (218-232), CH2 (233-342), CH3 E12 (358), M14 (360) (343-447), CHS (448-449)) (120-449)], (222-220')-disulfuro con la chaîne légère L-kappa (1'-220') [V-KAPPA (*Homo sapiens*IGKV4-1*01 (91.1%) -IGKJ4*01 (91.7%), CDR-IMGT [12.3.9] (27'-38'.56'-58'.95'-103')) (1'-113') -*Homo sapiens*IGKC*01 (100%) Km3 A45.1, V101 (C-KAPPA A45.1 (159'), V101 (197')) (114'-220')]; dimère (228-228":231-231")-bisdisulfuro, produit dans una lignée celular de las células ováricas de hamster chino (CHO), derivante de la lignée celular CHO-K1, glicoforme alfa

bulumtatumug

inmunoglobulina G1-kappa, anti-[*Homo sapiens* NECTIN4 (nectina-4, molécula de adhesión celular nectina 4, PVRL4, miembro 4 relacionado con el receptor del poliovirus, PPR4, LNIR)]; cadena pesada H-gamma1 (1-449) [VH Musmus/Homsap (*Mus musculus*IGHV2-6-5*01 (78.4%) -(IGHD) -IGHJ3*01 (91.7%) A128>S (119)/*Homo sapiens*IGHV4-4*08 (78.4%) -(IGHD) -IGHJ4*01 (100%), CDR-IMGT [8.7.13] (26-33.51-57.96-108)] (1-119) -*Homo sapiens*IGHG1*03 (100%) G1m3, nG1m1 CH1 R120, CH3 E12, M14 (CH1 R120 (216) (120-217), bisagra 1-15 (218-232), CH2 (233-342), CH3 E12 (358), M14 (360) (343-447), CHS (448-449)) (120-449)], (222-220')-disulfuro con la cadena ligera L-kappa (1'-220') [V-KAPPA (*Homo sapiens*IGKV4-1*01 (91.1%) -IGKJ4*01 (91.7%), CDR-IMGT [12.3.9] (27'-38'.56'-58'.95'-103')) (1'-113') -*Homo sapiens*IGKC*01 (100%) Km3 A45.1, V101 (C-KAPPA A45.1 (159'), V101 (197')) (114'-220')]; dímero (228-228":231-231")-bisdisulfuro, producido en una línea celular de las células ováricas de hámster chino (CHO), línea celular derivada de CHO-K1, forma glicosilada alfa

Heavy chain / Chaîne lourde / Cadena pesada
EVQLQESPGV LVKPSETLSL TCTVSGFSLI DYGVSWIRQP PGKGLEWIGV 50
IWGGGKIYVN SVLKSRVTIS KDNKSQSVSL KLSSVTAADT AVYYCAKQGG 100
LLFYAMDYWG QGTLTVTSSA STKGPSVFPL APSSKSTSGG TAALGCLVKD 150
YFPEPFTVSW NSGALTSGVH TFPAPLQSGG LYSLSSVVT PSSSLGTQTY 200
ICNVNHHKPSN TKVDRKVEPK SCDKTHTCPV CAAPELLGGP SVFLFPKPK 250
DTLMISRTP ETCVVVDVSH EDPEVKFNWY VDGVEVHNAAK TKPREEQYNS 300
TYRVSVSLTV LHQDWLNGKE YKCKVSNKAL PAPIEKTISK AKGQPREPOV 350
YTLPSSREEM TKNQVSLTCL VKGFYPSDIA VEWESENQPE NNYKTTPPVL 400
DSDGSFFLYS KLTVDKSRWQ QGNVFSCSVM HEALHNHYTQ KSLSLSPKG 449

Light chain / Chaîne légère / Cadena ligera
DIVMTQSPDS LAVSLGERAT INCKSSQSLL NTYSQKNYLA WYQQKPGQPP 50
KLLIYFASTR ESGVPDFRSQ SGSGTDFTLT ISSLQAEDVA VYCCQHYNT 100
PFTFGGGTKV EIKRTVAAAPS VFIFPPSDEQ LKSGTASVVC LLNNFYPREA 150
KVQWKVDNAL QSGNSQESVT EQDSKDDTYS LSSTLTLASKA DYEQHKVYAC 200
EVTHQGLSSP VTKSFNRGEC 220

Post-translational modifications

Disulfide bridges location / Position des ponts disulfure / Posiciones de los puentes disulfuro
Intra-H (C23-C104) 22-95 146-202 263-323 369-427
22"-95" 146"-202" 263"-323" 369"-427"
Intra-L (C23-C104) 23"-94" 140"-200"
23"-94" 140"-200"
Inter-H-L (h 5-CL 126) 222-220" 222"-220"
Inter-H-H (h 11, h 14) 228-228" 231-231"

N-glycosylation sites / Sites de N-glycosylation / Posiciones de N-glicosilación
H CH2 N84.4: 299, 299"

Fucosylated complex bi-antennary CHO-type glycans / glycanes de type CHO bi-antennaires complexes fucosylés / glicanos de tipo CHO biantenarios complejos fucosilados

C-terminal lysine clipping / Coupage de la lysine C-terminale / Recorte de lisina C-terminal
H CHS K2: 449, 449"

bumatatumug fuvedotinum

bumatatumug fuvedotin

immunoglobulin G1-kappa, anti-[*Homo sapiens* NECTIN4 (nectin-4, nectin cell adhesion molecule 4, PVRL4, poliovirus receptor-related 4, PRR4, LNIR)], conjugated on an average of 8 cysteinyl residues to monomethylauristatin E (MMAE), with a ratio of 1 to 4, via a cleavable divalent linker; H-gamma1 heavy chain (1-449) [VH Musmus/Homsap (*Mus musculus*)IGHV2-6-5*01 (78.4%) -(IGHD) -IGHJ3*01 (91.7%) A128-S (119)/*Homo sapiens* IGHV4-4*08 (78.4%) -(IGHD) -IGHJ4*01 (100%), CDR-IMGT [8.7.13] (26-33.51-57.96-108)) (1-119) -*Homo sapiens* IGHG1*03 (100%) G1m3, nG1m1 CH1 R120, CH3 E12, M14 (CH1 R120 (216) (120-217), hinge 1-15 (218-232), CH2 (233-342), CH3 E12 (358), M14 (360) (343-447), CHS (448-449)) (120-449)], (222-220")-disulfide with L-kappa light chain (1"-220") [V-KAPPA (*Homo sapiens*) IGKV4-1*01 (91.1%) -IGKJ4*01 (91.7%), CDR-IMGT [12.3.9] (27'-38'.56'-58'.95'-103')) (1'-113') -*Homo sapiens* IGKC*01 (100%) Km3 A45.1, V101 (C-KAPPA A45.1 (159'), V101 (197')) (114'-220')]; dimer (228-228":231-231")-bisdisulfide, produced in a cell line from Chinese hamster ovary (CHO) cells, derived from the cell line CHO-K1, glycoform alfa; substituted at the sulfur atoms of eight L-cysteinyl residues on an average among 222, 228, 231, 220', 222", 228", 231" and 220" with four divalent groups consisting of (1Z)-3-[(2S,3R,6R,7R,8²S,11R,12S,15S,18S,26S,29S)-12-[(2S)-butan-2-yl]-26-[3-(carbamoylamino)propyl]-43²,43⁶-difluoro-2-hydroxy-7,11-dimethoxy-3,6,13,19-tetramethyl-5,9,14,17,20,25,28,31-octaoxo-15,18,29-tri(propan-2-yl)-21,33,36,39,42-pentaoxa-4,13,16,19,24,27,30-heptaaza-8(2,1)-pyrrolidina-1,43(1),23(1,4)-tribenzenatritetracontaphan-43⁴-yl]amino}-1-carboxy-3-oxoprop-1-ene-1,2-diyl (*fuvedotin*)

bulumtatum fuvédotine	immunoglobuline G1-kappa, anti-[<i>Homo sapiens</i> NECTIN4 (nectine-4, molécule d'adhésion cellulaire nectine 4, PVRL4, apparenté 4 du récepteur du poliovirus, PRR4, LNIR)], conjugué, par 8 résidus cystéinylo en moyenne, au monométhylauristatine E (MMAE), via un linker clivable divalent avec un rapport de 1 pour 4; chaîne lourde H-gamma1 (1-449) [VH Musmus/Homsap (<i>Mus musculus</i> IGHV2-6-5*01 (78.4%) -(IGHD) -IGHJ3*01 (91.7%) A128>S (119)/ <i>Homo sapiens</i> IGHV4-4*08 (78.4%) -(IGHD) -IGHJ4*01 (100%), CDR-IMGT [8.7.13] (26-33.51-57.96-108)) (1-119) - <i>Homo sapiens</i> IGHG1*03 (100%) G1m3, nG1m1 CH1 R120, CH3 E12, M14 (CH1 R120 (216) (120-217), charnière 1-15 (218-232), CH2 (233-342), CH3 E12 (358), M14 (360) (343-447), CHS (448-449)) (120-449)], (222-220')-disulfure avec la chaîne légère L-kappa (1'-220') [V-KAPPA (<i>Homo sapiens</i> IGKV4-1*01 (91.1%) -IGKJ4*01 (91.7%), CDR-IMGT [12.3.9] (27'-38'.56'-58'.95'-103')) (1'-113') - <i>Homo sapiens</i> IGKC*01 (100%) Km3 A45.1, V101 (C-KAPPA A45.1 (159'), V101 (197')) (114'-220')]; dimère (228-228":231-231")-bisdisulfure, produit dans une lignée cellulaire des cellules ovaries de hamster chinois (CHO), dérivant de la lignée cellulaire CHO-K1, glycoforme alfa; substitué sur l'atome de soufre de huit résidus L-cystéinylo en moyenne parmi 222, 228, 231, 220', 222", 228", 231" et 220" avec quatre groupements divalents (1Z)-3-[(2S,3R,6R,7R,8 ² S,11R,12S,15S,18S,26S,29S)-12-[(2S)-butan-2-il]-26-[3-(carbamoylamino)propyl]-43 ² ,43 ⁶ -difluoro-2-hydroxy-7,11-diméthoxy-3,6,13,19-tétraméthyl-5,9,14,17,20,25,28,31-octaoxo-15,18,29-tri(propan-2-il)-21,33,36,39,42-pentaoxa-4,13,16,19,24,27,30-heptaaza-8(2,1)-pirrolidina-1,43(1),23(1,4)-tribencénatrétetracontaphan-43 ⁴ -il]amino}-1-carboxy-3-oxoprop-1-ène-1,2-diilo (<i>fuvédotine</i>)
bulumtatum fuvédotina	imunoglobulina G1-kappa, anti-[<i>Homo sapiens</i> NECTIN4 (nectina-4, molécula de adhesión celular nectina 4, PVRL4, relacionada con el receptor 4 del poliovirus, PRR4, LNIR)], conjugado, sobre 8 residuos cisteinilo por término medio, con la monometilauristatina E (MMAE), a través de un enlace escindible divalente con un ratio de 1 por cada 4; cadena pesada H-gamma1 (1-449) [VH Musmus/Homsap (<i>Mus musculus</i> IGHV2-6-5*01 (78.4%) -(IGHD) -IGHJ3*01 (91.7%) A128>S (119)/ <i>Homo sapiens</i> IGHV4-4*08 (78.4%) -(IGHD) -IGHJ4*01 (100%), CDR-IMGT [8.7.13] (26-33.51-57.96-108)) (1-119) - <i>Homo sapiens</i> IGHG1*03 (100%) G1m3, nG1m1 CH1 R120, CH3 E12, M14 (CH1 R120 (216) (120-217), bisagra 1-15 (218-232), CH2 (233-342), CH3 E12 (358), M14 (360) (343-447), CHS (448-449)) (120-449)], (222-220')-disulfuro con la cadena ligera L-kappa (1'-220') [V-KAPPA (<i>Homo sapiens</i> IGKV4-1*01 (91.1%) -IGKJ4*01 (91.7%), CDR-IMGT [12.3.9] (27'-38'.56'-58'.95'-103')) (1'-113') - <i>Homo sapiens</i> IGKC*01 (100%) Km3 A45.1, V101 (C-KAPPA A45.1 (159'), V101 (197')) (114'-220')]; dímero (228-228":231-231")-bisdisulfuro, producido en una línea celular de las células ováricas de hamster chino (CHO), línea celular derivada de CHO-K1, forma glicosilada alfa; sustituido en el átomo de azufre de ocho residuos L-cisteinilo en una media entre 222, 228, 231, 220', 222", 228", 231" y 220" con cuatro grupos divalentes (1Z)-3-[(2S,3R,6R,7R,8 ² S,11R,12S,15S,18S,26S,29S)-12-[(2S)-butan-2-il]-26-[3-(carbamoylamino)propil]-43 ² ,43 ⁶ -difluoro-2-hidroxi-3,6,13,19-tetrametil-7,11-dimetoxi-5,9,14,17,20,25,28,31-octaoxo-15,18,29-tri(propan-2-il)-21,33,36,39,42-pentaoxa-4,13,16,19,24,27,30-heptaaza-8(2,1)-pirrolidina-1,43(1),23(1,4)-tribencénatrétetracontafan-43 ⁴ -il]amino}-1-carboxi-3-oxoprop-1-eno-1,2-diilo (<i>fuvédotina</i>)

Heavy chain / Chaîne lourde / Cadena pesada

EVQLQESGPG LVKPSETLSL TCTVSGFSLI DYGVSWIRQP PGKGLEWIGV 50
 IWGGGKIYYN SVLKSRTVIS KDNKSQVSL KLSVTAADT AVYYCAKQGG 100
 LLFYAMDYWS QCTLTVTVSSA STKGPSVFPL APSKSTSTGG TAALGLCLVKD 150
 YFPEPVITVSW NSGALTSGVH TFPAVLQSSG LYSLSSVVTV PSSSLGTQTY 200
 ICNVNPKPSN TKVDKRVEPK SCDKTHTCPP CPAPELLGGP SVFLFPPKPK 250
 DTLIMISRTPE VTCVVVDVSH EDEPVKFNWY VDGEVHNNAK TKPREEQYNS 300
 TYRVSVSLTV LHQDWLNKE YKCKVSNKAL PAPIEKTISK AKGOPREPQV 350
 YTLPPSREEM TRKNQVSLTCL VKGFYPSDIA VEWESENQPE NNYKTTTPV 400
 DSDGSFFLYS KLTVDKSRWQ QGNVFSCSVM HEALHNHYTQ KSLSLSPGK 449

Light chain / Chaîne légère / Cadena ligera

DIVMTQSPPDS LAVSLGERAT INCKSSQSL NTYSQKNYLA WYQQKPGQPP 50
 KLLIYFASTR ESGVPDRFSG SGSGTDFTLT ISSLQAEDVA VYYCQCHYNT 100
 PFTFGGGTKV EIKRTVAAPS VFIFPPSDEQ LKSGTASVVC LLNNFYPREA 150
 KVQWKVDNAL QSGNSQESVT EQDSKDDSTYS LSSTLTLSKA DYEKHKVYAC 200
 EVTHQGLSSP VTKSFNRRGEC 220

Post-translational modifications

Disulfide bridges location / Position des ponts disulfure / Posiciones de los puentes disulfuro

Intra-H (C23-C104) 22-95 146-202 263-323 369-427

22"-95" 146"-202" 263"-323" 369"-427"

Intra-L (C23-C104) 23"-94' 140"-200'

23"-94" 140""-200""

Inter-H-L (h 5-CL 126)* 222-220' 222"-220"

Inter-H-H (h 11, h 14) * 228-228" 231-231"

*The four inter-chain disulfide bridges are not present, an average of four pairs of cysteinyl being conjugated, each via two thioether bonds, to a drug linker.

*Les quatre ponts disulfures inter-chains ne sont pas présents, quatre paires de cysteinyl en moyenne étant chacune conjuguée, via deux liaisons thioéther, à un linker-principe actif.

*Los cuatro puentes disulfuro inter-catenarios no están presentes, una media de cuatro pares de cisteínil está conjugada, a través de dos enlaces tioéter, con un principio activo.

N-glycosylation sites / Sites de N-glycosylation / Posiciones de N-glicosilación

H CH2 N84.4: 299, 299"

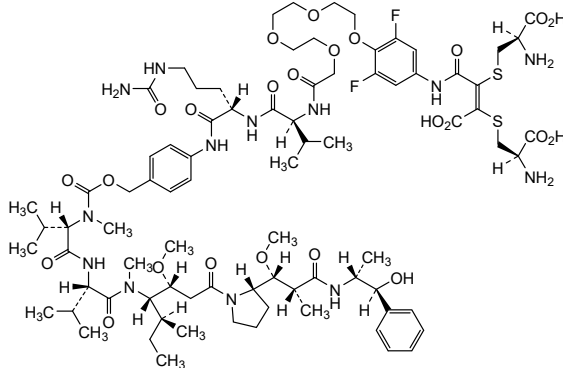
Fucosylated complex bi-antennary CHO-type glycans / glycanes de type CHO bi-antennaires complexes fucosylés / glicanos de tipo CHO biantenarios complejos fucosilados

C-terminal lysine clipping / Coupure de la lysine C-terminale / Recorte de lisina C-terminal
 H CHS K2: 449, 449"

Potential modified residues / résidus modifiés potentiels / restos modificados potenciales*

C (222, 228, 231, 220', 222", 228", 231", 220")

*(fivedotin:mAb ~ 4:1)



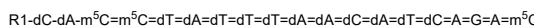
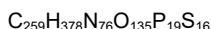
cadapersenum

cadapersen

all-P-ambo-2'-deoxycytidylyl-(3'→5')-2'-deoxyadenylyl-(3'→5')-5-methyl-2'-O,4'-C-methylene-P-thiocytidylyl-(3'→5')-P-thiothymidyl-(3'→5')-2'-deoxy-P-thioadenylyl-(3'→5')-P-thiothymidyl-(3'→5')-P-thiothymidyl-(3'→5')-P-thiothymidyl-(3'→5')-2'-deoxy-P-thioadenylyl-(3'→5')-2'-deoxy-P-thiocytidylyl-(3'→5')-2'-deoxy-P-thioadenylyl-(3'→5')-P-thiothymidyl-(3'→5')-2'-deoxy-P-thiocytidylyl-(3'→5')-2'-O,4'-C-methylene-P-thioadenylyl-(3'→5')-2'-O,4'-C-

methylene-*P*-thioguananyl-l-(3'→5')-2'-O,4'-C-methylene-*P*-thioadenyl-l-(3'→5')-5-methyl-2'-O,4'-C-methylenecytidine 5'-(17S,20S)-1-[(2-acetamido-2-deoxy-β-D-galactopyranosyl)oxy]-17-{2-[2-(2-[2-(2-acetamido-2-deoxy-β-D-galactopyranosyl)oxy]ethoxy]ethoxy}acetamido}-20-{1-[(2-acetamido-2-deoxy-β-D-galactopyranosyl)oxy]-11-oxo-3,6,9-trioxa-12-azahexadecan-16-yl}-11,18,21-trioxo-3,6,9-trioxa-12,19,22-triazaoctacosan-28-yl hydrogen phosphate]

cadapersen	5'-[hydrogénophosphate de (17S,20S)-1-[(2-acétamido-2-désoxy-β-D-galactopyranosyl)oxy]-17-{2-[2-{2-[2-(2-acétamido-2-désoxy-β-D-galactopyranosyl)oxy]éthoxy}éthoxy]acétamido}-20-{1-[(2-acétamido-2-désoxy-β-D-galactopyranosyl)oxy]-11-oxo-3,6,9-trioxa-12-azahexadécan-16-yl}-11,18,21-trioxa-3,6,9-trioxa-12,19,22-triazaoctacosan-28-yle] de tout-P-ambo-2'-désoxyctidyl(3'→5')-2'-désoxyadényl(3'→5')-5-méthyl-2'-O,4'-C-méthylène-P-thiocytidyl(3'→5')-P-thiothymidylyl(3'→5')-2'-désoxy-P-thioadénylyl(3'→5')-P-thiothymidylyl(3'→5')-P-thiothymidylyl(3'→5')-P-thiothymidylyl(3'→5')-2'-désoxy-P-thioadénylyl(3'→5')-2'-désoxy-P-thioadénylyl(3'→5')-2'-désoxy-P-thiocytidyl(3'→5')-2'-désoxy-P-thioadénylyl(3'→5')-P-thiothymidylyl(3'→5')-2'-désoxy-P-thiocytidyl(3'→5')-2'-O,4'-C-méthylène-P-thioadénylyl(3'→5')-2'-O,4'-C-méthylène-P-thioguananyl(3'→5')-2'-O,4'-C-méthylène-P-thioadénycystidine
------------	---

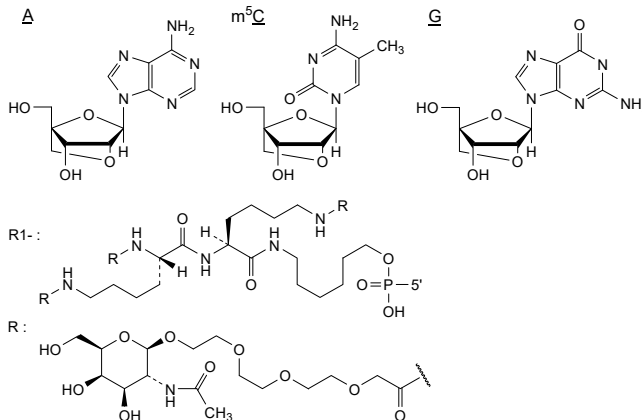


N : A.C.G.T

m⁵N : 5-methyl-N / 5-méthyl-N / 5-metil-N

dN : 2'-deoxy-N / 2'-désoxy-N / 2'-desoxi-N

$$-\text{:}-\text{PO}(\text{OH})-\text{:}- = \text{:}-\text{PO}(\text{SH})-$$



calotatugum ginistinagum #

calotatug ginistinag

immunoglobulin G1-kappa, anti-[*Homo sapiens* ERBB2 (receptor tyrosine-protein kinase erbB-2, epidermal growth factor receptor 2, EGFR2, HER2, HER-2, p185c-erbB2, NEU, CD340)], *Homo sapiens* monoclonal antibody, conjugated on 8 cysteinyl residues to a STING agonist, with a ratio of 1 to 8;
 H-gamma1 heavy chain *Homo sapiens* (1-446) [VH (*Homo sapiens*IGHV3-48*01 (100%) -(IGHD) -IGHJ2*01 (100%), CDR-IMGT [8.8.10] (26-33.51-58.97-106)) (1-117) -*Homo sapiens* IGHG1*01 (100%), G1m17,1 CH1 K120, CH3 D12, L14 (CH1 K120 (214) (118-215), hinge 1-15 (216-230), CH2 (231-340), CH3 D12 (356), L14 (358) (341-445), CHS K2>del (446)) (118-446)], (220-215')-disulfide with L-kappa light chain *Homo sapiens* (1'-215') [V-KAPPA (*Homo sapiens* IGKV3-20*01 (97.9%) -IGKJ4*01 (100%), CDR-IMGT [7.3.9] (27'-33'.51'-53'.90'-98')) (1'-108') -*Homo sapiens* IGKC*01 (100%), Km3 A45.1 (154'), V101 (192') (109'-215')]; dimer (226-226":229-229")-bisdisulfide, produced in Chinese hamster ovary (CHO) cells, cell line CHO-K1SV, glycoform alfa; substituted at the sulfur atom of eight L-cysteinyl residues at position 220, 226, 229, 215', 220", 226", 229" and 215" with (3RS)-1-[(4S,47S,53S,54R,55R,56R)-4-[(15RS)-20-{{(6E)-4⁶,9⁵-dicarbamoyl-1⁴,12⁴-diethyl-1²,12²-dimethyl-2,11-dioxo-3,10-diaza-4(2,3)-imidazo[4,5-*b*]pyridina-9(1,2)-[1,3]benzimidazola-1,12(5)-bis[1,3]oxazoladodecaphan-6-en-9⁷-yl]oxy}-15-methyl-3,13,16-trioxa-7,10,17-trioxa-4,14-diazaicosan-1-yl]-53,54,55,56,57-pentahydroxy-2,5,8,11,14,17,45,50-octaoxo-47-{{(2S,3R,4R,5R)-2,3,4,5,6-pentahydroxyhexyl}[carbamoyl]-21,24,27,30,33,36,39,42-octaoxa-3,6,9,12,15,18,46,51-octaazaheptapentacontan-1-yl]-2,5-dioxopyrrolidin-3-yl (*ginistinag*) groups

calotatug ginistinag

immunoglobuline G1-kappa, anti-[*Homo sapiens* ERBB2 (récepteur tyrosine-protéine kinase erbB-2, récepteur 2 du facteur de croissance épidermique, EGFR2, HER2, HER-2, p185c-erbB2, NEU, CD340)], anticorps monoclonal *Homo sapiens*, conjugué par 8 résidus cystéinyle à un agoniste STING avec un rapport de 1 à 8; chaîne lourde H-gamma1 *Homo sapiens* (1-446) [VH (*Homo sapiens*IGHV3-48*01 (100%) -(IGHD) -IGHJ2*01 (100%), CDR-IMGT [8.8.10] (26-33.51-58.97-106)) (1-117) -*Homo sapiens* IGHG1*01 (100%), G1m17,1 CH1 K120, CH3 D12, L14 (CH1 K120 (214) (118-215), charnière 1-15 (216-230), CH2 (231-340), CH3 D12 (356), L14 (358) (341-445), CHS K2>del (446)) (118-446)], (220-215')-disulfure avec la chaîne légère L-kappa *Homo sapiens* (1'-215') [V-KAPPA (*Homo sapiens* IGKV3-20*01 (97.9%) -IGKJ4*01 (100%), CDR-IMGT [7.3.9] (27'-33'.51'-53'.90'-98')) (1'-108') -*Homo sapiens* IGKC*01 (100%), Km3 A45.1 (154'), V101 (192') (109'-215')]; dimère (226-226":229-229")-bisdisulfure, produit dans des cellules ovariennes de hamster chinois (CHO), lignée cellulaire CHO-K1SV, glycoforme alfa; substitué sur l'atome de soufre de 8 résidus L-cystéinyle en position 220, 226, 229, 215', 220", 226", 229" et 215" avec le groupement (3RS)-1-[(4S,47S,53S,54R,55R,56R)-4-[(15RS)-20-{{(6E)-4⁶,9⁵-dicarbamoyl-1⁴,12⁴-diéthyl-1²,12²-diméthyl-2,11-dioxo-3,10-diaza-4(2,3)-imidazo[4,5-*b*]pyridina-9(1,2)-[1,3]benzimidazola-1,12(5)-bis[1,3]oxazoladodecaphan-6-én-9⁷-yl]oxy}-15-méthyl-3,13,16-trioxa-7,10,17-trioxa-4,14-diazaicosan-1-yl]-53,54,55,56,57-pentahydroxy-2,5,8,11,14,17,45,50-octaoxo-47-{{(2S,3R,4R,5R)-2,3,4,5,6-pentahydroxyhexyl}[carbamoyl]-21,24,27,30,33,36,39,42-octaoxa-3,6,9,12,15,18,46,51-octaazaheptapentacontan-1-yl]-2,5-dioxopyrrolidin-3-yle (*ginistinag*)

calotatug ginistinag

inmunoglobulina G1-kappa, anti-[*Homo sapiens* ERBB2 (receptor tirosina-proteína kinasa erbB-2, receptor 2 del factor de crecimiento epidémico, EGFR2, HER2, HER-2, p185c-erbB2, NEU, CD340)], anticuerpo monoclonal *Homo sapiens*, conjugado por 8 residuos cisteinilo a un agonista STING con un ratio de 1 a 8;

cadena pesada H-gamma1 *Homo sapiens* (1-446) [VH (*Homo sapiens*IGHV3-48*01 (100%) -(IGHD)-IGHJ2*01 (100%), CDR-IMGT [8.8.10] (26-33.51-58.97-106)) (1-117) -*Homo sapiens*IGHG1*01 (100%), G1m17,1 CH1 K120, CH3 D12, L14 (CH1 K120 (214) (118-215), bisagra 1-15 (216-230), CH2 (231-340), CH3 D12 (356), L14 (358) (341-445), CHS K2>del (446)) (118-446)], (220-215')-disulfuro con la cadena ligera
 L-kappa *Homo sapiens* (1'-215') [V-KAPPA (*Homo sapiens*IGKV3-20*01 (97.9%) -IGKJ4*01 (100%), CDR-IMGT [7.3.9] (27'-33'.51'-53'.90'-98')) (1'-108') -*Homo sapiens*IGKC*01 (100%), Km3 A45.1 (154'), V101 (192') (109'-215')]; dímero (226-226":229-229")-bisdisulfuro, producido en las células ováricas de hámster chino (CHO), línea celular CHO-K1SV, forma glicosilada alfa; substituido sobre el átomo de azufre de 8 residuos L-cisteinilo en posición 220, 226, 229, 215', 220", 226", 229" y 215" con el grupo (3RS)-1-[(4S,47S,53S,54R,55R,56R)-4-[(15RS)-20-{{(6E)-4⁶,9⁵-dicarbamoil-1⁴,12⁴-dietyl-1²,12²-dimetyl-2,11-dioxo-3,10-diaza-4(2,3)-imidazo[4,5-b]piridina-9(1,2)-[1,3]benzimidazola-1,12(5)-bis[1,3]oxazoladodecan-6-en-9⁷-il]oxi]-15-metil-3,13,16-trioxo-7,10,17-trioxa-4,14-diazaicosan-1-il]-53,54,55,56,57-pentahidroxi-2,5,8,11,14,17,45,50-octaoxo-47-{{(2S,3R,4R,5R)-2,3,4,5,6-pentahidroxihexil}carbamoil}-21,24,27,30,33,36,39,42-octaoxa-3,6,9,12,15,18,46,51-octaazaheptapentacontan-1-il]-2,5-dioxopirrolidin-3-ilo (ginistinag)

Heavy chain / Chaîne lourde / Cadena pesada

```

EVQIVVESGGG LVQPGGSILRL SCAASGFTFS SYSNNWVRQA PGKGLEWVSY 50
ISSSSSTIYI ADSSVKGRFTI SRDNNAASLY LQMNSSLRAED TAVYYCARGG 100
HGYFDLWLGRK TLTVTVSSAAT KGPSVFLPLAP SSKSTSGGTAA LGCLVLDYF 150
PEPFTVSNWNE GALTSGVHRTF PAVLGSSGLY SLSSVTVPSV SSLLQTQTYIC 200
NVNNHKPSNTIE VDKKVEPKSC DKTHTCPCP APELLGGPSV FLFFPKPKDT 250
LMISRSTPEVY CVVVDVSHED PEVKRNWYDV GVEVHNARTK FREEQVNSTY 300
RVVSVLITVLH QDWLNGKEYK CRVSNKALPFA PIERTISRAK QGPRFPQVYT 350
LPSPSDELTHQ NQVSLTCLVK GFYPSDIAVE WESNGQPNEN YKTFPPVLDs 400
DGSSFFLYSKL TVDKSRWQQG NVFSCSVMHE ALHNHYTQKS LSLSPG 446

```

Light chain / Chaîne légère / Cadena ligera

```

EIVLITQSPPGT LSLSLGERAT LSCRASQSVS SSYLAWSYQQK PGQAPRILLIY 50
GASSRATGIP DRFSGGSQSGT DFTLTISRLPE DFEDFVVYQQY QYHHSPLTFG 100
GGTRKVEIKRQ VAAVPVFIFP PSDEQLKSGT ASVVCCLNNP YPREAKVQWK 150
VDNALQSGNQ QESVTEQDSK DSTYLSLST TLSKADYEKH KVYACEVTHQ 200
GLSSPVTKSF NRGEC 215

```

Post-translational modifications

Disulfide bridges location / Position des ponts disulfure / Posiciones de los puentes disulfuro
 Intra-H (C23-C104) 22-96 144-200 261-321 367-425

22"-96" 144"-200" 261"-321" 367"-425"

Intra-L (C23-C104) 23"-89" 135"-195"

23"-89" 135"-195"

Inter-H-L* (h 5-CL 126) 220-215" 220"-215"

Inter-H-H* (h 11, h 14) 226-226" 229-229"

* The four inter-chain disulfide bridges are not present, an average of 8 cysteinyl being conjugated each via a thioether bond to a drug linker.

* Les quatre ponts disulfures inter-chains ne sont pas présents, 8 cystéinyl en moyenne étant chacun conjugué via une liaison thioether à un linker-principe actif.

* Los cuatro puentes disulfuro inter-catenarios no están presentes, una media de 8 cisteínil

está conjugada a conóctores de principio activo.

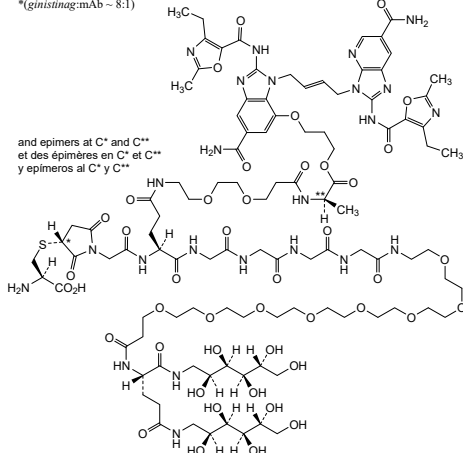
N-glycosylation sites / Sites de N-glycosylation / Posiciones de N-glicosilación

H CH2 N84.4: 297, 297"
 Fucosylated complex bi-antennary CHO-type glycans / glycanes de tipo CHO bi-antennaires complexes fucosyles / glicanos de tipo CHO biantenarios complejos fucosidos

Potential modified residues / résidus modifiés potentiels / restos modificados potenciales*

C (220, 226, 229, 215', 220", 226", 229", 215")

(ginistinag:mAb ~ 8:1)



cambritaxestatum

cambritaxestat

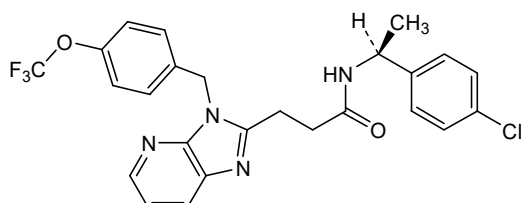
N-(*(1S)*-1-(4-chlorophenyl)ethyl)-3-(3-[4-(trifluoromethoxy)phenyl]methyl)-3*H*-imidazo[4,5-*b*]pyridin-2-yl)propanamide

cambritaxestat

N-(*(1S)*-1-(4-chlorophényl)éthyl)-3-(3-[4-(trifluorométhoxy)phényl]méthyl)-3*H*-imidazo[4,5-*b*]pyridin-2-yl)propanamide

cambritaxestat

N-(*(1S)*-1-(4-clorofenil)etil)-3-(3-[4-(trifluorometoxi)fenil]metil)-3*H*-imidazo[4,5-*b*]piridin-2-il)propanamida

**canvuparatum**

canvuparatide

human parathyroid hormone (PTH) peptide fragment (1-32), N^{32} -amide substituted at $N^{2.1}$ with N^6 -[*N*-(17-[*N*-(17-carboxyheptadecanoyl)-L- γ -glutamyl]amino)-10-oxo-3,6,12,15-tetraoxa-9-azaheptadecan-1-oyl)-L- γ -glutamyl]-D-lysyl-*N*-methylglycyl and at $N^{1.32}$ with [(*1S*)-5-[*[N*-(17-[*N*-(17-carboxyheptadecanoyl)-L- γ -glutamyl]amino)-10-oxo-3,6,12,15-tetraoxa-9-azaheptadecan-1-oyl)-L- γ -glutamyl]amino]-1-carboxypentyl groups; N^6 -[*N*-(17-[*[N*-(17-carboxyheptadecanoyl)-L- γ -glutamyl]amino)-10-oxo-3,6,12,15-tetraoxa-9-azaheptadecan-1-oyl)-L- γ -glutamyl]-D-lysyl-*N*-methylglycyl-L-seryl-L-valyl-L-seryl-L- α -glutamyl-L-isoleucyl-L-glutaminyl-L-leucyl-L-methionyl-L-histidyl-L-asparaginyl-L-leucylglycyl-L-lysyl-L-histidyl-L-leucyl-L-asparaginyl-L-seryl-L-methionyl-L- α -glutamyl-L-arginyl-L-valyl-L- α -glutamyl-L-tryptophyl-L-leucyl-L-arginyl-L-lysyl-L-lysyl-L-leucyl-L-glutaminyl-L- α -aspartyl-L-valyl-L-histidyl- N^6 -[*N*-(17-[*N*-(17-carboxyheptadecanoyl)-L- γ -glutamyl]amino)-10-oxo-3,6,12,15-tetraoxa-9-azaheptadecan-1-oyl)-L- γ -glutamyl]-L-lysine

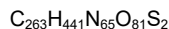
canvuparatide

fragment (1-32) de l'hormone parathyroïdienne humaine synthétique, substitué en N^{32} par un amide sur $N^{2.1}$ avec un groupe N^6 -[*N*-(17-[*N*-(17-carboxyheptadécanoyl)-L- γ -glutamyl]amino)-10-oxo-3,6,12,15-tétraoxa-9-azaheptadécan-1-oyl)-L- γ -glutamyl]-D-lysyl-*N*-méthylglycyle et en $N^{1.32}$ avec un groupe [(*1S*)-5-[*[N*-(17-[*N*-(17-carboxyheptadécanoyl)-L- γ -glutamyl]amino)-10-oxo-3,6,12,15-tétraoxa-9-azaheptadécan-1-oyl)-L- γ -glutamyl]amino]-1-carboxypentyle;

$N^6-[N-(17-[(N-(17\text{-carboxyheptadécanoyl})-L-\gamma\text{-glutamyl}]amino)-10\text{-oxo-}3,6,12,15\text{-tétraoxa-9\text{-azaheptadécan-1-oyl})-L-\gamma\text{-glutamyl}]D\text{-lysyl-}N\text{-méthylglycyl-L\text{-séryl-L\text{-valyl-L\text{-séryl-L\text{-}\alpha\text{-glutamyl-L\text{-isoleucyl-L\text{-glutaminyl-L\text{-leucyl-L\text{-méthionyl-L\text{-histidyl-L\text{-asparaginyl-L\text{-leucylglycyl-L\text{-lysyl-L\text{-histidyl-L\text{-leucyl-L\text{-asparaginyl-L\text{-séryl-L\text{-méthionyl-L\text{-}\alpha\text{-glutamyl-L\text{-arginyl-L\text{-valyl-L\text{-}\alpha\text{-glutamyl-L\text{-tryptophyl-L\text{-leucyl-L\text{-arginy-L\text{-lysyl-L\text{-lysyl-L\text{-leucyl-L\text{-glutaminyl-L\text{-}\alpha\text{-aspartyl-L\text{-valyl-L\text{-histidyl-N^6-[N-(17\text{-[N-(17\text{-carboxyheptadécanoyl)-L-\gamma\text{-glutamyl}]amino)-10\text{-oxo-}3,6,12,15\text{-tétraoxa-9\text{-azaheptadécan-1-oyl})-L-\gamma\text{-glutamyl}]L\text{-lysine$

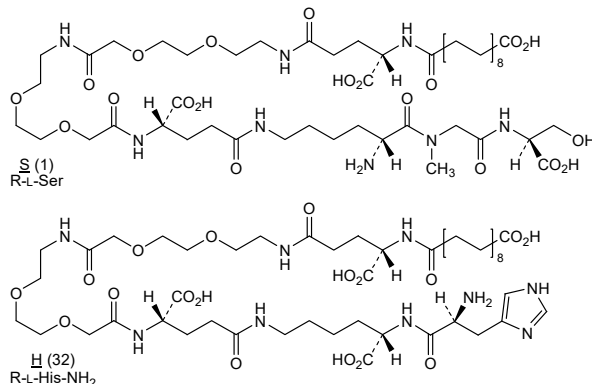
canvuparatida

fragmento (1-32) de la hormona paratiroidea humana sintética, sustituido en N^{32} por una amida en N^{21} con un grupo N^6 -[N -(17-[N -(17-carboxiheptadecanoil)-L- γ -glutamilo]amino)-10-oxo-3,6,12,15-tetraoxa-9-azaheptadecan-1-oil]-L- γ -glutamilo]-D-lisil-N-metilglicilo y en N^{132} con un grupo [(1S)-5-[(N -(17-[N -(17-carboxiheptadecanoil)-L- γ -glutamilo]amino)-10-oxo-3,6,12,15-tetraoxa-9-azaheptadecan-1-oil]-L- γ -glutamilo]amino]-1-carboxipentilo; N^6 -[N -(17-[N -(17-carboxiheptadecanoil)-L- γ -glutamilo]amino)-10-oxo-3,6,12,15-tetraoxa-9-azaheptadecan-1-oil]-L- γ -glutamilo]-D-lisil-N-metilglicil-L-seril-L-valil-L-seril-L- α -glutamil-L-isoleucil-L-glutaminil-L-leucil-L-metionil-L-histidil-L-asparaginil-L-leucilglicil-L-lisil-L-histidil-L-leucil-L-asparaginil-L-seril-L-metionil-L- α -glutamil-L-arginil-L-valil-L- α -glutamil-L-triptofil-L-leucil-L-arginil-L-lisil-L-lisil-L-leucil-L-glutaminil-L- α -aspartil-L-valil-L-histidil-N 6 -[N -(17-[N -(17-carboxiheptadecanoil)-L- γ -glutamilo]amino)-10-oxo-3,6,12,15-tetraoxa-9-azaheptadecan-1-oil]-L- γ -glutamilo]-L-lisina



SVSEIQLMHN LGKHLNSMER VEWLRKKLQD VH 32

Modified residues / Résidus modifiés / Restos modificados



casdatifanum

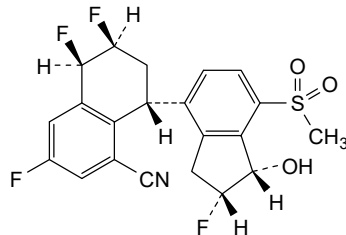
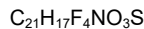
casdatifan

(5*R*,6*S*,8*R*)-3,5,6-trifluoro-8-[(1*S*,2*R*)-2-fluoro-1-hydroxy-7-(methanesulfonyl)-2,3-dihydro-1*H*-inden-4-yl]-5,6,7,8-tetrahydronaphthalene-1-carbonitrile

casdatifan

(5*R*,6*S*,8*R*)-3,5,6-trifluoro-8-[(1*S*,2*R*)-2-fluoro-1-hydroxy-7-(méthanesulfonyl)-2,3-dihydro-1*H*-inden-4-yl]-5,6,7,8-tetrahydronaphthalène-1-carbonitrile

casdatifán

(5*R*,6*S*,8*R*)-3,5,6-trifluoro-8-[(1*S*,2*R*)-2-fluoro-1-hidroxi-7-(metanosulfonil)-2,3-dihidro-1*H*-inden-4-il]-5,6,7,8-tetrahidronaftaleno-1-carbonitriolo**caxmotabartum #**

caxmotabart

immunoglobulin G1-kappa, anti-[*Homo sapiens* ERBB2 (receptor tyrosine-protein kinase erbB-2, epidermal growth factor receptor 2, EGFR2, HER2, HER-2, p185c-erbB2, NEU, CD340)], humanized monoclonal antibody, with the L-kappa light chains being fused at their C-terminal end to a 11-mer sequence containing a CaaX motif (isoprenylation recognition sequence) with a site specific cysteine; H-gamma1 heavy chain humanized (1-450) [VH (*Homo sapiens* IGHV3-66*01 (81.6%) -(IGHD) -IGHJ4*01 (100%), CDR-IMGT [8.8.13] (26-33.51-58.97-109)) (1-120) -*Homo sapiens*IGHG1*03v, G1m3>G1m17, nG1m1 CH1 K120, CH3 E12, M14 (CH1 R120>K (217) (121-218), hinge 1-15 (219-233), CH2 (234-343), CH3 E12 (359), M14 (361) (344-448), CHS (449-450)) (121-450)], (223-214')-disulfide with L-kappa light chain humanized (1'-225') [V-KAPPA (*Homo sapiens* IGKV1-39*01 (86.3%) -IGKJ1*01 (100%), CDR-IMGT [6.3.9] (27'-32'.50'-52'.89'-97')) (1'-107') -*Homo sapiens* IGKC*01 (100%) Km3 A45.1, V101 (C-KAPPA A45.1 (153'), V101 (191')) (108'-214') -11-mer containing 7 G and a CaaX motif (222'-225') with a site specific cysteine (222') (215'-225')]; dimer (229-229":232-232")-bisdisulfide, produced in Chinese hamster ovary (CHO) cells, cell line CHO-K1, glycoform alfa

caxmotabart

immunoglobuline G1-kappa, anti-[*Homo sapiens* ERBB2 (récepteur tyrosine-protéine kinase erbB-2, récepteur 2 du facteur de croissance épidermique, EGFR2, HER2, HER-2, p185c-erbB2, NEU, CD340)], anticorps monoclonal humanisé, avec les chaînes légères L-kappa fusionnées à leur extrémité C-terminale à une séquence 11-mer contenant un motif CaaX (séquence de reconnaissance d'isoprénylation avec une cystéine spécifique de site);

chaîne lourde H-gamma1 humanisée (1-450) [VH (*Homo sapiens*IGHV3-66*01 (81.6%) -(IGHD) -IGHJ4*01 (100%), CDR-IMGT [8.8.13] (26-33.51-58.97-109)) (1-120) -*Homo sapiens* IGHG1*03v, G1m3>G1m17, nG1m1 CH1 K120, CH3 E12, M14 (CH1 R120>K (217) (121-218), charnière 1-15 (219-233), CH2 (234-343), CH3 E12 (359), M14 (361) (344-448), CHS (449-450)) (121-450)], (223-214')-disulfure avec la chaîne légère L-kappa humanisée (1'-225') [V-KAPPA (*Homo sapiens* IGKV1-39*01 (86.3%) -IGKJ1*01 (100%), CDR-IMGT [6.3.9] (27'-32'.50'-52'.89'-97')) (1'-107') -*Homo sapiens* IGKC*01 (100%) Km3 A45.1, V101 (C-KAPPA A45.1 (153'), V101 (191')) (108'-214') -11-mer contenant 7 G et un motif CaaX (222'-225') avec la cystéine spécifique de site (222') (215'-225')]; dimère (229-229":232-232")-bisdisulfure, produit dans des cellules ovarianes de hamster chinois (CHO), lignée cellulaire CHO-K1, glycoforme alfa

caxmotabart

inmunoglobulina G1-kappa, anti-[*Homo sapiens* ERBB2 (receptor tirosina-proteína kinasa erbB-2, receptor 2 del factor de crecimiento epidérmico, EGFR2, HER2, HER-2, p185c-erbB2, NEU, CD340)], anticuerpo monoclonal humanizado, con las cadenas ligeras L-kappa fusionadas a su extremidad C-terminal con una secuencia 11-mer que contiene un motivo CaaX (secuencia de reconocimiento de isoprenilación con una cisteína específica de lugar); cadena pesada H-gamma1 humanizada (1-450) [VH (*Homo sapiens*IGHV3-66*01 (81.6%) -(IGHD) -IGHJ4*01 (100%), CDR-IMGT [8.8.13] (26-33.51-58.97-109)) (1-120) -*Homo sapiens* IGHG1*03v, G1m3>G1m17, nG1m1 CH1 K120, CH3 E12, M14 (CH1 R120>K (217) (121-218), bisagra 1-15 (219-233), CH2 (234-343), CH3 E12 (359), M14 (361) (344-448), CHS (449-450)) (121-450)], (223-214')-disulfuro con la cadena ligera L-kappa humanizada (1'-225') [V-KAPPA (*Homo sapiens* IGKV1-39*01 (86.3%) -IGKJ1*01 (100%), CDR-IMGT [6.3.9] (27'-32'.50'-52'.89'-97')) (1'-107') -*Homo sapiens* IGKC*01 (100%) Km3 A45.1, V101 (C-KAPPA A45.1 (153'), V101 (191')) (108'-214') -11-mer que contiene 7 G y un motivo CaaX (222'-225') con la cisteína específica de lugar (222') (215'-225')]; dímero (229-229":232-232")-bisdisulfuro, producido en las células ováricas de hámster chino (CHO), línea celular CHO-K1, forma glicosilada alfa

Heavy chain / Chaîne lourde / Cadena pesada

```

EVQLVESGGG LVQPGGSLRL SCAASGFIK DTYIHWVRQA PGKGLEWVAR 50
IYPTNGYTRY ADSVKGRFTI SAADTSKNTAY IQLMNSLRAED TAVYYCSRWG 100
GDGFYAMDYW QGGTLTVTSS ASTKGPSVP LAPSSKSTSG GTAALGCLVK 150
DYFFPEPVTVS WNSGALTSGV HTFPFAVLQSS GLYSLSSVVT VPSSSLGTQT 200
YICCNVNHKPS NTKVDKKVEP KSCDKTHTCP FCPAPELLGE FSVFLFPKP 250
KDTLMISRTP EVTCVVVDVS HEDPEVKENW YVDGVEVHNNA KTKPREEQYN 300
STYRVRVSVLT VLHQDWLNKG EYKCKVSNKA LPAPIEKTIS KAKGQPREGQ 350
VYTLPSPSREE MTKNQVSLTC LVKGFYPSDI AVEWESENQQP ENNYKTTPPV 400
LDSDGSSFLY SKLTVDKSRW QQGNFVCSMV MHEALHNHYT QKSLSLSPLGK 450

```

Light chain / Chaîne légère / Cadena ligera

```

DIQMTQSPSS LSASVGDRVT ITCRASQDVN TAVAWEQQKP GKAPKLLIYS 50
ASFLYSGVPS RFSGSRSGTD FTTLTSSLQP EDFATYYCQQ HYTTTPTFGQ 100
GTVKEIKRTV AAPSVFIFPP SDEQLKSGTA SVVCLLNNFY PREAKVQWKV 150
DNAQSGNSQ ESVTEQDSKD STYSLSSLT LSKADYEKHK VYACEVTTHQG 200
LSSPVTKFSN RGECCCCGGGG GCVIM 225

```

Post-translational modifications

Disulfide bridges location / Position des ponts disulfure / Posiciones de los puentes disulfuro

Intra-H (C23-C104) 22-96 147-203 264-324 370-428
22"-96" 147"-203" 264"-324" 370"-428"

Intra-L (C23-C104) 23"-88" 134"-194"
23"-88" 134"-194"

Inter-H-L (h 5-CL 126) 223-214' 223"-214"

Inter-H-H (h 11, h 14) 229-229" 232-232"

N-glycosylation sites / Sites de N-glycosylation / Posiciones de N-glicosilación

H CH2 N84.4: 300, 300"

Fucosylated complex bi-antennary CHO-type glycans / glycanes de type CHO bi-antennaires complexes fucosylés / glicanos de tipo CHO biantenarios complejos fucosilados

C-terminal lysine clipping / Coupure de la lysine C-terminale / Recorte de lisina C-terminal
H CHS K2: 450, 450"

Site specific cysteine / Cystéine spécifique de site / Cisteína específica de sitio
L 11-mer CaaX motif: 222', 222""

caxmotabartum entudotinum #

caxmotabart entudotin

immunoglobulin G1-kappa, anti-[*Homo sapiens* ERBB2 (receptor tyrosine-protein kinase erbB-2, epidermal growth factor receptor 2, EGFR2, HER2, HER-2, p185c-erbB2, NEU, CD340)], humanized monoclonal antibody, conjugated on an average of two cysteinyl residues to *entudotin*; H-gamma1 heavy chain humanized (1-450) [VH (*Homo sapiens*IGHV3-66*01 (81.6%) -(IGHD) - IGHJ4*01 (100%), CDR-IMGT [8.8.13] (26-33.51-58.97-109)) (1-120) -*Homo sapiens*IGHG1*03v, G1m3>G1m17, nG1m1 CH1 K120, CH3 E12, M14 (CH1 R120>K (217) (121-218), hinge 1-15 (219-233), CH2 (234-343), CH3 E12 (359), M14 (361) (344-448), CHS (449-450)) (121-450)], (223-214')-disulfide with L-kappa light chain humanized (1'-225') [V-KAPPA (*Homo sapiens*IGKV1-39*01 (86.3%) -IGKJ1*01 (100%), CDR-IMGT [6.3.9] (27'-32'.50'-52'.89'-97')) (1'-107') -*Homo sapiens*IGKC*01 (100%) Km3 A45.1, V101 (C-KAPPA A45.1 (153'), V101 (191')) (108'-214') -8-mer GGGGGGGC (215'-222')]; dimer (229-229":232-232")-bisdisulfide, produced in Chinese hamster ovary (CHO) cells, cell line CHO-K1, glycoform alfa; substituted at the sulfur atoms of two L-cysteinyl residues 222 and 222" with (12E,16E,20E)-1-{5-[(5S,8S,11S,12R)-11-[(2S)-butan-2-yl]-12-(2-[(2S)-2-[(1R,2R)-1-methoxy-2-methyl-3-oxo-3-[(2R)-1-phenylpropan-2-yl]amino}propyl]pyrrolidin-1-yl]-2-oxoethyl)-4,10-dimethyl-3,6,9-trioxa-5,8-di(propan-2-yl)-2,13-dioxa-4,7,10-triazatetradecan-1-yl]-2-(β-D-glucopyranuronosyloxy)phenyl]-13,16,20-trimethyl-1-oxo-5,8,11-trioxa-2,12-diazadocosa-12,16,20-trien-22-yl (*entudotin*) groups

caxmotabart entudotine

immunoglobuline G1-kappa, anti-[*Homo sapiens* ERBB2 (récepteur tyrosine-protéine kinase erbB-2, récepteur 2 du facteur de croissance épidermique, EGFR2, HER2, HER-2, p185c-erbB2, NEU, CD340)], anticorps monoclonal humanisé, conjuguée par deux résidus cystéinyles en moyenne à l'*entudotine*; chaîne lourde H-gamma1 humanisée (1-450) [VH (*Homo sapiens*IGHV3-66*01 (81.6%) -(IGHD) - IGHJ4*01 (100%), CDR-IMGT [8.8.13] (26-33.51-58.97-109)) (1-120) -*Homo sapiens*IGHG1*03v, G1m3>G1m17, nG1m1 CH1 K120, CH3 E12, M14 (CH1 R120>K (217) (121-218), charnière 1-15 (219-233), CH2 (234-343), CH3 E12 (359), M14 (361) (344-448), CHS (449-450)) (121-450)], (223-214')-disulfure avec la chaîne légère L-kappa humanisée (1'-225') [V-KAPPA (*Homo sapiens*IGKV1-39*01 (86.3%) -IGKJ1*01 (100%), CDR-IMGT [6.3.9] (27'-32'.50'-52'.89'-97')) (1'-107') -*Homo sapiens*IGKC*01 (100%) Km3 A45.1, V101 (C-KAPPA A45.1 (153'), V101 (191')) (108'-214') -8-mer GGGGGGGC (215'-222')]; dimère (229-229":232-232")-bisdisulfure , produit dans des cellules

ovariennes de hamster chinois (CHO), lignée cellulaire CHO-K1, glycoforme alfa; substituée, sur l'atome de soufre de deux résidus L-cystéinyle 222 et 222", par deux groupes ($12E,16E,20E$)-1-{5-[($5S,8S,11S,12R$)-11-[(2S)-butan-2-yl]-12-(2-[(2S)-2-[(1R,2R)-1-méthoxy-2-méthyl-3-oxo-3-[(2R)-1-phénylpropan-2-yl]amino}propyl]pyrrolidin-1-yl]-2-oxoéthyl)-4,10-diméthyl-3,6,9-trioxo-5,8-di(propan-2-yl)-2,13-dioxa-4,7,10-triazatétradécan-1-yl]-2-(β -D-glucopyranuronosyloxy)phényl]-13,16,20-triméthyl-1-oxo-5,8,11-trioxa-2,12-diazadocosa-12,16,20-trièn-22-yle (*entudotine*)

- caxmotabart entudotina inmunoglobulina G1-kappa, anti-[*Homo sapiens* ERBB2 (receptor tirosina-proteína kinasa erbB-2, receptor 2 del factor de crecimiento epidémico, EGFR2, HER2, HER-2, p185c-erbB2, NEU, CD340)], anticuerpo monoclonal humanizado, conjugado, por dos residuos de cisteinilo por término medio, a *entudotina*; cadena pesada H-gamma1 humanizada (1-450) [VH (*Homo sapiens* IGHV3-66*01 (81.6%) - (IGHD) -IGHJ4*01 (100%), CDR-IMGT [8.8.13] (26-33.51-58.97-109)) (1-120) -*Homo sapiens*IGHG1*03v, G1m3>G1m17, nG1m1 CH1 K120, CH3 E12, M14 (CH1 R120>K (217) (121-218), bisagra 1-15 (219-233), CH2 (234-343), CH3 E12 (359), M14 (361) (344-448), CHS (449-450)) (121-450)], (223-214')-disulfuro con la cadena ligera L-kappa humanizada (1'-225') [VKAPPA (*Homo sapiens* IGKV1-39*01 (86.3%) - IGKJ1*01 (100%), CDR-IMGT [6.3.9] (27'-32'.50'-52'.89'-97')) (1'-107') -*Homo sapiens*IGKC*01 (100%) Km3 A45.1, V101 (C-KAPPA A45.1 (153'), V101 (191')) (108'-214') -8-mer GGGGGGGC (215'-222')]; dímero (229-229":232-232")-bisdisulfuro, producido en las células ováricas de hámster chino (CHO), línea celular CHO-K1, forma glicosilada alfa; sustituido, en el átomo de azufre de dos residuos L-cisteinilo 222 y 222", por dos grupos ($12E,16E,20E$)-1-{5-[($5S,8S,11S,12R$)-11-[(2S)-butan-2-yl]-12-(2-[(2S)-2-[(1R,2R)-2-metil-1-metoxi-3-oxo-3-[(2R)-1-fenilpropano-2-yl]amino}propil]pirrolidin-1-yl]-2-oxoéthyl)-4,10-dimetil-3,6,9-trioxo-5,8-di(propan-2-yl)-2,13-dioxa-4,7,10-triazatétradécan-1-yl]-2-(β -D-glucopiranuronosiloxi)fenil]-13,16,20-trimetil-1-oxo-5,8,11-trioxa-2 ,12-diazadocosa-12,16,20-trien-22-ilo (*entudotina*)

Heavy chain / Chaîne lourde / Cadena pesad

EVQLVESGGG LVQPQGSSLRL SCAASGFNIK DTYIHWVRQA PGKGLEWVAR 50
 IYPTNGYTRY ADFSVKGRFTI SAUTSKNTAY LQMNSLRAED TAVVYCSRWG 100
 GDGFYAMDYW GQGTLLTVSS ASTKGPSVPF LAPSSKSTSG GTAALCIVK 150
 DYFFPEPFTVS WNSGALTSGV HFTPAVLQSS GLYSLSSVVT VPSSSLGTQT 200
 YICVNHHKPS NTKVDKRKEP KSCDKTHTCP PCPAPELLGG PSVFLPPPKP 250
 KDTLMISRTP EVTCVVVDVS HEDPEVKFNW YVDGVEVHNA KTKPREEQYN 300
 STYRVSVSILT VLHQDWLNKG EYCKCVSNKA LPAPIEKTIS KAKGQPREPQ 350
 VYTLPSPREEE MTRNQVSLTC LVKGFYPSDI AVEWESNGQF ENNYKTTPV 400
 LSDSDGSFLY SKLTVDKSRW QQGNVFSCSV MHEALHNHYT QKSLSLSPK 450

Light chain / Chaîne légère / Cadena ligera

DIQMTQSPSS LSASVGDRTV ITTCRASQDVN TAVAWYQQKP GKAPKLIIYS 50
 ASFLYSGVPVS RFSGSRSGTD FTTLISSLQP EDFATYCYQQ HYTPTPTFGQ 100
 GTKVEIKRVT AAPSVFIFPP SDEQLKSGTA SVVCLLNNFY PREAKVQNKV 150
 DNAQSGNSQ ESVTEQDSDKD STYSLSSLT LSKADYEKHK VYACEVTHQG 200
 LSSPVTKSFN RGECCCCGGGG GC 222

Post-translational modifications

Disulfide bridges location / Position des ponts disulfure / Posiciones de los puentes disulfuro

Intra-H (C23-C104) 22'-96" 147'-203" 264-324" 370-428"
 22"-96" 147"-203" 264"-324" 370"-428"

Intra-L (C23-C104) 23'-88" 134'-194"
 23"-88" 134"-194"

Inter-H-L (h 5-CL 126) 223-214" 223"-214"

Inter-H-H (h 11, h 14) 229-229" 232-232"

N-glycosylation sites / Sites de N-glycosylation / Posiciones de N-glicosilación

H CH₂ NS4:4; 300, 300"

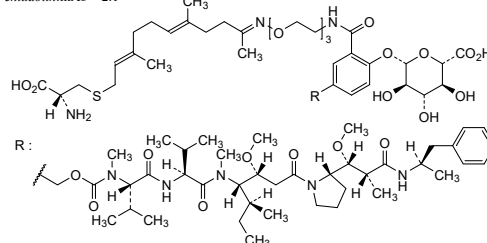
Fucosylated complex bi-antennary CHO-type glycans / glycanes de tipo CHO bi-antennarios complejos fucosylados

C-terminal lysine clipping / Coupe de la lysine C-terminale / Recorte de lisina C-terminal
H CHS K2: 450, 450"Site specific cysteine / Cystéine spécifique de site / Cisteína específica de sitio
L 8-mer: 222", 222"

Modified residues / Résidus modifiés / Restos modificados

C (222", 222")

entudotin:mAb ~ 2:1

**cenacitinibum**

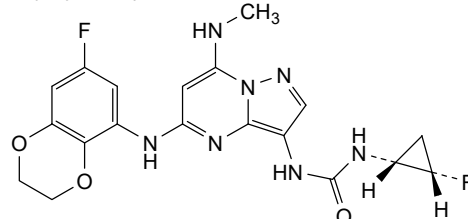
cenacitinib

N-[5-[(7-fluoro-2,3-dihydro-1,4-benzodioxin-5-yl)amino]-7-(methylamino)pyrazolo[1,5-a]pyrimidin-3-yl]-N'-(1*R*,2*S*)-2-fluorocyclopropyl]urea

cénacitinib

N-[5-[(7-fluoro-2,3-dihydro-1,4-benzodioxin-5-yl)amino]-7-(methylamino)pyrazolo[1,5-a]pyrimidin-3-yl]-N'-(1*R*,2*S*)-2-fluorocyclopropyl]urea

cenacitinib

N-[(1*R*,2*S*)-2-fluorociclopropil]-N-{5-[(7-fluoro-2,3-dihidro-1,4-benzodioxin-5-il)amino]-7-(metilamino)pirazolo[1,5-a]pirimidin-3-il]}ureaC₁₉H₁₉F₂N₇O₃

cetuximab beta #

cetuximab beta

immunoglobulin G1-kappa, anti-[*Homo sapiens* EGFR (epidermal growth factor receptor, receptor tyrosine-protein kinase erbB-1, ERBB1, HER1, HER-1, ERBB)], chimeric monoclonal antibody; H-gamma1 heavy chain chimeric (1-449) [VH (*Mus musculus*IGHV2-2*03 (93.8%) -(IGHD) -IGHJ3*01 (100%)), CDR-IMGT [8.7.13] (26-33.51-57.96-108)) (1-119) -*Homo sapiens* IGHG1*03, G1m3, nG1m1 CH1 R120, CH3 E12, M14 (CH1 R120 (216) (120-217), hinge (218-232), CH2 (233-342), CH3 E12 (358), M14 (360) (343-447), CHS (448-449)) (120-449)], (222-214')-disulfide with L-kappa light chain chimeric (1'-214') [V-KAPPA (*Mus musculus* IGKV5-48*01 (95.8%) -IGKJ5*01 (100%)), CDR-IMGT [6.3.9] (27'-32'.50'-52'.89'-97')) (1'-107') -*Homo sapiens* IGKC*01 (100%) Km3 A45.1, V101 (C-KAPPA A45.1 (153'), V101 (191')) (108'-214')]; dimer (228-228":231-231")-bisdisulfide, produced in Chinese hamster ovary (CHO) cells, cell line CHO-K1, glycoform beta

cétximab bêta

immunoglobuline G1-kappa, anti-[*Homo sapiens* EGFR (récepteur du facteur de croissance épidermique, récepteur tyrosine-protéine kinase erbB-1, ERBB1, HER1, HER-1, ERBB)], anticorps monoclonal chimérique; chaîne lourde H-gamma1 chimérique (1-449) [VH (*Mus musculus*IGHV2-2*03 (93.8%) -(IGHD) -IGHJ3*01 (100%)), CDR-IMGT [8.7.13] (26-33.51-57.96-108)) (1-119) -*Homo sapiens* IGHG1*03, G1m3, nG1m1 CH1 R120, CH3 E12, M14 (CH1 R120 (216) (120-217), charnière (218-232), CH2 (233-342), CH3 E12 (358), M14 (360) (343-447), CHS (448-449)) (120-449)], (222-214')-disulfure avec la chaîne légère L-kappa chimérique (1'-214') [V-KAPPA (*Mus musculus* IGKV5-48*01 (95.8%) -IGKJ5*01 (100%)), CDR-IMGT [6.3.9] (27'-32'.50'-52'.89'-97')) (1'-107') -*Homo sapiens* IGKC*01 (100%) Km3 A45.1, V101 (C-KAPPA A45.1 (153'), V101 (191')) (108'-214')]; dimère (228-228":231-231")-bisdisulfure, produit dans des cellules ovarianes de hamster chinois (CHO), lignée cellulaire CHO-K1, glycoforme bêta

cetuximab beta

inmunoglobulina G1-kappa, anti-[*Homo sapiens* EGFR (receptor del factor de crecimiento epidérmico, receptor tirosina-proteína kinasa erbB-1, ERBB1, HER1, HER-1, ERBB)], anticuerpo monoclonal químérico; cadena pesada H-gamma1 químérica (1-449) [VH (*Mus musculus*IGHV2-2*03 (93.8%) -(IGHD) -IGHJ3*01 (100%)), CDR-IMGT [8.7.13] (26-33.51-57.96-108)) (1-119) -*Homo sapiens* IGHG1*03, G1m3, nG1m1 CH1 R120, CH3 E12, M14 (CH1 R120 (216) (120-217), bisagra (218-232), CH2 (233-342), CH3 E12 (358), M14 (360) (343-447), CHS (448-449)) (120-449)], (222-214')-disulfuro con la cadena ligera L-kappa químérica (1'-214') [V-KAPPA (*Mus musculus* IGKV5-48*01 (95.8%) -IGKJ5*01 (100%)), CDR-IMGT [6.3.9] (27'-32'.50'-52'.89'-97')) (1'-107') -*Homo sapiens* IGKC*01 (100%) Km3 A45.1, V101 (C-KAPPA A45.1 (153'), V101 (191')) (108'-214')]; dímero (228-228":231-231")-bisdisulfuro, producido en las células ováricas de hámster chino (CHO), línea celular CHO-K1, forma glicosilada beta

Heavy chain / Chaîne lourde / Cadena pesada
 QVQLKQSGPG LVQPSQSLSI TCTVSGFSLT NYGVHWWRQS PGKGLEWLGV 50
 IWSGGNTDYN TFTTSRSLIN KDNKSQSVFF KMNSLQSNDT AIYYCARALT 100
 YYDYEFAYWG QGTLVTVSAA STKGPSVFFL APSSKSTSGG TAALGCLVKD 150
 YFFEPVTWS NSGALTSGVH TFPAVLQSSG LYSSLSSVTV FSSSLGTQTY 200
 ICNVNPKPSN TKVDKRVEPK SCDKTHTCPP CPAPELLGPP SVFLFPKPK 250
 DTLMISRTPE VTCVVVDVSH EDPEVKFNWY VDGVEVHNNAK TKPREEQYNS 300
 TYRVSVLTV LHQDWLNKE YKCKVSNKAL PAPEIETKTIISK AKGQPREPQV 350
 YTLPSSREEM TKNQVSLTCL VKGFYPSDIA VEWESENQPE NNYKTTFPVL 400
 DSDGSFFLYS KLTVDKSRWQ QGNVFSCSVM HEALHNHYTQ KSLSLSPGK 449

Light chain / Chaîne légère / Cadena ligera
 DILLTQSPVI LSVSPGERVS FSCRASQSIG TNIGHWYQQRT NGSPRLLIKY 50
 ASEISIGIPS RFSGSGSGTD FTLSINSVES EDIADYYCQQ NNNWPTPLFGA 100
 GTKLELKRTV AAPSFVIFPP SDEQLKSGTA SVVCLLNNFY PREAKVQWKV 150
 DNALQSGNSQ ESVTEQDSKD STYSLSSTLT LSKADYEKHK VYACEVTHQG 200
 LSSPVTKSFN RGEC 214

Post-translational modifications

Disulfide bridges location / Position des ponts disulfure / Posiciones de los puentes disulfuro
 Intra-H (C23-C104) 22"-95" 146"-202" 263"-323" 369"-427"
 22"-95" 146"-202" 263"-323" 369"-427"
 Intra-L (C23-C104) 23"-88" 134"-194"
 23"-88" 134"-194"
 Inter-H-L (h 5-CL 126) 222-214' 222"-214"
 Inter-H-H (h 11, h 14) 228-228" 231-231"

N-terminal glutaminyl cyclization / Cyclisation du glutaminyle N-terminal / Ciclación del glutamínilo N-terminal
 Q > pyroglutamyl (pE, 5-oxoprolyl) / pyroglutamyle (pE, 5-oxoprolyle) / piroglutamilo (pE, 5-oxopropilo)
 H VH Q1: 1, 1"

N-glycosylation sites / Sites de N-glycosylation / Posiciones de N-glicosilación
 H VH N97: 88, 88"
 G2F-N-acetylneuraminc acid (NANA), G2F-2NANA and G2F glycans / glycanes
 G2F-N-acide acétylneuramique (NANA), G2F-2NANA et G2F / glicanos ácido
 G2F-N-acetilneuramínico (NANA), G2F-2NANA y G2F
 H CH2 N84.4: 299 , 299"

Fucosylated complex bi-antennary CHO-type glycans / glycanes de type CHO bi-antennaires complexes fucosylés / glicanos de tipo CHO biantenarios complejos fucosilados

C-terminal lysine clipping / Coupage de la lysine C-terminale / Recorte de lisina C-terminal
 H CHS K2: 449, 449"

ciletatugum

ciletatug

immunoglobulin G1-kappa, anti-[*Homo sapiens* CLDN18 (claudin 18, claudin-18, surfactant associated protein J, SFTPJ isoform 2], humanized monoclonal antibody; H-gamma1 heavy chain humanized (1-449) [VH (*Homo sapiens* IGHV1-46*01 (86.7%) -(IGHD) -IGHJ4*01 (92.9%), CDR-IMGT [8.8.12] (26-33.51-58.97-108)) (1-119) -*Homo sapiens* IGHG1*03v (100%) G1m3>G1m17, nG1m1, CH1 K120, CH3 E12, M14 (CH1 R120>K (216) (120-217), hinge 1-15 (218-232), CH2 (233-342), CH3 E12 (358), M14 (360) (343-447), CHS (448-449) (120-449)], (222-220')-disulfide with L-kappa light chain humanized (1'-220') [V-KAPPA (*Homo sapiens* IGKV2-28*01 (85.1%) -IGKJ4*01 (100%), CDR-IMGT [12.3.9] (27'-38'.56'-58'.95'-103')) (1'-113') -*Homo sapiens* IGKC*01 (100%) Km3 A45.1, V101 (C-KAPPA A45.1 (159'), V101 (197')) (114'-220')]; dimer (228-228":231-231")-bisdisulfide, produced in Chinese hamster ovary (CHO) cells, cell line CHO-K1, glycoform alfa

ciléstatug

immunoglobuline G1-kappa, anti-[*Homo sapiens* CLDN18 (claudine 18, claudine-18, protéine J associée au surfactant, SFTPJ isoforme 2]; anticorps monoclonal humanisé;

	chaîne lourde H-gamma1 humanisée (1-449) [VH (<i>Homo sapiens</i> IGHV1-46*01 (86.7%) -(IGHD) -IGHJ4*01 (92.9%), CDR-IMGT [8.8.12] (26-33.51-58.97-108)) (1-119) - <i>Homo sapiens</i> IGHG1*03v (100%) G1m3>G1m17, nG1m1, CH1 K120, CH3 E12, M14 (CH1 R120>K (216) (120-217), charnière 1-15 (218-232), CH2 (233-342), CH3 E12 (358), M14 (360) (343-447), CHS (448-449)) (120-449)], (222-220')-disulfure avec la chaîne légère L-kappa humanisée (1'-220') [V-KAPPA (<i>Homo sapiens</i> IGKV2-28*01 (85.1%) -IGKJ4*01 (100%), CDR-IMGT [12.3.9] (27'-38'.56'-58'.95'-103')) (1'-113') - <i>Homo sapiens</i> IGKC*01 (100%) Km3 A45.1, V101 (C-KAPPA A45.1 (159'), V101 (197')) (114'-220')]; dimère (228-228":231-231")-bisdisulfure, produit dans des cellules ovariennes de hamster chinois (CHO), lignée cellulaire CHO-K1, glycoforme alfa
ciletatug	inmunoglobulina G1-kappa, anti-[<i>Homo sapiens</i> CLDN18 (claudina 18, claudina-18, proteína J asociada con el surfactante, SFTPJ) isoforma 2]; anticuerpo monoclonal humanizado; cadena pesada H-gamma1 humanizada (1-449) [VH (<i>Homo sapiens</i> IGHV1-46*01 (86.7%) -(IGHD) -IGHJ4*01 (92.9%), CDR-IMGT [8.8.12] (26-33.51-58.97-108)) (1-119) - <i>Homo sapiens</i> IGHG1*03v (100%) G1m3>G1m17, nG1m1, CH1 K120, CH3 E12, M14 (CH1 R120>K (216) (120-217), bisagra 1-15 (218-232), CH2 (233-342), CH3 E12 (358), M14 (360) (343-447), CHS (448-449)) (120-449)], (222-220')-disulfuro con la cadena ligera L-kappa humanizada (1'-220') [V-KAPPA (<i>Homo sapiens</i> IGKV2-28*01 (85.1%) -IGKJ4*01 (100%), CDR-IMGT [12.3.9] (27'-38'.56'-58'.95'-103')) (1'-113') - <i>Homo sapiens</i> IGKC*01 (100%) Km3 A45.1, V101 (C-KAPPA A45.1 (159'), V101 (197')) (114'-220')]; dímero (228-228":231-231")-bisdisulfuro, producido en las células ováricas de hámster chino (CHO), línea celular CHO-K1, forma glicosilada alfa
	Heavy chain / Chaîne lourde / Cadena pesada QVQLVQSGAE VKKPGASVKV SCKASGYAFT NYLIEWVRQA PGQGLEWMGL 50 INPGSGGTNY NEKFKGRVTM TRDTSTSTVY MELSSLRSED TAVYYCARGG 100 YYGNGFAYWG QGTLTVTSSA STKGPSVFPL APSSSKTSGG TAALGCLVKD 150 YFPEPVTVSW NSGALTSGVH TFPAVLQSSG LYSLSSVTVV PSSSLCTQTY 200 ICNVNHHKPSN TKVDKVKEPK SCDKHTTCPP CPAPELLGGP SVFLFPKPK 250 DTLMLISRTPF VTCVVVDVSH EDPEVKENWY VGDGVEVHNAK TRPREEQYNS 300 TYRVVSVLTW LHQDWLNKGK YKCKVSNKAL PAPIEKTISK AKGQPREPQV 350 YTLPSREEM TKNQVSITCL VKGEYPSDIA VEWESENQPE NNYKTTPPVL 400 DSDGSFPLYS KLTVDKSRWQ QGNVFSCSVN HEALHNHYTQ KSLSLSPGK 449
	Light chain / Chaîne légère / Cadena ligera DIVMTQSPLS LPVTFGEPAS ISCKSSQSSL NSGNQKNYLW WYLQKPGQSP 50 QLLIYWAISTR ESGVFDREFGS SGSCTDFTLK ISRVEADVG VVYCQNAYYY 100 PYTFGGTKV EIKRTVAAPS VFIFPPSDEQ LKSGTASVVC LLNNNFYPREA 150 KVQWKVDNAL QSGNSQESVT EQDSKDKSTYS LSSTLTLASKA DYEKHKVYAC 200 EVTHQGLLSSP VTKSFNRGEC 220
	Post-translational modifications Disulfide bridges location / Position des ponts disulfure / Posiciones de los puentes disulfuro Intra-H (C23-C104) 22-96 146-202 263-323 369-427 22"-96" 146"-202" 263"-323" 369"-427" Intra-L (C23-C104) 23"-94" 140"-200" 23"-94" 140"-200" Inter-H-L (h 5-CL 126) 222-220" 222"-220" Inter-H-H (h 11, h 14) 228-228" 231-231"
	N-terminal glutaminyl cyclization / Cyclisation du glutaminyle N-terminal / Ciclación del glutaminilo N-terminal Q > pyroglutamyl (pE, 5-oxoprolyl) / pyroglutamyle (pE, 5-oxoprolyle) / piroglutamilo (pE, 5-oxoprolilo) H VH Q1: 1, 1"
	N-glycosylation sites / Sites de N-glycosylation / Posiciones de N-glicosilación H CH2 N84.4: 299, 299" Fucosylated complex bi-antennary CHO-type glycans / glycanes de type CHO bi-antennaires complexes fucosylés / glicanos de tipo CHO biantenarios complejos fucosilados
	C-terminal lysine clipping / Coupure de la lysine C-terminale / Recorte de lisina C-terminal H CHS K2: 449, 449"

ciletatugum vedotinum #

ciletatug vedotin

immunoglobulin G1-kappa, anti-[*Homo sapiens* CLDN18 (claudin 18, claudin-18, surfactant associated protein J, SFTPJ) isoform 2], humanized monoclonal antibody, conjugated on an average of four cysteinyl residues to *vedotin*, comprising a cleavable linker and monomethylauristatin E (MMAE); H-gamma1 heavy chain humanized (1-449) [VH (*Homo sapiens*IGHV1-46*01 (86.7%) -(IGHD) -IGHJ4*01 (92.9%), CDR-IMGT [8.8.12] (26-33.51-58.97-108)) (1-119) -*Homo sapiens* IGHG1*03v (100%) G1m3>G1m17, nG1m1, CH1 K120, CH3 E12, M14 (CH1 R120>K (216) (120-217), hinge 1-15 (218-232), CH2 (233-342), CH3 E12 (358), M14 (360) (343-447), CHS (448-449)) (120-449)], (222-220')-disulfide with L-kappa light chain humanized (1'-220') [V-KAPPA (*Homo sapiens*IGKV2-28*01 (85.1%) -IGKJ4*01 (100%), CDR-IMGT [12.3.9] (27'-38.56'-58'-95'-103')) (1'-113') -*Homo sapiens* IGKC*01 (100%) Km3 A45.1, V101 (C-KAPPA A45.1 (159'), V101 (197')) (114'-220')]; dimer (228-228":231-231")-bisdisulfide, produced in Chinese hamster ovary (CHO) cells, cell line CHO-K1, glycoform alfa; substituted at the sulfur atoms of four L-cysteinyl residues on an average among 222, 228, 231, 220', 222", 228", 231" and 220" with a group consisting of (3RS)-1-(6-{{(2S)-1-{{(2S)-5-(carbamoylamino)-1-(4-[(3(R,2S)-1-{{(2S)-1-{{(3R,4S,5S)-1-((2S)-2-[(1R,2R)-3-{{(1S,2R)-1-hydroxy-1-phenylpropan-2-yl]amino}-1-methoxy-2-methyl-3-oxo-propyl]pyrrolidin-1-yl}-3-methoxy-5-methyl-1-oxoheptan-4-yl](methyl)amino}-3-methyl-1-oxobutan-2-yl]amino)-3-methyl-1-oxobutan-2-yl](methyl)carbamoyl}oxy)methyl]anilino}-1-oxopentan-2-yl]amino}-3-methyl-1-oxobutan-2-yl]amino}-6-oxohexyl)-2,5-dioxopyrrolidin-3-yl (*vedotin*)

ciletatug védotine

immunoglobuline G1-kappa, anti-[*Homo sapiens* CLDN18 (claudine 18, claudine-18, protéine J associée au surfactant, SFTPJ) isoforme 2], anticorps monoclonal humanisé, conjugué, par quatre résidus cystéinylique en moyenne à la védotine, comprenant un linker clivable et monométhylauristatine E (MMAE); chaîne lourde H-gamma1 humanisée (1-449) [VH (*Homo sapiens*IGHV1-46*01 (86.7%) -(IGHD) -IGHJ4*01 (92.9%), CDR-IMGT [8.8.12] (26-33.51-58.97-108)) (1-119) -*Homo sapiens* IGHG1*03v (100%) G1m3>G1m17, nG1m1, CH1 K120, CH3 E12, M14 (CH1 R120>K (216) (120-217), charnière 1-15 (218-232), CH2 (233-342), CH3 E12 (358), M14 (360) (343-447), CHS (448-449)) (120-449)], (222-220')-disulfure

avec la chaîne légère L-kappa humanisée (1'-220') [V-KAPPA (*Homo sapiens* IGKV2-28*01 (85.1%) - IGKJ4*01 (100%), CDR-IMGT [12.3.9] (27'-38'.56'-58'.95'-103')) (1'-113') -*Homo sapiens* IGKC*01 (100%) Km3 A45.1, V101 (C-KAPPA A45.1 (159'), V101 (197')) (114'-220')]; dimère (228-228":231-231")-bisdisulfure, produit dans des cellules ovariennes de hamster chinois (CHO), lignée cellulaire CHO-K1, glycoforme alfa; substitué sur l'atome de soufre de quatre résidus L-cystéinylo en moyenne parmi 222, 228, 231, 220', 222", 228", 231" et 220"" avec un groupe (3RS)-1-(6-{{(2S)-1-{{(2S)-5-(carbamoylamino)-1-{4-{{((2S)-1-{{(3R,4S,5S)-1-{{(2S)-2-{{(1R,2R)-3-{{(1S,2R)-1-hydroxy-1-phénylpropan-2-yl]amino}-1-méthoxy-2-méthyl-3-oxopropyl]pirrolidin-1-yl}-3-méthoxy-5-méthyl-1-oxoheptan-4-yl}(méthyl)amino}-3-méthyl-1-oxobutan-2-yl]amino}-3-méthyl-1-oxobutan-2-yl](méthyl)carbamoyloxy)méthyl]anilino}-1-oxopentan-2-yl]amino}-3-méthyl-1-oxobutan-2-yl]amino}-6-oxohexyl)-2,5-dioxopirrolidin-3-ylo (vedotine)

ciletatug vedotina

inmunoglobulina G1-kappa, anti-[*Homo sapiens* CLDN18 (claudina 18, claudina-18, proteína J asociada con el surfactante, SFTPJ) isoforma 2], anticuerpo monoclonal humanizado, conjugado, en una media de cuatro residuos cisteinilo a la vedotina, que comprende un enlace escindible y monometilauristatina E (MMAE); cadena pesada H-gamma1 humanizada (1-449) [VH (*Homo sapiens*IGHV1-46*01 (86.7%) -(IGHD)-IGHJ4*01 (92.9%), CDR-IMGT [8.8.12] (26-33.51-58.97-108)) (1-119) -*Homo sapiens*IGHG1*03v (100%) G1m3>G1m17, nG1m1, CH1 K120, CH3 E12, M14 (CH1 R120>K (216) (120-217), bisagra 1-15 (218-232), CH2 (233-342), CH3 E12 (358), M14 (360) (343-447), CHS (448-449)) (120-449)], (222-220")-disulfuro con la cadena ligera L-kappa humanizada (1'-220') [V-KAPPA (*Homo sapiens* IGKV2-28*01 (85.1%) -IGKJ4*01 (100%), CDR-IMGT [12.3.9] (27'-38'.56'-58'.95'-103')) (1'-113') -*Homo sapiens* IGKC*01 (100%) Km3 A45.1, V101 (C-KAPPA A45.1 (159'), V101 (197')) (114'-220')]; dímero (228-228":231-231")-bisdisulfuro, producido en las células ováricas de hámster chino (CHO), línea celular CHO-K1, forma glicosilada alfa; sustituido en el átomo de azufre de cuatro residuos L-cisteinilo en una media entre 222, 228, 231, 220', 222", 228", 231" y 220"" con un grupo (3RS)-1-(6-{{(2S)-1-{{(2S)-5-(carbamoylamino)-1-{{((2S)-1-{{(2S)-1-{{(3R,4S,5S)-1-{{(2S)-2-{{(1R,2R)-3-{{(1S,2R)-1-hidroxi-1-fenilpropán-2-yl]amino}-1-metoxi-2-metil-3-oxopropil]pirrolidin-1-yl}-3-metoxi-5-metil-1-oxoheptan-4-yl}(metil)amino}-3-metil-1-oxobutan-2-yl](metil)carbamoyloxi}metil]anilino}-1-oxopentan-2-yl]amino}-3-metil-1-oxobutan-2-yl]amino}-6-oxohexil)-2,5-dioxopirrolidin-3-ilo (vedotina)

Heavy chain / Chaîne lourde / Cadena pesada

QVQLVQSGAE VKKPGASVKV SCKASGYAFT NYLIEWVRQA PGQGLEWMGL 50
 INPGSGGTYN NEKFGRVTM TRDTSTSTVY MELSSLRSED TAVYYCARGG 100
 YYGNSFAYMG QGTLVTVSAA STKGPSVFPL APSSKSTSGG TAALGCLVLD 150
 YFPEPVTVSW NSGALTSGVH TFTPAVLQSSG LYSLSSVVTV PSSLGLQTG 200
 ICNVNKHPSN TKVDKKVEPLP SCDKTHTCPP CPAPELLGGP SVFLFPKPK 250
 DTMISRSTPE VTCVVVDVSH EDPEVKENWY VDGVEVHNAK TKPREEQVNS 300
 TYRIVSVSLT VHQDWLNKE YKCKVSNKAL PAPIEKTISK AKGQPREEQV 350
 YTLPFSREEM TNQVQSLTCL VRGFYPSDIA VEWESNGQPE NNYKTTPPVLL 400
 DSDGSFFLYS KLTVDKSRWQ QGNVFSCSVM HEALHNHYTQ KSLSLSPGK 449

Light chain / Chaîne légère / Cadena ligera

DIVMTQPLS LPVTPGEFAS ISCKSSQSLI NSGNQKQNL T WYLQKPGQSP 50
 QLLIYWASTR ESGVPDRFSG SGSGTDFTLK ISRVEAEDVG VYYCQNAVYY 100
 PYTFGGGTVK EIKRTVVAAPS VFIFPPSDEQ LKSGTASVVC LLNNFYPREA 150
 KVQWKVDNAL QSGNSQESVT EQDQSKDSTS LSSTLTLKA DYEKHKVYAC 200
 EVTHQGLSSP VTKSFNRGEC 220

Post-translational modification

Disulfide bridges location / Position des ponts disulfure / Posiciones de los puentes disulfuro

Intra-H (C23-C104) 22-96 146-202 263-323 369-427

22°-96° 146°-202° 263°-323° 369°-427°

Intra-H (C23-C104) 23°-94° 140°-200°

23°-94° 140°-200°

Inter-H-H (h 5-CL 126) * 222-220° 222°-220°

Inter-H-H (h 11, h 14) * 228-228° 231-231°

*At least two of the four inter-chain disulfide bridges are not present, an average of four cysteinyl being conjugated each via a thioether bond to a drug linker.

*Au moins deux des quatre ponts disulfures inter-chaines ne sont pas présents, quatre cystéinyl en moyenne étant chacun conjugué via une liaison thioether à un linker-principe actif.

*Al menos dos de los cuatro puentes disulfuro inter-catenarios no estan presentes, una media de cuatro cisteinil estátamente conjugada a conectores de principio activo.

N-terminal glutaminyl cyclization / Cyclisation du glutaminyle N-terminal / Ciclación del glutaminiilo N-terminal

Q>pyroglutamyl (pE, 5-oxopropyl) / pyroglutamyle (pE, 5-oxopropyl) / piroglutamilo (pE, 5-exopropilo)
 H VH Q1: 1, 1"

N-glycosylation sites / Sites de N-glycosylation / Posiciones de N-glicosilación

H CH2 N84.4: 299, 299"

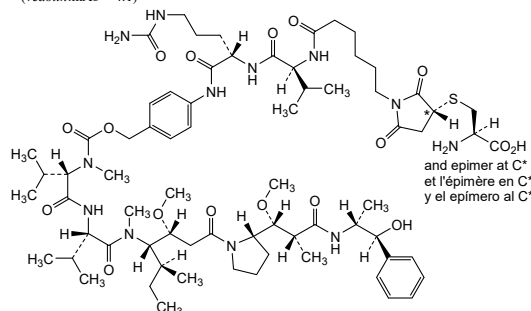
Fucosylated complex bi-antennary CHO-type glycans / glycanes de type CHO bi-antennaires complexes fucosylés / glicanos de tipo CHO biantenarios complejos fucosilados

C-terminal lysine clipping / Coupe de la lysine C-terminale / Recorte de lisina C-terminal
 H CHS K2: 449, 449"

Potential modified residues / résidus modifiés potentiels / restos modificados potenciales*

C (222, 228, 231, 220°, 222°, 228°, 231°, 220°)

*(vedotin:mAb ~ 4:1)

**cizutamig #**

cizutamig

immunoglobulin [L-kappa-H-gamma1_VH-G1(CH1-h)]₂ dimer, anti-[*Homo sapiens* TNFRSF17 (tumor necrosis factor (TNF) receptor superfamily member 17, B cell maturation antigen, BCMA, TNFRSF13A, CD269)] and anti-[*Homo sapiens* CD3E (CD3 epsilon, Leu-4)], humanized monoclonal antibody, bispecific;

	fused L-kappa-H-gamma1 heavy chain anti-TNFRSF17 and anti-CD3E humanized (1-663) [[L-kappa anti-TNFRSF17 humanized (1-214) [V-KAPPA (<i>Homo sapiens</i> IGKV1-39*01 (82.1%) -IGKJ2*02 (100%), CDR-IMGT [6.3.9] (27-32.50-52.89-97)) (1-107) - <i>Homo sapiens</i> IGKC*01 (100%) Km3 A45.1, V101 (C-KAPPA A45.1 (153), V101 (191)) (108-214)] -H-gamma1 heavy chain anti-CD3E humanized (215-663) [VH (<i>Homo sapiens</i> IGHV1-2*02 (82.7%) - (IGHD) -IGHJ4*01 (93.3%) L123>T (328), CDR-IMGT [8.8.12] (240-247.265-272.311-322)) (215-333) - <i>Homo sapiens</i> IGHG1*03v, G1m3>G1m17, nG1m1, CH1 K120, CH3 E12, M14, IGHG1v14 CH2 A1.3, A1.2 (CH1 R120>K (430) (334-431), hinge 1-15 (432-446), CH2 L1.3>A (450), L1.2>A (451) (447-556), CH3 E12 (572), M14 (574) (557-661), CHS (662-663)) (334-663)]; (214-224')-disulfide with VH-G1(CH1-h) light chain anti-TNFRSF17 humanized (1'-224') [VH (<i>Homo sapiens</i> IGHV1-3*03 (84.7%) -IGHD -IGHJ4*01 (92.3%) L123>T (116'), CDR-IMGT [8.8.14] (26'-33'.51'-58'.97'-110')) (1'-121') - <i>Homo sapiens</i> IGHG1*03v, G1m3>G1m17, nG1m1, CH1 K120 (CH1 R120>K (218') (122'-219'), hinge 1-5 (220'-224')) (122'-224')]]; (436-219'')-disulfide with L-kappa light chain anti-CD3E humanized (1''-219'') [V-KAPPA (<i>Homo sapiens</i> IGKV4-1*01 (91.8%) -IGKJ4*01 (100%), CDR-IMGT [12.3.8] (27''-38''.56''-58''.95''-102'')) (1''-112'') - <i>Homo sapiens</i> IGKC*01 (100%) Km3 A45.1, V101 (C-KAPPA A45.1 (158''), V101 (196'')) (113''-219'')]; dimer (442-442":445-445")-bisdisulfide, produced in Chinese hamster ovary (CHO) cells, cell line CHO-K1, glycoform alfa
cizutamig	immunoglobuline dimère [L-kappa-H-gamma1_VH-G1(CH1-h)]_L-kappa], anti-[<i>Homo sapiens</i> TNFRSF17 (membre 17 de la superfamille des récepteurs du facteur de nécrose tumorale (TNF), antigène de maturation de cellule B, BCMA, TNFRSF13A, CD269)] et anti-[<i>Homo sapiens</i> CD3E (CD3 epsilon, Leu-4)], anticorps monoclonal humanisé, bispécifique; chaîne lourde fusionnée [L-kappa-H-gamma1 anti-TNFRSF17 et anti-CD3E humanisée (1-663) [[L-kappa anti-TNFRSF17 humanisée (1-214) [V-KAPPA (<i>Homo sapiens</i> IGKV1-39*01 (82.1%) -IGKJ2*02 (100%), CDR-IMGT [6.3.9] (27-32.50-52.89-97)) (1-107) - <i>Homo sapiens</i> IGKC*01 (100%) Km3 A45.1, V101 (C-KAPPA A45.1 (153), V101 (191)) (108-214)] -chaîne lourde H-gamma1 anti-CD3E humanisée (215-663) [VH (<i>Homo sapiens</i> IGHV1-2*02 (82.7%) -(IGHD) -IGHJ4*01 (93.3%) L123>T (328), CDR-IMGT [8.8.12] (240-247.265-272.311-322)) (215-333) - <i>Homo sapiens</i> IGHG1*03v, G1m3>G1m17, nG1m1, CH1 K120, CH3 E12, M14, IGHG1v14 CH2 A1.3, A1.2 (CH1 R120>K (430) (334-431), charnière 1-15 (432-446), CH2 L1.3>A (450), L1.2>A (451) (447-556), CH3 E12 (572), M14 (574) (557-661), CHS (662-663)) (334-663)]; (214-224')-disulfure avec la chaîne légère VH-G1(CH1-h) anti-TNFRSF17 humanisée (1'-224') [VH (<i>Homo sapiens</i> IGHV1-3*03 (84.7%) -IGHD -IGHJ4*01 (92.3%) L123>T (116'), CDR-IMGT [8.8.14] (26'-33'.51'-58'.97'-110')) (1'-121') - <i>Homo sapiens</i> IGHG1*03v, G1m3>G1m17, nG1m1, CH1 K120 (CH1 R120>K (218') (122'-219'), charnière 1-5 (220'-224')) (122'-224')]]; (436-219'')-disulfure avec la chaîne légère L-kappa anti-CD3E humanisée (1''-219'') [V-KAPPA (<i>Homo sapiens</i> IGKV4-1*01 (91.8%) -IGKJ4*01 (100%), CDR-IMGT [12.3.8] (27''-38''.56''-58''.95''-102'')) (1''-112'') - <i>Homo sapiens</i> IGKC*01 (100%) Km3 A45.1, V101 (C-KAPPA A45.1 (158''), V101 (196'')) (113''-219'')]; dimère (442-442":445-445")-bisdisulfure, produit dans des cellules ovaries de hamster chinois (CHO), lignée cellulaire CHO-K1, glycoforme alfa
cizutamig	inmunoglobulina dímero [L-kappa-H-gamma1_VH-G1(CH1-h)]_L-kappa], anti-[<i>Homo sapiens</i> TNFRSF17 (miembro 17 de la superfamilia de los receptores del factor de necrosis tumoral (TNF), antígeno de maduración de células B, BCMA, TNFRSF13A, CD269)] y anti-[<i>Homo sapiens</i> CD3E (CD3 épsilon, Leu-4)], anticuerpo monoclonal humanizado, biespecífico;

cadena pesada fusionada [L-kappa-H-gamma1 anti-TNFRSF17 y anti-CD3E humanizada (1-663) [L-kappa anti-TNFRSF17 humanizada (1-214) [V-KAPPA (*Homo sapiens* IGKV1-39*01 (82.1%) -IGKJ2*02 (100%), CDR-IMGT [6.3.9] (27-32.50-52.89-97)) (1-107) -*Homo sapiens* IGKC*01 (100%) Km3 A45.1, V101 (C-KAPPA A45.1 (153), V101 (191)) (108-214)] - cadena pesada H-gamma1 anti-CD3E humanizada (215-663) [VH (*Homo sapiens*IGHV1-2*02 (82.7%) -(IGHD) -IGHJ4*01 (93.3%) L123>T (328), CDR-IMGT [8.8.12] (240-247.265-272.311-322)) (215-333) -*Homo sapiens* IGHG1*03v, G1m3>G1m17, nG1m1, CH1 K120, CH3 E12, M14, IGHG1v14 CH2 A1.3, A1.2 (CH1 R120>K (430) (334-431), bisagra 1-15 (432-446), CH2 L1.3>A (450), L1.2>A (451) (447-556), CH3 E12 (572), M14 (574) (557-661), CHS (662-663)) (334-663)]; (214-224')-disulfuro con la cadena ligera VH-G1(CH1-h) anti-TNFRSF17 humanizada (1'-224') [VH (*Homo sapiens*IGHV1-3*03 (84.7%) -IGHD -IGHJ4*01 (92.3%) L123>T (116'), CDR-IMGT [8.8.14] (26'-33'.51'-58'.97'-110')) (1'-121') -*Homo sapiens* IGHG1*03v, G1m3>G1m17, nG1m1, CH1 K120 (CH1 R120>K (218') (122'-219'), bisagra 1-5 (220'-224')) (122'-224')]]; (436-219")-disulfuro com la cadena ligera L-kappa anti-CD3E humanizada (1"-219") [V-KAPPA (*Homo sapiens* IGKV4-1*01 (91.8%) -IGKJ4*01 (100%), CDR-IMGT [12.3.8] (27"-38".56"-58".95"-102")) (1"-112") -*Homo sapiens* IGKC*01 (100%) Km3 A45.1, V101 (C-KAPPA A45.1 (158"), V101 (196")) (113"-219")]; dímero (442-442":445-445")-bisdisulfuro, producido en las células ováricas de hámster chino (CHO), línea celular CHO-K1, forma glicosilada alfa

Heavy chain / Chaîne lourde / Cadena pesada: fused L-kappa (anti-TNFRSF17)-H-gamma (anti-CD3E) (H, H")
 DIQMTQSPSS LSASVGRVT ITCGASENIY GALNWYQKQP GKAPKLIIYG 50
 ATNLATGSPRS RFSGSGSGRDF FTLTISLQP EDFATYYCQS VLTPWTFQG 100
 GTKLEIKRTV AAPSVFIFPP SDEQLKSGTA SVVCLNNFY FREAKVQWKV 150
 DNALQSGNSQ ESEVTEQDSKD TSLSKADYEKKH VYACEVTHQG 200
 LSSPVTKSFSN RGECEVQLVQ SGAEVVKPGV SVKVSCKASC FSFTNYYYHW 250
 MRQAPGQGLE WIGWISPLGSD NTKYNEKFKRG RTVLTADTSI STAYMELSRL 300
 RSDDTAVYYC ARDDYGNYYF DWYGGTTTVT VSASSAKGPS VFPLAPSSKS 350
 TSGGTAALGC LVKDYFPEPV TVSWNSGALT SGVHTFFAVL QSSGLYSLSS 400
 VVTPVSSSLG TQTYICVNHN KPSNTKVKDVK VEKPSCDKTH TCPCPAPEA 450
 AGGPSVFLFP FKPKDITLMIS RTPEVTCVVV DVSHEDPEVK FNWYVGDGV 500
 HNAKTKPREE QYNSTYRVRVS VLTVLHQDWL NGKEYKCKVS NKA LPAPIER 550
 TISKAKGQPR EPQVYTLPLPS REEMTKNQVS LTCLVKGFYD SDIAWEWES 600
 GQPENNYYKT PFPVLDSDGSF FLYSKLTVDK SRWQGNVFS CSVMEHALHN 650
 HYTQKSLSLSL PKSC 663

Light chain / Chaîne légère / Cadena ligera: VH-G1(CH1-h) anti-TNFRSF17 (L', L")
 EVQLVQSGAE VKVKPGASVKV SCKASAGYFTF NFWMHHWRQA PGQRLEWMGA 50
 FYFGGNDDTYQ NQKFKGRVTI TADTASASTY MEISSLRSED MAVYYCARSG 100
 YYGSSDAMDY WGQGTTVTVS SASTKGPSV PLAFSSKSTS GTAAALGCLV 150
 KDXFPEPVTV SWNSGALTSG VHTFPAVLQS SGGLYLSVSV TVPSSSLGTQ 200
 TYICVNHNPK SNTVKVDKVE PKSC 224

Light chain / Chaîne légère / Cadena ligera: L-kappa anti-CD3E (L", L""")
 DIVMTQSPDS LAVSILGERAT INCKSSQSSL NARTRKNYLA WYQQKPGQPP 50
 KLLIYWASTR ESGVPDRFSG SCSGTDFTLT ISSLQAEADVA VYCKQSYIL 100
 RTFGGGTKVE IKRTVAAPSV FIFPPSDEQL KSGTASVVC LNNFYPREAK 150
 VQNKVNDALQ SGNSQESVTE QDSKDKSTYSL SSTLTLSKAD YEKHKVYACE 200
 VTHQGLSSPV TKSFRNRGEC 219

Post-translational modifications

Disulfide bridges location / Position des ponts disulfure / Posiciones de los puentes disulfuro
 Intra-H (C23-C104) 23-88 134-194 236-310 360-416 477-537 583-641
 23"-88" 134"-194" 236"-310" 360"-416" 477"-537" 583"-641"

Intra-L (C23-C104) 22"-96" 148"-204"
 23"-96"" 148"-204"
 23"-94" 139"-199"
 23""-94"" 139""-199""

Inter-H-L (CL 126-h 5)* 214-224 214"-224"

Inter-H-L (h 5-CL 126) 436-219" 436"-219""

Inter-H-H (h 11, h 14) 442-442" 445-445"

*CL 126 from the H and H" fused L-kappa chain, h 5 from the L' and L"" VH-G1(CH-h) hinge

N-glycosylation sites / Sites de N-glycosylation / Posiciones de N-glicosilación

H CH2 N84.4: 513, 513"

Fucosylated complex bi-antennary CHO-type glycans / glycanes de type CHO bi-antennaires complexes fucosylés / glicanos de tipo CHO biantenarios complejos fucosilados

C-terminal lysine clipping / Coupure de la lysine C-terminale / Recorte de lisina C-terminal
 H CHS K2: 663, 663"

clesitamigum #

clesitamig

immunoglobulin [(V-kappa-G4CH1-G1h-H-gamma1_L-kappa)_L-kappa]_L-(H-gamma1_L-kappa), anti-[*Homo sapiens* DLL3 (delta-like ligand 3, delta like canonical Notch ligand 3)], anti-[*Homo sapiens* CD3/TNFRSF9 (TNF receptor superfamily member 9, 4-1BB, T cell antigen ILA, CD137) dual non simultaneous], humanized monoclonal antibody, trispecific, trivalent; fused heavy chain V-kappa-G4CH1-G1h anti-DLL3-H-gamma1 anti-CD3/TNFRSF9 (1-676) [V-kappa-G4CH1-G1h anti-DLL3 humanized (1-215) [V-KAPPA (*Homo sapiens* IGKV1-33*01 (76.3%) -IGKJ4*01 (100%), CDR-IMGT [8.3.10] (27-34.52-54.91-100)) (1-110) -2-mer diseryl (111-112)-*Homo sapiens* IGHG4*01 G4v97 S10 (CH1 C10>S (126) (113-210) -IGHG1*01 hinge 1-5 (211-215)) (113-215)] -5-mer (tetraglycyl-seryl) linker (216-220) -H-gamma1 heavy chain humanized, anti-CD3/TNFRSF9 (221-676) [VH (*Homo sapiens* IGHV3-72*01 (78.6%) -(IGHD) -IGHJ6*01 (86.7%), CDR-IMGT [8.10.19] (246-253.271-280.319-337)) (221-348) -*Homo sapiens* IGHG1*01 G1m17,1 CH1 K120, CH3 D12, L14, G1v57 CH1 E26, E119, G1v94 CH1 C94, G1v14 CH2 A1.3, A1.2, G1v29 CH2 A84.4, G1v74 CH3 C10, G1v32 CH3 W22 (knob), G1v78 CH3 L107, A114, G1v89 CH3 R118, E120 (CH1 K26>E (378), S94>C (422), K119>E (444), K120 (445) (349-446), hinge 1-15 (447-461), CH2 L1.3>A (465), L1.2>A (466), N84.4>A (528) (462-571), CH3 S10>C (585), D12 (587), L14 (589), T22>W (597), M107>L (659), N114>A (665), Q118>R (669), S120>E (671) (572-676) (349-676)]; (215-226)-disulfide with the VH-C-kappa light chain anti-DLL3 humanized (1'-226') [VH (*Homo sapiens* IGHV4-61*02 (72.0%) -IGHD -IGHJ4*01 (86.7%), CDR-IMGT [9.8.11] (26'-34'.52'-59'.98'-108')) (1'-119') -*Homo sapiens* IGKC*01 (99.1%) Km3 A45.1, V101, KCv96 A1.4, S1.3 (C-KAPPA R1.4>A (120'), T1.3>S (121'), A45.1 (165'), V101 (203')) (120'-226')]; (451-219'')-disulfide with common L-kappa light chain humanized, anti-CD3/TNFRSF9 (1''-219'') [V-KAPPA (*Homo sapiens* IGKV2-30*02 (80.0%) -IGKJ2*01 (100%), CDR-IMGT [11.3.9] (27''-37''.55''-57''.94''-102'')) (1''-112'') -*Homo sapiens* IGKC*01 (98.1%) Km3 A45.1, V101, KCv57 R12, K13 (C-KAPPA E12>R (128''), Q13>K (129''), A45.1 (158''), V101 (196'')) (113''-219'')]; H-gamma1 heavy chain anti-CD3/TNFRSF9 humanized (1'-456') [VH (*Homo sapiens* IGHV3-72*01 (78.6%) -(IGHD) -IGHJ6*01 (86.7%), CDR-IMGT [8.10.19] (26''-33''.51''-60''.99''-117'')) (1''-128'') -*Homo sapiens* IGHG1*01 G1m17,1 CH1 K120, CH3 D12, L14, G1v57 CH1 E26, E119, G1v94 CH1 C94, G1v14 CH2 A1.3, A1.2, G1v29 CH2 A84.4, G1v75 CH3 C5, G1v33 CH3 S22, A24, V86 (hole), G1v78 CH3 L107, A114, G1v89 R118, E120 (CH1 K26>E (158''), S94>C (202''), K119>E (224''), K120 (225'') (129''-226''), hinge 1-15 (227''-241''), CH2 L1.3>A (245''), L1.2>A (246''), N84.4>A (308'') (242''-351''), CH3 Y5>C (360''), D12 (367''), L14 (369''), T22>S (377''), L24>A (379''), Y86>V (418''), M107>L (439''), N114>A (445''), Q118>R (449''), S120>E (451'') (352''-456'')) (129''-456'')] (231''-219'')-disulfide with common L-kappa light chain humanized, anti-CD3/TNFRSF9 (1''-219'') [V-KAPPA (*Homo sapiens* IGKV2-30*02 (80.0%) -IGKJ2*01 (100%), CDR-IMGT [11.3.9] (27''-37''.55''-57''.94''-102'')) (1''-112'') -*Homo sapiens* IGKC*01 (98.1%) Km3 A45.1, V101, KCv57 R12, K13 (C-KAPPA E12>R (128''), Q13>K (129''), A45.1 (158''), V101 (196'')) (113''-219'')]; heterodimer (422-202':457-237':460-240':585-360")-tetrakisdisulfide, produced in Chinese hamster ovary (CHO) cells, cell line CHO-DXB11, non-glycosylated

clésitamig

immunoglobuline [(V-kappa-G4CH1-G1h-H-gamma1_L-kappa)_L-kappa]_(H-gamma1_L-kappa), anti-[*Homo sapiens* DLL3 (delta-like ligand 3, delta like canonical Notch ligand 3)], anti-[*Homo sapiens* CD3/TNFRSF9 (membre 9 de la superfamille des récepteurs du TNF, 4-1BB, antigène ILA des cellules T, CD137) double non simultané], anticorps monoclonal humanisé, trispécifique, trivalent; chaîne lourde fusionnée V-kappa-G4CH1-G1h anti-DLL3-H-gamma1 anti-CD3/TNFRSF9 (1-676) [V-kappa-G4CH1-G1h anti-DLL3 humanisé (1-215) [V-KAPPA (*Homo sapiens* IGKV1-33*01 (76.3%) -IGKJ4*01 (100%), CDR-IMGT [8.3.10] (27-34.52-54.91-100)) (1-110) -dimer diséryl (111-112) -*Homo sapiens* IGHG4*01 G4v97 S10 (C10>S (126) (113-210) -IGHG1*01 charnière 1-5 (211-215)) (113-215)] -5-mer (téraglycyl-séryl) linker (216-220) -chaîne lourde H-gamma1 humanisée, anti-CD3/TNFRSF9 (221-676) [VH (*Homo sapiens*IGHV3-72*01 (78.6%) -(IGHD) -IGHJ6*01 (86.7%), CDR-IMGT [8.10.19] (246-253.271-280.319-337)) (221-348) -*Homo sapiens* IGHG1*01 G1m17,1 CH1 K120, CH3 D12, L14, G1v57 CH1 E26, E119, G1v94 CH1 C94, G1v14 CH2 A1.3, A1.2, G1v29 CH2 A84.4, G1v74 CH3 C10, G1v32 CH3 W22 (knob), G1v78 CH3 L107, A114, G1v89 CH3 R118, E120 (CH1 K26>E (378), S94>C (422), K119>E (444), K120 (445) (349-446), charnière 1-15 (447-461), CH2 L1.3>A (465), L1.2>A (466), N84.4>A (528) (462-571), CH3 S10>C (585), D12 (587), L14 (589), T22>W (597), M107>L (659), N114>A (665), Q118>R (669), S120>E (671) (572-676)) (349-676)]; (215-226')-disulfure avec la chaîne légère VH-C-kappa anti-DLL3 humanisée (1'-226') [VH (*Homo sapiens*IGHV4-61*02 (72.0%) -IGHD -IGHJ4*01 (86.7%), CDR-IMGT [9.8.11] (26'-34'-52'-59'-98'-108')) (1'-119') -*Homo sapiens* IGKC*01 (99.1%) Km3 A45.1, V101, KCv96 A1.4, S1.3 (C-KAPPA R1.4>A (120'), T1.3>S (121'), A45.1 (165'), V101 (203')) (120'-226')]; (451-219'')-disulfure avec la chaîne légère commune L-kappa humanisée, anti-CD3/TNFRSF9 (1''-219'') [V-KAPPA (*Homo sapiens* IGKV2-30*02 (80.0%) -IGKJ2*01 (100%), CDR-IMGT [11.3.9] (27''-37''-55''-57''-94''-102'')) (1''-112'') -*Homo sapiens* IGKC*01 (98.1%) Km3 A45.1, V101, KCv57 R12, K13 (C-KAPPA E12>R (128''), Q13>K (129''), A45.1 (158''), V101 (196'')) (113''-219'')]; chaîne lourde H-gamma1 anti-CD3/TNFRSF9 humanisée (1"-456") [VH (*Homo sapiens*IGHV3-72*01 (78.6%) -(IGHD) -IGHJ6*01 (86.7%), CDR-IMGT [8.10.19] (26"-33"-51"-60"-99"-117") (1"-128") -*Homo sapiens* IGHG1*01 G1m17,1 CH1 K120, CH3 D12, L14, G1v57 CH1 E26, E119, G1v94 CH1 C94, G1v14 CH2 A1.3, A1.2, G1v29 CH2 A84.4, G1v75 CH3 C5, G1v33 CH3 S22, A24, V86 (hole), G1v78 CH3 L107, A114G1v89 R118, E120 (CH1 K26>E (158"), S94>C (202"), K119>E (224"), K120 (225") (129"-226"), charnière 1-15 (227"-241"), CH2 L1.3>A (245"), L1.2>A (246"), N84.4>A (308") (242"-351"), CH3 Y5>C (360"), D12 (367"), L14 (369"), T22>S (377"), L24>A (379"), Y86>V (418"), M107>L (439"), N114>A (445"), Q118>R (449"), S120>E (451") (352"-456") (129"-456")], (231"-219'")-disulfure avec la chaîne légère commune L-kappa humanisée, anti-CD3/TNFRSF9 (1""-219'') [V-KAPPA (*Homo sapiens* IGKV2-30*02 (80.0%) -IGKJ2*01 (100%), CDR-IMGT [11.3.9] (27""-37""-55""-57""-94""-102'')) (1""-112'") -*Homo sapiens* IGKC*01 (98.1%) Km3 A45.1, V101, KCv57 R12, K13 (C-KAPPA E12>R (128''), Q13>K (129''), Km3 A45.1 (158''), V101 (196'")) (113""-219'")]; heterodimère (422-202":457-237":460-240":585-360")-tetrakisdisulfure, produit dans des cellules ovarianes de hamster chinois (CHO), lignée cellulaire CHO-DXB11, non-glycosylé

clesitamig

inmunoglobulina [(V-kappa-G4CH1-G1h-H-gamma1_L-kappa)_L-kappa]_(H-gamma1_L-kappa), anti-[*Homo sapiens* DLL3 (delta-like ligando 3, delta like canonical Notch ligando 3)], anti-[*Homo sapiens* CD3/TNFRSF9 (miembro 9 de la superfamilia de los receptores del TNF, 4-1BB, antígeno ILA de las células T, CD137) doble no similitánea], anticuerpo monoclonal humanizado, triespecífico, trivalente; cadena pesada fusionada V-kappa-G4CH1-G1h anti-DLL3-H-gamma1 anti-CD3/TNFRSF9 (1-676) [V-kappa-G4CH1-G1h anti-DLL3 humanizada (1-215) [V-KAPPA (*Homo sapiens* IGKV1-33*01 (76.3%) -IGKJ4*01 (100%), CDR-IMGT [8.3.10] (27-34.52-54.91-100)) (1-110) -dímero diseril (111-112) -*Homo sapiens* IGHG4*01 G4v97 S10 (C10-S (126) (113-210) -IGHG1*01 bisagra 1-5 (211-215)) (113-215)] -5-mer (tetraglicilseril) linker (216-220) -cadena pesada H-gamma1 humanizada, anti-CD3/TNFRSF9 (221-676) [VH (*Homo sapiens* IGHV3-72*01 (78.6%) -(IGHD) -IGHJ6*01 (86.7%), CDR-IMGT [8.10.19] (246-253.271-280.319-337)) (221-348) -*Homo sapiens* IGHG1*01 G1m17,1 CH1 K120, CH3 D12, L14, G1v57 CH1 E26, E119, G1v94 CH1 C94, G1v14 CH2 A1.3, A1.2, G1v29 CH2 A84.4, G1v74 CH3 C10, G1v32 CH3 W22 (knob), G1v78 CH3 L107, A114, G1v89 CH3 R118, E120 (CH1 K26>E (378), S94>C (422), K119>E (444), K120 (445) (349-446), bisagra 1-15 (447-461), CH2 L1.3>A (465), L1.2>A (466), N84.4>A (528) (462-571), CH3 S10>C (585), D12 (587), L14 (589), T22>W (597), M107>L (659), N114>A (665), Q118>R (669), S120>E (671) (572-676) (349-676)]; (215-226)-disulfuro con la cadena ligera VH-C-kappa anti-DLL3 humanizada (1'-226') [VH (*Homo sapiens* IGHV4-61*02 (72.0%) -IGHD -IGHJ4*01 (86.7%), CDR-IMGT [9.8.11] (26'-34'.52'-59'.98'-108')) (1'-119') -*Homo sapiens* IGKC*01 (99.1%) Km3 A45.1, V101, KCv96 A1.4, S1.3 (C-KAPPA R1.4>A (120'), T1.3>S (121'), A45.1 (165'), V101 (203')) (120'-226')]; (451-219'')-disulfuro con la cadena ligera común L-kappa humanizada, anti-CD3/TNFRSF9 (1''-219'') [V-KAPPA (*Homo sapiens* IGKV2-30*02 (80.0%) -IGKJ2*01 (100%), CDR-IMGT [11.3.9] (27''-37''.55''-57''.94''-102'')) (1''-112'') -*Homo sapiens* IGKC*01 (98.1%) Km3 A45.1, V101, KCv57 R12, K13 (C-KAPPA E12>R (128''), Q13>K (129''), A45.1 (158''), V101 (196'')) (113''-219'')]; cadena pesada H-gamma1 anti-CD3/TNFRSF9 humanizada (1"-456") [VH (*Homo sapiens* IGHV3-72*01 (78.6%) -(IGHD) -IGHJ6*01 (86.7%), CDR-IMGT [8.10.19] (26"-33".51"-60".99"-117'')) (1"-128") -*Homo sapiens* IGHG1*01 G1m17,1 CH1 K120, CH3 D12, L14, G1v57 CH1 E26, E119, G1v94 CH1 C94, G1v14 CH2 A1.3, A1.2, G1v29 CH2 A84.4, G1v75 CH3 C5, G1v33 CH3 S22, A24, V86 (hole), G1v78 CH3 L107, A114G1v89 R118, E120(CH1 K26>E (158"), S94>C (202"), K119>E (224"), K120 (225") (129"-226"), bisagra 1-15 (227"-241"), CH2 L1.3>A (245"), L1.2>A (246"), N84.4>A (308") (242"-351"), CH3 Y5>C (360"), D12 (367"), L14 (369"), T22>S (377"), L24>A (379"), Y86>V (418"), M107>L (439"), N114>A (445"), Q118>R (449"), S120>E (451") (352"-456") (129"-456")], (231"-219'')-disulfuro con la cadena ligera común L-kappa humanizada, anti-CD3/TNFRSF9 (1'''-219'') [V-KAPPA (*Homo sapiens* IGKV2-30*02 (80.0%) -IGKJ2*01 (100%), CDR-IMGT [11.3.9] (27'''-37'''-55'''-57'''-94'''-102'')) (1'''-112'') -*Homo sapiens* IGKC*01 (98.1%) Km3 A45.1, V101, KCv57 R12, K13 (C-KAPPA E12>R (128''), Q13>K (129''), Km3 A45.1 (158''), V101 (196'')) (113'''-219'')]; heterodímero (422-202":457-237":460-240":585-360")-tetrakisdisulfuro, producido en las células ováricas de hámster chino (CHO), línea celular CHO-DXB11, no glicosilado

Heavy chain / Chaîne lourde / Cadena pesada: fused V-kappa-G4CH1-G1h anti-DLL3-H-gamma1 anti-CD3/TNFRSF9 (H)

DIQLTQSPSF	LSASVGRDVT	ITCQSTESVY	GSDWLSWYQQ	KPGQPPKLLI	50
YQASNLEIGV	PSRFSGSGSC	TDTTLTINSL	EAEDAATYYC	QGYYSGTYIYA	100
FGGGTKVEIK	SSASTKGPSV	FPIAPSSRST	SESTAALGCL	VKDYFPEPV	150
VSNWSGALT	GVHTFPAVLQ	SSGLYSLSSV	VTFVPSSLGT	KTYTCNVDHK	200
PSNTKVDKRV	EPKSCGGGGS	QVQLVESGGG	LVPQRSLRL	SCAASGFKFS	250
NWFWHWVRQA	PGKGLEWVAQ	IKDYYNAYAA	YYAPSVKGRF	TISRDDSCKNS	300
IYLQMNSLKT	EDTAVYCYH	VHYASASTILL	PAEGVDAWQG	GTTVTVSSAS	350
TKGPSVFPPLA	PSSKSTSGGT	AALGCLVEDY	FPEPVTVWSN	SGALTSGVHT	400
FPAVLQSSGL	YSLSSVVTVP	SCSLGTQTYI	CNVNHKPSNT	KVDEKVEPKS	450
CDKTHTCPC	PAPEAAGGPS	SLKLSSVTA	DTAVYYCARH	500	
DPEVKENWVY	DGVEVHNAKT	KPREEQYAST	YRVVSVLTVL	HQDWLNGKEY	550
KCKVSNKALP	APIEKTISKA	KGQPREPQVY	TLPPCRDEL	KNQVSLWCLV	600
KGFYPSDIAV	EWESNGQPER	NYKTPPVLD	SDGSFFLYSK	LTVDKSRWQQ	650
GNVFSCSVLH	EALHAHYTR	ELSLSP			676

Light chain / Chaîne légère / Cadena ligera: VH-C-kappa anti-DLL3 (L')

QVTLRESGPA	LVPKTQTLTL	TCTFSGFSL	SSYDMGWVRQ	APGQGLEWMG	50
TIYTGDYSTD	YASWAKGRVT	ISVDRSKNQF	SLKLSSVTA	DTAVYYCARH	100
TGYGYFGLW	QCTLTVTSSA	SVAAPSVFIF	PFSDEQQLKSG	TASVVCLNN	150
FYPREAKVQW	KVDNALOSGN	SQESVTEQDS	KDSTYLSST	LTLSKADYEK	200
HKVYACEVTH	QGLSSPVTKS	FNRGEC			226

Light chain / Chaîne légère / Cadena ligera: anti-CD3/TNFRSF9 common (L'',H'')

DIVMTQSPLS	LPVTPGEPAS	ISCQPSQEVE	HMMRNRTYLHW	YQQKPGQAPR	50
LLIYKVSNRF	PGVPDRFSGS	GSQGDFTLKI	SRVEAEDVGV	YYCAQGTSHP	100
FTFGOGTKE	IKRTVAAPSV	FIFFPDSRKL	KSGTASVVC	LNNFYPREAK	150
VQWKVDNALQ	SGNSQESVTE	QDSKDSTYSL	SSTLTLKAD	YEKHKVYACE	200
VTHQGLSSPV	TKSFRNRC				219

Heavy chain / Chaîne lourde / Cadena pesada: H-gamma1 anti-CD3/TNFRSF9 (H'')

QVQLVESGG	LVPGRSLRL	SCAASGFKFS	NWFWHWVRQA	PGKGLEWVAQ	50
IKDYYNAYAA	YYAPSVKGRF	TISRDSKNS	IYLQMNSLKT	EDTAVYCYH	100
VHYASASTILL	PAEGVDAWQG	GTTVTVSSA	TKGPSVFPPLA	PSSKSTSGGT	150
AALGCLVEDY	FPEPVTVWSN	SGALTSGVHT	FPAVLQSSGL	YSLSSVVTVP	200
SCSLGTQTYI	CNVNHKPSNT	KVDEKVEPKS	CDKTHTCPC	PAPEAAGGPS	250
VFLFPKPKD	TLMISRTPEV	TCVVVDVSH	DPEVKENWVY	DGVEVHNAKT	300
KPREEQYAST	YRVVSVLTVL	HQDWLNGKEY	KCKVSNKALP	APIEKTISKA	350
KGQPREPQVC	TLPFPSRDEL	KNQVSLCAV	KGFYPSDIAV	EWESNGQPER	400
NYKTPPVLD	SDGSFFLVSK	LTVDKSRWQQ	GNVFSCSVLH	EALHAHYTR	450
ELSLSP					456

Post-translational modifications

Disulfide bridges location / Position des ponts disulfure / Posiciones de los puentes disulfuro
Intra-H (C23-C104) 23-90 139-195 242-318 375-431 492-552 598-656

22"-98" 155"-211" 272"-332" 378"-436"

Intra-L (C23-C104) 22"-97" 146"-206"

23"-93" 139"-199"

23""-93" 139""-199""

Inter-H-L (h 5-CL 126) 215-226" 451-219" 231"-219""

Inter-H-H (h 11, h 14) 457-237" 460-240"

Inter-H-H CH1 (C94-C94)* 422-202"

Inter-H-H CH3 (C10-C5)** 585-360"

*variant G1v94 (CH1 C94) of H and H' creating an additional inter-H-H disulfide bond

**variants G1v74 (CH3 C10) and G1v75 (CH3 C5) creating an additional inter-H-H disulfide b

N-terminal glutaminyl cyclization / Cyclisation du glutaminyle N-terminal / Ciclación del glutamínilo N-terminal

Q > pyroglutamyl (pE, 5-oxoprolyl) / pyroglutamyle (pE, 5-oxoprolyle) / piroglutamilo (pE, 5-oxoprolilo)

H VH Q1: I"

L VH V-KAPPA Q1: I'

No N-glycosylation sites / pas de sites de N-glycosylation / ninguna posición de N-glycosilación
H CH2 N84.4>A (G1v29): 528, 308"

comsaleucelum
comsaleucel

human culture expanded activated autologous tumour-infiltrating lymphocytes (TIL) isolated from cervical cancer tissue. The cells are mechanically and enzymatically isolated from resected tumour biopsy of patients and cultured in serum-free media containing recombinant interleukin 2 (IL-2). The cells are activated in serum-free media using anti-CD3 antibody, IL-2 and then further expanded in the presence of irradiated allogeneic peripheral-

blood mononuclear cells (PBMCs) derived from healthy donors. The T lymphocytes (>90% CD45+CD3+) are a heterogeneous mixture of CD4+ and CD8+ TILs predominantly with effector memory, central memory and effector cell subsets, and a low level of CD45+CD3-CD56+ natural killer (NK) cells (0-10%). The T-lymphocytes demonstrate cytolytic activity and secrete cytokines in a co-culture-based assay

comsaleucel

lymphocytes humains autologues infiltrant les tumeurs (TIL), isolés de tissus d'un cancer du col de l'utérus. Les cellules ont été mises en expansion et activées. Les cellules sont isolées mécaniquement et enzymatiquement à partir d'une biopsie tumorale de patientes et cultivées dans un milieu sans sérum, contenant de l'interleukine-2 (IL-2) recombinante. Les cellules sont activées dans un milieu exempt de sérum à l'aide d'un anticorps anti-CD3 et d'IL-2, puis mises en expansion en présence de cellules mononucléées allogéniques du sang périphérique (CMSP) irradiées, provenant de donneurs sains. Les lymphocytes T (>90% de CD45+CD3+) sont un mélange hétérogène de TIL CD4+ et CD8+ avec, principalement, des sous-ensembles des cellules avec effecteurs à mémoire, à mémoire centrale, et effectrices, et un faible taux de cellules tueuses naturelles (NK) CD45+CD3-CD56+ (0-10%). Les lymphocytes T démontrent une activité cytolytique et sécrètent des cytokines, dans un essai basé sur une co-culture

comsaleucel

linfocitos T infiltrantes de tumor (TIL) humanos autólogos, activados, expandidos en cultivo, aislados de tejido de cáncer cervical. Las células se aíslan mecánica y enzimáticamente a partir de biopsia de tumor reseccionado de pacientes y cultivados en medio sin suero que contiene interleuquina 2 (IL-2) recombinante. Las células se activan en medio sin suero usando anticuerpo anti-CD3, IL-2 y después se expanden en presencia de células mononucleares de sangre periférica (PBMCs) alógénicas irradiadas derivadas de donantes sanos. Los linfocitos T (>90% CD45+CD3+) son una mezcla heterogénea de TILs CD4+ y CD8+ predominantemente con subtipos de memoria efectora, memoria central y células efectoras y un nivel bajo (0-10%) de células natural killer (NK) CD45+CD3-CD56+. Los linfocitos T demuestran actividad citolítica y secretan citoquinas en un ensayo basado en co-cultivo

dalnacogenum ponparvovec #

dalnacogene ponparvovec

recombinant, self-complementary, non-replicating adeno-associated virus, synthetic liver-tropic serotype 843 (rAAV843) vector, encoding a codon-optimised (CpG reduced) gain of function variant (Padua variant; R338L) of human coagulation factor IX (FIX), under control of a synthetic liver-specific Lxp2.1 promoter and a synthetic polyadenylation (polyA) sequence derived from the rabbit beta-globin gene polyA signal. The expression cassette also contains a human DNA-dependent RNA polymerase II gene intron, a Kozak sequence, a human immunoglobulin heavy chain variable region gene intron inserted into the middle of the FIX coding region, and an enhancer derived from the promoter region of human alpha-1-antitrypsin. The transgene is flanked by adeno-associated virus 2 (AAV2) inverted terminal repeats (ITRs)

dalnacogène ponparvovec

vecteur recombinant, auto-complémentaire, non réplicatif, du virus adéno-associé de sérotype hépatotropique synthétique 843 (rAAV843) codant pour un variant du facteur IX (FIX) de coagulation humain avec gain de fonction (variant de Padoue; R338L), optimisé par codon (CpG réduit), sous contrôle d'un promoteur synthétique hépatospécifique Lxp2.1 et d'une séquence de polyadénylation (polyA) dérivée du signal polyA du gène de la bêta-globine de lapin. La cassette d'expression comprend également un intron du gène de l'ARN polymérase II dépendant de l'ADN humain, une séquence de Kozak, un intron du gène de la région variable de la chaîne lourde de l'immunoglobuline humaine qui est inséré au milieu de la région codante de FIX, et un activateur dérivé de la région promotrice de l'alpha-1-antitrypsine humaine. Le transgène est flanqué de répétitions terminales inversées (ITR) du virus adéno-associé de sérotype 2 (AAV2)

dalnacogén ponparvovec

vector de virus adenoasociado del serotipo sintético 843, recombinante (rAAV843), con tropismo hepático, no replicativo, auto complementario que codifica para una variante con ganancia de función (variante Padua; R338L) con codones optimizados (CpG reducidos) del factor de coagulación IX (FIX) humano, bajo el control de un promotor sintético Lxp2.1 específico de hígado y una secuencia de poliadenilación (polIA) sintética derivada de la señal polIA del gen de la beta-globina de conejo. El casete de expresión también contiene un intrón del gen de la ARN polimerasa II dependiente de ADN humana, una secuencia Kozak, un intrón del gen de la región variable de la cadena pesada de inmunoglobulina humana insertado en el medio de la región codificadora de FIX, y un potenciador derivado de la región promotora de la alfa-1-antitripsina humana. El transgén está flanqueado por las repeticiones terminales invertidas (ITRs) del virus adenoasociado 2 (AAV2)

damlecovateinum #

damlecovatein

severe acute respiratory syndrome coronavirus 2 (SARS-CoV-2), omicron lineage XBB.1.16 (Gisaid: EPI_ISL_17619088) spike (S) glycoprotein receptor binding domain (RBD) fragment (302-520, 1-219 in the current sequence), variant ($K^{520}>G^{219}$), fused to severe acute respiratory syndrome coronavirus 2 (SARS-CoV-2), omicron lineage XBB.1.16 spike (S) glycoprotein receptor binding domain (RBD) fragment (302-520, 220-438 in the current sequence), single chain homodimer, produced in Chinese hamster ovary (CHO) cells, cell line CHO-K1, glycoform alfa

damlécovatéine

fragment du domaine de liaison au récepteur (RBD) de la glycoprotéine du spicule (S) du coronavirus 2 du syndrome respiratoire aigu sévère (SRAS-CoV-2), lignée omicron XBB.1.16 (Gisaid: EPI_ISL_17619088) (302-520, 1-219 dans la séquence en cours), variant ($K^{520}>G^{219}$), fusionné au fragment du domaine de liaison au récepteur de la glycoprotéine du spicule (S) du coronavirus 2 du syndrome respiratoire aigu sévère (SRAS-CoV-2), lignée omicron XBB.1.16 (302-520, 220-438 dans la séquence en cours), homodimère monocaténaire, produit dans des cellules ovariennes de hamster chinois (CHO), lignée cellulaire CHO-K1 glycoforme alfa

damlecovateina

fragmento del dominio de unión al receptor (RBD) de la glicoproteína de espícula (S) del coronavirus 2 del síndrome respiratorio agudo severo (SRAS-CoV-2), linaje ómicron XBB.1.16 (Gisaid: EPI_ISL_17619088) (302-520, 1-219 en la secuencia actual), variante ($K^{520}>G^{219}$), fusionado al fragmento del dominio de unión al receptor (RBD) de la glicoproteína de espícula (S) del coronavirus 2 del síndrome respiratorio agudo severo (SRAS-CoV-2), linaje ómicron XBB.1.16 (302-520, 220-438 en la secuencia actual), homodímero de cadena única, producido en células ováricas de hámster Chino (CHO), línea celular CHO-K1, glicoforma alfa

Sequence / Séquence / Secuencia

RVQPTESIVR	FPNITNLCPF	HEVFNATTFA	SVYAWNRKRI	SNCVADYSVI	50
YNFAPFFAKP	CYGVSPTKLN	DLCFTNVYAD	SFVIRGNEVS	QIAPGQTGNI	100
ADNYKLPDD	FTGCVIAWNS	NKLDSKPSGN	YNYLYRLFRK	SKLKPFERDI	150
STEIYQAGNR	PCNGVAGPNC	YSPLOQSYGFR	PTYGVGHQPY	RVVVLSFELL	200
HAPATVCGPK	KSTNLVKNGR	VQPTESIVRF	PNTNLCPFH	EVFNATTFAS	250
YVANWRKRIS	NCVADYSVIY	NFAPFFAFKC	YGVSPTKLND	LCFTNVYADS	300
FVIRGNEVSQ	IAPGQTGNIA	DNYKLPDDF	TGCVIAWNSN	KLDSKPSGNY	350
NYLYRLFRKS	KLKPFFERDIS	TEIYQAGNRP	CNGVAGPNCY	SPLQSYGFRP	400
TYGVGHQPYR	VVVLSELLAH	APATVCGPKK	STNLVKNK		438

Mutation / Mutation / Mutación

$K^{520}>G^{219}$

Post-translational modifications

Disulfide bridges location / Position des ponts disulfure / Posiciones de los puentes disulfuro
Intra chain: 18-43, 73-207, 61-114, 162-170, 237-262, 280-333, 292-426, 381-389

N-glycosylation sites / Sites de N-glycosylation / Posiciones de N-glicosilación
N13, N25, N232, N244

O-glycosylation sites / Sites de O-glycosylation / Posiciones de O-glicosilación
T5, T224

C-terminal lysine clipping / Coupure de la lysine C-terminale / Recorte de lisina C-terminal
438

delpacibartum braxlosiranum #

delpacibart braxlosiran

immunoglobulin G1-kappa, anti-[*Homo sapiens* TFRC (transferrin receptor, TfR1, TFR1, CD71)], humanized monoclonal antibody, conjugated on an average of one cysteinyl residue via a 4-(maleimidomethyl)cyclohexanecarboxamide linker with a double-stranded small interfering RNA (siRNA) (*braxlosiran*): H-gamma1 heavy chain humanized (1-445) [VH (*Homo sapiens* IGHV1-2*06 (87.8%) -(IGHD)-IGHJ4*01 (100%), CDR-IMGT [8.8.9] (26-33.51-58.97-105)) (1-116) -*Homo sapiens* IGHG1*03, G1m3, nG1m1 CH1 R120, CH3 E12, M14, G1v14 CH2 A1.3, A1.2, G1v48 CH2 R113 (CH1 R120 (213) (117-214), hinge 1-15 (215-229), CH2 L1.3>A (233), L1.2>A (234), L113>R (327) (230-339), CH3 E12 (355), M14 (357) (340-444), CHS K2>del (445)) (117-445)], (219-214)-disulfide with L-kappa light chain humanized (1'-214') [V-KAPPA (*Homo sapiens* IGKV1-NL1*01 (84.2%) -IGKJ4*01 (100%), CDR-IMGT [6.3.9] (27'-32'.50'-52'.89'-97')) (1'-107') -*Homo sapiens* IGKC*01 (100%) Km3 A45.1, V101 (C-KAPPA A45.1 (153'), V101 (191')) (108'-214')]; dimer (225-225": 228-228")-bisdisulfide, produced in Chinese hamster ovary (CHO) cells, glycoform alfa; substituted on average at one sulfur atom of cysteine residue 219, 214', 219" or 214" with a group consisting

of all-*P*-ambo-2'-O-methyl-*P*-thiouridylyl-(3'→5')-2'-deoxy-2'-fluoro-*P*-thiocytidylyl-(3'→5')-2'-O-methylcytidylyl-(3'→5')-2'-O-methyladenylyl-(3'→5')-2'-O-methyladenylyl-(3'→5')-2'-deoxy-2'-fluoroadenylyl-(3'→5')-2'-O-methylcytidylyl-(3'→5')-2'-O-methylguanylyl-(3'→5')-2'-O-methyladenylyl-(3'→5')-2'-O-methylcytidylyl-(3'→5')-2'-O-methyluridyl-(3'→5')-2'-deoxy-2'-fluorocytidylyl-(3'→5')-2'-O-methylcytidylyl-(3'→5')-2'-deoxy-2'-fluoroguanylyl-(3'→5')-2'-O-methyluridyl-(3'→5')-2'-O-methylcytidylyl-(3'→5')-2'-O-methyl-P-thiouridyl-(3'→5')-2'-O-methyluridine duplex with all-*P*-ambo-(3RS)-1-({*cis*- and/or *trans*-4-[(6-[2'-O-methyl-*P*-thioadenylyl-(5'→3')-2'-O-methyl-*P*-thioguanylyl-(5'→3')-2'-O-methylguanylyl-(5'→3')-2'-O-methyluridyl-(5'→3')-2'-O-methylguanylyl-(5'→3')-2'-O-methylcytidylyl-(5'→3')-2'-O-methyl-P-thiouridyl-(3'→5')-2'-O-methyl-*P*-thioguanylyl-(3'→5')-2'-O-methyl-P-thiouridyl-(3'→5')-2'-O-methyluridine]oxy}hexyl)carbamoyl]cyclohexyl)methyl)-2,5-dioxopyrrolidin-3-yl (*braxlosiran*)

delpacibart braxlosiran

immunoglobuline G1-kappa, anti-[*Homo sapiens* TFRC (récepteur de la transferrine, TfR1, TFR1, CD71)], anticorps monoclonal humanisé, conjugué par un résidu cystéinyle en moyenne via un linker 4-(maléimidométhyl)cyclohexanecarboxamide avec un petit ARN interférent (siARN) double brin (*braxlosiran*): chaîne lourde H-gamma1 humanisée (1-445 [VH (*Homo sapiens* IGHV1-2*06 (87.8%) -(IGHD) - IGHJ4*01 (100%), CDR-IMGT [8.8.9] (26-33.51-58.97-105)) (1-116) -*Homo sapiens*IGHG1*03, G1m3, nG1m1 CH1 R120, CH3 E12, M14, G1v14 CH2 A1.3, A1.2, G1v48 CH2R113 (CH1 R120 (213) (117-214), charnière 1-15 (215-229), CH2 L1.3>A (233), L1.2>A (234), L113>R (230-339), CH3 E12 (355), M14 (357) (340-444), CHS K2>del (445)) (117-445)], (219-214')-disulfure avec la chaîne légère L-kappa humanisée (1'-214') [V-KAPPA (*Homo sapiens* IGKV1-NL1*01 (84.2%) -IGKJ4*01 (100%), CDR-IMGT [6.3.9] (27'-32'.50'-52'.89'-97')) (1'-107') -*Homo sapiens* IGKC*01 (100%) Km3 A45.1, V101 (C-KAPPA A45.1 (153'), V101 (191')) (108'-214')]; dimère (225-225": 228-228")-bisdisulfure, produit dans des cellules ovaries de hamster chinois (CHO), glycoforme alfa; substitué en moyenne sur un atome de soufre d'un résidu de cystéine 219, 214', 219" ou 214"" par un groupe *tout*-*P*-ambo-2'-O-méthyl-*P*-thiouridylyl-(3'→5')-2'-désoxy-2'-fluoro-*P*-thiocytidylyl-(3'→5')-2'-O-méthylcytidylyl-(3'→5')-2'-désoxy-2'-fluoroadenylyl-(3'→5')-2'-O-méthylcytidylyl-(3'→5')-2'-O-méthylguanylyl-(3'→5')-2'-O-méthyladenylyl-(3'→5')-2'-O-méthyluridyl-(3'→5')-2'-O-méthylcytidylyl-(3'→5')-2'-désoxy-2'-fluorocytidylyl-(3'→5')-2'-O-méthylcytidylyl-(3'→5')-2'-désoxy-2'-fluoroguanylyl-(3'→5')-2'-O-méthyluridyl-(3'→5')-2'-O-méthylcytidylyl-(3'→5')-2'-O-méthyl-P-thioguanylyl-(3'→5')-2'-O-méthyl-*P*-thiouridyl-(3'→5')-2'-O-méthyluridine duplex avec

tout-P-ambo-(3RS)-1-({cis- et/ou trans-4-[(6-[{2'-O-méthyl-P-thioadényl-(5'→3')-2'-O-méthyl-P-thioguanilyl-(5'→3')-2'-O-méthylguanilyl-(5'→3')-2'-O-méthyluridyl-(5'→3')-2'-O-méthylguanilyl-(5'→3')-2'-O-méthylcytidyl-(5'→3')-2'-O-méthyluridyl-(5'→3')-2'-O-méthylcytidyl-(5'→3')-2'-désoxy-2'-fluoroadényle-(5'→3')-2'-désoxy-2'-fluoroguanilyl-(5'→3')-2'-désoxy-2'-fluoroadényle-(5'→3')-2'-O-méthylguanilyl-(5'→3')-2'-O-méthylguanilyl-(5'→3')-2'-O-méthylcytidyl-(5'→3')-2'-O-méthyl-P-thioadényle-(5'→3')-2'-O-méthyl-P-thioguanilyl-(5'→3')-2'-O-méthyl[P-méthyl]oxyhexyl)carbamoylcyclohexyl)méthyl)-2,5-dioxopirrolidin-3-yile (braxlosiran)

delpacibart braxlosirán

inmunoglobulina G1-kappa, anti-[*Homo sapiens* TFRC (receptor de la transferrina, TfR1, TFR1, CD71)], anticuerpo monoclonal humanizado, conjugado en uno residuo cisteínilo por término medio a través de un enlace 4-(maleimidometil)ciclohexanocarboxamida con un ARN pequeño interferente (siARN) doble brin (*braxlosiran*); cadena pesada H-gamma1 humanizada (1-445 [VH (*Homo sapiens*IGHV1-2*06 (87.8%) -(IGHD) -IGHJ4*01 (100%), CDR-IMGT [8.8.9] (26-33.51-58.97-105)) (1-116) -*Homo sapiens*IGHG1*03, G1m3, nG1m1 CH1 R120, CH3 E12, M14, G1v14 CH2 A1.3, A1.2, G1v48 CH2R113 (CH1 R120 (213) (117-214), bisagra 1-15 (215-229), CH2 L1.3>A (233), L1.2>A (234), L113>R (230-339), CH3 E12 (355), M14 (357) (340-444), CHS K2>del (445)) (117-445)], (219-214')-disulfuro con la cadena ligera L-kappa humanizada (1'-214') [V-KAPPA (*Homo sapiens*IGKV1-NL1*01 (84.2%) -IGKJ4*01 (100%), CDR-IMGT [6.3.9] (27'-32'.50'-52'.89'-97')) (1'-107') -*Homo sapiens*IGKC*01 (100%) Km3 A45.1, V101 (C-KAPPA A45.1 (153'), V101 (191')) (108'-214')]; dímero (225-225": 228-228")-bisdisulfuro, producido en las células ováricas de hámster chino (CHO), forma glicosilada alfa; sustituido de media en un átomo de azufre de un residuo de cisteína 219, 214', 219" o 214"" por un grupo *todo-P-ambo-2'-O-metil-P-tiouridilil-(3'→5')-2'-desoxi-2'-fluoro-P-tiocitidilil-(3'→5')-2'-O-metilcitidilil-(3'→5')-2'-O-metiladenilil-(3'→5')-2'-O-desoxi-2'-fluoroadenilil-(3'→5')-2'-O-metilcitidilil-(3'→5')-2'-O-metilguanilil-(3'→5')-2'-O-metiladenilil-(3'→5')-2'-O-metilguanilil-(3'→5')-2'-O-metiluridilil-(3'→5')-2'-O-metilcitidilil-(3'→5')-2'-O-metiluridilil-(3'→5')-2'-desoxi-2'-fluorocitidilil-(3'→5')-2'-O-metilcitidilil-(3'→5')-2'-O-metiluridilil-(3'→5')-2'-O-metiluridilil-(3'→5')-2'-desoxi-2'-fluoroguanilil-(3'→5')-2'-O-metiluridilil-(3'→5')-2'-O-metiluridilil-(3'→5')-2'-O-metil-P-tioguanilil-(3'→5')-2'-O-metil-P-tiouridilil-(3'→5')-2'-O-metiluridina dúplex con *todo-P-ambo-(3RS)-1-({cis- y/o trans-4-[(6-[{2'-O-metil-P-tioadenilil-(5'→3')-2'-O-metil-P-tioguanilil-(5'→3')-2'-O-metilguanilil-(5'→3')-2'-O-metiluridilil-(5'→3')-2'-O-metiluridilil-(5'→3')-2'-O-metilguanilil-(5'→3')-2'-O-metiluridilil-(5'→3')-2'-O-metiluridilil-(5'→3')-2'-O-metilguanilil-(5'→3')-2'-O-metiluridilil-(5'→3')-2'-O-metiluridilil-(5'→3')-2'-O-metil-P-tioguanilil-(5'→3')-2'-O-metil-P-tiouridilil-(5'→3')-2'-O-metil-P-tioguanilil-(5'→3')-2'-O-metil-5'-citidilil]oxyhexyl)carbamoylcyclohexyl)méthyl)-2,5-dioxopirrolidin-3-ilo (braxlosiran)**

Heavy chain / Chaîne lourde / Cadena pesada

QVQLVQSGAE VKKPGASVKV SCKASGYTFT NYWMHWVRQA PGQGLEWIGE 50
 INPINGRSNY AEKFQGRVTL TVDTSSSTAY MELSLRLRSDD TAVYYCARGT 100
 RAMHYWGQGT LVTIVSSASTK GPFVFLAPS SKSTSGGTA LGCLVKDYFP 150
 EPVTVWSNSG ALTSGVHTFP AVLQSSGLYS LSSVVTVPSS SLGTQTYICN 200
 VNHKPSNTKV DKRVEPKSCD KTHTCPPCPA PEAAGGPSV LFPPFKPKDTI 250
 MISRTPEVTC VVVDVSHEDP EVKEFNWYVDC VEVHNNAKTKP REEQYNSTYR 300
 VVSVLTVLHQ DWLNGKEYKC KVSNKARPAP IKTISKAKG QPREPQVYLT 350
 PPSREEMTKN QVSLTCLVKG FYPFSDIAVEW ESNQQPENNY KTTFPVLDSD 400
 GSFFFLYSKLT VDKSRWRQQGN VFSCSVMHEA LHNHYTQKSL SLSFG 445

Light chain / Chaîne légère / Cadena ligera

DIQMTQSPSS LSASVGDRTV ITCTSENLY NNLAWYQQKP GKSPKLLIYA 50
 ATNLNADGVPS RFSGSGSGTD YTTLTISSLQP EDFATYYCQH FWGTPLTFGG 100
 GTKVEIKRTV AAPSVIFIPP SDEQLKSGTA SVVCLNNFY PREAKVQWKV 150
 DNALQSGNSQ ESVTEQDSDKD STYSLSSTLT LSKADYEKHK VYACEVTHQG 200
 LSSPVTKFSN RGEC 214

Post-translational modifications

Disulfide bridges location / Position des ponts disulfure / Posiciones de los puentes disulfuro

Intra-H (C23-C104) 22-96 143-199 260-320 366-424

22"-96" 143"-199" 260"-320" 366"-424"

Intra-L (C23-C104) 23"-88" 134"-194"

23"-88"" 134"-194""

Inter-H-L (h 5-CL 126)* 219-214' 219"-214"

Inter-H-H (h 11, h 14)* 225-225" 228-228"

*One of the three more accessible inter-chain disulfide bridges (2 H-L, h11) is not present, an average of one cysteinyl being conjugated via a thioether bond to a linker-oligonucleotide.

*Un des trois ponts disulfure inter-châines les plus accessibles (2 H-L, h11) n'est pas présent, un cysteinyl en moyenne étant conjugué via une liaison thioether à un linker-oligonucléotido.

*Uno de los tres puentes disulfuro entre cadenas más accesible (2 H-L, h11) no está presente, uno cisteínilo en promedio se conjuga a través de un enlace tióter a un linker-oligonucleótido.

N-terminal glutaminyl cyclization / Cyclisation du glutaminyle N-terminal / Ciclación del glutaminiilo N-terminal

Q > pyroglutamyl (pE, 5-oxoprolyl) / pyroglutamyle (pE, 5-oxoprolyle) / piroglutamilo (pE, 5-oxoprolilo)

HV VH Q1: 1, 1"

N-glycosylation sites / Sites de N-glycosylation / Posiciones de N-glicosilación

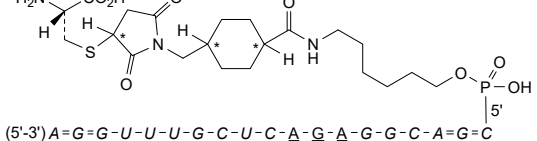
H CH2 NS4.4: 296, 296"

Fucosylated complex bi-antennary CHO-type glycans / glycanes de type CHO bi-antennaires complexes fucosylés / glicanos de tipo CHO biantenarios complejos fucosilados.

Potential modified residues / résidus modifiés potentiels / restos modificados potenciales*

C (219, 214', 219", 214")

*(braxolosiran:mAb ~ 1:1)



(5'-3') A=G-U-U-U-G-C-U-C-A-G-A-G-G-C-A=G-C

(3'-5') U=C-C-A-A-A-C-G-A-G-U-C-U-C-C-G-U-C-G=U=U

N : A,C,G,U

N : 2'-O-methyl-N / 2'-O-méthyl-N / 2'-O-metil-N

N : 2'-deoxy-2'-fluoro-N / 2'-désoxy-2'-fluoro-N / 2'-desoxi-2'-fluoro-N

- : -PO(OH)- = : -PO(SH)-

delpacibartum zotadirsenum

delpacibart zotadirsen

immunoglobulin G1-kappa, anti-[*Homo sapiens*] TFRC (transferrin receptor, TfR1, TFR1, CD71), humanized monoclonal antibody, conjugated on an average of four cysteinyl residues via a 4-(maleimidomethyl)cyclohexanecarboxamide linker to a single-stranded oligonucleotide (*zotadirsen*).H-gamma1 heavy chain humanized (1-445) [VH (*Homo sapiens*)IGHV1-2*06 (87.8%) -(IGHD) -IGHJ4*01 (100%), CDR-IMGT [8.8.9] (26-33.51-58.97-105)] (1-116) -*Homo*

sapiens IGHG1*03, G1m3, nG1m1 CH1 R120, CH3 E12, M14, G1v14 CH2 A1.3, A1.2, G1v48 CH2R113 (CH1 R120 (213) (117-214), hinge 1-15 (215-229), CH2 L1.3>A (233), L1.2>A (234), L113>R (327) (230-339), CH3 E12 (355), M14 (357) (340-444), CHS K2>del (445)) (117-445)], (219-214)-disulfide with L-kappa light chain humanized (1'-214') [V-KAPPA (*Homo sapiens* IGKV1-NL1*01 (84.2%) -IGKJ4*01 (100%), CDR-IMGT [6.3.9] (27'-32'.50'-52'.89'-97')) (1'-107') -*Homo sapiens* IGKC*01 (100%) Km3 A45.1, V101 (C-KAPPA A45.1 (153'), V101 (191')) (108'-214')]; dimer (225-225": 228-228")-bisdisulfide, produced in Chinese hamster ovary (CHO) cells, glycoform alfa; substituted at the sulfur atom of an average of four cysteine residues among 219, 225, 288, 214', 219", 225", 228" and 214" with a group consisting of *all-P-ambo-(3RS)-1-(cis- and/or trans-4-[(3-[2',3'-azanediyl-P,2',3'-trideoxy-P-(dimethylamino)-2',3'-seco](2'-N→5')(C-G-C-C-G-C-C-A-m⁵U-m⁵U-m⁵U-C-m⁵U-C-A-A-C-A-G-A-m⁵U-C-m⁵U-G-m⁵U-C)-N^{2'.26}-yl]-3-oxopropyl)carbamoyl]cyclohexyl)methyl)-2,5-dioxopyrrolidin-3-yl (zotadirsen)*

delpacibart zotadirsen

immunoglobuline G1-kappa, anti-[*Homo sapiens* TFRC (récepteur de la transferrine, TfR1, TFR1, CD71)], anticorps monoclonal humanisé, conjugué par quatre résidus cystéinyle en moyenne via un linker 4-(maléimidométhyl)cyclohexanecarboxamide avec un oligonucléotide simple brin (zotadirsen); chaîne lourde H-gamma1 humanisée (1-445 [VH (*Homo sapiens* IGHV1-2*06 (87.8%) -(IGHD) - IGHJ4*01 (100%), CDR-IMGT [8.8.9] (26-33.51-58.97-105)) (1-116) -*Homo sapiens* IGHG1*03, G1m3, nG1m1 CH1 R120, CH3 E12, M14, G1v14 CH2 A1.3, A1.2, G1v48 CH2R113 (CH1 R120 (213) (117-214), charnière 1-15 (215-229), CH2 L1.3>A (233), L1.2>A (234), L113>R (230-339), CH3 E12 (355), M14 (357) (340-444), CHS K2>del (445)) (117-445)], (219-214')-disulfure avec la chaîne légère L-kappa humanisée(1'-214') [V-KAPPA (*Homo sapiens* IGKV1-NL1*01 (84.2%) -IGKJ4*01 (100%), CDR-IMGT[6.3.9] (27'-32'.50'-52'.89'-97')) (1'-107') -*Homo sapiens* IGKC*01 (100%) Km3 A45.1, V101 (C-KAPPA A45.1 (153'), V101 (191')) (108'-214')]; dimère (225-225": 228-228")-bisdisulfure, produit dans des cellules ovaries de hamster chinois (CHO), glycoforme alfa; substitué sur l'atome de soufre de quatre résidus de cystéine en moyenne parmi 219, 225, 228, 214', 219", 225", 228" et 214" avec un groupe *tout-P-ambo-(3RS)-1-(cis- et/ou trans-4-[(3-[2',3'-azanediyl-P,2',3'-trideoxy-P-(diméthylamino)-2',3'-seco](2'-N→5')(C-G-C-C-G-C-C-A-m⁵U-m⁵U-m⁵U-C-m⁵U-C-A-A-C-A-G-A-m⁵U-C-m⁵U-G-m⁵U-C)-N^{2'.26}-yl]-3-oxopropyl)carbamoyl]cyclohexyl)méthyl)-2,5-dioxopyrrolidin-3-yle (zotadirsen)*

delpacibart zotadirsen

inmunoglobulina G1-kappa, anti-[*Homo sapiens* TFRC (receptor de la transferrina, TfR1, TFR1, CD71)], anticuerpo monoclonal humanizado, conjugado en cuatro residuos cisteinilo por término medio a través de un enlace 4-(maleimidometil)ciclohexanocarboxamida con un oligonucleótido simple brin (zotadirsén); cadena pesada H-gamma1 humanizada (1-445 [VH (*Homo sapiens* IGHV1-2*06 (87.8%) -(IGHD) - IGHJ4*01 (100%), CDR-IMGT [8.8.9] (26-33.51-58.97-105)) (1-116) -*Homo sapiens* IGHG1*03, G1m3, nG1m1 CH1 R120, CH3 E12, M14, G1v14 CH2 A1.3, A1.2, G1v48 CH2R113 (CH1 R120 (213) (117-214), bisagra 1-15 (215-229), CH2 L1.3>A (233), L1.2>A (234), L113>R (230-339), CH3 E12 (355), M14 (357) (340-444), CHS K2>del (445)) (117-445)], (219-214')

disulfuro con la cadena ligera L-kappa humanizada (1'-214') [V-KAPPA (*Homo sapiens* IGKV1-NL1*01 (84.2%) -IGKJ4*01 (100%), CDR-IMGT[6.3.9] (27'-32'.50'-52'.89'-97')) (1'-107') -*Homo sapiens* IGKC*01 (100%) Km3 A45.1, V101 (C-KAPPA A45.1 (153'), V101 (191')) (108'-214')]; dímero (225-225": 228-228"-bisdisulfuro, producido en las células ováricas de hámster chino (CHO), forma glicosilada alfa; sustituido en el átomo de azufre de una media de cuatro residuos de cisteína de 219, 225, 228, 214', 219", 225', 228" y 214"" con un grupo *todo-P-ambo*-(3RS)-1-((*cis*- y/o *trans*-4-[{[2',3'-azanediil-P,2',3'-tridesoxi-P-(dimetilamino)-2',3'-seco](2'-N→5')(C-G-C-C-G-C-A-m⁵U-m⁵U-C-m⁵U-C-A-A-C-A-G-A-m⁵U-C-m⁵U-G-m⁵U-C)-N^{2',26}-iI]-3-oxopropil)carbamoil)ciclohexil)metil)-2,5-dioxopirrolidin-3-ilo (*zotadirsén*)

Heavy chain / Chaîne lourde / Cadena pesada

QQQLVQSGAE	VKKPGASVKV	SCKASGYTPT	NYWMWHWRQA	PQQGLEWIGE	50
INPINRGSNY	AEEKFQGRVIL	TVDTSSTAY	MELSLRLSDD	TAVYVCARGT	100
RAMHYWGQGT	LTVTSSASTK	GPSVFLAPS	SKSTSGGTAA	LGCLVKDYYDF	150
EPVTVSWNSG	ALTSGVHTFP	AVLQSSGLYS	LSSVTVFSS	SLGTQTYICN	200
VNHKPSTKV	DKRVEPKSCD	KTHTCPPCPA	PEAAGPSPVF	LFPFPKPKDTL	250
MISRTPEVTC	VVVVDSHEPD	EVKFVNWYVG	VEVHNNAKTPK	REEQYNSTYR	300
VVSVLTVLRQ	DWLNGKEYKC	KVSNKARARP	IETKTSKAKG	QPRFPQVYTL	350
PPSREEMTRN	QVSLTCLVRG	FYPFSIAVEW	ESNGOPENNY	KTPPPVLDSD	400
GSFFLYSKLT	VDKSRWQQQN	VFSCSVMHEA	LHNHYTQKSL	SLSPG	445

Light chain / Chaîne légère / Cadena ligera

DIQMTQSPSS	LSASVGDVRIT	ITCRTSENII	NNLAWYQQKP	GKSPKLLIYA	50
ATNLADGVPS	RFGSGSGSTG	YTLTISIQLP	EDFATYYCQH	FWGTPPLTFGG	100
GTKVEIKRTV	AAPSVFIFPP	SDEQLKSLTA	SVVCLNNFY	PREAKVQWKV	150
DNALQSGNSQ	ESVTEQDSKD	STYSLSLTLL	LSKADYEKKH	VYACEVTHOG	200
LSSPVTKSFN	RGECA				214

Post-translational modifications

Disulfide bridges location / Position des ponts disulfure / Posiciones de los puentes disulfuro
Intra-H (C23-C104) 22-96 143-199 260-320 366-424
22"-96" 143"-199" 260"-320" 366"-424"

Intra-L (C23-C104) 23"-88" 134"-194"

Inter-H-L (h 5-CL 126) * 219-214' 219"-214"

Inter-H-H (h 11, h 14) * 225-225" 228-228"

*At least two of the four inter-chain disulfide bridges are not present, an average of four cysteinyl being conjugated each via a thioether bond to a drug linker.

*Au moins deux des quatre ponts disulfures inter-chaines ne sont pas présents, quatre cysteinyl en moyenne étant chacun conjugué via une liaison thioéther à un linker-principe actif.

*Al menos dos de los cuatro puentes disulfuro inter-catenarios no están presentes, una media de cuatro cisteínil está conjugada a conectores de principio activo.

N-terminal glutaminyl cyclization / Cyclisation du glutaminyle N-terminal / Ciclación del glutamínico N-terminal

Q = pyroglutamyl (pE, 5-oxoprolyl) / pyroglutamyle (pE, 5-oxoprolyle) / piroglutamilo (pE, 5-exoprolico)

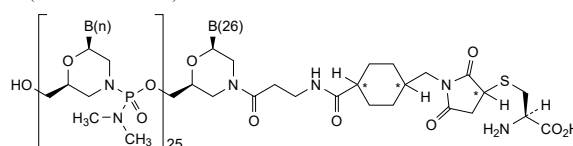
H VH Q1: I, I"

N-glycosylation sites / Sites de N-glycosylation / Posiciones de N-glicosilación

N H2 N84.4: 296, 296"
Fucosylated complex bi-antennary CHO-type glycans / glycanes de tipo CHO bi-antennarios complejos fucosilados.

Potential modified residues / résidus modifiés potentiels / restos modificados potenciales*
C (219, 225, 288, 214', 219", 225", 228", 214")

*(*zotadirsén*):mAb ~ 3.8:1)



Nucleobase sequence / Séquence nucléobases / Secuencia nucleobases

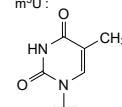
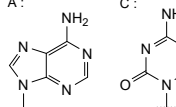
B(1-26) : C-G-C-C-G-C-C-A-m⁵U-m⁵U-C-m⁵U-C-A-A-C-A-G-A-m⁵U-C-m⁵U-G-m⁵U-C

A :

C :

G :

m⁵U :



denrakibartum #

denrakibart

immunoglobulin G2-kappa, anti-[*Homo sapiens* CCL17 (C-C motif chemokine ligand 17, chemokine (C-C motif) ligand 17, small inducible cytokine subfamily A (Cys-Cys) member 17, SCYA17, thymus and activation-regulated chemokine, TARC)], *Homo sapiens* monoclonal antibody;
 H-gamma2 heavy chain *Homo sapiens* (1-447) [VH (*Homo sapiens*IGHV5-51*01 (98.0%) -(IGHD)-IGHJ4*01 (100%), CDR-IMGT [8.8.14] (26-33.51-58.97-110)) (1-121) -*Homo sapiens* IGHG2*01 G2m.. CH2 V45.1, G2v3 CH2 A1.2, A1, S2, A30, L92, S115, S116 (CH1 P92>T (193) (122-219), hinge 1-12 (220-231), CH2 V1.2>A (235), G1>A (237), P2>S (238), H30>A (268), V45.1 (282), V92>L (309), A115>S (330), P116>S(331) (232-340), CH3 (341-445), CHS (446-447)) (341-447)], (135-220')-disulfide with L-kappa light chain *Homo sapiens* (1'-220') [V-KAPPA (*Homo sapiens* IGKV4-1*01 (92.1%) -IGKJ1*01 (100%), CDR-IMGT [12.3.9] (27'-38'.56'-58'.95'-103')) (1'-113') -*Homo sapiens* IGKC*01 (100%) Km3 A45.1, V101 (C-KAPPA A45.1 (159'), V101 (197')) (114'-220')]; dimer (223-223":224-224":227-227":230-230")-tetrakisdisulfide, produced in Chinese hamster ovary (CHO) cells, cell line CHO-K1SV, glycoform alfa

denrakibart

immunoglobuline G2-kappa, anti-[*Homo sapiens* CCL17 (chimiokine (C-C motif) ligand 17, ligand 17 de chimiokine à motif C-C, membre 17 de la sous-famille A (Cys-Cys) des petites cytokines inductrices, SCYA17, chimiokine du thymus à activation régulée, TARC)], anticorps monoclonal *Homo sapiens*;
 chaîne lourde H-gamma2 *Homo sapiens* (1-447) [VH (*Homo sapiens*IGHV5-51*01 (98.0%) -(IGHD)-IGHJ4*01 (100%), CDR-IMGT [8.8.14] (26-33.51-58.97-110)) (1-121) -*Homo sapiens* IGHG2*01 G2m.. CH2 V45.1, G2v3 CH2 A1.2, A1, S2, A30, L92, S115, S116 (CH1 P92>T (193) (122-219), charnière 1-12 (220-231), CH2 V1.2>A (235), G1>A (237), P2>S (238), H30>A (268), V45.1 (282), V92>L (309), A115>S (330), P116>S(331) (232-340), CH3 (341-445), CHS (446-447)) (341-447)], (135-220')-disulfure avec la chaîne légère kappa *Homo sapiens* (1'-220') [V-KAPPA (*Homo sapiens* IGKV4-1*01 (92.1%) -IGKJ1*01 (100%), CDR-IMGT [12.3.9] (27'-38'.56'-58'.95'-103')) (1'-113') -*Homo sapiens* IGKC*01 (100%) Km3 A45.1, V101 (C-KAPPA A45.1 (159'), V101 (197')) (114'-220')]; dimère (223-223":224-224":227-227":230-230")-tétrakisdisulfure, produit dans des cellules ovaries de hamster chinois (CHO), lignée cellulaire CHO-K1SV, glycoforme alfa

denrakibart

inmunoglobulina G2-kappa, anti-[*Homo sapiens* CCL17 (quimiocina (C-C motivo) ligando 17, ligando 17 de quimiocina con motivo C-C, miembro 17 de la subfamilia A (Cys-Cys) de las citocinas pequeñas inducida, SCYA17, quimiocina del timo con activación regulada, TARC)], anticuerpo monoclonal *Homo sapiens*;
 cadena pesada H-gamma2 *Homo sapiens* (1-447) [VH (*Homo sapiens*IGHV5-51*01 (98.0%) -(IGHD)-IGHJ4*01 (100%), CDR-IMGT [8.8.14] (26-33.51-58.97-110)) (1-121) -*Homo sapiens* IGHG2*01 G2m.. CH2 V45.1, G2v3 CH2 A1.2, A1, S2, A30, L92, S115, S116 (CH1 P92>T (193) (122-219), bisagra 1-12 (220-231), CH2 V1.2>A (235), G1>A (237), P2>S (238), H30>A (268), V45.1 (282), V92>L (309), A115>S (330), P116>S(331) (232-340), CH3 (341-445), CHS (446-447)) (341-447)], (135-220')-disulfuro con la cadena ligera kappa *Homo sapiens* (1'-220') [V-KAPPA (*Homo sapiens* IGKV4-1*01 (92.1%) -IGKJ1*01 (100%), CDR-IMGT [12.3.9] (27'-38'.56'-58'.95'-103')) (1'-113') -*Homo sapiens* IGKC*01 (100%) Km3 A45.1, V101 (C-KAPPA A45.1 (159'), V101 (197')) (114'-220')]; dímero (223-223":224-224":227-227":230-230")-tetrakisdisulfuro, producido en las células ováricas de hámster chino (CHO), línea celular CHO-K1SV, forma glicosilada alfa

Heavy chain / Chaîne lourde / Cadena pesada
 EVQLVQSGAE VKKPGESLKI SCKGSGYSFT SYWIGWVRQM PGKGLEWMGI 50
 IDPFDSDSTRY SSPSFQQVTI SADKSISTAY LQWSSLKASD TAMYMCARVG 100
 PADVWDAFDY WGQGTLVTVS SASTKGPSVF PIAPCSRSTS ESTAAALGCLV 150
 KDYFPEFPTV SVNSGALTSG VHTFPAVLQS SGYLSLSSVV TVTSSNFGTQ 200
 TYTCNVNDHKP SNTKVDKTVTE RKCCVECPFC PAPPAAASSV FLFPFPKPKDT 250
 LMISRTPEVII CVVVDVSAED PEVQFNWYWD GVEVHNARTK FREQQFNSTT 300
 RRVSVLTVLH QDWLNKEYK CKVSNKGLPS SIEFTISKTK GQPREPQVYT 350
 LPPSREEMTK NQVSLTCLVK GFYPSDIAVE WESNGQPEENN YKTTPPMLDS 400
 DGSSFLY SKL TVDKSRWQQG NVFSCSVMHE ALHNHYTQKS LSLSPGK 447

Light chain / Chaîne légère / Cadena ligera
 DIVMTQSPDS LAVSLGERAT INCKSSQSVL LSFDNINKLA WYQQKPGQPP 50
 KLLIYDASTR ESGVPDRFSG SGSGTDFTLT ISSLQAEDVA VYYCQQFYSV 100
 PSTFGQQGTKV EIKRTVAAPS VFIFPPSDEQ LKSGTASVVC LLNNFYFREA 150
 KVQWKVDNAL QSGNSQESVT EQDSKDSTYS LSSTLTLSKA DYEKHKHVYAC 200
 EVTHQGLLSP VTKSFNRGEC 220

Post-translational modifications

Disulfide bridges location / Position des ponts disulfure / Posiciones de los puentes disulfuro
 Intra-H (C23-C104) 22-96 148-204 261-321 367-425

22"-96" 148"-204" 261"-321" 367"-425"

Intra-L (C23-C104) 23"-94" 140"-200"

23"-94" 140"-200"

Inter-H-L (CH1 10-CL 126) 135"-220" 135"-220"

Inter-H-H (h 4, h 5, h 8, h11) 223-223" 224-224" 227-227" 230-230"

*A/B: h4- CH10 / h4- CL 126 223-135" 223"-220" 227-227" 230-230"

**B: h5- CH10 / h5- CL126 224-135 224"-220" 227-227" 230-230"

*In addition to the isoform A, isoform A/B in which the inter-H-H (h 4 - h 4) 223-223" and one of the inter-H-L (CH1 10-CL 126) 135"-220" are replaced by an inter-H-H (h 4 - CH1 10) 223-135" and an inter-H-L (h 4- CL 126) 223"-220" / en plus de l'isoforme A, isoforme A/B dans laquelle l'inter-H-H (h 4 - h 4) 223-223" et l'un des inter-H-L (CH1 10-CL 126) 135"-220" sont remplacés par un inter-H-H (h 4 - CH1 10) 223-135" et un inter-H-L (h 4- CL 126) 223"-220" / además de la isoforma A, isoforma A/B en la que el inter-H-H (h 4 - h 4) 223-223" y uno de los inter-H-L (CH1 10-CL 126) 135"-220" se reemplazan por un inter-H-H (h4 - CH1 10) 223-135" y un inter-H-L (h 4- CL 126) 223"-220"

**Isoform B in which the inter-H-H (h 5 - h 5) 224-224" and the second inter-H-L (CH1 10-CL 126) 135-220" are also replaced by an inter-H-H (h 5 - CH1 10) 224-135 and an inter-H-L (h 5- CL 126) 224"-220' / isoforme B dans laquelle l'inter-H-H (h 5 - h 5) 224-224" et le second inter-H-L (CH1 10-CL 126) 135-220' sont aussi remplacés par un inter-H-H (h 5 - CH1 10) 224-135 et un inter-H-L (h 5- CL 126) 224"-220' / isoforma B en la que el inter-H-H (h 5 - h 5) 224-224" y el segundo inter-H-L (CH1 10-CL 126) 135-220' también se reemplazan por un inter-H-H (h 5 - CH1 10) 224-135 y un inter-H-L (h 5- CL 126) 224"-220'.

N-glycosylation sites / Sites de N-glycosylation / Posiciones de N-glicosilación
 H CH2 N84: 297, 297"

Fucosylated complex bi-antennary CHO-type glycans / glycanes de tipo CHO bi-antennaires complexes fucosylés / glicanos de tipo CHO biantenarios complejos fucosilados

C-terminal lysine clipping / Coupure de la lysine C-terminale / Recorte de lisina C-terminal
 H CHS K2: 447, 447"

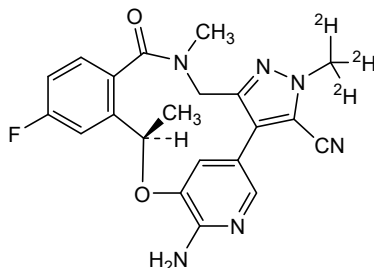
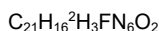
deramiocelum

deramiocel

allogeneic cardiosphere-derived cells obtained from cultured human donor myocardial tissue. The tissue is grown in culture until explant derived cells emerge. These cells are then frozen into a Master cell bank until seeded in ultra-low attachment flasks in the presence of bovine serum where they spontaneously form spherical three-dimensional cell clusters termed cardiospheres. The cardiospheres are then disrupted to form adherent single cells, which are further expanded onto fibronectin-coated flasks in the presence of bovine serum with the cells undergoing a range of 5-10 population doubling (PDs) to be cryopreserved until use.

The cardiosphere-derived cells (CDC) are CD105 high (>90%) and CD45 low (<10%). They retain antifibrotic activity as measured by assessing collagen 1A and 3A messenger RNA (mRNA) levels in fibroblasts cultured with conditioned media collected from CDCs and are evaluated by bioinformatics analyses where the desired mRNA expression profile is correlated with known clinically potent samples lots

déramiocel	cellules allogéniques dérivées de cardiosphères obtenues, par culture, à partir de tissus myocardiques de donneurs humains. Le tissu est cultivé jusqu'à ce que les cellules dérivées de l'explant émergent. Ces cellules sont ensuite congelées dans une banque de cellules primaires, jusqu'à ce qu'elles soient ensemencées dans des flacons à très faible attachement, en présence de sérum bovin où elles forment spontanément des amas de cellules tridimensionnelles sphériques, appelées cardiosphères. Les cardiosphères sont ensuite désorganisées pour former des cellules individuelles adhérentes, qui sont ensuite mises en expansion dans des flacons recouverts de fibronectine en présence de sérum bovin. Les cellules subissent environ 5 à 10 doubllements de population avant d'être cryopréservees jusqu'à leur utilisation. Les cellules dérivées des cardiosphères (CDC) présentent un taux élevé de CD105 ($\geq 90\%$) et un faible taux de CD45 ($\leq 10\%$). Elles conservent leur activité antifibrotique mesurée en estimant les niveaux d'ARN messager (ARNm) des collagènes 1A et 3A dans les fibroblastes cultivés en milieux conditionnés, collectés à partir des CDC, et sont évaluées par des analyses bioinformatiques où le profil d'expression de l'ARNm souhaité est corrélé avec des lots d'échantillons dont l'efficacité clinique est connue
deramiocel	células alogénicas derivadas de cardiosferas obtenidas a partir de tejido cultivado de miocardio humano de donante. El tejido se crece en cultivo hasta que emergen células derivadas del explante. Las células se congelan después en un banco de células maestro hasta que se siembran en frascos de adhesión ultra baja en presencia de suero bovino, donde espontáneamente forman agrupaciones tridimensionales esféricas de células llamadas cardiosferas. Las cardiosferas se rompen a continuación para formar células aisladas adherentes, que se expanden en frascos forrados de fibronectina en presencia de suero bovino con las células experimentando un rango de 5-10 duplicaciones poblacionales (PDLs) para ser criopreservadas hasta su uso. Las células derivadas de cardiosferas (CDC) son CD105 alto ($>90\%$) y CD45 bajo ($<10\%$). Las células retienen la actividad antifibrótica medida mediante análisis de los niveles de ARN mensajero (ARNm) de colágeno 1A y 3A en fibroblastos cultivados con medio condicionado recogido de CDCs y se evalúan mediante análisis bioinformáticos donde el perfil de expresión del ARNm deseado se correlaciona con muestras de lotes con potencia clínica conocida
deulorlatinib	
deulorlatinib	(<i>10R</i>)-7-amino-12-fluoro-2-($^2\text{H}_3$)methyl-10,16-dimethyl-15-oxo-10,15,16,17-tetrahydro-2 <i>H</i> -8,4-(metheno)pyrazolo[4,3- <i>h</i>][2,5,11]benzoxadiazacyclotetradecine-3-carbonitrile
deulorlatinib	(<i>10R</i>)-7-amino-12-fluoro-2-($^2\text{H}_3$)methyl-10,16-diméthyl-15-oxo-10,15,16,17-tétrahydro-2 <i>H</i> -8,4-(méthéno)pyrazolo[4,3- <i>h</i>][2,5,11]benzoxadiazacyclotéttradécine-3-carbonitrile
deulorlatinib	(<i>10R</i>)-7-amino-12-fluoro-2-($^2\text{H}_3$)metil-10,16-dimetil-15-oxo-10,15,16,17-tetrahidro-2 <i>H</i> -8,4-(meteno)pirazolo[4,3- <i>h</i>][2,5,11]benzoxadiazacicotetradecina-3-carbonitrido

**direclidinium**

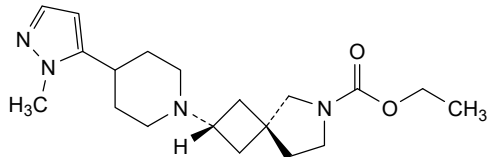
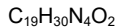
direclidine

ethyl (2r,4s)-2-[4-(1-methyl-1*H*-pyrazol-5-yl)piperidin-1-yl]-6-azaspiro[3.4]octane-6-carboxylate

diréclidine

(2r,4s)-2-[4-(1-méthyl-1*H*-pyrazol-5-yl)pipéridin-1-yl]-6-azaspiro[3.4]octane-6-carboxylate d'éthyle

direclidina

(2r,4s)-2-[4-(1-metil-1*H*-pirazol-5-il)piperidin-1-il]-6-azaespiro[3.4]octano-6-carboxilato de etilo**drotokibartum #**

drotokibart

immunoglobulin G4-kappa, anti-[*Homo sapiens* IL4R (interleukin 4 receptor, IL4RA, IL-4RA, interleukin 13 receptor, CD124)], humanized monoclonal antibody; H-gamma4 heavy chain humanized (1-445) [VH (*Homo sapiens* IGHV3-48*01 (88.8%) -IGHD) -IGHJ4*01 (93.3%), CDR-IMGT [8.8.11] (26-33.51-58.97-107)) (1-118) -*Homo sapiens* IGHG4*01, nG4m(a) CH2 L92, G4v5 h P10 (CH1 (119-216), hinge 1-12 S10>P (226) (217-228), CH2 L92 (307) (229-338), CH3 (339-443), CHS (444-445)) (119-445)], (132-215')-disulfide with L-kappa light chain humanized (1'-215') [V-KAPPA (*Homo sapiens* IGKV3D-11*02 (88.9%) -IGKJ4*01 (100%), CDR-IMGT [5.3.11] (27'-31'.49'-51'.88'-98')) (1'-108') -*Homo sapiens* IGKC*01 (100%) Km3 A45.1, V101 (C-KAPPA A45.1 (154'), V101 (192')) (109'-215')]; dimer (224"-227-227")-bisdisulfide, produced in Chinese hamster ovary (CHO) cells, cell line CHO-K1SV lacking the glutamine synthetase (GS-KO) gene, glycoform alfa

drotokibart

immunoglobuline G4-kappa, anti-[*Homo sapiens* IL-4R (récepteur de l'interleukine 4, IL4RA, IL-4RA, récepteur de l'interleukine 13, CD124)], anticorps monoclonal humanisé;

chaîne lourde H-gamma4 humanisée (1-445) [VH (*Homo sapiens* IGHV3-48*01 (88.8%) -(IGHD) -IGHJ4*01 (93.3%), CDR-IMGT [8.8.11] (26-33.51-58.97-107)) (1-118) -*Homo sapiens* IGHG4*01, nG4m(a) CH2 L92, G4v5 h P10 (CH1 (119-216), charnière 1-12 S10>P (226) (217-228), CH2 L92 (307) (229-338), CH3 (339-443), CHS (444-445)) (119-445)], (132-215')-disulfure avec la chaîne légère L-kappa humanisée (1'-215') [V-KAPPA (*Homo sapiens* IGKV3D-11*02 (88.9%) -IGKJ4*01 (100%), CDR-IMGT [5.3.11] (27'-31'.49'-51'.88'-98')) (1'-108') -*Homo sapiens* IGKC*01 (100%) Km3 A45.1, V101 (C-KAPPA A45.1 (154'), V101 (192')) (109'-215')]; dimère (224-224":227-227")-bisdisulfure, produit dans des cellules ovarianes de hamster chinois (CHO), lignée cellulaire CHO-K1SV ne présentant pas le gène de la glutamine synthétase (GS-KO), glycoforme alfa

drotokibart

inmunoglobulina G4-kappa, anti-[*Homo sapiens* IL-4R (receptor de la interleukina 4, IL4RA, IL-4RA, receptor de la interleukina 13, CD124)], anticuerpo monoclonal humanizado; cadena pesada H-gamma4 humanizada (1-445) [VH (*Homo sapiens* IGHV3-48*01 (88.8%) -(IGHD) -IGHJ4*01 (93.3%), CDR-IMGT [8.8.11] (26-33.51-58.97-107)) (1-118) -*Homo sapiens* IGHG4*01, nG4m(a) CH2 L92, G4v5 h P10 (CH1 (119-216), bisagra 1-12 S10>P (226) (217-228), CH2 L92 (307) (229-338), CH3 (339-443), CHS (444-445)) (119-445)], (132-215')-disulfuro con la cadena ligera L-kappa humanizada (1'-215') [V-KAPPA (*Homo sapiens* IGKV3D-11*02 (88.9%) -IGKJ4*01 (100%), CDR-IMGT [5.3.11] (27'-31'.49'-51'.88'-98')) (1'-108') -*Homo sapiens* IGKC*01 (100%) Km3 A45.1, V101 (C-KAPPA A45.1 (154'), V101 (192')) (109'-215')]; dímero (224-224":227-227")-bisdisulfuro, producido en las células ováricas de hámster chino (CHO), línea celular CHO-K1SV en ausencia del gen de la glutamina sintetasa (GS-KO), forma glicosilada alfa

Heavy chain / Chaîne lourde / Cadena pesada
 EVOLVESGGGVQPGGSLRL SCAASGFTS DYGGMHWVRQA PGKGLEWVAF 50
 ISSGSSIIYY ADIVKGRSTI SRDNNAKNTLY LQMNSLRAED TAVYYCTRGN 100
 KRGFFFDYWGQ GTLVTVSSAS TKGPSPVPLA PCRSRTSEST AALGCLVKDY 150
 FPEPVTVSWN SGALTSGVHT FPAVLQSSGL YSLSVVTVTP SSSLGTKTYT 200
 CNVDHKPSNT KVDKRVESKY GPPCPVCPAP EFLGGPSVFL FFPCKPKDTLM 250
 ISRTPEVTCV VVDVSEDPE VQFNWYVGDGV EVHNAKTKP REEQFNSTYRV 300
 VSVLTVLHQD WLNGKEYKCK VSNKGLPSSI EKTISKAKGQ PREPVQVTLP 350
 PSQEEMTKNQ VSLTCLVKGF YPSDIAWE SNGQPENNYK TPPVLDSDG 400
 SFFLYSRLTV DKSRSRQEGNV FSCSVMEHAL HNHYTQKSLS LSLGK 445

Light chain / Chaîne légère / Cadena ligera
 EIVLTQSPAT LSLSPGERAT LSCRASSSPV YMYWYQQKPG QAPRLLIYL 50
 SNLASGIPAR FSGSGSGTDF TLTISSLEPE DFAVYYCQQW RAYPPMLTFG 100
 GGTKVEIKRT VAAPSVFIFP PSDEQLKSGT ASVUCLNNF YPREAKVQWK 150
 VDNALQSGNS QESVTEQDSK DSTYSLSSLTL TLSKADYEKH KVYACEVTHQ 200
 GLSSPVTKSF NRGECA 215

Post-translational modifications

Disulfide bridges location / Position des ponts disulfure / Posiciones de los puentes disulfuro
 Intra-H (C23-C104) 22-96 145-201 259-319 365-423
 22"-96" 145"-201" 259"-319" 365"-423"
 Intra-L (C23-C104) 23"-87" 135"-195"
 23"-87" 135"-195"
 Inter-H-L (CH1 10-CL 126) 132-215' 132"-215"
 Inter-H-H (h 8, h 11) 224-224" 227-227"

N-glycosylation sites / Sites de N-glycosylation / Posiciones de N-glicosilación
 H CH2 N84.4: 295, 295"
 Fucosylated complex bi-antennary CHO-type glycans / glycanes de type CHO bi-antennaires complexes fucosylés / glicanos de tipo CHO biantenarios complejos fucosilados

C-terminal lysine clipping / Coupure de la lysine C-terminale / Recorte de lisina C-terminal
 H CHS K2: 445, 445"

eclutatugum

eclutatug

immunoglobulin G1-kappa, anti-[*Homo sapiens* CLDN1 (claudin-1) conformational epitope of the first extracellular loop (EL1)], humanized monoclonal antibody; H-gamma1 heavy chain humanized (1-448) [VH (*Homo sapiens*IGHV3-21*01 (94.9%) -(IGHD) -IGHJ1*01 (92.9%), CDR-IMGT [8.8.12] (26-33.51-58.97-108)) (1-119) -*Homo sapiens*IGHG1*03 (100%) G1m3, nG1m1 CH1 R120, CH3 E12, M14 (CH1 R120 (216) (120-217), hinge 1-15 (218-232), CH2 (233-342), CH3 E12 (358), M14 (360) (343-447), CHS K2>del (448)) (120-448)], (222-214')-disulfide with L-kappa light chain humanized (1'-214') [V-KAPPA (*Homo sapiens* IGKV3-15*01 (84.2%) -IGKJ1*01 (100%), CDR-IMGT [6.3.9] (27'-32'.50'-52'.89'-97')) (1'-107') -*Homo sapiens*IGKC*01 (100%) Km3 A45.1, V101 (C-KAPPA A45.1 (153'), V101 (191')) (108'-214')]; dimer (228-228":231-231")-bisdisulfide, produced in a cell line of Chinese hamster ovary (CHO) cells, derived from the cell line CHO-K1, glycoform alfa

éclutatug

immunoglobuline G1-kappa, anti-[*Homo sapiens* CLDN1 (claudine 1) épitope conformationnel de la première boucle extracellulaire (EL1)], anticorps monoclonal humanisé; chaîne lourde H-gamma1 humanisée (1-448) [VH (*Homo sapiens*IGHV3-21*01 (94.9%) -(IGHD) -IGHJ1*01 (92.9%), CDR-IMGT [8.8.12] (26-33.51-58.97-108)) (1-119) -*Homo sapiens*IGHG1*03 (100%) G1m3, nG1m1 CH1 R120, CH3 E12, M14 (CH1 R120 (216) (120-217), charnière 1-15 (218-232), CH2 (233-342), CH3 E12 (358), M14 (360) (343-447), CHS K2>del (448)) (120-448)], (222-214')-disulfure avec la chaîne légère L-kappa humanisée (1'-214') [V-KAPPA (*Homo sapiens* IGKV3-15*01 (84.2%) -IGKJ1*01 (100%), CDR-IMGT [6.3.9] (27'-32'.50'-52'.89'-97')) (1'-107') -*Homo sapiens*IGKC*01 (100%) Km3 A45.1, V101 (C-KAPPA A45.1 (153'), V101 (191')) (108'-214')]; dimère (228-228":231-231")-bisdisulfure, produit dans une lignée cellulaire des cellules ovaries de hamster chinois (CHO), dérivant de la lignée cellulaire CHO-K1, glycoforme alfa

eclutatug

inmunoglobulina G1-kappa, anti-[*Homo sapiens* CLDN1 (claudina 1) epitopo conformacional del primer bucle extracelular (EL1)], anticuerpo monoclonal humanizado; cadena pesada H-gamma1 humanizada (1-448) [VH (*Homo sapiens*IGHV3-21*01 (94.9%) -(IGHD) -IGHJ1*01 (92.9%), CDR-IMGT [8.8.12] (26-33.51-58.97-108)) (1-119) -*Homo sapiens*IGHG1*03 (100%) G1m3, nG1m1 CH1 R120, CH3 E12, M14 (CH1 R120 (216) (120-217), bisagra 1-15 (218-232), CH2 (233-342), CH3 E12 (358), M14 (360) (343-447), CHS K2>del (448)) (120-448)], (222-214')-disulfuro con la cadena ligera L-kappa humanizada (1'-214') [V-KAPPA (*Homo sapiens* IGKV3-15*01 (84.2%) -IGKJ1*01 (100%), CDR-IMGT [6.3.9] (27'-32'.50'-52'.89'-97')) (1'-107') -*Homo sapiens*IGKC*01 (100%) Km3 A45.1, V101 (C-KAPPA A45.1 (153'), V101 (191')) (108'-214')]; dímero (228-228":231-231")-bisdisulfuro, producido en una línea celular de las células ováricas de hámster chino (CHO), línea celular derivada de CHO-K1, forma glicosilada alfa

Heavy chain / Chaîne lourde / Cadena pesada
EVQLVESGGG LVKPGGSLRL SCAASGFSFS SYGMNNWVRQA PGKGLEWVSS 50
ISPGSGSYFYY ADSVGKRFTI SRDNAKNSLY LQMNLSRAED TAVYYCARLP 100
GFNPPEFDHWG QGTLTVVSSA STKGPSVPL APSSKSTSGG TAALGCLVKD 150
YFFPEPVTVSW NSGALTSGVH TFPAPLQSSG LYSLSVVTY PSSSLGTQTY 200
ICNVNHPKSN TKVDRKRVPEK SCDKTHTCPP CPAPELLGGP SVFLFPKP 250
DTLMISRTE VTCVVVDVSH EDPEVKFNWY VDGVEVHNAK TKPREQYNS 300
TYRVMVSVLTV LHQDWLNGKE YCKVKSNAK PAPIEKTIK AKQQPREPQV 350
YTLPSSREEM TKNQVSLTCL VKGFYPSDIA VEWESENQOPE NNKYTTTPV 400
DSDGSFFFLYS KLTVDKSRWQ QGNVFSCSVM HEALHNHYTQ KSLSLSFG 448

Light chain / Chaîne légère / Cadena ligera
DIQMTQSPAT LSVPSPGERAT LSCRKASQNVG GNVDWYQWKP GQAPRLLIYG 50
ASNRYTGIPA RFRGSGSGTE FTLTISSLQS EDFAVYYCLQ YKNNPWTFGQ 100
GTKVEIKRTV AAPSVFIFPP SDEQLKSGTA SVVCLLNFFY PREAKVQWKV 150
DNALQSGNSQ ESVTEQDSKD STYSLSSLT LSKADYEKHK VYACEVTHHQ 200
LSSPVTKSFN RGECS 214

Post-translational modifications

Disulfide bridges location / Position des ponts disulfure / Posiciones de los puentes disulfuro
Intra-H (C23-C104) 22"-96" 146"-202" 263"-323" 369"-427"
22"-96" 146"-202" 263"-323" 369"-427"
Intra-L (C23-C104) 23"-88" 134"-194"
23"-88" 134"-194"
Inter-H-L (h 5-CL 126) 222"-214" 222"-214"
Inter-H-H (h 11, h 14) 228"-228" 231"-231"

N-glycosylation sites / Sites de N-glycosylation / Posiciones de N-glicosilación
H CH2 N84.4: 299"
Fucosylated complex bi-antennary CHO-type glycans / glycanes de tipo CHO bi-antennarios complejos fucosilados

efarindodekinum alfa #

efarindodekin alfa

Fc fragment of human immunoglobulin G1 (1-227)
[*Homo sapiens*IGHG1*01, hinge (1-10), CH2 N⁷⁷>A (11-120), CH3 S¹³⁴>C, T¹⁴⁶>W (121-225), CHS K²²⁷>G (226-227)] fused via peptide linker
²²⁸GSGGSIGGSISSGLLSGRSGP²⁴⁸ to human interleukin-12 subunit beta [IL-12B, cytotoxic lymphocyte maturation factor p40 (CLMF p40), IL-12 subunit p40, NK cell stimulatory factor 2 (NKSF2)] (1-306, 249-552 in the current sequence), variant (C²⁵²>S⁵⁰⁴, 259SKR²⁶¹>⁵⁰⁷DNT⁵⁰⁹, 263KK²⁶⁴>del, D²⁶⁵>G⁵¹¹) fused via peptide linker
⁵⁵³GGGGSGGGGGSGGGG⁵⁶⁷ to human interleukin-12 subunit alpha [IL-12A, cytotoxic lymphocyte maturation factor p35 (CLMF p35), IL-12 subunit p35, NK cell stimulatory factor 1 (NKSF1)] (1-197, 568-764 in the current sequence); (6'-, 9-9', 134-129')-tridisulfide bridged to Fc fragment of human immunoglobulin G1 (1'-227') [*Homo sapiens* IGHG1*01, hinge (1'-10'), CH2 N⁷⁷>A (11'-120'), CH3 Y¹²⁹>C, T¹⁴⁶>S, L¹⁴⁸>A, Y¹⁸⁷>V (121'-225'), CHS K²²⁷>G (226'-227')] fused via peptide linker
²²⁸GSGGGSG²³⁴ to human interleukin 12 receptor subunit beta 2 (IL12RB2) fragment (1-296, 235'-530' in the current sequence), variant (C²¹⁹>S⁴⁵³), heterodimer, produced in Chinese hamster ovary (CHO) cells, cell line CHO-K1, glycoform alfa

éfarindodékine alfa

fragment Fc de l'immunoglobuline humaine G1 (1-227) [*Homo sapiens*IGHG1*01, charnière (1-10), CH2 N⁷⁷>A (11-120), CH3 S¹³⁴>C, T¹⁴⁶>W (121-225), CHS K²²⁷>G (226-227)], fusionné à l'aide d'un coupleur peptidique
²²⁸GSGGSIGGSISSGLLSGRSGP²⁴⁸ à la sous-unité bêta de l'interleukine-12 humaine [IL-12B, facteur de maturation des lymphocytes cytotoxiques lymphocyte p40 (CLMF p40), IL-12 sous-unité p40, facteur 2 de

stimulation des cellules NK (NKSF2)] (1-306, 249-552 dans la séquence en cours), variant ($C^{252}>S^{500}$, $259SKR^{261}>507DNT^{509}$, $263KK^{264}>del$, $D^{265}>G^{511}$), fusionné à l'aide du coupleur peptidique $553GGGGSGGGGSGGGS^{567}$ à la sous-unité alpha de l'interleukine-12 humaine [IL-12A, facteur de maturation des lymphocytes cytotoxiques p35 (CLMF p35), IL-12 sous-unité p35, facteur 1 de stimulation des cellules NK (NKSF1)] (1-197, 568-764 dans la séquence en cours); (6'-6', 9-9', 134-129')-tridisulfure ponté avec un fragment Fc de l'immunoglobuline G1 humaine (1'-227') [*Homo sapiens* IGHG1*01, charnière (1'-10'), CH2 N⁷⁷>A (11'-120'), CH3 Y¹²⁹>C, T¹⁴⁶>S, L¹⁴⁸>A, Y¹⁸⁷>V (121'-225'), CHS K²²⁷>G (226'-227')], fusionné à l'aide du coupleur peptidique $228GSGGGSG^{234}$ au fragment de la sous-unité bêta-2 du récepteur de l'interleukine-12 humaine (IL12RB2) (1-296, 235'-530' dans la séquence en cours), variant ($C^{219}>S^{453}$), hétérodimère, produit dans des cellules ovaires de hamster chinois (CHO), lignée cellulaire CHO-K1, glicoforme alfa

efarindodekina alfa

fragmento Fc de inmunoglobulina humana G1 (1-227) [*Homo sapiens* IGHG1*01, bisagra (1-10), CH2 N⁷⁷>A (11-120), CH3 S¹³⁴>C, T¹⁴⁶>W (121-225), CHS K²²⁷>G (226-227)] fusionado a través de enlace peptídico $228GSGGGSISSGLSGRSSGP^{248}$ a la subunidad beta de la interleukina-12 humana [IL-12B, factor de maduración de linfocitos citotóxicos subunidad 40 kDa (CLMF p40), IL-12 subunidad p40, factor estimulador de células NK cadena 2 (NKSF2)] (1-306, 249-552 en la secuencia actual), variante ($C^{252}>S^{500}$, $259SKR^{261}>507DNT^{509}$, $263KK^{264}>del$, $D^{265}>G^{511}$) fusionado a través de enlace peptídico $553GGGGSGGGGSGGGS^{567}$ a la subunidad alfa de la interleukina-12 humana [IL-12A, factor de maduración de linfocitos citotóxicos subunidad 35 kDa (CLMF p35), IL-12 subunidad p35, factor estimulador de células NK cadena 1 (NKSF1)] (1-197, 568-764 en la secuencia actual); (6-6', 9-9', 134-129')-tridisulfuro unido al fragmento Fc de la inmunoglobulina humana G1 (1'-227') [*Homo sapiens* IGHG1*01, bisagra (1'-10'), CH2 N⁷⁷>A (11'-120'), CH3 Y¹²⁹>C, T¹⁴⁶>S, L¹⁴⁸>A, Y¹⁸⁷>V (121'-225'), CHS K²²⁷>G (226'-227')], fusionado a través de un enlace peptídico $228GSGGGSG^{234}$ a la subunidad beta 2 del receptor humano de la interleukina 12 (IL12RB2) fragmento (1-296, 235'-530' en la secuencia actual), variante ($C^{219}>S^{453}$), heterodímero, producido en células ováricas de hámster Chino (CHO), línea celular CHO-K1, glicoforma alfa

Sequence / Séquence / Secuencia

Fc-IL12B-IL12A

DKTHTCPPCP	APELLGGPSV	FLFPPKPKDT	LMISRPEVT	CVVVDVSHED	50	
PEVKFNWYVD	GVEVHNAKT	K FREEQY A STY	RVSVLTVLH	QDWLNGKEYK	100	
CKVSNKALPA	PIEKTI	S KAK GQPREPQVY	T LPPCRDELTK	NQVSLW C LVK	150	
GFYPSDI	WE	SNGOPENN YKTTTPVLD	DGSFFLYSKL	TVDKSRWQQG	200	
NVFSCVMHE	ALHNHYTQKS	L SLS PG G GS	GSGGSISSGL	LSGRSSGFIW	250	
ELRKD	VVVE	LDWY	PAPGE MVVLTCDFTE	EDGITWTLDQ	SSEVLGSGKT	300
LTIQVK	REFGD	AGQYT	CHKGG EVLHS	L SLLL	HKKEDGIWST DILKDQKEPK	350
NKTF	RLCEAK	NYSGRFTCW	LTTISTDLT	F SVKSSRGSSD	FQGVTCGAAT	400
LSAER	VRGDN	KEYEY	S VECQ EDSACPA	AAE SL SPIEVMVA	VHKLKYENYT	450
SSF	FIRDIIK	PDPPKNLQ	LKNSRQVEV	DGSFLIVSKL	TVDKSRWQQG	500
VQVQGKD	NT	GRVFTDKTS	AVICRK	NAASI SVRAQDRYYS	SSWSEWASVP	550
CS	GGGGSGGG	GS CGGGGSRL	PVATDPGMF	FCLHHSQNL	RAVSNMLQKA	600
RQT	LEFY	PCT SEEID	HEDIT KDKTSTVEAC	LPLELTKNES	CLNSRETSFI	650
TNGS	CLASRK	TSFMMALCLS	SIYEDLKMYQ	VEFKTMNAKL	LMDPKRQIFL	700
DQNML	LAVIDE	LMQALNFNSE	TPVQKSSLEE	PDFYKTKIKL	CILLHAFRIR	750
AVTID	DRVMSY	LNAS				764

Fc-IL12RB2 (*)

DKTHTCPPCP	APELLGGPSV	FLFPPKPKDT	LMISRPEVT	CVVVDVSHED	50	
PEVKFNWYVD	GVEVHNAKT	K FREEQY A STY	RVSVLTVLH	QDWLNGKEYK	100	
CKVSNKALPA	PIEKTI	S KAK GQPREPQVY	T LPPCRDELTK	NQVSL S CAVK	150	
GFYPSDI	WE	SNGOPENN YKTTTPVLD	DGSFFLYSKL	TVDKSRWQQG	200	
NVFSCVMHE	ALHNHYTQKS	L SLS PG G GS	GSGS K IDACK	RGDVTVKPSH	250	
VILLG	STVN	TC SLPKRQGC	FHYSRNRNL	I LYKFDRRI	NFHGHSLNSQV	300
TGLPLG	TTLF	VCKLACINSD	EI QICGAEF	VGVAPEQPQN	LSCIQKGEQG	350
TA	ACTW	ERGR DTHLYTEYL	QLSGPKNLW	QKQC	KDIYCD YLDFGINILTP	400
ESPES	NFTAK	TA VAVNLSL	SSSLPSTFTFWL	DIVRPLPPWD	IRIKFQKASV	450
SRSTL	YWRDE	GLVLLNRLRY	RPSNRLNWLW	VNVTKAKGRH	DLLDLKPFTE	500
YEFQISSK	LH	LYKGWSWSDWS	ESLRAQ	TPEE		530

Mutations / Mutaciones / Mutaciones

Fc-IL12B-IL12A: N⁷⁷>**A**, S¹³⁴>**C**, T¹⁴⁶>**W**, K²²⁷>**G**, C²⁵²>**S**⁵⁰⁰, 259SKR²⁶¹>⁵⁰⁷**DNT**⁵⁰⁹, 263KK²⁶⁴>del, D²⁶⁵>**Q**⁵¹¹

Fc-IL12RB2: N⁷⁷>**A**, Y¹²⁹>**C**, T¹⁴⁶>**S**, L¹⁴⁸>**A**, Y¹⁸⁷>**Y**, K²²⁷>**G**, C²¹⁹>**S**⁴⁵³

Peptid linker / Peptide liant / Péptido de unión

Fe-IL12B-IL12A: ²²⁸GSGGSGGS/SSSGLSSGRSSGP²⁴⁸, ⁵⁵³GGGGSGGGGGGGGG⁵⁶⁷

Fe-IL12RB2: ²²⁸GSGGSG^{234'}

Post-translational modifications

Disulfide bridges location / Position des ponts disulfure / Posiciones de los puentes disulfuro

Intra Fc-IL12B-IL12A: 41-101, 147-205, 276-316, 357-368, 369-419, 425-641, 524-551, 582-655, 609-741, 630-668

Intra Fc-IL12RB2: 41'-101', 147-205'

Inter Fc-IL12B-IL12A- Fc-IL12RB2: 6-6', 9-9', 134-129'

N-glycosylation sites / Sites de N-glycosylation / Posiciones de N-glicosilación

IgG1 Fc-IL12B-IL12A: N351, N361, N448, N527, N638, N652, N762 (predicted)

IgG1 Fc-IL12RB2: N259', N340', N377', N406', N482' (predicted)

efdelikofuspum alfa #

efdelikofusp alfa

human T-lymphocyte activation antigen CD80 (activation B7-1 antigen, CTLA-4 counter-receptor B7.1, CD80) extracellular domain containing fragment (1-208 in the current sequence) fused via peptide linker ²⁰⁹GSGGGGSGGGGGGG²²⁵ to an Fc fragment of human immunoglobulin G4 (226-454) [*Homo sapiens*] GHG4*01, hinge ins²²⁶>A, S²³⁶>P (226-238), CH2 F²⁴²>A, L²⁴³>A, T²⁵⁸>Q (239-348), CH3 M⁴³⁶>L (349-453), CHS K⁴⁵⁵>del (454) fused via peptide linker ⁴⁵⁵GGGGS⁴⁵⁹ to human interleukin-2 (IL-2, T-cell growth factor (TCGF)) (1-133, 460-592 in the current sequence), variant (R³⁸>A⁴⁹⁷, F⁴²>A⁵⁰¹), dimer (234-234', 237-237')-bisdisulfide, produced in Chinese hamster ovary (CHO) cells, glycoform alfa

efdélikofusp alfa	fragment de l'antigène CD80 d'activation des lymphocytes T humains (antigène d'activation B7-1, contre récepteur B7.1 de CTLA-4, CD80) contenant le domaine extracellulaire (1-208 dans la séquence en cours), fusionné à l'aide d'un coupleur peptidique ²⁰⁹ GSGGGGSGGGGSGGGGS ²²⁵ à un fragment Fc de l'immunoglobuline G4 humaine (226-454) [<i>Homo sapiens</i> IGHG4*01, charnière ins ²²⁶ >A, S ²³⁶ >P (226-238), CH2 F ²⁴² >A, L ²⁴³ >A, T ²⁵⁸ >Q (239-348), CH3 M ⁴³⁶ >L (349-453), CHS K ⁴⁵⁵ >del (454)], fusionné à l'aide d'un coupleur peptidique ⁴⁵⁵ GGGGS ⁴⁵⁹ à l'interleukine-2 humaine (IL-2, facteur de croissance des lymphocytes T (TCGF)) (1-133, 460-592 de la séquence en cours), variant (R ³⁸ >A ⁴⁹⁷ , F ⁴² >A ⁵⁰¹), dimère (234-234', 237-237')-bisdisulfure, produit dans des cellules ovarianes de hamster chinois, glycoforme alfa
efdelikofusp alfa	fragmento del antígeno de activación de linfocitos T humanos CD80 (activación B7-1 antígeno, CTLA-4 contrarreceptor B7.1, CD80) que contiene el dominio extracelular (1-208 en la secuencia actual) fusionado a través de enlace peptídico ²⁰⁹ GSGGGGSGGGGSGGGGS ²²⁵ a un fragmento Fc de inmunoglobulina humana G4 (226-454) [<i>Homo sapiens</i> IGHG4*01, bisagra ins ²²⁶ >A, S ²³⁶ >P (226-238), CH2 F ²⁴² >A, L ²⁴³ >A, T ²⁵⁸ >Q (239-348), CH3 M ⁴³⁶ >L (349-453), CHS K ⁴⁵⁵ >del (454)] fusionado a través de enlace peptídico ⁴⁵⁵ GGGGS ⁴⁵⁹ a una interleukina-2 humana (IL-2, factor de crecimiento de linfocitos T (TCGF)) (1-133, 460-592 en la secuencia actual), variante (R ³⁸ >A ⁴⁹⁷ , F ⁴² >A ⁵⁰¹), dímero (234-234', 237-237')-bisdisulfuro, producido en células ováricas de hámster Chino (CHO), glicoforma alfa
Sequence / Séquence / Secuencia	
<pre> VIHVTKEVKE VATLSCGHNV SVEELAQTRI YWQKEKKMVL TMMMSGDMNIW 50 PEYKNRTIFD ITNNLISIVIL ALRPSDEGTY ECVVLKYEKD AFKREHLAEV 100 TLSVKADFP PTISLDFEIPT SNIRRIICST SGGFPEPHLS WLENGEELNA 150 INTTVSQDPTE TELYAVSSKL DFNNMTTNHSF MCLIKYGHLR VNQTFNWNTT 200 KQEHHFDNGS GGGGGGGGGS GGGGSAESKY GPPCPCPAP EAAGGPSVFL 250 FPPKPKDOLM ISRTPEVTCV VVDVSQEDPE VQFNWYVTDGV EVHNAKTKPR 300 EEQFNSTYRV VSVLTQLHQD WLNLNGKEYKCK VSNKGLPSSI EKTISKAKGQ 350 PREPVQVYTLPS QSQEEMTKNQ VSLTCLVKGF YPSDIAVEWE SNGQPENNYK 400 TPPPVLDSDG SFFLYSRLTV DKSRSRQEGNV FSCSVLHEAL HNHYTQKSL5 450 LSQLGGGGSA PTSSSTKKTQ LQLEHLLLDL QMILNGINNY KNPKLT&MLT 500 AKFYMPKKAT ELKHLQCLEE ELKPLEEVLN LAQSKNFHLR PRDLISINV 550 IVLELKGET TFMCEYADET ATIVEFLNRW ITFCQSIIST LT 592 </pre>	
Mutations / Mutaciones / Mutaciones	
ins ²²⁶ > <u>A</u> , S ²³⁶ > <u>P</u> , F ²⁴² > <u>A</u> , L ²⁴³ > <u>A</u> , T ²⁵⁸ > <u>Q</u> , M ⁴³⁶ > <u>L</u> , K ⁴⁵⁵ >del, R ³⁸ > <u>A</u> ⁴⁹⁷ , F ⁴² > <u>A</u> ⁵⁰¹	
Peptide linker / Peptide liant / Péptido de unión	
²⁰⁹ <u>GSGGGGSGGGGSGGGGS</u> ²²⁵ , ⁴⁵⁵ <u>GGGGS</u> ⁴⁵⁹	
Post-translational modifications	
Disulfide bridges location / Position des ponts disulfure / Posiciones de los puentes disulfuro	
Intra chain: 16-82, 128-182, 269-329, 375-433, 517-564, 16'-82', 128'-182', 269'-329', 375'-433', 517'-564'	
Inter chain: 234-234', 237-237'	
N-glycosylation sites / Sites de N-glycosylation / Posiciones de N-glicosilación	
N19, N55, N64, N152, N173, N177, N192, N198, N305, N19', N55', N64', N152', N173', N177', N192', N198', N305'	
O-glycosylation sites / Sites de O-glycosylation / Posiciones de O-glicosilación	
S220, T462, S220', T462'	

efdoralprinum alfa #

efdoralprin alfa

human alpha-1-antitrypsin (alpha-1 protease inhibitor, serpin A1, AAT) (1-394), variant ($M^{351}>E$, $M^{358}>L$) fused via peptide linker $^{395}GS^{396}$ to an Fc fragment of human immunoglobulin G4 (397-625) [*Homo sapiens* IGHG4*01, hinge $S^{406}>P$ (397-408), CH2 $L^{413}>E$, $M^{430}>Y$ (409-518), CH3 $M^{606}>L$ (519-623), CHS (624-625)]; dimer (404-407', 407-404')-bisdisulfide, produced in Chinese hamster ovary (CHO) cells, cell line CHO DG44, glycoform alfa

efdoralprine alfa

alpha-1-antitrypsine humaine (inhibiteur de la protéase alpha-1, serpine A1, AAT), (1-394), variant ($M^{351}>E$, $M^{358}>L$), fusionnée par le coupleur dipeptidique $^{395}GS^{396}$ à un fragment Fc de l'immunoglobuline G4 humaine (397-625) [*Homo sapiens* IGHG4*01, charnière $S^{406}>P$ (397-408), CH2 $L^{413}>E$, $M^{430}>Y$ (409-518), CH3 $M^{606}>L$ (519-623), CHS (624-625)]; dimère (404-407', 407-404')-bisdisulfure, produite dans des cellules ovariennes de hamster chinois (CHO), lignée cellulaire CHO DG44, glycoforme alfa

efdoralprina alfa

alfa-1 antitripsina humana (inhibidor de la protease alfa-1, serpina A1) (1-394), variante ($M^{351}>E$, $M^{358}>L$) fusionada a través de un enlace peptídico $^{395}GS^{396}$ a un fragmento Fc de inmunoglobulina humana G4 (397-625) [*Homo sapiens* IGHG4*01, bisagra $S^{406}>P$ (397-408), CH2 $L^{413}>E$, $M^{430}>Y$ (409-518), CH3 $M^{606}>L$ (519-623), CHS (624-625)]; dímero (404-407', 407-404')-bisdisulfuro, producido en células ováricas de hamster Chino (CHO), línea celular CHO DG44, glicoforma alfa

Sequence / Séquence / Secuencia

alpha-1-antitrypsin-IgG4 Fc

```

EDPQGDAAQK TDTSHHDQDH PTFNKITPNL AEFAFSLYRQ LAHQSNSTNI 50
FFSPVSIATA FAMLSLGTKA DTHDEILEGL NFNLTIEPIEA QIHEGFQELL 100
RTLNQPDSQL QLTTCNGNLFL SEGLKLVDKF LEDVKKLYHS EAFTVNFGDT 150
EEAKKQINDY VEKGQTQGKIV DLVKELDRDT VFALVNYIFF KGKWERPFEV 200
KDTEEEEDFHV DQVTTVKVPM MKRLGMFNIQ HCKKLSSWVL LMKYILGNATA 250
IFFLPDDEGKL QHLENELTHD IITKFLENED RRASASLHLPK LSITGTYDLK 300
SVLGQLGITK VFSNGADLSS VTEEAPLKL KAVHKAVLTI DEKGTEAAGA 350
EFLEAIPLSI PPEVKFKNPKF VFLMIEQNTT SPLFMGKVNV PTQKGSESKY 400
GPPCPCPAP EFEGGGPSVFL FPPKPKDTLY ISRTPEVTCV VVDVQSEDPE 450
VQFNWYVVDGV EVHNAKTKPR EEEQFNSTYRV VSVLTVLHQD WLNGKEYKCK 500
VSNKGLPSSI EKTISKAKGQ PREPQVYTLP PSQEEMTKNQ VSLTCLVKGF 550
YPSDIAVEWE SNGQPFENNYK TTTPVLDSDG SFFLYSRLTV DKSRWQEGNV 600
FSCSVIHEAL HNHYTQKSLS LSLGK 625

```

Mutations / Mutations / Mutaciones

 $M^{351}>E$, $M^{358}>L$, $S^{406}>P$, $L^{413}>E$, $M^{430}>Y$, $M^{606}>L$

Peptide linker / Peptide liant / Péptido de unión

 $^{395}GS^{396}$

Post-translational modifications

Disulfide bridges location / Position des ponts disulfure / Posiciones de los puentes disulfuro

Intra chain: 439-499, 545-603, 439'-499', 545'-603'

Inter chain: 404-407', 407-404'

N-glycosylation sites / Sites de N-glycosylation / Posiciones de N-glicosilación

alpha-1-antitrypsin: N46, N83, N247, N46', N83', N247'

IgG4 Fc: N475, N475'

C-terminal lysine clipping / Coupure de la lysine C-terminale / Recorte de lisina C-terminal
625, 625'

efgitasialasum alfa

efgitasialase alfa

human sialidase-2 (*N*-acetyl-alpha-neuraminidase 2, exo-alpha-sialidase, cytosolic sialidase, EC:3.2.1.18) (1-380), variant (M¹>D, V⁶>Y, P⁶²>G, A⁹³>E, I¹⁸⁷>K, C³³²>A) fused to an Fc fragment of human immunoglobulin G1 (381-612 in the current sequence) [*Homo sapiens* IGHG1*03, hinge (381-395), CH2 (396-505), CH3 (506-610), CHS (611-612)], dimer (391-391', 394-394')-bisdisulfide, produced in Chinese hamster ovary (CHO) cells, derived from the cell line CHO-K1, glycoform alfa

efgitasialase alfa

sialidase-2 humaine (*N*-acétyl-alpha-neuraminidase de type 2, exo-alpha-sialidase, sialidase cytosolique, EC:3.2.1.18) (1-380), variant (M¹>D, V⁶>Y, P⁶²>G, A⁹³>E, I¹⁸⁷>K, C³³²>A), fusionnée à un fragment Fc de l'immunoglobuline G1 humaine (381-612 dans la séquence en cours) [*Homo sapiens* JGHG1*03, charnière (381-395), CH2 (396-505), CH3 (506-610), CHS (611-612), dimère (391-391', 394-394')-bisdisulfure, produite dans des cellules ovariennes de hamster chinois (CHO), dérivant de la lignée cellulaire CHO-K1, glicoforme alfa

efgitasialasa alfa

sialidasa-2 humana (*N*-acetil-alfa-neuraminidasa 2, exo-alfa-sialidasa, sialidasa citosólica, EC:3.2.1.18) (1-380), variante (M¹>D, V⁶>Y, P⁶²>G, A⁹³>E, I¹⁸⁷>K, C³³²>A) fusionada a un fragmento Fc de la inmunoglobulina G1 (381-612 en la secuencia actual) [*Homo sapiens* IGHG1*03, bisagra (381-395), CH2 (396-505), CH3 (506-610), CHS (611-612)], dímero (391-391', 394-394')-bisdisulfuro, producido en células ováricas de hámster Chino (CHO) K1-A4, glicoforma alfa

Sequence / Séquence / Secuencia

DASLPY<u>L</u>KQE	SVFQSGAHAY	RIPALLYLPG	QQSLLAFAEQ	RASKKDDEHAE	50
L IVLVRGGDYD	A GTHQVQWQA	QEVVQARQLD	GHRSMNPCLP	Y DEQTGTLFL	100
FFIAIFPGQVT	EQQQLQTRAN	VTRLCQVTST	DHGRTWSSPR	DITDAAIGPA	150
YREWSTFAVG	PGHCLQLHDR	ARSLVVPAYA	YRKLP <u>H</u> QRP	IPSAFCFLSH	200
DHGRTWARGH	FVAQDTLECQ	VAEVETGEQR	VVTLNARSHL	RARVQAQSTN	250
DGLDFQESQL	VKKLVEPPPQ	GCQGSVISFP	SPRSGPQSPA	QWLLYTHPTH	300
SWQRADLGAY	LNPRPPAPEA	WSEPVULLAKG	S AYSDLQSM	GTGPDGSPLF	350
GCLYEANDYE	EIVFLMFTLIK	QAFPAEYLPO	E PKSSDKTHT	C PPCPAPPELL	400
GGPSVFLFPP	KPKDTLMISR	TPEVTCVVVD	VSHEDPEVKF	NWYVDGVVEHV	450
NAKTKPREEQ	YNSTYRVVSV	LTVLHQDWLN	GKEYKCKVSN	KALPAPIEKT	500
ISAKKGQPRE	PQVYTLPPSR	EEMTKNQVSL	TCLVKGFYPS	DIAVEWEWSNG	550
QFENNYKTTP	PVLDSDGSSF	LYSKLTVDKS	RWQQGNVFSC	SVMHEALHNH	600
YTQKSLSLSP	GK				612

Mutations / Mutations / Mutaciones

M¹>**D**, V⁶>**Y**, P⁶²>**G**, A⁹³>**E**, I¹⁸⁷>**K**, C³³²>**A**

Post-translational modifications

Disulfide bridges location / Position des ponts disulfure / Posiciones de los puentes disulfuro

Intra chain: 88-164, 196-219, 426-486, 532-590,

88'-164', 196'-219', 426'-486', 532'-590'

Inter chain: 391-391', 394-394'

N-glycosylation sites / Sites de N-glycosylation / Posiciones de N-glicosilación

N120, N462, N120', N462'

C-terminal lysine clipping / Coupe de la lysine C-terminale / Recorte de lisina C-terminal
612, 612'

efmedaglutidum alfa #

efmedaglutide alfa

human glucagon-like peptide-1 (GLP-1) (7-37, 1-31 in the current sequence), variant ($A^8>G^2$), fused to a hybrid Fc fragment of human immunoglobulin delta/gamma 4 (32-286) [*Homo sapiens* IGHD*01 (hinge (32-68), CH2 (69-78)), *Homo sapiens* IGHG4*01 (CH2 (79-179), CH3 (180-284), CHS (285-286))], dimer (70-70')-disulfide, produced in Chinese hamster ovary (CHO) cells, cell line CHO DG44, glycoform alfa

efmédaglutide alfa

peptide-1 de type glucagon (GLP-1) humain (7-37, 1-31 dans la séquence en cours), variant ($A^8>G^2$), fusionné à un fragment Fc hybride de l'immunoglobuline delta/gamma 4 humaine (32-286) [*Homo sapiens* IGHD*01 (charnière (32-68), CH2 (69-78), *Homo sapiens* IGHG4*01, CH2 (79-179), CH3 (180-284), CHS (285-286))], dimère (70-70')-disulfure, produit dans des cellules ovariennes de hamster chinois (CHO), lignée cellulaire CHO DG44, glycoforme alfa

efmedaglutida alfa

péptido-1 similar al glucagón (GLP-1) humano (7-37, 1-31 en la secuencia actual), variante ($A^8>G^2$), fusionado al fragmento Fc híbrido de la immunoglobulina humana delta/gamma 4 (32-286) [*Homo sapiens* IGHD*01 (bisagra (32-68), CH2 (69-78)), *Homo sapiens* IGHG4*01 (CH2 (79-179), CH3 (180-284), CHS (285-286))], dímero (70-70')-disulfuro, producido en células ováricas de hamster Chino (CHO), lignée celular CHO DG44, glicoforma alfa

Sequence / Séquence / Secuencia

HGEGTFTSDV SSYLEGQAAK EFIGAWLVKGR GAKATTAPAT TRNTGRGGEE	50
KKKEKEKEEQ EERETKTPEC PSHTQPLGVF LFPPKPKDTL MISRTPEVTC	100
VVVDVVSQEDP EVQFNWYVDG VEVHNAKTKP REEQFNSTYR VVSVLTVLHQ	150
DWLNGKEYKC KVSNKGLPSS IEKTISKAKG QPREPVYTL PPSQEEMTKN	200
QVSLTCLVKKG FYPSDIAVEW ESNGQPENNY KTPPPVLDSD GSFFFLYSRLT	250
VDKSRWQEGN VFSCSVMHEA LHNHYTQKSL SLSLGK	286

Mutation / Mutation / Mutación

 $A^8>\underline{G}^2$

Post-translational modifications

Disulfide bridges location / Position des ponts disulfure / Posiciones de los puentes disulfuro

Intra chain: 100-160, 206-264, 100'-160', 206'-264'

Inter chain: 70-70'

N-glycosylation sites / Sites de N-glycosylation / Posiciones de N-glicosilación
N136, N136'O-glycosylation sites / Sites de O-glycosylation / Posiciones de O-glicosilación
T5, T35, T36, T40, T41, T5', T35', T36', T40', T41'C-terminal lysine clipping / Coupure de la lysine C-terminale / Recorte de lisina C-terminal
286, 286'**efsubaglutidum alfa #**

efsubaglutide alfa

glucagon-like peptide-1-immunoglobulin G2 fusion protein;
{[2-glycine,16-L-glutamic acid,30-glycine]}[human glucagon-like peptide 1-(7-37)-peptide] {($8\text{-}A>G,22\text{-}G>E,36\text{-}R>G$)-GLP-1(7-37)}
(1-31)}-[SSGAPPPSGGGGS linker (32-44)]-[human
immunoglobulin G2 Fc fragment (h-CH2-CH3-CHS domains
[*Homo sapiens* IGHG2*01 (hinge $C^{48}>S$ (45-56), CH2 $A^{155}>S$,
 $P^{156}>S$ (57-165), CH3 (166-270), CHS $K^{272}>del$ (271))] (45-271)]
fusion protein, dimer (49-49':52-52':55-55':86-146:86'-146':192-
250:192'-250')-heptakisdisulfide, produced in Chinese hamster
ovary cells (CHO), glycoform alfa

efsuglutide alfa	protéine de fusion entre le peptide 1 semblable au glucagon et l'immunoglobuline G2; {{2-glycine, 16-L-acid glutamique,30-glycine}}[peptide 1 semblable au glucagon humain-(7-37)] {{(8-A>G,22-G>E,36-R>G)-GLP-1(7-37)} (1-31)}-[SSGAPPSGGGS coupleur (32-44)]-[fragment Fc de l'immunoglobuline G2 humaine (domaines h-CH2-CH3-CHS [<i>Homo sapiens</i> IGHG2*01 (chânière C ⁴⁸ >S (45-56), CH2 A ¹⁵⁵ >S, P ¹⁵⁶ >S (57-165),CH3 (166-270), CHS K ²⁷² >del (271))] (45-271)] protéine de fusion, dimère (49-49':52-52':55-55':86-146:86'-146':192-250:192'-250')-heptakisdisulfure, produit dans des cellules ovariennes de hamster chinois (CHO), glycoforme alfa
efsuglutide alfa	proteína de fusión entre el peptido 1 semblable au glucagon et l'immunoglobuline G2; {{2-glicina,16-L-ácido glutamico,30-glicina}}[péptido 1 similar al glucagón humano-(7-37)] {{(8-A>G,22-G>E,36-R>G)-GLP-1(7-37)} (1-31)}-[SSGAPPSGGGS enlace (32-44)]-[fragmento Fc de la inmunoglobulina G2 humana (dominios h-CH2-CH3-CHS [<i>Homo sapiens</i> IGHG2*01 (bisagra C ⁴⁸ >S (45-56), CH2 A ¹⁵⁵ >S, P ¹⁵⁶ >S (57-165),CH3 (166-270), CHS K ²⁷² >del (271))] (45-271)] proteína de fusión, dímero (49-49':52-52':55-55':86-146:86'-146':192-250:192'-250')-heptakisdisulfuro, producido en las células ováricas de hámster chino (CHO), glicoforma alfa
	Monomer / Monomère / Monómero H ² GEGTFTSDV SSYLE E QAAK E F I A WL V K G G SSGAPPS G GGGSERK S CV 50 ECPPCPAPPV AGPSVFLFFP KPKDTLMISR TPEVTCVVVD VSHEDPEVQF 100 NNYVVDGVEVH NAKTKPREQQ FNSTFRVVS VLTVVHQDWL GKKEYKCKVSN 150 KG L P S <u>T</u> EKT ISKTKGQP <small>R</small> PQVYTLPPSR EEMTKNQVSL TCLVKGFYPS 200 DIAV E WESNG QFENNYKTTP FMLDSDGSSF LYSKLTVDKS RWQQGNVFSC 250 SVMHEALHNH YTQKSLSLSP G 271
	Mutation / Mutation / Mutación A ² > G , G ¹⁶ > E , R ³⁰ > G , C ⁴⁸ > S , A ¹⁵⁵ > S , P ¹⁵⁶ > S , K ²⁷² >del A ² > G , G ¹⁶ > E , R ³⁰ > G , C ⁴⁸ > S , A ¹⁵⁵ > S , P ¹⁵⁶ > S , K ²⁷² >del
	Peptide linker / Peptide liant / Péptido de unión ³² <u>SSGAPPSGGGS⁴⁴</u>
	Post-translation modifications Disulfide bridges location / Position des ponts disulfure / Posiciones de los puentes disulfuro Intra-chain: 86-146, 86'-146', 192-250, 192'-250' Inter-chain: 49-49', 52-52', 55-55'
	N-glycosylation sites / Sites de N-glycosylation / Posiciones de N-glicosilación N ¹²² , N ^{122'}
efsudenermin alfa #	Fc fragment of human immunoglobulin G1 (1-226) [<i>Homo sapiens</i> IGHG1*01, (1-9), CH2 (10-119), CH3 (120-224), CHS (225-226)] fused to human ectodysplasin-A (ectodermal dysplasia protein, EDA protein, ED1) fragment (238-391, 227-380 in the current sequence), hexamer (5'-5', 8-8', 5"-5", 8"-8", 5""-5""", 8""-8""")-bisdisulfide, produced in Chinese hamster ovary (CHO) cells, cell line CHO-S, glycoform alfa
efsudenermine alfa	fragment Fc de l'immunoglobine G1 humaine (1-226) [<i>Homo sapiens</i> IGHG1*01, (1-9), CH2 (10-119), CH3 (120-224), CHS (225-226)] fusionné avec l'ectodysplasine-A humaine (protéine de la dysplasie ectodermique, protéine EDA, ED1) fragment

(238-391, 227-380 dans la séquence en cours), hexamère (5'-5', 8-8', 5"-5"', 8"-8'', 5'''-5''''', 8''''-8''''')-bisdisulfure, produit dans les cellules ovariennes de hamster chinois (CHO), ligne cellulaire CHO-S, glycoforme alfa

efsudenermina alfa

fragmento Fc de inmunoglobulina humana G1 (1-226) [*Homo sapiens* IGHG1*01, (1-9), CH2 (10-119), CH3 (120-224), CHS (225-226)] fusionada a la ectodisplasina-A humana (proteína de displasia ectodérmica, proteína EDA, ED1) fragmento (238-391, 227-380 en la secuencia actual), hexámero (5'-8', 8"-8', 5"-5''', 8"-8''', 5'''-5''''', 8''''-8''''')-bisdisulfuro, producido en células ováricas de hámster Chino (CHO), línea celular CHO-S, glicoforma alfa

Sequence / Séquence / Secuencia
IgG1 Fc - EDA

KTHTCPPCPA PELLGGPSVF LFPPPKPKDTL MISRTPEVTC VVVDVSHEDP	50
EVVKFNWYVDG VEVHNAKTPK REEQYNSTYR VVSVLTVLHQ DWLNGKEYKC	100
KVSNKALPAP IEKTISKAKG QPREQVVTL PFSRDELTKN QVSLTCLVKKG	150
FYPDSIAVEW ESNQGPENNY KTPPVLDSD GSFFLYSKLT VDKSRWQQGN	200
VFSCSVMHEA LHNHYTQKSL SLSPGKAADKA GTRENRQPAVV HLQGQGSAIQ	250
VKNDSLGGVNL NDWSRITMNP KVFKLHPRSRG ELEVVLVDGTY FIYSQVEVYY	300
INFDFASYE VVVEDEKPFQ CTRSIETGKT NYNTCYTAGV CLLKARQKIA	350
VKMVHADISI NMSKHTTFFF AIRLGEAPAS	380

Post-translational modifications

Disulfide bridges location / Posición de los puentes disulfuro / Posiciones de los puentes disulfuro
Intra chain: 40-100, 146-204, 321-335, 40'-100', 146'-204', 321'-335'
40"-100", 146"-204", 321"-335", 40"-100", 146"-204", 321"-335"
40'''-100'''', 146'''-204'''', 321'''-335'''', 40'''-100'''', 146'''-204'''', 321'''-335'''
Inter chain: 5'-5", 8'-8", 5"-5''', 8"-8'', 5'''-5''''', 8''''-8'''''

N-glycosylation sites / Sites de N-glycosylation / Posiciones de N-glicosilación
76, 302; 76', 302'; 76", 302"; 76", 302"'; 76''", 302'''

efzilonkofuspum alfa #**efzilonkofusp alfa**

human T-lymphocyte activation antigen CD80 (activation B7-1 antigen, CTLA-4 counter-receptor B7.1, CD80) extracellular domain containing fragment (1-208 in the current sequence) fused via peptide linker ²⁰⁹GSGGGGSGGGGGSGGGGS²²⁵ to an Fc fragment of human immunoglobulin G4 (226-454) [*Homo sapiens* IGHG4*01, hinge ins²²⁶>A, S²³⁶>P (226-238), CH2 F²⁴²>A, L²⁴³>A, T²⁵⁸>Q (239-348), CH3 M⁴³⁶>L (349-453), CHS K⁴⁵⁵>del (454)] fused via peptide linker ⁴⁵⁵GGGGS⁴⁵⁹ to human interleukin-2 (IL-2, T-cell growth factor (TCGF)) (1-133, 460-592 in the current sequence), variant (R³⁸>A⁴⁹⁷, F⁴²>A⁵⁰¹, E⁶¹>R⁵²⁰) dimer (234-234', 237-237')-bisdisulfide, produced in Chinese hamster ovary (CHO) cells, glycoform alfa

efzilonkofusp alfa

fragment de l'antigène CD80 d'activation des lymphocytes T humains (antigène d'activation B7-1, contre récepteur B7.1 de CTLA-4, CD80) contenant le domaine extracellulaire (1-208 dans la séquence en cours), fusionné à l'aide d'un coupleur peptidique ²⁰⁹GSGGGGSGGGGGSGGGGS²²⁵ à un fragment Fc de l'immunoglobuline G4 humaine (226-454) [*Homo sapiens* IGHG4*01, charnière ins²²⁶>A, S²³⁶>P (226-238), CH2 F²⁴²>A, L²⁴³>A, T²⁵⁸>Q (239-348), CH3 M⁴³⁶>L (349-453), CHS K⁴⁵⁵>del (454)], fusionné à l'aide d'un coupleur peptidique ⁴⁵⁵GGGGS⁴⁵⁹ à l'interleukine-2 humaine (IL-2, facteur de croissance des lymphocytes T (TCGF)) (1-133, 460-592 de la séquence en cours), variant (R³⁸>A⁴⁹⁷, F⁴²>A⁵⁰¹, E⁶¹>R⁵²⁰), dimère (234-234', 237-237')-bisdisulfure, produit dans des cellules ovariennes de hamster chinois, glycoforme alfa

efzilonkofusp alfa fragmento del antígeno de activación de linfocitos T humanos CD80 (antígeno deactivación B7-1, CTLA-4 contrarrreceptor B7.1, CD80) que contiene el dominio extracelular (1-208 en la secuencia actual) fusionado a través del enlace peptídico
²⁰⁹GSGGGGSGGGGSGGGG²²⁵ a un fragmento Fc de la inmunoglobulina G4 humana (226-454) [*Homo sapiens* IGHG4*01, bisagra ins²²⁶>A, S²³⁶>P (226-238), CH2 F²⁴²>A, L²⁴³>A, T²⁵⁸>Q (239-348), CH3 M⁴³⁶>L (349-453), CHS K⁴⁵⁵>del (454)] fusionada a través de enlace peptídico ⁴⁵⁵GGGGS⁴⁵⁹ a la interleukina-2 humana (IL-2, factor de crecimiento de linfocitos T (TCGF)) (1-133, 460-592 en la secuencia actual), variante (R³⁸>A⁴⁹⁷, F⁴²>A⁵⁰¹, E⁶¹>R⁵²⁰) dímero (234-234', 237-237')-bisdisulfuro, producido en células ováricas de hámster Chino (CHO), glicoforma alfa

Sequence / Séquence / Secuencia

VIHTKEVKE	VATLSCGHNV	SVEELAQTRI	YWQKEKKMVL	TMMGDMNIW	50
PEYKNRTIFD	ITNNLISVIL	ALRPSDEGTY	ECVVVKYEKD	AFKREHLAEV	100
TLSVKADFFT	PSISDFEIP	T SNIRRIICST	SGGPEPEPHLS	WLENGEELNA	150
INTTVSQDPE	TELYAVSSKL	DFNMTTNHSF	MCLIKYGLR	VNQTFNWNTT	200
KQEHPFDNGS	<u>GGGGSGGGG</u>	<u>GGGSAESKY</u>	GPPCP _n CPAP	<u>EAAGGPSVFL</u>	250
FPPPKPKDQLM	<u>ISRTPEVT</u>	VVDVSQEDPE	VQFNWYVDGV	EVNIAKTKPR	300
EEQFNNSTYRV	VSVLTVLHQD	WLNGKEYKCK	VSNKGLPSSI	EKTISKAKGQ	350
PREPQVYTL	P SQQEEMTKNQ	VSLTCLVKGE	YPSDIAVEWE	SNQOPENNYK	400
TPPPVLDSDG	SFFLYSRLTV	DKSRWQEGNV	FCSCSV	HEAL HNHYTQKSLS	450
LSLG <u>GGGGS</u> A	PTSSSTKKQ	LQLEHLLLDL	QMILNGINNY	KNPKLT _n MLT	500
A KFYMPKKAT	E LKHIIQCLER	E LKPLEEVLN	LAQSKNFHLR	PRDLISINV	550
IVLELGKSET	TFMCEYADET	ATIVEFLNRW	ITFCQSIIST	LT	592

Mutations / Mutaciones / Mutaciónes

ins²²⁶>A, S²³⁶>P, F²⁴²>A, L²⁴³>A, T²⁵⁸>Q, M⁴³⁶>L, K⁴⁵⁵>del, R³⁸>A⁴⁹⁷, F⁴²>A⁵⁰¹, E⁶¹>R⁵²⁰

Peptide linker / Peptide liant / Péptido de unión

²⁰⁹GSGGGGSGGGGSGGGG²²⁵, ⁴⁵⁵GGGGS⁴⁵⁹

Post-translational modifications

Disulfide bridges location / Position des ponts disulfure / Posiciones de los puentes disulfuro
 Intra chain: 16-82, 128-182, 269-329, 375-433, 517-564,
 16'-82', 128'-182', 269'-329', 375'-433', 517'-564'
 Inter chain: 234-234', 237-237'

N-glycosylation sites / Sites de N-glycosylation / Posiciones de N-glicosilación
 N19, N55, N64, N152, N173, N177, N192, N198, N305,
 N19', N55', N64', N152', N173', N177', N192', N198', N305'

O-glycosylation sites / Sites de O-glycosylation / Posiciones de O-glicosilación
 S220, T462, S220', T462'

éloralintidum
eloralintide

S²,S⁷-methylene[L-γ-glutamyl-L-cysteinyl-L-asparaginyl-L-threonyl-L-alanyl-L-threonyl-L-cysteinyl-L-alanyl-L-threonylglycyl-L-ornithyl-L-leucyl-L-alanyl-L-α-glutamyl-α-methyl-L-phenylalanyl-L-leucyl-L-valyl-L-arginyl-L-seryl-L-seryl-L-asparaginyl-N²-methyl-L-asparaginyl-L-phenylalanylglycyl-L-prolyl-N⁶-[N-(19-carboxynonadecanoyl)-L-γ-glutamyl-L-γ-glutamyl]-L-lysyl-L-leucyl-L-prolyl-L-prolyl-L-threonyl-L-α-glutamyl-L-valylglycyl-L-seryl-L-asparaginyl-L-threonyl-L-tyrosinamide]

éloralintide

S²,S⁷-méthylène[L-γ-glutamyl-L-cystéinyl-L-asparaginyl-L-thréonyl-L-alanyl-L-thréonyl-L-cystéinyl-L-alanyl-L-thréonylglycyl-L-ornithyl-L-leucyl-L-alanyl-L-α-glutamyl-α-méthyl-L-phénynalanyl-L-leucyl-L-valyl-L-arginyl-L-séryl-L-séryl-L-asparaginyl-N²-méthyl-L-asparaginyl-L-

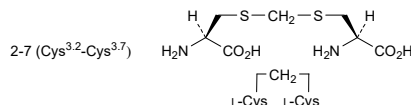
phénylalanylglycyl-L-prolyl-N⁶-[N-(19-carboxynonadécanoïl)-L-γ-glutamyl-L-γ-glutamyl]-L-lysyl-L-leucyl-L-prolyl-L-prolyl-L-thréonyl-L-α-glutamyl-L-valylglycyl-L-séryl-L-asparaginyl-L-thréonyl-L-tyrosinamide]

eloralintida

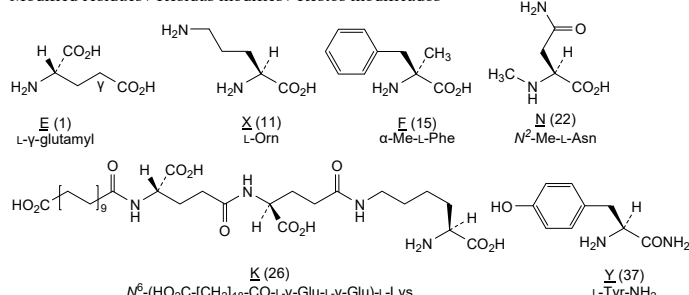
S²,S⁷-métileno[L-γ-glutamil-L-cisteinil-L-asparaginil-L-treonil-L-alanil-L-treonil-L-cisteinil-L-alanil-L-treonilglicil-L-ornitil-L-leucil-L-alanil-L-α-glutamyl-α-métil-L-fenilalanil-L-leucil-L-valil-L-arginil-L-seril-L-seril-L-asparaginil-N⁶-métile-L-asparaginil-L-fenilalanilglicil-L-prolyl-N⁶-[N-(19-carboxynonadécanoïl)-L-γ-glutamyl-L-γ-glutamyl]-L-lisil-L-leucil-L-prolyl-L-prolyl-L-treonil-L-α-glutamyl-L-valilglicil-L-seril-L-asparaginil-L-treonil-L-tyrosinamide]



Methylene bridge location / Position du pont méthylène / Posición del puente metíleno



Modified residues / Résidus modifiés / Restos modificados



eltivutabartum

eltivutabart

immunoglobulin G4-kappa, anti-[*Homo sapiens* ENTPD1 (ectonucleoside triphosphate diphosphohydrolase 1, CD39)], *Homo sapiens* monoclonal antibody; H-gamma4 heavy chain *Homo sapiens* (1-448) [VH (*Homo sapiens* IGHV1-46*02 (94.9%) -(IGHD) -IGHJ5*02 (100%), CDR-IMGT [8.8.14] (26-33.51-58.97-110)) (1-121) -*Homo sapiens*IGHG4*01, nG4m(a) CH2 L92, G4v5 h P10(CH1 (122-219), hinge 1-12 S10>P (229) (220-231), CH2 L92 (310) (232-341), CH3 (342-446), CHS (447-448)) (122-448)], (135-214')-disulfide with L-kappa light chain *Homo sapiens* (1'-214') [V-KAPPA (*Homo sapiens* IGKV3-20*01 (96.7%) -IGKJ4*01 (91.7%), CDR-IMGT [7.3.8] (27'-33'.51'-53'.90'-97')) (1'-107') -*Homo sapiens* IGKC*01 (100%) Km3 A45.1, V101 (C-KAPPA A45.1 (153'), V101 (191')) (108'-214')]; dimer (227-227":230-230")-bisdisulfide, produced in Chinese hamster ovary (CHO) cells, cell line CHO-DG44 lacking the enzyme dihydrofolate reductase (DHFR), glycoform alfa

eltivutabart

immunoglobuline G4-kappa, anti-[*Homo sapiens* ENTPD1 (ectonucléoside triphosphate diphosphohydrolase 1, CD39)], anticorps monoclonal *Homo sapiens*;

chaîne lourde H-gamma4 *Homo sapiens* (1-448) [VH (*Homo sapiens*IGHV1-46*02 (94.9%) -(IGHD) -IGHJ5*02 (100%), CDR-IMGT [8.8.14] (26-33.51-58.97-110)) (1-121) -*Homo sapiens*IGHG4*01, nG4m(a) CH2 L92, G4v5 h P10(CH1 (122-219), charnière 1-12 S10>P (229) (220-231), CH2 L92 (310) (232-341), CH3 (342-446), CHS (447-448)) (122-448)], (135-214')-disulfure avec la chaîne légère L-kappa *Homo sapiens* (1'-214') [V-KAPPA (*Homo sapiens* IGKV3-20*01 (96.7%) -IGKJ4*01 (91.7%), CDR-IMGT [7.3.8] (27'-33'.51'-53'.90'-97')) (1'-107') -*Homo sapiens* IGKC*01 (100%) Km3 A45.1, V101 (C-KAPPA A45.1 (153'), V101 (191')) (108'-214')]; dimère (227-227":230-230")-bisdisulfure, produit dans des cellules ovarianes de hamster chinois (CHO), lignée cellulaire CHO-DG44 ne présentant pas l'enzyme dihydrofolate réductase (DHFR), glycoforme alfa

eltivutabart

inmunoglobulina G4-kappa, anti-[*Homo sapiens* ENTPD1 (ectonucleósido trifosfato difosfoidrolasa 1, CD39)], anticuerpo monoclonal *Homo sapiens*; cadena pesada H-gamma4 *Homo sapiens* (1-448) [VH (*Homo sapiens* IGHV1-46*02 (94.9%) -(IGHD) -IGHJ5*02 (100%), CDR-IMGT [8.8.14] (26-33.51-58.97-110)) (1-121) -*Homo sapiens*IGHG4*01, nG4m(a) CH2 L92, G4v5 h P10(CH1 (122-219), bisagra 1-12 S10>P (229) (220-231), CH2 L92 (310) (232-341), CH3 (342-446), CHS (447-448)) (122-448)], (135-214')-disulfuro con la cadena ligera L-kappa *Homo sapiens* (1'-214') [V-KAPPA (*Homo sapiens* IGKV3-20*01 (96.7%) -IGKJ4*01 (91.7%), CDR-IMGT [7.3.8] (27'-33'.51'-53'.90'-97')) (1'-107') -*Homo sapiens* IGKC*01 (100%) Km3 A45.1, V101 (C-KAPPA A45.1 (153'), V101 (191')) (108'-214')]; dímero (227-227":230-230")-bisdisulfuro, producido en las células ováricas de hámster chino (CHO), línea celular CHO-DG44 en ausencia de la enzima dihidrofolato reductasa (DHFR), forma glicosilada alfa

Heavy chain / Chaîne lourde / Cadena pesada
 QVQLVQSGAE VKKPGASVKV SCKASGTYFK SYEMHWVRQA PGQGLEWMGR 50
 INPSVGSTWY AQKFQGRVTM TRDTSTSTVY MELSSLRSED TAVYYCARGK 100
 REGGTTEYLRK WQGTLTVTS SASTKGPVSF PLAPCSRSTS ESTAAALGCLV 150
 KDYFPEPVTV SWNSGALTSG VHTFPAVLQS SGLYSLSSVV TVPSSSLGPK 200
 TYTCNVNDHKP SNTKVDKRV E SKYGFPCPPC PAPEFLGGPS VFLFPKPKD 250
 TLMISRTPEV TCVVVDVSQE DPEVQFNWVY DGVEVHNAKT KPREEQFNST 300
 YRVVSVLTVL HQDWLNGKEY KCKVSNKGLP SSIERTIKSA KGQPREPQVY 350
 TLPPSQEEMT KNQVSLTCLV KGFYPSDIAV EWESNQOPEN NYKTTPPVLD 400
 SDGSFFLYSR LTVDKSRWQE GNVFSCVMH EALHNHYTQK SLSLSLGK 448

Light chain / Chaîne légère / Cadena ligera
 EIVLTQSPGT LSLSLSPGERAT LSCRASQSVVA SSYLAWSQQK PGQAPRLLIY 50
 GASNRHTGIP DRFGSGSGGT DFTLTISRLE PEDFAVYYCQ QYHNAITFGG 100
 GTKVEIKRTV AAPSVFIFFP SDEQLKSGTA SVVCLLNPFY PREAKVQWKV 150
 DNALOQNSQO ESVTEQDSKD STYSLSSLTLT LSKADYEKHK VYACEVT#QG 200
 LSSPVTKSFN RGECA 214

Post-translational modifications

Disulfide bridges location / Position des ponts disulfure / Posiciones de los puentes disulfuro
 Intra-H (C23-C104) 22-96 148-204 262-322 368-426
 22"-96" 148"-204" 262"-322" 368"-426"
 Intra-L (C23-C104) 23"-89" 134"-194"
 23"-89" 134"-194"
 Inter-H-L (CH1 10-CL 126) 135-214' 135"-214"
 Inter-H-H (h 8, h 11) 227-227" 230-230"

N-terminal glutaminyl cyclization / Cyclisation du glutaminyle N-terminal / Ciclación del glutamínico N-terminal
 Q > pyroglutamyl (pE, 5-oxoprolyl) / pyroglutamyle (pE, 5-oxoprolyle) / piroglutamilo (pE, 5-oxoprolilo)
 H VH Q1: 1, 1"

N-glycosylation sites / Sites de N-glycosylation / Posiciones de N-glicosilación
 H CH2 N84.4: 298, 298"
 Fucosylated complex bi-antennary CHO-type glycans / glycanes de type CHO bi-antennaires complexes fucosylés / glicanos de tipo CHO biantenarios complejos fucosilados

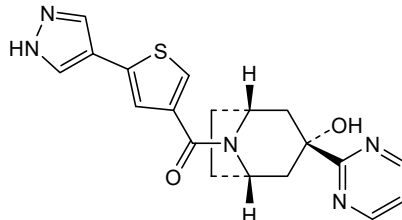
C-terminal lysine clipping / Coupe de la lysine C-terminale / Recorte de lisina C-terminal
 H CHS K2: 448, 448"

emestedastatum

emestedastat [(1*R*,3*r*,5*S*)-3-hydroxy-3-(pyrimidin-2-yl)-8-azabicyclo[3.2.1]octan-8-yl][5-(1*H*-pyrazol-4-yl)thiophen-3-yl]methanone

é mestédastat [(1*R*,3*r*,5*S*)-3-hydroxy-3-(pyrimidin-2-yl)-8-azabicyclo[3.2.1]octan-8-yl][5-(1*H*-pyrazol-4-yl)thiophén-3-yl]méthanone

emestedastat [(1*R*,3*r*,5*S*)-3-hidroxi-3-(pirimidin-2-il)-8-azabicielo[3.2.1]octan-8-il][5-(1*H*-pirazol-4-il)tiufen-3-il]metanona

**emugrobartum #**

emugrobart immunoglobulin G1-kappa, anti-[*Homo sapiens* MSTN (myostatin, growth differentiation factor 8, GDF8, GDF-8) latent myostatin complex], humanized monoclonal antibody; H-gamma1 heavy chain humanized (1-447) [VH (*Homo sapiens* IGHV3-66*01 (69.1%) -(IGHD) -IGHJ1*01 (100%), CDR-IMGT [8.7.13] (26-33.51-57.96-108)) (1-119) -*Homo sapiens*IGHG1*03v, G1m3>G1m17, nG1m1 CH1 K120, CH2 E12, M14, G1v86 CH2 Y1.3, D2, I26, K115, G1v87 V14, P90, G1v88 CH2 R94, CH3 R1.2, G1v89 CH3 T116, R118, G1v78-1 CH3 L107, A114, T116 (CH1 R120>K (216) (120-217), hinge 1-15 (218-232), CH2 L1.3>Y (236), P2>D (240), T14>V (252), V26>I (266), T90>P (309), Q94>R (313), A115>K (332) (233-342), CH3 E12 (358), M14 (360), P1.2>R (345), M107>L (430), N114>A (436), Y116>T (438), Q118>R (440), S120>E (442) (343-447), CHS G1>del, K2>del)) (120-447)], (222-217')-disulfide with L-kappa light chain humanized (1'-217') [V-KAPPA (*Homo sapiens* IGKV3D-7*01 (77.7%) -IGKJ2*02 (90.0%) L124>V (107'), CDR-IMGT [8.3.10] (27'-34'.52'-54'.91'-100')) (1'-110') -*Homo sapiens* IGKC*01 (100%) Km3 A45.1, V101 (C-KAPPA A45.1 (156'), V101 (194')) (111'-217')]; dimer (228-228":231-231")-bisdisulfide, produced in Chinese hamster ovary (CHO) cells, cell line CHO-DXB11, glycoform alfa

émugrobart

immunoglobuline G1-kappa, anti-[*Homo sapiens* MSTN (myostatine, facteur de croissance et de différenciation 8, GDF8, GDF-8) complexe de la myostatine latente], anticorps monoclonal humanisé; chaîne lourde H-gamma1 humanisée (1-447) [VH (*Homo sapiens* IGHV3-66*01 (69.1%) -(IGHD) -IGHJ1*01 (100%), CDR-IMGT [8.7.13] (26-33.51-57.96-108)) (1-119) -*Homo sapiens*IGHG1*03v, G1m3>G1m17, nG1m1 CH1 K120, CH3 E12, M14, G1v86 CH2 Y1.3, D2, I26, K115, G1v87 V14, P90, G1v88 CH2 R94, CH3 R1.2, G1v89 CH3 T116, R118, G1v78-1 CH3 L107, A114, T116 (CH1 R120>K (216) (120-217), charnière 1-15 (218-232), CH2 L1.3>Y (236), P2>D (240), T14>V (252), V26>I (266), T90>P (309), Q94>R (313), A115>K (332) (233-342), CH3 E12 (358), M14 (360), P1.2>R (345), M107>L (430), N114>A (436), Y116>T (438), Q118>R (440), S120>E (442) (343-447), CHS G1>del, K2>del)) (120-447)], (222-217')-disulfure avec la chaîne

légère L-kappa humanisée (1'-217') [V-KAPPA (*Homo sapiens* IGKV3D-7*01 (77.7%) -IGKJ2*02 (90.0%) L124>V (107'), CDR-IMGT [8.3.10] (27'-34'.52'-54'.91'-100')) (1'-110') -*Homo sapiens* IGKC*01 (100%) Km3 A45.1, V101 (C-KAPPA A45.1 (156'), V101 (194')) (111'-217')]; dimère (228-228":231-231")-bisdisulfure, produit dans des cellules ovaries de hamster chinois (CHO), lignée cellulaire CHO-DXB11, glycoforme alfa

emugrobart immunoglobulina G1-kappa, anti-[*Homo sapiens* MSTN (miostatina, factor de crecimiento y de diferenciación 8, GDF8, GDF-8) complejo de la miostatina latente], anticuerpo monoclonal humanizado; cadena pesada H-gamma1 humanizada (1-447) [VH (*Homo sapiens*IGHV3-66*01 (69.1%) -(IGHD)-IGHJ1*01 (100%), CDR-IMGT [8.7.13] (26-33.51-57.96-108)) (1-119) -*Homo sapiens*IGHG1*03v, G1m3>G1m17, nG1m1 CH1 K120, CH3 E12, M14, G1v86 CH2 Y1.3, D2, I26, K115, G1v87 V14, P90, G1v88 CH2 R94, CH3 R1.2, G1v89 CH3 T116, R118, G1v78-1 CH3 L107, A114, T116 (CH1 R120>K (216) (120-217), bisagra 1-15 (218-232), CH2 L1.3>Y (236), P2>D (240), T14>V (252), V26>I (266), T90>P (309), Q94>R (313), A115>K (332) (233-342), CH3 E12 (358), M14 (360), P1.2>R (345), M107>L (430), N114>A (436), Y116>T (438), Q118>R (440), S120>E (442) (343-447), CHS G1>del, K2>del)) (120-447)], (222-217')-disulfuro con la cadena ligera L-kappa humanizada (1'-217') [V-KAPPA (*Homo sapiens* IGKV3D-7*01 (77.7%) -IGKJ2*02 (90.0%) L124>V (107'), CDR-IMGT [8.3.10] (27'-34'.52'-54'.91'-100')) (1'-110') -*Homo sapiens* IGKC*01 (100%) Km3 A45.1, V101 (C-KAPPA A45.1 (156'), V101 (194')) (111'-217')]; dímero (228-228":231-231")-bisdisulfuro, producido en las células ováricas de hámster chino (CHO), línea celular CHO-DXB11, forma glicosilada alfa

Heavy chain / Chaîne lourde / Cadena pesada

```
QVQLVESGG LVQPGGSLRL SCAVSGIDL S HDDISWVRQA PGKGLEWVSI 50
ISYAGSTYYA SWAKGRLTIS KDTISKNVQL TMNTMDPVDT ATYYCARGVP 100
AYSHGGDLWG QGTLVTVSSA STKGPSVFF APSSKSTSGG TAALGCLVKD 150
YFPEPVTVSW NSGALTSGVH TFTPAVLQSSG LYSSLSSVVTVP PSSSLGTQTY 200
ICNVNHKPSN TKVDKKEVPK SCDKTHTPPP CAPEVYLGGD SVFLFPPPKP 250
DVLMSITPTE VTCVVIDVSH EDPEVKFNWY VDGVEVHNAK TKPREEQYNS 300
TYRVSVLPV LHRDWLNGKE YKCKVSNSKAL PKPIEKTISK AKGQRREPOV 350
YTLPSSREEM TKNQVSLTCL VKGFYPSDIA VEWESENQPE NNYKTPPPVL 400
DSDGSSFLYS KLTVDKSRWQ QGNVFSCSVL HEALHAHTTR KELSLSP 447
```

Light chain / Chaîne légère / Cadena ligera

```
DIVMTQSPT LSLSPGERAT LSCTTSQSVDY HENWLWSFQQ KPGQPPKLLI 50
YWASTLAYGV PSRFGSSGSG TDFTLTISSL QPEDAAATYYC AGGYGGGRYA 100
FGGGTKEIK RTVAAPSVFI FPPSDEQLKS GTASVVCLLN NFYPREAKVQ 150
WKVDNALQSG NSQESVTEQD SKDSTYSLSS TLTLSKADYE KHKVYACEVT 200
HQGLSSPVTK SFNRGECE 217
```

Post-translational modifications

Disulfide bridges location / Position des ponts disulfure / Posiciones de los puentes disulfuro
 Intra-H (C23-C104) 22-95 146-202 263-323 369-427
 22"-95" 146"-202" 263"-323" 369"-427"
 Intra-L (C23-C104) 23"-90" 137"-197"
 23"-90" 137"-197"
 Inter-H-L (h 5-CL 126) 222-217' 222"-217"
 Inter-H-H (h 11, h 14) 228-228" 231-231"

N-terminal glutaminyl cyclization / Cyclisation du glutaminyle N-terminal / Ciclación del glutaminilo N-terminal
 Q > pyroglutamyl (pE, 5-oxoprolyl) / pyroglutamyle (pE, 5-oxoprolyle) / piroglutamilo (pE, 5-oxoprolilo)
 H VH Q1: 1, 1"

N-glycosylation sites / Sites de N-glycosylation / Posiciones de N-glicosilación
 H CH2 N84.4: 299, 299"
 Fucosylated complex bi-antennary CHO-type glycans / glycanes de type CHO bi-antennaires complexes fucosyles / glicanos de tipo CHO biantenarios complejos fucosilados

emunkitug #

emunkitug	immunoglobulin G1-kappa, anti-[<i>Homo sapiens</i> TNFRSF1B (tumor necrosis factor receptor (TNFR) superfamily member 1B, TNFR2, TNFR type II, p75, CD120b)], humanized monoclonal antibody, agonist; H-gamma1 heavy chain humanized (1-448) [VH (<i>Homo sapiens</i> IGHV1-46*04 (83.5%) -(IGHD) -IGHJ6*01 (92.3%) Q120>T (110), CDR-IMGT [8.8.11] (26-33.51-58.97-107)) (1-118) - <i>Homo sapiens</i> IGHG1*03 (100%) G1m3, nG1m1 CH1 R120, CH3 E12, M14 (CH1 R120 (215) (119-216), hinge 1-15 (217-231), CH2 (232-341), CH3 E12 (357), M14 (359) (342-446), CHS (447-448)) (119-448)], (221-213')-disulfide with L-kappa light chain humanized (1'-213') [V-KAPPA (<i>Homo sapiens</i> IGKV1-9*01 (81.1%) -IGKJ2*01 (90.9%) Q120>S (99), CDR-IMGT [5.3.9] (27'-31'.49'-51'.88'-96')) (1'-106') - <i>Homo sapiens</i> IGKC*01 (100%) Km3 A45.1, V101 (C-KAPPA A45.1 (152'), V101 (190')) (107'-213')]; dimer (227-227":230-230")-bisdisulfide, produced in Chinese hamster ovary (CHO) cells, cell line CHO-DG44, glycoform alfa
émunkitug	immunoglobuline G1-kappa, anti-[<i>Homo sapiens</i> TNFRSF1B (membre 1B de la superfamille des récepteurs des facteurs de nécrose tumorale (TNFR), TNFR2, TNFR type II, p75, CD120b)], anticorps monoclonal humanisé, agoniste; chaîne lourde H-gamma1 humanisée (1-448) [VH (<i>Homo sapiens</i> IGHV1-46*04 (83.5%) -(IGHD) -IGHJ6*01 (92.3%) Q120>T (110), CDR-IMGT [8.8.11] (26-33.51-58.97-107)) (1-118) - <i>Homo sapiens</i> IGHG1*03 (100%) G1m3, nG1m1 CH1 R120, CH3 E12, M14 (CH1 R120 (215) (119-216), charnière 1-15 (217-231), CH2 (232-341), CH3 E12 (357), M14 (359) (342-446), CHS (447-448)) (119-448)], (221-213')-disulfure avec la chaîne légère L-kappa humanisée (1'-213') [V-KAPPA (<i>Homo sapiens</i> IGKV1-9*01 (81.1%) -IGKJ2*01 (90.9%) Q120>S (99), CDR-IMGT [5.3.9] (27'-31'.49'-51'.88'-96')) (1'-106') - <i>Homo sapiens</i> IGKC*01 (100%) Km3 A45.1, V101 (C-KAPPA A45.1 (152'), V101 (190')) (107'-213')]; dimère (227-227":230-230")-bisdisulfure, produit dans des cellules ovarianes de hamster chinois (CHO), lignée cellulaire CHO-DG44, glycoforme alfa
emunkitug	inmunoglobulina G1-kappa, anti-[<i>Homo sapiens</i> TNFRSF1B (miembro 1B de la superfamilia de los receptores de los factores de necrosis tumoral (TNFR), TNFR2, TNFR tipo II, p75, CD120b)], anticuerpo monoclonal humanizado, agonista; cadena pesada H-gamma1 humanizada (1-448) [VH (<i>Homo sapiens</i> IGHV1-46*04 (83.5%) -(IGHD) -IGHJ6*01 (92.3%) Q120>T (110), CDR-IMGT [8.8.11] (26-33.51-58.97-107)) (1-118) - <i>Homo sapiens</i> IGHG1*03 (100%) G1m3, nG1m1 CH1 R120, CH3 E12, M14 (CH1 R120 (215) (119-216), bisagra1-15 (217-231), CH2 (232-341), CH3 E12 (357), M14 (359) (342-446), CHS (447-448)) (119-448)], (221-213')-disulfuro con la cadena ligera L-kappa humanizada (1'-213') [V-KAPPA (<i>Homo sapiens</i> IGKV1-9*01 (81.1%) -IGKJ2*01 (90.9%) Q120>S (99), CDR-IMGT [5.3.9] (27'-31'.49'-51'.88'-96')) (1'-106') - <i>Homo sapiens</i> IGKC*01 (100%) Km3 A45.1, V101 (C-KAPPA A45.1 (152'), V101 (190')) (107'-213')]; dímero (227-227":230-230")-bisdisulfuro, producido en las células ováricas de hámster chino (CHO), línea celular CHO-DG44, forma glicosilada alfa

Heavy chain / Chaîne lourde / Cadena pesada

QVQLVQSGAE LKKPGASVKV SCKASSYSFT DYNMNNWVRQA PGQSLEWMGI 50
 IFPKYGTTSY AQKIQGRVTL TTDTSTSTAY MELRSLRSDD TAVYYCATDG 100
 GTWYFDWGGT GTTVTVSSAS TKGPSPVPLA PSSKSTSGGT AALGCLVKVDY 150
 FPEPVTVWSN SGALITSGVHT FFAVLQSSGL YSLSSVTVTP SSSLGQTQYI 200
 CNVNHKPSNT KVDKRVEPKS CDKTHTCPPC PAPELGGPS VFLFPPKPKD 250
 TLMISRTPVE TCVVVVDVSH EPEVKFNWYV DGVEVHNAKT KPREEQYNST 300
 YRVVSVLTVL HQDWLNKEY KCKVSNKALP APIKTISKA KGQPREGQVY 350
 TLPPSREEMT KNQVSLTCLV KGFPYPSDIAV EWESNGQOPEN NYKTTPPVLD 400
 SDGSFFLYSK LTVDKSRWQQ GNFSCSVHM EALHNHYTQK SLSLSPGK 448

Light chain / Chaîne légère / Cadena ligera

DIQLTQSPSF LSASVGDRVT ITCRASSVT YMWYQQKPG KAPKPWIVYL 50
 SNLASGVPSR FSGSGSGTEY TLTSSLQPE DATATYCQOW SSNPPTFGSG 100
 TKLEIKRTVA APSVIFPPS DEQLKSGTAS VVCLLNNFYR REAKVQWKVD 150
 NALQSGNSQE SVTEQDSKDS TYSLSSTLTL SKADYEKHKV YACEVTHQGL 200
 SSPVTKSFNR GEC 213

Post-translational modifications

Disulfide bridges location / Position des ponts disulfure / Posiciones de los puentes disulfuro
 Intra-H (C23-C104) 22-96 145-201 262-322 368-426

22"-96" 145"-201" 262"-322" 368"-426"

Intra-L (C23-C104) 23'-87' 133'-193'
 23"-87" 133"-193"

Inter-H-L (h 5-CL 126) 221-213' 221"-213"

Inter-H-H (h 11, h 14) 227-227" 230-230"

N-terminal glutaminyl cyclization / Cyclisation du glutaminyle N-terminal / Ciclación del

glutamino N-terminal

Q > pyroglutamyl (pE, 5-oxoprolyl) / pyroglutamyle (pE, 5-oxoprolyle) / piroglutamilo

(pE, 5-oxoprolilo)

H VH Q1: 1, 1"

N-glycosylation sites / Sites de N-glycosylation / Posiciones de N-glicosilación

H CH2 N84.4: 298, 298"

Fucosylated complex bi-antennary CHO-type glycans / glycanes de type CHO bi-antennaire: complejos fucosylés / glicanos de tipo CHÓ biantenarios complejos fucosilados

C-terminal lysine clipping / Coupure de la lysine C-terminale / Recorte de lisina C-terminal
 H CHS K2: 448, 448"

enrupatinibum

enrupatinib

4³-methoxy-7⁶-methyl-5-oxa-3-aza-2(2,7)-quinoxalina-1(4)-morpholina-7(3)-pyridina-4(1,4)-benzenaheptaphane-2⁸-carbonitrile

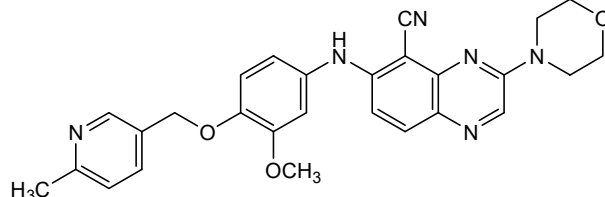
enrupatinib

4³-méthoxy-7⁶-méthyl-5-oxa-3-aza-2(2,7)-quinoxalina-1(4)-morpholina-7(3)-pyridina-4(1,4)-benzénahéptaphane-2⁸-carbonitrile

enrupatinib

7⁶-métيل-4³-metoxi-5-oxa-3-aza-2(2,7)-quinoxalina-1(4)-morpholina-7(3)-piridina-4(1,4)-benzenaheptafano-2⁸-carbonitrilo

C₂₇H₂₆N₆O₃

**etalanetugum #**

etalanetug

immunoglobulin G1-kappa, anti-[*Homo sapiens* MAPT (microtubule-associated protein tau, tau)], humanized monoclonal antibody;

	H-gamma1 heavy chain humanized (1-448) [VH (<i>Homo sapiens</i> IGHV3-23*03 (80.6%) -(IGHD) -IGHJ6*01 (90.9%) T123>L (114), CDR-IMGT [8.8.12] (26-33.51-58.97-108)) (1-119) - <i>Homo sapiens</i> IGHG1*01 (100%) G1m17,1 CH1 K120, CH3 D12, L14 (CH1 K120 (216) (120-217), hinge 1-15 (218-232), CH2 (233-342), CH3 D12 (358), L14 (360) (343-447), CHS K2>del (448)) (120-448)], (222-219')-disulfide with L-kappa light chain humanized (1'-219') [V-KAPPA (<i>Homo sapiens</i> IGKV1-39*01 (80.0%) -IGKJ2*02 (100%), CDR-IMGT [11.3.9] (27'-37'.55'-57'.94'-102')) (1'-112') - <i>Homo sapiens</i> IGKC*01 (100%) Km3 A45.1, V101 (C-KAPPA A45.1 (158'), V101 (196')) (113'-219')]; dimer (228-228":231-231")-bisdisulfide, produced in Chinese hamster ovary (CHO) cells, glycoform alfa
éetalanetug	immunoglobuline G1-kappa, anti-[<i>Homo sapiens</i> MAPT (protéine tau associée aux microtubules, tau)]; anticorps monoclonal humanisé; chaîne lourde H-gamma1 humanisée (1-448) [VH (<i>Homo sapiens</i> IGHV3-23*03 (80.6%) -(IGHD) -IGHJ6*01 (90.9%) T123>L (114), CDR-IMGT [8.8.12] (26-33.51-58.97-108)) (1-119) - <i>Homo sapiens</i> IGHG1*01 (100%) G1m17,1 CH1 K120, CH3 D12, L14 (CH1 K120 (216) (120-217), charnière 1-15 (218-232), CH2 (233-342), CH3 D12 (358), L14 (360) (343-447), CHS K2>del (448)) (120-448)], (222-219')-disulfure avec la chaîne légère L-kappa humanisée (1'-219') [V-KAPPA (<i>Homo sapiens</i> IGKV1-39*01 (80.0%) -IGKJ2*02 (100%), CDR-IMGT [11.3.9] (27'-37'.55'-57'.94'-102')) (1'-112') - <i>Homo sapiens</i> IGKC*01 (100%) Km3 A45.1, V101 (C-KAPPA A45.1 (158'), V101 (196')) (113'-219')]; dimère (228-228":231-231")-bisdisulfure, produit dans des cellules ovarianes de hamster chinois (CHO), glycoforme alfa
etalanetug	inmunoglobulina G1-kappa, anti-[<i>Homo sapiens</i> MAPT (proteína tau asociada con los microtúbulos, tau)]; anticuerpo monoclonal humanizado; cadena pesada H-gamma1 humanizada (1-448) [VH (<i>Homo sapiens</i> IGHV3-23*03 (80.6%) -(IGHD) -IGHJ6*01 (90.9%) T123>L (114), CDR-IMGT [8.8.12] (26-33.51-58.97-108)) (1-119) - <i>Homo sapiens</i> IGHG1*01 (100%) G1m17,1 CH1 K120, CH3 D12, L14 (CH1 K120 (216) (120-217), bisagra 1-15 (218-232), CH2 (233-342), CH3 D12 (358), L14 (360) (343-447), CHS K2>del (448)) (120-448)], (222-219')-disulfuro con la cadena ligera L-kappa humanizada (1'-219') [V-KAPPA (<i>Homo sapiens</i> IGKV1-39*01 (80.0%) -IGKJ2*02 (100%), CDR-IMGT [11.3.9] (27'-37'.55'-57'.94'-102')) (1'-112') - <i>Homo sapiens</i> IGKC*01 (100%) Km3 A45.1, V101 (C-KAPPA A45.1 (158'), V101 (196')) (113'-219')]; dímero (228-228":231-231")-bisdisulfuro, producido en las células ováricas de hámster chino (CHO), forma glicosilada alfa

Heavy chain / Chaîne lourde / Cadena pesada
 EVQ~~Q~~LES~~G~~GG LVQP~~G~~GS~~L~~R~~L~~ SCAASGYTFT TYWITWVRQA PGKGLEWVSD 50
 IYPGSSISNY NEKF~~K~~S~~R~~FTI SVDNSKNTLY LQMNSLRAED TAVYYCARED 100
 GYDAWFAYWG QGTLVTVSSA STKGPSVFPL APSSKSTSGG TAALGCLVKD 150
 YFPEPVTVSW N~~S~~GALTSGVH TFFPAVLQSSG LYSLSSVVTV PSSSLGTQTY 200
 ICNVNHKP~~S~~N TRVDK~~K~~VEPK SCDKTHTCF~~P~~ CFAPELLGGP SVFLFPPKPK 250
 DTLMI~~S~~RTP~~E~~ VTCV~~V~~VDVS~~H~~ EDEPEVKFNWY VDGVEVHN~~A~~K TKPREEQYNS 300
 TYR~~V~~SV~~S~~LT~~V~~ LHQDWLNGKE YKCKVSNKAL PAPIEK~~T~~ISK AKGQPREPOV 350
 YTLP~~P~~PSRDEL TKNQVSLTCL VKGFYPSDIA VEWE~~S~~NGQPE NNYK~~T~~PPV~~L~~ 400
 DSDGSFFL~~Y~~S KLTVDKSRWQ QGNVFS~~C~~VM HEALHNHYTQ K~~S~~LSLSPG 448

Light chain / Chaîne légère / Cadena ligera
 DIQMTQSPSS LSASVGRVT ITCR~~S~~QS~~S~~IL HSNGNTYLEW YQQKPGKAPK 50
 LLISKVSNRF SGVPSRFSGS GSGTDFTL~~P~~ SSLQPEDFAT YYCFQGSHVP 100
 FTFGQGT~~K~~LF~~I~~ K~~R~~TV~~A~~APSV FIFPPS~~D~~EQL KSGTASV~~V~~L LNNFYPREAK 150
 VQWKVDNALQ SGNSQES~~V~~TE QDSKD~~S~~TY~~S~~L SSTL~~T~~LSKAD YE~~K~~HKVYACE 200
 VTHQGLSSPV TKS~~F~~NR~~G~~EC 219

Post-translational modifications

Disulfide bridges location / Position des ponts disulfure / Posiciones de los puentes disulfuro
 Intra-H (C23-C104) 22"-96" 146"-202" 263"-323" 369"-427"
 22"-96" 146"-202" 263"-323" 369"-427"
 Intra-L (C23-C104) 23"-93" 139"-199"
 23"-93" 139"-199"
 Inter-H-L (h 5-CL 126) 222"-219" 222"-219"
 Inter-H-H (h 11, h 14) 228"-228" 231"-231"

N-glycosylation sites / Sites de N-glycosylation / Posiciones de N-glicosilación

H CH2 N84:4; 299, 299"

Fucosylated complex bi-antennary CHO-type glycans / glycanes de type CHO bi-antennaires complexes fucosylés / glicanos de tipo CHO biantenarios complejos fucosilados

etivelcabtagenum erigedleucelum

etivelcabtagene erigedleucel

allogeneic T lymphocytes obtained from peripheral blood mononuclear cells by leukapheresis of healthy donors, transduced with a self-inactivating, non-replicating lentiviral vector encoding two chimeric antigen receptors (CAR) in tandem, targeting CD20 and CD22, separated by a P2A peptide. The cells are also genetically modified using transcription activator-like (TAL) effector nucleases, which are transiently delivered into the cells as mRNAs to disrupt the T cell receptor alpha constant (*TRAC*) and CD52 genes. Each of the expressed CAR transgenes comprises a CD8α signal peptide, a single chain variable fragment (scFv) derived from a human monoclonal antibody, a CD8α hinge and transmembrane domain, and 4-1BB (CD137) and CD3ζ (CD247) intracellular costimulatory domains. The two transgenes are separated by a P2A ribosomal skip motif and are under control of the human elongation factor-1 alpha (EF-1α) promoter. The construct is flanked by 5' and 3' long terminal repeats (LTRs) and also contains a ψ packaging signal, a truncated *gag*, a Rev response element (RRE), a central polypyrimidine tract (cPPT) sequence and a mutated Woodchuck hepatitis virus post-transcriptional regulatory element (WPRE). The vector is pseudotyped with vesicular stomatitis virus (VSV) glycoprotein G. The leukapheresis material is activated by CD3 and CD28 agonists and cultured in media containing serum and interleukin 2 (IL-2) prior to being transduced with the vector and expanded. Residual TCRαβ+ lymphocytes are removed by magnetic depletion. The suspension consists primarily of T lymphocytes with ≥30% CAR+, ≥39% CD52- and ≤3.0% TCRαβ+ T lymphocytes. The cells are cytotoxic, proliferate and secrete pro-inflammatory cytokines in response to CD20 and/or CD22-expressing cells.

étilvelcabtagène érigedleucel	<p>lymphocytes T allogéniques obtenus par leucaphérèse, à partir de cellules mononucléées du sang périphérique (CMSP) de donneurs sains, transduits à l'aide d'un vecteur lentiviral auto-inactivant et non réplicatif, codant deux récepteurs antigéniques chimériques (CAR), en tandem, ciblant CD20 et CD22, séparés par un peptide P2A. Les cellules sont également génétiquement modifiées à l'aide de nucléases effectrices de type activateur de transcription (TAL), qui sont transitoirement délivrées dans les cellules sous forme d'ARNm, afin d'effectuer une disruption génique du gène codant la chaîne constante alpha du récepteur des cellules T (<i>TRAC</i>) et des gènes CD52.</p> <p>Chacun des transgènes CAR exprimés comprend un peptide signal CD8α, et un fragment variable à chaîne unique (scFv) dérivé d'un anticorps monoclonal humain, une région charnière et transmembranaire CD8α, un domaine co-stimulant 4-1BB (CD137) et un domaine co-stimulant CD3ζ (CD247). Les deux transgènes sont séparés par un motif P2A de saut ribosomique et sous contrôle du promoteur du facteur d'elongation -1 alpha (EF-1α). La construction est flanquée, en 5' et 3', de répétitions terminales longues (LTR) et contient également un signal d'encapsidation ψ, une partie du gène <i>gag</i> du VIH, un élément de réponse Rev (RRE), une séquence centrale du tractus polypurine (cPPT), et un élément régulateur posttranscriptionnel du virus de l'hépatite de la marmotte (WPRE). Le vecteur est pseudotypé avec la glycoprotéine G du virus de la stomatite vésiculaire (VSV).</p> <p>Le matériel de la leucaphorèse est activé par les agonistes CD3 et CD28, et cultivé dans un milieu contenant du sérum et de l'interleukine-2 (IL-2), avant d'être transduit par le vecteur et mis en expansion. Les lymphocytes TCRqβ+ résiduels sont éliminés par déplétion magnétique. La suspension est constituée principalement de lymphocytes T avec ≥30% de CAR+, ≥39% de CD52 et ≤3.0% de TCRqβ+. Les cellules sont cytotoxiques, prolifèrent et sécrètent des cytokines proinflammatoires en réponse aux cellules exprimant le CD20 et/ou le CD22</p>
etivelcabtagén erigedleucel	<p>linfocitos T alogénicos obtenidos de células mononucleares de sangre periférica mediante leucoaféresis de donantes sanos, transducidos con un vector lentiviral no replicativo, auto inactivante, que codifica para dos receptores de antígenos químéricos (CAR) en tandem, dirigidos a CD20 y CD22, separados por un péptido P2A. Las células también se modifican genéticamente usando nucleasas efectoras similares al activador de la transcripción (TAL) que se administran transitoriamente a la célula en forma de ARNm para la ruptura de los genes de la cadena constante alfa del receptor de linfocitos T (<i>TRAC</i>) y de CD52.</p> <p>Cada uno de los transgenes CAR expresado contiene un péptido señal CD8α, un fragmento variable de cadena sencilla (scFv) derivado de un anticuerpo monoclonal humano, un dominio bisagra y transmembrana de CD8α y dominios coestimuladores intracelulares de 4-1BB (CD137) y de CD3ζ (CD247). Los dos transgenes están separados por un motivo de salto ribosómico P2A y están bajo el control del promotor del factor de elongación-1 alfa (EF-1α) humano. El constructo</p>

está flanqueado por repeticiones terminales largas (LTRs) en 5' y 3' y también contiene una señal de empaquetamiento ψ, un gag truncado, un elemento de respuesta Rev (RRE), una secuencia de tracto de polipurina central (cPPT) y un elemento regulador post-transcripcional del virus de la hepatitis de la marmota (WPRE) mutado. El vector está seudotipado con la glicoproteína G del virus de la estomatitis vesicular (VSV).

El material de leucoaféresis se activa con agonistas de CD3 y CD28 y se cultiva en medio que contiene suero e interleuquina 2 (IL-2) antes de ser transducido con el vector y expandido. Los linfocitos TCR $\alpha\beta$ + residuales se eliminan mediante depleción magnética. La suspensión consiste principalmente en linfocitos T con ≥30% CAR+, ≥39% CD52- y ≤3.0% de linfocitos T TCR $\alpha\beta$ +. Las células son citotóxicas, proliferan y secretan citoquinas pro-inflamatorias en respuesta a células que expresan CD20 y/o CD22.

evategrelum

evategrel

(Z)-[(4R)-1-[(1S)-1-(2-chlorophenyl)-2-methoxy-2-oxoethyl]-4-{{[({{(propan-2-yl)oxy}carbonyl}oxy)methyl]sulfanyl}piperidin-3-ylidene]acetic acid

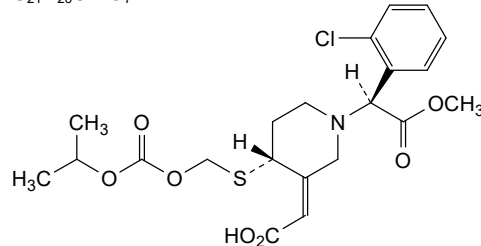
évatégrél

acide (Z)-[(4R)-1-[(1S)-1-(2-chlorophényl)-2-méthoxy-2-oxoéthyl]-4-{{[({{(propan-2-yl)oxy}carbonyl}oxy)méthyl]sulfanyl}pipéridin-3-ylidène]acétique

evategrel

ácido (Z)-[(4R)-1-[(1S)-1-(2-clorofenil)-2-metoxi-2-oxoetil]-4-{{[({{(propan-2-yl)oxi}carbonil}oxi)metyl]sulfanil}piperidin-3-ylideno]acético

C₂₁H₂₆CINO₇S



evetifatorum

evetifator

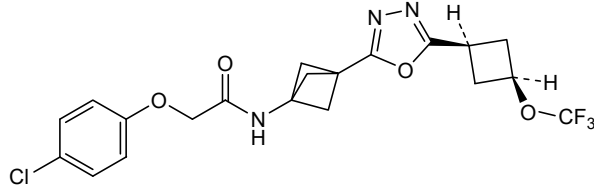
2-(4-chlorophenoxy)-N-(3-{5-[(1s,3s)-3-(trifluoromethoxy)cyclobutyl]-1,3,4-oxadiazol-2-yl}bicyclo[1.1.1]pentan-1-yl)acetamide

évétifator

2-(4-chlorophénoxy)-N-(3-{5-[(1s,3s)-3-(trifluorométhoxy)cyclobutyl]-1,3,4-oxadiazol-2-yl}bicyclo[1.1.1]pentan-1-yl)acétamide

evetifator

2-(4-clorofenoxi)-N-(3-{5-[(1s,3s)-3-(trifluorometoxi)ciclobutil]-1,3,4-oxadiazol-2-yl}biciclo[1.1.1]pentan-1-il)acetamida

**fanregratinib**

fanregratinib

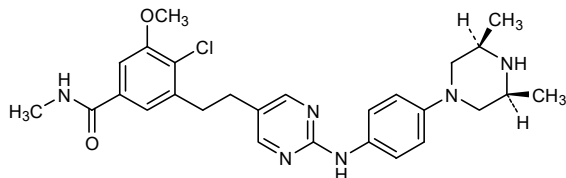
($1^{3}R,1^{5}S$)- 7^6 -chloro- 7^5 -methoxy- $N,1^3,1^{5}$ -trimethyl-3-aza-4(2,5)-pyrimidina-1(1)-piperazina-2(1,4),7(1)-dibenzaheptaphane- 7^3 -carboxamide

fanrégratinib

($1^{3}R,1^{5}S$)- 7^6 -chloro- 7^5 -méthoxy- $N,1^3,1^{5}$ -triméthyl-3-aza-4(2,5)-pyrimidina-1(1)-pipérazina-2(1,4),7(1)-dibenzénaheptaphane- 7^3 -carboxamide

fanregratinib

($1^{3}R,1^{5}S$)- 7^6 -cloro- $N,1^3,1^{5}$ -trimetil- 7^5 -metoxi-3-aza-4(2,5)-pirimidina-1(1)-piperazina-2(1,4),7(1)-dibencenaheptafano- 7^3 -carboxamida

**felmetatugum #**

felmetatug

immunoglobulin G1-kappa, anti-[*Homo sapiens* VTCN1(V-set domain containing T cell activation inhibitor 1, B7 family member H4, B7H4, B7-H4)], *Homo sapiens* monoclonal antibody;

H-gamma1 heavy chain *Homo sapiens* (1-450) [VH (*Homo sapiens* IGHV4-39*01 (96.0%) -(IGHD) -IGHJ5*02 (93.8%), CDR-IMGT [10.7.12] (26-35.53-59.98-109)) (1-120) -*Homo sapiens* IGHG1*01 (100%) G1m17,1 CH1 K120, CH3 D12, L14 (CH1 K120 (217) (121-218), hinge 1-15 (219-233), CH2 (234-343), CH3 D12 (359), L14 (361) (344-448), CHS (449-450)) (121-450)], (223-214')-disulfide with L-kappa light chain *Homo sapiens* (1'-214') [V-KAPPA (*Homo sapiens* IGKV3-15*01 (96.8%) -IGKJ4*01 (91.7%), CDR-IMGT [6.3.9] (27'-32'.50'-52'.89'-97')) (1'-107') -*Homo sapiens* IGKC*01 (100%) Km3 A45.1, V101 (C-KAPPA A45.1 (153'), V101 (191')) (108'-214')]; dimer (229-229"-232-232")-bisdisulfide, produced in Chinese hamster ovary (CHO) cells, cell line CHO-DG44, glycoform alfa

felmétatug

immunoglobuline G1-kappa, anti-[*Homo sapiens* VTCN1 (inhibiteur 1 de l'activation des cellules T contenant un domaine V-like, membre H4 de la famille B7, B7H4, B7-H4)], anticorps monoclonal *Homo sapiens*;

chaîne lourde H-gamma1 *Homo sapiens* (1-450) [VH (*Homo sapiens* IGHV4-39*01 (96.0%) -(IGHD) -IGHJ5*02 (93.8%), CDR-IMGT [10.7.12] (26-35.53-59.98-109)) (1-120) -*Homo sapiens* IGHG1*01 (100%) G1m17.1 CH1 K120, CH3 D12, L14 (CH1 K120 (217) (121-218), charnière 1-15 (219-233), CH2 (234-343), CH3 D12 (359), L14 (361) (344-448), CHS (449-450)) (121-450)], (223-214')-disulfure avec la chaîne légère L-kappa *Homo sapiens* (1'-214') [V-KAPPA (*Homo sapiens* IGKV3-15*01 (96.8%) -IGKJ4*01 (91.7%), CDR-IMGT [6.3.9] (27'-32'.50'-52'.89'-97')) (1'-107') -*Homo sapiens* IGKC*01 (100%), Km3 A45.1, V101 (C-KAPPA A45.1 (153'), V101 (191')) (108'-214')]; dimère (229-229":232-232")-bisdisulfure, produit dans des cellules ovarianes de hamster chinois (CHO), lignée cellulaire CHO-DG44, glycoforme alfa

felmetatug

inmunoglobulina G1-kappa, anti-[*Homo sapiens* VTCN1 (inhibidor 1 de la activación de las células T que contienen un dominio V-like, miembro H4 de la familia B7, B7H4, B7-H4)], anticuerpo monoclonal *Homo sapiens*; cadena pesada H-gamma1 *Homo sapiens* (1-450) [VH (*Homo sapiens* IGHV4-39*01 (96.0%) -(IGHD) -IGHJ5*02 (93.8%), CDR-IMGT [10.7.12] (26-35.53-59.98-109)) (1-120) -*Homo sapiens* IGHG1*01 (100%) G1m17.1 CH1 K120, CH3 D12, L14 (CH1 K120 (217) (121-218), bisagra 1-15 (219-233), CH2 (234-343), CH3 D12 (359), L14 (361) (344-448), CHS (449-450)) (121-450)], (223-214')-disulfuro con la cadena ligera L-kappa *Homo sapiens* (1'-214') [V-KAPPA (*Homo sapiens* IGKV3-15*01 (96.8%) -IGKJ4*01 (91.7%), CDR-IMGT [6.3.9] (27'-32'.50'-52'.89'-97')) (1'-107') -*Homo sapiens* IGKC*01 (100%), Km3 A45.1, V101 (C-KAPPA A45.1 (153'), V101 (191')) (108'-214')]; dímero (229-229":232-232")-bisdisulfuro, producido en las células ováricas de hámster chino (CHO), línea celular CHO-DG44, forma glicosilada alfa

Heavy chain / Chaîne lourde / Cadena pesada

QLQLQESGPQ LVKPSSETLSL TCTVSGGSIK SGSYWGWIR QPPGKGLEWI 50
GNIYYSGSTY YNPSLRSRVT ISVDTSKNQF SLKLSSVTA DTAVYVCARE 100
GSYPNQFDPW GQGTLLVTSS ASTKGPSVFP LAPSSKSTSG GTAALGCLVK 150
DYFPEPVTVS WNSGALTSGV HTFPAVLQSS GLYSLSVVTT VPSSSLGTQT 200
YICNVNHPKS NTKVDDKKVEP KSCDKTHTCP PCPAPELLGG PSVFLFPKPK 250
KDITLMISRTP EVTCKVVVDVS HEDEPVKEFNW YVDGEVHNNA KTKPREEQYN 300
STYRVSVLT VLHQDWLNKG EYKCKVSNKA LPAPIEKTTIS KAKGQPREFQ 350
VYTLPPSRDE LTKNQVSLTC LVKGFYPSDI AVEWESNGQP ENNYKTTTFPV 400
LDSDGSSFLY SKLTVDKSRW QQGNVFSCSV MHEALHNHYT QKSLSSLSPGK 450

Light chain / Chaîne légère / Cadena ligera

EIVMTQSPAT LSVPGERAT LSCRASQSVS SNLAWYQQKP GQAPRLLIYG 50
ASTRATGIPA RFSGSGSGTE FTLTISSSLQS EDFAVYYCQQ YHSFFTFTFGG 100
GTVKEIKRTV AAPSVFIFPP SDEQLKSGTA SVVCLLNFFY PREAKVQNKV 150
DNALQSGNSQ ESVTEQDSKD STYSLSSTLT LSKADYEKHK VYACEVTHQG 200
LSSPVTKSFN RGEC 214

Post-translational modifications

Disulfide bridges location / Position des ponts disulfure / Posiciones de los puentes disulfuro
Intra-H (C23-C104) 22"-97" 147-203" 264-324" 370-428"
22"-97" 147"-203" 264"-324" 370"-428"
Intra-L (C23-C104) 23"-88" 134"-194"
23"-88"" 134"-194""
Inter-H-L (h 5-CL 126) 223-214" 223"-214"
Inter-H-H (h 11, h 14) 229-229" 232-232"

N-terminal glutaminyl cyclization / Cyclisation du glutaminyle N-terminal / Ciclación del glutamínilo N-terminal

Q > pyroglutamyl (pE, 5-oxoprolyl) / pyroglutamyle (pE, 5-oxoprolyle) / piroglutamilo (pE, 5-oxoprolilo)
H VH Q1: 1, 1"

N-glycosylation sites / Sites de N-glycosylation / Posiciones de N-glicosilación

H CH2 N84.4: 300, 300"
Fucosylated complex bi-antennary CHO-type glycans / glycanes de type CHO bi-antennaires complexes fucosylés / glicanos de tipo CHO biantenarios complejos fucosilados

C-terminal lysine clipping / Coupe de la lysine C-terminale / Recorte de lisina C-terminal
H CHS K2: 450, 450"

felmetatugum vedotinum #

felmetatug vedotin

immunoglobulin G1-kappa, anti-[*Homo sapiens* VTCN1 (V-set domain containing T cell activation inhibitor 1, B7 family member H4, B7H4, B7-H4)], *Homo sapiens* monoclonal antibody, conjugated on an average of four cysteinyl residues to *vedotin*, comprising a cleavable linker and monomethylauristatin E (MMAE); H-gamma1 heavy chain *Homo sapiens* (1-450) [VH (*Homo sapiens* IGHV4-39*01 (96.0%) -(IGHD) - IGHJ5*02 (93.8%), CDR-IMGT [10.7.12] (26-35.53-59.98-109)) (1-120) -*Homo sapiens* IGHG1*01 (100%) G1m17,1 CH1 K120, CH3 D12, L14 (CH1 K120 (217) (121-218), hinge 1-15 (219-233), CH2 (234-343), CH3 D12 (359), L14 (361) (344-448), CHS (449-450)) (121-450)], (223-214')-disulfide with L-kappa light chain *Homo sapiens* (1'-214') [V-KAPPA (*Homo sapiens* IGKV3-15*01 (96.8%) - IGKJ4*01 (91.7%), CDR-IMGT [6.3.9] (27'-32'.50'-52'.89'-97')) (1'-107') -*Homo sapiens* IGKC*01 (100%) Km3 A45.1, V101 (C-KAPPA A45.1 (153'), V101 (191')) (108'-214')]; dimer (229-229":232-232")-bisdisulfide, produced in Chinese hamster ovary (CHO) cells, cell line CHO-DG44, glycoform alfa; substituted at the sulfur atoms of four L-cysteinyl residues on an average among 223, 229, 232, 214', 223", 229", 232" and 214" with a group consisting of (3RS)-1-(6-[(2S)-1-[(2S)-5-(carbamoylamino)-1-{[(2S)-1-[(2S)-1-[(3R,4S,5S)-1-[(2S)-2-[(1R,2R)-3-[(1S,2R)-1-hydroxy-1-phenylpropan-2-yl]amino)-1-methoxy-2-methyl-3-oxopropyl]pyrrolidin-1-yl]-3-methoxy-5-methyl-1-oxoheptan-4-yl](methyl)amino}-3-methyl-1-oxobutan-2-yl]amino)-3-methyl-1-oxobutan-2-yl](methyl)carbamoyl]oxy)methyl]anilino)-1-oxopentan-2-yl]amino)-3-methyl-1-oxobutan-2-yl]amino}-6-oxohexyl)-2,5-dioxopyrrolidin-3-yl (*vedotin*)

felmétatug védotine

immunoglobuline G1-kappa, anti-[*Homo sapiens* VTCN1 (inhibiteur 1 de l'activation des cellules T contenant un domaine V-like, membre H4 de la famille B7, B7H4, B7-H4)], anticorps monoclonal *Homo sapiens*, conjugué, par quatre résidus cystéinylique en moyenne à la *védotine*, comprenant un linker clivable et monométhylauristatine E (MMAE); chaîne lourde H-gamma1 *Homo sapiens* (1-450) [VH (*Homo sapiens* IGHV4-39*01 (96.0%) -(IGHD) - IGHJ5*02 (93.8%), CDR-IMGT [10.7.12] (26-35.53-59.98-109)) (1-120) -*Homo sapiens* IGHG1*01 (100%) G1m17,1 CH1 K120, CH3 D12, L14 (CH1 K120 (217) (121-218), charnière 1-15 (219-233), CH2 (234-343), CH3 D12 (359), L14 (361) (344-448), CHS (449-450)) (121-450)], (223-214')-disulfure avec

la chaîne légère L-kappa *Homo sapiens* (1'-214') [V-KAPPA (*Homo sapiens* IGKV3-15*01 (96.8%) - IGKJ4*01 (91.7%), CDR-IMGT [6.3.9] (27'-32'.50'-52'.89'-97')) (1'-107') -*Homo sapiens* IGKC*01 (100%) Km3 A45.1, V101 (C-KAPPA A45.1 (153'), V101 (191')) (108'-214')]; dimère (229-229":232-232")-bisisulfure, produit dans des cellules ovarianes de hamster chinois (CHO), lignée cellulaire CHO-DG44, glycoforme alfa; substitué sur l'atome de soufre de quatre résidus L-cystéinyle en moyenne parmi 223, 229, 232, 214', 223", 229", 232" et 214" avec un groupe (3RS)-1-(6-[(2S)-1-[(2S)-5-(carbamoylamino)-1-{4-[(2S)-1-[(3R,4S,5S)-1-[(2S)-2-[(1R,2R)-3-[(1S,2R)-1-hydroxy-1-phénylpropan-2-yl]amino}-1-méthoxy-2-méthyl-3-oxopropyl]pyrrolidin-1-yl]-3-méthoxy-5-méthyl-1-oxoheptan-4-yl](méthyl)amino}-3-méthyl-1-oxobutan-2-yl](méthyl)carbamoyl]oxy)méthyl]anilino}-1-oxopentan-2-yl]amino)-3-méthyl-1-oxobutan-2-yl]amino)-6-oxohexyl)-2,5-dioxopyrrolidin-3-yle (*vedotina*)

felmetatug vedotina

inmunoglobulina G1-kappa, anti-[*Homo sapiens* VTCN1 (inhibidor 1 de la activación de las células T que contiene un comienzo V-like, miembro H4 de la familia B7, B7H4, B7-H4)], anticuerpo monoclonal *Homo sapiens*, conjugado, sobre cuatro residuos cisteínilo por término medio a la *vedotina*, que comprende un enlace escindible y monometilauristatina E (MMAE); cadena pesada H-gamma1 *Homo sapiens* (1-450) [VH (*Homo sapiens*IGHV4-39*01 (96.0%) -(IGHD) - IGHJ5*02 (93.8%), CDR-IMGT [10.7.12] (26-35.53-59.98-109)) (1-120) -*Homo sapiens*IGHG1*01 (100%) G1m17.1 CH1 K120, CH3 D12, L14 (CH1 K120 (217) (121-218), bisagra 1-15 (219-233), CH2 (234-343), CH3 D12 (359), L14 (361) (344-448), CHS (449-450)) (121-450)], (223-214')-disulfuro con la cadena ligera L-kappa *Homo sapiens* (1'-214') [V-KAPPA (*Homo sapiens* IGKV3-15*01 (96.8%) -IGKJ4*01 (91.7%), CDR-IMGT [6.3.9] (27'-32'.50'-52'.89'-97')) (1'-107') -*Homo sapiens* IGKC*01 (100%) Km3 A45.1, V101 (C-KAPPA A45.1 (153'), V101 (191')) (108'-214')]; dimero (229-229":232-232")-bisisulfuro, producido en las células ováricas de hámster chino (CHO), línea celular CHO-DG44, forma glicosilada alfa; sustituido en el átomo de azufre de cuatro residuos L-cisteínilo en una media entre 223, 229, 232, 214', 223", 229", 232" y 214" con un grupo (3RS)-1-(6-[(2S)-1-[(2S)-5-(carbamoylamino)-1-{4-[(2S)-1-[(2S)-1-[(3R,4S,5S)-1-[(2S)-2-[(1R,2R)-3-[(1S,2R)-1-hidroxi-1-fenilpropan-2-yl]amino}-1-metoxi-2-metil-3-oxopropyl]pirrolidin-1-il]-3-metoxi-5-metil-1-oxoheptan-4-il](metil)amino}-3-metil-1-oxobutan-2-yl]amino)-3-metil-1-oxobutan-2-yl](metil)carbamoyl]oxy)metil]anilino}-1-oxopentan-2-yl]amino)-3-metil-1-oxobutan-2-yl]amino)-6-oxohexil)-2,5-dioxopyrrolidin-3-ilo (*vedotina*)

Heavy chain / Chaîne lourde / Cadena pesada

QLQLQESGPG LVKPSETLSL TCTVSGGSIK SGSSYYWGIR QPPGKGLEWI 50
 GNIYYSGSTY YNPSSLRSRVT ISVDTSKNQF SLKLSSVTAA DTAVYYCARE 100
 GSYPNQFDPW QGQTLLTVSS ASTKGPSVFP LAPSSKSTSG GTAALGCLVK 150
 DYFPEPVTVS WNSGALTSGV HTFPAVLQSS GLYSLSVVT VPSSSLQTQ 200
 YICCNVNHKPS NTKVDKKVEP KSCDKTHTCP PCPAPELLGG PSVFLFPKP 250
 KDTLMISRTF EVCVUVVDS HEDEEVKFNW YVDGVEVHNA KTKPREEQYN 300
 STYRVRVSVLT VLHQDWLNK EYKCKVSNKA LPAPIEKTIK KAKGQPREGQ 350
 VYTLPPSRDE LTKNQVSLTC LVKGFYPSDI AVEWESNGQP ENNYKTPPPV 400
 LDSDGSFFLY SKLTVDKSRW QQGNVFSCSV MHEALHNHYT QKSLSLSPGK 450

Light chain / Chaîne légère / Cadena ligera

EIVMTQSPAT LSVPSPERAT LSCRASQSVS SNLAWYQQKP GQAPRLLIYG 50
 ASTRATGIPA RFSGSGSGTE FTIITISSLQS EDFAVYYCQO YHSFPPFFGG 100
 GTKVEIKRTV AAPSVFIFPP SDEQLKSGTA SVVCLNNFY PREAKVQWKV 150
 DNALQSGNSQ ESVEQDSKD STYSLSSLT LSKADYEKHK VYACEVTHQG 200
 LSPPVTKSFN RGEC 214

Post-translational modifications

Disulfide bridges location / Position des ponts disulfure / Posiciones de los puentes disulfuro

Intra-H (C23-C104) 22"-97" 147"-203" 264"-324" 370"-428"
 22"-97" 147"-203" 264"-324" 370"-428"

Intra-L (C23-C104) 23"-88" 134"-194"
 23"-88" 134"-194"

Inter-H-L (h 5-CL 126)* 223-214" 223"-214"

Inter-H-H (h 11, h 14)* 229-229" 232-232"

*At least two of the four inter-chain disulfide bridges are not present, an average of four cysteinyl being conjugated each via a thioether bond to a drug linker.

*Au moins deux des quatre ponts disulfures inter-chaines ne sont pas présents, quatre cystéinyl en moyenne étant chacun conjugué via une liaison thioéther à un linker-principe actif.

*Al menos dos de los cuatro puentes disulfuro inter-catenarios no estan presentes, una media de cuatro cisteinil está conjugada a conectores de principio activo.

N-terminal glutaminyl cyclization / Cyclisation du glutaminy N-terminal / Ciclación del glutamino N-terminal

Q > pyroglutamyl (pE, 5-oxoprolyl) / pyroglutamyle (pE, 5-oxoprolyle) / piroglutamilo (pE, 5-oxoprolilo)

H VH Q1: 1, 1"

N-glycosylation sites / Sites de N-glycosylation / Posiciones de N-glicosilación

H CH2 N84.4: 300, 300"

Fucosylated complex bi-antennary CHO-type glycans / glycanes de tipo CHO bi-antennaires complexes fucosylés / glicanos de tipo CHO biantenarios complejos fucosilados

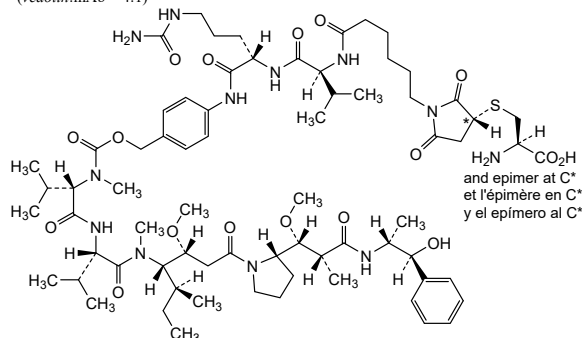
C-terminal lysine clipping / Coupure de la lysine C-terminale / Recorte de lisina C-terminal

H CHS K2: 450, 450"

Potential modified residues / résidus modifiés potentiels / restos modificados potenciales*

C (223, 229, 232, 214", 223", 229", 232", 214")

*(vedotin:mAb ~ 4:1)

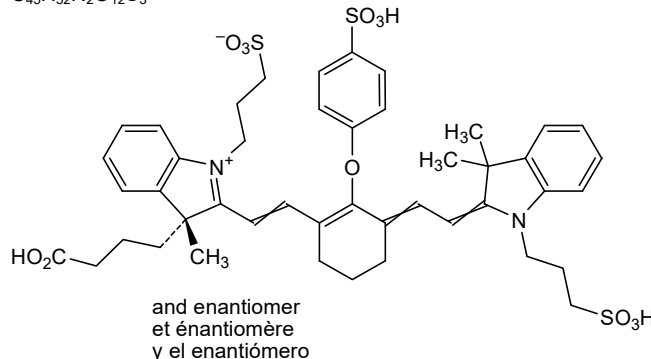
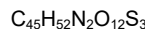


filricianinum
filricianine

rac-[(3RS)-3-(3-carboxypropyl)-2-((1Ξ)-2-[(3Ξ)-3-((2Ξ)-2-[3,3-dimethyl-1-(3-sulfopropyl)-1,3-dihydro-2H-indol-2-ylidene]ethylidene)-2-(4-sulfophenoxy)cyclohex-1-en-1-yl]ethen-1-yl]-3-methyl-3H-indol-1-ium-1-yl]propane-1-sulfonate

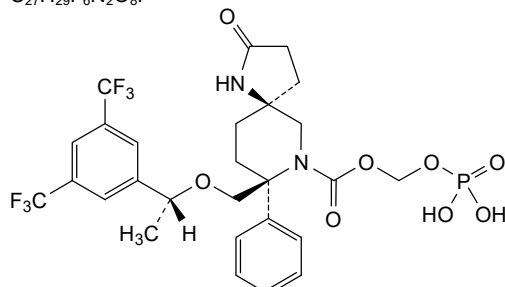
filricianine *rac*-[(*3RS*)-3-(3-carboxypropyl)-2-{(1 Ξ)-2-[{(3 Ξ)-3-{(2 Ξ)-2-[3,3-diméthyl-1-(3-sulfopropyl)-1,3-dihydro-2*H*-indol-2-ylidène]éthylidène}-2-(4-sulfophénoxy)cyclohex-1-én-1-yl]éthén-1-yl]-3-méthyl-3*H*-indol-1-iium-1-yl]propane-1-sulfonate

filricianina *rac*-[(*3RS*)-3-(3-carboxipropil)-2-{(1 Ξ)-2-[{(3 Ξ)-3-{(2 Ξ)-2-[3,3-dimetil-1-(3-sulfopropil)-1,3-dihidro-2*H*-indol-2-ílido]etilideno}-2-(4-sulfofenoxi)ciclohex-1-en-1-il]eten-1-il}-3-metil-3*H*-indol-1-io-1-il]propano-1-sulfonato



fosrolapitantum

- fosrolapitant** (phosphonoxy)methyl (*5S,8S*)-8-{((1*R*)-1-[3,5-bis(trifluoromethyl)phenyl]ethoxy)methyl}-2-oxo-8-phenyl-1,7-diazaspiro[4.5]decane-7-carboxylate
- fosrolapitant** (*5S,8S*)-8-{((1*R*)-1-[3,5-bis(trifluorométhyl)phényl]éthoxy)méthyl}-2-oxo-8-phényl-1,7-diazaspiro[4.5]décane-7-carboxylate de (phosphonoxy)méthyle
- fosrolapitant** (*5S,8S*)-8-{((1*R*)-1-[3,5-bis(trifluorometil)fénil]etoxi)métil}-8-fenil-2-oxo-1,7-diazaespiro[4.5]decano-7-carboxilato de (fosfonooxi)métilo

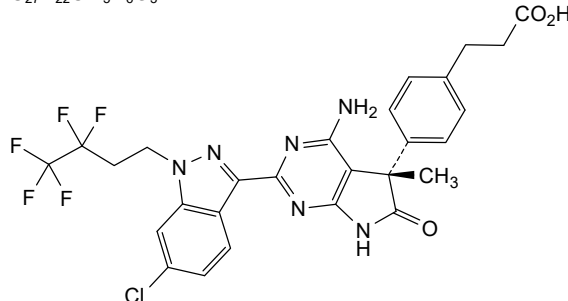


frespaciguatum

- frespaciguat** 3-{(5*S*)-4-amino-2-[6-chloro-1-(3,3,4,4,4-pentafluorobutyl)-1*H*-indazol-3-yl]-5-methyl-6-oxo-6,7-dihydro-5*H*-pyrrolo[2,3-*d*]pyrimidin-5-yl}phenylpropanoic acid

frespaciguat acide 3-{(4S)-4-amino-2-[6-chloro-1-(3,3,4,4,4-pentafluorobutyl)-1H-indazol-3-yl]-5-méthyl-6-oxo-6,7-dihydro-5H-pyrrolo[2,3-d]pyrimidin-5-yl]phényl}propanoïque

frespaciguat ácido 3-{(4S)-4-amino-2-[6-cloro-1-(3,3,4,4,4-pentafluorobutil)-1H-indazol-3-il]-5-metil-6-oxo-5,6-dihidro-1H-pirrolo[2,3-d]pirimidin-5-il}fenil)propanoico



gacovetugum

gacovetug

immunoglobulin A (VH-h-CH2-CH3-CHS) dimer, anti-[F4⁺ enterotoxigenic *Escherichia coli* (ETEC) FaeG (subunit of the major constituent of F4⁺ fimbriae), chimeric camelid-*Sus scrofa* monoclonal antibody, monospecific, bivalent; H-alpha heavy chain chimeric (1-359) [VH (*Vicugna pacos* IGHV3S53*01 (84.5%) -(IGHD) -IGHJ6*01 (90.9%) Q120>K (113), CDR-IMGT [8.7.15] (26-33.51-57.96-110)) (1-121) -*Sus scrofa* IGHA*01 h-CH2-CH3-CHS (100%) (hinge 5-9 (122-126), CH2 (127-228), CH3 (229-339), CHS (340-359)) (122-359)]; dimer (127-127":187-187":197-197")-trisdisulfide, produced in the yeast *Pichia pastoris* (*Komagataella phaffii*), glycoform alfa

gacovétug

immunoglobuline A (VH-h-CH2-CH3-CHS) dimère, anti-[F4⁺ *Escherichia coli* entérotoxinogène (ECET) FaeG (sous-unité du constituant majeur des fimbriae F4⁺), anticorps monoclonal chimérique camélidé-*Sus scrofa*, monospécifique, bivalent; chaîne lourde H-alpha chimérique (1-359) [VH (*Vicugna pacos* IGHV3S53*01 (84.5%) -(IGHD) -IGHJ6*01 (90.9%) Q120>K (113), CDR-IMGT [8.7.15] (26-33.51-57.96-110)) (1-121) -*Sus scrofa* IGHA*01 h-CH2-CH3-CHS (100%) (charnière 5-9 (122-126), CH2 (127-228), CH3 (229-339), CHS (340-359)) (122-359)]; dimère (127-127":187-187":197-197")-trisdisulfure, produit dans la levure *Pichia pastoris* (*Komagataella phaffii*), glycoforme alfa

gacovetug

imunoglobulina A (VH-h-CH2-CH3-CHS) dímero, anti-[F4⁺ *Escherichia coli* enterotoxinógen (ECET) FaeG (subunidad del constituyente mayor de las fimbrias F4⁺), anticuerpo monoclonal químérico camélida-*Sus scrofa*, monoespecífico, bivalente; cadena pesada H-alfa químérica (1-359) [VH (*Vicugna pacos* IGHV3S53*01 (84.5%) -(IGHD) -IGHJ6*01 (90.9%) Q120>K (113), CDR-IMGT [8.7.15] (26-33.51-57.96-110)) (1-121) -*Sus scrofa* IGHA*01 h-CH2-CH3-CHS (100%) (bisagra 5-9 (122-126), CH2 (127-228), CH3 (229-339), CHS (340-359)) (122-359)]; dímero (127-127":187-187":197-197")-trisdisulfuro, producido en la levadura *Pichia pastoris* (*Komagataella phaffii*), forma glicosilada alfa

Heavy chain / Chaîne lourde / Cadena pesada

QVQLQESGGG LVQPGGSLRL SCTASGSISS INAMGWYRQA PGSKREFVAH 50
 ITNTGVTEFEA DSVKGRFTIS RDNAKTPTVDL QMNSLKPEDT AVYYCAATDW 100
 GTLLIKGIDH WGKGQTQTVS SDPCPQCCCP SLSLQPPLALA DLLLGSNASL 150
 TCTLGLKKKS EGVSFTWQPS GGKDAVQASP TRDSCGCYSV SSLPGCADC 200
 WNKGETFSC AAHSELKSAL TATITPKVNV FTRPQVHLLP PPSEELALNE 250
 LVTLTCLVRG FSPKDVLVRW LQGGQELPRD KYLVWESLPE PGQAIPTYAV 300
 TSVLRVDAED WKQGDTFSCM VGHEALPLAF TQKTIIDLAG KPTHVNVSVV 350
 MAEAEGICY 359

Post-translational modifications

Disulfide bridges location / Position des ponts disulfure / Posiciones de los puentes disulfuro
 Intra-H (C23-C104) 22-95' 152-209' 256-319'
 22'-95' 152'-209' 256'-319'
 Intra-H (CH2 1.1-84.3) 128-185'
 128'-185'
 Inter-H-H (CH2 1.2, 85.3, 92) 127-127' 187-187' 197-197'

N-terminal glutaminyl cyclization / Cyclisation du glutaminyle N-terminal / Ciclación del glutaminilo N-terminal
 Q > pyroglutamyl (pE, 5-oxoprolyl) / pyroglutamyle (pE, 5-oxoprolyle) / piroglutamilo (pE, 5-oxoprolilo)
 H VH Q1: 1, 1'

N-glycosylation sites / Sites de N-glycosylation / Posiciones de N-glicosilación
 H CH2 N18: 147, 147'
 H CHS N7: 346, 346'

givilmeranum

givilmeran

messenger RNA (mRNA), 5' capped, encoding codon-optimised human methylmalonyl-coenzyme A mutase (MMUT, MUT, MCM) flanked by 5' and 3' untranslated regions (UTRs) followed by a 3' polyadenylation (polyA) tail and concluded by a 5-nucleotide *Xba*I scar. The 3' UTR contains three microRNA-142 (miR-142) binding sites. Contains *N*¹-methylpseudouridine instead of uridine (*all*-U>m¹Ψ)

givilméran

ARN messenger (ARNm), protégé d'une coiffe en 5', codant la méthylmalonyl-CoA mutase humaine (MMUT, MUT, MCM), aux codons optimisés, flanqué de régions non traduites en 5' et 3' (UTR), suivies d'une queue de polyadénylation (polyA) en 3' et terminées par une cicatrice *Xba*I de 5 nucléotides. La région 3' UTR contient trois sites de liaison du microARN-142 (miARN-142). Contient des *N*¹-methylpseudouridine au lieu de l'uridine (*tout* U>m¹Ψ)

givilmerán

ARN mensajero (ARNm), protegido en 5', que codifica, con codones optimizados, para la metilmalonil-coenzima A mutasa (MMUT, MUT, MCM) humana, flanqueado por regiones sin traducir 5' y 3' (UTRs) seguido de una cola de poliadénilación (poliA) en 3' y concluido con una cicatriz *Xba*I de 5 nucleótidos. La región 3' UTR contiene tres sitios de unión del microARN-142 (miR-142). Contiene *N*¹-metilpseudouridina en lugar de uridina (*todo*-U>m¹Ψ)

glasmacinalum

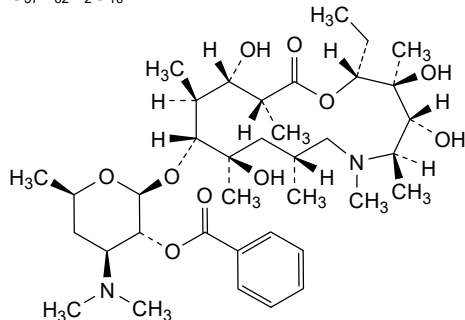
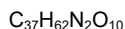
glasmacinal

(2*R*,3*S*,4*R*,5*R*,8*R*,10*R*,11*R*,12*S*,13*S*,14*R*)-11-{[2-O-benzoyl-3,4,6-trideoxy-3-(dimethylamino)-β-D-xylo-hexopyranosyl]oxy}-2-ethyl-3,4,10,13-tetrahydroxy-3,5,6,8,10,12,14-heptamethyl-1-oxa-6-azacyclopentadecan-15-one

glasmacinal

(2*R*,3*S*,4*R*,5*R*,8*R*,10*R*,11*R*,12*S*,13*S*,14*R*)-11-{[2-O-benzoyl-3,4,6-tridésoxy-3-(diméthylamino)-β-D-xylo-hexopyranosyl]oxy}-2-éthyl-3,4,10,13-tétrahydroxy-3,5,6,8,10,12,14-heptaméthyl-1-oxa-6-azacyclopentadécan-15-one

glasmacinal (2*R*,3*S*,4*R*,5*R*,8*R*,10*R*,11*R*,12*S*,13*S*,14*R*)-11-[(2-*O*-benzoi-3,4,6-tridesoxi-3-(dimetilamino)-β-D-*xilo*-hexopiranosi]oxi]-2-etyl-3,4,10,13-tetrahidroxi-3,5,6,8,10,12,14-heptametil-1-oxa-6-azaciclopentadecan-15-ona



gletimbetasinum

gletimbetasin

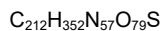
human L-glycyl thymosin beta-4 (TMSB4X, TB4X), produced in *Escherichia coli*; L-glycyl-L-séryl-L-aspartyl-L-lysyl-L-prolyl-L-aspartyl-L-méthionyl-L-alanyl-L-glutamyl-L-isoleucyl-L-glutamyl-L-lysyl-L-phénylalanyl-L-aspartyl-L-lysyl-L-séryl-L-lysyl-L-leucyl-L-lysyl-L-thréonyl-L-glutamyl-L-thréonyl-L-glutaminyl-L-glutamyl-L-lysyl-L-lysyl-L-asparagyl-L-prolyl-L-leucyl-L-prolyl-L-séryl-L-lysyl-L-glutamyl-L-thréonyl-L-isoleucyl-L-glutamyl-L-glutaminyl-L-glutamyl-L-lysyl-L-glutamyl-L-alanyl-L-glycyl-L-glutamyl-L-séryl, produced in *Escherichia coli*

glétimbétasine

L-glycyl thymosine bêta-4 humaine (TMSB4X, TB4X), produite dans *Escherichia coli*; L-glycyl-L-séryl-L-aspartyl-L-lysyl-L-prolyl-L-aspartyl-L-méthionyl-L-alanyl-L-glutamyl-L-isoleucyl-L-glutamyl-L-lysyl-L-phénylalanyl-L-aspartyl-L-lysyl-L-séryl-L-lysyl-L-leucyl-L-lysyl-L-thréonyl-L-glutamyl-L-thréonyl-L-glutaminyl-L-glutamyl-L-lysyl-L-lysyl-L-asparagyl-L-prolyl-L-leucyl-L-prolyl-L-séryl-L-lysyl-L-glutamyl-L-thréonyl-L-isoleucyl-L-glutamyl-L-glutaminyl-L-glutamyl-L-lysyl-L-glutamyl-L-alanyl-L-glycyl-L-glutamyl-L-séryl produit dans des *Escherichia coli*

gletimbetasina

L-glicil timosina beta-4 humana (TMSB4X, TB4X), producido en *Escherichia coli*; L-glicil-L-seril-L-aspartil-L-lisil-L-prolil-L-aspartil-L-metionil-L-alanil-L-glutamil-L-isoleucil-L-glutamil-L-lisil-L-fenilalanil-L-aspartil-L-lisil-L-seril-L-lisil-L-leucil-L-lisil-L-lisil-L-treonil-L-glutamil-L-treonil-L-glutaminil-L-glutamil-L-lisil-L-asparagil-L-prolil-L-leucil-L-prolil-L-seril-L-lisil-L-glutamil-L-treonil-L-isoleucil-L-glutamil-L-glutaminil-L-glutamil-L-lisil-L-glutaminil-L-alanil-L-glicil-L-glutamil-L-seril, producido en *Escherichia coli*



Sequence / Séquence / Secuencia

GSDKPDMAEI EKFDKSKLKK TETQEKNPLP SKETIEQEKO AGES 44

greziprubartum #

greziprubart

immunoglobulin G1-kappa, anti-[*Homo sapiens* C5 (complement 5) anaphylatoxin (C5a, C5 Pr678-751)], *Homo sapiens* monoclonal antibody; H-gamma1 heavy chain *Homo sapiens* (1-449) [VH (*Homo sapiens* IGHV3-72*01 (88.8%) -(IGHD) - IGHJ5*01 (91.7%) T122>V (113), CDR-IMGT [8.10.10] (26-33.51-60.99-108)) (1-119) -*Homo sapiens* IGHG1*03v, G1m3>G1m17, nG1m1 CH1 K120, CH3 E12, M14, G1v14 CH2 A1.3, A1.2 (CH1 R120>K (216) (120-217), hinge 1-15 (218-232), CH2 L1.3>A (236), L1.2>A (237) (233-342), CH3 E12 (358), M14 (360) (343-447), CHS (448-449)) (120-449)], (222-219')-disulfide with L-kappa light chain *Homo sapiens* (1'-219') [V-KAPPA (*Homo sapiens* IGKV2-28*01 (89.0%) -IGKJ2*01 (100%), CDR-IMGT [11.3.9] (27'-37'.55'-57'.94'-102')) (1'-112') -*Homo sapiens* IGKC*01 (100%) Km3 A45.1, V101 (C-KAPPA A45.1 (158'), V101 (196')) (113'-219')]; dimer (228-228":231-231")-bisdisulfide, produced in Chinese hamster ovary (CHO) cells, glycoform alfa

gréziprubart

immunoglobuline G1-kappa, anti-[*Homo sapiens* C5 (complément 5) anaphylatoxine (C5a, C5 Pr678-751)]; anticorps monoclonal *Homo sapiens*; chaîne lourde H-gamma1 *Homo sapiens* (1-449) [VH (*Homo sapiens* IGHV3-72*01 (88.8%) -(IGHD) - IGHJ5*01 (91.7%) T122>V (113), CDR-IMGT [8.10.10] (26-33.51-60.99-108)) (1-119) -*Homo sapiens* IGHG1*03v, G1m3>G1m17, nG1m1 CH1 K120, CH3 E12, M14, G1v14 CH2 A1.3, A1.2 (CH1 R120>K (216) (120-217), charnière 1-15 (218-232), CH2 L1.3>A (236), L1.2>A (237) (233-342), CH3 E12 (358), M14 (360) (343-447), CHS (448-449)) (120-449)], (222-219')-disulfure avec la chaîne légère L-kappa *Homo sapiens* (1'-219') [V-KAPPA (*Homo sapiens* IGKV2-28*01 (89.0%) -IGKJ2*01 (100%), CDR-IMGT [11.3.9] (27'-37'.55'-57'.94'-102')) (1'-112') -*Homo sapiens* IGKC*01 (100%) Km3 A45.1, V101 (C-KAPPA A45.1 (158'), V101 (196')) (113'-219')]; dimère (228-228":231-231")-bisdisulfure, produit dans des cellules ovaries de hamster chinois (CHO), glycoforme alfa

greziprubart

inmunoglobulina G1-kappa, anti-[*Homo sapiens* C5 (complemento 5) anafilitoxina (C5a, C5 Pr678-751)]; anticuerpo monoclonal *Homo sapiens*; cadena pesada H-gamma1 *Homo sapiens* (1-449) [VH (*Homo sapiens* IGHV3-72*01 (88.8%) -(IGHD) - IGHJ5*01 (91.7%) T122>V (113), CDR-IMGT [8.10.10] (26-33.51-60.99-108)) (1-119) -*Homo sapiens* IGHG1*03v, G1m3>G1m17, nG1m1 CH1 K120, CH3 E12, M14, G1v14 CH2 A1.3, A1.2 (CH1 R120>K (216) (120-217), bisagra 1-15 (218-232), CH2 L1.3>A (236), L1.2>A (237) (233-342), CH3 E12 (358), M14 (360) (343-447), CHS (448-449)) (120-449)], (222-219')-disulfuro con la cadena ligera L-kappa *Homo sapiens* (1'-219') [V-KAPPA (*Homo sapiens* IGKV2-28*01 (89.0%) -IGKJ2*01 (100%), CDR-IMGT [11.3.9] (27'-37'.55'-57'.94'-102')) (1'-112') -*Homo sapiens* IGKC*01 (100%) Km3 A45.1, V101 (C-KAPPA A45.1 (158'), V101 (196')) (113'-219')]; dímero (228-228":231-231")-bisdisulfuro, producido en las células ováricas de hámster chino (CHO), forma glicosilada alfa

Heavy chain / Chaîne lourde / Cadena pesada

EMOLIVESGGG LVQPGGSRL SCAASGFTFS DYYMQWVRQA PGKGPEWVGL 50
 IRNKAVGETT QYAASVKGRF TISRDRDSKNS VYLOMNSLKT EDTAVYYCVS 100
 RAGPPGGLSWG QGVLVTVSSA STKGPSVFPL APSSKSTSGG TAALGCLVKD 150
 YFPEPVTVSW NSGALTSGVH TFPAVLQSSG LYSLSSVVTV PSSSLGTQTY 200
 ICNVNHNKPSW TKVDKKVEPK SCDKHTCPP CPAPEAAGGP SVFLFPKP 250
 DTLMISRTPE VTCVVDVSH EDPEVKFNWY VGDEVHNAK TKPREEQYNS 300
 TYRVVSVLTV LHQDWLNGKE YKCKVSNKAL PAPIEKTIISK AKGQPREPQV 350
 YTLPPSREEM TKNQVSLTCL VKGFYPSDIA VEWESNGQPE NNYKTTPPVL 400
 DSDGSFFLYS KLTVDKSRWQ QGNVFSCSVN HEALHNHYTQ KSLSLSPGK 449

Light chain / Chaîne légère / Cadena ligera

DIVMTQSPLS LPVTPGEPAS ISCRSSQSLL ASDAYNYIDW YLQKPGQSPQ 50
 LLIYGGSNRA SGVPDRSGS GSGTDFTLKI SRVEAEVGV YFCQLQHRALP 100
 PTFCQGTKLE IKRTVAAPSV FIFPPSDQEL KSGTASVCL LNNFYPREAK 150
 VQWKVDNALQ SGNSQESVT QEKSKDSTYSL SSTLTLASKD YEHKHVYACE 200
 VTHQGLSSPV TKSFNRGEC 219

Post-translational modifications

Disulfide bridges location / Position des ponts disulfure / Posiciones de los puentes disulfuro

Intra-H (C23-C104) 22-98 146-202 263-323 369-427

22"-98" 146"-202" 263"-323" 369"-427"

Intra-L (C23-C104) 23'-93' 139'-199'

23"-93" 139"-199"

Inter-H-L (h 5-CL 126) 222-219' 222"-219"

Inter-H-H (h 11, h 14) 228-228" 231-231"

N-glycosylation sites / Sites de N-glycosylation / Posiciones de N-glicosilación

H CH2 N84.4: 299, 299"

Fucosylated complex bi-antennary CHO-type glycans / glycanes de tipo CHO bi-antennaires complexes fucosylés / glicanos de tipo CHO biantenarios complejos fucosilados

C-terminal lysine clipping / Coupe de la lysine C-terminale / Recorte de lisina C-terminal
H CHS K2: 449, 449"**gridegalutamidum**

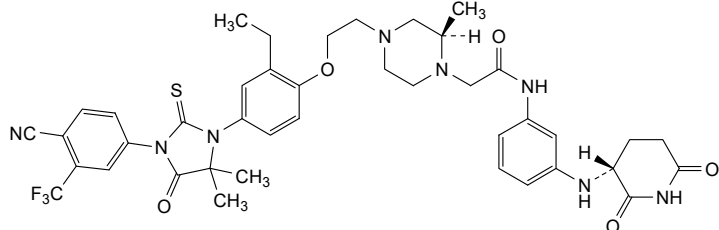
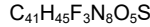
gridegalutamide 2-[(⁷R)-1⁴-cyano-3³-ethyl-2⁴,2⁴,7³-trimethyl-2⁵-oxo-2²-thioxo-1³-trifluoromethyl]-4-oxa-7(1)-piperazina-2(1,3)-imidazolidina-1(1),3(1,4)-dibenzeneheptaphan-7⁴-yl]-N-(3-[(³R)-2,6-dioxopiperidin-3-yl]amino)phenyl)acetamide

gridégalutamide

2-[(⁷R)-1⁴-cyano-3³-éthyl-2⁴,2⁴,7³-triméthyl-2⁵-oxo-2²-thioxo-1³-trifluorométhyl]-4-oxa-7(1)-pipérazina-2(1,3)-imidazolidina-1(1),3(1,4)-dibenzénaheptaphan-7⁴-yl]-N-(3-[(³R)-2,6-dioxopipérnidin-3-yl]amino)phényl)acétamide

gridegalutamida

2-[(⁷R)-1⁴-ciano-3³-etil-2⁴,2⁴,7³-trimetil-2⁵-oxo-2²-tioxo-1³-(trifluorometil)-4-oxa-7(1)-piperazina-2(1,3)-imidazolidina-1(1),3(1,4)-dibenzeneheptafan-7⁴-il]-N-(3-[(³R)-2,6-dioxopiperidin-3-il]amino)fenil)acetamida

**idrebormilastum**

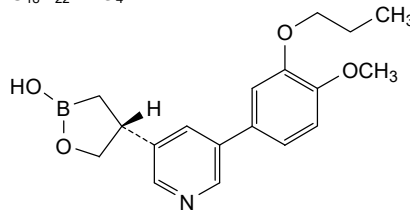
idrebormilast (4R)-4-[5-(4-methoxy-3-propoxyphenyl)pyridin-3-yl]-1,2-oxaborolan-2-ol

idrébormilast

(4R)-4-[5-(4-méthoxy-3-propoxyphényl)pyridin-3-yl]-1,2-oxaborolan-2-ol

idrebormilast

(4R)-4-[5-(4-metoxi-3-propoxifenil)piridin-3-il]-1,2-oxaborolan-2-ol

 $C_{18}H_{22}BNO_4$ **imeroprubartum #**

imeroprubart

immunoglobulin G1-lambda2, anti-[*Homo sapiens* FCGRT (Fc fragment of IgG receptor and transporter, neonatal Fc receptor, FcRn, transmembrane alpha chain of the neonatal receptor)], *Homo sapiens* monoclonal antibody; H-gamma1 heavy chain *Homo sapiens* (1-451) [VH (*Homo sapiens* IGHV3-23*01 (93.9%) -(IGHD) -IGHJ4*01 (93.3%), CDR-IMGT [8.8.14] (26-33.51-58.97-110)) (1-121) -*Homo sapiens*IGHG1*03, G1m3, nG1m1 CH1 R120, CH3 E12, M14, G1v14 CH2 A1.3, A1.2 (CH1 R120 (218) (122-219), hinge 1-15 (220-234), CH2 L1.3>A (238), L1.2>A (239) (235-344), CH3 E12 (360), M14 (362) (345-449), CHS (450-451)) (122-451)], (224-213')-disulfide with L-lambda2 light chain *Homo sapiens* (1'-214') [V-LAMBDA (*Homo sapiens* IGLV3-21*02 (95.8%) -IGLJ2*01 (91.7%), CDR-IMGT [6.3.11] (26'-31'.49'-51'.88'-98')) (1'-108') -*Homo sapiens* IGLC2*01 (100%) (C-LAMBDA2) (109'-214')]; dimer (230-230":233-233")-bisdisulfide, produced in Chinese hamster ovary (CHO) cells, glycoform alfa

iméroprubart

immunoglobuline G1-lambda2, anti-[*Homo sapiens* FCGRT (transporteur et récepteur du fragment Fc des IgG, récepteur Fc néonatal, FcRn, chaîne alpha transmembranaire du récepteur néonatal)], anticorps monoclonal *Homo sapiens*; chaîne lourde H-gamma1 *Homo sapiens* (1-451) [VH (*Homo sapiens* IGHV3-23*01 (93.9%) -(IGHD) -IGHJ4*01 (93.3%), CDR-IMGT [8.8.14] (26-33.51-58.97-110)) (1-121) -*Homo sapiens*IGHG1*03, G1m3, nG1m1 CH1 R120, CH3 E12, M14, G1v14 CH2 A1.3, A1.2 (CH1 R120 (218) (122-219), charnière 1-15 (220-234), CH2 L1.3>A (238), L1.2>A (239) (235-344), CH3 E12 (360), M14 (362) (345-449), CHS (450-451)) (122-451)], (224-213')-disulfure avec la chaîne légère L-lambda2 *Homo sapiens* (1'-214') [V-LAMBDA (*Homo sapiens* IGLV3-21*02 (95.8%) -IGLJ2*01 (91.7%), CDR-IMGT [6.3.11] (26'-31'.49'-51'.88'-98')) (1'-108') -*Homo sapiens* IGLC2*01 (100%) (C-LAMBDA2) (109'-214')]; dimère (230-230":233-233")-bisdisulfure, produit dans des cellules ovariennes de hamster chinois (CHO), glycoforme alfa

imeroprubart

inmunoglobulina G1-lambda2, anti-[*Homo sapiens* FCGRT (transportador y receptor del fragmento Fc de las IgG, receptor Fc neonatal, FcRn, cadena alfa transmembranaria del receptor neonatal)], anticuerpo monoclonal *Homo sapiens*; cadena pesada H-gamma1 *Homo sapiens* (1-451) [VH (*Homo sapiens* IGHV3-23*01 (93.9%) -(IGHD) -IGHJ4*01 (93.3%), CDR-IMGT [8.8.14] (26-33.51-58.97-110)) (1-121) -*Homo sapiens*IGHG1*03, G1m3, nG1m1 CH1 R120, CH3 E12, M14, G1v14 CH2 A1.3, A1.2 (CH1 R120 (218) (122-219), bisagra 1-15 (220-234), CH2 L1.3>A (238), L1.2>A (239)(235-344), CH3 E12 (360), M14 (362) (345-449), CHS (450-451)) (122-451)], (224-213')-disulfuro con la cadena ligera L-lambda2 *Homo sapiens* (1'-214') [V-LAMBDA (*Homo sapiens* IGLV3-21*02 (95.8%) -IGLJ2*01 (91.7%), CDR-IMGT [6.3.11] (26'-31'.49'-51'.88'-98')) (1'-108') -*Homo sapiens* IGLC2*01 (100%) (C-LAMBDA2) (109'-214')]; dímero (230-230":233-233")-bisdisulfuro, producido en las células ováricas de hámster chino (CHO), forma glicosilada alfa

Heavy chain / Chaîne lourde / Cadena pesada
 EVOLLESGGG LVQPGGLRL SCAASEFTFG SSVMTWVRQA PGKGLEWVSV 50
 ISQSGGSTYY ADSVKGRFTI SRDN SKNTLY LQMN SLRAED TAVYYCAKTP 100
 WWLRSPPFDY WCGQTIVTVS SASTKGPSVF PLAPPSKSTS GGTA ALGCLV 150
 KDYFPEPVTV SWNSGALTSG VHTFP AVLQS SGLYSLSSVV TVPSSLGTO 200
 TYICVNHNKP SNTKVDKRVE PKSCDKTHTC PPCPAPEAAG GPSVFLPPK 250
 PKDTLMISR PEVTCVVVDV SHEDPEVKFN WYVGVEVHN AKTKPREEQY 300
 NSTYRVSVL TVLHQDWLNG KEYCKVSNK ALAPIEKTI SKAKGQPREP 350
 QVYTLPPSRE EMTKNQVSLT CLVKGFYPSD IAVEWESENQG PENNYKTTPP 400
 VLDSDGSSFL YSKLTVDKSR WQQGNVFSCS VMHEALHNHY TQKSLSLSPG 450
 K 451

Light chain / Chaîne légère / Cadena ligera
 SYVL TQPPSV SVAPGQTARI TCGGS NIGST SVH WYQQKPG QAPV L VVHDD 50
 SDRPSGIPER FSGS NSGNTA TLTIS RVEAG DEAD YCQVR DSSSDHVIFG 100
 GGT KLTWLGQ PKAAPS VTLF PPSSEELQAN KATLV CLISD FYPGA VTVAW 150
 KADSSP VKAG VETTT PSKQS NNKYAASSYL SLTPEQWKSH RSYS CQVTHE 200
 GST VEKTVAP TECS 214

Post-translational modifications

Disulfide bridges location / Position des ponts disulfure / Posiciones de los puentes disulfuro
 Intra-H (C23-C104) 22"-96" 148"-204" 265"-325" 371"-429"
 22"-96" 148"-204" 265"-325" 371"-429"
 Intra-L (C23-C104) 22"-87" 136"-195"
 22"-87" 136"-195"
 Inter-H-L (h 5-CL 126) 224-213" 224"-213"
 Inter-H-H (h 11, h 14) 230-230" 233-233"

N-glycosylation sites / Sites de N-glycosylation / Posiciones de N-glicosilación
 H CH2 N84.4: 301, 301"
 Fucosylated complex bi-antennary CHO-type glycans / glycanes de type CHO bi-antennaires complexes fucosylés / glicanos de tipo CHO biantenarios complejos fucosilados

C-terminal lysine clipping / Coupe de la lysine C-terminale / Recorte de lisina C-terminal
 H CHS K2: 451, 451"

imneskibartum

imneskibart

immunoglobulin G1-kappa, anti-[*Homo sapiens* IL2 (interleukin 2)],
 humanized monoclonal antibody;
 H-gamma1 heavy chain humanized (1-451) [VH (*Homo sapiens* IGHV1-24*01 (84.5%) -(IGHD) -IGHJ4*01 (92.9%), CDR-IMGT [8.8.14] (26-33.51-58.97-110)) (1-121) -*Homo sapiens* IGHG1*01, G1m17,1 CH1 K120, CH3 D12, L14, G1v14 CH2 A1.3, A1.2 (CH1 K120 (218) (122-219), hinge 1-15 (220-234), CH2 L1.3>A (238), L1.2>A (239) (235-344), CH3 D12 (360), L14 (362) (345-449), CHS (450-451)) (122-451)], (224-220')-disulfide with L-kappa light chain humanized (1'-220') [V-KAPPA (*Homo sapiens* IGKV4-1*01 (88.1%) -IGKJ4*01 (90.9%) G120>A (106'), CDR-IMGT [12.3.9] (27'-38'.56'-58'.95'-103')) (1'-113') -*Homo sapiens* IGKC*01 (100%) Km3 A45.1, V101 (C-KAPPA A45.1 (159'), V101 (197')) (114'-220')]; dimer (230-230":233-233")- bisdisulfide, produced in Chinese hamster ovary (CHO) cells, cell line CHO-K1, glycoform alfa

imneskibart

immunoglobuline G1-kappa, anti-[*Homo sapiens* IL2 (interleukine 2)],
 anticorps monoclonal humanisé;
 chaîne lourde H-gamma1 humanisée (1-451) [VH (*Homo sapiens* IGHV1-24*01 (84.5%) -(IGHD) -IGHJ4*01 (92.9%), CDR-IMGT [8.8.14] (26-33.51-58.97-110)) (1-121) -*Homo sapiens* IGHG1*01, G1m17,1 CH1 K120, CH3 D12, L14, G1v14 CH2 A1.3, A1.2 (CH1 K120 (218) (122-219), charnière 1-15 (220-234), CH2 L1.3>A (238), L1.2>A (239) (235-344), CH3 D12 (360), L14 (362) (345-449), CHS (450-451)) (122-451)], (224-220')-disulfure avec la chaîne légère L-kappa humanisée

(1'-220') [V-KAPPA (*Homo sapiens* IGKV4-1*01 (88.1%) -IGKJ4*01 (90.9%) G120>A (106'), CDR-IMGT [12.3.9] (27'-38'.56'-58'.95'-103')) (1'-113') -*Homo sapiens* IGKC*01 (100%) Km3 A45.1, V101 (C-KAPPA A45.1 (159'), V101 (197')) (114'-220')]; dimère (230"-230":233"-233")-bisdisulfure, produit dans des cellules ovariennes de hamster chinois (CHO), lignée cellulaire CHO-K1, glycoformé alfa

imneskibart

inmunoglobulina G1-kappa, anti-[*Homo sapiens* IL2 (interleukina 2)], anticuerpo monoclonal humanizado; cadena pesada H-gamma1 humanizada (1-451) [VH (*Homo sapiens*IGHV1-24*01 (84.5%) -(IGHD) -IGHJ4*01 (92.9%), CDR-IMGT [8.8.14] (26-33.51-58.97-110)) (1-121) -*Homo sapiens*IGHG1*01, G1m17.1 CH1 K120, CH3 D12, L14, G1v14 CH2 A1.3, A1.2(CH1 K120 (218) (122-219), bisagra 1-15 (220-234), CH2 L1.3>A (238), L1.2>A (239) (235-344), CH3 D12 (360), L14 (362) (345-449), CHS (450-451)) (122-451)], (224-220")-disulfuro con la cadena ligera L-kappa humanizada (1'-220') [V-KAPPA (*Homo sapiens* IGKV4-1*01 (88.1%) -IGKJ4*01 (90.9%) G120>A (106'), CDR-IMGT [12.3.9] (27'-38'.56'-58'.95'-103')) (1'-113') -*Homo sapiens* IGKC*01 (100%) Km3 A45.1, V101 (C-KAPPA A45.1 (159'), V101 (197')) (114'-220')]; dímero (230-230":233-233")-bisdisulfuro, producido en las células ováricas de hamster chino (CHO), línea celular CHO-K1, forma glicosilada alfa

Heavy chain / Chaîne lourde / Cadena pesada

QVQLVQSGAE	VKKPGSSVKV	SCKAGYSIT	DDLIHWVRQA	PGQGLEWMGW	50
IDPEDGETNY	AQKFQGRVTL	TADTSTSTAY	MELSSLRSED	TAVYVCARSL	100
DSTWIYFPAY	WGQGTLVTVS	SASTKGPSVF	PLAPSSKSTS	GTTAALGCLV	150
KDYFFPEPVTV	SWNSGALTSG	VHTFPFAVLQS	SGLYSLSSVV	TVFSSSLGTQ	200
TYICCNVNHKP	SNTKVDKVKVE	PKSCDKTHTC	PCPCPAEEAG	GPSVFLFPK	250
PKDTLMISRT	PEVTCVVVDV	SHEDPEVKFN	WYVDGVEVHN	AKTKPREEQY	300
NSTYRVRSSVT	TVLHQDWLNG	KEYKCKVSNK	ALPAPIEKTI	SKAKGQQPREP	350
QVYTLLPPSRD	ELTKKNQVSLT	CLVKGFYPSD	IAVEWESNGQ	PENNYKTTPP	400
VLDSDGSFFL	YSKLTVDKSR	WQQGNVFSCS	VMHEALHNHY	TQKSLSLSPG	450
K					451

Light chain / Chaîne légère / Cadena ligera

DIVMTQSPDS	LAVSLGERAT	INCKSSQSLL	RRGNQKNHLA	WYQQKPGQPP	50
KLLIYDASTG	QSGVPDRFSG	SGSGTDFLT	ISSLQAEDVA	VYYCLQSYIT	100
PPTFAGATKV	EIKRTVAAPS	VFIFPPSDEQ	LKSGTASVVC	LLNNFYPREA	150
KVQWKVDNAL	QSGNSQESVT	EQDSKDDSTYS	LSSTLTLASKA	DYEKHKVYAC	200
EVTHQGLSSP	VTKSFRNRGEC				220

Post-translational modifications

Disulfide bridges location / Position des ponts disulfure / Posiciones de los puentes disulfuro
Intra-H (C23-C104) 22"-96" 148"-204" 265"-325" 371"-429"

22"-96" 148"-204" 265"-325" 371"-429"
Intra-L (C23-C104) 23"-94" 140"-200"

Inter-H-L (h 5-CL 126) 224-220" 224"-220"

Inter-H-H (h 11, h 14) 230-230" 233-233"

N-terminal glutaminyl cyclization / Cyclisation du glutaminyle N-terminal / Ciclación del glutaminilo N-terminal

Q > pyroglutamyl (pE, 5-oxoprolyl) / pyroglutamyle (pE, 5-oxoprolyle) / piroglutamilo (pE, 5-oxoproliolo)
H VH Q1: I, I"

N-glycosylation sites / Sites de N-glycosylation / Posiciones de N-glicosilación
H CH2 N84.4: 301, 301"

Fucosylated complex bi-antennary CHO-type glycans / glycanes de type CHO bi-antennaires complexes fucosylés / glicanos de tipo CHO biantenarios complejos fucosilados

C-terminal lysine clipping / Coupure de la lysine C-terminale / Recorte de lisina C-terminal
H CHS K2: 451, 451"

imzokitugum #

imzokitug

immunoglobulin G1-kappa, anti-[*Homo sapiens* CCR8 (C-C motif chemokine receptor 8, CKR-L1, CDw198)], humanized monoclonal antibody;
 H-gamma1 heavy chain humanized (1-445) [VH (*Homo sapiens*IGHV1-2*06 (85.7%) -(IGHD) -IGHJ4*01 (100%), CDR-IMGT [8.8.9] (26-33.51-58.97-105)) (1-116) -*Homo sapiens*IGHG1*03 (100%) G1m3, nG1m1 CH1 R120, CH3 E12, M14 (CH1 R120 (213) (117-214), hinge 1-15 (215-229), CH2 (230-339), CH3 E12 (355), M14 (357) (340-444), CHS K2>del (445)) (117-445)], (219-219')-disulfide with L-kappa light chain humanized (1'-219') [V-KAPPA (*Homo sapiens*IGKV2D-29*01 (90.0%) -IGKJ2*01 (100%), CDR-IMGT [11.3.9] (27'-37'-55'-57'-94'-102')) (1'-112') -*Homo sapiens*IGKC*01 (100%) Km3 A45.1, V101 (C-KAPPA A45.1 (158'), V101 (196')) (113'-219')]; dimer (225-225":228-228")-bisdisulfide, produced in Chinese hamster ovary (CHO) cells, derived from the cell line CHO-K1, lacking the glutamine synthetase (GS-KO) gene and α 1,6-fucosyltransferase (FUT8-KO) gene, glycoform alfa

imzokitug

immunoglobuline G1-kappa, anti-[*Homo sapiens* CCR8 (récepteur 8 de chimiokine C-C motif, CKR-L1, CDw198)]; anticorps monoclonal humanisé;
 chaîne lourde H-gamma1 humanisée (1-445) [VH (*Homo sapiens*IGHV1-2*06 (85.7%) -(IGHD) -IGHJ4*01 (100%), CDR-IMGT [8.8.9] (26-33.51-58.97-105)) (1-116) -*Homo sapiens*IGHG1*03 (100%), G1m3, nG1m1 CH1 R120, CH3 E12, M14 (CH1 R120 (213) (117-214), charnière 1-15 (215-229), CH2 (230-339), CH3 E12 (355), M14 (357) (340-444), CHS K2>del (445)) (117-445)], (219-219')-disulfure avec la chaîne légère L-kappa humanisée (1'-219') [V-KAPPA (*Homo sapiens*IGKV2D-29*01 (90.0%) -IGKJ2*01 (100%), CDR-IMGT [11.3.9] (27'-37'-55'-57'-94'-102')) (1'-112') -*Homo sapiens*IGKC*01 (100%) Km3 A45.1, V101 (C-KAPPA A45.1 (158'), V101 (196')) (113'-219')]; dimère (225-225":228-228")-bisdisulfure, produit dans des cellules ovarianes de hamster chinois (CHO), dérivant de la lignée cellulaire CHO-K1, ne présentant pas les gènes de la glutamine synthétase (GS-KO) et de la α 1,6-fucosyltransférase (FUT8-KO), glycoforme alfa

imzokitug

inmunoglobulina G1-kappa, anti-[*Homo sapiens* CCR8 (receptor 8 de quimicina motivo C-C, CKR-L1, CDw198)]; anticuerpo monoclonal humanizado;
 cadena pesada H-gamma1 humanizada (1-445) [VH (*Homo sapiens*IGHV1-2*06 (85.7%) -(IGHD) -IGHJ4*01 (100%), CDR-IMGT [8.8.9] (26-33.51-58.97-105)) (1-116) -*Homo sapiens*IGHG1*03 (100%), G1m3, nG1m1 CH1 R120, CH3 E12, M14 (CH1 R120 (213) (117-214), bisagra 1-15 (215-229), CH2 (230-339), CH3 E12 (355), M14 (357) (340-444), CHS K2>del (445)) (117-445)], (219-219')-disulfuro con la cadena ligera L-kappa humanizada (1'-219') [V-KAPPA (*Homo sapiens*IGKV2D-29*01 (90.0%) -IGKJ2*01 (100%), CDR-IMGT [11.3.9] (27'-37'-55'-57'-94'-102')) (1'-112') -*Homo sapiens*IGKC*01 (100%) Km3 A45.1, V101 (C-KAPPA A45.1 (158'), V101 (196')) (113'-219')]; dímero (225-225":228-228")-bisdisulfuro, producido en las células ováricas de hámster chino (CHO), línea celular derivada de CHO-K1, en ausencia de los genes de la glutamina sintetasa (GS-KO) y de la α 1,6-fucosiltransferasa (FUT8-KO), forma glicosilada alfa

Heavy chain / Chaîne lourde / Cadena pesada	
QVQLVQSGAE VKKPGAVKV SCKASGYTFT DSEMHWRQA TGQGLEWMGA	50
IQPETGGTAY NQFKARVTM TRDTSISTAY MELSSLRSED TAVYYCARRR	100
RNFDYWQGQT LTVTSSASTK GPSVFFLAPS SKSTSGGTA	150
EPVTWSWNSG ALTSGVHTFP AVLQSSGLYS LSSVVTVPSS SLGTQTYICN	200
VNHKPSNTKV DKRVEPKSCD KTHTCPCPA PELLGGPSVF LFPPPKFKDTL	250
MISRTPEVTC VVVDVSHEDP EVKFNWYVDC VEVHNAKTKP REEQYNSTYR	300
VVSVLTVLHQ DWLNGKEYKC KVSNKALPAP IEKTISKAKG QPREPVYTL	350
PPSREEMTKN QVS LTCLVKVG FYPSDIAVEW ESNQGPENNY KTPPPVLDSD	400
GSFFLYSKLT VDKSRWQQGN VFSCSVMHEA LHNNHYTQKSL SLSPG	445
Light chain / Chaîne légère / Cadena ligera	
DIVMTQTPLS LSVTPPGOPAS ISCRSSOSLF HSSGNTYLHW YLKQPGQPPQ	50
LLIYKVSNRF SGVPDRFSGS GSGTDFTLKI SRVEAEDVGV YYCSQSTHVP	100
FTFGQGTKE IKRTVAAPSV FIFPPPSDEQL KSGTASVVCL LNNFVREAK	150
VQWKVDNALQ SGNSQESVTE QDSKDSTYSL SSTTLTSKAD YEKKHVYACE	200
VTHOGLSSPV TKSFNRGEC	219
Post-translational modifications	
Disulfide bridge location / Position des ponts disulfure / Posiciones de los puentes disulfuro	
Intra-H (C23-C104) 22"-96" 143"-199" 260"-320" 366"-424"	
22"-96" 143"-199" 260"-320" 366"-424"	
Intra-L (C23-C104) 23"-93" 139"-199"	
23"-93" 139"-199"	
Inter-H-L (h 5-CL 126) 219"-219" 219"-219"	
Inter-H-H (h 11, h 14) 225"-225" 228"-228"	
N-terminal glutaminyl cyclization / Cyclisation du glutaminyle N-terminal / Ciclación del glutaminilo N-terminal	
Q> pyroglutamyl (pE, 5-oxoprolyl) / pyroglutamyle (pE, 5-oxopropile) / piroglutamilo (pE, 5-oxoprolilo)	
H VH Q1: 1, 1"	
N-glycosylation sites / Sites de N-glycosylation / Posiciones de N-glicosilación	
H CH2 N84.4: 296, 296"	
Afucosylated complex bi-antennary CHO-type glycans / glycanes de type CHO bi-antennaires complexes afucosyles / glicanos de tipo CHO biantenarios complejos afucosilados	
indemakitugum #	
indemakitug	immunoglobulin G1-lambda1, anti-[<i>Homo sapiens</i>] IFNG (interferon gamma, IFN gamma)], <i>Homo sapiens</i> monoclonal antibody; H-gamma1 heavy chain <i>Homo sapiens</i> (1-453) [VH (<i>Homo sapiens</i>)IGHV3-21*01 (72.4%) -(IGHD) -IGHJ2*01 (100%), CDR-IMGT [8.8.17] (26-33.51-58.97-113)) (1-124) - <i>Homo sapiens</i> IGHG1*03v (100%) G1m3>G1m17, nG1m1 CH1 K120, CH3 E12, M14 (CH1 R120>K (221) (125-222), hinge 1-15 (223-237), CH2 (238-347), CH3 E12 (363), M14 (365) (348-452), CHS K2>del (453)) (125-453)], (227-216')-disulfide with L-lambda1 light chain <i>Homo sapiens</i> (1'-217') [V-LAMBDA (<i>Homo sapiens</i>)IGLV6-57*03 (79.6%) -IGLJ2*01 (91.7%), CDR-IMGT [8.3.10] (26'-33'.51'-53'.92'-101')) (1'-111') - <i>Homo sapiens</i> IGLC1*02 (100%) (C-LAMBDA1) (112'-217')]; dimer (233-233":236-236")-bisdisulfide, produced in Chinese hamster ovary (CHO) cells, cell line CHO-K1 lacking the glutamine synthetase (GS-KO) gene, glycoform alpha
indémakitug	immunoglobuline G1-lambda1, anti-[<i>Homo sapiens</i>] IFNG (interféron gamma, IFN gamma)], anticorps monoclonal <i>Homo sapiens</i> ; chaîne lourde H-gamma1 <i>Homo sapiens</i> (1-453) [VH (<i>Homo sapiens</i>)IGHV3-21*01 (72.4%) -(IGHD) -IGHJ2*01 (100%), CDR-IMGT [8.8.17] (26-33.51-58.97-113)) (1-124) - <i>Homo sapiens</i> IGHG1*03v (100%) G1m3>G1m17, nG1m1 CH1 K120, CH3 E12, M14 (CH1 R120>K (221) (125-222), charnière 1-15 (223-237), CH2 (238-347), CH3 E12 (363), M14 (365) (348-452), CHS K2>del (453)) (125-453)], (227-216')-disulfure avec la chaîne légère L-lambda1 <i>Homo sapiens</i> (1'-1'-217') [V-LAMBDA (<i>Homo sapiens</i>)IGLV6-57*03 (79.6%) -IGLJ2*01 (91.7%), CDR-IMGT [8.3.10] (26'-33'.51'-53'.92'-101')) (1'-111') - <i>Homo sapiens</i> IGLC1*02 (100%) (C-LAMBDA1) (112'-217')]; dimère (233-233":236-236")-bisdisulfure, produit dans des cellules ovarianes de hamster chinois (CHO), lignée cellulaire CHO-K1 ne présentant pas le gène de la glutamine synthétase (GS-KO), glycoforme alfa

indemakitug inmunoglobulina G1-lambda1, anti-[*Homo sapiens*] IFNG (interferón gamma, IFN gamma)], anticuerpo monoclonal *Homo sapiens*: cadena pesada H-gamma1 *Homo sapiens* (1-453) [VH (*Homo sapiens* IGHV3-21*01 (72.4%) -(IGHD) -IGHJ2*01 (100%), CDR-IMGT [8.8.17] (26-33.51-58.97-113)) (1-124) -*Homo sapiens* IGHG1*03v (100%) G1m3>G1m17, nG1m1 CH1 K120, CH3 E12, M14 (CH1 R120>K (221) (125-222), bisagra 1-15 (223-237), CH2 (238-347), CH3 E12 (363), M14 (365) (348-452), CHS K2>del (453)) (125-453)], (227-216')-disulfuro con la cadena ligera L-lambda1 *Homo sapiens* (1'-217') [V-LAMBDA (*Homo sapiens* IGLV6-57*03 (79.6%) -IGLJ2*01 (91.7%), CDR-IMGT [8.3.10] (26'-33'.51'-53'.92'-101')) (1'-111') -*Homo sapiens* IGLC1*02 (100%) (C-LAMBDA1) (112'-217')]; dímero (233-233":236-236")-bisdisulfuro, producido en las células ováricas de hámster chino (CHO), línea celular CHO-K1 en ausencia del gen de la glutamina sintetasa (GS-KO), forma glicosilada alfa

Heavy chain / Chaîne lourde / Cadena pesada

EVQLVESGGG	LVKPGDSLTV	SCVASGFTFS	NYFIHWVRQPA	PGKGLEWVAT	50
ISGRRTKYMFY	SDSLLRGRTFV	SRDNAQNSVY	LHMSSLRGED	TALYYCVRGY	100
DHSDSNSAAD	LLHWGRGTLV	TVSSASTKGP	SFVFLAPSSK	STSGGTAALG	150
CLVKDVFPEP	VTWSWNSGAL	TSGVHTFPAV	LQSSGLYSILS	SVTTVPSSL	200
GTQTYICNVN	HKPSNTKVDK	KVEPKSCDKT	HTCPPCPAPE	LLGGPSVFLF	250
PPKPKDITLM	SRTPEVTCV	VDVSHEDPEV	KFNWYVDGVE	VHNAKTKPRE	300
EQYNSTYRVRV	SVLTVLHQDW	LNGKEYCKV	SNKALPAFIE	KTISKAKGQP	350
REPQVYTLPP	SREEMTKNQV	SLTCLVKGFY	PSDIAVEWES	NGQPENNYKT	400
TPPVLDSDGS	FFLYSKLTVD	KSRWQQGNVF	SCSVMHEALTH	NHYTQKSLSL	450
SPG					453

Light chain / Chaîne légère / Cadena ligera

NFMILTQPLSV	SGYPGKTVI	SCVRSSGSVA	SHYVQWFQQR	PGSAPAMVIY	50
EDSHRPSGIP	DRFGSGVDAS	SNSASALTISG	LKTEDEADYF	CQSYYGNQV	100
LFGGGGTKLTV	LGQPKANPTV	TLFPPPSSEEL	QANKATLVCL	ISDFYPGAVT	150
VAWKADGSPV	KAGVETTKPS	KQSNNKYAAS	SYLSLTPEQW	KSHRSYSCQV	200
THEGSTVEKT	VAPTECS				217

Post-translational modifications

Disulfide bridges location / Position des ponts disulfure / Posiciones de los puentes disulfuro
 Intra-H (C23-C104) 22-96 151-207 268-328 374-432
 22"-96" 151"-207" 268"-328" 374"-432"
 Intra-L (C23-C104) 22"-91" 139"-198"
 22"-91" 139"-198"
 Inter-H-L (h 5-CL 126) 227-216' 227"-216"
 Inter-H-H (h 11, h 14) 233-233" 236-236"

N-glycosylation sites / Sites de N-glycosylation / Posiciones de N-glicosilación

H CH2 N84.4: 304, 304"
 Fucosylated complex bi-antennary CHO-type glycans / glycanes de type CHO bi-antennaires complexes fucosylés / glicanos de tipo CHO biantenarios complejos fucosilados

ingitamig

ingitamig

immunoglobulin (G1_L-kappa)_(G1-scFvkh_L-kappa), anti-[*Homo sapiens* TNFRSF17 (tumor necrosis factor (TNF) receptor superfamily member 17, B cell maturation antigen, BCMA, TNFRSF13A, CD269)], anti-[*Homo sapiens* KLRK1 (killer cell lectin-like receptor K1, NKG2D, KLR, NKG2-D, CD314)], *Homo sapiens* monoclonal antibody, bispecific;
 H-gamma1 heavy chain *Homo sapiens*, anti-TNFRSF17 (1-445) [VH (*Homo sapiens* IGHV3-23*01 (94.9%) -(IGHD) -IGHJ5*01 (93.3%), CDR-IMGT [8.8.9] (26-33.51-58.97-105)) (1-116) -*Homo sapiens* IGHG1*01 G1m17,1 CH1 K120, CH3 D12, L14, G1v75 CH3 C5, G1v90 CH3 E16, W88 (CH1 K120 (213) (117-214), hinge 1-15 (215-229), CH2 (230-339), CH3 Y5>C (348), D12 (355), L14 (357), K16>E (359), K88>W (408) (340-444), CHS K2>del (445)) (117-445)], (219-216')-disulfide with common L-kappa light chain anti-TNFRSF17 *Homo sapiens* (1'-216') [V-KAPPA (*Homo sapiens* IGKV3-20*01 (90.6%) -IGKJ1*01 (91.7%), CDR-IMGT [7.3.10] (27'-33'.51'-53'.90'-99')) (1'-109') -*Homo sapiens* IGKC*01 (100%) Km3 A45.1, V101 (C-KAPPA A45.1 (155'), V101 (193')) (110'-216')];

H-gamma1 heavy chain anti-TNFRSF17 fused to a scFv anti-KLRK1 (1"-702") [H-gamma1 heavy chain anti-TNFRSF17 *Homo sapiens* (1"-445") [VH (*Homo sapiens* IGHV3-23*01 (94.9%) -(IGHD) -IGHJ5*01 (93.3%), CDR-IMGT [8.8.9] (26"-33".51"-58".97"-105")) (1"-116")-*Homo sapiens* IGHG1*01, G1m17,1 CH1 K120, CH3 D12, L14, G1v74 CH3 C10, G1v91 CH3 R3, V84.2, T85.1 (CH1 K120 (213")) (117"-214"), hinge 1-15 (215"-229"), CH2 (230"-339"), CH3 Q3>R (346"), S10>C (353"), D12 (355"), L14 (357"), D84.2>V (398"), F85.1>T (404") (340"-444"), CHS K2>del (445")) (117"-445")] -8-mer (séryl-glycyl-séryl-tétraglycyl-séryl) linker (446"-453") -scFvkh anti-KLRK1 *Homo sapiens* (454"-702") [V-KAPPA (*Homo sapiens* IGKV1-12*01 (97.9%) -IGKJ1*01 (90.9%) Q120>C (553"), CDR-IMGT [6.3.9] (480"-485".503"-505".542"-550")) (454"-560") -20-mer tétrakis(tétraglycyl-séryl) linker (561"-580") -VH (*Homo sapiens* IGHV3-21*01 (99.0%) -IGHD -IGHJ5*02 (100%), CDR-IMGT [8.8.15] (606"-613".631"-638".677"-691")) (581"-702")]]; (219"-216")-disulfide avec la chaîne légère commune L-kappa anti-TNFRSF17 *Homo sapiens* (1"-216") [V-KAPPA (*Homo sapiens* IGKV3-20*01 (90.6%) -IGKJ1*01 (91.7%), CDR-IMGT [7.3.10] (27"-33".51"-53".90"-99")) (1"-109") -*Homo sapiens* IGKC*01 (100%) Km3 A45.1, V101 (C-KAPPA A45.1 (155"), V101 (193")) (110"-216")]; dimer (225-225":228-228":348-353")-trisdisulfide, produit dans une lignée cellulaire des cellules ovaries de hamster chinois (CHO), dérivant de la lignée cellulaire CHO-K1, glycoforme alfa

ingitimig

immunoglobuline (G1_L-kappa)_ (G1_scFvkh_L-kappa), anti-[*Homo sapiens* TNFRSF17 (membre 17 de la super-famille des récepteurs du facteur de nécrose tumorale (TNF), antigène de maturation de cellule B, BCMA, TNFRSF13A, CD269)] et anti-[*Homo sapiens* KLRK1 (récepteur lectine like K1 de cellule tueuse, NKG2D, KLR, NKG2-D, CD314)], anticorps monoclonal *Homo sapiens*, bispécifique; chaîne lourde H-gamma1 *Homo sapiens*, anti-TNFRSF17 (1-445") [VH (*Homo sapiens* IGHV3-23*01 (94.9%) -(IGHD) -IGHJ5*01 (93.3%), CDR-IMGT [8.8.9] (26"-33.51-58.97-105)) (1-116")-*Homo sapiens* IGHG1*01 G1m17,1 CH1 K120, CH3 D12, L14, G1v75 CH3 C5, G1v90 CH3 E16, W88 (CH1 K120 (213")) (117"-214"), charnière 1-15 (215-229), CH2 (230-339), CH3 Y5>C (348), D12 (355), L14 (357), K16>E (359), K88>W (408) (340-444), CHS K2>del (445)) (117"-445")], (219-216")-disulfure avec la chaîne légère commune L-kappa anti-TNFRSF17 *Homo sapiens* (1"-216") [V-KAPPA (*Homo sapiens* IGKV3-20*01 (90.6%) -IGKJ1*01 (91.7%), CDR-IMGT [7.3.10] (27"-33".51"-53".90"-99")) (1"-109") -*Homo sapiens* IGKC*01 (100%) Km3 A45.1, V101 (C-KAPPA A45.1 (155"), V101 (193")) (110"-216")]; chaîne lourde H-gamma1 anti-TNFRSF17 fusionnée à un scFv anti-KLRK1 (1"-702") [chaîne lourde H-gamma1 anti-TNFRSF17 *Homo sapiens* (1"-445") [VH (*Homo sapiens* IGHV3-23*01 (94.9%) -(IGHD) -IGHJ5*01 (93.3%), CDR-IMGT [8.8.9] (26"-33".51"-58".97"-105")) (1"-116")-*Homo sapiens* IGHG1*01 G1m17,1 CH1 K120, CH3 D12, L14, G1v74 CH3 C10, G1v91 CH3 R3, V84.2, T85.1 (CH1 K120 (213")) (117"-214"), charnière 1-15 (215"-229"), CH2 (230"-339"), CH3 Q3>R (346"), S10>C (353"), D12 (355"), L14 (357"), D84.2>V (398"), F85.1>T (404") (340"-444"), CHS K2>del (445")) (117"-445")] -8-mer (séryl-glycyl-séryl-tétraglycyl-séryl) linker (446"-453") -scFvkh anti-KLRK1 *Homo sapiens* (454"-702") [V-KAPPA (*Homo sapiens* IGKV1-12*01 (97.9%) -IGKJ1*01 (90.9%) Q120>C (553"), CDR-IMGT [6.3.9] (480"-485".503"-505".542"-550")) (454"-560") -20-mer tétrakis(tétraglycyl-séryl) linker (561"-580") -VH (*Homo sapiens* IGHV3-21*01 (99.0%) -IGHD -IGHJ5*02 (100%), CDR-IMGT [8.8.15] (606"-613".631"-638".677"-691")) (581"-702")]]; (219"-216")-disulfure avec la chaîne légère commune L-kappa anti-TNFRSF17 *Homo sapiens* (1"-216") [V-KAPPA (*Homo sapiens* IGKV3-20*01 (90.6%) -IGKJ1*01 (91.7%), CDR-IMGT [7.3.10] (27"-33".51"-53".90"-99")) (1"-109") -*Homo sapiens* IGKC*01 (100%) Km3 A45.1, V101 (C-KAPPA A45.1 (155"), V101 (193")) (110"-216")]; dimère (225-225":228-228":348-353")-trisdisulfure, produit dans une lignée cellulaire des cellules ovaries de hamster chinois (CHO), dérivant de la lignée cellulaire CHO-K1, glycoforme alfa

ingitamig inmunoglobulina (G1_L-kappa)_(G1_scFvkh_L-kappa), anti-[*Homo sapiens* TNFRSF17 (miembro 17 de la superfamilia de los receptores del factor de necrosis tumoral (TNF), antígeno de maduración de las células B, BCMA, TNFRSF13A, CD269)] y anti-[*Homo sapiens* KLRK1 (receptor lectina like K1 de células asesinas, NKG2D, KLR, NKG2-D, CD314)], anticuerpo monoclonal *Homo sapiens*, biespecífico; cadena pesada H-gamma1 *Homo sapiens*, anti-TNFRSF17 (1-445) [VH (*Homo sapiens* IGHV3-23*01 (94.9%) -(IGHD) -IGHJ5*01 (93.3%), CDR-IMGT [8.8.9] (26-33.51-58.97-105)) (1-116) -*Homo sapiens* IGHG1*01 G1m17,1 CH1 K120, CH3 D12, L14, G1v75 CH3 C5, G1v90 CH3 E16, W88 (CH1 K120 (213) (117-214), bisagra 1-15 (215-229), CH2 (230-339), CH3 Y5>C (348), D12 (355), L14 (357), K16>E (359), K88>W (408) (340-444), CHS K2>del (445)) (117-445)], (219-216")-disulfuro con la cadena ligera común L-kappa anti-TNFRSF17 *Homo sapiens* (1'-216') [V-KAPPA (*Homo sapiens* IGKV3-20*01 (90.6%) -IGKJ1*01 (91.7%), CDR-IMGT [7.3.10] (27"-33".51"-53".90"-99")) (1'-109') -*Homo sapiens* IGKC*01 (100%) Km3 A45.1, V101 (C-KAPPA A45.1 (155"), V101 (193")) (110"-216')]; cadena pesada H-gamma1 anti-TNFRSF17 fusionada con un scFv anti-KLRK1 (1"-702") [cadena pesada H-gamma1 anti-TNFRSF17 *Homo sapiens* (1"-445") [VH (*Homo sapiens* IGHV3-23*01 (94.9%) -(IGHD) -IGHJ5*01 (93.3%), CDR-IMGT [8.8.9] (26"-33".51"-58".97"-105")) (1"-116") -*Homo sapiens* IGHG1*01 G1m17,1 CH1 K120, CH3 D12, L14, G1v74 CH3 C10, G1v91 CH3 R3, V84.2, T85.1 (CH1 K120 (213") (117"-214"), bisagra 1-15 (215"-229"), CH2 (230"-339"), CH3 Q3>R (346"), S10>C (353"), D12 (355"), L14 (357"), D84.2>V (398"), F85.1>T (404") (340"-444"), CHS K2>del (445")) (117"-445")]-8-mer (seril-glicil-seril-tetraglicil-seril) enlace (446"-453") -scFvkh anti-KLRK1 *Homo sapiens* (454"-702") [V-KAPPA (*Homo sapiens* IGKV1-12*01 (97.9%) -IGKJ1*01 (90.9%) Q120>C (553"), CDR-IMGT [6.3.9] (480"-485".503"-505".542"-550")) (454"-560") -20-mer tetrakis(tetraglicil-seril) enlace (561"-580") -VH (*Homo sapiens* IGHV3-21*01 (99.0%) -IGHD -IGHJ5*02 (100%), CDR-IMGT [8.8.15] (606"-613".631"-638".677"-691")) (581"-702")]]; (219"-216")-disulfuro con la cadena ligera común L-kappa anti-TNFRSF17 *Homo sapiens* (1"-216") [V-KAPPA (*Homo sapiens* IGKV3-20*01 (90.6%) -IGKJ1*01 (91.7%), CDR-IMGT [7.3.10] (27"-33".51"-53".90"-99")) (1"-109") -*Homo sapiens* IGKC*01 (100%) Km3 A45.1, V101 (C-KAPPA A45.1 (155"), V101 (193")) (110"-216")]; dímero (225-225":228-228":348-353")-tridisulfuro, producido en una línea celular de las células ováricas de hámster chino (CHO), línea celular derivada de CHO-K1, forma glicosilada alfa

Heavy chain / Chaîne lourde / Cadena pesada: H-gamma1 anti-TNFRSF17 (H)
EVQLLESGGG LVQPGGSLRL SCAASGFTFS DNAMGWRQA PGKGLEWVSA 50
ISGPGSSTYY ADSVKGRFTI SRDNNSKNTLY LQMNSLRAED TAVYYCAKVL 100
GWFIDYWQGQT LVTVVSSASTK GPSVPFLAPS SKSTSGGTTAA LGCLVKDYFP 150
EPVTWSNNSG ALTSGVHTFP AVLQSSGLYS LSSVVTVPSS SLGTQTYICN 200
VNHKPSNTKV DKKVEPKSCD KTHTCPCCPA PELLGGPSVF LFPPPKFKDTL 250
MISRTPEVTC VVVDVSHEDP EVKFNWYVDG VEVHNAKTKP REEQYNSTYR 300
VVSILTVLHQ DWLNKGKEYKC KVSNKALPAP IEKTISAKAO QPREPVQVTL 350
PPSRDELTEA QVSLTCLVKG FYPSDIAVEW ESNQCPENNY KTPPPVLDSD 400
GSFFFLYSLWT VDKSRWQQGN VFSCSVMHEA LHNHYTQKSL SLSPG 445

Heavy chain / Chaîne lourde / Cadena pesada: fused H-gamma1 anti-TNFRSF17- scFvK1 anti-KLRK1 (H")
EVQLLESGGG LVQPGGSLRL SCAASGFTFS DNAMGWRQA PGKGLEWVSA 50
ISGPGSSTYY ADSVKGRFTI SRDNNSKNTLY LQMNSLRAED TAVYYCAKVL 100
GWFIDYWQGQT LVTVVSSASTK GPSVPFLAPS SKSTSGGTTAA LGCLVKDYFP 150
EPVTWSNNSG ALTSGVHTFP AVLQSSGLYS LSSVVTVPSS SLGTQTYICN 200
VNHKPSNTKV DKKVEPKSCD KTHTCPCCPA PELLGGPSVF LFPPPKFKDTL 250
MISRTPEVTC VVVDVSHEDP EVKFNWYVDG VEVHNAKTKP REEQYNSTYR 300
VVSILTVLHQ DWLNKGKEYKC KVSNKALPAP IEKTISAKAO QPREPVQVTL 350
PPCRDELTQK QVSLTCLVKG FYPSDIAVEW ESNQCPENNY KTPPPVLDSD 400
GSFTLYSKLT VDKSRWQQGN VFSCSVMHEA LHNHYTQKSI SLSPGSNSGG 450
GGSDIQMTQS PSSVSVASVGD RVTITCRASQ GISSLWLAQYQ QRPGKAPKL 500
IYAASSLQSC VPSPRGSGS GTDFITISS LQPEDFATYY CQGVGSFPRT 550
FGCCTKVEIK GGGGGGGGG GGGGGGGGG EQLVESGGG LVKPGGSLRL 600
SCAASGFTFS SYSMNNVRQQA PGKCLEWVSS ISSSSSYIYY ADSVKGRFTI 650
SRDNNAKNSLY LQMNSLRAED TAVYYCARA PMGAAAGWFD PWGQGTLVT 700
SS 702

Light chain / Chaîne légère / Cadena ligera: L-kappa common (L', L")

EIVITQSPGT LSLSGERAT LSCRASQSVS DEYLWYQOK PGOAPRLLIH 50
SASTRATGIP DRFGSGSGT DFTLAIISRL PEPEFAVYQC QYGYPDFTF 100
GQGTKEIJK TVAAPSVFIF PFSDEQLKSG TASVVCCLNN FYPREAKVQW 150
KVDNALQSGN SQESEVTEQDS KDSTYSLSS LTLSKADYEK HKVYACEVTH 200
QGLSSPVTKS FNRGEC 216

Post-translational modifications

Disulfide bridges location / Position des ponts disulfure / Posiciones de los puentes disulfuro
Intra-H (C23-C104) 22°-96° 143°-199° 260°-320° 366°-424°

22°-96° 143°-199° 260°-320° 366°-424°

47°-54° 60°-67°

Intra-H scFv C120 (VL)-C49 (VH) 553°-624°

Intra-L (C23-C104) 23°-89° 136°-196°

23°-89° 136°-196°

Inter-H-L (CH1 10-CL 126) 219°-216° 219°-216°

Inter-H-H (h 8, h 11) 225°-225° 228°-228°

Inter-H-H (CH3 C5-C10)** 348-353°

*engineered additional disulfide bond C120 (VL)-C49 (VH) to stabilize the scFv (variant scFv-v2).

**variants G1v75 (CH3 C5) and G1v74 (CH3 C10) creating an additional inter-H-H disulfide bond.

N-glycosylation sites / Sites de N-glycosylation / Posiciones de N-glicosilación

H CH2 N84.4: 296, 296°

Fucosylated complex bi-antennary CHO-type glycans / glycanes de type CHO bi-antennaires complexes fucosylés / glicanos de tipo CHO biantenarios complejos fucosilados.

intismeranum autogenum

intismeran autogene

messenger RNA (mRNA), 5'-capped, encoding a codon-optimized patient specific concatemer of up to 34 neoantigens designed specifically to each individual patient's tumor mutanome and human leukocyte antigen (HLA) type, further optimized by two additional stop codons, flanked by an artificial 5' untranslated region (UTR) and a 3' UTR derived from the human hemoglobin subunit alpha (HBA1) gene and terminated by a 3' polyadenylation (polyA) tail; contains N¹-methylpseudouridine instead of uridine (*all-U>m1Ψ*)

intisméran autogène

ARN messager (ARNm), protégé d'une coiffe en 5', codant, aux codons optimisés, un concatémère comprenant jusqu'à 34 néoantigènes spécifique pour le patient, conçus spécifiquement pour le mutanome tumoral de chaque patient individuel et le type d'antigène leucocytaire humain (HLA), et encore optimisé par deux codons stop supplémentaires, flanqué d'une région artificielle non traduite (UTR) en 5', et en 3' une UTR dérivée du gène de la sous-unité alpha de l'hémoglobine humaine (HBA1), et terminée par une queue de polyadénylation (polyA) en 3'; contient des N¹- méthylpseudouridines au lieu de l'uridine (*tout U>m1Ψ*)

intismerán autogén

ARN mensajero (ARNm), protegido en 5', que codifica, con codones optimizados, para un concatámero de hasta 34 neoantígenos específicos de paciente diseñado específicamente para el mutanoma del tumor y el tipo de antígeno leucocitario humano (HLA) de cada paciente individual. El constructo se optimiza añadiendo dos codones de terminación adicionales y está flanqueado por una región no traducida (UTR) 5' artificial y una UTR 3' derivada de la subunidad alfa del gen de la hemoglobina humana (HBA1) y terminado por una cola poliadenilación (poliA) en 3'; contiene N¹-metilpseudouridina en lugar de uridina (*todo-U>m¹Ψ*)

ismidenonum

ismidenon

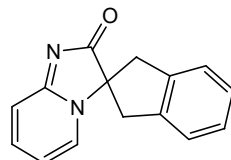
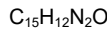
1',3'-dihydro-2H-spiro[imidazo[1,2-a]pyridine-3,2'-inden]-2-one

ismidénon

1',3'-dihydro-2H-spiro[imidazo[1,2-a]pyridine-3,2'-inden]-2-one

ismidenón

1',3'-dihidro-2H-espiro[imidazo[1,2-a]piridina-3,2'-inden]-2-ona



isomiosaminum

isomiosamine

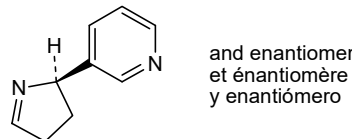
rac-3-[(2*R*)-3,4-dihydro-2*H*-pyrrol-2-yl]pyridine

isomiosamine

rac-3-[(2*R*)-3,4-dihydro-2*H*-pyrrol-2-yl]pyridine

isomiosamina

rac-3-[(2*R*)-3,4-dihidro-2*H*-pirrol-2-il]piridina



istisociclibum

istisociclib

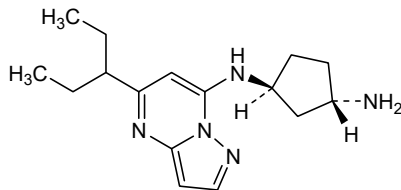
(1*S*,3*S*)-*N*¹-[5-(pentan-3-yl)pyrazolo[1,5-a]pyrimidin-7-yl]cyclopentane-1,3-diamine

istisociclib

(1*S*,3*S*)-*N*¹-[5-(pentan-3-yl)pyrazolo[1,5-a]pyrimidin-7-yl]cyclopentane-1,3-diamine

istisociclib

(1*S*,3*S*)-*N*¹-[5-(pentan-3-il)pirazolo[1,5-a]pirimidin-7-il]ciclopentano-1,3-diamina

**itanistomig #**

itanistomig

immunoglobulin (VH-G1CH1-h)-H-gamma1_L-kappa-L-kappa, anti-[*Homo sapiens* CD274 (programmed cell death 1 ligand 1, PDL1, PD-L1, B7 homolog 1, B7H1, B7-H1, PDCD1LG1)] and anti-[*Homo sapiens* CD47 (CD47 molecule, integrin associated protein, IAP, MER6, OA3)], *Homo sapiens* and humanized monoclonal antibody, bispecific, tetravalent; fused heavy chain (VH anti-CD274 -G1CH1-h)-H-gamma1 anti-CD47 (1-683) [(VH-G1CH1-h) chain anti-CD274, *Homo sapiens* (1-226) [(VH (*Homo sapiens* IGHV1-69*01 (93.9%) -(IGHD) -IGHJ6*01 (93.8%), CDR-IMGT [8.8.16] (26-33.51-58.97-112)) (1-123) -*Homo sapiens* IGHG1*01 CH1-h, G1m17,1CH1 K120 (CH1 K120 (220) (124-221), hinge 1-5 (222-226) (124-226))] -11-mer (GPAPELL-trisglycyl-seryl) linker (227-237) -H-gamma1 anti-CD47, humanized (238-683) [VH (*Homo sapiens* IGHV5-51*01 (89.8%) -IGHD -IGHJ1*01 (100%), CDR-IMGT [8.8.9] (263-270.288-295.334-342)) (238-353)-*Homo sapiens* IGHG1*01 (100%), G1m17,1 CH1 K120, CH3 D12, L14 (CH1 K120 (450) (354-451), hinge 1-15 (452-466), CH2 (467-576), CH3 D12 (592), L14 (594) (577-681), CHS (682-683)) (354-683)]], dimer (226-213'-456-443')-bisdisulfide with fused light chain L-kappa anti-CD274-L-kappa anti-CD47 (1'-443') [L-kappa anti-CD274, *Homo sapiens* (1'-213') [V-KAPPA (*Homo sapiens* IGKV3-11*01 (100%) -IGKJ1*01 (100%), CDR-IMGT [6.3.8] (27'-32'.50'-52'.89'-96')) (1'-106') -*Homo sapiens* IGKC*01 (100%) Km3 A45.1, V101 (C-KAPPA A45.1 (152'), V101 (190')) (107'-213')] -11-mer (GPAPLGL-trisglycyl-seryl) linker (214'-224') -L-kappa anti-CD47, humanized (225'-443') [V-KAPPA (*Homo sapiens* IGKV2-28*01 (92.0%) -IGKJ4*01 (100%), CDR-IMGT [11.3.9] (251'-261'.279'-281'.318'-326')) (225'-336') -*Homo sapiens* IGKC*01 (100%) Km3 A45.1, V101 (C-KAPPA A45.1 (382'), V101 (420')) (337'-443')]]; dimer (462-462":465-465")-bisdisulfide, produced in Chinese hamster ovary (CHO) cells, cell line CHO-K1, glycoform alfa

itanistomig

immunoglobuline (VH-G1CH1-h)-H-gamma1_L-kappa-L-kappa, anti-[*Homo sapiens* CD274 (ligand 1 de mort cellulaire programmée 1, PDL1, PD-L1, B7 homologue 1, B7H1, B7-H1, PDCD1LG1)] et anti-[*Homo sapiens* CD47 (CD47 molécule, protéine associée à l'intégrine, IAP, MER6, OA3)], anticorps monoclonal *Homo sapiens* et humanisé, bispécifique, tétravalent;

	<p>chaîne lourde fusionnée (VH anti-CD274 -G1CH1-h)-H-gamma1 anti-CD47 (1-683) [chaîne (VH-G1CH1-h) anti-CD274, <i>Homo sapiens</i> (1-226) [VH (<i>Homo sapiens</i> IGHV1-69*01 (93.9%) -(IGHD)-IGHJ6*01 (93.8%), CDR-IMGT [8.8.16] (26-33.51-58.97-112)) (1-123)-<i>Homo sapiens</i> IGHG1*01 CH1-h, G1m17,1CH1 K120 (CH1 K120 (220) (124-221), charnière 1-5 (222-226)) (124-226))] -11-mer (GPAPELL-trisglycyl-séryl) linker (227-237) -H-gamma1 anti-CD47, humanisée (238-683) [VH (<i>Homo sapiens</i> IGHV5-51*01 (89.8%) -IGHD -IGHJ1*01 (100%), CDR-IMGT [8.8.9] (263-270.288-295.334-342)) (238-353)-<i>Homo sapiens</i> IGHG1*01 (100%), G1m17,1 CH1 K120, CH3 D12, L14 (CH1 K120 (450) (354-451), charnière 1-15 (452-466), CH2 (467-576), CH3 D12 (592), L14 (594) (577-681), CHS (682-683)) (354-683)]], dimère (226-213':456-443')-bisdisulfure avec la chaîne légère fusionnée L-kappa anti-CD274-L-kappa anti-CD47(1'-443') [chaîne L-kappa anti-CD274, <i>Homo sapiens</i> (1'-213') [V-KAPPA (<i>Homo sapiens</i> IGKV3-11*01 (100%) -IGKJ1*01 (100%), CDR-IMGT [6.3.8] (27'-32'.50'-52'.89'-96')) (1'-106') -<i>Homo sapiens</i> IGKC*01 (100%) Km3 A45.1, V101 (C-KAPPA A45.1 (152'), V101 (190')) (107'-213')] -11-mer (GPAPLGL-trisglycyl-séryl) linker (214'-224') -L-kappa anti-CD47, humanisée (225'-443') [V-KAPPA (<i>Homo sapiens</i> IGKV2-28*01 (92.0%) -IGKJ4*01 (100%), CDR-IMGT [11.3.9] (251'-261'.279'-281'.318'-326')) (225'-336') -<i>Homo sapiens</i> IGKC*01 (100%) Km3 A45.1, V101 (C-KAPPA A45.1 (382'), V101 (420')) (337'-443')]]; dimère (462-462":465-465")-bisdisulfure, produit dans des cellules ovaries de hamster chinois (CHO), lignée cellulaire CHO-K1, glycoformée alfa</p>
itanistomig	<p>inmunoglobulina (VH-G1CH1-h)-H-gamma1_L-kappa-L-kappa, anti-[<i>Homo sapiens</i> CD274 (ligando 1 de muerte celular programada 1, PDL1, PD-L1, B7 homólogo 1, B7H1, B7-H1, PDCD1LG1)] y anti-[<i>Homo sapiens</i> CD47 (CD47 molécula, proteína asociada a la integrina, IAP, MER6, OA3)], anticuerpo monoclonal <i>Homo sapiens</i> y humanizada, biespecífica, tetravalente;</p> <p>cadena pesada fusionada (VH anti-CD274 -G1CH1-h)-H-gamma1 anti-CD47 (1-683) [cadena (VH-G1CH1-h) anti-CD274, <i>Homo sapiens</i> (1-226) [VH (<i>Homo sapiens</i> IGHV1-69*01 (93.9%) -(IGHD)-IGHJ6*01 (93.8%), CDR-IMGT [8.8.16] (26-33.51-58.97-112)) (1-123)-<i>Homo sapiens</i> IGHG1*01 CH1-h, G1m17,1CH1 K120 (CH1 K120 (220) (124-221), bisagra 1-5 (222-226)) (124-226))] -11-mer (GPAPELL-triglicil-séryl) linker (227-237) -H-gamma1 anti-CD47, humanizada (238-683) [VH (<i>Homo sapiens</i> IGHV5-51*01 (89.8%) -IGHD -IGHJ1*01 (100%), CDR-IMGT [8.8.9] (263-270.288-295.334-342)) (238-353)-<i>Homo sapiens</i> IGHG1*01 (100%), G1m17,1 CH1 K120, CH3 D12, L14 (CH1 K120 (450) (354-451), bisagra 1-15 (452-466), CH2 (467-576), CH3 D12 (592), L14 (594) (577-681), CHS (682-683)) (354-683)]], dímero (226-213':456-443')-bisdisulfuro con la cadena ligera fusionada L-kappa anti-CD274-L-kappa anti-CD47(1'-443') [cadena L-kappa anti-CD274, <i>Homo sapiens</i> (1'-213') [V-KAPPA (<i>Homo sapiens</i> IGKV3-11*01 (100%) -IGKJ1*01 (100%), CDR-IMGT [6.3.8] (27'-32'.50'-52'.89'-96')) (1'-106') -<i>Homo sapiens</i> IGKC*01 (100%) Km3 A45.1, V101 (C-KAPPA A45.1 (152'), V101 (190')) (107'-213')] -11-mer (GPAPLGL-triglicil-séryl) linker (214'-224') -L-kappa anti-CD47, humanizada (225'-443') [V-KAPPA (<i>Homo sapiens</i> IGKV2-28*01 (92.0%) -IGKJ4*01 (100%), CDR-IMGT [11.3.9] (251'-261'.279'-281'.318'-326')) (225'-336') -<i>Homo sapiens</i> IGKC*01 (100%) Km3 A45.1, V101 (C-KAPPA A45.1 (382'), V101 (420')) (337'-443')]]; dímero (462-462":465-465")-bisdisulfuro, producido en las células ováricas de hamster chino (CHO), línea celular CHO-K1, forma glicosilada alfa</p>

Heavy chain / Chaîne lourde / Cadena pesada: VH anti-CD274-G1(CH1-h)-H-gamma anti-CD47 (H, H⁺)
 QVQLVQSGAE VKKPGSSVKV SCKTSGDTFS TYAISWVRQA PGQGLEWMGG 50
 TIPIFGKAHY AQKFQGRVTI TADESTSTAY MELSSILRSED TAVYFCARKF 100
 HFVSGSPFGM DVWGQGTTVT VSSASTKGPS VFPLAPS SKS TS GGTAAALGC 150
 LVKDYFPEPV TVWSNSGALT SGVHTFP AFL QSSGLYSLSS VUTVPESSLG 200
 TQTYICNVNH KPSNTKVDKV VEPKSCGP AL LIGGGGSQVQ LVQSGAEVVK 250
 PGE SLKISK GSGYTFPTNY I FWRVQMPGE GLEWMG I INF VDGDNTNNPS 300
 FQGQVITISAD KSISTAYLQW SSLKASD TAM YYCARGGYTM DRWGQGTIVT 350
 VSSASTKGPS VFPLAPS SKS TSGCTAALGC LVKDYFPEPV TVWSNSGALT 400
 SGVHTFP AFL QSSGLYSLSS VVTVPSSSLG TQTYICNVNH KPSNTKVDKV 450
 VE PKSCD KTH TC FP C P A P E L L G G P S V F L F P T Q P K P D T L M I S R T P E V T C V V V 500
 DVSHEDPEVK FNWVYDGVEV HNAKTKPREE QYNSTYRVVS VLTVLHQDWL 550
 NGKEYKCKVS NKA LPAPIEK TISAKGOKP EPQVYTLPPS RDELTKNQVS 600
 LTCLVKGF YP SDIAV E WESN GQPENNYKTT PPVLDSDGSF FLYSKLTVDK 650
 SRWQQGNVFS CSVMHEALHN HYTQKSLSLS PGK 683

Light chain / Chaîne légère / Cadena ligera: L-kappa anti-CD274-L-kappa anti-CD47 (L', L'')
 EIVLTQSPAT LSLSFGGERAT LSCRASQSVS SYLA WYQKPF GQAPRLLIYD 50
 ASN RATGIP A RFSGSGSGTD FT LTIS LEP EDF AVY VCCQ RSNWPTFGQG 100
 TKV EIKRTVA A PSV FIPPS DE QL KSGT AS VV CLINNF YP REAKVQWKVD 150
 NAL QSGN SQE SVTE QDS KDS TY SLS STLT SKADYEKHKV YACEVTHQGL 200
 SSPV TKS FNR GEC GPAP APL GL GGG S DIV MTQ SPL SLP VT PG EPAS IS CR SS 250
 QSL LHS NGYN YLHWYLQKG QSP QL LI KV SNR FSG VPDR FSG SSG GTDF 300
 TLK IS RVE AE DVGVY YCF QN TH T R T F G G T K V E IK RTVA A PSV FIPPS 350
 DE QL KSGT AS VV CLIN NF YP REAKVQWKVD NAL QSGN SQE SVTE QDS KDS 400
 TY SLS STLT SKADYEKHKV YACEVTHQGL SSP VTK SF NR GEC 443

Post-translational modifications

Disulfide bridges location / Position des ponts disulfure / Posiciones de los puentes disulfuro

Intra-H (C23-C104) 22"-96" 150"-206" 259"-333" 380"-436"
 22"-96" 150"-206" 259"-333" 380"-436"
 497"-557" 603"-661"
 497"-557" 603"-661"
 Intra-L (C23-C104) 23"-88" 133"-193" 247"-317" 363"-423"
 23"-88" 133"-193" 247"-317" 363"-423"
 Inter-H-L (CH1 10-CL 126) 226"-213" 456"-443"
 226"-213" 456"-443"
 Inter-H-H (h 8, h 11) 462"-462" 465"-465"

N-terminal glutaminyl cyclization / Cyclisation du glutaminyle N-terminal / Ciclación del glutamino N-terminal

Q > pyroglutamyl (pE, 5-oxoprolyl) / pyroglutamyle (pE, 5-oxoprolyle) / piroglutamilo (pE, 5-oxoprolilo)

H VH Q1: 1, 1"

N-glycosylation sites / Sites de N-glycosylation / Posiciones de N-glicosilación

H CH2 N84.4: 533, 533"

Fucosylated complex bi-antennary CHO-type glycans / glycanes de type CHO bi-antennaires complexes fucosylés / glicanos de tipo CHO biantenarios complejos fucosilados.

C-terminal lysine clipping / Coupe de la lysine C-terminale / Recorte de lisina C-terminal
 H CHS K2: 683, 683"

larnefpendekinum alfa

larnefpendekin alfa

human interleukin-15 (IL-15) fused via a peptide linker to human immunoglobulin G1 constant heavy chain, disulfide-bridged to human immunoglobulin kappa constant light chain fused via a peptide linker to human interleukin-15 receptor subunit alpha (IL-15R-alpha, IL-15RA, CD215);

human interleukin-15 (IL-15) (1-114, 2-115 in the current sequence, D¹>added, variant (N⁷²>D⁷³) fused via peptide linker

¹¹⁶AGG KPGGSAGG¹²⁶ to gamma 1 heavy chain (127-454) [*Homo sapiens* IGHG1*08 (CH1 (127-224), hinge (225-239), CH2 L²⁴³>A, L²⁴⁴>A (240-349), CH3 (350-454), CHS G⁴⁵⁵>del, K⁴⁵⁶>del)], (229-216')-disulfide with kappa light chain (110'-216') [*Homo sapiens* IGKC*01] fused via peptide linker ¹⁰⁴GAEGGG¹⁰⁹ to human interleukin-15 receptor subunit alpha (IL-15R-alpha, IL-15RA, CD215) (1'-103', variant I'¹>D), dimer (235-235":238-238")-bisdisulfide, produced in Chinese hamster ovary (CHO) cells, cell line CHO-S, glycoform alfa

larnefpendékine alfa

interleukine-15 (IL-15) humaine, fusionnée à l'aide d'un coupleur peptidique, à la chaîne lourde constante de l'immunoglobuline G1 humaine, et par un pont disulfure à la chaîne légère constante de l'immunoglobuline kappa humaine, fusionnée par un coupleur peptidique à la sous-unité alpha du récepteur de l'interleukine-15 humaine (IL-15R-alpha, IL-15RA, CD215);

interleukine-15 (IL-15) humaine (1-114,2-115 dans la séquence en cours, addition D1>, variant (N⁷²>D⁷³) fusionnée avec le coupleur peptidique ¹¹⁶AGGKPGGSAGG¹²⁶ à la chaîne lourde de l'immunoglobine G1 (127-454) [*Homo sapiens* IGHG1*08 (CH1 (127-224), charnière (225-239), CH2 L²⁴³>A, L²⁴⁴>A (240-349), CH3 (350-454), CHS G⁴⁵⁵>dél, K⁴⁵⁶>dél)], (229-213')-disulfure avec la chaîne légère kappa (110'-216') [*Homo sapiens* IGKC*01] fusionnée à l'aide du coupleur peptidique ¹⁰⁴GAEGGG¹⁰⁹ à la sous-unité alpha du récepteur de l'interleukine-15 humaine (IL-15R-alpha, IL15RA, CD215) (1'-103', variante I¹'>D), dimère (235-235":238-238")-bisdisulfure, produit dans des cellules ovariennes de hamster chinois (CHO), lignée cellulaire CHO-S, glycoforme alfa

larnefpendekina alfa

interleukina-15 humana (IL-15) fusionada a través de un enlace peptídico a la cadena pesada constante de la inmunoglobulina G1 humana y a través de un puente disulfuro a la cadena ligera constante de la inmunoglobulina kappa humana, fusionada a través de un enlace peptídico a la subunidad alfa del receptor de la interleukina-15 humana (IL-15R-alpha IL-15RA, CD215); interleukina-15 humana (IL-15) (1-114, 2-115 en la secuencia actual, D¹>añadida, variante (N⁷²>D⁷³) fusionada a través de enlace peptídico ¹¹⁶AGGKPGGSAGG¹²⁶ a la cadena pesada gamma 1 (127-454) [*Homo sapiens* IGHG1*08 (CH1 (127-224), bisagra (225-239), CH2 L²⁴³>A, L²⁴⁴>A (240-349), CH3 (350-454), CHS G⁴⁵⁵>del, K⁴⁵⁶>del)], (229-216')-disulfuro con cadena ligera kappa (110'-216') [*Homo sapiens* IGKC*01] fusionada a través de enlace peptídico ¹⁰⁴GAEGGG¹⁰⁹ a la subunidad alfa del receptor de la interleukina-15 humana (IL-15R-alfa IL-15RA, CD215) (1'-103', variante I¹'>D), dímero (235-235":238-238")-bisdisulfuro, producido en células ováricas de hámster Chino (CHO)-S, glicoforma alfa

Sequence / Séquence / Secuencia

IL-15-IgG1 heavy chain

```
DNNVNVISDL KKIEDLIQSE HIDATLYTES DVHPSCKVTA MKCFILLELQV 50
ISLESGDASI HDTVENLLIL ANDLSSSNGN CKEE ELEKENNIKEF 100
LQSFSHVQM FINTSAGGKP GGSAGGASTK GPSVFPLAPS SKSTSGTAA 150
LGCLVKDYFP EPVTVSWNNG ALTVSGVHTFP AVLQQSSGLY LSVVTVPSS 200
SLGTQTYICN VNHKPSNTKV DKRVEPKSCD KTHTCPCPA PEAAGGPSV 250
LFPPKPKDTL MISRTPEVTC VVVDVSHEDP EVKFNWVYWDG VEVHNAKTP 300
REEQYNSTYR VVSVLTVLHQ DWLNKEYKC KVSNKALPAP IEKTISKAKG 350
QFREPQVYTL PPSRDELTKN QVSITCLVKG FYPSDIAVEW ESNQGPENNY 400
KTTTPVLDSD GSFFFLYSKLT VDKSRWQWQGN VFSCSVMHEA LHNHYTQKSL 450
SLSL
```

IL-15 receptor- IgG1 light chain

```
DTCPPPMVSF HADIWWKSYS LYSRERYIYCNS SGFFKRKAGTS SLTECVLNKA 50
TINVAHWTIPS LKCIIRDPAV LQRPAPPSTV TTAGVTPQPE SLSPSGKEPA 100
ASSGAEGGG TVAAPSPVIF PSFDEQLKSG TASVCLLNN FYPREAKVQW 150
KVDNALQSGN SQESVTEQDS KDSTYSLSST LTLSKADYEK HKVYACEVTH 200
QGLSSPVTKS FNRGEC 216
```

Mutations / Mutaciones / Mutaciones

IL-15-IgG1 heavy chain: D¹>added, N⁷²>D⁷³, ²⁴³LL²⁴⁴>AA, ⁴⁵⁵GK⁴⁵⁶>del
IL-15 receptor- IgG1 light chain: I¹'>D

Peptide linker / Peptido liant / Péptido de unión

IL-15-IgG1 heavy chain: ¹¹⁶AGGKPGGSAGG¹²⁶
IL-15 receptor- IgG1 light chain: ¹⁰⁴GAEGGG¹⁰⁹

Post-translational modifications

Disulfide bridges location / Position des ponts disulfure / Posiciones de los puentes disulfuro
Intra IL-15- IgG1 heavy chain: 36-86, 43-89, 153-209, 270-330, 376-434,

36"-86", 43"-89", 153"-209", 270"-330", 376"-434"

Intra IL-15 receptor- IgG1 light chain: 3'-45", 29'-63", 136'-196",
3"-45", 29"-63", 136"-196"

Inter IgG1 heavy chain-heavy chain: 235-235", 238-238"

Inter IgG1 heavy chain-light chain: 229-216", 229"-216"

N-glycosylation sites / Sites de N-glycosylation / Posiciones de N-glicosilación
IL-15-IgG1 heavy chain: N72, N80, N113, N306, N72", N80", N113", N306"

O-glycosylation sites / Sites de O-glycosylation / Posiciones de O-glicosilación
IL-15 receptor- IgG1 light chain: S78, T79", T86", S78", T79", T86"

laroprovstatum

laroprovstat

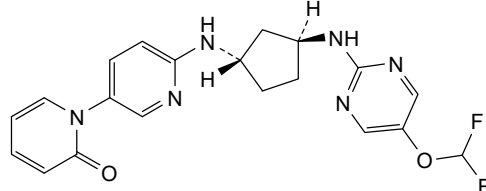
6'-{[(1S,3S)-3-{[5-(difluoromethoxy)pyrimidin-2-yl]amino}cyclopentyl]amino}-2H-[1,3'-bipyridin]-2-one

laroprovstat

6'-{[(1S,3S)-3-{[5-(difluorométhoxy)pyrimidin-2-yl]amino}cyclopentyl]amino}-2H-[1,3'-bipyridin]-2-one

laroprovstat

6'-{[(1S,3S)-3-{[5-(difluorometoxi)pirimidin-2-yl]amino}ciclopentil]amino}-2H-[1,3'-bipiridin]-2-ona

 $C_{20}H_{20}F_2N_6O_2$ **laselipagum**

laselipag

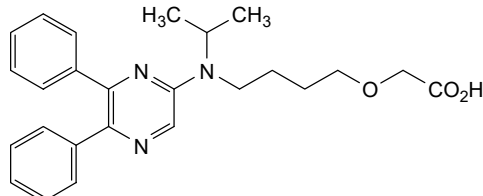
{4-[(5,6-diphenylpyrazin-2-yl)(propan-2-yl)amino]butoxy}acetic acid

lasélipag

acide {4-[(5,6-diphénylpyrazin-2-yl)(propan-2-yl)amino]butoxy}acétique

laselipag

ácido {4-[(5,6-difenilpirazin-2-il)(propan-2-il)amino]butoxi}acético

 $C_{25}H_{29}N_3O_3$ **lasmecabtagenum timgedleucelum #**

lasmecabtagene timgedleucel

allogeneic T lymphocytes obtained from peripheral blood mononuclear cells by leukapheresis of healthy donors, transduced with a self-inactivating, non-replicating lentiviral vector encoding a depletion ligand and a chimeric antigen receptor (CAR) targeting CD22. The cells are also genetically modified using transcription activator-like (TAL) effector nucleases, which are transiently delivered into the cell as mRNAs to disrupt the T cell receptor alpha constant (*TRAC*) and CD52 genes.

The expressed transgene comprises the RQR8 depletion ligand, a T2A ribosomal skip motif and an anti-CD22 CAR, under control of the human elongation factor-1 alpha (EF-1 α) promoter. The RQR8 ligand is a 136 amino acid artificial cell surface protein that combines the antibody-binding epitopes from human CD20 (R) and human CD34 (Q) in the order of R, Q and R, followed by a CD8 α hinge and transmembrane domain. The CAR comprises an anti-CD22 single chain

variable fragment (scFv), a CD8 α hinge and transmembrane domain, and 4-1BB (CD137) and CD3 ζ (CD247) intracellular costimulatory domains. The construct is flanked by 5' and 3' long terminal repeats (LTRs) and also contains a ψ packaging signal, a truncated *gag*, a Rev response element (RRE), a central polypurine tract (cPPT) sequence and a mutated Woodchuck hepatitis virus post-transcriptional regulatory element (WPRE). The vector is pseudotyped with vesicular stomatitis virus (VSV) glycoprotein G.

The leukapheresis material is activated by CD3 and CD28 agonists and transduced with the vector. Residual TCR $\alpha\beta^+$ lymphocytes are removed by magnetic depletion, then cultured in media containing interleukin 2 (IL-2). The suspension consists primarily of T lymphocytes with >30% CAR+ and ≤3.0% TCR $\alpha\beta^+$ T lymphocytes. The cells are cytotoxic and secrete pro-inflammatory cytokines in response to CD22-expressing cells.

lasmécabtagène timgedleucel

lymphocytes T allogéniques obtenus chez des donneurs sains par leucaphérèse, à partir de cellules mononucléées du sang périphérique (CMSP), qui sont transduits avec un vecteur lentiviral auto-inactivant et non réplicatif codant un ligand de déplétion et un récepteur antigénique chimérique (CAR) ciblant le CD22. Les cellules sont modifiées génétiquement à l'aide de nucléases effectrices de type activateur de transcription (TAL), qui sont temporairement transfectées dans les cellules sous forme d'ARNm, afin d'effectuer une disruption génique du gène codant la chaîne constante alpha du récepteur des cellules T (*TRAC*) et des gènes CD52. Le transgène exprimé comprend le ligand de déplétion RQR8, un motif de saut ribosomique T2A et un CAR anti-CD22, sous contrôle du promoteur du facteur d'elongation humain de type 1 alpha (EF1 α). Le ligand RQR8 est une protéine de surface cellulaire artificielle de 136 acides aminés, qui combine les épitopes de liaison aux anticorps du CD20 (R) et CD34 (Q) humains, dans l'ordre R, Q et R, suivis d'un domaine charnière transmembranaire CD8 α . Le CAR comprend un fragment variable à chaîne unique (scFv) anti-CD22, un domaine charnière et transmembranaire CD8 α , et les domaines de costimulations intracellulaires 4-1BB (CD137) et CD3 ζ (CD247). Cette construction est flanquée de répétitions terminales longues (LTR), en 5' et 3', et contient également un signal d'encapsulation ψ, un gène *gag* tronqué et un élément de réponse Rev (RRE), une séquence centrale du tractus polypurine (cPPT), et un élément régulateur posttranscriptionnel du virus de l'hépatite de la marmotte (WPRE). Le vecteur est pseudotypé avec la glycoprotéine G du virus de la stomatite vésiculaire (VSV).

Le matériel de la leucaphérèse est activé par les agonistes CD3 et CD28 et transduit avec le vecteur. Les lymphocytes TCR $\alpha\beta^+$ résiduels sont éliminés par déplétion magnétique, puis cultivés dans des milieux contenant de l'interleukine-2 (IL-2). La suspension comprend principalement des lymphocytes T avec >30% de lymphocytes CAR+ et ≤3.0 % de lymphocytes TCR $\alpha\beta^+$. Les cellules sont cytotoxiques et sécrètent des cytokines pro-inflammatoires en réponse aux cellules exprimant le CD22.

lasmecabtagén timgedleucel

linfocitos T alogénicos obtenidos de células mononucleares de sangre periférica mediante leucoaféresis de donantes sanos, transducidos con un vector lentiviral no replicativo,

auto inactivante, que codifica para un ligando para depleción y un receptor de antígenos químico (CAR) dirigido a CD22. Las células también se modifican genéticamente usando nucleasas efectoras similares al activador de la transcripción (TAL) que se administran transitoriamente a la célula en forma de ARNm para la ruptura de los genes de la cadena constante alfa del receptor de linfocitos T (*TRAC*) y de CD52.

El transgén expresado contiene el ligando para depleción RQR8, un motivo de salto ribosomal T2A y un CAR anti-CD22, bajo el control del promotor del factor de elongación-1 alfa (EF-1 α) humano. El ligando RQR8 es una proteína de superficie celular artificial de 136 amino ácidos que combina epitopos de unión a anticuerpo del CD20 (R) humano y CD34 humano (Q) en el orden R, Q y R seguido de un dominio bisagra y transmembrana de CD8 α . El CAR consta de un fragmento variable de cadena sencilla (scFv) anti-CD22, un dominio bisagra y transmembrana de CD8 α y dominios coestimuladores intracelulares de 4-1BB (CD137) y de CD3 ζ (CD247). El constructo está flanqueado por repeticiones terminales largas (LTRs) en 5' y 3' y también contiene una señal de empaquetamiento ψ , un *gag* truncado, un elemento de respuesta Rev (RRE), una secuencia de tracto de polipurina central (cPPT) y un elemento regulador post-transcripcional del virus de la hepatitis de la marmota (WPRE) mutado. El vector está seudotipado con la glicoproteína G del virus de la estomatitis vesicular (VSV).

El material de leucoaféresis se activa con agonistas de CD3 y CD28 y se transduce con el vector. Los linfocitos T TCR $\alpha\beta^+$ residuales se eliminan mediante deplección magnética y después se cultivan en medio que contiene interleuquina 2 (IL-2). La suspensión consiste principalmente en linfocitos T con >30% CAR+ y ≤3.0% de linfocitos T TCR $\alpha\beta^+$. Las células son citotóxicas y secretan citoquinas pro-inflamatorias en respuesta a células que expresan CD22

lecufoxor

lecufoxor

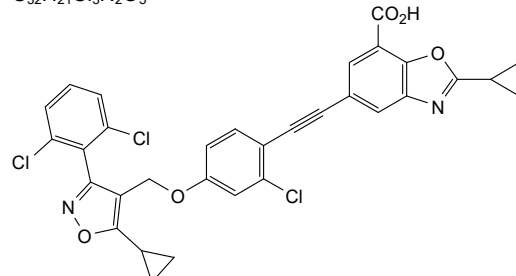
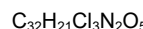
5²,9²,9⁶-trichloro-8⁵-cyclopropyl-6-oxa-2(2,5)-[1,3]benzoxazola-8(4,3)-[1,2]oxazola-5(1,4),9(1)-dibenzena-1(1)-cyclopropananonaphan-3-yne-2⁷-carboxylic acid

lécufoxor

acide 5²,9²,9⁶-trichloro-8⁵-cyclopropyl-6-oxa-2(2,5)-[1,3]benzoxazola-8(4,3)-[1,2]oxazola-5(1,4),9(1)-dibenzéna-1(1)-cyclopropananonaphan-3-yne-2⁷-carboxylique

lecufoxor

ácido 8⁵-ciclopropil-5²,9²,9⁶-tricloro-6-oxa-2(2,5)-[1,3]benzoxazola-8(4,3)-[1,2]oxazola-5(1,4),9(1)-dibencena-1(1)-ciclopropananonafan-3-ino-2⁷-carboxílico



levacetylleucinum

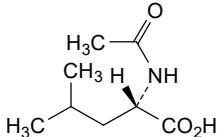
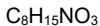
levacetylleucine

N-acetyl-L-leucine

lévacétylleucine

N-acétyl-L-leucine

levacetileucina

N-acetil-L-leucina**limatracintum**

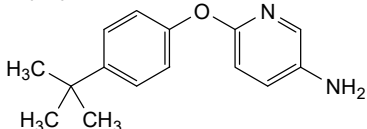
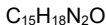
limatracint

6-(4-*tert*-butylphenoxy)pyridin-3-amine

limatracint

6-(4-*tert*-butylphénoxy)pyridin-3-amine

limatracint

6-(4-*terc*-butylfenoxi)piridin-3-amina**linoserpaturevum #**

linoserpaturev

recombinant oncolytic herpes simplex virus type 1 (HSV-1) F strain in which both copies of the viral gamma 1 34.5 gene (γ ,34.5, infected cell protein 34.5 [ICP34.5]) plus the ribonucleoside-diphosphate reductase large subunit UL39 (ICP6 gene) locus have been partially deleted/inactivated and in which a truncated copy of the γ ,34.5 gene has been re-inserted into the genome in the region of the UL39 (ICP6) deletion in reverse complementary orientation, under transcription control of a glioma-selective murine (*Rattus norvegicus*) nestin enhancer and a murine (*Mus musculus*) heat-shock protein 68 (HSP68) minimum gene promoter

linoserpaturev

virus herpès simplex de type 1 (HSV-1) de souche F, recombinant, oncolytique, dans lequel deux copies du gène viral gamma 1 34.5 (γ ,34.5, protéine cellulaire infectée 34.5 [ICP34.5]), et du locus de la grande sous-unité de la ribonucléoside-diphosphate réductase UL39 (gène ICP6) ont été partiellement supprimées/inactivées et dans laquelle une copie tronquée du gène γ ,34.5 a été réinsérée dans le génome dans la région de la délétion UL39 (ICP6), en orientation complémentaire inverse, sous le contrôle transcriptionnel d'un activateur de nestine murine (*Rattus norvegicus*) sélective de gliome, et d'un promoteur minimal de gène de la protéine de choc thermique 68 (HSP68) murin (*Mus musculus*)

linoserpaturev	virus herpes simplex tipo 1 (HSV-1) de la cepa F, recombinante, oncolítico, en el que ambas copias del gen viral gamma 1 34.5 (γ 34.5, proteína de célula infectada 34.5 [ICP34.5]) más el locus de la subunidad grande de la ribonucleosido-difosfato reductasa UL39 (gen ICP6) han sido parcialmente delecionados /inactivados y en el que una copia truncada del gen γ 134.5 se ha insertado en el genoma, en la región de la delección de UL39 (ICP6) en orientación complementaria inversa, bajo el control transcripcional de un potenciador selectivo de glioma de la nestina murina (<i>Rattus norvegicus</i>) y un promotor mínimo del gen de la proteína de shock térmico 68 (HSP68) murino (<i>Mus musculus</i>)
lofacimigum #	
lofacimig	only-heavy-chain immunoglobulin VH-VH-G1(h-CH2-CH3) dimer, anti-[<i>Homo sapiens</i> F11 (coagulation factor XI, FXI, plasma thromboplastin antecedent, PTA) apple 2 domain] and anti-[<i>Homo sapiens</i> F11 (coagulation factor XI, FXI, plasma thromboplastin antecedent, PTA) apple 3 domain] humanized monoclonal antibody, bispecific, tetravalent; H-gamma1 heavy chain VH-VH-G1(h-CH2-CH3) (1-493) [VH anti-F11 apple 2 domain (<i>Camelus dromedarius</i> IGHV3S45*01 (86.6%)/ <i>Homo sapiens</i> IGHV3-66*01 (83.5%) -(IGHD) -IGHJ5*02 (100%), CDR-IMGT [9.7.23] (26-34.52-58.97-119)) (1-130) -3-mer (glycyl-alanyl-prolyl) linker (131-133) -[VH anti-F11 apple 3 domain (<i>Camelus dromedarius</i> IGHV3S72*01 (81.2%)/ <i>Homo sapiens</i> IGHV3-64*04 (79.4%) -(IGHD) -IGHJ4*01 (100%), CDR-IMGT [8.7.20] (159-166.184-190.229-248)) (134-259) -2-mer (glycyl-seryl) linker (260-261) - <i>Homo sapiens</i> IGHG1*01 h-CH2-CH3-CHS G1m17,1 CH3 D12, L14, G1v37 h S5 (hinge 1-15 C5>S(266) (262-276), CH2 (277-386), CH3 D12 (402), L14 (404) (387-491), CHS (492-493)) (262-493)]; dimer (272-272':275-275')-bisdisulfide, produced in Chinese hamster ovary (CHO) cells, cell line CHO-K1, glycoform alfa
lofacimig	immunoglobuline dimère VH-VH-G1(h-CH2-CH3) à chaînes lourdes seulement, anti-[<i>Homo sapiens</i> F11 (facteur de coagulation XI, FXI, antécédent de la thromboplastine plasmatique, PTA) domaine apple 2] et anti-[<i>Homo sapiens</i> F11 (facteur de coagulation XI, FXI, antécédent de la thromboplastine plasmatique, PTA) domaine apple 3], anticorps monoclonal humanisé, bispécifique, tétravalent; chaîne lourde H-gamma1 VH-VH-G1(h-CH2-CH3) (1-493) [VH anti-F11 domaine apple 2 (<i>Camelus dromedarius</i> IGHV3S45*01 (86.6%)/ <i>Homo sapiens</i> IGHV3-66*01 (83.5%) -(IGHD) -IGHJ5*02 (100%), CDR-IMGT [9.7.23] (26-34.52-58.97-119)) (1-130) -3-mer (glycyl-alanyl-prolyl) linker (131-133) -[VH anti-F11

	<p>domaine apple 3 (<i>Camelus dromedarius</i> IGHV3S72*01 (81.2%)/<i>Homo sapiens</i> IGHV3-64*04 (79.4%) -(IGHD) -IGHJ4*01 (100%), CDR-IMGT [8.7.20] (159-166.184-190.229-248)) (134-259) -2-mer (glycyl-séryl) linker (260-261) -<i>Homo sapiens</i> IGHG1*01 h-CH2-CH3-CHS G1m17,1 CH3 D12, L14, G1v37 h S5 (charnière 1-15 C5>S(266) (262-276), CH2 (277-386), CH3 D12 (402), L14 (404) (387-491), CHS (492-493)) (262-493)]; dimère (272-272':275-275')-bisdisulfure, produit dans des cellules ovariennes de hamster chinois (CHO), lignée cellulaire CHO-K1, glycoforme alfa</p>
lofacimig	<p>inmunoglobulina dímero VH-VH-G1(h-CH2-CH3) con cadenas pesadas únicamente, anti-[<i>Homo sapiens</i> F11 (factor de coagulación XI, FXI, antecedente de la tromboplastina plasmática, PTA) dominio apple 2] y anti-[<i>Homo sapiens</i> F11 (factor de coagulación XI, FXI, antecedente de la tromboplastina plasmática, PTA) dominio apple 3], anticuerpo monoclonal humanizado, biespecífico, tetravalente;</p> <p>cadena pesada H-gamma1 VH-VH-G1(h-CH2-CH3) (1-493) [VH anti-F11 dominio apple 2 (<i>Camelus dromedarius</i> IGHV3S45*01 (86.6%)/<i>Homo sapiens</i> IGHV3-66*01 (83.5%) -(IGHD) -IGHJ5*02 (100%), CDR-IMGT [9.7.23] (26-34.52-58.97-119)) (1-130)-3-mer (glicil-alanil-prolil) enlace (131-133) -VH anti-F11 dominio apple 3 (<i>Camelus dromedarius</i> IGHV3S72*01 (81.2%)/<i>Homo sapiens</i> IGHV3-64*04 (79.4%) -(IGHD) -IGHJ4*01 (100%), CDR-IMGT [8.7.20] (159-166.184-190.229-248)) (134-259) -2-mer (glicil-seril) enlace (260-261) -<i>Homo sapiens</i> IGHG1*01 h-CH2-CH3-CHS G1m17,1 CH3 D12, L14, G1v37 h S5 (bisagra 1-15 C5>S(266) (262-276), CH2 (277-386), CH3 D12 (402), L14 (404) (387-491), CHS (492-493)) (262-493)]; dímero (272-272':275-275')-bisdisulfuro, producido en las células ováricas de hamster chino (CHO), línea celular CHO-K1, forma glicosilada alfa</p>
	<p>Heavy chain / Chaîne lourde / Cadena pesada: VH-VH-G1 anti-F11 (H, H') QVQLVESGG SVQAGSSLRL SCAASGHTYS SNYCMAWFRQ APKGEREGVA 50 AIYSDGSTSY ADSVKGRFTI SKDNKNLTY LQMNLSRAED TAVYYCAATA 100 YEGSWTQKQE LCLLYEYTQW QGGTLVTVTSS GAPQVQLVES GGGSVQAGGS 150 LRLSCTASEP TFDPSDMAWY RQAPGNECEL VSTTTSDGDT YYADSVKGDF 200 TI\$QDNSKNT MYLQMNSLRA EDTAVYYCAA DQWGSAAEGDC TSSYPGGYWG 250 QGTLTVSSG SEPKSSDKTH TCPCCPAPEL LGGPSPVFLFP PKPKDTLMIS 300 RTPEVTVCVVV DVSHEDPEVK FNWYVGDVEV HNAKTKPREE QYNSTYRVVS 350 VLTVLHQDWL NGKEYCKVVS NKALPAPEI TISAKAKGQPR EPQVYTLPPS 400 RDELTKNQVS LTCLVKGFYQP SDIAVEWESN QGPENNYKTT PPVLDSDGSF 450 FLYSKLTVDK SRWQQGNVFS CSVMHEALHN HYTQKSLSLSG PKG 493</p>
	<p>Post-translational modifications Disulfido bridges location / Position des ponts disulfure / Posiciones de los puentes disulfuro Intra-H (C23-C104) 22-96 155-228 178-240 307-367 413-471 22'-96' 155'-228' 178'-240' 307'-367' 413'-471' Intra-H (C38-C112.2)* 34-112 34-112' Inter-H-H (h 11, h 14) 272-272' 275-275' *additional bridge from the original VH camelid sequence stabilizing the 23 amino acid long CDR3-IMGT.</p>
	<p>N-terminal glutaminyl cyclization / Cyclisation du glutaminyle N-terminal / Ciclación del glutamínilo N-terminal Q > pyroglutamyl (pE, 5-oxoprolyl) / pyroglutamyle (pE, 5-oxoprolyle) / piroglutamilo (pE, 5-oxoprofilo) HVH Q1: 1, 1'</p>
	<p>N-glycosylation sites / Sites de N-glycosylation / Posiciones de N-glicosilación H CH2 N84.4: 343, 343' Fucosylated complex bi-antennary CHO-type glycans / glycanes de type CHO bi-antennaires complexes fucosylés / glicanos de tipo CHO biantenarios complejos fucosilados</p>
	<p>C-terminal lysine clipping / Coupure de la lysine C-terminale / Recorte de lisina C-terminal H CHS K2: 493, 493'</p>

lonpovameranum

lonpovamer

self-amplifying messenger RNA (mRNA), 5'-capped, encoding codon-optimised Venezuelan equine encephalitis virus (VEEV) RNA-dependent RNA polymerase (VEEV proteins nsP1, nsP2, nsP3 and nsP4) and a full-length codon-optimised pre-fusion stabilised conformation variant (K982P and V983P) of the SARS-CoV-2 (severe acute respiratory syndrome coronavirus 2) spike (S) glycoprotein XBB.1.5 variant (derived from GenBank ID: UZG29433.1) containing furin cleavage-inactivating mutations (R678G, R679S and R681S), flanked by 5' and 3' untranslated regions and a 3' polyadenylation (polyA) tail; generation of capped S glycoprotein mRNA is under control of a VEEV subgenomic promoter

lonpovaméran

ARN messager (ARNm) auto-amplifiant, avec une coiffe en 5', codant l'ARN polymérase dépendante de l'ARN du virus de l'encéphalite équine vénézuélienne (VEEV) optimisé par codon (protéines nsP1, nsP2, nsP3 et nsP4 de VEEV) et une variante de conformation stabilisée de préfusion (K982P et V983P), de séquence complète, optimisée par codon, de la glycoprotéine du spicule (S) du SRAS-CoV-2 (coronavirus 2 du syndrome respiratoire aigu sévère) variant XBB.1.5 (dérivé de la base de données GenBank ID: UZG29433.1), contenant des mutations inactivant le clivage par la furine (R678G, R679S et R681S), flanqué en 5' et 3' par des régions non traduites et une queue de polyadénylation (polyA) en 3'; la génération de l'ARNm de la glycoprotéine S coiffée est sous le contrôle du promoteur subgénomique de VEEV

lonpovamerán

ARN mensajero (ARNm) auto amplificante, protegido en 5', que codifica, con codones optimizados, para una ARN polimerasa dependiente de ARN del virus de la encefalitis equina venezolana (VEEV) (proteínas nsP1, nsP2, nsP3 y nsP4 de VEEV) y para una secuencia completa, con codones optimizados, de una variante estabilizada en conformación pre-fusión (K982P y V983P) de la glicoproteína de la espícula (S) del SRAS-Cov-2 (coronavirus 2 del síndrome respiratorio agudo severo) variante XBB.1.5 (derivada de GenBank ID: UZG29433.1) que contiene mutaciones inactivantes de la rotura por furina (R678G, R679S y R681S), flanqueado por regiones sin traducir 5' y 3' y una cola de poliadenilación (poliA) en 3'; la generación del ARNm protegido de la glicoproteína S está bajo el control del promotor subgenómico de VEEV

lotivibartum

lotivibart

immunoglobulin G1-kappa, anti-[HIV-1 (human immunodeficiency virus type 1) gp120 envelope glycoprotein, CD4-binding site], *Homo sapiens* monoclonal antibody;

	H-gamma1 heavy chain <i>Homo sapiens</i> (1-452) [VH (<i>Homo sapiens</i> IGHV1-2*02 (59.2%) -(IGHD) -IGHJ1*01 (72.7%) L123>T (117), T125>V (119), S128>A (122), CDR-IMGT [8.8.15] (26-33.51-58.97-111)) (1-122) - <i>Homo sapiens</i> IGHG1*01, G1m17,1 CH1 K120, CH3 D12, L14, G1v24 CH3 L107, S114 (CH1 K120 (219) (123-220), hinge 1-15 (221-235), CH2 (236-345), CH3 D12 (361), L14 (363), M107>L (433), N114>S (439) (346-450), CHS (451-452)) (123-452)], (225-210')-disulfide with L-kappa light chain <i>Homo sapiens</i> (1'-210') [V-KAPPA (<i>Homo sapiens</i> IGKV1-13*02 (69.6%) -IGKJ5*01 (70.0%) Q120>R (96'), T122>S (98'), E1125>H (101'), CDR-IMGT [6.3.5] (27'-32'.50'-52'.89'-93')) (1'-103') - <i>Homo sapiens</i> IGKC*01 (100%) Km3 A45.1, V101 (C-KAPPA A45.1 (149'), V101 (187')) (104'-210')]; dimer (231-231":234-234")-bisdisulfide, produced in Chinese hamster ovary (CHO) cells, cell line CHO-DG44, glycoform alfa
lotivibart	immunoglobuline G1-kappa, anti-[site de liaison au CD4 de la protéine d'enveloppe gp120 du virus de l'immunodéficience humaine de type 1 (VIH-1)], anticorps monoclonal <i>Homo sapiens</i> : chaîne lourde H-gamma1 <i>Homo sapiens</i> (1-452) [VH (<i>Homo sapiens</i> IGHV1-2*02 (59.2%) -(IGHD) -IGHJ1*01 (72.7%) L123>T (117), T125>V (119), S128>A (122), CDR-IMGT [8.8.15] (26-33.51-58.97-111)) (1-122) - <i>Homo sapiens</i> IGHG1*01, G1m17,1 CH1 K120, CH3 D12, L14, G1v24 CH3 L107, S114 (CH1 K120 (219) (123-220), charnière 1-15 (221-235), CH2 (236-345), CH3 D12 (361), L14 (363), M107>L (433), N114>S (439) (346-450), CHS (451-452)) (123-452)], (225-210')-disulfure avec la chaîne légère L-kappa <i>Homo sapiens</i> (1'-210') [V-KAPPA (<i>Homo sapiens</i> IGKV1-13*02 (69.6%) -IGKJ5*01 (70.0%) Q120>R (96'), T122>S (98'), E1125>H (101'), CDR-IMGT [6.3.5] (27'-32'.50'-52'.89'-93')) (1'-103') - <i>Homo sapiens</i> IGKC*01 (100%) Km3 A45.1, V101 (C-KAPPA A45.1 (149'), V101 (187')) (104'-210')]; dimère (231-231":234-234")-bisdisulfure, produit dans des cellules ovaries de hamster chinois (CHO), lignée cellulaire CHO-DG44, glycoforme alfa
lotivibart	inmunoglobulina G1-kappa, anti-[lugar de unión al CD4 de la proteína de cobertura gp120 del virus de la inmunodeficiencia humana de tipo 1 (VIH-1)], anticuerpo monoclonal <i>Homo sapiens</i> : cadena pesada H-gamma1 <i>Homo sapiens</i> (1-452) [VH (<i>Homo sapiens</i> IGHV1-2*02 (59.2%) -(IGHD) -IGHJ1*01 (72.7%) L123>T (117), T125>V (119), S128>A (122), CDR-IMGT [8.8.15] (26-33.51-58.97-111)) (1-122) - <i>Homo sapiens</i> IGHG1*01, G1m17,1 CH1 K120, CH3 D12, L14, G1v24 CH3 L107, S114 (CH1 K120 (219) (123-220), bisagra 1-15 (221-235), CH2 (236-345), CH3 D12 (361), L14 (363), M107>L (433), N114>S (439) (346-450), CHS (451-452)) (123-452)], (225-210')-disulfuro con la cadena ligera L-kappa <i>Homo sapiens</i> (1'-210') [V-KAPPA (<i>Homo sapiens</i> IGKV1-13*02 (69.6%) -IGKJ5*01 (70.0%) Q120>R (96'), T122>S (98'), E1125>H (101'), CDR-IMGT [6.3.5] (27'-32'.50'-52'.89'-93')) (1'-103') - <i>Homo sapiens</i> IGKC*01 (100%) Km3 A45.1, V101 (C-KAPPA A45.1 (149'), V101 (187')) (104'-210')]; dímero (231-231":234-234")-bisdisulfuro, producido en las células ováricas de hámster chino (CHO), línea celular CHO-DG44, forma glicosilada alfa

Heavy chain / Chaîne lourde / Cadena pesada
 RAHLVQSGTA MKKPGASVRV SCQTSGYTF AHILFWFRQA PGRGLEWVGW 50
 IKPQYGVNF GGGFRDRVTL TRDVYREIAY MDIRGLKPD TAVYCCARDR 100
 SYGDSWWALD AWQGQTVVV SAASTKGPSV FPLAPSSKST SGGTAALGCL 150
 VKDYFPEPVNT VSNNSGALTTS GVHTFPAPVLQ SSGLYSLSSV VTVBSSSLG 200
 QTYICNVNHH PSNTKVDDKKV EPKSCDKTHT CPCCPAPELL GGPSPVLFPP 250
 KPKDTLMISR TPEVTCVVVD VSHEDPEVKF NWYVDGVEVH NAKTKPREEQ 300
 YNSTYRVVSV LTVLHQDWLNL GKEYKCKVSN KALPAFIEKT ISKAKGQPRE 350
 PQVYTLFPRSR DELTKNQVSL TCLVKGFYPS DIAVIEWSNG QPENNYKTT 400
 PVLSDSDGSFF LYSKLITVDKS RWQQGNVFSC SVLHEALHSH YTQKSLSLSP 450
 GK 452

Light chain / Chaîne légère / Cadena ligera
 YIHVTQSPSS LSVSIGDRVNT INCQTSQVGV SDLKHWYQHCKP GRAPKLLIHH 50
 TSSVEDGVPS RFSGSGFHTS FNLTISDLQA DDIATYVCVQV LQFFGRGSRL 100
 HIKRTVAAPS VFIFPPSDEQ LKSGTASVVC LNNFYPRÉA KVQWQVDNAL 150
 QSGNSQESVT EQDSKDSTYS LSSTLTLASKA DYEKHKVYCA EVTHQGLLSP 200
 VTKSFNRGEC 210

Post-translational modifications
 Disulfide bridges location / Position des ponts disulfure / Posiciones de los puentes disulfuro
 Intra-H (C23-C104) 22"-96" 149"-205" 266"-326" 372"-430"
 22"-96" 149"-205" 266"-326" 372"-430"
 Intra-L (C23-C104) 23"-88" 130"-190"
 23"-88" 130"-190"
 Inter-H-L (h 5-CL 126) 225"-210" 225"-210"
 Inter-H-H (h 11, h 14) 231"-231" 234"-234"

N-glycosylation sites / Sites de N-glycosylation / Posiciones de N-glicosilación
 H CH2 N84.4; 302, 302"
 Fucosylated complex bi-antennary CHO-type glycans / glycanes de type CHO bi-antennaires complexes fucosylés / glicanos de tipo CHO biantenarios complejos fucosilados
 L V-KAPPA N88; 72, 72"
 Afcosylated and sialylated complex bi-antennary CHO-type glycans / glycanes de type CHO bi-antennaires complejos afucosylés y sialylés / glicanos de tipo CHO biantenarios complejos afucosilados y sialilados

C-terminal lysine clipping / Coupe de la lysine C-terminale / Recorte de lisina C-terminal
 H CHS K2: 452, 452"

Iunlekitugum

Iunlekitug

immunoglobulin G1-kappa, anti-[*Homo sapiens*] IL1A
 (interleukin 1 alpha)], *Homo sapiens* monoclonal antibody;
 H-gamma1 heavy chain *Homo sapiens* (1-448) [VH (*Homo sapiens* IGHV1-69*01 (80.4%) -(IGHD) -IGHJ4*01 (100%),
 CDR-IMGT [8.8.11] (26-33.51-58.97-107)) (1-118) -*Homo sapiens* IGHG1*03 (100%) G1m3, nG1m1 CH1 R120, CH3
 E12, M14 (CH1 R120 (215) (119-216), hinge 1-15 (217-231),
 CH2 (232-341), CH3 E12 (357), M14 (359) (342-446), CHS
 (447-448)) (119-448)], (221-220')-disulfide with L-kappa light chain *Homo sapiens* (1'-220') [V-KAPPA (*Homo sapiens* IGKV4-1*01 (100%) -IGKJ4*01 (100%), CDR-IMGT [12.3.9]
 (27'-38'.56'-58'.95'-103')) (1'-113') -*Homo sapiens* IGKC*01 (100%) Km3 A45.1, V101 (C-KAPPA A45.1 (159'), V101
 (197')) (114'-220')]; dimer (227-227":230-230")-bisdisulfide,
 produced in Chinese hamster ovary (CHO) cells, cell line
 CHO-K1SV, glycoform alfa

Iunlékitug

immunoglobuline G1-kappa, anti-[*Homo sapiens*] IL1A
 (interleukine 1 alpha)]; anticorps monoclonal *Homo sapiens*; chaîne lourde H-gamma1 *Homo sapiens* (1-448) [VH (*Homo sapiens* IGHV1-69*01 (80.4%) -(IGHD) -IGHJ4*01 (100%),
 CDR-IMGT [8.8.11] (26-33.51-58.97-107)) (1-118) -*Homo sapiens* IGHG1*03 (100%) G1m3, nG1m1 CH1 R120, CH3
 E12, M14 (CH1 R120 (215) (119-216), charnière 1-15 (217-231), CH2 (232-341), CH3 E12 (357), M14 (359) (342-446),
 CHS (447-448)) (119-448)], (221-220')-disulfure avec la chaîne légère L-kappa *Homo sapiens* (1'-220') [V-KAPPA (*Homo sapiens* IGKV4-1*01 (100%) -IGKJ4*01 (100%),
 CDR-IMGT [12.3.9] (27'-38'.56'-58'.95'-103')) (1'-113') -*Homo*

sapiens IGKC*01 (100%) Km3 A45.1, V101 (C-KAPPA A45.1 (159'), V101 (197')) (114'-220']); dimère (227-227":230-230")-bisisulfure, produit dans des cellules ovarianes de hamster chinois (CHO), lignée cellulaire CHO-K1SV, glycoforme alfa

lunlekitug

immunoglobulina G1-kappa, anti-[*Homo sapiens* IL1A (interleukina 1 alfa)]; anticuerpo monoclonal *Homo sapiens*; cadena pesada H-gamma1 *Homo sapiens* (1-448) [VH (*Homo sapiens* IGHV1-69*01 (80.4%) -(IGHD) -IGHJ4*01 (100%), CDR-IMGT [8.8.11] (26-33.51-58.97-107)) (1-118) -*Homo sapiens* IGHG1*03 (100%) G1m3, nG1m1 CH1 R120, CH3 E12, M14 (CH1 R120 (215) (119-216), bisagra 1-15 (217-231), CH2 (232-341), CH3 E12 (357), M14 (359) (342-446), CHS (447-448)) (119-448)], (221-220')-disulfuro con la cadena ligera L-kappa *Homo sapiens* (1'-220') [V-KAPPA (*Homo sapiens* IGKV4-1*01 (100%) -IGKJ4*01 (100%), CDR-IMGT [12.3.9] (27'-38'.56'-58'.95'-103')) (1'-113') -*Homo sapiens* IGKC*01 (100%) Km3 A45.1, V101 (C-KAPPA A45.1 (159'), V101 (197')) (114'-220']); dímero (227-227":230-230")-bisisulfuro, producido en las células ováricas de hámster chino (CHO), línea celular CHO-K1SV, forma glicosilada alfa

Heavy chain / Chaîne lourde / Cadena pesada
 QVQLVQSGAE VKPGSSVKV SCKASGRFT NYAILWVRQA PGQGLQWLGG 50
 IIIPFDETDE AQDFQDRLTI TVDESMTTAY MELSSLRPED TAIYYCATGS 100
 NSYYGLYWGQ GTLTVTSSAS TKGPSVFPLA PSSKSTSGGT AALGCLVKDY 150
 FPEPVTWSNN SGALTSGVHT FPAVLQSSGL YSLLSVVTVF SSSLTGQTYI 200
 CNVNHKFPSNT KVDKRVEPKS CDKTHTCPPA PAPELLGGPS VFLFPKPKD 250
 TLMISSRTPEV TCVVVDVSHF DPEVKFNWYV DGVEVHNNAKT KPREEQYNST 300
 YRVVSILTVI HQDWLNKEY KCKVSNKALP APIETISKA KGQPREPQVY 350
 TLPPSREEMT KNQVSLTCLV KGYPSPDIAV EWESNGQOPEN NYKTTFPVLD 400
 SDGSFFFLYSK LTVDKSRWQQ GNVFSCSVMH EALHNHYTQK SLSLSPKG 448

Light chain / Chaîne légère / Cadena ligera
 DIVMTQSPDS LAVSLGERAT INCKSSQSVL YSSNNKNYLA WYQQKPGQPP 50
 KLLIYWAISTR ESGVPDRFSG SSGGTDFLT ISSLQAEDVA YYCQOQYYSS 100
 PPTFGGTTKV EIKRTVAAAPS VFIFPPSDEQ LKSGTASVVC LLNNFYPREA 150
 KVQWKVDNAL QSGNSQESVT EQDSKDSTYS LSSTLTLSKA DYEKHKVYAC 200
 EVTHQGLSSP VTKSFRNRGEC 220

Post-translational modifications

Disulfide bridges location / Position des ponts disulfure / Posiciones de los puentes disulfuro

Intra-H (C23-C104) 22-96 145-201 262-322 368-426

22"-96" 145"-201" 262"-322" 368"-426"

Intra-L (C23-C104) 23"-94" 140"-200"

23""-94"" 140""-200""

Inter-H-L (h 5-CL 126) 221-220" 221"-220"

Inter-H-H (h 11, h 14) 227-227" 230-230"

N-terminal glutaminyl cyclization / Cyclisation du glutaminyle N-terminal / Ciclación del glutaminilo N-terminal

Q > pyroglutamyl (pE, 5-oxoprolyl) / pyroglutamyle (pE, 5-oxoprolyle) / piroglutamilo (pE, 5-oxoprolilo)

VH Q1: 1, 1"

N-glycosylation sites / Sites de N-glycosylation / Posiciones de N-glicosilación

H CH2 NR4.4: 298, 298"

Fucosylated complex bi-antennary CHO-type glycans / glycanes de type CHO bi-antennaires complexes fucosylés / glicanos de tipo CHO biantenarios complejos fucosilados

C-terminal lysine clipping / Coupage de la lysine C-terminale / Recorte de lisina C-terminal
 H CHS K2: 448, 448"

lutadenovecum autogenum

lutadenovec autogene

replication-defective chimpanzee adenovirus 68 (ChAd68), subgroup E adenovirus, (C68, 68/SAdV-25, originally designated as Pan 9) vector, with E1, E3 and E4 (partially) deleted, encoding a patient-specific expression cassette comprising 20 tumour-specific neoantigens (TSNA). The expression cassette, introduced into the deleted viral E1 region, includes coding sequences for methionine, alanine and glycine (MAG), the 20 tumour-specific neoantigens, a class II helper domain consisting of two universal CD4+ T helper lymphocyte epitopes, the pan

human leukocyte antigen (HLA) DR-binding epitope (PADRE) and the tetanus toxoid P2 epitope (amino acid 830-844 of tetanus toxin Tc), each linked by glycine and proline linkers (GPGPG). The expression cassette is under the control of a tetracycline repressor (tetR)-regulated cytomegalovirus (CMV) promoter and a simian virus 40 (SV40) polyadenylation signal

lutadénovec autogène

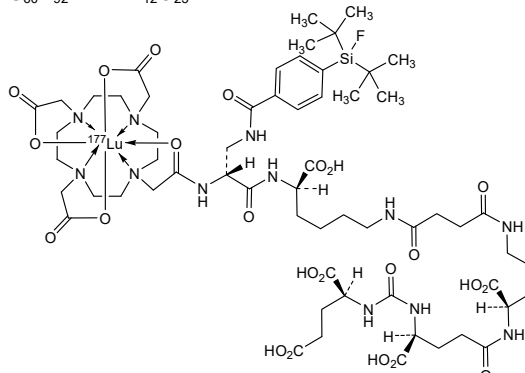
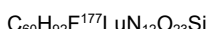
vecteur de l'adénovirus 68 du chimpanzé (ChAd68), déficient dans la réPLICATION, adénovirus du sous-groupe E (C68, 68/SadV-25, désigné à l'origine comme Pan 9), avec E1, E3 et E4 (partiellement) supprimés, codant une cassette d'expression spécifique pour le patient, comprenant 20 néoantigènes spécifiques des tumeurs (NAST). La cassette d'expression, introduite dans la région virale E1 supprimée, comprend des séquences codantes pour la méthionine, lalanine et la glycine (MAG), les 20 néoantigènes spécifiques des tumeurs, un domaine auxiliaire de classe II constitué de deux épitopes universels de lymphocytes T CD4+ helper, l'épitope universel (pan) de liaison aux isotopes DR de l'antigène leucocytaire humain (HLA) (PADRE) et l'épitope P2 de l'anatoxine tétnique (acides aminés 830-844 de la toxine tétnique Tc), chacun lié par des coupleurs glycine-proline (GPGPG). La cassette d'expression est sous le contrôle d'un promoteur du cytomégavirus (CMV), régulé par le répresseur de la tétracycline (tetR) et d'un signal de polyadénylation du virus simien 40 (SV40)

lutadenovec autogén

vector del adenovirus 68 de chimpancé (ChAd68) deficiente en replicación, del subgrupo E de adenovirus (C68, 68/SAdV-25, denominado originalmente Pan 9), con E1, E3 y E4 (parcialmente) delecionados, que codifica para un casete de expresión específico de paciente que consta de 20 neoantígenos específicos de tumor (TSNA). El casete de expresión, introducido en la región viral delecionada E1, incluye secuencias que codifican para metionina, alanina y glicina (MAG), los 20 neoantígenos específicos de tumor, un dominio ayudante de clase II que consiste en dos epítopen universales de linfocitos T CD4+ helper, el epítopo universal (pan) de unión a isótopos DR del antígeno leucocitario humano (HLA) (PADRE) y el epítopo P2 del toxoide tétnico (aminoácidos 830-844 de la toxina tétnica Tc), cada uno ligado mediante enlazadores de glicina y prolina (GPGPG). El casete de expresión está bajo el control de un promotor de citomegalovirus (CMV) regulado por un represor de tetraciclina (tetR) y una señal de poliadénilación del virus de simio 40 (SV40)

lutetium (¹⁷⁷Lu) tezuvotidum tetraxetanum

lutetium (¹⁷⁷Lu) tezuvotide tetraxetan (3-[4-[di-*tert*-butyl(fluoro)silyl]benzamido]-*N*-(4,7,10-tris([carboxylato- κ O)methyl]-1,4,7,10-tetraazacyclododecan-1-yl- κ^4 *N*¹,*N*⁴,*N*⁷,*N*¹⁰)acetyl- κ O)-D-alanyl-*N*⁶-[4-((4*R*)-4-carboxy-4-[(*N*-[(1*S*)-1,3-dicarboxypropyl]carbamoyl]-L- γ -glutamyl)amino]butyl]amino)-4-oxobutanoyl]-D-lysine)(¹⁷⁷Lu)lutetium

lutécium (¹⁷⁷Lu) tézuvotide tétraxétan(3-[4-[di-*tert*-butyl(fluoro)silyl]benzamido]-*N*-(4,7,10-tris([carboxylato- κ O)méthyl]-1,4,7,10-tétraazacyclododécan-1-yl- κ^4 *N*¹,*N*⁴,*N*⁷,*N*¹⁰)acétyl- κ O)-D-alanyl-*N*⁶-[4-((4*R*)-4-carboxy-4-[(*N*-[(1*S*)-1,3-dicarboxypropyl]carbamoyl]-L- γ -glutamyl)amino]butyl]amino)-4-oxobutanoyl]-D-lysine)(¹⁷⁷Lu)lutéciumluteocio (¹⁷⁷Lu) tezuvotida tetraxetán(3-[4-[di-*tert*-butil(fluoro)silil]benzamido]-*N*-(4,7,10-tris([carboxilato- κ O]metil]-1,4,7,10-tetraazaciclododecan-1-il- κ^4 *N*¹,*N*⁴,*N*⁷,*N*¹⁰)acetil- κ O)-D-alanil-*N*⁶-[4-((4*R*)-4-carboxi-4-[(*N*-[(1*S*)-1,3-dicarboxipropil]carbamoil]-L- γ -glutamil)amino]butil]amino)-4-oxobutanoil]-D-lisina)(¹⁷⁷Lu)luteocio**luvometinibum**

luvometinib

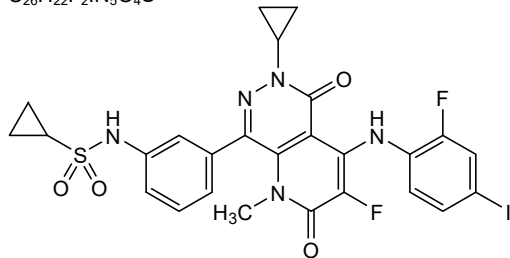
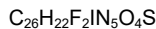
N-{3-[6-cyclopropyl-3-fluoro-4-(2-fluoro-4-iodoanilino)-1-methyl-2,5-dioxo-1,2,5,6-tetrahydropyrido[2,3-*d*]pyridazin-8-yl]phenyl}cyclopropanesulfonamide

luvométinib

N-{3-[6-cyclopropyl-3-fluoro-4-(2-fluoro-4-iodoanilino)-1-méthyl-2,5-dioxo-1,2,5,6-tétrahydropirido[2,3-*d*]pyridazin-8-yl]phényl}cyclopropanesulfonamide

luvometinib

N-{3-[6-ciclopropil-3-fluoro-4-(2-fluoro-4-yodoanilino)-1-metil-2,5-dioxo-1,2,5,6-tetrahidropirido[2,3-*d*]piridazin-8-il]fenil)ciclopropanosulfonamida



macitegtagenum autoleucel

macitegtagene autoleucel

autologous CD4/CD8 enriched T lymphocytes derived from peripheral blood mononuclear cells (PBMC) of patients by leukapheresis, transduced with a self-inactivating, non-replicating lentiviral vector encoding a chimeric antigen receptor (CAR) targeting the intercellular adhesion molecule-1 (ICAM-1) fused to human somatostatin receptor type 2 (SSTR2), under control of the human elongation factor-1 alpha (EF-1 α) promoter. A self-cleaving P2A peptide sequence separates the two transgenes. The CAR transgene comprises a CD8 α signal peptide, a c-Myc tag, the I domain of the lymphocyte function-associated antigen 1 (LFA-1, also known as integrin alpha-L, a natural ICAM-1 ligand) with an F292A mutation, a CD8 α /CD28 hinge and transmembrane domain, a 4-1BB costimulatory domain and a CD3 ζ signalling domain. The somatostatin receptor type 2 (SSTR2) is used to bind ^{68}Ga -DOTA-TATE for visualization of the CAR T lymphocytes via positron emission tomography-computed tomography (PET-CT). The transgene construct is flanked by 5' and 3' long terminal repeats (LTRs) and also contains a ψ packaging signal, a truncated gag, a Rev response element (RRE), a central polypyrimidine tract (cPPT) sequence, a Woodchuck hepatitis virus post-transcriptional regulatory element (WPRE) and a qPCR synthetic ID tag sequence. The leukapheresis material is enriched for CD4/CD8 T lymphocytes by positive immunoselection, activated by CD3 and CD28 agonists and transduced with the lentiviral vector. The cells are then expanded in media supplemented with serum replacement and interleukin 2 (IL-2) and 7 (IL-7). The cell suspension consists of T lymphocytes ($\geq 90\%$) with greater than 10% of the T lymphocytes expressing the transgene. The lymphocytes secrete interferon gamma (IFN- γ) and exhibit cytotoxic activity in response to culture with target tumor cells.

macitegtagène autoleucel

lymphocytes T autologues enrichis en CD4/CD8, dérivés de cellules mononucléées du sang périphérique (CMSP) du patient par leucaphérèse, transduits par un vecteur lentiviral auto-inactivant et non réplicatif, codant un récepteur antigénique chimérique (CAR) ciblant la molécule d'adhésion intercellulaire de type 1 (ICAM-1), fusionnée au récepteur humain de la somatostatine de type 2 (SSTR2), sous le contrôle du promoteur du facteur d'elongation-1 alpha humain (EF-1 α). Une séquence du peptide P2A auto-clivante sépare les deux transgènes. Le transgène CAR comprend un peptide signale CD8 α , un marqueur c-Myc, le domaine I de l'antigène 1 associé à la fonction lymphocytaire (LFA-1, aussi appelé intégrine alpha-L, un ligand naturel d'ICAM-1) avec une mutation F292A, un domaine

charnière CD8α/CD28 et un domaine transmembranaire CD8α/CD28, un domaine de co-stimulation 4-1BB et un domaine de signalisation CD3ζ. Le récepteur de la somatostatine de type 2 (SSTR2) sert à lier le ^{68}Ga -DOTA-TATE pour la visualisation des lymphocytes T CAR par tomographie par émission de positons (TEP-CT). La construction transgénique est flanquée de répétitions terminales longues (LTR) en 5' et en 3' et contient un signal d'encapsulation ψ, un gène *gag* tronqué, un élément de réponse Rev (ERR), une séquence centrale du tractus polypurine (cPPT)/ centrale de terminaison (CTS), et un élément régulateur posttranscriptionnel du virus de l'hépatite de la marmotte (WPRE), et une étiquette d'identification qPCR. Le matériel de la leucaphérèse est enrichi en lymphocytes T CD4/CD8 par une immuno-sélection positive, activé par les agonistes CD3 et CD8, puis transduit avec le vecteur lentiviral. Les cellules sont mises en expansion dans un milieu complété par un sérum de substitution et de l'interleukine-2 (IL-2) et de l'interleukine-7 (IL-7). La suspension cellulaire est constituée de lymphocytes T ($\geq 90\%$), dont plus de 10% expriment le transgène. Les lymphocytes sécrètent de l'interféron gamma (IFN-γ) et présentent une activité toxique en réponse à la culture avec des cellules tumorales cibles

macitegtagén autoleucel

linfocitos T CD4/CD8 autólogos derivados de células mononucleares de sangre periférica (PBMC) de pacientes por leucoaféresis, transducidos con un vector lentiviral auto inactivante, no replicativo, que codifica para un receptor de antígenos quimérico (CAR) dirigido a la molécula de adhesión intercelular 1 (ICAM-1) fusionado al receptor de somatostatina tipo 2 (SSTR2) humano, bajo el control del promotor del factor de elongación-1 alfa (EF-1α). Los dos transgenes están separados por una secuencia del péptido de auto-escisión P2A. El transgén CAR consta de un péptido señal de CD8α, una etiqueta c-Myc, el dominio I del antígeno asociado a función linfocitaria 1 (LFA-1, también conocido como integrina alfa-1, un ligando natural de ICAM-1) con una mutación F292A, un dominio bisagra y transmembrana de CD8α/CD28, un dominio coestimulador de 4-1BB y un dominio de señalización de CD3ζ. El receptor de somatostatina tipo 2 (SSTR2) se usa para unir ^{68}Ga -DOTA-TATE para la visualización de los linfocitos CAR T mediante tomografía por emisión de positrones-tomografía computarizada (PET-CT). El constructo transgén está flanqueado por repeticiones terminales largas (LTRs) en 5' y 3' y también contiene una señal de empaquetamiento ψ, un *gag* truncado, un elemento de respuesta Rev (RRE), una secuencia de tracto de poli-purina central (cPPT), un elemento regulador post-transcripcional del virus de la hepatitis de la marmota (WPRE) y una secuencia etiqueta sintética ID qPCR. El material de leucoaféresis se enriquece en linfocitos T CD4+/CD8+ mediante immuno-selección positiva, se activa mediante agonistas de CD3 y CD28 y se transduce con el vector lentiviral. Las células después se expanden en medio suplementado con substituto de suero e interleuquinas 2 (IL-2) y 7 (IL-7). La suspensión celular consiste en linfocitos T ($\geq 90\%$) con más del 10% de los linfocitos T que expresan el transgén. Los linfocitos secretan interferón gamma (IFN-γ) y muestran actividad citotóxica en respuesta al cultivo con células tumorales diana

maritupirdinum

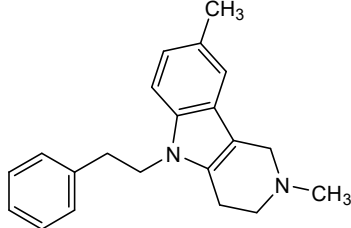
maritupirdine

2,8-dimethyl-5-(2-phenylethyl)-2,3,4,5-tetrahydro-1*H*-pyrido[4,3-*b*]indole

maritupirdine

2,8-diméthyl-5-(2-phényléthyl)-2,3,4,5-tétrahydro-1*H*-pyrido[4,3-*b*]indole

maritupirdina

5-(2-feniletil)-2,8-dimetil-2,3,4,5-tetrahidro-1*H*-pirido[4,3-*b*]indol $C_{21}H_{24}N_2$ **mavrostobartum #**

mavrostobart

immunoglobulin G4-kappa, anti-[*Homo sapiens* NT5E (5'-nucleotidase ecto, 5'-nucleotidase, NT5, eN, eNT, NTE, CALJA, CD73)];

H-gamma4 heavy chain (1-448) [VH Musmus/Homsap (*Mus musculus*)IGHV1-80*01 (77.6%) -(IGHD) -IGHJ3*01 (85.7%) A128>S (121)/*Homo sapiens* IGHV3-66*01 (71.4%) -(IGHD) -IGHJ4*01 (92.9%), CDR-IMGT [8.8.14] (26-33.51-58.97-110)) (1-121) -*Homo sapiens*IGHG4*01, nG4m(a) CH2 L92, G4v5 h P10 (CH1 (122-219), hinge 1-12 S10>P (229) (220-231), CH2 L92 (310) (232-341), CH3 (342-446), CHS (447-448)) (122-448)], (135-220')-disulfide with L-kappa light chain (1'-220') [V-KAPPA Musmus/Homsap (*Mus musculus*)IGKV8-24*01 (86.1%) -(IGHD) -IGHJ5*01 (91.7%) L126>I (112')/*Homo sapiens* IGKV4-1*01 (80.2%) -(IGHD) -IGHJ2*01 (90.9%) Q120>A (106'), CDR-IMGT [12.3.9] (27'-38'.56'-58'.95'-103')) (1'-113') -*Homo sapiens* IGKC*01 (100%) Km3 A45.1, V101 (C-KAPPA A45.1 (159'), V101 (197')) (114'-220')]; dimer (227-227":230-230")-bisdisulfide, produced in a cell line from Chinese hamster ovary (CHO) cells, derived from the cell line CHO-K1, glycoform alfa

mavrostobart

immunoglobuline G4-kappa, anti-[*Homo sapiens* NT5E (5'-nucléotidase ecto, 5'-nucléotidase, NT5, eN, eNT, NTE, CALJA, CD73)];

chaîne lourde H-gamma4 (1-448) [VH Musmus/Homsap (*Mus musculus*)IGHV1-80*01 (77.6%) -(IGHD) -IGHJ3*01 (85.7%) A128>S (121)/*Homo sapiens* IGHV3-66*01 (71.4%) -(IGHD) -IGHJ4*01 (92.9%), CDR-IMGT [8.8.14] (26-33.51-58.97-110)) (1-121) -*Homo sapiens*IGHG4*01, nG4m(a) CH2 L92, G4v5 h P10 (CH1 (122-219), charnière 1-12 S10>P (229) (220-231), CH2 L92 (310) (232-341), CH3 (342-446), CHS (447-448)) (122-448)], (135-220')-disulfure avec la chaîne légère L-kappa (1'-

220') [V-KAPPA Musmus/Homsap (*Mus musculus*) IGKV8-24*01 (86.1%) - (IGHD) -IGHJ5*01 (91.7%) L126>I (112')/*Homo sapiens* IGKV4-1*01 (80.2%) -(IGHD) -IGHJ2*01 (90.9%) Q120>A (106'), CDR-IMGT [12.3.9] (27'-38'.56'-58'.95'-103')] (1'-113') -*Homo sapiens* IGKC*01 (100%) Km3 A45.1, V101 (C-KAPPA A45.1 (159'), V101 (197')) (114'-220')]; dimère (227-227":230-230")-bisisulfuro, produit dans une lignée cellulaire des cellules ovaries de hamster chinois (CHO), dérivant de la lignée cellulaire CHO-K1, glycoforme alfa

mavrostobart inmunoglobulina G4-kappa, anti-[*Homo sapiens* NT5E (5'-nucleotidasa ecto, 5'-nucleotidasa, NT5, eN, eNT, NTE, CALJA, CD73)]; cadena pesada H-gamma4 (1-448) [VH Musmus/Homsap (*Mus musculus*) IGHV1-80*01 (77.6%) -(IGHD) -IGHJ3*01 (85.7%) A128>S (121)/*Homo sapiens* IGHV3-66*01 (71.4%) -(IGHD) -IGHJ4*01 (92.9%), CDR-IMGT [8.8.14] (26-33.51-58.97-110)) (1-121) -*Homo sapiens*IGHG4*01, nG4m(a) CH2 L92, G4v5 h P10 (CH1 (122-219), bisagra 1-12 S10>P (229) (220-231), CH2 L92 (310) (232-341), CH3 (342-446), CHS (447-448)) (122-448)], (135-220')-disulfuro con la cadena ligera L-kappa (1'-220') [V-KAPPA Musmus/Homsap (*Mus musculus*) IGKV8-24*01 (86.1%) -(IGHD) -IGHJ5*01 (91.7%) L126>I (112')/*Homo sapiens* IGKV4-1*01 (80.2%) -(IGHD) -IGHJ2*01 (90.9%) Q120>A (106'), CDR-IMGT [12.3.9] (27'-38'.56'-58'.95'-103')] (1'-113') -*Homo sapiens* IGKC*01 (100%) Km3 A45.1, V101 (C-KAPPA A45.1 (159'), V101 (197')) (114'-220')]; dímero (227-227":230-230")-bisisulfuro, producido en una línea celular de las células ováricas de hamster chino (CHO), línea celular derivada de CHO-K1, forma glicosilada alfa

Heavy chain / Chaîne lourde / Cadena pesada

```

EVQLVESGGGV LVQPGQSLKL SKKASGYAFS SYWMNNWVKQR PGKGLEWIGQ 50
IYPGDGDTYY SGKFKGRATL SADKSNTAY LQLNNLRAED TAVYYCAREA 100
IYYGNYVFTY WGQGTLVTVS SASTKGPSVF PLAPCSRSTS ESTAALGCLV 150
KDYFPEPVTVT SWNSGALTSC VHHTFPAAVLQS SGLYSLSSVV TVPSSSLGTK 200
TYTCNVDHKP SNTKVDKRVE SKYGPCCPPC PAPEFLGGPS VELFFPKPKD 250
TLMISRTPEV TCVVVDDVSQE DPEVFQFNWYV DGVEVHNAKT KFREEQFNST 300
YRVSVSLTVLHQDWLNGKEY KCKVSKNGLP SSIEKTISKA KGQPREPQVY 350
TLPSPQEEMTKNQVSLTCLV KGFPYPSDIAV EWESNQOPEN NYKTTPLVLD 400
SDGSFFLYSR LTVDKSRWQE GNFVSCSVMH EALHNHYTQK SLSLSLGK 448

```

Light chain / Chaîne légère / Cadena ligera

```

DIVMTQSPSL LSASLGLDRVIT ISCKSSQSSL NSSNQKNYLA WYQQKPGQSP 50
KLLVYFASTR DSGVPDRFSG SGSGTDFLT ISSLEPEDFA TYFCQCHYST 100
PLTFGAGTKL EIKRTVAAPS VFIFPPSDEQ LKSGTASVVLC LLNNFYPREA 150
KVQWKVDNAL QSGNSQESVT EQDSKDDTSY LSSTTLTSLKA DYEKHKVYAC 200
EVTHQGLSS VTKSFNRGEC 220

```

Post-translational modifications

Disulfide bridges location / Position des ponts disulfure / Posiciones de los puentes disulfuro

Intra-H (C23-C104) 22-96 148-204 262-322 368-426

22"-96" 148"-204" 262"-322" 368"-426"

Intra-L (C23-C104) 23"-94" 140"-200"

23""-94"" 140""-200""

Inter-H-L (CH1 10-CL 126) 135-220" 135"-220"

Inter-H-H (h 8, h 11) 227-227" 230-230"

N-glycosylation sites / Sites de N-glycosylation / Posiciones de N-glicosilación

H CH2 N84.4: 298, 298"

Fucosylated complex bi-antennary CHO-type glycans / glycanes de type CHO bi-antennaires complexes fucosylés / glicanos de tipo CHO biantenarios complejos fucosilados

C-terminal lysine clipping / Coupe de la lysine C-terminale / Recorte de lisina C-terminal

H CHS K2: 448, 448"

mevrometostatum

mevrometostat

5,8-dichloro-7-[(*R*)-methoxy(oxetan-3-yl)methyl]-2-[(4-methoxy-6-methyl-2-oxo-1,2-dihdropyridin-3-yl)methyl]-3,4-dihydroisoquinolin-1(2*H*)-one

mévrémétostat

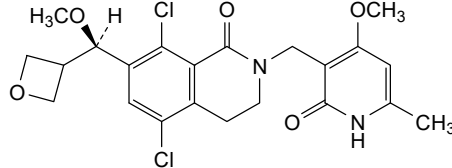
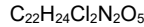
5,8-dichloro-7-[(*R*)-méthoxy(oxétan-3-yl)méthyl]-2-[(4-méthoxy-6-méthyl-2-oxo-1,2-dihdropyridin-3-yl)méthyl]-3,4-dihydroisoquinoléin-1(2*H*)-one

Recommended INN: List 93

WHO Drug Information, Vol. 39, No. 1, 2025

mevrometostat

5,8-dicloro-2-[(6-metil-4-metoxi-2-oxo-1,2-dihidropiridin-3-il)metil]-7-[(R)-metoxi(oxetan-3-il)metil]-3,4-dihidroisoquinolin-1(2H)-ona

**mivalsecovateinum #**

mivalsecovatein

severe acute respiratory syndrome coronavirus 2 (SARS-CoV-2), omicron lineage XBB.1.5 (Gisaid: EPI_ISL_16343574) spike (S) glycoprotein (1-1256), stable prefusion conformation variant ($\text{R}^{665}>\text{Q}$, $\text{R}^{666}>\text{Q}$, $\text{R}^{668}>\text{Q}$, $\text{K}^{969}>\text{P}$, $\text{V}^{970}>\text{P}$), trimer, produced in *Spodoptera frugiperda* (Sf9) insect cells, glycoform alfa

mivalsécovatéine

glycoprotéine du spicule (S) du coronavirus 2 du syndrome respiratoire aigu sévère (SRAS-CoV-2), lignée omicron XBB.1.5 (GISAID: EPI_ISL_16343574) (1-1256), variant de conformation de préfusion stable ($\text{R}^{665}>\text{Q}$, $\text{R}^{666}>\text{Q}$, $\text{R}^{668}>\text{Q}$, $\text{K}^{969}>\text{P}$, $\text{V}^{970}>\text{P}$), trimère, produite dans des cellules d'insectes *Spodoptera frugiperda* (Sf9), glycoforme alfa

mivalsecovateína

glicoproteína de espícula (S) del coronavirus 2 del síndrome respiratorio agudo severo (SRAS-CoV-2), linaje ómicron XBB.1.5 (Gisaid: EPI_ISL_16343574) (1-1256), variante de conformación de prefusión estable ($\text{R}^{665}>\text{Q}$, $\text{R}^{666}>\text{Q}$, $\text{R}^{668}>\text{Q}$, $\text{K}^{969}>\text{P}$, $\text{V}^{970}>\text{P}$), trímero, producido en las células del insecto *Spodoptera frugiperda* (Sf9), glicoforma alfa

Sequences / Séquences / Secuencias

```

QCVNLITRTQ SYTNSTFRGV YYPDVKVRSS VLHSTQDLFL PFFSNVTWFH 50
AIHVSGTNGT KRFDNPALPF NDGYVFASTE KSNIIRGWIF GTTLDSKTQS 100
LLIVVNNTNV VIKVCEFPFC NDFPFLDVYQK NNKSWMSEEF RVYSSANCT 150
FEYVSQPFIM DLEGKEGNFK NLREFVFKNI DGYFKIYSKH TPINLERDLP 200
QGFSALEPLV DLPIGINITR FQTILLALHRS YLTPTVDSSG WTAGAAAYVV 250
GYLQPRTFLY KYNNGNTTDF AVDCALDPLS ETCKTLKSFT VEKGIIYQTSN 300
FRVQPTESIV RFPNITNLCP FHEVFVNTATF ASVYAAWNRRK ISNCVADYSV 350
IYNFAPFPAFAE KCYGVSPTKL NDLCFTNVYA DSFVIRGNEV SQAEGQTGN 400
IADNYNKLPD DFTGCVIAWN SNKLDSPKPSG NYNYLYRLFR KSKLKPPFERD 450
ISTEIQAGNN KPCNGVAGPN CYSPLSQSYGF RPTEGVGHQGP YRVVVLFSEL 500
LHAPATVCGE KKSTNLVKNN CVNFNPNGLT GTGVLTESNK KFLPFQFGR 550
DIADTTDAVR DFQTLIEILDI TPCSFGGVSV ITPGTNTNSQ VAVLYQGVNC 600
TEVPVAIHAD QLTPTFWRVYS TGSNVFQTRA GCLIGAEYVN NSYEDCIPIG 650
AGICASQYQD TKSHPQGQSV ASQSIIAYTM SLAGAENSVY SNNSSTAIPTN 700
FTISVTEIL PVSMTKTSVD CTMYICGDDST ECNSLLLQVG SFTCQLKRAL 750
TGIAVEQDKN TQEVFQAQVKQ IYKTPPIKYF GGFNFSQLP DPSKPSKRSF 800
IEDLLFNKVY LADAGFIKQY GDCGLDIAAR DLICAQKFGN LTLPPLLTD 850
EMIAQYTSAL LAGITITSGWT FGAGAAALQIP FAMOMAYRFN GIGVTQNLY 900
ENQKLIAQNQ NSAIGKIQDS LSSTASALGK LQDVNVHNQAA ALNTLVKQLS 950
SKFGAISSSVN NDILSLRDPE EAEVQIDRLI TGRLQLSQTYV VTQQLIRAA 1000
IRASANLAAT KMSECVLGQS KRVDFCGKGY HLMSPFFQOSAP HGTVFHLVHTY 1050
VPAQEKENFTT APAICHDGKA HFPREGVFVS NGTHHWFTQR NFYEPOIITT 1100
DNTFVSGNCD VVIGIVNNTV YDPLQPELDS FKEELDKYFK NHITSPDVDLG 1150
DISGINASVV NIQKEIDLN EVAKNLNESL IDIQELGKYE QYIKWPWYIW 1200
LGFIAGLIAI VMVTIMLCCM TSCCSCLKGC CSCGSCCKFD EDDSEPVVLKG 1250
VKLYHT 1256

```

Mutations / Mutations / Mutaciones

$\text{R}^{665}>\text{Q}$, $\text{R}^{666}>\text{Q}$, $\text{R}^{668}>\text{Q}$, $\text{K}^{969}>\text{P}$, $\text{V}^{970}>\text{P}$

Post-translational modifications

Disulfide bridges location / Position des ponts disulfure / Posiciones de los puentes disulfuro
Intra chain: 2-120, 115-149, 274-284, 319-344, 362-415, 374-508, 463-471, 521-573,
600-632, 645-654, 721-743, 726-732, 823-834, 1015-1026, 1065-1109

N-glycosylation sites / Sites of N-glycosylation / Posiciones de N-glicosilación

N45, N58, N106, N132, N148, N217, N265, N314, N326, N586, N599, N640, N692,
N700, N784, N1057, N1081, N1117, N1141, N1156

mobinitinibum

mobinitinib

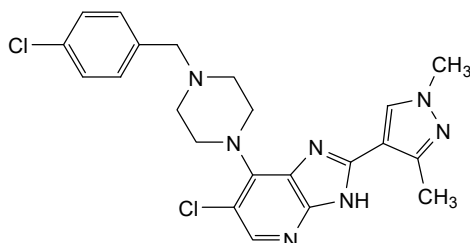
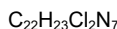
6-chloro-7-{4-[(4-chlorophenyl)methyl]piperazin-1-yl}-2-(1,3-dimethyl-1*H*-pyrazol-4-yl)-3*H*-imidazo[4,5-*b*]pyridine

mobinitinib

6-chloro-7-{4-[(4-chlorophényl)méthyl]pipérazin-1-yl}-2-(1,3-diméthyl-1*H*-pyrazol-4-yl)-3*H*-imidazo[4,5-*b*]pyridine

mobinitinib

6-cloro-7-{4-[(4-clorofenil)metil]piperazin-1-il}-2-(1,3-dimetil-1*H*-pirazol-4-il)-3*H*-imidazo[4,5-*b*]piridina

**mocaciclibum**

mocaciclib

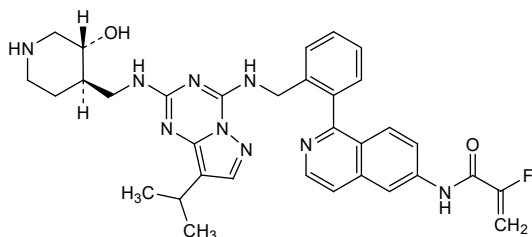
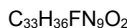
2-fluoro-*N*-{(8³*R*,8⁴*R*)-8³-hydroxy-5⁸-(propan-2-yl)-4,6-diaza-1(1)-isoquinolina-5(4,2)-pyrazolo[1,5-*a*][1,3,5]triazina-8(4)-piperidina-2(1,2)-benzenaoctaphan-1⁶-yl}prop-2-enamide

mocaciclib

2-fluoro-*N*-{(8³*R*,8⁴*R*)-8³-hydroxy-5⁸-(propan-2-yl)-4,6-diaza-1(1)-isoquinoléina-5(4,2)-pyrazolo[1,5-*a*][1,3,5]triazina-8(4)-pipéridina-2(1,2)-benzénaoctaphan-1⁶-yl}prop-2-énamide

mocaciclib

2-fluoro-*N*-{(8³*R*,8⁴*R*)-8³-hidroxi-5⁸-(propan-2-il)-4,6-diaza-1(1)-isoquinolina-5(4,2)-pirazolo[1,5-*a*][1,3,5]triazina-8(4)-piperidina-2(1,2)-bencenoctafan-1⁶-il}prop-2-enamida

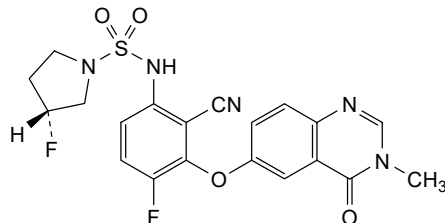
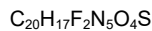
**mosperafenibum**

mosperafenib

(3*R*)-*N*-{2-cyano-4-fluoro-3-[(3-methyl-4-oxo-3,4-dihydroquinazolin-6-yl)oxy]phenyl}-3-fluoropyrrolidine-1-sulfonamide

mospérafénib (3R)-N-{2-cyano-4-fluoro-3-[(3-méthyl-4-oxo-3,4-dihydroquinazolin-6-yl)oxy]phényl}-3-fluoropyrrolidine-1-sulfonamide

mosperafenib (3R)-N-{2-ciano-4-fluoro-3-[(3-metil-4-oxo-3,4-dihidroquinazolin-6-il)oxi]fenil}-3-fluoropirrolidina-1-sulfonamida

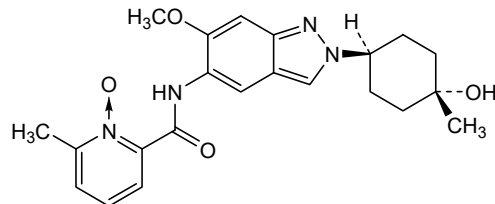
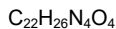


nacresertibum

nacresertib 2-((2-[(1r,4r)-4-hydroxy-4-methylcyclohexyl]-6-methoxy-2H-indazol-5-vl)carbamoyl)-6-methylpyridine 1-oxide

nacrésertib 1-oxyde de 2-((2-[1r,4r]-4-hydroxy-4-méthylcyclohexyl]-6-méthoxy-2H-indazol-5-yl)carbamoyl)-6-méthylpyridine

nacresertib 1-óxido de 2-((2-[(1r,4r)-4-hidroxi-4-metilciclohexil]-6-metoxi-2*H*-indazol-5-il)carbamoil)-6-metilpiridina

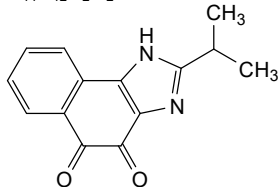
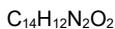


napazimonum

napazimone 2-(propan-2-yl)-1*H*-naphtho[1,2-*d*]imidazole-4,5-dione

napazimone 2-(propan-2-yl)-1*H*-naphtho[1,2-*d*]imidazole-4,5-dione

napazimona 2-(propan-2-il)-1*H*-nafto[1,2-*d*]imidazol-4,5-diona



navepdekinraum

navepdekinra

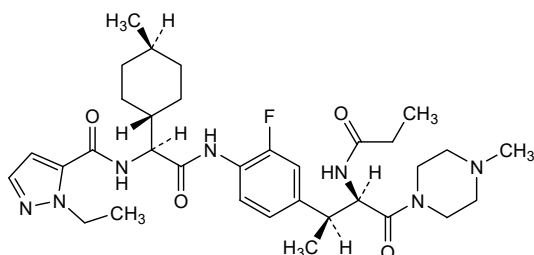
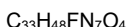
1-ethyl-N-((1S)-2-(2-fluoro-4-[(2S,3R)-4-(4-methylpipеразин-1-yl)-4-oxo-3-propanamidobutan-2-yl]anilino)-1-[(1r,4S)-4-methylcyclohexyl]-2-oxoethyl}-1*H*-pyrazole-5-carboxamide

navepdékinra

1-éthyl-N-((1S)-2-(2-fluoro-4-[(2S,3R)-4-(4-méthylpipérazin-1-yl)-4-oxo-3-propanamidobutan-2-yl]anilino)-1-[(1r,4S)-4-méthylcyclohexyl]-2-oxoéthyl}-1*H*-pyrazole-5-carboxamide

navepdekinra

1-etyl-N-((1S)-2-(2-fluoro-4-[(2S,3R)-4-(4-metilpipеразин-1-il)-4-oxo-3-propanamidobutan-2-il]anilino)-1-[(1r,4S)-4-metilciclohexil]-2-oxoetil}-1*H*-pirazol-5-carboxamida

**naxtarubicinum**

naxtarubicin

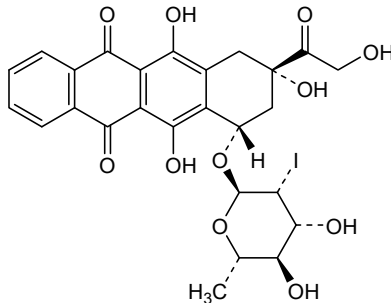
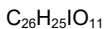
(7*S*,9*S*)-7-[(2,6-dideoxy-2-iodo- α -L-mannopyranosyl)oxy]-6,9,11-trihydroxy-9-(2-hydroxyacetyl)-7,8,9,10-tetrahydrotetracene-5,12-dione

naxtarubicine

(7*S*,9*S*)-7-[(2,6-didésoxy-2-iodo- α -L-mannopyranosyl)oxy]-6,9,11-trihydroxy-9-(2-hydroxyacetyl)-7,8,9,10-tétrahydrotétracène-5,12-dione

naxtarubicina

(7*S*,9*S*)-7-[(2,6-didesoxi-2-yodo- α -L-manopiranosil)oxi]-6,9,11-trihidroxi-9-(2-hidroxiacetil)-7,8,9,10-tetrahidrotetraceno-5,12-diona



nebokitug

nebokitug

immunoglobulin G1-kappa, anti-[*Homo sapiens* CCL24 (C-C motif chemokine ligand 24, SCYA24, small inducible cytokine subfamily A (Cys-Cys) member 24, MPIF-2, myeloid progenitor inhibitory factor 2, eotaxin-2)]; H-gamma1 heavy chain (1-450) [VH Musmus/Homsap (*Mus musculus* IGHV9-3-1*01 (90.7%) -(IGHD) -IGHJ4*01 (93.8%)/*Homo sapiens* IGHV7-4-1*02 (73.2%) -(IGHD) -IGHJ5*01 (84.6%) L123>S (115), CDR-IMGT [8.8.13] (26-33.51-58.97-109)) (1-120) - *Homo sapiens* IGHG1*03 (100%) G1m3, nG1m1 CH1 R120, CH3 E12, M14 (CH1 R120 (217) (121-218), hinge 1-15 (219-233), CH2 (234-343), CH3 E12 (359), M14 (361) (344-448), CHS (449-450)) (121-450)], (223-218')-disulfide with L-kappa light chain (1'-218') [V-KAPPA Musmus/Homsap (*Mus musculus* IGKV3-4*01 (86.9%) -IGKJ1*01 (91.7%) L124>V (108)/*Homo sapiens* IGKV4-1*01 (76.2%) -IGKJ4*01 (100%), CDR-IMGT [10.3.9] (27'-36'.54'-56'.93'-101')) (1'-111') -*Homo sapiens* IGKC*01 (100%) Km3 A45.1, V101 (C-KAPPA A45.1 (157'), V101 (195')) (112'-218')]; dimer (229-229":232-232")-bisdisulfide, produced in Chinese hamster ovary (CHO) cells, cell line CHO-DG44, glycoform alfa

nébokitug

immunoglobuline G1-kappa, anti-[*Homo sapiens* CCL24 (C-C motif chimiokine ligand 24, SCYA24, membre 24 de la sous-famille A (Cys-Cys) petite cytokine inductrice, MPIF-2, facteur 2 inhibiteur du progéniteur myéloïde, éotaxine-2)]; chaîne lourde H-gamma1 (1-450) [VH Musmus/Homsap (*Mus musculus* IGHV9-3-1*01 (90.7%) -(IGHD) -IGHJ4*01 (93.8%)/*Homo sapiens* IGHV7-4-1*02 (73.2%) -(IGHD) -IGHJ5*01 (84.6%) L123>S (115), CDR-IMGT [8.8.13] (26-33.51-58.97-109)) (1-120) - *Homo sapiens* IGHG1*03 (100%) G1m3, nG1m1 CH1 R120, CH3 E12, M14 (CH1 R120 (217) (121-218), charnière 1-15 (219-233), CH2 (234-343), CH3 E12 (359), M14 (361) (344-448), CHS (449-450)) (121-450)], (223-218')-disulfure avec la chaîne légère L-kappa (1'-218') [V-KAPPA Musmus/Homsap (*Mus musculus* IGKV3-4*01 (86.9%) -IGKJ1*01 (91.7%) L124>V (108)/*Homo sapiens* IGKV4-1*01 (76.2%) -IGKJ4*01 (100%), CDR-IMGT [10.3.9] (27'-36'.54'-56'.93'-101')) (1'-111') -*Homo sapiens* IGKC*01 (100%) Km3 A45.1, V101 (C-KAPPA A45.1 (157'), V101 (195')) (112'-218')]; dimère (229-229":232-232")-bisdisulfure, produit dans des cellules ovarianes de hamster chinois (CHO), lignée cellulaire CHO-DG44, glycoforme alfa

nebokitug

imunoglobulina G1-kappa, anti-[*Homo sapiens* CCL24 (C-C motivo de ligando de quimiocina 24, SCYA24, miembro 24 de la subfamilia A (Cys-Cys) pequeño inductor de citoquinas, MPIF-2, factor 2 inhibidor del progenitor mieloide, eotaxina-2)]; cadena pesada H-gamma1 (1-450) [VH Musmus/Homsap (*Mus musculus* IGHV9-3-1*01 (90.7%) -(IGHD) -IGHJ4*01 (93.8%)/*Homo sapiens* IGHV7-4-1*02 (73.2%) -(IGHD) -IGHJ5*01 (84.6%) L123>S (115), CDR-IMGT [8.8.13] (26-33.51-58.97-109)) (1-120) - *Homo sapiens* IGHG1*03 (100%) G1m3, nG1m1 CH1 R120, CH3 E12, M14 (CH1 R120 (217) (121-218), bisagra 1-15 (219-233), CH2 (234-343), CH3 E12 (359), M14 (361) (344-448), CHS (449-450)) (121-450)], (223-218')-disulfuro con la cadena ligera L-kappa (1'-218') [V-KAPPA Musmus/Homsap (*Mus musculus* IGKV3-4*01 (86.9%) -IGKJ1*01 (91.7%) L124>V (108)/*Homo sapiens* IGKV4-1*01 (76.2%) -IGKJ4*01 (100%), CDR-IMGT [10.3.9] (27'-36'.54'-56'.93'-101')) (1'-111') -*Homo sapiens* IGKC*01 (100%) Km3 A45.1, V101 (C-KAPPA A45.1 (157'), V101 (195')) (112'-218')]; dímero (229-229":232-232")-bisdisulfuro, producido en las células ováricas de hámster chino (CHO), línea celular CHO-DG44, forma glicosilada alfa

Heavy chain / Chaîne lourde / Cadena pesada
 QIQLVQSGPE LKKPGASVKV SCRASGYPFT NSGMNWVKQA PGKGLKWMGW 50
 INTYNGEPTY TDDFKGRFAF SLETSASTAY LQINNLRNED TATYFCASHS 100
 YGSSYAMDNW QQGTSVTSS ASTKGPSVFP LAPSSKSTSG GTAALGCLVK 150
 DYFPEFVTVS WNSGALTSGV HTFPAVLQSS GLYSLSSVVT VPSSSLGTQT 200
 YICCNVNHKPS NTKVDKRVEP KSCDKTHTCP PCPAPELLGG PSVFLFFPKP 250
 KDTLMISRTP EVTCVVVDVS HEDPEVKPNW YVDGVEVHNA KTKPREEQYN 300
 STYTRVSVSLT VLHQDWLNKG EYKCKVSNKA LPAPIEKTIS KAKGQPREPQ 350
 VYTLPPSREE MTKNQVSLTC LVKGFYPSDI AWEWSNQP ENNYKTTPV 400
 LDSDGSFFLY SKLTVDKSRW QQGNVFSCSV MHEALHNHYT QKSLSLSPGK 450

Light chain / Chaîne légère / Cadena ligera
 DIVLTQSPDS LAVSLGERAT INCKASQSVD YDGDSYMNWY QQKPGQPPKL 50
 LIYVASNLKS GIPARFSGSG SGTDFTLTIS SLQPEDFATY YCQQSNEEPW 100
 TFGGGTKEI KRTVAAPSVF IFPPSDEQLK SGTASVVCLL NNFPREAKV 150
 QWKVDNAQS GNSQESVTEQ DSKDSTYSLS STTLSKADY EKHKVYACEV 200
 THQGLLSPVT KSFNRGEC 218

Post-translational modifications

Disulfide bridges location / Position des ponts disulfure / Posiciones de los puentes disulfuro
 Intra-H (C23-C104) 22-96 147-203 264-324 370-428

22"-96" 147"-203" 264"-324" 370"-428"

Intra-L (C23-C104) 23"-92' 138"-198"

23"-92" 138"-198"

Inter-H-L (h 5-CL 126) 223-218' 223"-218"

Inter-H-H (h 11, h 14) 229-229" 232-232"

N-terminal glutaminyl cyclization / Cyclisation du glutaminyle N-terminal / Ciclación del glutaminilo N-terminal

Q > pyroglutamyl (pE, 5-oxopropyl) / pyroglutamyle (pE, 5-oxopropyle) / piroglutamilo (pE, 5-oxopropilo)

H VH Q1: 1, 1"

N-glycosylation sites / Sites de N-glycosylation / Posiciones de N-glicosilación

H CH₂ N84.4: 300, 300"

Fucosylated complex bi-antennary CHO-type glycans / glycanes de type CHO bi-antennaires complexes fucosylés / glicanos de tipo CHO biantenarios complejos fucosilados

C-terminal lysine clipping / Coupe de la lysine C-terminale / Recorte de lisina C-terminal
 H CHS K2: 450, 450"

nedemelteonum

nedemelteon

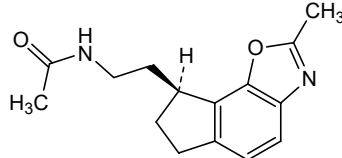
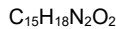
N-[2-[(8S)-2-methyl-7,8-dihydro-6H-indeno[5,4-d][1,3]oxazol-8-yl]ethyl]acetamide

nédémeltéon

N-[2-[(8S)-2-méthyl-7,8-dihydro-6H-indénô[5,4-d][1,3]oxazol-8-yl]éthyl]acétamide

nedemelteón

N-[2-[(8S)-2-metil-7,8-dihidro-6H-indeno[5,4-d][1,3]oxazol-8-yl]etil]acetamida



nefondagenum vonzuparvovecum

nefondagenie vonzuparvovect

recombinant, non-replicating adeno-associated virus serotype 2 (rAAV2) vector, encoding a mitochondrial targeting sequence from the human heme A farnesyltransferase gene (COX10) fused to codon-optimised human mitochondrial NADH dehydrogenase subunit 1 (MT-ND1, NADH1, ND1; also known as NADH-ubiquinone oxidoreductase chain 1), under control of the cytomegalovirus (CMV) immediate early enhancer/promoter and the simian virus 40 (SV40)

Polyadenylation signal. The 5' untranslated region (UTR) also contains a Macacine herpesvirus 3 chimeric intron, 3' of the CMV enhancer/promoter and the Kozak sequence, and the 3' untranslated region comprises the COX10 3' UTR. The expression cassette is flanked by AAV2 inverted terminal repeats

néfonadogène vonzuparvovèc

vecteur recombinant, non-réplicatif, du virus adéno-associé de sérotype 2 (rAAV2) codant une séquence de ciblage mitochondriaire du gène de la farnésyltransférase de l'hème A humain (COX10), fusionnée à la sous-unité 1 de la NADH déshydrogénase mitochondriale humaine (MT-ND1, NADH1, ND1; également connue sous le nom de chaîne 1 de la NADH-ubiquinone oxydoréductase), optimisées par codon, sous le contrôle de l'activateur/promoteur précoce immédiat du cytomégavirus (CMV) et du signal de polyadénylation du virus simien 40 (SV40). La région 5' non traduite (UTR) contient également un intron chimérique du Macacine herpès-virus 3, 3' de l'activateur/promoteur du CMV et de la séquence de Kozak, et la région 3' non traduite comprend le UTR en 3' de COX10. La cassette d'expression est flanquée de répétitions terminales inversées AAV2

nefonadogén vonzuparvovèc

vector de virus adenoasociado del serotipo 2, recombinante (rAAV2), no replicativo, que codifica para una secuencia de señalización mitocondrial del gen de hemo A farnesiltransferasa (COX10) humana fusionada, con codones optimizados, a la subunidad 1 de la NADH deshidrogenasa mitocondrial humana (MT-ND1, NADH1, ND1; también conocida como NADH-ubiquinona oxidoreductasa cadena 1), bajo el control del potenciador/promotor inmediato-temprano del citomegalovirus (CMV) y la señal de poliadénilación del virus de simio 40 (SV40). La región no traducida 5' (UTR) también contiene un intrón químérico del herpesvirus Macacine 3 en posición 3' con respecto al potenciador/promotor de CMV y una secuencia Kozak, y la región no traducida 3' contiene la 3' UTR de COX10. El casete de expresión está flanqueado por las repeticiones terminales invertidas del AAV2

neldaleucelum

neldaleucel

autologous multiple-tumour-associated antigen specific T lymphocytes prepared from peripheral blood mononuclear cells (PBMCs), collected by apheresis. The T lymphocytes are purified by depleting CD56+ cells from the PBMCs, and then pulsed with peptides that are derived from six tumor-associated antigens: preferentially expressed antigen in melanoma (PRAME), Wilms tumor 1 (WT1), New York esophageal 1 (NY-ESO-1), synovial sarcoma X breakpoint 2 (SSX2), melanoma-associated antigen A4 (MAGE-A4) and survivin. The cells are expanded in medium containing recombinant cytokines interleukin 6 (IL-6), 7 (IL-7), 12 (IL-12), and 15 (IL-15). The final cells consist of a mixture of CD4+ and CD8+ T lymphocytes, that include effector memory (CD45RA-CD197-; on average 45%), central

memory (CD45RA-CD197+; on average 29%), naïve (CD45RA+CD197+; on average 21%) and terminally-differentiated effector memory (CD45RA+CD197-; on average 5%) T lymphocytes. The cells demonstrate antigen specificity by interferon gamma (IFN- γ) enzyme-linked immunosorbent spot (ELISpot) analysis for all six tumour-associated antigens

neldaleucel

lymphocytes T autologues spécifiques des plusieurs antigènes associés à des tumeurs préparés à partir de cellules mononucléées du sang périphérique (CMSP), prélevées par leucaphérèse. Les lymphocytes T sont purifiés par appauvrissement des cellules CD58+ des CMSP, puis pulsés par des peptides dérivés de six antigènes associés aux tumeurs: antigène exprimé préférentiellement dans le mélanome (PRAME), tumeur de Wilms de type 1 (WT1), œsophagien de New York (NY-ESO-1), point de rupture X du sarcome synovial 2 (SSX2), antigène A4 associé au mélanome (MAGE-A4) et survivine. Les cellules sont mises en expansion dans un milieu contenant les cytokines recombinées interleukine 6 (IL-6), 7 (IL-7), 12 (IL-12), et 15 (IL-15). Au final, les cellules sont constituées d'un mélange de lymphocytes T CD4+ et CD8+, qui comprennent des lymphocytes T effecteurs à mémoire (CD45RA-CD197-; en moyenne 45%), de mémoire centrale (CD45RA-CD197+; en moyenne 29%), naïfs (CD45+CD197+; en moyenne 21%), et effecteurs à mémoire, de différenciation terminale (CD45RA+CD197-; en moyenne 5%). Les cellules démontrent leur spécificité antigénique par l'analyse immunoenzymatique (ELISpot) de l'interféron- γ pour les six antigènes associés à la tumeur

neldaleucel

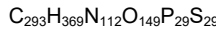
linfocitos T autólogos específicos de antígenos asociados a múltiples tumores, preparados a partir de células mononucleares de sangre periférica (PBMCs), obtenidas por aféresis. Los linfocitos T se purifican deplecionando las células CD56+ de las PBMCs, y luego se pulsan con péptidos derivados de seis antígenos asociados a tumores: antígeno preferentemente expresado en melanoma (PRAME), tumor de Wilms 1 (WT1), esofágico Nueva York 1 (NY-ESO-1), punto de rotura X de sarcoma sinovial 2 (SSX2), antígeno asociado a melanoma A4 (MAGE-A4) y survivina. Las células se expanden en medio que contiene las citoquinas recombinantes interleuquina 6 (IL-6), 7 (IL-7), 12 (IL-12) y 15 (IL-15). Las células finales consisten en una mezcla de linfocitos T CD4+ y CD8+, que incluyen linfocitos T de memoria efectora (CD45RA-CD197-; de media 45%), memoria central (CD45RA-CD197+; de media 29%), naïve (CD45RA+CD197+; de media 21%) y memoria efectora terminalmente diferenciadas (CD45RA+CD197-; de media 5%). Las células demuestran especificidad para antígenos mediante análisis de interferón gamma (IFN- γ) por un ensayo de puntos de inmunoabsorción ligado a enzima (ELISpot) para todos los seis antígenos asociados a tumor

nelitolimodum

nelitolimod

nélitolimod

neltilimod



nespecabtagenum autoleucel #

nespecabtagene autoleucel

autologous T lymphocytes obtained from peripheral blood mononuclear cells by leukapheresis, transduced with a self-inactivating, non-replicating lentiviral vector encoding a chimeric antigen receptor (CAR) targeting CD19. The expressed transgene comprises a CD8 α signal peptide, a humanized anti-CD19 single chain variable fragment (scFv) derived from scFv clone 1218, a CD8 α hinge and transmembrane region, and a 4-1BB co-stimulatory domain and CD3 ζ signaling domain, under control of the elongation factor 1 alpha (EF1 α) promoter. The construct is flanked by 5' and 3' long terminal repeats (LTRs), and also contains a ψ packaging signal, a part of the human immunodeficiency virus (HIV) *gag* and *env* genes, a Rev response element (RRE), a central polypurine tract/central termination sequence (cPPT/CTS), a Woodchuck hepatitis virus posttranscriptional regulatory element (WPRE), a qPCR ID tag, and part of the HIV *nef* gene. The vector is pseudotyped with vesicular stomatitis virus (VSV) glycoprotein G. The leukapheresis material is enriched for CD4+/CD8+ T lymphocytes by positive immunoselection, activated by CD3 and CD28 agonists and transduced with the lentiviral vector. The cells are then expanded in media supplemented with serum replacement and interleukin 2 (IL-2). The cell suspension consists of T lymphocytes ($\geq 94\%$) with greater than 25% of the T lymphocytes expressing the CAR transgene. Cells exhibit anti-tumoral activity in patients with CD19-expressing B cell malignancies

nespécabtagène autoleucel

lymphocytes T autologues obtenus par leucaphérèse à partir de cellules mononucléées du sang périphérique (CMSP), transduits avec un vecteur lentiviral auto-inactivant et non réplicatif, codant un récepteur antigénique chimérique (CAR) ciblant le CD19. Le transgène exprimé comprend un peptide signal CD8 α , un fragment variable humanisé anti-CD19 à chaîne unique (scFv) dérivé du clone scFv 1218, une région charnière et transmembranaire CD8 α , un domaine co-stimulant 4-1BB et un domaine de signalisation CD3 ζ , sous contrôle du promoteur du facteur d'élargissement-1 alpha (EF-1 α). La construction est flanquée, en 5' et 3', de répétitions terminales longues (LTR) et contient également un signal d'encapsidation ψ , une partie des gènes *gag* et *env* du virus de l'immunodéficience humaine (VIH), un élément de réponse Rev (RRE), une séquence centrale du tractus polypurine (cPPT)/centrale de terminaison (CTS), et un élément régulateur posttranscriptionnel du virus de l'hépatite de la marmotte (WPRE), une étiquette d'identification qPCR et une partie du gène *nef* du VIH. Le vecteur est pseudotypé avec la glycoprotéine G du virus de la stomatite vésiculaire (VSV). Le matériel de leucaphérèse est enrichi en lymphocytes T CD4+/CD8+ par immuno-sélection positive, activé par les antagonistes CD3 et CD28, et transduit avec le vecteur lentiviral. Les cellules sont ensuite mises en expansion dans un milieu supplémenté avec un serum de substitution, et de l'interleukine-2 (IL-2). La suspension cellulaire est constituée de lymphocytes T ($\geq 94\%$), avec plus de 25% de lymphocytes T exprimant le CAR transgène. Les cellules présentent une activité antitumorale chez les patients atteints de tumeurs malignes à lymphocytes B exprimant le CD19

nespecabtagén autoleucel

linfocitos T autólogos obtenidos de células mononucleares de sangre periférica por leucoaféresis, transducidos con un vector lentiviral auto inactivante, no replicativo, que codifica para un receptor de antígenos quimérico (CAR) dirigido a CD19. El transgén expresado consta de un péptido señal de CD8α, un fragmento variable de cadena sencilla (scFv) humanizado anti-CD19 derivado del clón scFv 1218, una región bisagra y transmembrana de CD8α, un dominio coestimulador de 4-1BB y un dominio de señalización de CD3ζ, bajo el control del promotor del factor de elongación 1 alfa (EF-1α). El constructo está flanqueado por repeticiones terminales largas (LTRs) en 5' y 3' y también contiene una señal de empaquetamiento Ψ, una parte de los genes *gag* y *env* del virus de la inmunodeficiencia humana (VIH), un elemento de respuesta Rev (RRE), una secuencia de tracto de poli-purina/terminación central (CPPT/CTS), un elemento regulador post-transcripcional del virus de la hepatitis de la marmota (WPRE), una etiqueta qPCR ID y parte del gen *nef* del VIH. El vector está seudotipado con la glicoproteína G del virus de la estomatitis vesicular (VSV). El material de leucoaféresis se enriquece en linfocitos T CD4+/CD8+ mediante inmunoselección positiva, se activa mediante agonistas de CD3 y CD28 y se transduce con el vector lentiviral. Las células se expanden después en medio suplementado con substituto de suero e interleuquina 2 (IL-2). La suspensión celular consiste en linfocitos T (≥94%) con más del 25% de los linfocitos T que expresan el transgén del CAR. Las células muestran actividad antitumoral en pacientes con neoplasias de linfocitos B que expresan CD19

nispomebenum

nispomeben

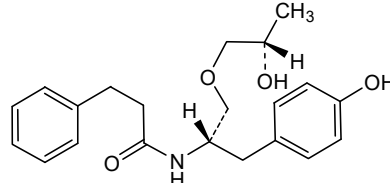
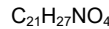
N-{(2*S*)-1-(4-hydroxyphenyl)-3-[(2*S*)-2-hydroxypropoxy]propan-2-yl}-3-phenylpropanamide

nispomében

N-{(2*S*)-1-(4-hydroxyphényl)-3-[(2*S*)-2-hydroxypropoxy]propan-2-yl}-3-phénylpropanamide

nispomebén

3-fenil-*N*-{(2*S*)-1-(4-hidroxifenil)-3-[(2*S*)-2-hidroxipropoxi]propan-2-il}propanamida



nivegacetum

nivegacetor

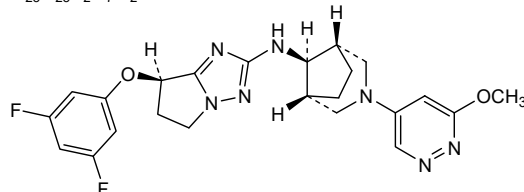
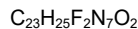
(*7R*)-7-(3,5-difluorophenoxy)-*N*-[(*1R,5S,8s*)-3-(6-methoxypyridazin-4-yl)-3-azabicyclo[3.2.1]octan-8-yl]-6,7-dihydro-5*H*-pyrrolo[1,2-*b*][1,2,4]triazol-2-amine

nivégacétor

(*7R*)-7-(3,5-difluorophénoxy)-*N*-[(*1R,5S,8s*)-3-(6-méthoxypyridazin-4-yl)-3-azabicyclo[3.2.1]octan-8-yl]-6,7-dihydro-5*H*-pyrrolo[1,2-*b*][1,2,4]triazol-2-amine

nivegacetor

(*7R*)-7-(3,5-difluorofenoxy)-*N*-[(*1R,5S,8s*)-3-(6-metoxipiridazin-4-il)-3-azabicielo[3.2.1]octan-8-il]-6,7-dihidro-5*H*-pirrolo[1,2-*b*][1,2,4]triazol-2-amina

**nivisnebartum #**

nivisnebart

immunoglobulin G1-kappa, anti-[*Homo sapiens* SORT1 (sortilin 1, Gp95, NT3)], *Homo sapiens* monoclonal antibody; H-gamma1 heavy chain *Homo sapiens* (1-459) [VH (*Homo sapiens* IGHV1-46*01 (96.9%) -(IGHD) -IGHJ6*01 (94.1%), CDR-IMGT [8.8.22] (26-33.51-58.97-118)) (1-129) -*Homo sapiens*IGHG1*01, G1m17,1 CH1 K120, CH3 D12, L14, G1v40 CH2 A1.3, A1.2, S116 (CH1 K120 (226) (130-227), hinge 1-15 (228-242), CH2 L1.3>A (246), L1.2>A (247), P116>S (343) (243-352), CH3 D12 (368), L14 (370) (353-457), CHS (458-459)) (130-459)], (232-214')-disulfide with L-kappa light chain *Homo sapiens* (1-214') [V-KAPPA (*Homo sapiens* IGKV3-15*01 (100%) -IGKJ4*01 (100%), CDR-IMGT [6.3.9] (27'-32'.50'-52'.89'-97')) (1'-107') -*Homo sapiens* IGKC*01 (100%) Km3 A45.1, V101 (C-KAPPA A45.1 (153'), V101 (191')) (108'-214')]; dimer (238-238":241-241")-bisdisulfide, produced in Chinese hamster ovary (CHO) cells, glycoform alfa

nivisnebart

immunoglobuline G1-kappa, anti-[*Homo sapiens* SORT1 (sortilin 1, Gp95, NT3)], anticorps monoclonal *Homo sapiens*; chaîne lourde H-gamma1 *Homo sapiens* (1-459) [VH (*Homo sapiens* IGHV1-46*01 (96.9%) -(IGHD) -IGHJ6*01 (94.1%), CDR-IMGT [8.8.22] (26-33.51-58.97-118)) (1-129) -*Homo sapiens*IGHG1*01, G1m17,1 CH1 K120, CH3 D12, L14, G1v40 CH2 A1.3, A1.2, S116 (CH1 K120 (226) (130-227), charnière 1-15 (228-242), CH2 L1.3>A (246), L1.2>A (247), P116>S (343) (243-352), CH3 D12 (368), L14 (370) (353-457), CHS (458-459)) (130-459)], (232-214')- disulfure avec la chaîne légère L-kappa *Homo sapiens* (1'-214') [V-KAPPA (*Homo sapiens* IGKV3-15*01 (100%) -IGKJ4*01 (100%), CDR-IMGT [6.3.9] (27'-32'.50'-52'.89'-97')) (1'-107') -*Homo sapiens* IGKC*01 (100%) Km3 A45.1, V101 (C-KAPPA A45.1 (153'), V101 (191')) (108'-214')]; dimère (238-238":241-241")-bisdisulfure, produit dans des cellules ovariennes de hamster chinois (CHO), glycoforme alfa

Recommended INN: List 93

WHO Drug Information, Vol. 39, No. 1, 2025

nivisnebart

inmunoglobulina G1-kappa, anti-[*Homo sapiens* SORT1 (sortilina 1, Gp95, NT3)], anticuerpo monoclonal *Homo sapiens*; cadena pesada H-gamma1 *Homo sapiens* (1-459) [VH (*Homo sapiens* IGHV1-46*01 (96.9%) -(IGHD) -IGHJ6*01 (94.1%), CDR-IMGT [8.8.22] (26-33.51-58.97-118)) (1-129) -*Homo sapiens* IGHG1*01, G1m17,1 CH1 K120, CH3 D12, L14, G1v40 CH2 A1.3, A1.2, S116 (CH1 K120 (226) (130-227), bisagra 1-15 (228-242), CH2 L1.3>A (246), L1.2>A (247), P116>S (343) (243-352), CH3 D12 (368), L14 (370) (353-457), CHS (458-459)) (130-459)], (232-214')-disulfuro con la cadena ligera L-kappa *Homo sapiens* (1'-214') [V-KAPPA (*Homo sapiens* IGKV3-15*01 (100%) -IGKJ4*01 (100%), CDR-IMGT [6.3.9] (27'-32'.50'-52'.89'-97')) (1'-107') -*Homo sapiens* IGKC*01 (100%) Km3 A45.1, V101 (C-KAPPA A45.1 (153'), V101 (191')) (108'-214')]; dímero (238-238".241-241")-bisdisulfuro, producido en las células ováricas de hámster chino (CHO), forma glicosilada alfa

Heavy chain / Chaîne lourde / Cadena pesada
 QVQLVQSGAE VKKPGASVKV SCKASGYTFT KYYSWVRQA PGQGLEWMGI 50
 INPIGGSTSY AQKFQGRVTM TRDTSTSTVY MELSSLRSED TAVYYCARDP 100
 SGIALAGPAS RGYQQMDVWG QGTPTVTVSSA STKGPSVFL APSSKSTSGG 150
 TAALGCLVKD YFPEPVTVSV NSGALTSGHV TFPAVLQSSG LYSLSSVVTV 200
 PSSSLGTQTY ICNVNHPSPN TKVDKKVEPK SCDEKHTCPP CPAPEAAGGP 250
 SVFLFPPKPK DTLMSRTPE VTCVVVDVSH EDPEVKFNWY VDGVEVHNAK 300
 TKPREEQYNS TYRVSLSVLTV LHQDWLNKE YKCKVSNKAL PASIEKTISK 350
 AKGQPREPVQ YTLPSPRDEL TKNQVSLTCL VKGFYPSDIA VEWESENQPE 400
 NNYKTPPPVVL DSDGSFFLYS KLTVDKSRWQ QGNVFSCSVM HEALHNHYTQ 450
 KSLSLSPGK 459

Light chain / Chaîne légère / Cadena ligera
 EIVMTQSPAT LSVSPGERAT LSCRASQSVS SNLAWSQQKP GQAPRLLIYG 50
 ASTRATGIPA RFSGSGSGTE FTLTISLQS EDFAVYYCQQ ARLGPWTFGG 100
 GTKVELKRTV AAPSVFIFPP SDEQLKSGTA SVVCLNNNFY PREAKVQWKV 150
 DNALQSGNSQ ESVTEQDSKD STYSLSSLT LSKADYEKHK VYACEVTHQG 200
 LSSPVTKFSN RGECA 214

Post-translational modifications

Disulfide bridges location / Position des ponts disulfure / Posiciones de los puentes disulfuro
 Intra-H (C23-C104) 22-96 156-212 273-333 379-437
 22"-96" 156"-212" 273"-333" 379"-437"
 Intra-L (C23-C104) 23"-88" 134"-194"
 23""-88"" 134""-194""
 Inter-H-L (h 5-CL 126) 232-214' 232"-214"
 Inter-H-H (h 11, h 14) 238-238" 241-241"

N-terminal glutaminyl cyclization / Cyclisation du glutaminyle N-terminal / Ciclación del glutamínilo N-terminal
 Q > pyroglutamyl (pE, 5-oxoprolyl) / pyroglutamyle (pE, 5-oxoprolyl) / piroglutamilo (pE, 5-oxoprolilo)
 H VH Q1: 1, 1"

N-glycosylation sites / Sites de N-glycosylation / Posiciones de N-glicosilación
 H CH2 N84.4: 309, 309"
 Fucosylated complex bi-antennary CHO-type glycans / glycanes de type CHO bi-antennaires complexes fucosylés / glicanos de tipo CHO biantenarios complejos fucosilados

C-terminal lysine clipping / Coupe de la lysine C-terminale / Recorte de lisina C-terminal
 H CHS K2: 459, 459"

nuvustotugum #
nuvustotug

immunoglobulin G1-kappa, anti-[*Homo sapiens* TNFRSF4 (tumor necrosis factor receptor (TNFR) superfamily member 4, OX40, CD134)], *Homo sapiens* monoclonal antibody;
 H-gamma1 heavy chain *Homo sapiens* (1-452) [VH (*Homo sapiens* IGHV3-23*01 (99.0%) -(IGHD) -IGHJ3*02 (100%), CDR-IMGT [8.8.15] (26-33.51-58.97-1111)) (1-122) -*Homo sapiens* IGHG1*03v (100%) G1m3>G1m17, nG1m1 CH1 K120, CH3 E12, M14 (CH1 R120>K (219) (123-220), hinge 1-15 (221-235), CH2 (236-345), CH3 E12 (361), M14 (363) (346-450), CHS (451-452)) (123-452)], (225-214')-disulfide with L-kappa light chain *Homo sapiens* (1'-214') [V-KAPPA (*Homo sapiens* IGKV1-12*01 (100%) -IGKJ4*01 (91.7%) V124>L (104'), CDR-IMGT [6.3.9] (27'-32'.50'-52'.89'-97')) (1'-107') -

Homo sapiens IGKC*01 (100%) Km3 A45.1, V101 (C-KAPPA A45.1 (153'), V101 (191')) (108'-214']); dimer (231-231":234-234")-bisdisulfide, produced in Chinese hamster ovary (CHO) cells, cell line CHO-DG44, glycoform alfa

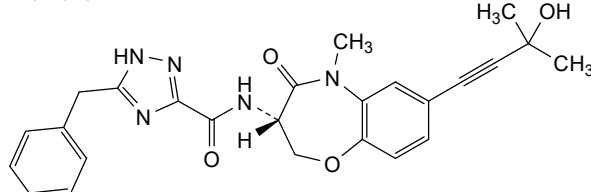
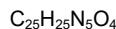
nuvustotug	immunoglobuline G1-kappa, anti-[<i>Homo sapiens</i> TNFRSF4 (membre 4 de la superfamille des récepteurs des facteurs de nécrose tumorale (TNFR), OX40, CD134)], anticorps monoclonal <i>Homo sapiens</i> ; chaîne lourde H-gamma1 <i>Homo sapiens</i> (1-452) [VH (<i>Homo sapiens</i> IGHV3-23*01 (99.0%) -(IGHD) -IGHJ3*02 (100%), CDR-IMGT [8.8.15] (26-33.51-58.97-111)) (1-122) - <i>Homo sapiens</i> IGHG1*03v (100%) G1m3>G1m17, nG1m1 CH1 K120, CH3 E12, M14 (CH1 R120>K (219) (123-220), charnière 1-15 (221-235), CH2 (236-345), CH3 E12 (361), M14 (363) (346-450), CHS (451-452)) (123-452)], (225-214')-disulfure avec la chaîne légère L-kappa <i>Homo sapiens</i> (1'-214') [V-KAPPA (<i>Homo sapiens</i> IGKV1-12*01 (100%) -IGKJ4*01 (91.7%) V124>L (104'), CDR-IMGT [6.3.9] (27'-32'.50'-52'.89'-97')) (1'-107') - <i>Homo sapiens</i> IGKC*01 (100%) Km3 A45.1, V101 (C-KAPPA A45.1 (153'), V101 (191')) (108'-214')]; dimère (231-231":234-234")-bisdisulfure, produit dans des cellules ovaries de hamster chinois (CHO), lignée cellulaire CHO-DG44, glycoforme alfa
nuvustotug	inmunoglobulina G1-kappa, anti-[<i>Homo sapiens</i> TNFRSF4 (miembro 4 de la superfamilia de los receptores de los factores de necrosis tumoral (TNFR), OX40, CD134)], anticuerpo monoclonal <i>Homo sapiens</i> ; cadena pesada H-gamma1 <i>Homo sapiens</i> (1-452) [VH (<i>Homo sapiens</i> IGHV3-23*01 (99.0%) -(IGHD) -IGHJ3*02 (100%), CDR-IMGT [8.8.15] (26-33.51-58.97-111)) (1-122) - <i>Homo sapiens</i> IGHG1*03v (100%) G1m3>G1m17, nG1m1 CH1 K120, CH3 E12, M14 (CH1 R120>K (219) (123-220), bisagra 1-15 (221-235), CH2 (236-345), CH3 E12 (361), M14 (363) (346-450), CHS (451-452)) (123-452)], (225-214')-disulfuro con la cadena ligera L-kappa <i>Homo sapiens</i> (1'-214') [V-KAPPA (<i>Homo sapiens</i> IGKV1-12*01 (100%) -IGKJ4*01 (91.7%) V124>L (104'), CDR-IMGT [6.3.9] (27'-32'.50'-52'.89'-97')) (1'-107') - <i>Homo sapiens</i> IGKC*01 (100%) Km3 A45.1, V101 (C-KAPPA A45.1 (153'), V101 (191')) (108'-214')]; dímero (231-231":234-234")-bisdisulfuro, producido en las células ováricas de hámster chino (CHO), línea celular CHO-DG44, forma glicosilada alfa
Heavy chain / Chaîne lourde / Cadena pesada	
EVQLLESGGG LVQPGGSLRL SCAAASGFTFS SYAMMSWVRQA PGKCLEWVSA 50 ISGGSGSTYY ADDSVKGRFTI SRDNNSKNTLY LQMNSLRAED TAVYYCARDL 100 SSSWYLDADF IWQGQTMVTV SSASTKGPSV FFLAPSSKST SGSGTAALGCL 150 VKDYFPEPV TSVWNSGALP GVHTFPALQ SSGLYSSLSSV VTVPSSSSLGT 200 QTYICNVNHK PSNTKVDKKV EPKSCDKTHF CCPCPAPELL GGPSVFLFPP 250 KPKDTLMISR TPEVTCVVVD VSHEDPEVFK NWYVDGVEVH NAKTKPREEQ 300 YNSTYRVSLSV LTVLHQDWLN GKEYKCKVSN KALPAPIEKT ISKAKGQPREG 350 PQVYTLPPSR EEMTKNQVSL TCLKVGFYPS DIAVEWESNG QPENNYKTP 400 PVLDSDGSFF LYSKLTVDKS RWQQGNVFSC SVMHEALHNH YTQKSLSLSP 450 GK 452	
Light chain / Chaîne légère / Cadena ligera	
DIQMTQSPSS VSASVGDRVIT ITCRASQGIS SWLAWYQQKP GKAPKLLIYA 50 ASSLQSGVPS RFSGSGSGTD FTTLTISSLQP EDFATYYCQQ ANSFPLTFGG 100 GTKLEIKRTVA AAPSVFIFPPP SDEQLKSGTA SVVCLLNFFY PREAKVQWKV 150 DNALQSGNSQ ESVTQEDSKD STYSLSSLTLS KSKADYEKH VYACEVTHQG 200 LSSPVTKSFN RGEC 214	
Post-translational modifications	
Disulfide bridges location / Position des ponts disulfure / Posiciones de los puentes disulfuro	
Intra-H (C23-C104) 22-96 149-205 266-326 372-430 22"-96" 149"-205" 266"-326" 372"-430"	
Intra-L (C23-C104) 23"-88" 134"-194" 23"-88" 134"-194"	
Inter-H-L (h 5-CL 126) 225-214" 225"-214" Inter-H-H (h 11, h 14) 231-231" 234-234"	
N-glycosylation sites / Sites de N-glycosylation / Posiciones de N-glicosilación	
H CH2 N84.4: 302, 302" Fucosylated complex bi-antennary CHO-type glycans / glycanes de type CHO bi-antennaires complexes fucosylés / glicanos de tipo CHO biantenarios complejos fucosilados	
C-terminal lysine clipping / Coupure de la lysine C-terminale / Recorte de lisina C-terminal	
H CHS K2: 452, 452"	

ocadusertibum

ocadusertib 5-benzyl-N-[(3S)-7-(3-hydroxy-3-methylbut-1-yn-1-yl)-5-methyl-4-oxo-2,3,4,5-tetrahydro-1,5-benzoxazepin-3-yl]-1H-1,2,4-triazole-3-carboxamide

ocadusertib 5-benzyl-N-[(3S)-7-(3-hydroxy-3-méthylbut-1-yn-1-yl)-5-méthyl-4-oxo-2,3,4,5-tétrahydro-1,5-benzoxazépin-3-yl]-1H-1,2,4-triazole-3-carboxamide

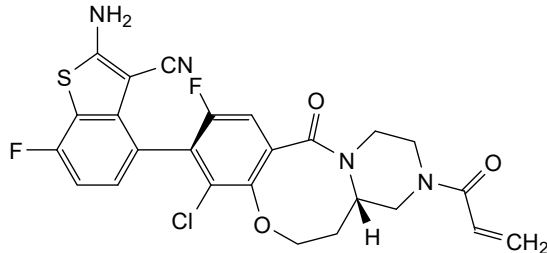
ocadusertib 5-bencil-N-[(3S)-7-(3-hidroxi-3-metilbut-1-in-1-il)-5-metil-4-oxo-2,3,4,5-tetrahidro-1,5-benzoxazepin-3-il]-1H-1,2,4-triazol-5-carboxamida

**olomorasibum**

olomorasib $(4M)$ -2-amino-4-[(4a*S*)-8-chloro-10-fluoro-12-oxo-3-(prop-2-enoyl)-2,3,4,4a,5,6-hexahydro-1*H*,12*H*-pyrazino[2,1-*d*][1,5]benzoxazocin-9-yl]-7-fluoro-1-benzothiophene-3-carbonitrile

olomorasib $(4M)$ -2-amino-4-[(4a*S*)-8-chloro-10-fluoro-12-oxo-3-(prop-2-énoyl)-2,3,4,4a,5,6-hexahydro-1*H*,12*H*-pyrazino[2,1-*d*][1,5]benzoxazocin-9-yl]-7-fluoro-1-benzothiophène-3-carbonitrile

olomorasib $(4M)$ -2-amino-4-[(4a*S*)-8-cloro-10-fluoro-12-oxo-3-(prop-2-enoil)-2,3,4,4a,5,6-hexahidro-1*H*,12*H*-pirazino[2,1-*d*][1,5]benzoxazocin-9-il]-7-fluoro-1-benzotiofeno-3-carbonitriolo

**omectatugum #**

omectatug immunoglobulin G1-kappa, anti-[*Homo sapiens* CLDN18 (claudin 18, claudin-18, surfactant associated protein J, SFTPJ) isoform 2], humanized monoclonal antibody; H-gamma1 heavy chain humanized (1-448) [VH (*Homo sapiens*IGHV1-8*01 (85.7%) -(IGHD) -IGHJ6*01 (85.7%) G119>D (109), CDR-IMGT [8.8.11] (26-33.51-58.97-107))(1-118) -*Homo sapiens*IGHG1*01 (100%) G1m17,1 CH1 K120, CH3 D12, L14 (CH1 K120 (215) (119-216), hinge 1-15 (217-231), CH2 (232-341), CH3 D12 (357), L14 (359) (342-446), CHS (447-448)) (119-448)], (221-220')-disulfide with L-kappa light chain

	humanized (1'-220') [V-KAPPA (<i>Homo sapiens</i> IGKV4-1*01 (88.1%) -IGKJ2*01 (91.7%) I126>R (112), CDR-IMGT [12.3.9] (27'-38'.56'-58'.95'-103')) (1'-113') - <i>Homo sapiens</i> IGKC*01 (100%) Km3 A45.1, V101 (C-KAPPA A45.1 (159'), V101 (197')) (114'-220')]; dimer (227-227":230-230")-bisdisulfide, produced in Chinese hamster ovary (CHO) cells, derived from the cell line CHO-K1, lacking the glutamine synthetase (GS-KO) gene and α1,6-fucosyltransferase (FUT8-KO) gene, glycoform alfa
omectatug	immunoglobuline G1-kappa, anti-[<i>Homo sapiens</i> CLDN18 (claudine 18, claudine-18, protéine J associée au surfactant, SFTPJ) isoforme 2], anticorps monoclonal humanisé; chaîne lourde H-gamma1 humanisée (1-448) [VH (<i>Homo sapiens</i> IGHV1-8*01 (85.7%) -(IGHD) -IGHJ6*01 (85.7%) G119>D (109), CDR-IMGT [8.8.11] (26-33.51-58.97-107)) (1-118') - <i>Homo sapiens</i> IGHG1*01 (100%) G1m17.1 CH1 K120, CH3 D12, L14 (CH1 K120 (215) (119-216), charnière 1-15 (217-231), CH2 (232-341), CH3 D12 (357), L14 (359) (342-446), CHS (447-448)) (119-448)], (221-220')-disulfure avec la chaîne légère L-kappa humanisée (1'-220') [V-KAPPA (<i>Homo sapiens</i> IGKV4-1*01 (88.1%) -IGKJ2*01 (91.7%) I126>R (112), CDR-IMGT [12.3.9] (27'-38'.56'-58'.95'-103')) (1'-113') - <i>Homo sapiens</i> IGKC*01 (100%) Km3 A45.1, V101 (C-KAPPA A45.1 (159'), V101 (197')) (114'-220')]; dimère (227-227":230-230")-bisdisulfure, produit dans des cellules ovariennes de hamster chinois (CHO), dérivant de la lignée cellulaire CHO-K1, ne présentant pas les gènes de la glutamine synthétase (GS-KO) et de la α1,6-fucosyltransférase (FUT8-KO), glycoforme alfa
omectatug	inmunoglobulina G1-kappa, anti-[<i>Homo sapiens</i> CLDN18 (claudina 18, claudina-18, proteína J asociada con surfactante, SFTPJ) isoforma 2], anticuerpo monoclonal humanizado; cadena pesada H-gamma1 humanizada (1-448) [VH (<i>Homo sapiens</i> IGHV1-8*01 (85.7%) -(IGHD) -IGHJ6*01 (85.7%) G119>D (109), CDR-IMGT [8.8.11] (26-33.51-58.97-107)) (1-118') - <i>Homo sapiens</i> IGHG1*01 (100%) G1m17.1 CH1 K120, CH3 D12, L14 (CH1 K120 (215) (119-216), bisagra 1-15 (217-231), CH2 (232-341), CH3 D12 (357), L14 (359) (342-446), CHS (447-448)) (119-448)], (221-220')-disulfuro con la cadena ligera L-kappa humanizada (1'-220') [V-KAPPA (<i>Homo sapiens</i> IGKV4-1*01 (88.1%) -IGKJ2*01 (91.7%) I126>R (112), CDR-IMGT [12.3.9] (27'-38'.56'-58'.95'-103')) (1'-113') - <i>Homo sapiens</i> IGKC*01 (100%) Km3 A45.1, V101 (C-KAPPA A45.1 (159'), V101 (197')) (114'-220')]; dímero (227-227":230-230")-bisdisulfuro, producido en las células ováricas de hámster chino (CHO), línea celular derivada de CHO-K1, en ausencia de los genes de la glutamina sintetasa (GS-KO) y de la α1,6-fucosiltransferasa (FUT8-KO), forma glicosilada alfa

Heavy chain / Chaîne lourde / Cadena pesada

QVQLVQSGAE	VKKPGASVKV	SCKASGYTFT	SYVINWVRQA	TGQGLEWIGE	50
IHPGRGGNTYY	SEKFRGRVTI	TADTSISAY	MELSSLRSED	TAVYCCARLR	100
RGNAMDYWDQ	GTTVTVSSAS	TKGPSVFPLA	PSSKSTSGGT	AALGCLVVDY	150
FPEPPTVWSN	SGALTSGVHT	FPAVLQSSGL	YSLSSVVTV	SSSLGTQTYI	200
CNVNHKEPSNT	KVDKKVEPKS	CDKTHTCPPC	PAPELLGGPS	VFLFPKPKD	250
TLMISRTPEV	TCVVVDVSH	DPEVKFNVWV	DGEVHNAKT	KPREEQYNST	300
YRVSFVSLT	HQDWLNGKEY	KCKVSNKALP	APIEKRTISKA	KGQPREPQVY	350
TLPPSRDEL	KNQVSLTCLV	KGFYPSDLIAV	EWESENQOPEN	NYKTPPVLD	400
SDGSFFLYSK	LTVDFKSRWQQ	GNVFSCSVMH	EALHNHYTQK	SLSLSPKG	448

Light chain / Chaîne légère / Cadena ligera

DIVLTLQSPSS	LAVSLGEMAT	INCKSSQSSL	NSGNQRNYLT	WYQQKPGQPP	50
KLLIHWASTR	ESGVPDFRS	SGSGTDFTLT	ISSLQAEDVA	VYYCQNSYNY	100
PYTFGGQTKL	ERKRRTVAAPS	VFIFPPSDEQ	LKSGTASVVC	LLNNFYPREA	150
KVQGKVNDNAL	QSGNSQESVT	EQDSKDSTYS	LSSTLTLASKA	DYEKHKVYAC	200
EVTHQGLSSP	VTKSFNRGEC				220

Post-translational modifications

Disulfide bridges location / Position des ponts disulfure / Posiciones de los puentes disulfuro

Intra-H (C23-C104) 22-96 145-201 262-322 368-426
22"-96" 145"-201" 262"-322" 368"-426"

Intra-L (C23-C104) 23"-94" 140"-200"
23"-94" 140"-200"

Inter-H-L (h 5-CL 126) 221-220' 221"-220"

Inter-H-H (h 11, h 14) 227-227" 230-230"

N-terminal glutaminyl cyclization / Cyclisation du glutaminyle N-terminal / Ciclación del glutamínilo N-terminal

Q > pyroglutamyl (pE, 5-oxoprolyl) / pyroglutamyle (pE, 5-oxoprolyle) / piroglutamilo (pE, 5-oxoproliilo)

H VH QI: 1, 1"

N-glycosylation sites / Sites de N-glycosylation / Posiciones de N-glicosilación

H CH2 N84.4: 298, 298"

Afucosylated complex bi-antennary CHO-type glycans / glycane de type CHO bi-antennaires complexes afucosyles / glicanos de tipo CHO biantenarios complejos afucosilados

C-terminal lysine clipping / Coupe de la lysine C-terminale / Recorte de lisina C-terminal

H CHS K2: 448, 448"

orenasitecanum

orenasitecan

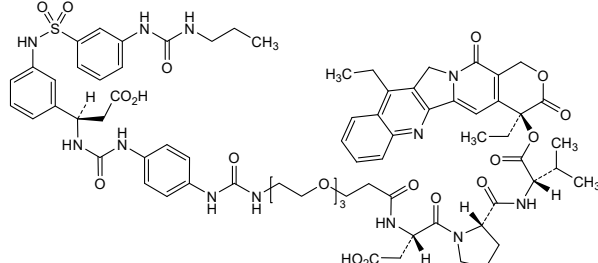
(4S)-4,11-diethyl-3,14-dioxo-3,4,12,14-tetrahydro-1H-pyrano[3',6:7]indolizino[1,2-b]quinolin-4-yl N-{1-[4-(([(1R)-2-carboxy-1-(3-{3-[(propylcarbamoyl)amino]benzene-1-sulfonamido}phenyl)ethyl]carbamoyl)amino]-1-oxo-5,8,11-trioxa-2-azatetradecan-14-oyl}-L- α -aspartyl-L-prolyl-L-valinate de (4S)-4,11-diethyl-3,14-dioxo-3,4,12,14-tetrahydro-1H-pyrano[3',6:7]indolizino[1,2-b]quinoléin-4-yle

orénasitécan

N-{1-[4-(([(1R)-2-carboxy-1-(3-{3-[(propylcarbamoyl)amino]benzene-1-sulfonamido}phényl)éthyl]carbamoyl)amino]-1-oxo-5,8,11-trioxa-2-azatétradécan-14-oyl}-L- α -aspartyl-L-prolyl-L-valinate de (4S)-4,11-diéthyl-3,14-dioxo-3,4,12,14-tétrahydro-1H-pirano[3',6:7]indolizino[1,2-b]quinoléin-4-yle

orenasitecán

N-{1-[4-(([(1R)-2-carboxy-1-(3-{3-[(propylcarbamoyl)amino]benceno-1-sulfonamido}fenil)etil]carbamoyl)amino]-1-oxo-5,8,11-trioxa-2-azatetradecan-14-oil}-L- α -aspartil-L-prolyl-L-valinato de (4S)-4,11-dietil-3,14-dioxo-3,4,12,14-tetrahydro-1H-pirano[3',6:7]indolizino[1,2-b]quinolín-4-ilo



osiramestrocelum

osiramestrocel

allogeneic mesenchymal stromal cells (MSC) derived from umbilical cord blood and culture-expanded from a working cell bank (WCB). The initial cells are separated from the cord blood and cultured in complete media with fetal bovine serum to create the master cell bank and then working cell bank from which the cells are further sub-cultured in media containing fibroblast growth factor (FGF), insulin-like growth factor-1 (IGF-1), epidermal growth factor (EGF), vascular endothelial growth factor (VEGF), hydrocortisone and a lengthened analogue of insulin-like growth factor 1 (IGF-1 Long R3). The MSC cells can differentiate into osteoblasts, chondrocytes, and adipocytes, and have the capability to differentiate into various other cell types. The MSCs express multipotent stromal cell markers CD44, CD73 and CD105 ($\geq 90\%$), and low levels ($\leq 10\%$) of CD11b, CD34, CD45, CD19 and HLA-DR and secrete transforming growth factor beta-1 (TGF- β 1) (≥ 1400 pg/ml)

osiramestrocel

cellules stromales mésenchymateuses (CSM) allogéniques, dérivées du sang de cordon ombilical, qui sont cultivées à partir d'une banque de cellules de travail (WCB). Les cellules initiales sont séparées du sang de cordon, puis cultivées en milieu complet avec du sérum bovin fœtal, pour créer la banque de cellules maîtresses, puis la banque de cellules de travail à partir de laquelle les cellules sont ensuite cultivées en milieu contenant le facteur de croissance des fibroblastes (FGF), le facteur de croissance 1 ressemblant à l'insuline (IGF-1), le facteur de croissance épidermique (EGF), le facteur de croissance endothéliale vasculaire (VEGF), de l'hydrocortisone, et un analogue allongé du facteur de croissance ressemblant à l'insuline 1 (IGF-1 Long R3). Les cellules stromales mésenchymateuses allogéniques peuvent se différencier en ostéoclastes, en chondrocytes, en adipocytes, et ont la capacité de se différencier en divers autres types de cellules. Les CSM expriment les marqueurs cellulaires stromaux multipotents CD44, CD73 et CD105 ($\geq 90\%$) et de faibles taux ($\leq 10\%$) de CD11b, CD34, CD45, CD19, et HLA-DR, et sécrètent le facteur de croissance transformant bêta-1 (TGF- β 1) (≥ 1400 pg/ml)

osiramestrocel

células estromales mesenquimales (CEM) alogénicas derivadas de sangre de cordón umbilical y expandidas en cultivo a partir de un banco de células de trabajo (WCB). Las células iniciales se separan de la sangre de cordón y se cultivan en medio completo con suero de ternera fetal para crear un banco de células maestro y posteriormente un banco de células de trabajo a partir del cual, las células se subcultivan en medio que contiene factor de crecimiento de fibroblastos (FGF), factor de crecimiento similar a la insulina 1 (IGF-1), factor de crecimiento epidérmico (EGF), factor de crecimiento del endotelio vascular (VEGF), hidrocortisona y un análogo alargado del factor de crecimiento similar a la insulina 1 (IGF-1 Long R3). Las MSC pueden diferenciarse a osteoblastos, condrocitos y adipocitos, y tienen la capacidad de diferenciarse a otros varios tipos celulares. Las CEM expresan los marcadores de células estromales multipotentes CD44, CD73 y CD105 ($\geq 90\%$), y niveles bajos ($\leq 10\%$) de CD11b, CD34, CD45, CD19 y HLA-DR y secretan factor de crecimiento transformante beta 1 (TGF- β 1) (≥ 1400 pg/ml)

otekinogenum vusaplasmidum #

otekinogene vusaplasmid

DNA plasmid encoding human interleukin 12 (IL-12), a heterodimeric cytokine encoded by two separate genes, IL-12A (p35) and IL-12B (p40). Each gene is under control of a human cytomegalovirus (CMV) immediate early enhancer/chicken β -actin promoter and terminated by a human growth hormone polyadenylation sequence. The plasmid also contains a kanamycin resistance gene and a pUC origin of replication

otékinogène vusaplasmide

plasmide d'ADN codant l'interleukine 12 humaine (IL-12), une cytokine hétérodimérique codée par deux gènes distincts, IL-12A (p35) et IL-12B (p40). Chaque gène est sous le contrôle d'un amplificateur immédiat et précoce du cytomégalovirus (CMV) humain/promoteur de la β -actine de poulet et terminé par une séquence de polyadénylation de l'hormone de croissance humaine. Le plasmide contient également un gène de résistance à la kanamycine et une origine de réPLICATION pUC

otekinogén vusaplásmodo

plásmido de ADN que codifica para la interleuquina 12 (IL-12) humana, una citoquina heterodimérica codificada por dos genes separados, IL-12A (p35) e IL-12B (p40). Cada gen está bajo el control de un potenciador inmediato temprano del citomegalovirus (CMV) humano/promotor de la β -actina de pollo y terminado por una secuencia de poliadenilación de la hormona de crecimiento humana. El plásmido también contiene un gen de resistencia a kanamicina y un origen de replicación pUC

oveporextonum

oveporexton

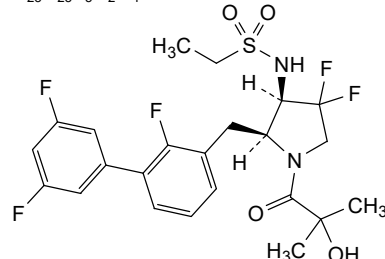
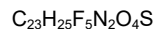
N-(*2S,3R*)-4,4-difluoro-1-(2-hydroxy-2-methylpropanoyl)-2-[*(2',3',5'-trifluoro-[1,1'-biphenyl]-3-yl)methyl*]pyrrolidin-3-yl)ethane-1-sulfonamide

ovéporexton

N-(*2S,3R*)-4,4-difluoro-1-(2-hydroxy-2-méthylpropanoyl)-2-[*(2',3',5'-trifluoro-[1,1'-biphenyl]-3-yl)méthyl*]pyrrolidin-3-yl)éthane-1-sulfonamide

oveporextón

N-(*2S,3R*)-4,4-difluoro-1-(2-hidroxi-2-metilpropanoil)-2-[*(2,3',5'-trifluoro[1,1'-bifenil]-3-il)metyl*]pirrolidin-3-il)etano-1-sulfonamida

**pamlectabartum #**

pamlectabart

immunoglobulin G1-kappa, anti-[*Homo sapiens* TNFRSF17 (tumor necrosis factor (TNF) receptor superfamily member 17, B cell maturation antigen, BCMA, TNFRSF13A, CD269)], humanized monoclonal antibody;

H-gamma1 heavy chain humanized (1-450) [VH (*Homo sapiens* IGHV3-74*01 (84.5%) -(IGHD) -IGHJ4*01 (92.9%), CDR-IMGT [8.8.13] (26-33.51-58.97-109)) (1-120) -*Homo sapiens* IGHG1*03v, G1m3>G1m17, nG1m1 CH1 K120, CH3 E12, M14, G1v76 CH2 C27 (CH1 R120>K (217) (121-218), hinge 1-15 (219-233), CH2 D27>C (268) (234-343), CH3 E12 (359), M14 (361) (344-448), CHS (449-450)) (121-450)], (223-214')-disulfide with L-kappa light chain humanized (1'-214') [V-KAPPA (*Homo sapiens* IGKV3-15*01 (90.5%) -IGKJ2*01 (81.8%) Q120>A (100'), I126>L (106'), CDR-IMGT [6.3.9] (27'-32'.50'-52'.89'-97')) (1'-107') -*Homo sapiens* IGKC*01 (100%) Km3 A45.1, V101 (C-KAPPA A45.1 (153'), V101 (191')) (108'-214')]; dimer (229-229":232-232")-bisdisulfide, produced in Chinese hamster ovary (CHO) cells, cell line CHO-K1, glycoform alfa

pamlectabart

immunoglobuline G1-kappa, anti-[*Homo sapiens* TNFRSF17 (membre 17 de la superfamille des récepteurs du facteur de nécrose tumorale (TNF), antigène de maturation de cellule B, BCMA, TNFRSF13A, CD269)], anticorps monoclonal humanisé; chaîne lourde H-gamma1 humanisée (1-450) [VH (*Homo sapiens* IGHV3-74*01 (84.5%) -(IGHD) -IGHJ4*01 (92.9%), CDR-IMGT [8.8.13] (26-33.51-58.97-109)) (1-120) -*Homo sapiens* IGHG1*03v, G1m3>G1m17, nG1m1 CH1 K120, CH3 E12, M14, G1v76 CH2 C27 (CH1 R120>K (217) (121-218), charnière 1-15 (219-233), CH2 D27>C (268) (234-343), CH3 E12 (359), M14 (361) (344-448), CHS (449-450)) (121-450)], (223-214')-disulfure avec la chaîne légère L-kappa humanisée (1'-214') [V-KAPPA (*Homo sapiens* IGKV3-15*01 (90.5%) -IGKJ2*01 (81.8%) Q120>A (100'), I126>L (106'), CDR-IMGT [6.3.9] (27'-32'.50'-52'.89'-97')) (1'-107') -*Homo sapiens* IGKC*01 (100%) Km3 A45.1, V101 (C-KAPPA A45.1 (153'), V101 (191')) (108'-214')]; dimère (229-229":232-232")-bisdisulfure, produit dans des cellules ovarianes de hamster chinois (CHO), lignée cellulaire CHO-K1, glycoforme alfa

pamlectabart

inmunoglobulina G1-kappa, anti-[*Homo sapiens* TNFRSF17 (miembro 17 de la superfamilia de los receptores del factor de necrosis tumoral (TNF), antígeno de maduración de células B, BCMA, TNFRSF13A, CD269)], anticuerpo monoclonal humanizado; cadena pesada H-gamma1 humanizada (1-450) [VH (*Homo sapiens* IGHV3-74*01 (84.5%) -(IGHD) -IGHJ4*01 (92.9%), CDR-IMGT [8.8.13] (26-33.51-58.97-109)) (1-120) -*Homo sapiens* IGHG1*03v, G1m3>G1m17, nG1m1 CH1 K120, CH3 E12, M14, G1v76 CH2 C27 (CH1 R120>K (217) (121-218), bisagra 1-15 (219-233), CH2 D27>C (268) (234-343), CH3 E12 (359), M14 (361) (344-448), CHS (449-450)) (121-450)], (223-214')-disulfuro con la cadena ligera L-kappa humanizada (1'-214') [V-KAPPA (*Homo sapiens* IGKV3-15*01 (90.5%) -IGKJ2*01 (81.8%) Q120>A (100'), I126>L (106'), CDR-IMGT [6.3.9] (27'-32'.50'-52'.89'-97')) (1'-107') -*Homo sapiens* IGKC*01 (100%) Km3 A45.1, V101 (C-KAPPA A45.1 (153'), V101 (191')) (108'-214')]; dímero (229-229":232-232")-bisdisulfuro, producido en las células ováricas de hámster chino (CHO), línea celular CHO-K1, forma glicosilada alfa

Heavy chain / Chaîne lourde / Cadena pesada
 EVQLVESGGG LVQPGGSLRL SCAASGFTFS RYWISWVRQA PGKGLVWVGE 50
 INPSSSTDINY APSLKDFTI SRDNAKNTLY LQMNSLRAED TAVYVCASLY 100
 YDYGDAYDHYW GQGTIVLTVSS ASTKGPSVFP LAPSSKSTSG CTAALGCLVK 150
 DYFPPEPVTVS WNSGALTSGV HTFPAPVLQSS GLYSLSVVTT VPSSSLGQT 200
 YICVNHNHKPS NTKVDDKVEP KSCDKTHTCP PCPAPELLGG PSVFLFPFKP 250
 KDTLMISRTP EVTCAVVCVCS HEDPEVKFNW YVDGVEVHNA KTKPREEQYN 300
 STYRVSVSLT VLHQDWLNGE EYKCKVSNKA LPAPIEKTTIS KAKQOPREPQ 350
 VTYLPSPREE MTKNQVSLTC LVKGFYPSDI AVEWESNGQP ENNYKTTTPV 400
 LDSDGSFFLY SKLTVDKSRW QQGNVFSCSV MHEALHNHYT QKSLSLSPGK 450

Light chain / Chaîne légère / Cadena ligera
 EIVMTQSPAT LSVPSPGERAT LSCKASQSV E SNAWYQQKP GQAPRALIYS 50
 ASLRFSGIP A RFSGSGSTE FTILTISLQS EDFAVYYCQQ YNNYPLTFGA 100
 GTKLELKRTV AAPSVFIFPPP SDEQLKSGTA SVVCLNNFY PREAKVQWKV 150
 DNALQSGNSQ E S VTEQDSKD STYSLSSTLT LSKADYEKHK VYACEVTHQG 200
 LSSPVTKSFN RGEC 214

Post-translational modifications

Disulfide bridges location / Position des ponts disulfure / Posiciones de los puentes disulfuro
 Intra-H (C23-C104) 22"-96" 147-203 264-324 370-428"

22"-96" 147"-203" 264"-324" 370"-428"

Intra-L (C23-C104) 23"-88" 134"-194"

23"-88" 134"-194"

Inter-H-L (h 5-CL 126) 223-214" 223"-214"

Inter-H-H (h 11, h 14) 229-229" 232-232"

N-glycosylation sites / Sites de N-glycosylation / Posiciones de N-glicosilación

H CH2 N84.4: 300, 300"

Fucosylated complex bi-antennary CHO-type glycans / glycanes de type CHO bi-antennaires complexes fucosylés / glicanos de tipo CHO biantenarios complejos fucosilados

C-terminal lysine clipping / Coupe de la lysine C-terminale / Recorte de lisina C-terminal
 H CHS K2: 450, 450"

pamlectabartum tismanitinum

pamlectabart tismanitin immunoglobulin G1-kappa, anti-[*Homo sapiens* TNFRSF17 (tumor necrosis factor (TNF) receptor superfamily member 17, B cell maturation antigen, BCMA, TNFRSF13A, CD269)], humanized monoclonal antibody, conjugated at cysteine residues 268 and 268" with *tismanitin*, comprising a cleavable linker and a synthetic α-amanitin derivative;
 H-gamma1 heavy chain humanized (1-450) [VH (*Homo sapiens* IGHV3-74*01 (84.5%) -(IGHD) -IGHJ4*01 (92.9%), CDR-IMGT [8.8.13] (26-33.51-58.97-109)) (1-120) -*Homo sapiens* IGHG1*03v, G1m3>G1m17, nG1m1 CH1 K120, CH3 E12, M14, G1v76 CH2 C27 (CH1 R120>K (217) (121-218), hinge 1-15 (219-233), CH2 D27>C (268) (234-343), CH3 E12 (359), M14 (361) (344-448), CHS (449-450)) (121-450)), (223-214")-disulfide with L-kappa light chain humanized (1'-214') [V-KAPPA (*Homo sapiens* IGKV3-15*01 (90.5%) -IGKJ2*01 (81.8%) Q120>A (100'), I126>L (106') , CDR-IMGT [6.3.9] (27'-32'.50'-52'.89'-97')) (1'-107') -*Homo sapiens* IGKC*01 (100%)] Km3 A45.1, V101 (C-KAPPA A45.1 (153'), V101 (191')) (108'-214')]; dimer (229-229":232-232")-bisdisulfide, produced in Chinese hamster ovary (CHO) cells, cell line CHO-K1, glycoform alfa; substituted at the sulfur atoms of cysteine residues 268 and 268" with group 1-(3-[(2S)-3-methyl-1-oxo-1-[(2S)-1-oxo-1-{4-[(1,8-anhydro:C^{2,4}.S^{3,8}-cyclo[L-α-aspartyl-(4R)-4-hydroxy-L-prolyl-(4R)-4,5-dihydroxy-L-isoleucyl-L-tryptophylglycyl-L-isoleucylglycyl-L-cystein]-C^{1,4}-yl}amino)methyl]anilino}propan-2-yl]amino}butan-2-yl]amino}-3-oxopropyl)-2,5-dioxopyrrolidin-3-yl (*tismanitin*)

pamlectabart tismanitin immunoglobuline G1-kappa, anti-[*Homo sapiens* TNFRSF17 (membre 17 de la superfamille des récepteurs du facteur de nécrose tumorale (TNF), antigène de maturation de cellule B, BCMA, TNFRSF13A, CD269)], anticorps monoclonal humanisé, anticorps monoclonal humanisé, conjugué par résidus cystéines 268 et 268" au *tismanitin*, comprenant un linker clivable et un dérivé de l'α-amanitine;

chaîne lourde H-gamma1 humanisée (1-450) [VH (*Homo sapiens*IGHV3-74*01 (84.5%) -(IGHD) - IGHJ4*01 (92.9%), CDR-IMGT [8.8.13] (26-33.51-58.97-109)) (1-120) -*Homo sapiens*IGHG1*03v, G1m3>G1m17, nG1m1 CH1 K120, CH3 E12, M14, G1v76 CH2 C27 (CH1 R120>K (217) (121-218), charnière 1-15 (219-233), CH2 D27>C (268) (234-343), CH3 E12 (359), M14 (361) (344-448), CHS (449-450)) (121-450)], (223-214')-disulfure avec la chaîne légère L-kappa humanisée (1'-214') [V-KAPPA (*Homo sapiens*IGKV3-15*01 (90.5%) -IGKJ2*01 (81.8%) Q120>A (100'), I126>L (106') , CDR-IMGT [6.3.9] (27'-32'.50'-52'.89'-97')) (1'-107') -*Homo sapiens*IGKC*01 (100%) Km3 A45.1, V101 (C-KAPPA A45.1 (153'), V101 (191')) (108'-214')]; dimère (229-229":232-232")-bisisulfure, produit dans des cellules ovaries de hamster chinois (CHO), lignée cellulaire CHO-K1, glycoforme alfa; substitué sur un atome de soufre des résidus L-cystéines 268 et 268" avec un groupement 1-(3-[(2S)-3-méthyl-1-oxo-1-[(2S)-1-oxo-1-{4-[(1,8-anhydro:C^{2,4},S^{3,8}-cyclo[L- α -aspartil-(4R)-4-hydroxy-L-prolil-(4R)-4,5-dihydroxy-L-isoleucyl-L-tryptophylglycyl-L-isoleucylglycyl-L-cystein]-C^{4,1}-yl]amino)méthyl]anilino}propan-2-yl]amino}butan-2-yl]amino}-3-oxopropyl)-2,5-dioxopirrolidin-3-yle (*tismanitine*)

pamlectabart tismanitina

immunoglobulina G1-kappa, anti-[*Homo sapiens* TNFRSF17 (miembro 17 de la superfamilia de los receptores del factor de necrosis tumoral (TNF), antígeno de maduración de células B, BCMA, TNFRSF13A, CD269)], anticuerpo monoclonal humanizado, anticuerpo monoclonal humanizado, conjugado en residuos de cisteinas 268 y 268" con *tismanitin*, que comprende un enlace escindible y un derivado de la α -amanitina; cadena pesada H-gamma1 humanizada (1-450) [VH (*Homo sapiens*IGHV3-74*01 (84.5%) -(IGHD) - IGHJ4*01 (92.9%), CDR-IMGT [8.8.13] (26-33.51-58.97-109)) (1-120) -*Homo sapiens*IGHG1*03v, G1m3>G1m17, nG1m1 CH1 K120, CH3 E12, M14, G1v76 CH2 C27 (CH1 R120>K (217) (121-218), bisagra 1-15 (219-233), CH2 D27>C (268) (234-343), CH3 E12 (359), M14 (361) (344-448), CHS (449-450)) (121-450)], (223-214')-disulfuro con la cadena ligera L-kappa humanizada (1'-214') [V-KAPPA (*Homo sapiens*IGKV3-15*01 (90.5%) -IGKJ2*01 (81.8%) Q120>A (100'), I126>L (106') , CDR-IMGT [6.3.9] (27'-32'.50'-52'.89'-97')) (1'-107') -*Homo sapiens*IGKC*01 (100%) Km3 A45.1, V101 (C-KAPPA A45.1 (153'), V101 (191')) (108'-214')]; dímero (229-229":232-232")-bisisulfuro, producido en las células ováricas de hámster chino (CHO), línea celular CHO-K1, forma glicosilada alfa; sustituido en un átomo de azufre de los residuos L-cisteinas 268 y 268" con un grupo 1-(3-[(2S)-3-metil-1-oxo-1-[(2S)-1-oxo-1-{4-[(1,8-anhydro:C^{2,4},S^{3,8}-ciclo[L- α -aspartil-(4R)-4-hidroxi-L-prolil-(4R)-4,5-dihidroxi-L-isoleucil-L-triptofilglicil-L-isoleucilglicil-L-cistein]-C^{4,1}-il]amino)méthyl]anilino}propan-2-il]amino}butan-2-il]amino}-3-oxopropil)-2,5-dioxopirrolidin-3-ilo (*tismanitina*)

Heavy chain / Chaîne lourde / Cadena pesada

EVQLVESGGG LVQPGSRLR SCAASGFTFS RYWIWSVRQA PGKGLVWVGE 50
 INPSSSTINY APSLKDFTI SRDNAKNTLY LOMNSLRAED TAVYYCASYL 100
 YDYGDAYDW GQGTLTVSS ASTKGPSVFP LAPSSKSTSG GTAALGCLVK 150
 DYFPEPVTVS WNSGALTSGV HTFPAVLQSS GLYSLSVVVT VPSSSLGTQT 200
 YICVNHNKPS NTKVDKKVEP KSCDKTHTCP PCPAPELLGG PSVFLFPKP 250
 KDTLMISRTA EVTCAVVCVCS HEDPEVKFNW YVDGVEVHN ATKPREEQYN 300
 STYRVSVLT VLHQDWLNGK EYKCKVSNKA LPAPIEKTS KAKGQPREPQ 350
 VVTLPSPSREE MTKNQVSLTC LVKGFP PSDI AVEWESENQGP ENNYKTTPV 400
 LDSDGSFFLY SKLTVDKSRW QQGNVFSCSV MHEALHNHYT QKSLSLSPKG 450

Light chain / Chaîne légère / Cadena ligera

EIVMTQSPAT LSVPSPGERAT LSCKASQSVE SNVAWYQQKP GQAPRALIYS 50
 ASLRFSGIPA RFSGSGSGTE FTLTISSLQS EDFAVYYCQQ YNNYPLTFGA 100
 GTKLELKRTV AAPSVFIFPP SDEQLKSGTA SVVCLLNFY PREAKVQWKV 150
 DNALQSGNSQ ESLVTEQDSKD STYSLSSTLT LSKADYEKHK VYACEVTHQG 200
 LSSPVTKSFN RGEC 214

Post-translational modifications

Disulfide bridges location / Position des ponts disulfure / Posiciones de los puentes disulfuro

Intra-H (C23-C104) 22-96 147-203 264-324 370-428

22"-96" 147"-203" 264"-324" 370"-428"

Intra-L (C23-C104) 23"-88' 134"-194'

23"-88" 134"-194"

Inter-H-L (h 5-CL 126) 223-214' 223"-214"

Inter-H-H (h 11, h 14) 229-229" 232-232"

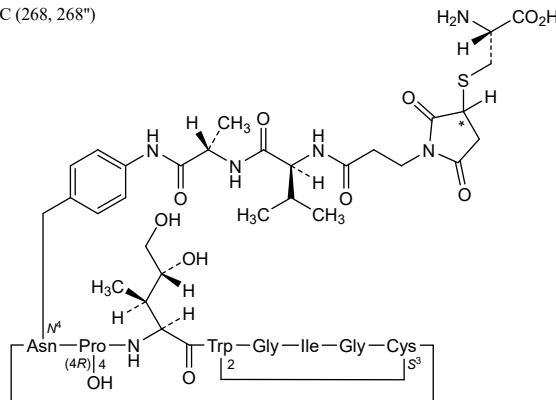
N-glycosylation sites / Sites de N-glycosylation / Posiciones de N-glicosilación

H CH2 N84.4: 300, 300"

Fucosylated complex bi-antennary CHO-type glycans / glycanes de type CHO bi-antennaires complexes fucosylés / glicanos de tipo CHO biantenarios complejos fucosilados

C-terminal lysine clipping / Coupure de la lysine C-terminale / Recorte de lisina C-terminal
 H CHS K2: 450, 450"

Modified residues / résidus modifiés / restos modificados
 C (268, 268")

**pangumestrocelum**

pangumestrocel

allogeneic mesenchymal stromal cells (MSC) derived from human embryonic stem cells (hESCs). The hESCs are enzymatically dissociated into small clumps with dispase and cultured to form embryoid bodies (EBs) in media supplemented with serum replacement and basic fibroblast growth factor (bFGF). The harvested EBs are subsequently differentiated into mesenchymal stromal cells on flasks coated with vitronectin in medium containing serum replacement, bFGF and transforming growth factor beta-3 (TGF-β3) and then further

culture-expanded in the same medium. The final cells express CD73, CD90, and CD105 ($\geq 95\%$) and are negative for CD34, CD45, CD11b, CD19 and HLA-DR ($\leq 2\%$). The cells secrete high levels of the immunomodulator indoleamine 2,3-dioxygenase 1 (IDO-1) after stimulation with inflammatory factors and can differentiate into osteoblasts, adipocytes and chondroblasts under standard *in vitro* tissue culture-differentiating conditions

pangumestrocél

cellules stromales mésenchymateuses (CSM) dérivées de cellules souches embryonnaires humaines (CSEh). Les CSEh sont dissociées enzymatiquement par une protéase (dispase) en petits amas, puis cultivées pour former des corps embryoides (CE) dans un milieu supplémenté par du sérum de substitution et du facteur de croissance de type 2 des fibroblastes (FGF2). Les CE récoltés sont ensuite différenciés en cellules stromales mésenchymateuses dans des flacons enduits intérieurement de vitronectine, dans un milieu contenant du sérum de substitution, du FGF2 et du facteur de croissance transformant bêta-3 (TGF- $\beta 3$), puis mis à nouveau en culture dans le même milieu. Au final, les cellules expriment CD73, CD90 et CD 105 ($\geq 95\%$) et sont négatives pour CD34, CD45, CD11b, CD19 et HLA-DR ($\leq 2\%$). Les cellules sécrètent des taux élevés de l'immunomodulateur l'indoléamine-2,3-dioxigenase de type 1 (IDO-1) après une stimulation par des facteurs inflammatoires et peuvent se différencier en ostéoblastes, adipocytes et chondroblastes, dans des conditions standard de différenciation, en culture tissulaire *in vitro*

pangumestrocél

células estromales mesenquimales (CEM) alogénicas derivadas de células madre embrionarias humanas (CMEh). Las CMEhs se disocian enzimáticamente en pequeños grumos con dispasa y se cultivan hasta formar cuerpos embrioides (EBs) en medio suplementado con substituto de suero y factor de crecimiento de fibroblastos básico (bFGF). Los EBs cosechados se diferencian a células estromales mesenquimales en frascos forrados con vitronectina en medio que contiene substituto de suero, bFGF y factor de crecimiento transformante beta 3 (TGF- $\beta 3$) y luego se expanden en cultivo en el mismo medio. Las células finales expresan CD73, CD90 y CD105 ($\geq 95\%$) y son negativas para CD34, CD45, CD11b, CD19 y HLA-DR ($\leq 2\%$). Las células secretan altos niveles del inmunomodulador indoleamina 2,3-dioxigena 1 (IDO-1) después de la estimulación con factores inflamatorios y se pueden diferenciar a osteoblastos, adipocitos y condroblastos bajo condiciones de diferenciación en cultivo *in vitro* estándar

pasemnogenum gleparvovecum #

pasemnogene gleparvovec

recombinant non-replicating adeno-associated virus serotype 9 (AAV9) vector, encoding a codon-optimised human survival of motor neuron 1 (SMN1) gene, under control of the cytomegalovirus (CMV) enhancer/promoter and terminated by a human growth hormone polyadenylation signal, flanked by AAV2 inverted terminal repeats. A human beta-globin intron has been inserted between the promoter and the SMN1 coding region. The virus vector also contains mutations in the viral capsid protein VP1 (F422W and Y446F)

pasemnogène gléparvovec

vecteur recombinant non réplicatif du virus adéno-associé de sérotype 9 (AAV9), comprenant le gène codant la protéine de survie du motoneurone 1 humain (SMN1), optimisé par codon, sous contrôle de l'activateur/promoteur du cytomégavirus (CMV) et se terminant par un signal de polyadénylation de l'hormone de croissance humaine, flanqué de répétitions terminales inversées de l'AAV2. Un intron de bêta-globine humaine a été inséré entre le promoteur et la région codante du SMN1. Le vecteur viral comprend également des mutations dans la protéine virale de la capsid VP1 (F422W et Y446F)

pasemnogén gleparvovec

vector de virus adenoasociado del serotipo 9 (AAV9), recombinante, no replicativo, que codifica, con codones optimizados, el gen de supervivencia de la neurona motora 1 (SMN1) humano, bajo el control del potenciador/promotor del citomegalovirus (CMV) y terminado por una señal de poliadénilación de la hormona de crecimiento humana, flanqueado por las repeticiones terminales invertidas del AAV2. Se ha insertado un intrón de la beta-globina humana entre el promotor y la región codificante de SMN1. El vector viral también contiene una mutación en la proteína de la cápsida VP1 (F422W and Y446F)

pasritamigum #

pasritamig

immunoglobulin (H-gamma1_L-kappa)_scFvkh-G1(h-CH2-CH3), anti-[*Homo sapiens* KLK2 (kallikrein-2, kallikrein-related peptidase 2, kallikrein 2 prostatic) and anti-[*Homo sapiens* CD3E (CD3 epsilon, Leu-4)], *Homo sapiens* and humanized monoclonal antibody, bispecific, bivalent; H-gamma1 heavy chain *Homo sapiens*, anti-KLK2 (1-455) [VH (*Homo sapiens*IGHV4-59*01 (100%) -(IGHD)-IGHJ6*01 (94.4%), CDR-IMGT [8.7.19] (26-33.51-57.96-114)) (1-125) - *Homo sapiens*IGHG1*03v G1m3>G1m17, nG1m1 CH1 K120, CH3 E12, M14, G1v14-67 CH2 A1.3, A1.2, S27, G1v68 CH3 V6, L22, L79, W81 (CH1 R120>K (222) (126-223), hinge 1-15 (224-238), CH2 L1.3>A (242), L1.2>A (243), D27>S (273) (239-348), CH3 T6>V (358), E12 (364), M14 (366), T22>L (374), K79>L (400), T81>W (402) (349-453), CHS (454-455)) (126-455)], (228-214')-disulfide with L-kappa light chain *Homo sapiens*, anti-KLK2 (1'-214') [V-KAPPA (*Homo sapiens*IGKV1-9*01 (97.9%)-IGKJ4*01 (100%), CDR-IMGT [6.3.9] (27'-32'.50'-52'.89'-97')) (1'-107') -*Homo sapiens* IGKC*01 (100%) Km3 A45.1, V101 (C-KAPPA A45.1 (153'), V101 (191')) (108'-214')]; scFvkh-G1(h-CH2-CH3) heavy chain humanized, anti-CD3E (1"-475") [V-KAPPA (*Homo sapiens*IGKV1-39*01 (86.3%) -IGKJ2*01 (100%), CDR-IMGT [6.3.9] (27"-32".50"-52".89"-97")) (1"-107") -20-mer (GGSEGVSSGSGSESKESTGGGS) linker (108"-127") -VH (*Homo sapiens*IGHV3-21*01 (89.8%) -(IGHD)-IGHJ4*01 (100%), CDR-IMGT [8.8.9] (153"-160",.178"-185",.224"-232")) (128"-243") -*Homo sapiens*IGHG1*03 h-CH2-CH3, nG1m1 CH3 E12, M14, G1v14-67 CH2 A1.3, A1.2, S27, G1v37 h S5, G1v69 CH3 V6, Y7, A85.1, V86 (hinge 1-15 C5>S (248") (244"-258"), CH2 L1.3>A (262"), L1.2>A (263"), D27>S (293") (259"-368"), CH3 T6>V (378"), L7>Y (379"), E12 (384"), M14 (386"), F85.1>A (433"), Y86>V (435") (369"-473"), CHS (474"-475")) (244"-475")]; dimer (234-254": 237-257")-bisdisulfide, produced in Chinese hamster ovary (CHO) cells, glycoform alfa

pasritamig	<p>immunoglobuline (H-gamma1_L-kappa)_scFvkh-G1(h-CH2-CH3), anti-[<i>Homo sapiens</i> KLK2 (kalikréina-2, kallikréine peptidasa 2, kalikréina próstática) y anti-[<i>Homo sapiens</i> CD3E (CD3 épsilon, Leu-4)], anticuerpo monoclonal <i>Homo sapiens</i> y humanizado, biespecífico, bivalente; cadena pesada H-gamma1 <i>Homo sapiens</i>, anti-KLK2 (1-455) [VH (<i>Homo sapiens</i> IGHV4-59*01 (100%) -(IGHD) -IGHJ6*01 (94.4%), CDR-IMGT [8.7.19] (26-33.51-57.96-114)) (1-125) - <i>Homo sapiens</i>IGHG1*03v G1m3>G1m17, nG1m1 CH1 K120, CH3 E12, M14, G1v14-67 CH2 A1.3, A1.2, S27, GG1v68 CH3 V6, L22, L79, W81 (CH1 R120>K (222) (126-223), bisagra 1-15 (224-238), CH2 L1.3>A (242), L1.2>A (243), D27>S (273) (239-348), CH3 T6>V (358), E12 (364), M14 (366), T22>L (374), K79>L (400), T81>W (402) (349-453), CHS (454-455)) (126-455)], (228-214')-disulfuro con la cadena ligera L-kappa <i>Homo sapiens</i>, anti-KLK2 (1'-214') [V-KAPPA (<i>Homo sapiens</i> IGKV1-9*01 (97.9%) -IGKJ4*01 (100%), CDR-IMGT [6.3.9] (27'-32'.50'-52'.89'-97')) (1'-107') -<i>Homo sapiens</i> IGKC*01 (100%) Km3 A45.1, V101 (C-KAPPA A45.1 (153'), V101 (191')) (108'-214')];</p>
pasritamig	<p>inmunoglobulina (H-gamma1_L-kappa)_scFvkh-G1(h-CH2-CH3), anti-[<i>Homo sapiens</i> KLK2 (kalikréina-2, kallikréina peptidasa 2, kalikréina próstática) y anti-[<i>Homo sapiens</i> CD3E (CD3 épsilon, Leu-4)], anticuerpo monoclonal <i>Homo sapiens</i> y humanizado, biespecífico, bivalente; cadena pesada H-gamma1 <i>Homo sapiens</i>, anti-KLK2 (1-455) [VH (<i>Homo sapiens</i> IGHV4-59*01 (100%) -(IGHD) -IGHJ6*01 (94.4%), CDR-IMGT [8.7.19] (26-33.51-57.96-114)) (1-125) - <i>Homo sapiens</i>IGHG1*03v G1m3>G1m17, nG1m1 CH1 K120, CH3 E12, M14, G1v14-67 CH2 A1.3, A1.2, S27, GG1v68 CH3 V6, L22, L79, W81 (CH1 R120>K (222) (126-223), bisagra 1-15 (224-238), CH2 L1.3>A (242), L1.2>A (243), D27>S (273) (239-348), CH3 T6>V (358), E12 (364), M14 (366), T22>L (374), K79>L (400), T81>W (402) (349-453), CHS (454-455)) (126-455)], (228-214')-disulfuro con la cadena ligera L-kappa <i>Homo sapiens</i>, anti-KLK2 (1'-214') [V-KAPPA (<i>Homo sapiens</i> IGKV1-9*01 (97.9%) -IGKJ4*01 (100%), CDR-IMGT [6.3.9] (27'-32'.50'-52'.89'-97')) (1'-107') -<i>Homo sapiens</i> IGKC*01 (100%) Km3 A45.1, V101 (C-KAPPA A45.1 (153'), V101 (191')) (108'-214')];</p>

cadena pesada scFvkh-G1(h-CH2-CH3) humanizada, anti-CD3E (1"-475") [V-KAPPA (*Homo sapiens* IGKV1-39*01 (86.3%) - IGKJ2*01 (100%), CDR-IMGT [6.3.9] (27"-32".50"-52".89"-97")) (1"-107") -20-mer (GGSEGVSSGSGSESKESTGGGS) linker (108"-127") -VH (*Homo sapiens*IGHV3-21*01 (89.8%) -(IGHD) -IGHJ4*01 (100%), CDR-IMGT [8.8.9] (153"-160".178"-185".224"-232")) (128"-243") -*Homo sapiens*IGHG1*03 h-CH2-CH3, nG1m1 CH3 E12, M14, G1v14-67 CH2 A1.3, A1.2, S27, G1v37 h S5, G1v69 CH3 V6, Y7, A85.1, V86 (bisagra 1-15 C5>S (248") (244"-258"), CH2 L1.3>A (262"), L1.2>A (263"), D27>S (293") (259"-368"), CH3 T6>V (378"), L7>Y (379"), E12 (384"), M14 (386"), F85.1>A (433"), Y86>V (435") (369"-473"), CHS (474"-475") (244"-475"]); dímero (234-254": 237-257")-bisdisulfuro, producido en las células ováricas de hámster chino (CHO), forma glicosilada alfa

Heavy chain / Chaîne lourde / Cadena pesada: H-gamma1 anti-KLK2 (H)
 QVQLQESPGV LVVKPSETLSL TCTVSGGSIS SYYWIRQPV PGKCLEWIGVY 50
 IYYSGSTNYN PSLKSRVTIS VDTSKRNQFLS KLSSVTAADT AVYYCAGTTI 100
 FGVVTPNFYY GMDDVWQCGTT VTVSSASTKGK PSVFFPLAPSS KSTSGGTAAL 150
 GLCLVKDGYFPE PVTVWSNSGA LTSGVHTFFA VLQSSGLYSL SSVVTVPSS 200
 LGTQTYCICNV NHKPSNTKVD KKVEPKSCDK THTCPPCPAP EAAGGPPSVFL 250
 FPPKPKDITLM ISRTPEVTCV VVSVSHEDPE VKFNWYVVDGV EVHNARTKPR 300
 EEQYNSTYRV VSVLTVLHQD WLNGKEYKCK VSNAKALPAPI EKTISKAKGQ 350
 PREPQVVLVP PSREEMTKNQ VSLICLVLKGF YPSDIAVEWE SNQPEENNLY 400
 TWPPVLDSDG SFFLYSKLTV DKSRWQQGNV FSCSVMHEAL HNHYTQKSL 450
 LSPGK 455

Light chain / Chaîne légère / Cadena ligera: L-kappa anti-KLK2 (L)
 DIQMTQSPSLE LSASVGDRVT ITCCRASQSGIS SYLAWYQQKP GKAKFKLIYA 50
 ASTLQSGVPS RFSGSGSGTE FTLTISLQP EDFATYYCQQ SGSWPYTFGG 100
 GTKVEIKRTV AAPSFVIFPP SDEQLKSGTA SVVCLNNFY PREAKVQWKV 150
 DNALQSGNSQ ESVTEQDSKD STYSLLSSTLT LSKADYEKHK VYACEVTHQG 200
 LSSPVTKSFSV RGECE 214

Heavy chain / Chaîne lourde / Cadena pesada: scFvkh anti-CD3E (H")
 DIQMTQSPSS LEASVGDRVT ITCCRASQSGIS TAIHWYQQKP GKAKFKLIYK 50
 ASESIQSPSLE RFSGSGSGTD FTLTISLQP EDFATYYCQQ SGSWPYTFGG 100
 GTKLEIKGGG EGKSGSGSGE SKSTGGSEVQ LVESGGGILVW PGSSLRLSCA 150
 ASGFTFQSYMNWVRQAPGK GLEWVSSIT SSNNIYYADS VKGRFTFSR 200
 NAKNSLDLQM SGLRAEDTAI YYCTRGRWGF DYWGQGTIVT VVSEPKSSDK 250
 THTCPPCPAP EAAGGPPSVFL FFPKPKDITLM ISRTPEVTCV VVSVSHEDPE 300
 VKFNWYVVDGV EVHNARTKPR EEQYNSTYRV VSVLTVLHQD WLNGKEYKCK 350
 VSNAKALPAPI EKTISKAKGQ PREPQVYVYP PSREEMTKNQ VSLICLVLKGF 400
 YPSDIAVEWE SNQPEENNLY TPPVLDSDG SFALVSKLTV DKSRWQQGNV 450
 FSCSVMHEAL HNHYTQKSL 475

Post-translational modifications
 Disulfide bridges location / Position des ponts disulfure / Posiciones de los puentes disulfuro
 Intra-H (C23-C104) 22"-95 152-208 269-329 375-433
 23"-88" 149"-223" 289"-349" 395"-453"
 Intra-L (C23-C104) 23"-88" 134"-194"
 Inter-H-L (CH1 10-CL 126) 228-214"
 Inter-H-H (h 8, 11) 234-254" 237-257"

N-terminal glutaminyl cyclization / Cyclisation du glutaminyle N-terminal / Ciclación del glutamínico N-terminal
 Q > pyroglutamyl (pE, 5-oxoprolyl) / pyroglutamyle (pE, 5-oxoprolyle) / piroglutamilo (pE, 5-oxoprolilo)
 H VH Q1: 1

N-glycosylation sites / Sites de N-glycosylation / Posiciones de N-glicosilación
 H CH2 NR4.4: 305, 325"
 Fucosylated complex bi-antennary CHO-type glycans / glycanes de type CHO bi-antennaires complexes fucosylés / glicanos de tipo CHO biantenarios complejos fucosilados.

C-terminal lysine clipping / Coupure de la lysine C-terminale / Recorte de lisina C-terminal
 H CHS K2:455, 475"

pebezertinibum pebezertinib

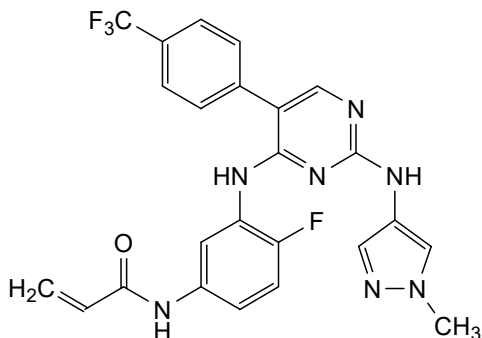
N-[4-fluoro-3-(2-[(1-methyl-1*H*-pyrazol-4-yl)amino]-5-[4-(trifluoromethyl)phenyl]pyrimidin-4-yl)amino]phenyl]prop-2-enamide

pébérzertinib

N-[4-fluoro-3-(*{*2-[*(*1-méthyl-1*H*-pyrazol-4-yl)amino]-5-[4-(trifluorométhyl)phényl]pirimidin-4-yl}amino)phényl]prop-2-énamide

pebezertinib

N-[4-fluoro-3-(*{*2-[*(*1-méthyl-1*H*-pirazol-4-yl)amino]-5-[4-(trifluorométhyl)fenil]pirimidin-4-yl}amino)fenil]prop-2-enamida

**pegevongitidum**

pegevongitide

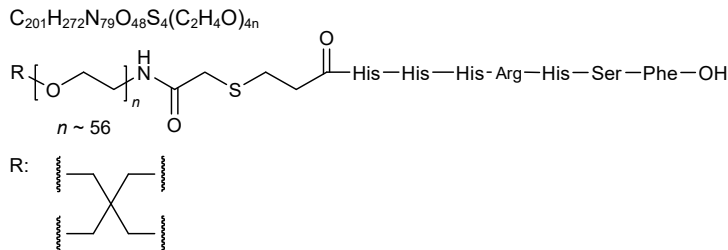
N^{2,1}-{3-[*{*2-[*{*α-(*{*2-[*{*3-(L-histidyl-L-histidyl-L-histidyl-L-arginyl-L-histidyl-L-séryl-L-phenylalanin-N^{2,1}-yl)-3-oxopropyl]sulfanyl}acetamido)poly(oxyéthylène)-ω-yl]-2,2-bis[*{*α-(*{*2-[*{*3-(L-histidyl-L-histidyl-L-histidyl-L-arginyl-L-histidyl-L-séryl-L-phenylalanin-N^{2,1}-yl)-3-oxopropyl]sulfanyl}acetamido)poly(oxyéthylène)-ω-yl]methyl}propyl]poly(oxyéthylène)-ω-yl]amino}-2-oxoéthyl)sulfanyl]propanoyl}-L-histidyl-L-histidyl-L-histidyl-L-arginyl-L-histidyl-L-séryl-L-phenylalanine

pégevongitide

N^{2,1}-{3-[*{*2-[*{*α-(*{*2-[*{*3-(L-histidyl-L-histidyl-L-histidyl-L-arginyl-L-histidyl-L-séryl-L-phenylalanin-N^{2,1}-yl)-3-oxopropyl]sulfanyl}acétamido)poly(oxyéthylène)-ω-yl]-2,2-bis[*{*α-(*{*2-[*{*3-(L-histidyl-L-histidyl-L-histidyl-L-arginyl-L-histidyl-L-séryl-L-phenylalanin-N^{2,1}-yl)-3-oxopropyl]sulfanyl}acétamido)poly(oxyéthylène)-ω-yl]méthyl}propyl]poly(oxyéthylène)-ω-yl]amino}-2-oxoéthyl)sulfanyl]propanoyl}-L-histidyl-L-histidyl-L-histidyl-L-arginyl-L-histidyl-L-séryl-L-phenylalanine

pegevongitida

N^{2,1}-{3-[*{*2-[*{*α-(*{*2-[*{*3-(L-histidyl-L-histidyl-L-histidyl-L-arginil-L-histidyl-L-seril-L-fenilalanin-N^{2,1}-il)-3-oxopropil]sulfanil}acetamido)poli(oxietileno)-ω-il]-2,2-bis[*{*α-(*{*2-[*{*3-(L-histidyl-L-histidyl-L-histidyl-L-arginil-L-histidyl-L-seril-L-fenilalanin-N^{2,1}-il)-3-oxopropil]sulfanil}acetamido)poli(oxietileno)-ω-il]methil}propil]poli(oxietileno)-ω-il]amino}-2-oxoéthyl)sulfanil]propanoil}-L-histidyl-L-histidyl-L-histidyl-L-arginil-L-histidyl-L-seril-L-fenilalanina

**peluntamig #**

peluntamig

immunoglobulin H-gamma1_L-kappa, anti-[*Homo sapiens* CD47 (CD47 molecule, integrin associated protein, IAP, MER6, OA3) and anti-[*Homo sapiens* DLL3 (delta-like ligand 3, delta like canonical Notch ligand 3)], bispesific; H-gamma1 heavy chain anti-CD47 (1-444) [VH (*Homo sapiens*IGHV1-46*01 (88.7%) -(IGHD) -IGHJ4*01 (100%), CDR-IMGT [8.8.7] (26-33.51-58.97-103)) (1-114) -*Homo sapiens*IGHG1*01 G1m17,1 CH1 K120, CH3 D12, L14, G1v74 CH3 C10, G1v32 CH3 W22 (knob) (CH1 K120 (211) (115-212), hinge 1-15 (213-227), CH2 (228-337), CH3 S10>C (351), D12 (353), L14 (355), T22>W (363) (338-442), CHS (443-444)) (115-444), (217-214')- disulfide with common L-kappa light chain (1'-214') [V-KAPPA (*Homo sapiens*IGKV3-20*01 (84.4%) -IGKJ1*01 (91.7%), CDR-IMGT [6.3.9] (27'-32'.50'-52'.89'-97')) (1'-107') -*Homo sapiens*IGKC*01 (100%) Km3 A45.1, V101 (C-KAPPA A45.1 (153'), V101 (191')) (108'-214')]; H-gamma1 heavy chain anti-DLL3 (1'-448") [VH Musmus/Homsap (*Mus musculus*IGHV1-14*02 (71.4%) -(IGHD) -IGHJ2*01 (69.2%) Q120>R (110"), T122>A (112"), T123>P (113"), L124>V (114")/*Homo sapiens*IGHV1-3*01 (65.3%) -(IGHD) -IGHJ4*01 (76.9%), CDR-IMGT [8.8.11] (26"-33".51"-58".97"-107")) (1"-118") -*Homo sapiens*IGHG1*01, G1m17,1 CH1 K120, CH3 D12, L14, G1v75 CH3 C5, G1v33 CH3 S22, A24, V86 (hole) (CH1 K120 (215")) (119"-216"), hinge 1-15 (217"-231"), CH2 (232"-341"), CH3 Y5>C (350"), D12 (357"), L14 (359"), T22>S (367"), L24>A (369"), Y86>V (408") (342"-446"), CHS (447"-448")) (119"-448")], (221"-214")-disulfide with common L-kappa light chain (1"-214") [V-KAPPA (*Homo sapiens*IGKV3-20*01 (84.4%) -IGKJ1*01 (91.7%), CDR-IMGT [6.3.9] (27"-32".50"-52".89"-97")) (1"-107") -*Homo sapiens*IGKC*01 (100%) Km3 A45.1, V101 (C-KAPPA A45.1 (153""), V101 (191"")) (108"-214")]; dimer (223-227":226-230":351-350")-trisdisulfide, produced in Chinese hamster ovary (CHO) cells, glycoform alfa

péltuntamig

immunoglobuline H-gamma1_L-kappa, anti-[*Homo sapiens* CD47 (CD47 molécule, protéine associée à l'intégrine, IAP, MER6, OA3)] et anti-[*Homo sapiens* DLL3 (delta-like ligand 3, delta like canonical Notch ligand 3)], bispécifique; chaîne lourde H-gamma1 anti-CD47 (1-444) [VH (*Homo sapiens*IGHV1-46*01 (88.7%) -(IGHD) -IGHJ4*01 (100%), CDR-IMGT [8.8.7] (26-33.51-58.97-103)) (1-114) -*Homo sapiens*IGHG1*01 G1m17,1 CH1 K120, CH3 D12, L14, G1v74 CH3 C10, G1v32 CH3 W22 (knob) (CH1 K120 (211) (115-212), charnière 1-15 (213-227), CH2 (228-337), CH3 S10>C (351), D12 (353), L14 (355), T22>W (363) (338-442), CHS (443-444)) (115-444)], (217-214')-disulfure avec la chaîne légère commune L-kappa anti-CD47 (1'-214') [V-KAPPA (*Homo sapiens*IGKV3-20*01 (84.4%) -IGKJ1*01 (91.7%), CDR-IMGT [6.3.9] (27'-32'.50'-52'.89'-97')) (1'-107') -*Homo sapiens*IGKC*01 (100%) Km3 A45.1, V101 (C-KAPPA A45.1 (153'), V101 (191')) (108'-214')];

chaîne lourde H-gamma1 anti-DLL3 (1"-448") [VH Musmus/Homsap (*Mus musculus*) IGHV1-14*02 (71.4%) - (IGHD) -IGHJ2*01 (69.2%) Q120>R (110"), T122>A (112"), T123>P (113"), L124>V (114")/*Homo sapiens* IGHV1-3*01 (65.3%) -(IGHD) -IGHJ4*01 (76.9%), CDR-IMGT [8.8.11] (26"-33".51"-58".97"-107")) (1"-118") -*Homo sapiens* IGHG1*01, G1m17,1 CH1 K120, CH3 D12, L14, G1v75 CH3 C5, G1v33 CH3, S22, A24, V86 (hole) (CH1 K120 (215") (119"-216"), charnière 1-15 (217"-231"), CH2 (232"-341"), CH3 Y5>C (350"), D12 (357"), L14 (359"), T22>S (367"), L24>A (369"), Y86>V (408") (342"-446"), CHS (447"-448")) (119"-448")], (221"-214")-disulfure avec la chaîne légère commune L-kappa (1"-214") [V-KAPPA (*Homo sapiens*) IGKV3-20*01 (84.4%) - IGKJ1*01 (91.7%), CDR-IMGT [6.3.9] (27"-32".50"-52".89"-97")) (1"-107") -*Homo sapiens* IGKC*01 (100%) Km3 A45.1, V101 (C-KAPPA A45.1 (153")), V101 (191")) (108"-214")]; dimère (223-227":226-230":351-350")-trisdisulfure, produit dans des cellules ovariennes de hamster chinois (CHO), glycoforme alfa

peluntamig

inmunoglobulina H-gamma1_L-kappa, anti-[*Homo sapiens* CD47 (CD47 molécula, proteína asociada a la integrina, IAP, MER6, OA3)] y anti-[*Homo sapiens* DLL3 (delta-like ligando 3, delta like canonical Notch ligand 3)], biespecífico; cadena pesada H-gamma1 anti-CD47 (1-444) [VH (*Homo sapiens*) IGHV1-46*01 (88.7%) -(IGHD) -IGHJ4*01 (100%), CDR-IMGT [8.8.7] (26-33.51-58.97-103)) (1-114) -*Homo sapiens* IGHG1*01 G1m17,1 CH1 K120, CH3 D12, L14, G1v74 CH3 C10, G1v32 CH3 W22 (knob) (CH1 K120 (211) (115-212), bisagra 1-15 (213-227), CH2 (228-337), CH3 S10>C (351), D12 (353), L14 (355), T22>W (363) (338-442), CHS (443-444) (115-444)], (217-214")-disulfuro con la cadena ligera común L-kappa anti-CD47 (1"-214") [V-KAPPA (*Homo sapiens*) IGKV3-20*01 (84.4%) -IGKJ1*01 (91.7%), CDR-IMGT [6.3.9] (27"-32".50"-52".89"-97")) (1"-107") -*Homo sapiens* IGKC*01 (100%) Km3 A45.1, V101 (C-KAPPA A45.1 (153'), V101 (191')) (108"-214")]; cadena pesada H-gamma1 anti-DLL3 (1"-448") [VH Musmus/Homsap (*Mus musculus*) IGHV1-14*02 (71.4%) - (IGHD) -IGHJ2*01 (69.2%) Q120>R (110"), T122>A (112"), T123>P (113"), L124>V (114")/*Homo sapiens* IGHV1-3*01 (65.3%) -(IGHD) -IGHJ4*01 (76.9%), CDR-IMGT [8.8.11] (26"-33".51"-58".97"-107")) (1"-118") -*Homo sapiens* IGHG1*01, G1m17,1 CH1 K120, CH3 D12, L14, G1v75 CH3 C5, G1v33 CH3, S22, A24, V86 (hole) (CH1 K120 (215") (119"-216"), bisagra 1-15 (217"-231"), CH2 (232"-341"), CH3 Y5>C (350"), D12 (357"), L14 (359"), T22>S (367"), L24>A (369"), Y86>V (408") (342"-446"), CHS (447"-448")) (119"-448")], (221"-214")-disulfuro con la cadena ligera común L-kappa (1"-214") [V-KAPPA (*Homo sapiens*) IGKV3-20*01 (84.4%) -IGKJ1*01 (91.7%), CDR-IMGT [6.3.9] (27"-32".50"-52".89"-97")) (1"-107") -*Homo sapiens* IGKC*01 (100%) Km3 A45.1, V101 (C-KAPPA A45.1 (153")), V101 (191")) (108"-214")]; dímero (223-227":226-230":351-350")-trisdisulfuro, producido en las células ováricas de hámster chino (CHO), forma glicosilada alfa

Heavy chain / Chaîne lourde / Cadena pesada : H-gamma1 anti-CD47 (knob) (H)
 QVQLVQSGAE VKKPGAVKV SCKASGYTFT SYWMHWVRQA PGQGLEWIGN 50
 IDPSDSETHY AQRFQGRVTL TVDKSTSTVY MELSSLRSED TAVYYCAGTD 100
 LAYWGQGTLV TVSSASTKGP SVFPLAPSSK STSGGTAALG CLVKDVFPEP 150
 TVVSNSGAL TSGVHTPPAV LQSSGLYLSL SVVTVPSSSL GTQTYICVN 200
 HKPSNTKVDK KVEPKSCDKT HTCPCPAPE LLGGPSVFLP PKPKDTLMI 250
 SRTPEVTCVV VDVSHEDPEV KFNWYVDGVE VHNAKTKPQE EQYNSTYRVV 300
 SVLTVLHQDW LNGKEYKCKV SNKALPAIE KTISKAKGQP REPVQYTLPP 350
 CRDELTKNQV SLWCLVKGFY PSDIAWEWS NGQPENNYKT TPVLDSDGS 400
 FFLYSKLTVD KSRWQQGNVF SCSVMHEAL NHYTQKSLSL SPKG 444

Heavy chain / Chaîne lourde / Cadena pesada : H-gamma1 anti-DLL3 (hole) (H")
 EVRLSQSGQQ MKKPGEMLR SCRASGYTFT SYVMHWVRQA PGRRFEWIGI 50
 INPYNDATKY ARKFQGRATL TSDKYSDTAF LELRSLTSDD TAVYYCARGG 100
 YDYDGDYNGR GAPVTSSAS TKGPSVFPFLA PSSSKSTSGGT AALGCLVKDY 150
 FPEPVTVSWN SGALTSGVHT FPAVLQSSGL YSLSSVVTVP SSSLGTQTYI 200
 CNVNHKPSNT KVDDKVEPEK CDKTHTCPC PAPELLLGPS VFLFPKPKD 250
 TLMISRTEPV TCVVVDVSHE DPEVKFNVYV DGVEVHNAKT KFREQYQNST 300
 YRVSVLTVL HQDWLNKEYK CKCVSNKALP APIEKTIISKA KGQPREPVQC 350
 TLPPSRDELT KNQVSLNGCAV KGFYPSDIW EWESENQOPEN NYKTPPPVLD 400
 SDGSFFLVSK LTVDKSRWQQ GNFSCSVNHEAL NHLYHNTQK SLSLSPKG 448

Light chain / Chaîne légère / Cadena ligera : L-kappa common (L' L")

EIVLTQSPGT LSLSPGERAT LSCHASQNIN VVLSWYQKQP GQAPRLLIYK 50
 ASNLTGIPD RFGSGSGSTD FTLTISRLEP EDFAVYYCQQ GSQSYFTTFQG 100
 GTKVEIKRTV AAASFVIFPP SDEQLKSGTA SVVCLNNFY FREAKVQWKV 150
 DNALOQSGNSQ ESVTEQDSKD STYSLSSTLT LSKADYEKHK VYACEVTHQG 200
 LSSPVTKSFN RGEc 214

Post-translational modifications

Disulfide bridges location / Position des ponts disulfure / Posiciones de los puentes disulfuro
 Intra-H (C23-C104) 22"-96" 141"-197" 258"-318" 364"-422"
 22"-96" 145"-201" 262"-322" 368"-426"

Intra-L (C23-C104) 23"-88" 134"-194"
 23"-88" 134"-199"

Inter-H-L (h 5-CL 126) 217-214" 221"-214"

Inter-H-H (h 11, h 14) 223-227" 226-230"

Inter-H-H (CH3 C10-C5)* 351-350"

*variants G1v74 (H CH3 C10) and G1v75 (H" CH3 C5) creating an additional inter-H-H disulfide bond.

N-terminal glutaminyl cyclization / Cyclisation du glutaminyle N-terminal / Ciclación del glutaminilo N-terminal

Q > pyroglutamyl (pE, 5-oxoprolyl) / pyroglutamyle (pE, 5-oxoprolyle) / piroglutamilo (pE, 5-oxoprolilo)

H VH Q1: 1

N-glycosylation sites / Sites de N-glycosylation / Posiciones de N-glicosilación

H CH2 N84.4: 294, 298"

Fucosylated complex bi-antennary CHO-type glycans / glycanes de tipo CHO bi-antennarios complejos fucosilados.

C-terminal lysine clipping / Coupeure de la lysine C-terminale / Recorte de lisina C-terminal
 H CHS K2:
 444, 448"

persicabtagenum lemgedleuelum #

persicabtagene lemgedleuel

allogeneic CD4+/CD8+ T lymphocytes obtained from peripheral blood mononuclear cells by leukapheresis of healthy donors, transduced with a lentiviral vector to overexpress CD47 and a CD19-directed chimeric antigen receptor (CAR). The cells have also been gene-edited using CRISPR/Cas12b (clustered regularly interspaced short palindromic repeats/CRISPR-associated protein 12b) nuclease introduced as mRNA in combination with single guide RNAs (sgRNAs), to disrupt the T cell receptor alpha constant (TRAC), beta-2 microglobulin (B2M), and class II major histocompatibility complex transactivator (CIITA) gene loci. The lentivirus vector genome is flanked by 5' and 3' long terminal repeats (LTRs) and contains a human immunodeficiency virus (HIV) packaging signal, HIV gag, HIV envelope, Rev response element (RRE), and central polypurine tract/central termination sequences, and a mutant Woodchuck hepatitis virus posttranscriptional regulatory element (WPRE). The CD47-CD19 transgene comprises a codon optimised CD47 coding region, a furin cleavage sequence,

a *Thosea asigna* virus 2A (T2A) ribosomal skip sequence, a CD8 α signal peptide, and an anti-CD19 single chain variable fragment (clone FMC63), fused to a CD8 α hinge, CD8 α transmembrane, 4-1BB co-stimulatory and CD3 ζ signaling domain and is under control of the human elongation factor-1 alpha promoter (EF-1 α).

The leukapheresis material is enriched for CD4/CD8 T lymphocytes by positive immunoselection, activated by CD3 and CD28 agonists and subject to gene editing. The cells are then expanded in media supplemented with serum replacement and interleukin 2 (IL-2). The cell suspension consists of T lymphocytes (>90%) with greater than 35% of the T lymphocytes expressing the CAR transgene, and with $\geq 70\%$ *B2M* disrupted, and $\geq 70\%$ *CITA* disrupted cells. The cells exhibit antigen-specific interferon gamma (IFN- γ) secretion when cultured with target cells

persicabtagène lemgedleucel

lymphocytes T allogéniques CD4+/CD8+ obtenus, à partir de cellules du sang périphérique, prélevées chez des donneurs sains par leucaphérèse, transduits avec un vecteur lentiviral pour surexprimer le CD47, et un récepteur portant un antigène chimérique dirigé contre CD19. Les cellules ont également fait l'objet d'une modification génétique à l'aide d'une nucléase CRISPR/Cas12b (répétitions palindromiques courtes régulièrement espacées/protéine associée à CRISPR 12b), introduite sous forme d'ARNm en combinaison avec des ARN guides simples (ARNsg), afin de perturber la chaîne constante alpha du récepteur des lymphocytes T (*TRAC*), la bêta-2-microglobuline (*B2M*) et les loci géniques du transactivateur du complexe majeur d'histocompatibilité de classe II (*CITA*). Le génome du vecteur lentiviral est flanqué de répétitions terminales longues (LTR) en 5' et 3' et contient un signal d'encapsulation du virus de l'immunodéficience humaine (VIH), la protéine *gag* du VIH, la glycoprotéine d'enveloppe (*Env*) du VIH, un élément de réponse Rev (RRE), une séquence centrale du tractus polypurine (cPPT)/centrale de terminaison (CTS), et un élément régulateur posttranscriptionnel du virus de l'hépatite de la marmotte (WPRE). Le transgène CD47-CD19 comprend une région codante CD47 optimisée par codon, une séquence de clivage de la furine, une séquence de saut ribosomique 2A (T2A) du virus de *Thosea asigna*, un peptide signal CD8 α et un fragment variable à chaîne unique (scFv) anti-CD19 (clone FMC63), fusionné à une région charnière, un domaine transmembranaire CD8 α , un domaine co-stimulant 4-1BB et un domaine de signalisation CD3 ζ , sous contrôle du promoteur du facteur d'elongation-1 alpha (EF-1 α).

Le matériel de leucaphérèse est enrichi en lymphocytes T CD4/CD8 par immunosélection positive, activé par les agonistes CD3 et CD28 et soumis à une modification génétique. Les cellules sont ensuite mises en expansion dans un milieu supplémenté avec un substitut de serum, et de l'interleukine-2 (IL-2). La suspension cellulaire est constituée de lymphocytes T (>90%), avec plus de 35% de lymphocytes T exprimant le CAR transgène et dont $\geq 70\%$ sont des cellules avec une disruption génique *B2M* et $\geq 70\%$ de cellules avec une disruption génique *CITA*. Les cellules sécrètent de l'interféron gamma (IFN- γ) spécifique de l'antigène, lorsqu'elles sont cultivées avec les cellules cibles

persicabtagén lemgedleucel linfocitos T CD4+/CD8+ alogénicos obtenidos de células mononucleares de sangre periférica a partir de leucoaféresis de donantes sanos, transducidos con un vector lentiviral para sobre expresar CD47 y un receptor de antígenos quimérico (CAR) dirigido a CD19. Las células también han sido editadas genéticamente usando la nucleasa CRISPR/Cas12b (repeticiones palindrómicas agrupadas y espaciadas regularmente/proteína asociada a CRISPR 12b) introducida como ARNm en combinación con ARNs de guía únicos (sgARNs), para la ruptura de los loci de los genes de la cadena constante alfa del receptor de linfocitos T (*TRAC*), la beta-2 microglobulina (*B2M*) y el transactivador del complejo principal de histocompatibilidad de clase II (*CITA*). El genoma del vector lentiviral está flanqueado por repeticiones terminales largas (LTRs) en 5' y 3' y contiene una señal de empaquetamiento del virus de la inmunodeficiencia humana (HIV), HIV *gag*, envuelta del HIV, un elemento de respuesta Rev (RRE), secuencias de tracto de poli-purina/terminación central y un elemento regulador post-transcripcional mutado del virus de la hepatitis de la marmota (WPRE). El transgén CD47-CD19 consta de una región, con codones optimizados, que codifica para CD47, una secuencia de escisión de furina, una secuencia de salto ribosomal 2A del virus *Thosaea asigna*, un péptido señal de CD8α y un fragmento variable de cadena sencilla (scFv) anti-CD19 (clón FMC63) fusionado a un dominio bisagra de CD8α, un dominio transmembrana de CD8α, un dominio coestimulador de 4-1BB y un dominio de señalización de CD3ζ, y está bajo el control del promotor del factor de elongación-1 alfa (EF-1α). El material de leucoaféresis se enriquece en linfocitos T CD4/CD8 mediante inmunoselección positiva, se activan mediante agonistas de CD3 y CD28 y se someten a edición genética. Las células se expanden después en medio suplementado con substituto de suero e interleuquina 2 (IL-2). La suspensión celular consiste en linfocitos T ($\geq 90\%$) con más del 35% de los linfocitos T que expresan el transgén del CAR y con $\geq 70\%$ de las células con el *B2M* eliminado y $\geq 70\%$ el *CITA* eliminado. Las células muestran secreción de interferón gamma (IFN-γ) específica de antígeno cuando se cultivan con células diana

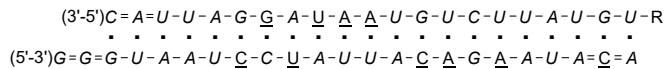
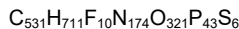
pivicasiranum
pivicasiran

[*(2S,4R)*-1-{1-[{2-acetamido-2-deoxy-β-D-galactopyranosyl}oxy]-16,16-bis([3-[{3-[5-[{2-acetamido-2-deoxy-β-D-galactopyranosyl}oxy]pentanamido}propyl]amino]-3-oxopropoxy)methyl]-5,11,18-trioxo-14-oxa-6,10,17-triazanonacosan-29-oyl}-4-hydroxypyrrolidin-2-yl]methyl hydrogen
all-P-ambo-2'-O-methyl-P-thiocytidyl-(3'→5')-2'-O-methyl-P-thioadenylyl-(3'→5')-2'-O-methyluridyl-(3'→5')-2'-O-methyluridyl-(3'→5')-2'-O-methylguanylyl-(3'→5')-2'-deoxy-2'-fluoroguananyl-(3'→5')-2'-O-methyladenylyl-(3'→5')-2'-deoxy-2'-fluorouridyl-(3'→5')-2'-deoxy-2'-fluoroadenylyl-(3'→5')-2'-O-methyluridyl-(3'→5')-2'-O-methylguanylyl-(3'→5')-2'-O-methyluridyl-(3'→5')-2'-O-methylcytidyl-(3'→5')-2'-O-methyluridyl-(3'→5')-2'-O-methyladenylyl-(3'→5')-2'-O-methyluridyl-(3'→5')-2'-O-methylguanylyl-(3'→5')-2'-O-methyl-3'-uridylate

duplex with all-*P*-ambo-2'-O-methyl-*P*-thioguananylyl-(5'→3')-2'-O-methyl-*P*-thioguananylyl-(5'→3')-2'-O-methylguanylyl-(5'→3')-2'-O-methyluridylyl-(5'→3')-2'-O-methyladenylyl-(5'→3')-2'-O-methyladenylyl-(5'→3')-2'-O-methyluridylyl-(5'→3')-2'-deoxy-2'-fluorocytidyl-(5'→3')-2'-O-methylcytidyl-(5'→3')-2'-deoxy-2'-fluorouridyl-(5'→3')-2'-O-methyladenylyl-(5'→3')-2'-O-methyluridylyl-(5'→3')-2'-O-methyluridyl-(5'→3')-2'-O-methyladenylyl-(5'→3')-2'-deoxy-2'-fluorocytidyl-(5'→3')-2'-deoxy-2'-fluoroadenyl-(5'→3')-2'-O-methylguanylyl-(5'→3')-2'-deoxy-2'-fluoroadenyl-(5'→3')-2'-O-methyladenylyl-(5'→3')-2'-O-methyluridyl-(5'→3')-2'-O-methyl-*P*-thioadenylyl-(5'→3')-2'-deoxy-2'-fluoro-*P*-thiocytidyl-(5'→3')-2'-O-methyladenosine

pivicasiran tout-*P*-ambo-2'-O-méthyl-*P*-thiocytidylyl-(3'→5')-2'-O-méthyl-*P*-thioadénylyl-(3'→5')-2'-O-méthyluridylyl-(3'→5')-2'-O-méthyluridylyl-(3'→5')-2'-O-méthyladénylyl-(3'→5')-2'-O-méthylguanylyl-(3'→5')-2'-désoxy-2'-fluoroguanylyl-(3'→5')-2'-O-méthyladénylyl-(3'→5')-2'-désoxy-2'-fluorouridyl-(3'→5')-2'-désoxy-2'-fluoroadénlyl-(3'→5')-2'-désoxy-2'-fluoroadénlyl-(3'→5')-2'-O-méthyluridylyl-(3'→5')-2'-O-méthylguanylyl-(3'→5')-2'-O-méthyluridylyl-(3'→5')-2'-O-méthylcytidyl-(3'→5')-2'-O-méthyluridylyl-(3'→5')-2'-O-méthyluridylyl-(3'→5')-2'-O-méthyladénylyl-(3'→5')-2'-O-méthyluridylyl-(3'→5')-2'-O-méthylguanylyl-(3'→5')-hydrogénico-2'-O-méthyl-3'-uridylate de [(2*S,4R*)-1-{1-[{2-acétamido-2-désoxy-β-D-galactopyranosyl}oxy]-16,16-bis({3-[3-{5-[{2-acétamido-2-désoxy-β-D-galactopyranosyl}oxy]pentanamido}propyl)amino]-3-oxopropoxy)méthyl}-5,11,18-trioxo-14-oxa-6,10,17-triazanonacosan-29-oyl}-4-hydroxypyrrolidin-2-yl]méthyle duplex avec tout-*P*-ambo-2'-O-méthyl-*P*-thioguanylyl-(5'→3')-2'-O-méthyl-*P*-thioguanylyl-(5'→3')-2'-O-méthylguanylyl-(5'→3')-2'-O-méthyluridylyl-(5'→3')-2'-O-méthyladénylyl-(5'→3')-2'-O-méthyluridylyl-(5'→3')-2'-désoxy-2'-fluorocytidyl-(5'→3')-2'-O-méthylcytidyl-(5'→3')-2'-désoxy-2'-fluorouridyl-(5'→3')-2'-O-méthyladénylyl-(5'→3')-2'-O-méthyluridylyl-(5'→3')-2'-O-méthyluridylyl-(5'→3')-2'-O-méthyluridylyl-(5'→3')-2'-désoxy-2'-fluoroadénlyl-(5'→3')-2'-O-méthylguanylyl-(5'→3')-2'-désoxy-2'-fluoroadénlyl-(5'→3')-2'-O-méthyluridylyl-(5'→3')-2'-O-méthyluridylyl-(5'→3')-2'-O-méthyluridylyl-(5'→3')-2'-O-méthyl-*P*-thioadénylyl-(5'→3')-2'-désoxy-2'-fluoro-*P*-thiocytidyl-(5'→3')-2'-O-méthyladénosine

pivicasirán todo-*P*-ambo-2'-O-metil-*P*-tiocitidilil-(3'→5')-2'-O-metil-*P*-tioadenilil-(3'→5')-2'-O-metiluridilil-(3'→5')-2'-O-metiluridilil-(3'→5')-2'-O-metiladenilil-(3'→5')-2'-O-metilguanilil-(3'→5')-2'-desoxi-2'-fluoroguanilil-(3'→5')-2'-O-metiladenilil-(3'→5')-2'-desoxi-2'-fluorouridilil-(3'→5')-2'-desoxi-2'-fluoroadenilil-(3'→5')-2'-O-metiluridilil-(3'→5')-2'-O-metilguanilil-(3'→5')-2'-O-metiluridilil-(3'→5')-2'-O-metiluridilil-(3'→5')-2'-O-metilguanilil-(3'→5')-2'-O-metiluridilil-(3'→5')-2'-O-metiladenilil-(3'→5')-2'-O-metiluridilil-(3'→5')-2'-O-metilguanilil-(3'→5')-hidrógeno-2'-O-metil-3'-uridilato de [(2*S,4R*)-1-(1-[2-acetamido-2-desoxi-β-D-galactopiranosil)oxi]-16,16-bis({3-[{3-{5-[2-acetamido-2-desoxi-β-D-galactopiranosil)oxi]pentanamido}propil]amino}-3-oxopropoxi)metil]-5,11,18-trioxo-14-oxa-6,10,17-triazanonacosan-29-oil)-4-hidroxipirrolidin-2-il]metilo dúplex con todo-*P*-ambo-2'-O-metil-*P*-tioguanilil-(5'→3')-2'-O-metil-*P*-tioguanilil-(5'→3')-2'-O-metilguanilil-(5'→3')-2'-O-metiluridilil-(5'→3')-2'-O-metiladenilil-(5'→3')-2'-O-metiladenilil-(5'→3')-2'-O-metiluridilil-(5'→3')-2'-desoxi-2'-fluorocitidilil-(5'→3')-2'-O-metiluridilil-(5'→3')-2'-desoxi-2'-fluorouridilil-(5'→3')-2'-O-metiladenilil-(5'→3')-2'-O-metiluridilil-(5'→3')-2'-O-metiluridilil-(5'→3')-2'-desoxi-2'-fluorocitidilil-(5'→3')-2'-desoxi-2'-fluoroadenilil-(5'→3')-2'-O-metilguanilil-(5'→3')-2'-O-metiladenilil-(5'→3')-2'-O-metiluridilil-(5'→3')-2'-O-metiladenilil-(5'→3')-2'-O-metiluridilil-(5'→3')-2'-O-metil-*P*-tioadenilil-(5'→3')-2'-desoxi-2'-fluoro-*P*-tiocitidilil-(5'→3')-2'-O-metiladenosina

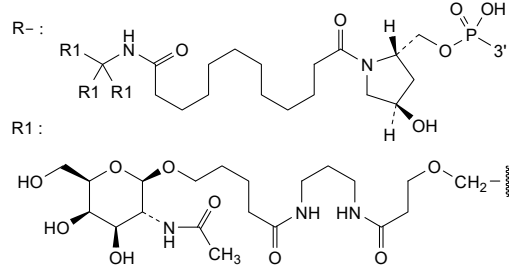


N : A,C,G,U

N : 2'-O-methyl-N / 2'-O-méthyl-N / 2'-O-metil-N

N : 2'-deoxy-2'-fluoro-N / 2'-désoxy-2'-fluoro-N / 2'-desoxi-2'-fluoro-N

- : -PO(OH)- = : -PO(SH)-

**pixavirum marboxilum**

pixavir marboxil

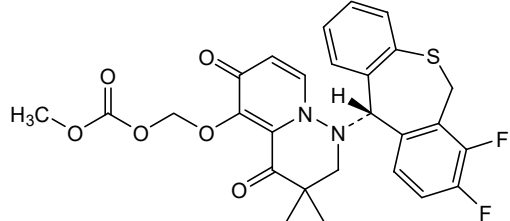
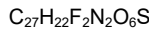
((1'-[((1S)-7,8-difluoro-6,11-dihydrodibenzo[b,e]thiepin-11-yl]-4',6'-dioxo-1',2',4',6'-tetrahydrospiro[cyclopropane-1,3'-pyrido[1,2-b]pyridazin]-5'-yl)oxy)methyl methyl carbonate

pixavir marboxil

carbonate de ((1'-[((1S)-7,8-difluoro-6,11-dihydrodibenzo[b,e]thiépin-11-yl]-4',6'-dioxo-1',2',4',6'-tétrahydrospiro[cyclopropane-1,3'-pyrido[1,2-b]pyridazin]-5'-yl)oxy)méthyle et de méthyle

pixavir marboxilo

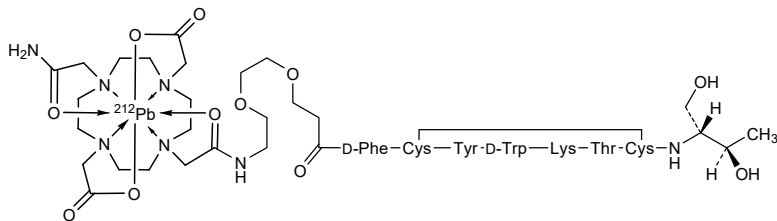
carbonato de ((1'-[((1S)-7,8-difluoro-6,11-dihydrodibenzo[b,e]thiepin-11-yl]-4',6'-dioxo-1',2',4',6'-tetrahidrospiro[ciclopropano-1,3'-pyrido[1,2-b]piridazin]-5'-il)oxi)metyl y metilo

**plumbum (²¹²Pb) bamzireotidum navoxetanum**lead (²¹²Pb) bamzireotide navoxetan

[N^{2,1}-{(3-{2-[2-(7-[2-amino-2-(oxo-κO)ethyl]-4,10-bis[(carboxylato-κO)methyl]-1,4,7,10-tetraazacyclododecan-1-yl-κ⁴N¹,N⁴,N⁷,N¹⁰)acetamido-κO}ethoxy}ethoxy}propanoyl]-S^{3,2},S^{3,7}-cyclo(D-phenylalanyl-L-cysteinyl-L-tyrosyl-D-tryptophyl-L-lysyl-L-threonyl-L-cysteinyl-L-threoninol)](²¹²Pb)lead

plomb (²¹²Pb) bamziréotide navoxétan [$N^{2,1}-(3\{-2[2-(7-[2-amino-2-(oxo-\kappa O)\text{éthyl}]4,10-\text{bis}[(\text{carboxylato}-\kappa O)\text{méthyl}]1,4,7,10-\text{tétraazacyclododécan-1-yl}-\kappa^N,N^4,N^7,N^{10}\}\text{acétamido}-\kappa O)\text{éthoxy}\text{éthoxy}\text{propanoyl})-S^{3,2},S^{3,7}\text{-cyclo(D-phénylalanyl-L-cystéinyl-L-tyrosyl-D-tryptophyl-L-lysyl-L-thréonyl-L-cystéinyl-L-thréoninol)}](^{212}\text{Pb})\text{plomb}$

plomo (²¹²Pb) bamzireótida navoxetán [$N^{2,1}-(3\{-2[2-(7-[2-amino-2-(oxo-\kappa O)\text{etil}]4,10-\text{bis}[(\text{carboxilato}-\kappa O)\text{metil}]1,4,7,10-\text{tetrazaciclododecan-1-il}-\kappa^N,N^4,N^7,N^{10}\}\text{acetamido}-\kappa O)\text{etoxi}\text{jetoxi}\text{propanoi})-S^{3,2},S^{3,7}\text{-ciclo(D-fenilalanyl-L-cisteinil-L-tirosil-D-triptofil-L-lisil-L-treonil-L-cisteinil-L-treoninol)}](^{212}\text{Pb})\text{plomo}$



plumbum (²¹²Pb) lapemelanotidum zapixetanum

lead (²¹²Pb) lapemelanotide zapixetan

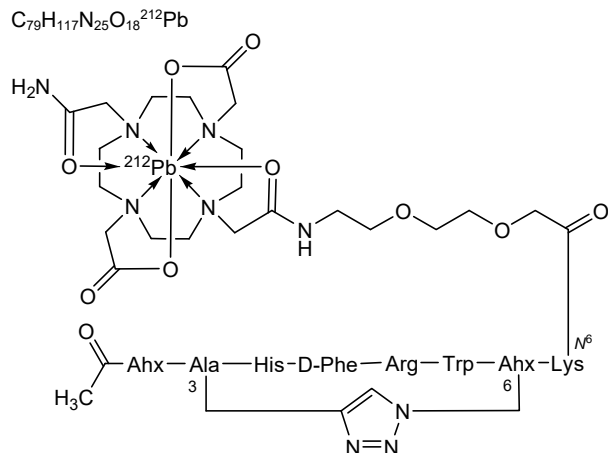
[$C^{2,3},C^{7,6}-(1H-1,2,3-triazole-4,1-diyl)-(2S)-2-\text{acétamido}\text{hexanoyl-L-alanyl-L-histidyl-D-phenylalanyl-L-arginyl-L-tryptophyl-(2S)-2-\text{aminohexanoyl-N}^6-(2-(2-[2-(7-[2-amino-2-(oxo-\kappa O)\text{éthyl}]4,10-\text{bis}[(\text{carboxy}-\kappa O)\text{methyl}]1,4,7,10-\text{tétraazacyclododécan-1-yl}-\kappa^N,\kappa N^4,\kappa N^7,\kappa N^{10}\}\text{acétamido}-\kappa O)\text{éthoxy}\text{éthoxy}\text{acetyl})-\text{L-lysinamide}](^{212}\text{Pb})\text{lead}$

plomb (²¹²Pb) lapémélanotide zapixétan

[$C^{2,3},C^{7,6}-(1H-1,2,3-triazole-4,1-diyl)-(2S)-2-\text{acétamido}\text{hexanoyl-L-alanyl-L-histidyl-D-phénylalanyl-L-arginyl-L-tryptophyl-(2S)-2-\text{aminohexanoyl-N}^6-(2-(2-[2-(7-[2-amino-2-(oxo-\kappa O)\text{éthyl}]4,10-\text{bis}[(\text{carboxy}-\kappa O)\text{méthyl}]1,4,7,10-\text{tétraazacyclododécan-1-yl}-\kappa^N,\kappa N^4,\kappa N^7,\kappa N^{10}\}\text{acétamido}-\kappa O)\text{éthoxy}\text{éthoxy}\text{acetyl})-\text{L-lysinamide}](^{212}\text{Pb})\text{plomb}$

plomo (²¹²Pb) lapemelanotida zapixetán

[$C^{2,3},C^{7,6}-(1H-1,2,3-triazol-4,1-diil)-(2S)-2-\text{acétamido}\text{hexanoil-L-alanil-L-histidil-D-fenilalanil-L-arginil-L-triptofil-(2S)-2-\text{aminohexanoil-N}^6-(2-(2-[2-(7-[2-amino-2-(oxo-\kappa O)\text{etil}]4,10-\text{bis}[(\text{carboxi}-\kappa O)\text{metil}]1,4,7,10-\text{tetraazaciclododecan-1-il}-\kappa^N,\kappa N^4,\kappa N^7,\kappa N^{10}\}\text{acétamido}-\kappa O)\text{etoxi}\text{jetoxi}\text{acetyl})-\text{L-lisinamida}](^{212}\text{Pb})\text{plomo}$



Ahx = (2S)-2-aminohexanoic acid

posnafuspum alfa #

posnafusp alfa

humanized immunoglobulin G1-kappa antigen-binding fragment (Fab), anti-[human transferrin receptor 1 (hTfR, p90, CD71)] fused at the C-terminus of the heavy chain via a peptide linker to human *N*-sulphoglucosamine sulphohydrolase (SGSH, sulfoglucosamine sulfamidase, sulphamidase, EC:3.10.1.1); gamma 1 heavy Fab chain (1-226) [VH (*Homo sapiens* IGHV5-51*01 -(IGHD) -IGHJ4*01, CDR-Kabat [5.17.9] (31-35.50-66.99-107)) (1-118) -*Homo sapiens* IGHG1*01 (CH1 (119-226)) fused via peptide linker $^{227}\text{GGGGSGGGGGSGGGGS}^{241}$ to *N*-sulphoglucosamine sulphohydrolase (1-482, 242-723 in the current sequence), residue 291 posttranslationally modified to formylglycine (fGly), (221-219')-disulfide with kappa light chain (1'-219') [V-KAPPA (*Homo sapiens* IGKV2D-29*02 -IGKJ1*01, CDR-Kabat [16.7.9] (24'-39'.55'-61'.94'-102')) (1'-112') -*Homo sapiens* IGKC*01 (113'-219')]; non-covalent dimer, produced in Chinese hamster ovary (CHO) cells, cell line CHO-K1, glycoform alfa

posnafusp alfa

fragment de liaison à l'antigène (Fab) de l'immunoglobuline G1-kappa humanisée, anti-[récepteur de type 1 de la transferrine humaine (hTfR, p90, CD71)] fusionné sur la partie C-terminale de la chaîne lourde à l'aide d'un coupleur peptidique à la *N*-sulphoglucosamine sulfohydrolase humaine (SGSH, sulfoglucosamine sulfamidase, sulfamidase, EC:3.10.1.1); Fab de la chaîne lourde gamma 1 (1-226) [VH *Homo sapiens* IGHV5-51*01 -(IGHD) -IGHJ4*01, CDR-Kabat [5.17.9] (31-35.50-66.107) (1-118) -*Homo sapiens* IGHG1*01 (119-226) fusionné à l'aide du coupleur peptidique $^{227}\text{GGGGSGGGGGSGGGGS}^{241}$ à la *N*-sulphoglucosamine sulfohydrolase (1-482, 242-723 de la séquence en cours), l'acide aminé 291 est modifié post-traductionnellement en formylglycine (fGly), (221-219')-disulfure avec la chaîne légère kappa (1'-112') [VH-KAPPA (*Homo sapiens* IGKV2D-29*02, CDR-Kabat [16.7.9] (24'-39'.55'-61'.94'-102')) - *Homo sapiens* IGKC*01 (113'-219')]; dimère noncovalent, produit dans des cellules ovarienches de hamster chinois (CHO), lignée cellulaire CHO-K1, glycoforme alfa

posnafusp alfa

fragmento de unión a antígeno (Fab) de inmunoglobulina G1-kappa humanizado anti-[receptor 1 humano de transferrina (hTfR, p90, CD71)] fusionado al terminal C de la cadena pesada a través de un enlace peptídico a la N-sulfoglucosamina sulfhidrolasa humana (SGSH, sulfoglucosamina sulfamidasa, sulfamidas, EC:3.10.1.1); cadena gamma 1 pesada Fab (1-226) [VH (*Homo sapiens* IGHV5-51*01 -(IGHD)-IGHJ4*01, CDR-Kabat [5.17.9] (31-35.50-66.99-107)) (1-118) -*Homo sapiens*IGHG1*01 (CH1 (119-226)] fusionada a través de enlace peptídico ²²⁷GGGGSGGGSGGGGS²⁴¹ a la N-sulfoglucosamina sulfhidrolasa (1-482, 242-723 en la secuencia actual, residuo 291 postraduccionalmente modificado a la formoglicina (fGly), (221-219')-disulfuro con la cadena ligera kappa (1'-219') [V-KAPPA (*Homo sapiens* IGKV2D-29*02 -IGKJ1*01, CDR-Kabat [16.7.9] (24'-39'.55'-61'.94'-102')) (1'-112') -*Homo sapiens* IGKC*01 (113'-219')]; dímero no covalente, producido en células ováricas de hámster Chino (CHO), línea celular CHO-K1, glicoforma alfa

Sequence / Séquence / Secuencia

Fab heavy chain-hSGSH

EVQLVQSGAE VKKPGESLKI	SCKGSGYSFM	NWLGVWRQMD	PGKGLEWMGD	50
IYPQQDYPTY SEFKFVQVTI	SADKSISTAY	LQLSSLKASD	TAMYYCARSG	100
NYDEVAYWQG GTLVTVSSAS	TKGPSVFPLA	PSSKSTSGGT	AALGLCLVKDY	150
FPEPVTVSWN SGALTSGVHT	FPAVLQSSGL	YSLSSVVTVP	SSSLGTQTYI	200
CNVNHKPSNT KVDKKVEPKS	CDKTTH ²²⁷ GGGG	SCGGGSGGGG	SRPRNALLLL	250
ADDGGFESGA YNNSAIAATPH	LDALARSLI	FRNAFTSVSS	CSPSRASLLT	300
GLPQHQHNGMY GLHQDVHHFN	SFDKVRSLPL	LLSQAGVRTG	IIGKKHVGP	350
TVYPFDFAYT EENGSVLQVG	RNITRIKLLV	RKFILQTQDDR	PFFLYVAFHD	400
PHRCGHSQPQ YGTFCEKFGN	GESGMGRIPD	WTPQAYDPLD	VLPVYFVNPNT	450
PAARADLAQY YTTVGRMDQG	VGLVLQELRD	AGVLNDTLVI	FTSDNGIPFP	500
SGRTNLIWPG TAEPLLVSSP	EHPKRWGQVS	EAYVSLLDLT	PTILDWFSIP	550
YPSYAIFGSK TIHLTGRSLL	PALEAEPLWA	TVFGSQSHHE	VTMSYPMRSV	600
QHRRHFRLVHN LNFKMFPPID	QDFYVSPPTQ	DLLNRRTAGQ	PTGWWYKDLRH	650
YYRARWELY DRSPRDPHETQ	NLATDPRFQAQ	LLEMLRDQLA	KWQWEETHDPW	700
VCAPDGVLLEE KLSPQCQPLH	NEL			723

Light chain

DIVMTQPLS LSVTPGQPAS	ISCRSSQSCLV	HSNGNTYLHW	YLQKPGQSPQ	50
LLIYKVSNRF SGVPDRFSGS	GSGTDFTLKI	SRVEAEDVGV	YYCSQSTHVE	100
WTFGQGTKVE IKRTVAAPSV	FIFPPSDEQL	KSGTASVVCL	LNNFYPREAK	150
VQWKVDNALQ SGNSQESVTE	QDSKDSTYSL	SSTLTLSKAD	YEKHKVYACE	200
VTHQGLSSPV TKSFRNRGEC				219

Peptide linker / Peptide liant / Péptido de unión

²²⁷GGGGSGGGSGGGGS²⁴¹

Post-translational modifications

Disulfide bridges location / Position des ponts disulfure / Posiciones de los puentes disulfuro

Intra Fab heavy-chain: 22-96, 145-201, 404-415, 702-716,

22"-96", 145"-201", 404"-415", 702"-716"

Intra light chain: 23'-93', 139'-199', 23"-93", 139"-199"

Inter Fab heavy chain-light chain: 221-219', 221"-219"

N-glycosylation sites / Sites de N-glycosylation / Posiciones de N-glicosilación
N262, N372, N485, N634, N262", N372", N485", N634"

Oxidation sites / Sites de oxidation / Posiciones de oxidación

Posttranslationally generated catalytical oxidation site

IgG1 Fab heavy chain-hSGSH: C291 > formylglycine (fGly)

pritebegenum zepadenovecum #
pritebegene zepadenovect

replication-deficient chimpanzee adenovirus vector (ChAdOx1-ΔE1 ΔE3 E4-modified), encoding a codon-optimized fusion protein containing multiple hepatitis B virus (HBV) antigens, comprising the HBV pre-core antigen, core antigen, a non-functional polymerase, a C-terminal fragment of the HBV Pre-S1 protein and the Pre-S2 protein, all preceded by a shark Invariant (Sli) chain sequence and separated by a self-cleaving foot-and-mouth virus F2A peptide sequence from the leader sequence of human tissue plasminogen activator, followed by an N-terminal fragment of the HBV Pre-S1 protein and the HBV surface antigen (HbSAg), under control of a human cytomegalovirus (CMV) promoter and a bovine growth hormone polyadenylation signal. The transgene is inserted in the deleted E1 region of the viral vector genome

pritébégène zépadénovec

vecteur d'adénovirus de chimpanzé déficient pour la réplication (modifié ChAdOx1-ΔE1 ΔE3 E4), qui code une protéine de fusion optimisée par codon contenant de multiples antigènes du virus de l'hépatite B (VHB), comprenant l'antigène du pré-core du VHB, l'antigène du core, une polymérase non fonctionnelle, un fragment C-terminal de la protéine Pré-S1 du VHB, la protéine Pré-S2, tous précédés d'une séquence de la chaîne Invariante de requin (Sli) et séparés par la séquence peptidique auto-clivante F2A du virus de la fièvre aphteuse de la séquence de tête de l'activateur tissulaire humain du plasminogène, suivie d'un fragment N-terminal de la protéine Pré-S1 du VHB et de l'antigène de surface du VHB (HbSAg), sous contrôle du promoteur du cytomégalovirus (CMV) humain et du signal de polyadénylation de l'hormone de croissance bovine. Le transgène est inséré dans la région E1 du génome du vecteur viral

pritebegén zepadenovec

vector de adenovirus de chimpancé deficiente en replicación (ChAdOx1-ΔE1 ΔE3 E4 modificado) que codifica, con codones optimizados, para una proteína de fusión que contiene múltiples antígenos del virus de la hepatitis B (VHB), consta de el antígeno pre núcleo de VHB, antígeno del núcleo, una polimerasa no funcional, un fragmento C-terminal de la proteína Pre-S1 y la proteína Pre-S2, todos precedidos por una secuencia de la cadena Invariable de tiburón (Sli) y separados, mediante una secuencia peptídica F2A de auto-escisión del virus de la fiebre aftosa, de la secuencia líder del activador del plasminógeno tisular humano, un fragmento N-terminal de la proteína pre-S1 del VHB y el antígeno de superficie del VHB (HbSAg), bajo el control de un promotor del citomegalovirus (CMV) humano y una señal de poliadenilación de la hormona de crecimiento bovina. El transgén está insertado en la región delecionada E1 del genoma del vector viral

produvofuspum #

produvofusp human complement factor H (H factor 1, CFH) catalytic domain containing fragment (1-305) fused to a humanized heavy chain variable domain only (VHH) immunoglobulin with the CDRs originating from *Lama glama* (306-434) [*Homo sapiens*IGHV3-23*04 -(IGHD)-IGHJ4*01, CDR-Kabat [5.17.20] (336-340.355-371.404-423)] fused via peptide linker ⁴³⁵GGGGA⁴³⁹ to the

⁴⁴⁰CRGDRGDRGDRGDC⁴⁵³ peptide containing four RGD (human integrin recognition motif repeats (441-452)) arranged as a cyclic polypeptide (C⁴⁴⁰ disulfide-bridged to C⁴⁵³), produced in Chinese hamster ovary (CHO) cells, cell line CHO-K1SV

produvofusp fragment du facteur H du complément humain (facteur H 1, CFH) contenant le domaine catalytique (1-305) fusionné à une immunoglobine humanisée à chaîne lourde qui contient un seul domaine variable (VHH), avec les CDRs provenant de *Lama glama* (306-434) [*Homo sapiens*IGHV3-23*04 -(IGHD)-IGHJ4*01, CDR-Kabat [5.17.20] (336-340.355-371.404-423)] fusionné à l'aide du coupleur peptidique ⁴³⁵GGGGA⁴³⁹ au peptide ⁴⁴⁰CRGDRGDRGDRGDC⁴⁵³ contenant quatre RGD (répétition de motif de reconnaissance d'intégrine humaine (441-452)) construit à l'instar d'un polypeptide cyclique (C⁴⁴⁰ étant pontée à C⁴⁵³ par une liaison disulfure), produit dans des cellules ovariennes de hamster chinois (CHO), lignée cellulaire CHO-K1SV

produvofusp fragmento del factor H del complemento humano (H factor 1, CFH) que contiene el dominio catalítico (1-305) fusionado a una inmunoglobina humanizada de cadena pesada que contiene un dominio variable único (VHH) con el CDRs originado de *Lama glama* (306-434) [*Homo sapiens*IGHV3-23*04 -(IGHD)-IGHJ4*01, CDR-Kabat [5.17.20] (336-340.355-371.404-423)] fusionado a través de enlace peptídico ⁴³⁵GGGGA⁴³⁹ al péptido ⁴⁴⁰CRGDRGDRGDRGDC⁴⁵³ que contiene cuatro RGD (repeticiones de motivos de reconocimiento de integrinas humanas (441-452)) dispuesto como un polipéptido cíclico (C⁴⁴⁰ unido a través de puentes disulfuro a C⁴⁵³), producido en células ováricas de hámster Chino (CHO), línea celular CHO-K1SV

Sequence / Séquence / Secuencia

EDCNELPPRR NTEIILTGSWS DQTYPEGTQA IYKCRPGYRS LGNVIMVCRK	50
GEWVALNPRL KCQKRPCGHP GDTPFGTFTL TGGNVFEYGV KAVYTCNEGY	100
QLLGEINYRE CDTDGWTNDI PICEVVVKCLP VTAPENGKIV SSAMEPDREY	150
HFGQAVRFLC NSGYKIEGDE EMHCSDDGFV SKEPKCVEL SCKSPDVING	200
SPISQKIIYK ENERFQYKCN MGYEYSERGD AVCTESGWRP LPSCEEKSCD	250
NPYIPNGDYS PLRIKHTGD EITYQCRNGF YPATRGNTAK CTSTGWIPAP	300
RCTLKQVQLV ESGGGLVKPG GSRLSACAS GRTFSSYAMG WFRQAPGKER	350
EFVSAISGSG GSTYYADSVK GRTISRDNA KNSLYLQMNS LRAEDTAVYY	400
CAADLGDSW VDYYVNAEPYE YDYWGQGTTL TVSSGGGAC RGDRGDRGDR	450
GDC	453

Peptide linker / Peptide liant / Péptido de unión
⁴³⁵GGGGA⁴³⁹**Post-translational modifications**

Disulfide bridges location / Position des ponts disulfure / Posiciones de los puentes disulfuro
Intra chain (predicted): 3-48, 34-62, 67-111, 96-123, 128-174, 160-187, 192-233, 219-244, 249-291, 276-302, 327-401, 440-453

Oxidation sites / Sites de oxidation / Posiciones de oxidación (predicted)
M46, M144, M172, M221, M339, M388,
W19, W53, W116, W180, W238, W296, W341, W410, W424

Deamidation sites / Sites de désamidation / Posiciones de desamidación (predicted)
N11, N136, N161, N199, N256, N278, N287, N382, N389

Aspartic acid isomerization sites (predicted)
D72, D112, D114, D177, D367, D395, D407

progerininum

progerin

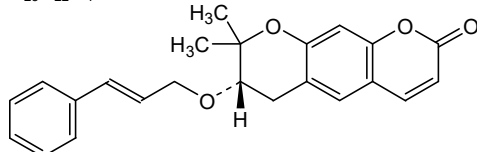
(7S)-8,8-dimethyl-7-[(2E)-3-phenylprop-2-en-1-yl]oxy}-7,8-dihydro-2H,6H-benzo[1,2-b:5,4-b]dipyran-2-one

progérinine

(7S)-8,8-diméthyl-7-[(2E)-3-phénylprop-2-én-1-yl]oxy}-7,8-dihydro-2H,6H-benzo[1,2-b:5,4-b]dipyran-2-one

progerinina

(7S)-7-[(2E)-3-fenilprop-2-en-1-il]oxi}-8,8-dimetil-7,8-dihidro-2H,6H-benzo[1,2-b:5,4-b]dipiran-2-ona

C₂₃H₂₂O₄**ranosidenibum**

ranosidenib

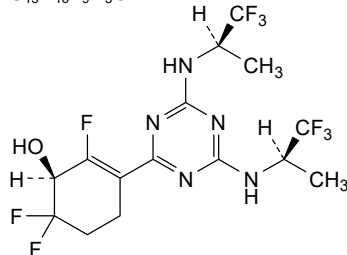
(1S)-3-(4,6-bis{[(2R)-1,1,1-trifluoropropan-2-yl]amino}-1,3,5-triazin-2-yl)-2,6,6-trifluorocyclohex-2-en-1-ol

ranosidénib

(1S)-3-(4,6-bis{[(2R)-1,1,1-trifluoropropan-2-yl]amino}-1,3,5-triazin-2-yl)-2,6,6-trifluorocyclohex-2-én-1-ol

ranosidenib

(1S)-3-(4,6-bis{[(2R)-1,1,1-trifluoropropan-2-yl]amino}-1,3,5-triazin-2-yl)-2,6,6-trifluorociclohex-2-en-1-ol

C₁₅H₁₆F₉N₅O**recibokibartum #**

recibokibart

immunoglobulin G1-kappa, anti-[*Homo sapiens* IL1RL2 (interleukin 1 receptor like 2, IL1 receptor-related protein 2, IL1Rrp2, IL1RRP2, IL-36 receptor, IL-36R)], humanized monoclonal antibody;

H-gamma1 heavy chain humanized (1-448) [VH (*Homo sapiens* IGHV1-2*06 (88.8%) - (IGHD) - IGHJ6*01 (90.9%) T123>L (114), CDR-IMGT [8.8.12] (26-33.51-58.97-108)) (1-119) - *Homo sapiens*IGHG1*03, G1m3, nG1m1 CH1 R120, CH3 E12, M14, G1v14 CH2 A1.3, A1.2 (CH1 R120 (216) (120-217), hinge 1-15 (218-232), CH2 L1.3>A (236), L1.2>A (237) (233-342), CH3 E12 (358), M14 (360) (343-447), CHS K2>del (448)) (120-448)], (222-215')-disulfide with L-kappa light chain humanized (1'-215') [V-KAPPA (*Homo sapiens* IGKV3-20*01 (90.6%) -IGKJ2*01 (100%), CDR-IMGT [7.3.9] (27'-33'.51'-53'.90'-98')) (1'-108') -*Homo sapiens* IGKC*01 (100%) Km3 A45.1, V101 (C-KAPPA A45.1 (154'), V101 (192')) (109'-215')]; dimer (228-228".231-231")-bisdisulfide, produced in Chinese hamster ovary (CHO) cells, glycoform alfa

récibokibart	immunoglobuline G1-kappa, anti-[<i>Homo sapiens</i> IL1RL2 (interleukine 1 récepteur like 2, protéine 2 apparentée au récepteur de l'IL1, IL1Rrp2, IL1RRP2, récepteur de l'IL-36, IL-36R)]; anticorps monoclonal humanisé; chaîne lourde H-gamma1 humanisée (1-448) [VH (<i>Homo sapiens</i> IGHV1-2*06 (88.8%) -(IGHD) -IGHJ6*01 (90.9%) T123>L (114), CDR-IMGT [8.8.12] (26-33.51-58.97-108)) (1-119) - <i>Homo sapiens</i> IGHG1*03, G1m3, nG1m1 CH1 R120, CH3 E12, M14, G1v14 CH2 A1.3, A1.2 (CH1 R120 (216) (120-217), charnière 1-15 (218-232), CH2 L1.3>A (236), L1.2>A (237) (233-342), CH3 E12 (358), M14 (360) (343-447), CHS K2>del (448) (120-448)], (222-215')-disulfure avec la chaîne légère L-kappa humanisée (1'-215') [V-KAPPA (<i>Homo sapiens</i> IGKV3-20*01 (90.6%) -IGKJ2*02 (100%), CDR-IMGT [7.3.9] (27'-33'.51'-53'.90'-98')) (1'-108') - <i>Homo sapiens</i> IGKC*01 (100%) Km3 A45.1, V101 (C-KAPPA A45.1 (154'), V101 (192')) (109'-215')]; dimère (228-228":231-231")-bisdisulfure, produit dans des cellules ovariennes de hamster chinois (CHO), glycoforme alfa
recibokibart	inmunoglobulina G1-kappa, anti-[<i>Homo sapiens</i> IL1RL2 (interleukina 1 receptor like 2, proteína 2 parecida al receptor del IL1, IL1Rrp2, IL1RRP2, receptor de la IL-36, IL-36R)]; anticuerpo monoclonal humanizado; cadena pesada H-gamma1 humanizada (1-448) [VH (<i>Homo sapiens</i> IGHV1-2*06 (88.8%) -(IGHD) -IGHJ6*01 (90.9%) T123>L (114), CDR-IMGT [8.8.12] (26-33.51-58.97-108)) (1-119) - <i>Homo sapiens</i> IGHG1*03, G1m3, nG1m1 CH1 R120, CH3 E12, M14, G1v14 CH2 A1.3, A1.2 (CH1 R120 (216) (120-217), bisagra 1-15 (218-232), CH2 L1.3>A (236), L1.2>A (237) (233-342), CH3 E12 (358), M14 (360) (343-447), CHS K2>del (448) (120-448)], (222-215')-disulfuro con la cadena ligera L-kappa humanizada (1'-215') [V-KAPPA (<i>Homo sapiens</i> IGKV3-20*01 (90.6%) -IGKJ2*02 (100%), CDR-IMGT [7.3.9] (27'-33'.51'-53'.90'-98')) (1'-108') - <i>Homo sapiens</i> IGKC*01 (100%) Km3 A45.1, V101 (C-KAPPA A45.1 (154'), V101 (192')) (109'-215')]; dímero (228-228":231-231")-bisdisulfuro, producido en las células ováricas de hámster chino (CHO), forma glicosilada alfa
Heavy chain / Chaîne lourde / Cadena pesada	
QVLVQSGAE VKPGASVKV SCKASGYTFT SSWMHWAKQA PGQGLEWIGE 50 IHPNSAKTNY NQKFQGRVTM TRDTSISTAY MELSRLRSDD TAVYCARVD 100 YKPKPWAFWG QGTILTVSSA STKGPSVFPL APSSKSTSGG TAALGCLVKD 150 YFFPEPVTVSW NSGALTSGVH TFTPAVLQSSG LYSSLSSVTV PSSSLGTQTY 200 ICNVNHKPSN TKVDKRVEPK SCDKTHCTCPF CFAPEAAAGPP SVFLFPKPK 250 DTLMISRTPE VTCVVVVDVSH EDPEVKFNWY TKPREEQYNS 300 TYRIVSVLTV LHQDWLNGKE YKCKVSNKAL PAPIEKTKISK AKGQPREPVQ 350 YTLLPSREEM TKNQVSLTCL VKGFYPSDIA VEWESENQPE NNYKTTTPVVL 400 DSDGSSFLYS KLTVDKSRWQ QGNVFSCSVN HEALHNHYTQ KSLSLSPG 448	
Light chain / Chaîne légère / Cadena ligera	
QIVLTQSPGT LSLSPLGERAT LSCRASSSVS SSYLHWYQQK PGQAPRLWIY 50 STSSRATGIP DRFGSGSGGT DFTLTISRLR PEDFATYYCQ QFQSSPLTFG 100 QGTKLEIKRT VAAPSVFIFP PSDEQLKSGT ASVVCLNNF YPREAKVQWK 150 VNDAHQSGNS QESVTEQDSK DSTYSLSSSTL TLSKADYEKH KVYACEVTHQ 200 GLSSPVTKSF NRGEC 215	
Post-translational modifications	
Disulfide bridges location / Position des ponts disulfure / Posiciones de los puentes disulfuro	
Intra-H (C23-C104)	22-96 146-202 263-323 369-427 22"-96" 146"-202" 263"-323" 369"-427"
Intra-L (C23-C104)	23"-89" 135"-195" 23"-89" 135"-195"
Inter-H-L (h 5-CL 126)	222-215' 222"-215"
Inter-H-H (h 11, h 14)	228-228" 231-231"
N-terminal glutaminyl cyclization / Cyclisation du glutaminyile N-terminal / Ciclación del glutaminiilo N-terminal	
Q > pyroglutamyl (pE, 5-oxoprolyl) / pyroglutamyle (pE, 5-oxoprolyle) / piroglutamilo (pE, 5-oxoprolilo) H VH Q1: 1, 1" L VL V-LAMBDA Q1: 1', 1"	
N-glycosylation sites / Sites de N-glycosylation / Posiciones de N-glicosilación	
H CH2 N84.4: 299, 299" Fucosylated complex bi-antennary CHO-type glycans / glycanes de type CHO bi-antennaires complexes fucosyles / glicanos de tipo CHO biantenarios complejos fucosilados	

relicpixantum

relicpixant

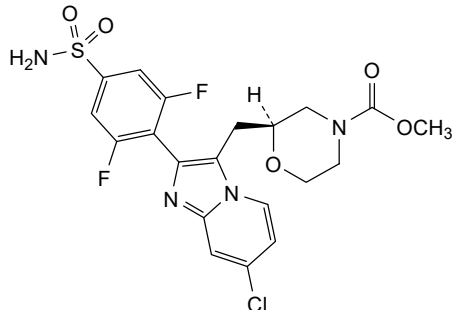
methyl (2S)-2-{{[7-chloro-2-(2,6-difluoro-4-sulfamoylphenyl)imidazo[1,2-a]pyridin-3-yl]methyl}morpholine-4-carboxylate

rélicpixant

(2S)-2-{{[7-chloro-2-(2,6-difluoro-4-sulfamoylphényle)imidazo[1,2-a]pyridin-3-yl]méthyl}morpholine-4-carboxylate de méthyle

relicpixant

(2S)-2-{{[7-cloro-2-(2,6-difluoro-4-sulfamoifenil)imidazo[1,2-a]piridin-3-il]metil}morfolina-4-carboxilato de metilo

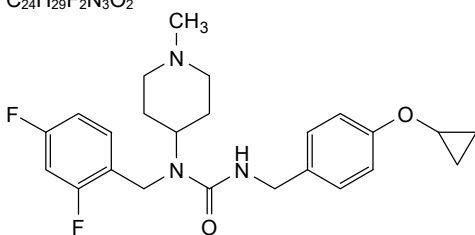
**rememulgenum arelactibacum #**

rememulgène arelactibac

non-pathogenic, food-grade lactic acid bacterium *Lactococcus cremoris* (*L. cremoris*) strain AUC1000, *alr* deletion derivative of *L. cremoris* MG1363, transformed with a plasmid encoding the transgenes for (i) human colony stimulating factor 1 (CSF-1 isoform 3), (ii) human fibroblast growth factor 2 (FGF-2 isoform 3), and (iii) human interleukin 4 (IL-4 isoform 1) whose expression is controlled by a *gad* operon cassette comprising the *gadR* regulator gene and a *gadCB* regulatory region. Each of the three transgenes is optimised for expression in *L. cremoris* and is coupled to the *L. cremoris* Usp45 signal sequence preceded by a ribosome binding site derived from the *gadC* (CSF-1), *atpG* (FGF-2) and *lacA* (IL-4) genes of *L. cremoris*, respectively. The plasmid also contains an alanine racemase (*alr*) gene for plasmid selection

réémulgène arélaactibac

bactérie lactique non pathogène de qualité alimentaire *Lactococcus cremoris* (*L. cremoris*), souche AUC1000, dérivée de *L. cremoris* MG1363 par délétion de *alr*, transformée avec un plasmide codant les transgènes pour (i) le facteur de stimulation des colonies de type 1 (CSF-1 isoforme 3) humain, (ii) le facteur de croissance des fibroblastes de type 2 (FGF-2 isoforme 3) humain, (iii) l'interleukine 4 humaine (IL-4 isoforme 1), dont l'expression est contrôlée par une cassette contenant le gène régulateur *gadR* et une région régulatrice *gadCB*. Chacun des trois transgènes est optimisé pour l'expression dans *L. cremoris*, et est couplé à la séquence signal Usp45 de *L. cremoris*, précédée d'un site de liaison ribosomique dérivé des gènes *gadC* (CSF-1), *atpG* (FGF-2) et *lacA* (IL-4) de *L. cremoris*, respectivement. Le plasmide contient également un gène de l'alanine racémase (*alr*) pour la sélection du plasmide

rememulgén arelactibac	bacteria del ácido láctico <i>Lactococcus cremoris</i> (<i>L. cremoris</i>) cepa AUC1000, de calidad alimentaria, no patogénica, derivada de <i>L. cremoris</i> MG1363 con la delección <i>alr</i> , transformada con un plásmido que codifica los transgenes para (i) factor estimulador de colonias 1 (CSF-1 isoforma 3) humano, (ii) factor de crecimiento de fibroblastos 2 (FGF-2 isoforma 3) humano, (iii) interleuquina 4 (IL-4 isoforma 1) humana, cuya expresión está controlada por un casete operón <i>gad</i> que consta del gen regulador <i>gadR</i> y una región reguladora <i>gadCB</i> . Cada uno de los tres transgenes está optimizado para su expresión por <i>L. cremoris</i> y está acoplado a la secuencia señal Usp45 de <i>L. cremoris</i> precedido por un sitio de unión a ribosoma derivado de los genes <i>gadC</i> (CSF-1), <i>atpG</i> (FGF-2) y <i>lacA</i> (IL-4) de <i>L. cremoris</i> , respectivamente. El plásmido también contiene un gen de alanina racemasa (<i>alr</i>) para la selección del plásmido
remlifanserinum	
remlifanserin	<i>N</i> -{[4-(cyclopropoxy)phenyl]methyl}- <i>N</i> -[(2,4-difluorophenyl)methyl]- <i>N</i> -(1-methylpiperidin-4-yl)urea
remlifansérine	<i>N</i> -{[4-(cyclopropoxy)phényl]méthyl}- <i>N</i> -[(2,4-difluorophényl)méthyl]- <i>N</i> -(1-méthylpipéridin-4-yl)urée
remlifanserina	<i>N</i> -{[4-(ciclopropiloxi)feno]metil}- <i>N</i> -[(2,4-difluorofenil)metil]- <i>N</i> -(1-metilpiperidin-4-il)urea
	C ₂₄ H ₂₉ F ₂ N ₂ O ₂
	
remzistotugum #	
remzistotug	immunoglobulin G1-kappa, anti-[<i>Homo sapiens</i> PVRIG (poliovirus receptor (PVR) related immunoglobulin domain containing, NECTIN2 receptor, CD112 receptor, CD112R)], <i>Homo sapiens</i> monoclonal antibody; H-gamma1 heavy chain <i>Homo sapiens</i> (1-453) [VH (<i>Homo sapiens</i> IGHV1-69*10 (95.9%) -(IGHD) -IGH5*02 (100%), CDR-IMGT [8.8.16] (26-33.51-58.97-112)) (1-123) - <i>Homo sapiens</i> IGHG1*01 (100%) G1m17,1 CH1 K120, CH3 D12, L14 (CH1 K120 (220) (124-221), hinge 1-15 (222-236), CH2 (237-346), CH3 D12 (362), L14 (364) (347-451), CHS (452-453)) (124-453)], (226-213')-disulfide with L-kappa light chain <i>Homo sapiens</i> (1'-213') [V-KAPPA (<i>Homo sapiens</i> IGKV1-39*01 (100%) -IGKJ4*01 (100%), CDR-IMGT [6.3.8] (27'-32'.50'-52'.89'-96')) (1'-106') - <i>Homo sapiens</i> IGKC*01 (100%) Km3 A45.1, V101 (C-KAPPA A45.1 (152'), V101 (190')) (107'-213')]; dimer (232-232":235-235")-bisdisulfide, produced in Chinese hamster ovary (CHO) cells, cell line CHO-K1, glycoform alfa
remzistotug	immunoglobuline G1-kappa, anti-[<i>Homo sapiens</i> PVRIG (apparenté au récepteur du poliovirus (PVR) contenant un domaine immunoglobuline, récepteur de NECTIN2, CD112 récepteur, CD112R)], anticorps monoclonal <i>Homo sapiens</i> ;

chaîne lourde H-gamma1 *Homo sapiens* (1-453) [VH (*Homo sapiens* IGHV1-69*10 (95.9%) -(IGHD) -IGHJ5*02 (100%), CDR-IMGT [8.8.16] (26-33.51-58.97-112)) (1-123) -*Homo sapiens*IGHG1*01 (100%) G1m17,1 CH1 K120, CH3 D12, L14 (CH1 K120 (220) (124-221), charnière 1-15 (222-236), CH2 (237-346), CH3 D12 (362), L14 (364) (347-451), CHS (452-453)) (124-453)], (226-213')- disulfure avec la chaîne légère L-kappa *Homo sapiens* (1'-213') [V-KAPPA (*Homo sapiens* IGKV1-39*01 (100%) -IGKJ4*01 (100%), CDR-IMGT [6.3.8] (27'-32'.50'-52'.89'-96')) (1'-106') -*Homo sapiens* IGKC*01 (100%) Km3 A45.1, V101 (C-KAPPA A45.1 (152'), V101 (190')) (107'-213')]; dimère (232-232":235-235")-bisdisulfure, produit dans des cellules ovariennes de hamster chinois (CHO), lignée cellulaire CHO-K1, glycoforme alfa

remzistotug

inmunoglobulina G1-kappa, anti-[*Homo sapiens* PVRIG (relacionado con el receptor del poliovirus (PVR) que contiene un dominio inmunoglobulina, receptor de NECTIN2, CD112 receptor, CD112R)], anticuerpo monoclonal *Homo sapiens*; cadena pesada H-gamma1 *Homo sapiens* (1-453) [VH (*Homo sapiens* IGHV1-69*10 (95.9%) -(IGHD) -IGHJ5*02 (100%), CDR-IMGT [8.8.16] (26-33.51-58.97-112)) (1-123) -*Homo sapiens*IGHG1*01 (100%) G1m17,1 CH1 K120, CH3 D12, L14 (CH1 K120 (220) (124-221), bisagra 1-15 (222-236), CH2 (237-346), CH3 D12 (362), L14 (364) (347-451), CHS (452-453)) (124-453)], (226-213')- disulfuro con la cadena ligera L-kappa *Homo sapiens* (1'-213') [V-KAPPA (*Homo sapiens* IGKV1-39*01 (100%) -IGKJ4*01 (100%), CDR-IMGT [6.3.8] (27'-32'.50'-52'.89'-96')) (1'-106') -*Homo sapiens* IGKC*01 (100%) Km3 A45.1, V101 (C-KAPPA A45.1 (152'), V101 (190')) (107'-213')]; dímero (232-232":235-235")-bisdisulfuro, producido en las células ováricas de hámster chino (CHO), línea celular CHO-K1, forma glicosilada alfa

Heavy chain / Chaîne lourde / Cadena pesada

```

QVQLVQSGAE VKKPQGSVKV SCKASGGTFS SAAISWVRQA PGQGLEWMGN 50
IIPIVGIANY AQKFQGRVTI TADESTSTAY MELSSSLRSED TAVYYCARDT 100
GRGYTRHFWF DPWGQCTLVT VSASSATKGPS VFPPLAPSSKS TSGGTAAALGC 150
LVKDYFPEPV TWSWNSGALT SGVHTFPAVL QSSGLYSLSS VVTVPSSSLG 200
TQTYIICNNHH KPNSNTRVDRK VEPKSCDCKTH TCPGPCPAPEL LGGPSVFLFP 250
PKPKDTLMLIS RTEPEVTCVVV DVSHEDPEVK FNWYVDGVEV HNAKTKPREE 300
QYNSTYRVPVA VLTVLHQDWL NGKEYKCCQD NKAFLPAPIKE TISKAKQPR 350
EPQVYTLPPS RDELTKNQVS LTCLVKGFYP SDIAVEWESN GOPENNYKTT 400
PPVLDSDGSF FLYSKLTVDK SRWQQGNVFS CSVMLHEALHN HYTQKSLSL 450
PGK
453

```

Light chain / Chaîne légère / Cadena ligera

```

DIGMTQSPSS LSASVGDRTV ITCRASQHSIS SYLNWYQQKP GKAKPLLIYA 50
ASSLQLSGVPFS RFSGSGSGTD FTLLTSSLQP EDFATYYCQQ SDILYTFGGG 100
TKVEIKRTVVA APASVFIFPPFS DEQLKSGTAS VVCLLNNFYFP REAKVQWKVD 150
NALQSGNSQE SVTEQDISKDS TYSSLSSLT SKADYEKHKV YACEVTHQGL 200
SSPVTKSFRN GEC
213

```

Post-translational modifications

Disulfide bridges location / Position des ponts disulfure / Posiciones de los puentes disulfuro

Intra-H (C23-C104) 22-96 150-206 267-327 373-431

22"-96" 150"-206" 267"-327" 373"-431"

Intra-L (C23-C104) 23"-88" 133"-193"

23"-88" 133"-193"

Inter-H-L (h 5-CL 126) 226-213 226"-213"

Inter-H-H (h 11, h 14) 232-232" 235-235"

N-terminal glutaminyl cyclization / Cyclisation du glutaminyle N-terminal / Ciclación del glutamínilo N-terminal

Q > pyroglutamyl (pE, 5-oxoprolyl) / pyroglutamyle (pE, 5-oxoprolyle) / piroglutamilo

(pE, 5-oxoprolilo)

H VH Q1: 1, 1"

N-glycosylation sites / Sites de N-glycosylation / Posiciones de N-glicosilación

H CH2 N84.4: 303, 303"

Fucosylated complex bi-antennary CHO-type glycans / glycanes de type CHO bi-antennaires complexes fucosylés / glicanos de tipo CHO biantenarios complejos fucosilados

C-terminal lysine clipping / Coupe de la lysine C-terminale / Recorte de lisina C-terminal

H CHS K2: 453, 453"

repinatributum

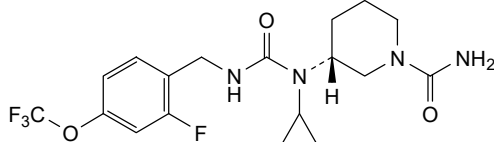
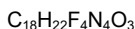
repinatribut

(3*R*)-3-[cyclopropyl({[2-fluoro-4-(trifluoromethoxy)phenyl]methyl}carbamoyl)amino]piperidine-1-carboxamide

répinatribut

(3*R*)-3-[cyclopropyl({[2-fluoro-4-(trifluorométhoxy)phényl]méthyl}carbamoyl)amino]pipéridine-1-carboxamide

repinatribut

(3*R*)-3-(*N*-ciclopropil({[2-fluoro-4-(trifluorometoxi)fénil]metil}carbamoyl)amino]piperidina-1-carboxamida**resecabtagenum autoleucelum #**

resecabtagene autoleucel

autologous T lymphocytes derived from peripheral blood mononuclear cells obtained by leukapheresis, transduced with a self-inactivating, non-replicating lentiviral vector encoding a chimeric antigen receptor (CAR) targeting CD19.

The expressed transgene comprises a CD8α signal peptide, an anti-CD19 humanised single chain variable fragment (scFv) (clone IC78), a CD8d hinge and transmembrane region, and a 4-1BB co-stimulatory domain and CD3ζ signaling domain, under control of the elongation factor-1 alpha (EF-1α) promoter. The construct is flanked by 5' and 3' long terminal repeats (LTRs) and also contains an HIV-1 ψ packaging signal, part of the HIV-1 *gag* and *env* genes, a Rev response element (RRE), a central polypyrimidine tract/central termination sequence (cPPT/CTS), a Woodchuck hepatitis virus posttranscriptional regulatory element (WPRE) and the *nef* gene. The vector is pseudotyped with vesicular stomatitis virus (VSV) glycoprotein G. The leukapheresis material is enriched for CD4+/CD8+ T lymphocytes by positive immunoselection, activated by CD3 and CD28 agonists and transduced with the lentiviral vector. The cells are then expanded in media supplemented with serum replacement and interleukin 2 (IL-2). The cell suspension consists of T lymphocytes ($\geq 80\%$) with greater than 10% of the T lymphocytes expressing the CAR transgene, other cell types (expressing CD16, CD14 and CD19) are present at $\leq 20\%$, and memory T lymphocyte subsets are phenotypically determined. The cells exhibit cytotoxicity towards CD19 expressing B lymphocytes upon co-culture

résécabtagène autoleucel

lymphocytes autologues dérivés de cellules mononucléées du sang périphérique (CMSP) obtenues par leucaphérèse, transduits avec un vecteur lentiviral auto-inactif et non réplicatif codant un récepteur antigénique chimérique (CAR), qui cible le CD19.

Le transgène exprimé comprend un peptide signal CD8α, un fragment variable à chaîne unique (scFv) humanisée anti-CD19 (clone IC78), une région charnière et transmembranaire CD8α, un domaine co-stimulant 4-1BB et un domaine de signalisation CD3ζ, sous contrôle du promoteur du facteur d'elongation-1 alpha (EF-1α). La construction est flanquée, en 5' et 3', de répétitions terminales longues (LTR) et contient également un signal d'encapsidation ψ, une partie des gènes *gag* et *env* du virus de l'immunodéficience humaine (VIH), un élément de réponse Rev (RRE), une séquence centrale du tractus polypurine (cPPT)/centrale de terminaison (CTS), et un élément régulateur posttranscriptionnel du virus de l'hépatite de la marmotte (WPRE) et le gène *nef*. Le vecteur est pseudototypé avec la glycoprotéine G du virus de la stomatite vésiculaire (VSV).

Le matériel de leucaphérèse est enrichi en lymphocytes T CD4+/CD8+ par immuno-sélection positive, activé par les antagonistes CD3 et CD28, et transduit avec le vecteur lentiviral. Les cellules sont ensuite mises en expansion dans un milieu supplémenté avec un substitut de sérum, et de l'interleukine-2 (IL-2). La suspension cellulaire est constituée de lymphocytes T ($\geq 80\%$), avec plus de 10% de lymphocytes T exprimant le transgène CAR, d'autres types cellulaires (exprimant CD16, CD14 et CD19) sont présents à $\leq 20\%$, et des sous-ensembles de lymphocytes T à mémoire sont déterminés phénotypiquement. Les cellules montrent une cytotoxicité vis-à-vis les lymphocytes B exprimant CD19, lors d'une coculture

resecabtagén autoleucel

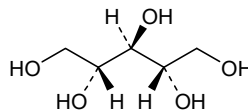
linfocitos T autólogos derivados de células mononucleares de sangre periférica obtenidas por leucoaféresis, transducidos con un vector lentiviral auto inactivante, no replicativo, que codifica para un receptor de antígenos quimérico (CAR) dirigido a CD19.

El transgén expresado consta de un péptido señal de CD8α, un fragmento variable de cadena sencilla (scFv) humanizado anti-CD19 (clón IC78), una región bisagra y transmembrana de CD8α, un dominio coestimulador de 4-1BB y un dominio de señalización de CD3ζ, bajo el control del promotor del factor de elongación-1 alfa (EF-1α). El constructo está flanqueado por repeticiones terminales largas (LTRs) en 5' y 3' y también contiene una señal de empaquetamiento ψ del HIV-1, parte de los genes *gag* y *env* del HIV, un elemento de respuesta Rev (RRE), una secuencia de tracto de poli-purina/terminación central (cPPT/CTS), un elemento regulador post-transcripcional del virus de la hepatitis de la marmota (WPRE) y el gen *nef*. El vector está seudotipado con la glicoproteína G del virus de la estomatitis vesicular (VSV).

El material de leucoaféresis se enriquece en linfocitos T CD4+/CD8+ mediante immuno-selección positiva, se activa mediante agonistas de CD3 y CD28 y se transduce con el vector lentiviral. Las células después se expanden en medio suplementado con sustituto de suero e interleuquina 2 (IL-2). La suspensión celular consiste en linfocitos T ($\geq 80\%$), con más del 10% de los linfocitos T que expresan el transgén del CAR, otros tipos celulares (que expresan CD16, CD14 y CD19) están presentes en $\leq 20\%$ y los subtipos de linfocitos T de memoria se determinan fenotípicamente. Las células muestran citotoxicidad hacia linfocitos B que expresan CD19 cuando se co-cultivan

ribitolum

ribitol	<i>meso</i> -ribito
ribitol	<i>méso</i> -ribito
ribitol	<i>meso</i> -ribito



rilogrotugum #

riologrotug

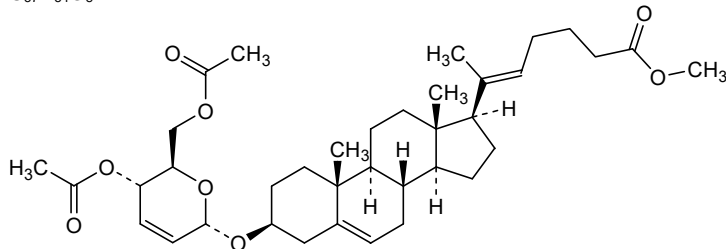
immunoglobulin G1-kappa, anti-[*Homo sapiens* GDF15 (growth differentiation factor 15, macrophage inhibitory cytokine-1, MIC-1, MIC1, non-steroidal anti-inflammatory drug (NSAID)-activated gene-1, NAG-1, NSAID-regulated gene 1, NRG-1, prostate differentiation factor, PDF, placental TGF beta, PTGFB)], humanized monoclonal antibody; H-gamma1 heavy chain humanized (1-450) [VH (*Homo sapiens*IGHV1-69*02 (83.7%) -(IGHD) -IGHJ4*01 (100%) CDR-IMGT [8.8.13] (26-33.51-58.97-109)) (1-120) -*Homo sapiens*IGHG1*03 (100%) G1m3, nG1m1 CH1 R120, CH3 E12, M14 (CH1 R120 (217) (121-218), hinge 1-15 (219-233), CH2 (234-343), CH3 E12 (359), M14 (361) (344-448), CHS (449-450)) (121-450)], (223-214')-disulfide with L-kappa light chain humanized (1'-214') [V-KAPPA (*Homo sapiens*IGKV1-NL1*01 (83.2%) -IGKJ2*01 (100%) CDR-IMGT [6.3.9] (27'-32'.50'-52'.89'-97')) (1'-107') -*Homo sapiens*IGKC*01 (100%) Km3 A45.1, V101 (C-KAPPA A45.1 (153'), V101 (191')) (108'-214')]; dimer (229-229"-232-232")-bisdisulfide, produced in Chinese hamster ovary (CHO) cells, cell line CHO-K1, glycoform alfa

riologrotug

immunoglobuline G1-kappa, anti-[*Homo sapiens* GDF15 (facteur de croissance et différenciation 15, cytokine-1 inhibitrice des macrophages, MIC-1, MIC1, gène 1 activé par les anti-inflammatoires non stéroïdiens (AINS), NAG-1, gène 1 régulé par les AINS, NRG-1, facteur de différenciation de la prostate, PDF, TGF bêta placentaire, PTGFB)], anticorps monoclonal humanisé; chaîne lourde H-gamma1 humanisée (1-450) [VH (*Homo sapiens*IGHV1-69*02 (83.7%) -(IGHD) -IGHJ4*01 (100%), CDR-IMGT [8.8.13] (26-33.51-58.97-109)] (1-120) -*Homo sapiens*IGHG1*03 (100%) G1m3, nG1m1 CH1 R120, CH3 E12, M14 (CH1 R120 (217) (121-218), charnière 1-15 (219-233), CH2 (234-343), CH3 E12 (359), M14 (361) (344-448), CHS (449-450)) (121-450)], (223-214')-disulfure avec la chaîne légère L-kappa humanisée ('1-214') [V-KAPPA (*Homo sapiens*IGKV1-NL1*01 (83.2%)-IGKJ2*01 (100%), CDR-IMGT [6.3.9] (27'-32'.50'-52'.89'-97')] (1'-107') -*Homo sapiens*IGKC*01 (100%) Km3 A45.1, V101 (C-KAPPA A45.1 (153'), V101 (191')) (108'-214')]; dimère (229-229".232-232")-bisisulfure, produit dans des cellules ovarianes de hamster chinois (CHO), lignée cellulaire CHO-K1, glycoformée alfa

rilogrotug	inmunoglobulina G1-kappa, anti-[<i>Homo sapiens</i> GDF15 (factor de crecimiento y diferenciación 15, citoquina-1 inhibidora de los macrófagos, MIC-1, MIC1, gen 1 activado por los antiinflamatorios no esteroideos (AINES), NAG-1, gen 1 regulado por los AINES, NRG-1, factor de diferenciación de la próstata, PDF, TGF beta placentaria, PTGFB)], anticuerpo monoclonal humanizado; cadena pesada H-gamma1 humanizada (1-450) [VH (<i>Homo sapiens</i> IGHV1-69*02 (83.7%) -(IGHD) -IGHJ4*01 (100%), CDR-IMGT [8.8.13] (26-33.51-58.97-109) (1-120) - <i>Homo sapiens</i> IGHG1*03 (100%) G1m3, nG1m1 CH1 R120, CH3 E12, M14 (CH1 R120 (217) (121-218), bisagra 1-15 (219-233), CH2 (234-343), CH3 E12 (359), M14 (361) (344-448), CHS (449-450)) (121-450)], (223-214')-disulfuro con la cadena ligera L-kappa humanizada (1'-214') [<i>V-KAPPA</i> (<i>Homo sapiens</i> IGKV1-NL1*01 (83.2%) -IGKJ2*01 (100%), CDR-IMGT [6.3.9] (27-32'.50'-52'.89-97)) (1'-107') - <i>Homo sapiens</i> IGKC*01 (100%) Km3 A45.1, V101 (C-KAPPA A45.1 (153'), V101 (191')) (108'-214')]; dímero (229-229":232-232")-bisdisulfuro, producido en las células ováricas de hámster chino (CHO), línea celular CHO-K1, forma glicosilada alfa
	Heavy chain / Chaîne lourde / Cadena pesada QVQLVQSGAE VKKPGSSVKV SCKASGYTFS DYNMDWVRQA PGQQGLEWMQG 50 INPNNGLIFF NQKFKGRVTL TADKSTSTAY MELOSSLRSED TAVYYCAREA 100 ITTVGAMDYW GQCTLVTVSS ASTKGPSVFP LAPSSKSTSG GTAALGCLVK 150 DYFPEPVTVS WNSGALTSGV HTPFPAVLQSS GLYSLLSSVVT VPSSSLGQT 200 YICCNVNHKPS NTKVDKRVEP KSCDKTHTCP PCPAPELLGG PSVFLFPKPK 250 KDTLMISRTP EVTCVVVDVS HEDPEVKFNW YVDGVEVHNA KTKPREEQVN 300 STYRVSVLTL VLHQDWLNGK EYCKKVSNSKA LPAPIEKTTIS KAKGQPREGQ 350 VYTLPSSREE MTKNQVSLTK LVKGFPSPDI AVWEWESNGQP ENNYKTTPPV 400 LSDSDGSFFFL SKLTVDKSRW QQGNVFSCSV MHEALHNHYT QKSLSLSPGK 450
	Light chain / Chaîne légère / Cadena ligera DIQMOTSPSS LSASVGDVRT ITCRTSENHL NYLAWSYQQKP GKAPKLLIYD 50 AKTLADGVPS RFSGSGSTD YTLTISSLQP EDFATYYCQH FWSSPYTFQG 100 GKTLIEKRTV AAPSVFIFPP SDEQLKSGTA SVVCLNNFY PREAKVQWKV 150 DNALQSGNSQ ESVTEQDSKD STYSLSSTLT LSKADYEKHK VYACEVTHQG 200 LSSPVTKSFN RGECA 214
	Post-translational modifications Disulfide bridges location / Position des ponts disulfure / Posiciones de los puentes disulfuro Intra-H (C23-C104) 22-96 147-203 264-324 370-428 22"-96" 147"-203" 264"-324" 370"-428" Intra-L (C23-C104) 23"-88" 134"-194" 23"-88" 134"-194" Inter-H-L (h 5-CL 126) 223-214" 223"-214" Inter-H-H (h 11, h 14) 229-229" 232-232"
	N-terminal glutaminyl cyclization / Cyclisation du glutaminyle N-terminal / Ciclación del glutamínilo N-terminal Q > pyroglutamyl (pE, 5-oxoprolyl) / pyroglutamyle (pE, 5-oxoprolyle) / piroglutamilo (pE, 5-oxoprolico) H VH Q1: 1, I"
	N-glycosylation sites / Sites de N-glycosylation / Posiciones de N-glicosilación H CH2 N84.2: 300, 300" Fucosylated complex bi-antennary CHO-type glycans / glycanes de type CHO bi-antennaires complexes fucosylés / glicanos de tipo CHO biantenarios complejos fucosilados
	C-terminal lysine clipping / Coupe de la lysine C-terminale / Recorte de lisina C-terminal H CHS K2: 450, 450"
rivasteratum	
rivasterat	methyl (20 <i>E</i>)-3β-[(4,6-di-O-acetyl-2,3-dideoxy-α-D- <i>erythro</i> -hex-2-enopyranosyl)oxy]-27-norcholesta-5,20(22)-dien-26-oate
rivastérat	(20 <i>E</i>)-3β-[(4,6-di-O-acetyl-2,3-didésoxy-α-D- <i>érythro</i> -hex-2-enopyranosyl)oxy]-27-norcholesta-5,20(22)-dién-26-oate de méthyle

rivasterat

(20E)-3β-[(4,6-di-O-acetyl-2,3-didesoxi-α-D-*eritro*-hex-2-enopyranosil)oxy]-27-norcolesta-5,20(22)-dien-26-oato de metilo $C_{37}H_{54}O_8$ **rosolutamidum**

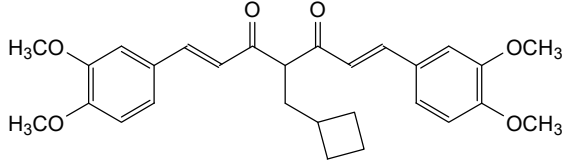
rosolutamide

 $(1E,6E)$ -4-(cyclobutylmethyl)-1,7-bis(3,4-dimethoxyphenyl)hepta-1,6-diene-3,5-dione

rosolutamide

 $(1E,6E)$ -4-(cyclobutylmethyl)-1,7-bis(3,4-diméthoxyphényle)hepta-1,6-diene-3,5-dione

rosolutamida

 $(1E,6E)$ -4-(ciclobutilmetil)-1,7-bis(3,4-dimetoxifenil)hepta-1,6-dieno-3,5-diona $C_{28}H_{32}O_6$ **ruxoprabartum #**

ruxoprabart

immunoglobulin G1-kappa, anti-[*Homo sapiens* CFB (complement factor B, B-factor properdin, properdin factor B, properdin B, BFD, BF) activated (Bb)];

H-gamma1 heavy chain (1-451) [VH Musmus/Homsap (*Mus musculus* IGHV1-7*02 (90.8%) -(IGHD) -IGHJ4*01 (93.3%) S123>L (116)/*Homo sapiens* IGHV1-46*01 (74.5%) -(IGHD) -IGHJ4*01 (100%), CDR-IMGT [8.8.14] (26-33.51-58.97-110)) (1-121) -*Homo sapiens* IGHG1*01, G1m17,1 CH1 K120, CH3 D12, L14, G1v29 CH2 A84.4 (CH1 K120 (218) (122-219), hinge 1-15 (220-234), CH2 N84.4>A (301) (235-344), CH3 D12 (360), L14 (362) (345-449), CHS (450-451)) (122-451)], (224-214')-disulfide with L-kappa light chain (1'-214') [V-KAPPA Musmus/Homsap (*Mus musculus* IGKV16-104*01 (90.6%) -IGKJ2*03 (90.9%) S120>Q (100%)/*Homo sapiens* IGKV1-9*01 (78.9%) -IGKJ2*02 (100%), CDR-IMGT [6.3.9] (27'-32'.50'-52'.89'-97')) (1'-107') -*Homo sapiens* IGKC*01 (100%) Km3 A45.1, V101 (C-KAPPA A45.1 (153'), V101 (191')) (108'-214')]; dimer (230-230":233-233")-bisdisulfide, produced in Chinese hamster ovary (CHO) cells, non-glycosylated

ruxoprabart

immunoglobuline G1-kappa, anti-[*Homo sapiens* CFB (facteur B du complément, properdine B-facteur, properdine facteur B, properdine B, BFD, BF) activé (Bb)];

chaîne lourde H-gamma1 (1-451) [VH Musmus/Homsap (*Mus musculus* IGHV1-7*02 (90.8%) -(IGHD) -IGHJ4*01 (93.3%) S123>L (116)/*Homo sapiens* IGHV1-46*01 (74.5%) -(IGHD) -IGHJ4*01 (100%), CDR-IMGT [8.8.14] (26-33.51-58.97-110)) (1-121) -*Homo sapiens* IGHG1*01, G1m17,1 CH1 K120, CH3 D12, L14, G1v29 CH2 A84.4 (CH1 K120

(218) (122-219), charnière 1-15 (220-234), CH2 N84.4>A (301) (235-344), CH3 D12 (360), L14 (362) (345-449), CHS (450-451)) (122-451)], (224-214')-disulfure avec la chaîne légère L-kappa (1'-214') [V-KAPPA Musmus/Homsap (*Mus musculus*) IGKV16-104*01 (90.6%) -IGKJ2*03 (90.9%) S120>Q (100')/*Homo sapiens* IGKV1-9*01 (78.9%) -IGKJ2*02 (100%), CDR-IMGT [6.3.9] (27'-32'.50'-52'.89'-97')) (1'-107') -*Homo sapiens* IGKC*01 (100%) Km3 A45.1, V101 (C-KAPPA A45.1 (153'), V101 (191')) (108'-214')]; dimère (230-230":233-233")-bisdisulfure, produit dans des cellules ovariennes de hamster chinois (CHO), non-glycosylé

ruxoprubart inmunoglobulina G1-kappa, anti-[*Homo sapiens* CFB (factor B del complemento, properdina B-factor, properdina factor B, properdina B, BFD, BF) activado (Bb)]; cadena pesada H-gamma1 (1-451) [VH Musmus/Homsap (*Mus musculus*) IGHV1-7*02 (90.8%) -(IGHD) -IGHJ4*01 (93.3%) S123>L (116)/*Homo sapiens* IGHV1-46*01 (74.5%) -(IGHD) -IGHJ4*01 (100%), CDR-IMGT [8.8.14] (26-33.51-58.97-110) (1-121) -*Homo sapiens*IGHG1*01, G1m17.1 CH1 K120, CH3 D12, L14, G1v29 CH2 A84.4 (CH1 K120 (218) (122-219), bisagra 1-15 (220-234), CH2 N84.4>A (301) (235-344), CH3 D12 (360), L14 (362) (345-449), CHS (450-451)) (122-451)], (224-214')-disulfuro con la cadena ligera L-kappa (1'-214') [V-KAPPA Musmus/Homsap (*Mus musculus*) IGKV16-104*01 (90.6%) -IGKJ2*03 (90.9%) S120>Q (100')/*Homo sapiens* IGKV1-9*01 (78.9%) -IGKJ2*02 (100%), CDR-IMGT [6.3.9] (27'-32'.50'-52'.89'-97')) (1'-107') -*Homo sapiens* IGKC*01 (100%) Km3 A45.1, V101 (C-KAPPA A45.1 (153'), V101 (191')) (108'-214')]; dímero (230-230":233-233")-bisdisulfuro, producido en las células ováricas de hámster chino (CHO), no glicosilado

Heavy chain / Chaîne lourde / Cadena pesada
 QVQLVQSGAE VAKPGASVKM SCKASGYFTT NYWIHWVKQP PGQGLEWIGY 50
 INPNTGYNDY NQKEFKDATAL TADKSSSTVY MQLSSLTSED TAVYYCARGG 100
 QLGLRRAMDY WGQGTLVTVS SASTKGPSVF PLAPSSKSTS GGTAAALGCLV 150
 KDYFPEPVTV SWNSGALTSG VHTFPVALQS SGGLYSLSVV TVPSSLGLTQ 200
 TYICCNVNHKP SNTKVDKKVE PKSCDKTHTC PPCPAPELLG GPSVFLFPPK 250
 PKDTLMISRT PEVITCVVVVD SHEDPEVKFN WYVDGVEVHN AKTKPREEQY 300
 ASTYRVRVSVL TVLHQDWLNG KEYKCKVSNK ALPAPIEKTI SKAKGQPREP 350
 QVYTLPPSRD ELTKNQVSLT CLVKGFYPSD IAVEWESENQ PENNYKTPP 400
 VLDSDGSFFL YSKLTVDKSR WQQGNVFSCS VMHEALHNHY TQKSLSLSPG 450
 K 451

Light chain / Chaîne légère / Cadena ligera
 DVQITQSPSY LSASPGDTIT ITCRASKSIS KYLAQYQDKP GKTNKLLIYS 50
 GSTLQSGIPS RFSGSGSGTE FTLTISIQLP DDFAMYYCQQ HDEYPWTFGQ 100
 GTKLEIKRTV AAPSVFIFPP SDEQLKSGTA SVVCLLNNFY PREAKVQWKV 150
 DNALQSGNSQ ESVTEQDSKD STYSLSSTLT LSKADYEKHK VYACEVTHQG 200
 LSSPVTKFSN RGE 214

Post-translational modifications

Disulfide bridges location / Position des ponts disulfure / Posiciones de los puentes disulfuro
 Intra-H (C23-C104) 22-96 148-204 265-325 371-429
 22"-96" 148"-204" 265"-325" 371"-429"
 Intra-L (C23-C104) 23"-88" 134"-194"
 23""-88"" 134""-194""
 Inter-H-L (h 5-CL 126) 224-214' 224"-214"
 Inter-H-H (h 11, h 14) 230-230" 233-233"

N-terminal glutaminyl cyclization / Cyclisation du glutaminyle N-terminal / Ciclación del glutaminilo N-terminal
 Q > pyroglutamyl (pE, 5-oxoprolyl) / pyroglutamyle (pE, 5-oxoprolyle) / piroglutamilo (pE, 5-oxoprofilo)
 H VH Q1: 1, 1"

No N-glycosylation sites / pas de sites de N-glycosylation / ningùm posición de N-glicosilación
 H CH2 N84.4>A (G1v29): 301, 301"

C-terminal lysine clipping / Coupure de la lysine C-terminale / Recorte de lisina C-terminal
 H CHS K2: 451, 451"

safimestomig #

safimestomig

immunoglobulin G4-kappa, anti-[*Homo sapiens* CD47 (CD47 molecule, integrin associated protein, IAP, MER6, OA3)] and anti-[*Homo sapiens* CD274 (programmed cell death 1 ligand 1, PDL1, PD-L1, B7 homolog 1, B7H1, B7-H1, PDCCD1LG1)], humanized monoclonal antibody, bispecific, bivalent; H-gamma4 heavy chain anti-CD47 humanized (1-451) [VH (*Homo sapiens* IGHV1-3*01 (85.7%) -(IGHD) -IGHJ4*01 (92.9%), CDR-IMGT [8.8.17] (26-33.51-58.97-113)) (1-124)-*Homo sapiens* IGHG4*01 nG4m(a) CH2 L92, G4v5 h P10, G4v6 CH3 K88, G4v11CH1 Q100, CH2 Y84.3, G4v12 CH3 K12, R115 (CH1 K100>Q (203) (125-222), hinge 1-12 S10>P (232) (223-234), CH2 F84.3>Y (300), L92 (313) (235-344), CH3 E12>K (360), R88>K (413), H115>R (439) (345-449), CHS (450-451)) (125-451)], (138-214')-disulfide with common L-kappa light chain humanized (1'-214') [V-KAPPA (*Homo sapiens* IGKV1-NL1*01 (88.4%) -IGKJ4*01 (100%), CDR-IMGT [6.3.9] (27'-32'.50'-52'.89'-97')) (1'-107') -*Homo sapiens* IGKC*01 (100%) Km3 A45.1, V101 (C-KAPPA A45.1 (153'), V101 (191')) (108'-214')]; H-gamma4 heavy chain anti-PD-L1 humanized ("446") [VH (*Homo sapiens* IGHV1-69-2*01 (82.7%) -(IGHD) -IGHJ4*01 (92.9%) L123>T (114), CDR-IMGT [8.8.12] (26"-33".51"-58".97"-108")) (1"-119") -*Homo sapiens* IGHG4*01 nG4m(a) CH2 L92, G4v5 h P10, G4v6 CH3 K88, G4v11 CH1 Q100, CH2 Y84.3, G4v13 CH3 E119 (CH1 K100>Q (198") (120"-217"), hinge 1-12 S10>P (227") (218"-229"), CH2 F84.3>Y (295"), L92 (308") (230"-339"), CH3 R88>K (408"), K119>E (438") (340"-444"), CHS (445"-446")) (120"-446")], (133"-214")-disulfide with common L-kappa light chain humanized (1"-214") [V-KAPPA (*Homo sapiens* IGKV1-NL1*01 (88.4%) -IGKJ4*01 (100%), CDR-IMGT [6.3.9] (27"-32".50"-52".89"-97")) (1"-107") -*Homo sapiens* IGKC*01 (100%) Km3 A45.1, V101 (C-KAPPA A45.1 (153"), V101 (191")) (108"-214")]; dimer (230-225":233-228")-bisdisulfide, produced in a cell line of Chinese hamster ovary (CHO) cells, derived from the cell line CHO-K1, glycoform alfa

safimestomig

immunoglobuline G4-kappa, anti-[*Homo sapiens* CD47 (CD47 molécule, protéine associée à l'intégrine, IAP, MER6, OA3)] et anti-[*Homo sapiens* CD274 (ligand 1 de mort cellulaire programmée 1, PDL1, PD-L1, B7 homologue 1, B7H1, B7-H1, PDCCD1LG1)], anticorps monoclonal humanisé, bispécifique, bivalent; chaîne lourde H-gamma4 anti-CD47 humanisée (1-451) [VH (*Homo sapiens* IGHV1-3*01 (85.7%) -(IGHD) -IGHJ4*01 (92.9%), CDR-IMGT [8.8.17] (26-33.51-58.97-113)) (1-124)-*Homo sapiens* IGHG4*01, nG4m(a) CH2 L92, G4v5 h P10, G4v6 CH3 K88, G4v11 CH1 Q100, CH2 Y84.3, G4v12 CH3 K12, R115 (CH1 K100>Q (203) (125-222), charnière 1-12 S10>P (232) (223-234), CH2 F84.3>Y (300), L92 (313) (235-344), CH3 E12>K (360), R88>K (413), H115>R (439) (345-449), CHS (450-451)) (125-451)], (138-214')-disulfure avec la chaîne légère commune L-kappa humanisée (1'-214') [V-KAPPA (*Homo sapiens* IGKV1-NL1*01 (88.4%) -IGKJ4*01 (100%), CDR-IMGT [6.3.9] (27'-32'.50'-52'.89'-97')) (1'-107') -*Homo sapiens* IGKC*01 (100%) Km3 A45.1, V101 (C-KAPPA A45.1 (153'), V101 (191')) (108'-214')];

chaîne lourde H-gamma4 anti-PD-L1 humanisée (1"-446") [VH (*Homo sapiens* IGHV1-69-2*01 (82.7%) -(IGHD) - IGHJ4*01 (92.9%) L123>T (114), CDR-IMGT [8.8.12] (26"-33".51"-58".97"-108")) (1"-119")-*Homo sapiens* IGHG4*01, nG4m(a) CH2 L92, G4v5 h P10, G4v6 CH3 K88, G4v11 CH1 Q100, CH2 Y84.3, G4v13 CH3 E119 (CH1 K100>Q (198") (120"-217"), charnière 1-12 S10>P (227") (218"-229"), CH2 F84.3>Y (295"), L92 (308") (230"-339"), CH3 R88>K (408"), K119>E (438") (340"-444"), CHS (445"-446") (120"-446")], (133"-214")-disulfure avec la chaîne légère commune L-kappa humanisée (1""-214") [V-KAPPA (*Homo sapiens* IGKV1-NL1*01 (88.4%) -IGKJ4*01 (100%), CDR-IMGT [6.3.9] (27"-32".50"-52".89"-97")) (1""-107") -*Homo sapiens* IGKC*01 (100%) Km3 A45.1, V101 (C-KAPPA A45.1 (153"), V101 (191")) (108""-214")]; dimère (230-225":233-228")-bisdisulfure, produit dans une lignée cellulaire des cellules ovarianes de hamster chinois (CHO), dérivant de la lignée cellulaire CHO-K1, glycoforme alfa

safimestomig

inmunoglobulina G4-kappa, anti-[*Homo sapiens* CD47 (CD47 molécula, proteína asociada con la integrina, IAP, MER6, OA3)] y anti-[*Homo sapiens* CD274 (ligando 1 de muerte celular programada 1, PDL1, PD-L1, B7 homólogo 1, B7H1, B7-H1, PDCD1LG1)], anticuerpo monoclonal humanizado, biespecífico, bivalente; cadena pesada H-gamma4 anti-CD47 humanizada (1-451) [VH (*Homo sapiens* IGHV1-3*01 (85.7%) -(IGHD) - IGHJ4*01 (92.9%), CDR-IMGT [8.8.17] (26-33.51-58.97-113)) (1-124)-*Homo sapiens* IGHG4*01, nG4m(a) CH2 L92, G4v5 h P10, G4v6 CH3 K88, G4v11 CH1 Q100, CH2 Y84.3, G4v12 CH3 K12, R115 (CH1 K100>Q (203) (125-222), bisagra 1-12 S10>P (232) (223-234), CH2 F84.3>Y (300), L92 (313) (235-344), CH3 E12>K (360), R88>K (413), H115>R (439) (345-449), CHS (450-451)) (125-451)], (138-214")-disulfuro con la cadena ligera común L-kappa humanizada (1"-214") [V-KAPPA (*Homo sapiens* IGKV1-NL1*01 (88.4%) -IGKJ4*01 (100%), CDR-IMGT [6.3.9] (27"-32'.50'-52'.89'-97")) (1"-107") -*Homo sapiens* IGKC*01 (100%) Km3 A45.1, V101 (C-KAPPA A45.1 (153'), V101 (191')) (108"-214")]; cadena pesada H-gamma4 anti-PD-L1 humanizada (1"-446") [VH (*Homo sapiens* IGHV1-69-2*01 (82.7%) -(IGHD) - IGHJ4*01 (92.9%) L123>T (114), CDR-IMGT [8.8.12] (26"-33".51"-58".97"-108")) (1"-119")-*Homo sapiens* IGHG4*01, nG4m(a) CH2 L92, G4v5 h P10, G4v6 CH3 K88, G4v11 CH1 Q100, CH2 Y84.3, G4v13 CH3 E119 (CH1 K100>Q (198") (120"-217"), bisagra 1-12 S10>P (227") (218"-229"), CH2 F84.3>Y (295"), L92 (308") (230"-339"), CH3 R88>K (408"), K119>E (438") (340"-444"), CHS (445"-446") (120"-446")], (133"-214")-disulfuro con la cadena ligera común L-kappa humanizada (1""-214") [V-KAPPA (*Homo sapiens* IGKV1-NL1*01 (88.4%) -IGKJ4*01 (100%), CDR-IMGT [6.3.9] (27"-32".50"-52".89"-97")) (1""-107") -*Homo sapiens* IGKC*01 (100%) Km3 A45.1, V101 (C-KAPPA A45.1 (153"), V101 (191")) (108"-214")]; dímero (230-225":233-228")-bisdisulfuro, producido en una línea celular de las células ováricas de hamster chino (CHO), línea celular derivada de CHO-K1, forma glicosilada alfa

Heavy chain / Chaîne lourde / Cadena pesada : H-gamma4 anti-CD47 (H)				
EVQLVQSGAE	VVKPGAVKVK	SKRASGYKVF	NYVMWSVRQG	FQQRLEWMQY
INPYNDAIKY	NKFKTRGRTV	TRDTSSASTAY	MELSSLRSED	TAVVYCareG
DFYANYGRLG	FAYWGGQTLV	TVSSASTKGP	SVFPLAPCSR	STSEESTAAIG
CLVKDYYFPEP	VTVWSNSGAL	TSGVHTFFPA	LQSSGLSLSL	SVTVPFSSSL
GTQTYTCNVD	HKSPTNKVDE	RVESKGYPGC	PPCPAWEFLG	GSPVLFPLPK
PKDTDLIMISRT	PEVTCVVVDV	SQEDPEQVFN	WYDGVVEHWY	AKTKPREEQY
NSTYRVSVL	TVLHQDWLNG	KEYKCKVSNK	GLPSSIEKTI	SKAKGQPREG
QVYTLPPFSQK	EMTKNQVSLT	CLVKGFYPSD	IAWEVESNGQ	PENNYKTTTP
VLDSDGSFFL	YSKLTVDKSR	WQEGNVFCSCS	VMHEALHNRY	TQKSLSLSLG
K				451

Heavy chain / Chaîne lourde / Cadena pesada : H-gamma4 anti-CD274 (H")					
EVQLVQSGAE VKKPGATVKI	SCVSGFNIK	DIYMHWVQGA	PKGKLEWMGR	50	
IDDPANANTKY	DQFDKFRDVT	TADTSTNTAY	MELSSLRSED	TAVVYCASQG	100
LGPLGFDFYWG	QGTFTVTVSTA	STKGPSPVFL	APCRSRTSESS	TAALGCLVLKD	150
YFPEPVTVSW	NSGALTSGVH	TFPAVLLQSSG	LYSSLSSVVV	PSSSLQTQY	200
TCNVBDHKPSN	TKDVKRVEYS	YGPCCPCCPA	PEFLGGPSVF	LFPPKPKDTL	250
MISRTEPTVCE	VVVDVSQEDP	EVQFNHYWVWD	VEVHNNAKTRP	RQEQQYNSTTR	300
VWSVLTVLHQ	DWLNGREYKC	KVSNKGFLPSS	IETKTSIKAGK	QFREQPYVTL	350
FPSQEEMTNK	QVSLTCLVKQ	FYPSDIAVEW	ESNQCPENNY	KTTPWPVLDSD	400
GSSFLYSLKT	VDKSRQWEQH	VFCSVSMVHEA	LHNHYTQESL	SLSLGK	440

Light chain / Chaîne légère / Cadena ligera : L-kappa common (L', L'")	
DIQMQTQSPE	LSASWQGDRVLT
ITCRASQDTS	NYLNWYQKGP
TSRLHSGPVS	GKAPKLQLLYY
FRFGSGSGTD	50
YTTLTSSLQP	EDFATFYFCQQ
	GAGFPYTFGG
GTKVEI1KTRV	100
AAPSVF1FP	SDEQLKSGTAA
	SVVCLNNFYE
	PREAKVQWKV
DNALQSGNSV	150
E8TVEQDSKD	STYSLSSLT
	LSKADYEKHK
	VYACEVTHQG
LSPVTFKSFN	200
RGEC	214

Post-translational modifications

Disulfide bridges location / Position des ponts disulfure / Posiciones de los puentes disulfuro				
Intra-H (C23-C104)	22'-96"	151'-207'	265'-325'	371'-429'
	22"-96"	146"-202"	260"-320"	366"-424"
Intra-L (C23-C104)	23'-88"	134'-194'		
	23"-88""	134"-194""		
Inter-H-L (CH1 10-CL 126)		138-214'	133"-214"	
Inter-H-H (h 8, h 11)		230-225"	233-228"	

N-glycosylation sites / Sites de N-glycosylation / Posiciones de N-glicosilación
 H CH2 N84.4: 301, 296"
 Fucosylated complex bi-antennary CHO-type glycans / glycanes de type CHO bi-antennaires complexes fucosylés / glicanos de tipo CHO biantenarios complejos fucosilados

C-terminal lysine clipping / Coupure de la lysine C-terminale / Recorte de lisina C-terminal
H CHS K2; 451-446"

[salanersenum](#)

salanersen

all-P-ambo-5-methyl-2'-O-[2-(methylamino)-2-oxoethyl]-P-thiocytidyllyl-(3'→5')-2'-O-[2-(methylamino)-2-oxoethyl]adenylyl-(3'→5')-5-methyl-2'-O-[2-(methylamino)-2-oxoethyl]-P-thiocytidyllyl-(3'→5')-5-methyl-2'-O-[2-(methylamino)-2-oxoethyl]uridylyl-(3'→5')-5-methyl-2'-O-[2-(methylamino)-2-oxoethyl]-P-thiouridyllyl-(3'→5')-5-methyl-2'-O-[2-(methylamino)-2-oxoethyl]-P-thiouridyllyl-(3'→5')-5-methyl-2'-O-[2-(methylamino)-2-oxoethyl]-P-thiocytidyllyl-(3'→5')-2'-O-[2-(methylamino)-2-oxoethyl]-P-thioadenylyl-(3'→5')-5-methyl-2'-O-[2-(methylamino)-2-oxoethyl]-P-thiouridyllyl-(3'→5')-2'-O-[2-(methylamino)-2-oxoethyl]-P-thioadenylyl-(3'→5')-5-methyl-2'-O-[2-(methylamino)-2-oxoethyl]-P-thiouridyllyl-(3'→5')-2'-O-[2-(methylamino)-2-oxoethyl]-P-thioguanlylyl-(3'→5')-5-methyl-2'-O-[2-(methylamino)-2-oxoethyl]-P-thiocytidyllyl-(3'→5')-5-methyl-2'-O-[2-(methylamino)-2-oxoethyl]-P-thiouridyllyl-(3'→5')-2'-O-[2-(methylamino)-2-oxoethyl]-P-thioguanlylyl-(3'→5')-2'-O-[2-(methylamino)-2-oxoethyl]-P-thioguanlylyl-(3'→5')-5-methyl-2'-O-[2-(methylamino)-2-oxoethyl]cytidine

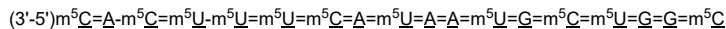
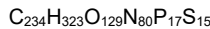
salanersen

tout-P-ambo-5-méthyl-2'-O-[2-(méthylamino)-2-oxoéthyl]-P-thiocytidyllyl-(3'→5')-2'-O-[2-(méthylamino)-2-oxoéthyl]adénylyl-(3'→5')-5-méthyl-2'-O-[2-(méthylamino)-2-oxoéthyl]-P-thiocytidyllyl-(3'→5')-5-méthyl-2'-O-[2-(méthylamino)-2-oxoéthyl]uridyllyl-(3'→5')-5-méthyl-2'-O-[2-(méthylamino)-2-oxoéthyl]-P-thiouridyllyl-(3'→5')-5-méthyl-2'-O-[2-(méthylamino)-2-oxoéthyl]-P-thiouridyllyl-(3'→5')-5-

méthyl-2'-O-[2-(méthylamino)-2-oxoéthyl]-P-thiocytidylyl-(3'→5')-2'-O-[2-(méthylamino)-2-oxoéthyl]-P-thioadénylyl-(3'→5')-5-méthyl-2'-O-[2-(méthylamino)-2-oxoéthyl]-P-thiouridyl-(3'→5')-2'-O-[2-(méthylamino)-2-oxoéthyl]-P-thioadénlyl-(3'→5')-5-méthyl-2'-O-[2-(méthylamino)-2-oxoéthyl]-P-thiouridylyl-(3'→5')-2'-O-[2-(méthylamino)-2-oxoéthyl]-P-thioguanlyl-(3'→5')-5-méthyl-2'-O-[2-(méthylamino)-2-oxoéthyl]-P-thiocytidylyl-(3'→5')-5-méthyl-2'-O-[2-(méthylamino)-2-oxoéthyl]-P-thiouridyl-(3'→5')-2'-O-[2-(méthylamino)-2-oxoéthyl]-P-thioguanlyl-(3'→5')-2'-O-[2-(méthylamino)-2-oxoéthyl]-P-thioguanlyl-(3'→5')-5-méthyl-2'-O-[2-(méthylamino)-2-oxoéthyl]cytidine

salanersén

todo-P-ambo-5-metil-2'-O-[2-(metilamino)-2-oxoetil]-P-tiocitidilil-(3'→5')-2'-O-[2-(metilamino)-2-oxoetil]adenilil-(3'→5')-5-metil-2'-O-[2-(metilamino)-2-oxoetil]-P-tiocitidilil-(3'→5')-5-metil-2'-O-[2-(metilamino)-2-oxoetil]uridilil-(3'→5')-5-metil-2'-O-[2-(metilamino)-2-oxoetil]-P-touridilil-(3'→5')-5-metil-2'-O-[2-(metilamino)-2-oxoetil]-P-touridilil-(3'→5')-5-metil-2'-O-[2-(metilamino)-2-oxoetil]-P-tiocitidilil-(3'→5')-2'-O-[2-(metilamino)-2-oxoetil]-P-tioadenilil-(3'→5')-5-metil-2'-O-[2-(metilamino)-2-oxoetil]-P-tioadenilil-(3'→5')-2'-O-[2-(metilamino)-2-oxoetil]-P-tioadenilil-(3'→5')-5-metil-2'-O-[2-(metilamino)-2-oxoetil]-P-tiouridilil-(3'→5')-2'-O-[2-(metilamino)-2-oxoetil]-P-tiouridilil-(3'→5')-2'-O-[2-(metilamino)-2-oxoetil]-P-tiouguanilil-(3'→5')-5-metil-2'-O-[2-(metilamino)-2-oxoetil]-P-tiocitidilil-(3'→5')-5-metil-2'-O-[2-(metilamino)-2-oxoetil]-P-tiocitidilil-(3'→5')-2'-O-[2-(metilamino)-2-oxoetil]-P-tiouguanilil-(3'→5')-2'-O-[2-(metilamino)-2-oxoetil]-P-tiouguanilil-(3'→5')-5-metil-2'-O-[2-(metilamino)-2-oxoetil]



N : nucleoside / nucléoside / nucleósido

m^5N : 5-methyl-N / 5-méthyl-N / 5-metil-N

N : 2'-O-[2-(méthylamino)-2-oxoéthyl]-N / 2'-O-[2-(méthylamino)-2-oxoéthyl]-N / 2'-O-[2-(metilamino)-2-oxoetil]-N
 $\text{---PO}(\text{OH})\text{---}$ = $\text{---PO}(\text{SH})\text{---}$

sapecmeranum autogenum #

sapecmeran autogene

self-amplifying messenger RNA (samRNA), 5' capped, based on Venezuelan equine encephalitis virus (VEEV) (wildtype Trinidad donkey strain) genomic RNA in which the coding sequences for the VEEV structural proteins have been deleted and replaced by a patient-specific cassette expressing 20 tumour-specific neoantigens (TSNAs). The expression cassette comprises coding sequences for methionine, alanine and glycine (MAG), the 20 patient-specific TSNAs, and an MHC class II helper domain consisting of two universal CD4+ T helper lymphocyte epitopes, PADRE (pan HLA DR-binding epitope) and tetanus toxoid P2 (amino acids 830-844 of tetanus toxin Tc), linked by glycine-proline linkers (GPGPG). The expression cassette is under the control of the VEEV subgenomic 26S promoter located 5' of the inserted TSNA cassette. The samRNA also encodes codon-optimized VEEV non-structural proteins 1-4 (nsP1-4) plus the 5' and 3' RNA sequences required for RNA replication

sapecmérán autogène

ARN messager auto-amplifiant (ARNaa), avec une coiffe en 5', basé sur l'ARN génomique du virus de l'encéphalite équine vénézuélienne (VEEV) (souche sauvage asinienne de Trinidad), dans lequel les séquences codant les protéines structurales ont été éliminées et remplacées par une cassette, propre au patient, exprimant 20 néoantigènes spécifiques de tumeur (NAST). La cassette d'expression contient les séquences pour la méthionine, lalanine et la glycine (MAG), les 20 NAST spécifiques du patient, un domaine auxiliaire du CMH de classe II composé de deux épitopes universels des lymphocytes T CD4+ helper, PADRE (épitope de liaison pan HLA-DR), et l'anatoxine tétanique P2 (acides aminés 830-844 de la tétanospasmine), reliés par des coupleurs glycine-proline (GPGPG). La cassette d'expression est sous le contrôle du promoteur sous-génomique 26S de VEEV situé en 5' de la cassette NAST insérée. L'ARNaa code également les protéines non structurales du VEEV optimisées par le codon 1-4 (nsP1-4), ainsi que les séquences d'ARN 5' et 3' requises pour la réplication de l'ARN

sapecmerán autogén

ARN mensajero auto amplificante (samARN), protegido en 5', basado en el ARN genómico del virus de la encefalitis equina venezolana (VEEV) (cepa silvestre de burro de Trinidad) en el que se han delecionado las secuencias que codifican para las proteínas estructurales del VEEV y se reemplazan por un casete específico de paciente que expresa 20 neoantígenos específicos de tumor (TSNA). El casete de expresión consta de secuencias que codifican para metionina, alanina y glicina (MAG), los 20 TSNA específicos de paciente, y un dominio ayudante de clase II que consiste en dos epítopenos universales de linfocitos T CD4+ helper, PADRE (epítopo de unión a pan HLA DR) y el epítopo P2 del toxoide tetánico (aminoácidos 830-844 de la toxina tetánica Tc), ligados mediante enlazadores de glicina-prolina (GPGPG). El casete de expresión está bajo el control del promotor subgenómico 26S de VEEV localizado 5' del casete TSNA insertado. El samARN también codifica, con codones optimizados, para las proteínas no estructurales 1-4 (nsP1-P4) del VEEV más las secuencias de ARN en 5' y 3' requeridas para la replicación del ARN

selonabantum

selonabant

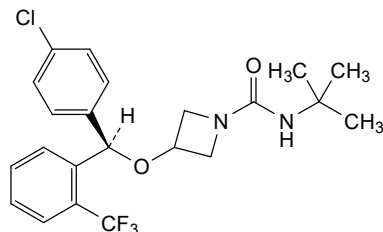
N-*tert*-butyl-3-{(R)-(4-chlorophenyl)[2-(trifluoromethyl)phenyl]methoxy}azetidine-1-carboxamide

sélonabant

N-*tert*-butyl-3-{(R)-(4-chlorophényl)[2-(trifluorométhyl)phényl]méthoxy}azétidine-1-carboxamide

selonabant

N-*terc*-butil-3-{(R)-(4-clorofenil)[2-(trifluorometil)fenil]metoxi}azetidina-1-carboxamida



senacnagenum enfaleucel #

senacnagene enfaleucel	<p>allogeneic natural killer (NK) cells derived from peripheral blood mononuclear cells (PBMC) obtained by leukapheresis from healthy donors, transduced with a replication deficient murine stem cell virus (MSCV) derived γ-retroviral vector encoding (i) an activating chimeric receptor (ACR) composed of a CD8α signal peptide, the extracellular domain of the natural killer group 2, member D (NKG2D) receptor (also known as killer cell lectin-like receptor K1 (KLRK1)), fused to a CD8α transmembrane domain, an OX40 costimulatory domain and a CD3ζ signalling domain, and (ii) interleukin-15 (IL-15) preceded by a CD8α signal peptide and fused to a CD8α hinge and transmembrane domain, which creates a membrane bound form of IL-15 (mblL-15), separated by a self-cleaving T2A peptide. The vector is pseudotyped with RD-114 virus envelope glycoprotein.</p> <p>The CD56+ CD3- NK cells are isolated by leukapheresis and co-cultured with a modified and irradiated K562 cell line. Specifically, the NK cells are isolated through a series of steps, first to reduce platelets and red blood cells, followed by a CD3+ depletion step, and lastly a positive selection using CD56+ enrichment. The cells are cultured in serum replacement media containing interleukin-2 (IL-2) and co-cultured with a modified and irradiated K562 cell line. The cells are then transduced with the retroviral vector, and the transduced NK cells are further expanded in media containing IL-2. The final substance consists of $\geq 90\%$ CD56+CD3-NK cells with $\geq 20\%$ CD56+ cells expressing the transgene. Cells secrete granulocyte-macrophage colony-stimulating factor (GM-CSF), interferon gamma (IFN-γ), and tumor necrosis factor alpha (TNF-α) when co-cultured with anti-NKG2D-beads</p>
sénacnagène enfaleucel	<p>cellules tueuses naturelles (NK) allogéniques dérivées de cellules mononucléées du sang périphérique (CMSP) obtenues par leucaphérèse de donneurs sains, transduites avec le virus de cellules souches murines (MSCV), déficient pour la réPLICATION, dérivé d'un vecteur γ-réTroviral codant: i) un récepteur antigénique chimérique (CAR), composé d'un peptide signal CD8α, le domaine extracellulaire du récepteur de cellules tueuses naturelles du groupe 2, membre D (NKG2D), (également connu sous le nom de récepteur K1 de cellules tueuses, de type lectine (KLRK1)), fusionné à un domaine transmembranaire de CD8α, un domaine de costimulation OX40, et un domaine de signalisation de CD3ζ; et, ii) l'interleukine-15 (IL-15) précédée d'un peptide signal CD8α, fusionnée avec un domaine charnière CD8α, un domaine transmembranaire, qui crée une forme d'IL-15 liée à la membrane (mblL-15), séparée par un peptide T2A, autoclivable. Le vecteur est pseudotypé avec la glycoprotéine d'enveloppe du virus RD-114.</p> <p>Les cellules NK CD56+CD3- sont isolées par leucaphérèse et cocultivées avec une lignée cellulaire K562 modifiée et irradiée. Plus précisément, les cellules NK sont isolées à travers une série d'étapes, d'abord la réduction des plaquettes et des globules rouges, puis une étape de déplétion des CD53+ et, enfin, une sélection positive par enrichissement en CD56+. Les cellules sont cultivées dans un milieu de substitution contenant de l'interleukine-2 (IL-2) et cocultivées avec une lignée cellulaire K562 modifiée et irradiée. Les cellules sont transduites avec le vecteur rétroviral, et les cellules NK transduites sont ensuite mises en expansion dans un milieu contenant de l'IL-2.</p>

La substance finale est constituée de ≥90% de cellules NK CD56+CD3- avec ≥20% de cellules NK CD56+ exprimant le transgène. Ces cellules sécrètent le facteur de stimulation des colonies de granulocytes et de macrophages (GM-CSF), l'interféron gamma (IFN-γ), et le facteur de nécrose tumorale alpha (TNF-α), lorsqu'elles sont cocultivées avec des billes anti-NKG2D

senacnagén enfaleucel

células natural killer (NK) alogénicas derivadas de células mononucleares de sangre periférica (PBMC) obtenidas por leucoaféresis de donantes sanos, transducidas con un vector γ-retroviral derivado del virus de células troncales murino (MSCV) deficiente en replicación, que codifica para (i) un receptor quimérico activador (ACR) compuesto por un péptido señal de CD8α, el dominio extracelular del receptor de natural killer grupo 2, miembro D (NKG2D) (también conocido como receptor K1 de célula killer similar a la lectina (KLRK-1)), fusionado a un dominio transmembrana de CD8d, un dominio coestimulador de OX40 y un dominio de señalización de CD3ζ, y (ii) interleuquina-15 (IL-15) precedido por un péptido señal de CD8α y fusionado a un dominio bisagra y transmembrana de CD8α, lo cual genera una forma unida a membrana de IL-15 (mbIL-15), separados por un péptido de autoexcisión T2A. El vector está seudotipado con una glicoproteína de la envuelta del virus RD-114.

Las células NK CD56+ CD3- se aislan por leucoaféresis y se co-cultivan con una línea celular K562 modificada e irradiada.

Especificamente, las células NK se aíslan a través de una serie de pasos, primero para reducir plaquetas y eritrocitos, seguido de un paso de depleción de CD3+ y finalmente una selección positiva usando enriquecimiento de CD56+. Las células se cultivan en medio con substituto de suero que contiene interleuquina-2 (IL-2) y se co-cultivan con una línea K562 modificada e irradiada. Las células se transducen después con el vector retroviral y las células NK transducidas se expanden en medio que contiene IL-2.

La substancia final consiste en ≥90% de células NK CD56+CD3- con ≥20% de las células CD56+ que expresan el transgén. Las células secretan factor estimulador de colonias de granulocitos-macrófagos (GM-CSF), interferón gamma (IFN-γ) y factor de necrosis tumoral alfa (TNF-α) cuando se co-cultivan con bolas anti-NKG2D

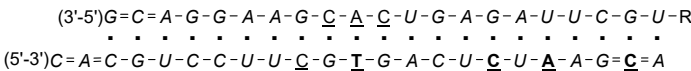
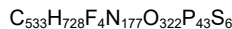
senvesiranum

senvesiran

[(2S,4R)-1-{1-[(2-acetamido-2-deoxy-β-D-galactopyranosyl)oxy]-16,16-bis({3-[{3-[5-[{2-acetamido-2-deoxy-β-D-galactopyranosyl}oxy]pentanamido}propyl]amino}-3-oxopropoxy)methyl]-5,11,18-trioxa-14-oxa-6,10,17-triazanonacosan-29-oyl}-4-hydroxypyrrolidin-2-yl]methyl hydrogen all-P-ambo-2'-O-methyl-P-thioguanyl-(3'→5')-2'-O-methyl-P-thiocytidylyl-(3'→5')-2'-O-methyladenylyl-(3'→5')-2'-O-methylguanylyl-(3'→5')-2'-O-methylguanylyl-(3'→5')-2'-O-methyladenylyl-(3'→5')-2'-O-methylguanylyl-(3'→5')-2'-deoxy-2'-fluorocytidylyl-(3'→5')-2'-deoxy-2'-fluoroadenylyl-(3'→5')-2'-deoxy-2'-fluorocytidylyl-(3'→5')-2'-O-methyluridyl-(3'→5')-2'-O-methylguanylyl-(3'→5')-2'-O-methyladenylyl-(3'→5')-2'-O-methylguanylyl-(3'→5')-2'-O-methyluridyl-(3'→5')-2'-O-methylcytidyl-(3'→5')-2'-O-methylguanylyl-(3'→5')-2'-O-methyl-3'-uridylate

duplex with all-*P*-ambo-2'-O-methyl-*P*-thiocytidylyl-(5'→3')-2'-O-methyl-*P*-thioadenylyl-(5'→3')-2'-O-methylcytidylyl-(5'→3')-2'-O-methylguanylyl-(5'→3')-2'-O-methyluridylyl-(5'→3')-2'-O-methylcytidylyl-(5'→3')-2'-O-methyluridylyl-(5'→3')-2'-O-methyluridylyl-(5'→3')-2'-deoxy-2'-fluorocytidylyl-(5'→3')-2'-O-methylguanylyl-(5'→3')-thymidylyl-(5'→3')-2'-O-methylguanylyl-(5'→3')-2'-O-methyladenylyl-(5'→3')-2'-O-methylcytidylyl-(5'→3')-2'-O-methyluridylyl-(5'→3')-2'-deoxycytidylyl-(5'→3')-2'-O-methyluridylyl-(5'→3')-2'-deoxyadenylyl-(5'→3')-2'-O-methyladenylyl-(5'→3')-2'-O-methyl-*P*-thioguananyl-(5'→3')-2'-deoxy-*P*-thiocytidylyl-(5'→3')-2'-O-methyladenosine

servés par tout-*P*-ambo-2'-O-méthyl-*P*-thioguananylyl-(3'→5')-2'-O-méthyl-*P*-thiocytidylyl-(3'→5')-2'-O-méthyladénylyl-(3'→5')-2'-O-méthylguanylyl-(3'→5')-2'-O-méthyladénylyl-(3'→5')-2'-O-méthylguanylyl-(3'→5')-2'-O-méthyladénylyl-(3'→5')-2'-désoxy-2'-fluorocytidylyl-(3'→5')-2'-désoxy-2'-fluoroadénlyl-(3'→5')-2'-désoxy-2'-fluorocytidylyl-(3'→5')-2'-O-méthyluridyl-(3'→5')-2'-O-méthylguanylyl-(3'→5')-2'-O-méthyladénylyl-(3'→5')-2'-O-méthyluridyl-(3'→5')-2'-O-méthyluridyl-(3'→5')-2'-O-méthylcytidyl-(3'→5')-2'-O-méthylguanylyl-(3'→5')-hydrogénation-2'-O-méthyl-3'-uridylate de [(2S,4R)-1-{1-[2-acétamido-2-désoxy-β-D-galactopyranosyl]oxy}-16,16-bis(3-[3-(5-[(2-acétamido-2-désoxy-β-D-galactopyranosyl)oxy]pentanamido)propyl]amino]-3-oxopropoxy)méthyl]-5,11,18-trioxa-14-oxa-6,10,17-triazanonacosan-29-oyl]-4-hydroxypyrrrolidin-2-yl]méthyle duplex avec tout-*P*-ambo-2'-O-méthyl-*P*-thiocytidylyl-(5'→3')-2'-O-méthyl-*P*-thioadénlyl-(5'→3')-2'-O-méthylcytidyl-(5'→3')-2'-O-méthylguanylyl-(5'→3')-2'-O-méthyluridyl-(5'→3')-2'-O-méthylcytidyl-(5'→3')-2'-O-méthylcytidyl-(5'→3')-2'-désoxy-2'-fluorocytidylyl-(5'→3')-2'-O-méthylguanylyl-(5'→3')-thymidylyl-(5'→3')-2'-O-méthylguanylyl-(5'→3')-2'-O-méthyladénylyl-(5'→3')-2'-O-méthylcytidyl-(5'→3')-2'-O-méthyluridyl-(5'→3')-2'-désoxycytidylyl-(5'→3')-2'-O-méthyluridyl-(5'→3')-2'-désoxyadénlyl-(5'→3')-2'-O-méthyladénylyl-(5'→3')-2'-O-méthyl-*P*-thioguananyl-(5'→3')-2'-désoxy-*P*-thiocytidylyl-(5'→3')-2'-O-méthyladénosine

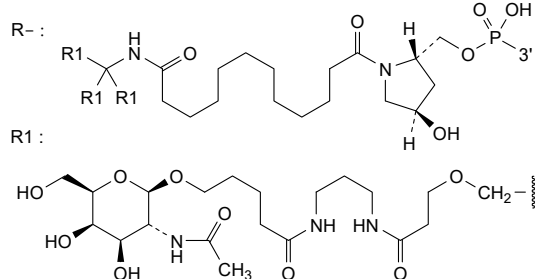


N : A,C,G,T,U

N : 2'-O-methyl-N / 2'-O-méthyl-N / 2'-O-metil-N

N : 2'-deoxy-N / 2'-désoxy-N / 2'-desoxi-NN : 2'-deoxy-2'-fluoro-N / 2'-désoxy-2'-fluoro-N / 2'-desoxi-2'-fluoro-N

- : -PO(OH)- = : -PO(SH)-

**sevabertinibum**

sevabertinib

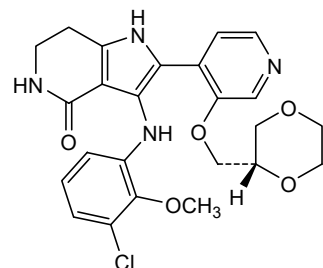
(7^2S) -1³-chloro-1²-methoxy-3¹,3⁵,3⁶,3⁷-tetrahydro-3⁴H-5-oxa-2-aza-3(3,2)-pyrrolo[3,2-c]pyridina-4(4,3)-pyridina-7(2)-[1,4]dioxana-1(1)-benzenaheptaphan-3⁴-one

sévabertinib

(7^2S) -1³-chloro-1²-méthoxy-3¹,3⁵,3⁶,3⁷-tétrahydro-3⁴H-5-oxa-2-aza-3(3,2)-pyrrolo[3,2-c]pyridina-4(4,3)-pyridina-7(2)-[1,4]dioxana-1(1)-benzénáheptaphan-3⁴-one

sevabertinib

(7^2S) -1³-cloro-1²-metoxi-3¹,3⁵,3⁶,3⁷-tetrahidro-3⁴H-5-oxa-2-aza-3(3,2)-pirrolo[3,2-c]piridina-4(4,3)-piridina-7(2)-[1,4]dioxana-1(1)-bencenaheptafan-3⁴-ona

**solabafuspum alfa #**

solabafusp alfa

humanized immunoglobulin G4-kappa, anti-[*Homo sapiens* CD274 (programmed cell death 1 ligand 1, PDL1, PD-L1, B7 homolog 1, B7H1, B7-H1, PDCD1LG1)] fused at the C-terminus of each heavy chain via a $(\text{G}_4\text{S})_3$ linker to human lipocalin-2 (neutrophil gelatinase-associated lipocalin, NGAL, oncogene 24p3, siderocalin) engineered (23 exchanged residues) to bind CD137 (tumor necrosis factor receptor superfamily member 9, TNFRSF9, 4-1BB);

gamma 4 heavy chain (1-446) [VH (*Homo sapiens* IGHV4-4*01 -(IGHD) -IGHJ4*01, CDR-Kabat [5.16.12] (31-35.50-65.98-109)) (1-120) -*Homo sapiens* IGHG4*01 (CH1 (121-218), hinge S²²⁸>P (219-230), CH2 F²³⁴>A, L²³⁵>A (231-340), CH3 (341-445), CHS K⁴⁴⁷>del (446)) (122-447)] fused via peptide linker ⁴⁴⁷GGGGSGGGGGSGGGGS⁴⁶¹ to human lipocalin-2 [mutant Q²⁸>H⁴⁸⁹, L³⁶>Q⁴⁹⁷, ⁴⁰A⁴¹>⁵⁰¹I⁵⁰², ⁴⁹Q>I⁵¹⁰, Y⁵²>M⁵¹³, N⁶⁵>D⁵²⁶, S⁶⁸>M⁵²⁹, L⁷⁰>K⁵³¹, ⁷²R^K⁷³>⁵³³DD⁵³⁴, D⁷⁷>M⁵³⁸, W⁷⁹>D⁵⁴⁰, R⁸¹>W⁵⁴², C⁸⁷>S⁵⁴⁸, N⁹⁶>K⁵⁵⁷, Y¹⁰⁰>F⁵⁶¹, L¹⁰³>H⁵⁶⁴, Y¹⁰⁶>S⁵⁶⁷, K¹²⁵>F⁵⁸⁶, S¹²⁷>F⁵⁸⁸, Y¹³²>E⁵⁹³, K¹³⁴>Y⁵⁹⁵ (1-178)] (462-639 in the current sequence), (134-214')-disulfide with kappa light chain (1'-214') [V-KAPPA (*Homo sapiens* IGKV6-21*02 -IGKJ2*01, CDR-Kabat [11.7.9] (24'-34'.50'-56'.89'-97')) (1'-107') -*Homo sapiens* IGKC*01 (108'-214')]; dimer (226-226":229-229")-bisdisulfide, produced in Chinese hamster ovary (CHO) cells, glycoform alfa

solabafusp alfa immunoglobuline G4-kappa humanisée, anti-[*Homo sapiens* CD274 (ligand 1 de la protéine 1 de mort cellulaire programmée, PDL1, PD-L1, homologue B7.1, PDCD1LG1)], fusionnée à la partie C-terminale de chaque chaîne lourde, à l'aide d'un coupleur peptidique (GGGGS)₃, à la lipocaline-2 humaine (lipocaline associée à la gélatinase des neutrophiles, NGAL, oncogène 24p3, sidérocaline) modifiée (par échange de 23 résidus) pour se lier au CD137 (membre 9 de la superfamille des récepteurs du facteur de nécrose tumorale, TNFRSF9, 4-1BB); chaîne lourde de gamma 4 (1-446) [VH (*Homo sapiens* IGHV4-4*01 -(IGHD) -IGHJ4*01, CDR-Kabat [5.16.12] (31-35.50-65.98-109)) (1-120) -*Homo sapiens* IGHG4*01 (CH1 (121-218), charnière S²²⁸>P (219-230), CH2 F²³⁴>A, L²³⁵>A (231-340), CH3 (341-445), CHS K⁴⁴⁷>del (446)) (122-447)], fusionnée à l'aide d'un coupleur peptidique ⁴⁴⁷GGGGSGGGGGSGGGGS⁴⁶¹ à la lipocaline-2 humaine [mutant Q²⁸>H⁴⁸⁹, L³⁶>Q⁴⁹⁷, ⁴⁰A⁴¹>⁵⁰¹I⁵⁰², ⁴⁹Q>I⁵¹⁰, Y⁵²>M⁵¹³, N⁶⁵>D⁵²⁶, S⁶⁸>M⁵²⁹, L⁷⁰>K⁵³¹, ⁷²R^K⁷³>⁵³³DD⁵³⁴, D⁷⁷>M⁵³⁸, W⁷⁹>D⁵⁴⁰, R⁸¹>W⁵⁴², C⁸⁷>S⁵⁴⁸, N⁹⁶>K⁵⁵⁷, Y¹⁰⁰>F⁵⁶¹, L¹⁰³>H⁵⁶⁴, Y¹⁰⁶>S⁵⁶⁷, K¹²⁵>F⁵⁸⁶, S¹²⁷>F⁵⁸⁸, Y¹³²>E⁵⁹³, K¹³⁴>Y⁵⁹⁵ (1-178)] (462-639 (dans la séquence en cours), (134-214')-disulfure avec la chaîne légère kappa (1'-214') [V-KAPPA (*Homo sapiens* IGKV6-21*02 -IGKJ2*01, CDR Kabat [11.7.9] (24'-24'.50'-56'.89'-97')) (1'-107') -*Homo sapiens* IGKC*01 (108'-214')]; dimère (226-226":229-229")-bisdisulfure, produite dans des cellules ovaries de hamster chinois (CHO), glycoforme alfa

solabafusp alfa inmunoglobulina G4-kappa humanizada, anti-[*Homo sapiens* CD274 (ligando 1 de la proteína de muerte celular programada 1, PDL1, PD-L1, B7 homólogo 1, B7H1, B7-H1, PDCD1LG1)] fusionado en la parte C-terminal de cada cadena pesada a través de un enlace (G₄S)₃ a la lipocalina-2 humana (lipocalina asociada a la gelatinasa de neutrófilos, NGAL, oncogén 24p3, siderocalina) diseñada (23 residuos intercambiados) para unirse a CD137 (miembro 9 de la superfamilia de receptores del factor de necrosis tumoral, TNFRSF9, 4-1BB); cadena pesada gamma 4 (1-446) [VH (*Homo sapiens* IGHV4-4*01 -(IGHD) -IGHJ4*01, CDR-Kabat [5.16.12] (31-35.50-65.98-109)) (1-120) -*Homo sapiens* IGHG4*01 (CH1 (121-218), bisagra S²²⁸>P (219-230), CH2 F²³⁴>A, L²³⁵>A (231-340), CH3 (341-445), CHS K⁴⁴⁷>del (446)) (122-447)] fusionada a través de enlace peptídico ⁴⁴⁷GGGGSGGGGGSGGGGS⁴⁶¹ a la lipocalina-2 humana [mutante Q²⁸>H⁴⁸⁹, L³⁶>Q⁴⁹⁷, ⁴⁰A⁴¹>⁵⁰¹I⁵⁰², ⁴⁹Q>I⁵¹⁰, Y⁵²>M⁵¹³, N⁶⁵>D⁵²⁶, S⁶⁸>M⁵²⁹, L⁷⁰>K⁵³¹, ⁷²R^K⁷³>⁵³³DD⁵³⁴, D⁷⁷>M⁵³⁸, W⁷⁹>D⁵⁴⁰, R⁸¹>W⁵⁴², C⁸⁷>S⁵⁴⁸, N⁹⁶>K⁵⁵⁷, Y¹⁰⁰>F⁵⁶¹, L¹⁰³>H⁵⁶⁴, Y¹⁰⁶>S⁵⁶⁷, K¹²⁵>F⁵⁸⁶, S¹²⁷>F⁵⁸⁸, Y¹³²>E⁵⁹³, K¹³⁴>Y⁵⁹⁵ (1-178)] (462-639 en la secuencia actual), (134-214')-disulfuro con la cadena ligera kappa (1'-214') [V-KAPPA (*Homo sapiens* IGKV6-21*02 -IGKJ2*01, CDR-Kabat [11.7.9] (24'-34'.50'-56'.89'-97')) (1'-107') -*Homo sapiens* IGKC*01 (108'-214')]; dímero (226-226":229-229")-bisdisulfuro, producido en células ováricas de hámster Chino (CHO), glicoforma alfa

Sequence / Séquence / Secuencia

Heavy chain-lipocalin-2

QVQLQESPGP LVKPVSETLSI TCTVSGFSL S NYDISWIRQ P PGKGLEWLGV 50
 IWTGQATNYN PALKSRTIS RDNSKNQVSL KMSVTAADT AVYYCVRDSN 100
 YRYDEPFTYW GGGLTLTVSS ASTKGPSVP LAPCSRTSE STAALGCLVK 150
 DYFPEPVTVS WNSGALTSGV HTFPAPLQSS GLYSLSSVVT VPSSSLGKT 200
 YTCNVDHKPS NTKVDKRVES KYGPPCPCCP APEAAGGSPV FLFPPKPKDT 250
 LMISRTPVIT CVVVDVSQED PEVQFNWYD GVEVHNAAKIK FREEQFNSTY 300
 RVVSVLTVLH QDWLNKEYKA CKVSNKGLPS SIEKTISAKA GQPREGPVYT 350
 LPPSQEEMTK NQVSLTCLVK GFYPSDIAVE WESNGQOPENN YKTTPPVLDS 400
 DGSFFLYSRL TVDKSRWQEG NVFSCSVME AHLNHYTQKS LSLSLGGGG 450
SGGGSGG SDSTSDLIS APPLKVPLQ QNFQDNQFIG KKYVVGAGN 500
IRLREDPI KMMATIYEKL EDKSYDVTM KFDKKCMYD IWTFPGSQ 550
 GEFTLGRKTS FFGHTSSILVR VVSTNLYNQHA MVFFKEVFQN REEFYITLYG 600
 RTKELTSELK ENFIRFSKSL GLPENHIVFP VPIDQCIDG 639

Light chain

EIVLTQSPDT LSVTPKEKV LTCCRASQSIG TNIHWFQQPK GQSPKLLIKY 50
 ASESIISGVPS RFSGSGSGTD FTLLTINSVEA EDAATYYCQQ SNSWPYTFGQ 100
 GTKLEIKRTV AAPSVFIIPP SDEQLKSGTA SVVCLNNFY PREAKVQWKV 150
 DNALQSGNSQ ESVTEQDSKD STYSLSSTLT LSKADYEKHK VYACEVTHQG 200
 LSSPVTKSFN RGEC 214

Mutations / Mutaciones / Mutaciones

Heavy chain: S²²⁸>P, F²³⁴>A, L²³⁵>A, K447>del
 lipocalin-2: Q²⁸>H⁴⁸⁹, L³⁶>Q³⁹⁷, A⁴¹>P⁵⁰², Q⁴⁹>I⁵¹⁰, Y⁵²>M⁵¹³, N⁶⁵>D⁵²⁶, S⁶⁸>M⁵²⁹,
 L⁷⁰>K⁵³¹, ⁷²R⁷³>D⁵³⁴, D⁷⁷>M⁵³⁸, W⁷⁹>D⁵⁴⁰, R⁸¹>W⁵⁴², C⁸⁷>S⁵⁴⁸, N⁹⁶>K⁵⁵⁷,
 Y¹⁰⁰>E⁵⁶¹, L¹⁰³>H⁵⁶⁴, Y¹⁰⁶>S⁵⁶⁷, K¹²⁵>E⁵⁸⁶, S¹²⁷>E⁵⁸⁸, Y¹³²>E⁵⁹³, K¹³⁴>Y⁵⁹⁵,

Peptide linker / Peptide liant / Péptido de unión
 447 GGGGSGGGGGSGGGG⁴⁶¹

Post-translational modifications

Disulfide bridges location / Position des ponts disulfure / Posiciones de los puentes disulfuro
 Intra heavy chain-lipocalin-2: 22-95, 147-203, 261-321, 367-425, 537-636,

22"-95", 147"-203", 261"-321", 367"-425", 537"-636"

Intra light chain: 23"-88", 134"-194", 23"-88", 134"-194"

Inter heavy chain-heavy chain: 226-226", 229-229"

Inter heavy chain-light chain: 134-214", 134"-214"

N-glycosylation sites / Sites de N-glycosylation / Posiciones de N-glicosilación
 N297, N297"

N-terminal glutaminyl cyclization / Cyclisation du glutaminyle N-terminal / Ciclación del glutaminilo N-terminal

Heavy chain: Q1, Q1" > pyroglutamyl (pE, 5-oxo-L-prolyl)

solnerstotugum

solnerstotug

immunoglobulin G1-kappa, anti-[*Homo sapiens* VSIR (V-set immunoregulatory receptor, B7H5, B7-H5, PDCD1 homolog, PD-1H, stress induced secreted protein 1, SISP1, V-domain Ig suppressor of T cell activation, VISTA)], *Homo sapiens* monoclonal antibody; H-gamma1 heavy chain *Homo sapiens* (1-452) [VH (*Homo sapiens* IGHV3-48*01 (94.9%) -(IGHD) -IGHJ1*01 (100%), CDR-IMGT [8.8.15] (26-33.51-58.97-111)) (1-122) -*Homo sapiens* IGHG1*03v (100%) G1m3>G1m17, nG1m1 CH1 K120, CH3 E12, M14 (CH1 R120>K (219) (123-220), hinge 1-15 (221-235), CH2 (236-345), CH3 E12 (361), M14 (363) (346-450), CHS (451-452)) (123-452)], (225-215')-disulfide with L-kappa light chain *Homo sapiens* (1'-215') [V-KAPPA (*Homo sapiens* IGKV1-33*01 (94.7%) -IGKJ4*01 (100%), CDR-IMGT [6.3.10] (27-32'.50-52'.89-98')) (1'-108') -*Homo sapiens* IGKC*01 (100%) Km3 A45.1, V101 (C-KAPPA A45.1 (154'), V101 (192')) (109'-215')]; dimer (231-231":234-234")-bisdisulfide, produced in Chinese hamster ovary (CHO) cells, glycoform alfa

solnerstotug	<p>immunoglobuline G1-kappa, anti-[<i>Homo sapiens</i> VSIR (récepteur immunorégulateur du V-set, B7H5, B7-H5, homologue du PDCD1, PD-1H, protéine 1 secrétée induite par le stress, SISP1, suppresseur d'activation de cellule T du V-set Ig, VISTA)], anticorps monoclonal <i>Homo sapiens</i>;</p> <p>chaîne lourde H-gamma1 <i>Homo sapiens</i> (1-452) [VH (<i>Homo sapiens</i> IGHV3-48*01 (94.9%) -(IGHD) -IGHJ1*01 (100%), CDR-IMGT [8.8.15] (26-33.51-58.97-111)) (1-122) -<i>Homo sapiens</i>IGHG1*03v (100%) G1m3>G1m17, nG1m1 CH1 K120, CH3 E12, M14 (CH1 R120>K (219) (123-220), charnière 1-15 (221-235), CH2 (236-345), CH3 E12 (361), M14 (363) (346-450), CHS (451-452)) (123-452)], (225-215')-disulfure avec la chaîne légère L-kappa <i>Homo sapiens</i> (1'-215') [V-KAPPA (<i>Homo sapiens</i> IGKV1-33*01 (94.7%) -IGKJ4*01 (100%), CDR-IMGT [6.3.10] (27-32'.50'-52'.89'-98')) (1'-108') -<i>Homo sapiens</i> IGKC*01 (100%) Km3 A45.1, V101 (C-KAPPA A45.1 (154'), V101 (192')) (109'-215')]; dimère (231-231":234-234")-bisdisulfure, produit dans des cellules ovarianes de hamster chinois (CHO), glycoforme alfa</p>
solnerstotug	<p>inmunoglobulina G1-kappa, anti-[<i>Homo sapiens</i> VSIR (receptor inmunoregulador del V-set, B7H5, B7-H5, homólogo del PDCD1, PD-1H, proteína secretada 1 inducida por el estrés, SISP1, supresor de la activación de células T del V-set Ig, VISTA)], anticuerpo monoclonal <i>Homo sapiens</i>;</p> <p>cadena pesada H-gamma1 <i>Homo sapiens</i> (1-452) [VH (<i>Homo sapiens</i> IGHV3-48*01 (94.9%) -(IGHD) -IGHJ1*01 (100%), CDR-IMGT [8.8.15] (26-33.51-58.97-111)) (1-122) -<i>Homo sapiens</i>IGHG1*03v (100%) G1m3>G1m17, nG1m1 CH1 K120, CH3 E12, M14 (CH1 R120>K (219) (123-220), bisagra 1-15 (221-235), CH2 (236-345), CH3 E12 (361), M14 (363) (346-450), CHS (451-452)) (123-452)], (225-215')-disulfuro con la cadena ligera L-kappa <i>Homo sapiens</i> (1'-215') [V-KAPPA (<i>Homo sapiens</i> IGKV1-33*01 (94.7%) -IGKJ4*01 (100%), CDR-IMGT [6.3.10] (27'-32'.50'-52'.89'-98')) (1'-108') -<i>Homo sapiens</i> IGKC*01 (100%) Km3 A45.1, V101 (C-KAPPA A45.1 (154'), V101 (192')) (109'-215')]; dímero (231-231":234-234")-bisdisulfuro, producido en las células ováricas de hámster chino (CHO), forma glicosilada alfa</p> <p>Heavy chain / Chaîne lourde / Cadena pesada EVQLVESGGGLVQPGGSLRLSCAASGFTFDYDSMNWVRQAPGKGLEWVSY 50 ISSADADIYYADSVKGRFTI SRDANKNSLYLQMNSLRAEDTAVYYCAREY 100 GGVLRGRVDFQHWGQQGTLVTVSSASTKGPSPFFLAPPSKSTSGGTAALGCL 150 VKDYFPEPVTVSNWSNLGSVGVHTFPFAVLQSSGLYSLSSVVTVPSSSLGT 200 QTYICCNVNHKPSNTKVDKVKERPKSCDKTHTPCPCPAPELGGPSVFLFP 250 KPKDTLMISRTEPVTCVVVDVSHEDPEVKEFWNYVVDGVEVHNNAKTRPREEQ 300 YNTSYTRVSVSLTVLHQDWLNGKEYKCKVNSKLAPAPIEKTISKAKQPRE 350 PQVYTLPPSR EEMTKNQVSLTCLVKGFYPSDIATEWESNGQPENNYKTTP 400 PVLDSDGSFFLYSKLTVDKSRRWQQGNVFSCSVMHEALHNHYTQKSLSLSP 450 GK 452</p> <p>Light chain / Chaîne légère / Cadena ligera DIQLTQSPSSLSASVGDRVTITCQASQDISNYLNWYQQKPGKAPKLLIYD 50 ASNLGTVGPSRFGSGSGSTDFTFTISSLQFEDIATYYCQQADFVPPWTFG 100 GGTKVIEIKRTVAAPSFVIFPSDEQLKSGTASVVCCLNNFYPREAKVQWK 150 VDNALQSQNSQEVSTEQDSKDSTYSLSSLTLSKADYEKHKVYACEVTHQ 200 GLSSPVTKSFNRGEC 215</p> <p>Post-translational modifications Disulfide bridges location / Position des ponts disulfure / Posiciones de los puentes disulfuro Intra-H (C23-C104) 22-96 149-205 266-326 372-430 22"-96" 149"-205" 266"-326" 372"-430" Intra-L (C23-C104) 23"-88" 135"-195" 23""-88"" 135""-195"" Inter-H-L (h 5-CL 126) 225-215' 225"-215" Inter-H-H (h 11, h 14) 231-231" 234-234" N-glycosylation sites / Sites de N-glycosylation / Posiciones de N-glicosilación H CH2 N84.4: 302, 302" Fucosylated complex bi-antennary CHO-type glycans / Glycanes de type CHO bi-antennaires complexes fucosylés / Glicanos de tipo CHO biantenarios complejos fucosilados C-terminal lysine clipping / Coupure de la lysine C-terminale / Recorte de lisina C-terminal H CHS K2: 452, 452"</p>

sonesitatug #

sonesitatug

immunoglobulin G1-kappa, anti-[*Homo sapiens* CLDN18 (claudin 18, claudin-18, surfactant associated protein J, SFTPJ) isoform 2], humanized monoclonal antibody; H-gamma1 heavy chain humanized (1-448) [VH (*Homo sapiens* IGHV4-59*11 (94.8%) -(IGHD) -IGHJ4*01 (92.9%), CDR-IMGT [9.7.11] (26-34.52-58.97-107)) (1-118) -*Homo sapiens* IGHG1*03 (100%) G1m3, nG1m1 CH1 R120, CH3 E12, M14 (CH1 R120 (215) (119-216), hinge 1-15 (217-231), CH2 (232-341), CH3 E12 (357), M14 (359) (342-446), CHS (447-448)) (119-448)], (221-220')-disulfide with L-kappa light chain humanized (1'-220') [V-KAPPA (*Homo sapiens* IGKV4-1*01 (92.1%) -IGKJ1*01 (100%), CDR-IMGT [12.3.9] (27'-38'.56'-58'.95'-103')) (1'-113') -*Homo sapiens* IGKC*01 (100%) Km3 A45.1, V101 (C-KAPPA A45.1 (159'), V101 (197')) (114'-220')]; dimer (227-227":230-230")-bisdisulfide, produced in Chinese hamster ovary (CHO) cells, derived from CHO-K1 cell line, lacking the glutamine synthetase (GS-KO) gene, glycoform alfa

sonésitatug

immunoglobuline G1-kappa, anti-[*Homo sapiens* CLDN18 (claudine 18, claudine-18, protéine J associée au surfactant, SFTPJ) isoforme 2], anticorps monoclonal humanisé; chaîne lourde H-gamma1 humanisée (1-448) [VH (*Homo sapiens* IGHV4-59*11 (94.8%) -(IGHD) -IGHJ4*01 (92.9%), CDR-IMGT [9.7.11] (26-34.52-58.97-107)) (1-118) -*Homo sapiens* IGHG1*03 (100%) G1m3, nG1m1 CH1 R120, CH3 E12, M14 (CH1 R120 (215) (119-216), charnière 1-15 (217-231), CH2 (232-341), CH3 E12 (357), M14 (359) (342-446), CHS (447-448)) (119-448)], (221-220')-disulfure avec la chaîne légère L-kappa humanisée (1'-220') [V-KAPPA (*Homo sapiens* IGKV4-1*01 (92.1%) -IGKJ1*01 (100%), CDR-IMGT [12.3.9] (27'-38'.56'-58'.95'-103')) (1'-113') -*Homo sapiens* IGKC*01 (100%) Km3 A45.1, V101 (C-KAPPA A45.1 (159'), V101 (197')) (114'-220')]; dimère (227-227":230-230")-bisdisulfure, produit dans des cellules ovaries de hamster chinois (CHO), dérivant de la lignée cellulaire CHO-K1, ne présentant pas le gène de la glutamine synthétase (GS-KO), glycoforme alfa

sonesitatug

inmunoglobulina G1-kappa, anti-[*Homo sapiens* CLDN18 (claudina 18, claudina-18, proteína J asociada con surfactante, SFTPJ) isoforma 2], anticuerpo monoclonal humanizado; cadena pesada H-gamma1 humanizada (1-448) [VH (*Homo sapiens* IGHV4-59*11 (94.8%) -(IGHD) -IGHJ4*01 (92.9%), CDR-IMGT [9.7.11] (26-34.52-58.97-107)) (1-118) -*Homo sapiens* IGHG1*03 (100%) G1m3, nG1m1 CH1 R120, CH3 E12, M14 (CH1 R120 (215) (119-216), bisagra 1-15 (217-231), CH2 (232-341), CH3 E12 (357), M14 (359) (342-446), CHS (447-448)) (119-448)], (221-220')-disulfuro con la cadena ligera L-kappa humanizada (1'-220') [V-KAPPA (*Homo sapiens* IGKV4-1*01 (92.1%) -IGKJ1*01 (100%), CDR-IMGT [12.3.9] (27'-38'.56'-58'.95'-103')) (1'-113') -*Homo sapiens* IGKC*01 (100%) Km3 A45.1, V101 (C-KAPPA A45.1 (159'), V101 (197')) (114'-220')]; dímero (227-227":230-230")-bisdisulfuro, producido en las células ováricas de hámster chino (CHO), línea celular derivada de CHO-K1, en ausencia del gen glutamina sintetasa (GS-KO), forma glicosilada alfa

Heavy chain / Chaîne lourde / Cadena pesada

QVQLQESGPV	LVPKSETLSL	TCTVSGGSIS	SNYAWNWIRO	PPGKGLEWIG	50
YIYYSGNTNY	NPSLKSRTVI	SRDTSKNQFS	LKLSSVTAAAD	TAVYYCATSY	100
YGNPSFIYWQG	GTLVTSSAS	TKGPSVFLPA	PSSKSTSGGT	AALGCLVKDY	150
FPEPVTVSNN	SGALTSGVHT	FFAVILQSSGL	YSLSSVTVTP	SSSLGTQTYI	200
CNVNHKPSNT	KVDKRVEPKS	CDKTHTCPC	PAPEELLGGPS	VFLFPPPKFD	250
TMISRTPEV	TCVVVDVSHE	DPEVKFNWYV	DGVEVHNAKT	KPREEQYNST	300
YRIVSVLTVL	HQDWLNGKEY	KCKVSNKALP	AKPIEKTIASKA	KGQPREGQVY	350
TLPPSREEMT	KNQVSLTCLV	KGFYPSDIV	EWESENQOPEN	NYKTPPPVLD	400
SDGSFFLYSK	LTVDKSRWQQ	GNVFSCSVMH	EALHNHYTQK	SLSLSPGK	448

Light chain / Chaîne légère / Cadena ligera

DIVMTQSPDS	LAWSLGERAT	INCKSSQSLL	NSGNQKNYLT	WYQQKPGQPP	50
KLLIYWASTR	ESGVPDFRFS	SGSGTDFTLT	ISSLQAEDVA	VYYCQNAYSF	100
PWTFGGGTKV	EIKRTVAAFS	VPIFFPSDEQ	IKSGTASVVC	LLNNFYPREA	150
KVQWKVDNAL	QSGNSQESVT	EQDSKDDSTY	LSSTLTLSKA	DYEHKVYAC	200
EVTHHQGLSSP	VTKSFRNGEC				220

Post-translational modifications

Disulfide bridges location / Position des ponts disulfure / Posiciones de los puentes disulfuro

Intra-H (C23-C104) 22-96 145-201 262-322 368-426

22"-96" 145"-201" 262"-322" 368"-426"

Intra-L (C23-C104) 23"-94" 140"-200"

23"-94" 140"-200"

Inter-H-L (h 5-CL 126) 221-220 221"-220"

Inter-H-H (h 11, h 14) 227-227" 230-230"

N-terminal glutaminyl cyclization / Cyclisation du glutaminyle N-terminal / Ciclación del glutaminilo N-terminal

Q > pyroglutamyl (pE, 5-oxoprolyl) / pyroglutamyle (pE, 5-oxoprolyle) / piroglutamilo (pE, 5-oxoprolilo)

H VH Q1: I, I"

N-glycosylation sites / Sites de N-glycosylation / Posiciones de N-glicosilación

H CH2 N84.4: 298, 298"

Fucosylated complex bi-antennary CHO-type glycans / glycanes de type CHO bi-antennaires complexes fucosyles / glicanos de tipo CHO biantenarios complejos fucosilados

C-terminal lysine clipping / Coupe de la lysine C-terminale / Recorte de lisina C-terminal

H CHS K2: 448, 448"

sonesitatugum vedotinum

sonesitatug vedotin

immunoglobulin G1-kappa, anti-[*Homo sapiens* CLDN18 (claudin 18, claudin-18, surfactant associated protein J, SFTPJ) isoform 2], humanized monoclonal antibody, conjugated on an average of four cysteinyl residues to *vedotin*, comprising a cleavable linker and monomethylauristatin E (MMAE); H-gamma1 heavy chain humanized (1-448) [VH (*Homo sapiens*IGHV4-59*11 (94.8%) -(IGHD)-IGHJ4*01 (92.9%), CDR-IMGT [9.7.11] (26-34.52-58.97-107)) (1-118) -*Homo sapiens*IGHG1*03 (100%) G1m3, nG1m1 CH1 R120, CH3 E12, M14 (CH1 R120 (215) (119-216), hinge 1-15 (217-231), CH2 (232-341), CH3 E12 (357), M14 (359) (342-446), CHS (447-448)) (119-448)], (221-220")-disulfide with L-kappa light chain humanized (1'-220") [V-KAPPA (*Homo sapiens* IGKV4-1*01 (92.1%) -IGKJ1*01 (100%), CDR-IMGT [12.3.9] (27'-38'.56'-58'.95'-103')) (1'-113') -*Homo sapiens* IGKC*01 (100%) Km3 A45.1, V101 (C-KAPPA A45.1 (159'), V101 (197')) (114'-220'); dimer (227-227":230-230")-bisdisulfide, produced in Chinese hamster ovary (CHO) cells, derived from the cell line CHO-K1, lacking the glutamine synthetase (GS-KO) gene, glycoform alfa; substituted at the sulfur atoms of four L-cysteinyl residues on an average among 221, 227, 230, 220', 221", 227", 230" and 220" with a group consisting of (3RS)-1-(6-{[(2S)-1-[(2S)-5-(carbamoylamino)-1-{4-[(2S)-1-[(2S)-1-[(3R,4S,5S)-1-(2S)-2-[(1R,2R)-3-[(1S,2R)-1-hydroxy-1-phenylpropan-2-yl]amino)-1-methoxy-2-methyl-3-oxopropyl]pyrrolidin-1-yl]-3-methoxy-5-methyl-1-oxoheptan-4-yl](methyl)amino}-3-methyl-1-oxobutan-2-yl]amino}-3-methyl-1-oxobutan-2-yl](methyl)carbamoyl}oxy)methyl]janilino}-1-oxopentan-2-yl]amino}-3-methyl-1-oxobutan-2-yl]amino}-6-oxohexyl)-2,5-dioxopyrrolidin-3-yl (*vedotin*)

sonésitatug védotine	immunoglobuline G1-kappa, anti-[<i>Homo sapiens</i> CLDN18 (claudine 18, claudine-18, protéine J associée au surfactant, SFTPJ) isoforme 2], anticorps monoclonal humanisé, conjugué, par quatre résidus cystéinyle en moyenne à la védotine, comprenant un linker clivable et monométhylauristatine E (MMAE); chaîne lourde H-gamma1 humanisée (1-448) [VH (<i>Homo sapiens</i> IGHV4-59*11 (94.8%) -(IGHD) -IGHJ4*01 (92.9%), CDR-IMGT [9.7.11] (26-34.52-58.97-107)) (1-118) - <i>Homo sapiens</i> IGHG1*03 (100%) G1m3, nG1m1 CH1 R120, CH3 E12, M14 (CH1 R120 (215) (119-216), charnière 1-15 (217-231), CH2 (232-341), CH3 E12 (357), M14 (359) (342-446), CHS (447-448)) (119-448)], (221-220')-disulfure avec la chaîne légère L-kappa humanisée (1'-220') [V-KAPPA (<i>Homo sapiens</i> IGKV4-1*01 (92.1%) -IGKJ1*01 (100%), CDR-IMGT [12.3.9] (27-38'.56'-58'.95'-103')) (1'-113') - <i>Homo sapiens</i> IGKC*01 (100%) Km3 A45.1, V101 (C-KAPPA A45.1 (159'), V101 (197')) (114'-220')]; dimère (227-227":230-230")-bisdisulfure, produit dans des cellules ovaries de hamster chinois (CHO), dérivant de la lignée cellulaire CHO-K1, ne présentant pas le gène de la glutamine synthétase (GS-KO), glycoforme alfa; substitué sur l'atome de soufre de quatre résidus L-cystéinyle en moyenne parmi 221, 227, 230, 220', 221", 227", 230" et 220'" avec un groupe (3RS)-1-(6-[(2S)-1-[(2S)-5-(carbamoylamino)-1-{4-[(2S)-1-[(3R,4S,5S)-1-((2S)-2-[(1R,2R)-3-[(1S,2R)-1-hydroxy-1-phénylpropan-2-yl]amino)-1-méthoxy-2-méthyl-3-oxopropyl]pyrrolidin-1-yl]-3-méthoxy-5-méthyl-1-oxoheptan-4-yl](méthyl)amino}-3-méthyl-1-oxobutan-2-yl]amino}-3-méthyl-1-oxobutan-2-yl](méthyl)carbamoyl]oxy)méthyl]janilino)-1-oxopentan-2-yl]amino}-3-méthyl-1-oxobutan-2-yl]amino}-6-oxohexyl)-2,5-dioxopyrrolidin-3-yle (védotine)
sonesitatug vedotina	inmunoglobulina G1-kappa, anti-[<i>Homo sapiens</i> CLDN18 (claudina 18, claudina-18, proteína J asociada con surfactante, SFTPJ) isoforma 2], anticuerpo monoclonal humanizado, conjugado, en una media de cuatro residuos cisteinilo a la vedotina, que comprende un enlace escindible y monometilauristatina E (MMAE); cadena pesada H-gamma1 humanizada (1-448) [VH (<i>Homo sapiens</i> IGHV4-59*11 (94.8%) -(IGHD) -IGHJ4*01 (92.9%), CDR-IMGT [9.7.11] (26-34.52-58.97-107)) (1-118) - <i>Homo sapiens</i> IGHG1*03 (100%) G1m3, nG1m1 CH1 R120, CH3 E12, M14 (CH1 R120 (215) (119-216), bisagra 1-15 (217-231), CH2 (232-341), CH3 E12 (357), M14 (359) (342-446), CHS (447-448)) (119-448)], (221-220')-disulfuro con la cadena ligera L-kappa humanizada (1'-220') [V-KAPPA (<i>Homo sapiens</i> IGKV4-1*01 (92.1%) -IGKJ1*01 (100%), CDR-IMGT [12.3.9] (27-38'.56'-58'.95'-103')) (1'-113') - <i>Homo sapiens</i> IGKC*01 (100%) Km3 A45.1, V101 (C-KAPPA A45.1 (159'), V101 (197')) (114'-220')]; dímero (227-227":230-230")-bisdisulfuro, producido en las células ováricas de hámster chino (CHO), línea celular derivada de CHO-K1, en ausencia del gen glutamina sintetasa (GS-KO), forma glicosilada alfa; sustituido en el átomo de azufre de cuatro residuos L-cisteinilo en una media entre 221, 227, 230, 220', 221", 227", 230" y 220'" con un grupo (3RS)-1-(6-[(2S)-1-[(2S)-5-(carbamoylamino)-1-{4-[(2S)-1-[(3R,4S,5S)-1-((2S)-2-[(1R,2R)-3-[(1S,2R)-1-hidroxi-1-fenilpropan-2-yl]amino)-1-metoxi-2-metil-3-oxopropil]pirrolidin-1-il]-3-metoxi-5-metil-1-oxoheptan-4-il](metil)amino}-3-metil-1-oxobutan-2-yl]amino}-3-metil-1-oxobutan-2-yl](metil)carbamoyl]oxy)méthyl]janilino)-1-oxopentan-2-yl]amino}-3-metil-1-oxobutan-2-yl]amino}-6-oxohexil)-2,5-dioxopirrolidin-3-ilo (vedotina)

Heavy chain / Chaîne lourde / Cadena pesada

QVQLQESGPQ LVKPESETL SLCVSGGGIS SNYAWNWIHQ PPGKGLEWIG 50
 YIYYSGNTNY NPSLKSRVII SRDTSKNQFS LKLSVTAAAD TAVVYCATSY 100
 YGNSFIYWGQ GTLTVTSSAS TKGPSVPLA PSSKSTSGGT AALGCLVKDY 150
 FPEPVTVWSNN SGALTSGVHT FPAPVLQSSGL YSLSSVVTVP SSSLGTTQYI 200
 CNVNHKPSNT KVDKRVEPKS CDRTHCTPPC PAPELLGGPS VFLFPPKEKD 250
 TLMISSRTPEV TCVVVDVSHF DPEVKFNMWYV DGVEVHNNAKT KPREEQYNST 300
 YRVSVLTVL HQDWLNGKEY KCKVSNKALP APIEKTISKA KGQPREPVY 350
 TLPPSREEMT KNQVSLTCLV KGFPYPSDIAV EWESNGQOPEN NYKTTTPVLD 400
 SDGSFFLYSK LTVDKSRWQQ GNVFSCSMVMH EALHNHYTQK SLSLSPGK 448

Light chain / Chaîne légère / Cadena ligera

DIVMTQSPD SAVLSEGRAT INCKSSQSLL NSGNQKNYLT WYQQKPGQQP 50
 KLLIYWAISTR ESGVPDRFGS SGSGTDFILT ISSLQAEDVA VYYCQNAYSF 100
 PWTFGQGTKV EIKRTVAAPS VFIFPPPSDEQ LKSGTASVVC LLNNFYPREA 150
 KVQWKVDNAL QSGNSQESVT EQDSKDSTYS LSSTTLSKA DYEKHKVYAC 200
 EVTHQGLSSP VTKSFSNRGEC 220

Post-translational modifications

Disulfide bridges location / Position des ponts disulfure / Posiciones de los puentes disulfuro
 Intra-H(C23-C104) 22-96 145-201 262-322 368-426
 22"-96" 145"-201" 262"-322" 368"-426"

Intra-L (C23-C104) 23"-94" 140"-200"
 23""-94"" 140""-200""

Inter-H-L (h 5-CL 126) * 221-220' 221"-220"

Inter-H-H (h 11, h 22) * 227-227" 230-230"

*At least two of the four inter-chain disulfide bridges are not present, an average of four cysteinyl being conjugated each via a thioether bond to a drug linker.

*Au moins deux des quatre ponts disulfures inter-chaines ne sont pas présents, quatre cystéinyl en moyenne étant chacun conjugué via une liaison thioéther à un linker-principe actif.

*Al menos dos de los cuatro puentes disulfuro inter-catenarios no estan presentes, una media de cuatro cisteinil está conjugada a conectores de principio activo.

N-terminal glutaminyl cyclization / Cyclisation du glutaminyle N-terminal / Ciclación del glutaminilo N-terminal

Q > pyroglutamyl (pE, 5-oxoprolyl) / pyroglutamyle (pE, 5-oxoprolyle) / piroglutamilo (pE, 5-oxoprofilo)
 H VH Q1: 1, 1"

N-glycosylation sites / Sites de N-glycosylation / Posiciones de N-glicosilación

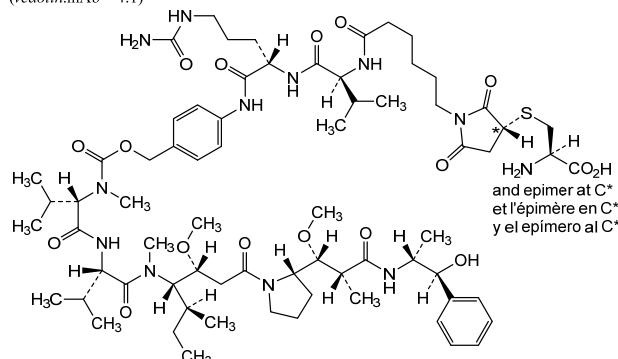
H CH2 N84.4: 298, 298"

Fucosylated complex bi-antennary CHO-type glycans / glycanes de type CHO bi-antennaires complexes fucosylés / glicanos de tipo CHO biantenarios complejos fucosilados

C-terminal lysine clipping / Coupure de la lysine C-terminale / Recorte de lisina C-terminal
 H CHS K2: 448, 448"

Potential modified residues / résidus modifiés potentiels / restos modificados potenciales*
 C (221, 227, 230, 220', 221", 227", 230", 220")

*(vedotin:mAb ~4:1)



sonruvetcelum

sonruvetcel

feline allogeneic mesenchymal stem cells (MSCs) isolated from the abdominal cavity of donor cats. The allogeneic mesenchymal stem cells are isolated from excised minced uterine tissue by enzymatic digestion, washed and then cryopreserved as a master cell bank. The MSCs are expanded in media containing heparin, fetal bovine serum (FBS), human insulin, hydrocortisone, human transferrin, fibroblast growth factor 2 (FGF-2), tumour necrosis factor alpha (TNF- α) and platelet-derived growth factor containing two B subunits (PDGF-BB). The cells are negative (<10%) for CD34, CD45, and major histocompatibility complex class II (MHC II) molecules (HLA-DR/HLA-DP/HLA-DQ) and are comprised of both stromal ($\geq 60\%$) and epithelial ($\leq 40\%$) precursor cells. The stromal progenitor cell population is CD105 (60-100%) and CD44 positive (90-100%), while the epithelial progenitor cell population is CD105 negative and a mixture of CD44 positive and negative. The cells secrete anti-inflammatory and immune modulating cytokines (prostaglandin E2 (PGE2) and demonstrate expression of indoleamine 2,3-dioxygenase 1 (IDO-1) and CXC-motif chemokine ligand-9 (CXCL-9))

sonruvetcel

cellules souches mésenchymateuses allogéniques (CSM) de félin isolées de la cavité abdominale de chats donneurs. Les cellules souches mésenchymateuses allogéniques sont isolées à partir du tissu utérin émincé par digestion enzymatique, lavées, puis cryoconservées en tant que banque maîtresse de cellules. Les CSM sont mises en expansion dans un milieu contenant de l'héparine, du sérum bovin fœtal (SBF), de l'insuline humaine, de l'hydrocortisone, de la transferrine humaine, du facteur de croissance des fibroblastes de type 2 (FGF-2), du facteur de nécrose tumorale alpha (TNF- α) et du facteur de croissance dérivé des plaquettes contenant deux sous-unités B (PDGF-BB). Les cellules sont négatives (<10%) pour CD34, CD45, et les molécules du complexe majeur d'histocompatibilité de classe II (MHC II) (HLA-DR/HLA-DP/HLA-DQ) et sont des cellules précurseurs stromales ($\geq 60\%$) et épithéliales ($\leq 40\%$). La population de cellules progénitrices stromales est CD105+ (60-100%) et CD44+ (90-100%), tandis que la population de cellules progénitrices épithéliales est CD105- et un mélange de CD44+ et CD44-. Les cellules sécrètent des cytokines anti-inflammatoires et immunomodulatrices (prostaglandine E2 (PGE2)) et démontrent l'expression de l'indoléamine-2,3-dioxogénase 1 (IDO-1) et du ligand 9 de la chimiokine à motif CXC (CXCL-9))

sonruvetcel

células madre mesenquimales (CMM) alogénicas felinas aisladas de la cavidad abdominal de gatos donantes. Las células madre mesenquimales alogénicas se aíslan de tejido uterino extirpado y picado mediante digestión enzimática, se lavan y después se criopreservan en un banco de células maestro. Las CMM se expanden en medio que contiene heparina, suero bovino fetal (FBS), insulina humana, hidrocortisona, transferrina humana, factor de crecimiento de fibroblastos 2 (FGF-2), factor de necrosis tumoral alfa (TNF- α) y factor de crecimiento derivado de plaquetas que contiene dos subunidades B (PDGF-BB).

Las células son negativas (<10%) para CD34, CD45 y moléculas del complejo principal de histocompatibilidad de clase II (MHC II) (HLA-DR/HLA-DP/HLA-DQ) y constan de células precursoras estromales ($\geq 60\%$) y epiteliales ($\leq 40\%$). La población de células progenitoras estromales es positiva para CD105 (60-100%) y CD44 (90-100%), mientras que la población de células progenitoras epiteliales es negativa para CD105 y una mezcla de positivas y negativas para CD44. Las células secretan citoquinas anti-inflamatorias e inmunomoduladoras (prostaglandina E2 (PEG2) y demuestran expresión de indoleamina 2,3-dioxigenasa 1 (IDO-1) y ligando de quimoquina con motivo CXC 9 (CXCL-9))

sovipostobartum beta #

sovipostobart beta	immunoglobulin G1-kappa, anti-[<i>Homo sapiens</i> CTLA4 (cytotoxic T-lymphocyte associated protein 4, CTLA-4, CD152)], <i>Homo sapiens</i> monoclonal antibody with a cleavable prodomain of 44 amino acids fused at the N-terminal end of the L-kappa light chains; H-gamma1 heavy chain <i>Homo sapiens</i> (1-447) [VH (<i>Homo sapiens</i> IGHV3-30*01 (94.9%) -(IGHD) -IGHJ4*01 (100%), CDR-IMGT [8.8.11] (26-33.51-58.97-107)) (1-118) - <i>Homo sapiens</i> IGHG1*01v, G1m17,1>G1m3,1 CH1 R120, CH3 D12, L14 (CH1 R120 (215) (119-216), hinge 1-15 (217-231), CH2 (232-341), CH3 D12 (357), L14 (359) (342-446), CHS K2>del (447)) (119-447)], (221-259')-disulfide with L-kappa light chain <i>Homo sapiens</i> fused at its N-terminal end to a cleavable prodomain (1'-259') [prodomain (1'-44') - <i>Homo sapiens</i> V-KAPPA (<i>Homo sapiens</i> IGKV3-20*01 (97.9%) -IGKJ1*01 (100%), CDR-IMGT [7.3.9] (71'-77'.95'-97'.134'-142')) (45'-152') - <i>Homo sapiens</i> IGKC*01 (100%) Km3 A45.1, V101 (C-KAPPA A45.1 (198'), V101 (236')) (153'-259')]; dimer (227-227":230-230")-bisdisulfide, produced in a Chinese hamster ovary (CHO) cell line lacking the enzyme alpha-(1,6)-fucosyltransferase (FUT8), glycoform beta
sovipostobart bêta	immunoglobuline G1-kappa, anti-[<i>Homo sapiens</i> CTLA4 (protéine 4 associée aux lymphocytes T cytotoxiques, CTLA-4, CD152)], anticorps monoclonal <i>Homo sapiens</i> avec un prodomaine clivable de 44 acides aminés fusionné à l'extrémité N-terminale des chaînes légères L-kappa; chaîne lourde H-gamma1 <i>Homo sapiens</i> (1-447) [VH (<i>Homo sapiens</i> IGHV3-30*01 (94.9%) -(IGHD) -IGHJ4*01 (100%), CDR-IMGT [8.8.11] (26-33.51-58.97-107)) (1-118) - <i>Homo sapiens</i> IGHG1*01v, G1m17,1>G1m3,1 CH1 R120, CH3 D12, L14 (CH1 R120 (215) (119-216), charnière 1-15 (217-231), CH2 (232-341), CH3 D12 (357), L14 (359) (342-446), CHS K2>del (447)) (119-447)], (221-259')-disulfure avec la chaîne légère L-kappa <i>Homo sapiens</i> fusionnée à son extrémité N-terminale à un prodomaine clivable (1'-259') [prodomaine (1'-44') - <i>Homo sapiens</i> V-KAPPA (<i>Homo sapiens</i> IGKV3-20*01 (97.9%) -IGKJ1*01 (100%), CDR-IMGT [7.3.9] (71'-77'.95'-97'.134'-142')) (45'-152') - <i>Homo sapiens</i> IGKC*01 (100%) Km3 A45.1, V101 (C-KAPPA A45.1 (198'), V101 (236')) (153'-259')]; dimère (227-227":230-230")-bisdisulfure, produit dans une lignée cellulaire des cellules ovaries de hamster chinois (CHO) ne présentant pas l'enzyme alpha-(1,6)-fucosyltransférase (FUT8), glycoforme bêta
sovipostobart beta	inmunoglobulina G1-kappa, anti-[<i>Homo sapiens</i> CTLA4 (proteína 4 asociada con los linfocitos T citotóxicos, CTLA-4, CD152)], anticuerpo monoclonal <i>Homo sapiens</i> con un prodominio escindible de 44 ácidos aminos fusionado a la extremidad N-terminal de las cadenas ligeras L-kappa; cadena pesada H-gamma1 <i>Homo sapiens</i> (1-447) [VH (<i>Homo sapiens</i> IGHV3-30*01 (94.9%) -(IGHD) -IGHJ4*01 (100%), CDR-IMGT [8.8.11] (26-33.51-58.97-107)) (1-118) - <i>Homo sapiens</i> IGHG1*01v, G1m17,1>G1m3,1 CH1 R120, CH3 D12, L14 (CH1 R120 (215) (119-216), bisagra 1-15 (217-231), CH2 (232-341), CH3 D12 (357), L14 (359) (342-446), CHS K2>del (447)) (119-447)], (221-259')-disulfuro con la cadena ligera L-kappa <i>Homo sapiens</i> fusionada a su extremidad N-terminal con un prodominio escindible (1'-259') [prodominio (1'-44') - <i>Homo sapiens</i> V-KAPPA (<i>Homo sapiens</i> IGKV3-20*01 (97.9%) -IGKJ1*01 (100%), CDR-IMGT [7.3.9] (71'-77'.95'-97'.134'-142')) (45'-152') - <i>Homo sapiens</i> IGKC*01 (100%) Km3 A45.1, V101 (C-KAPPA A45.1 (198'), V101 (236')) (153'-259')]; dímero (227-227":230-230")-bisdisulfuro, producido en una línea celular de las células ováricas de hámster chino (CHO) en ausencia de la enzima alfa-1,6-fucosiltransferasa (FUT8), forma glicosilada beta

Heavy chain / Chaîne lourde / Cadena pesada
 QVQLVESGGG VVQPGRSRLR SCAASGFTFS SYTMHWVRQA PGKGLEWVTF 50
 ISYDGNKKYQ ADSVKGRFTI SRDNSKNTLY LQMNSLRAED TAIYVCARTG 100
 WLGFDFYWGQ GTLTVTSSAS TKGPVSFPLA PSSKSTSGGT AALGCLVKDY 150
 FPEPVTVSWSN SGALTSGVHT FPAVLQSSGL YSLSSVVTVP SSSLGTTQYI 200
 CNVNHKPSNT KVDKRVEPKS CDKTHTCPPC PAPELLGGPS VFLFPKPKD 250
 TLMISRTPEV TCVVVVDVSHE DPEVKFNVYV DGVEVHNNAKT KPREEQYNST 300
 YRVVSVLTIVL HQDWLNGKEY KCKVSNKALKA APIEKTTISKA KGQPREPQVY 350
 TLPPSRDELTK NQVSLTLCV KGFYPSDIAY EWESENQOPEN NYKTTTPVLD 400
 SDGSFFFLYSK LTVDKSRWQQ GNFSFCVMH EALHNHYTQK SLSLSPG 447

Light chain / Chaîne légère / Cadena ligera
 QGQSGSCTQ LGYNLICPYG GGSSSGSISS GLLSGRSNDNP GGGSEIVLTQ 50
 SPGLTLSLSPQ ERATLSCRAS QSVGSSYLAW YQQKPCQAPR LLIYGAESRA 100
 TGIPDRFSGS GSGTDFTLTI SRLEPEDFAV YYCQQVGSSP WIFGGOTKVE 150
 IKRTVAAPSV FIFPPSDEQL KSGTASVCL LNNFYPREAK VQWKVDNALQ 200
 SGNSQESVTE QDSKDTSTYL SSTTLTSKAD YEHKHVYACE VTHQGLSSPV 250
 TKSFNRCGE C 259

Post-translational modifications

Disulfide bridges location / Position des ponts disulfure / Posiciones de los puentes disulfuro
 Intra-H (C23-C104) 22-96 145-201 262-322 368-426
 22"-96" 145"-201" 262"-322" 368"-426"
 Intra-prodomain 7"-17" 7"-17"
 Intra-L (C23-C104) 67"-133" 179"-239"
 67"-133" 179"-239"
 Inter-H-L (h 5-CL 126) 221-259" 221"-259"
 Inter-H-H (h 11, h 14) 227-227" 230-230"

N-terminal glutaminyl cyclization / Cyclisation du glutaminyle N-terminal / Ciclación del glutamínico N-terminal
 Q > pyroglutamyl (pE, 5-oxoprolyl) / pyroglutamyle (pE, 5-oxoprolyle) / piroglutamilo (pE, 5-oxoprofilo)
 H VH Q1: 1, 1"
 L prodomain Q1: 1', 1"

N-glycosylation sites / Sites de N-glycosylation / Posiciones de N-glicosilación
 H CH2 N84.4: 298, 298"
 Afucosylated complex bi-antennary CHO-type glycans / glycanes de type CHO bi-antennaires complexes afucosylés / glicanos de tipo CHO biantenarios complejos afucosilados

soxataltinibum

soxataltinib

6-(3-hydroxy-3-methylazetidin-1-yl)-4-(6-{[6-methoxypyridin-3-yl]methyl}-3,6-diazabicyclo[3.1.1]heptan-3-yl)pyridin-3-yl)pyrazolo[1,5-a]pyridine-3-carbonitrile

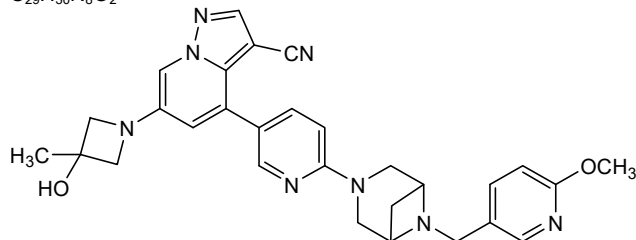
soxataltinib

6-(3-hydroxy-3-méthylazétidin-1-yl)-4-(6-{(6-méthoxypyridin-3-yl)méthyl}-3,6-diazabicyclo[3.1.1]heptan-3-yl)pyridin-3-yl)pyrazolo[1,5-a]pyridine-3-carbonitrile

soxataltinib

6-(3-hidroxi-3-metilazetidin-1-il)-4-(6-{(6-metoxipiridin-3-il)metil}-3,6-diazabicielo[3.1.1]heptan-3-il)piridino[1,5-a]piridina-3-carbonitrido

C₂₉H₃₀N₆O₂



spevatamigum

spevatamig

immunoglobulin (H-gamma1_L-kappa)_(H-gamma1_L-kappa), anti-[*Homo sapiens* CD47 (CD47 molecule, integrin associated protein, IAP, MER6, OA3) and anti-[*Homo sapiens* CLDN18 (claudin 18, claudin-18, SFTPJ, surfactant associated protein J isoform 2], bispecific;

H-gamma1 heavy chain anti-CD47 (1-444), G1v92-1 VH E44, CH1 E77 [VH E44 (*Homo sapiens* IGHV1-46*01 (87.6%) Q44>E (39') -(IGHD) -IGHJ4*01 (100%), CDR-IMGT [8.8.7] (26-33.51-58.97-103)) (1-114) -*Homo sapiens* IGHG1*01, G1m17,1 CH1 K120, CH3 D12, L14, CH1 E77, G1v93 CH1 C12, G1v37 h S5, G1v74 CH3 C10, G1v32 CH3 W22 (knob) (CH1 K12>C (130), G77>E (163), K120 (211) (115-212), hinge 1-15 C5>S (217) (213-227), CH2 (228-337), CH3 S10>C (351), D12 (353), L14 (355), T22>W (363) (338-442), CHS (443-444)) (115-444)], (130-209')-disulfide with L-kappa light chain anti-CD47 (1'-214') Kv92-1 V-KAPPA K44, C-KAPPA K3 [V-KAPPA K44 (*Homo sapiens* IGKV3-20*01 (83.3%) Q44>K (38') -IGKJ1*01 (91.7%), CDR-IMGT [6.3.9] (27'-32'.50'-52'.89'-97')) (1'-107') -*Homo sapiens* IGKC*01 (98.1%) Km3 A45.1, V101, K3, KCv37 C121, S126 (C-KAPPA S3>K (114'), A45.1 (153'), V101 (191'), F121>C (209'), C126>S (214')) (108'-214')];
 H-gamma1 heavy chain anti-CLDN18 (1-449), G1v92-2 VH K44, CH1 K77 [VH K44 (*Homo sapiens* IGHV3-48*01 (87.8%) Q44>K (39') -(IGHD) -IGHJ4*01 (92.9%), CDR-IMGT [8.8.12] (26"-33".51"-58".97"-108")) (1"-119") -*Homo sapiens* IGHG1*01, G1m17,1 CH1 K120, CH3 D12, L14, CH1 K77, G1v75 CH3 C5, G1v33 CH3 S22, A24, V86 (hole) (CH1 G77>K (168"), K120 (216") (120"-217"), hinge 1-15 (218"-232"), CH2 (233"-342"), CH3 Y5>C (351"), D12 (358"), L14 (360"), T22>S (368"), L24>A (370"), Y86>V (409") (343"-447"), CHS (448"-449")) (120"-449')], (222"-220")-disulfide with L-kappa light chain anti-CLDN18 (1"-220") Kv92-2 V-KAPPA E44, C-KAPPA E3 [V-KAPPA E44 (*Mus musculus*/Homsap (*Mus musculus* IGKV8-19*01 (79.2%) Q44>E (44") -IGKJ2*03 (81.8%) S120>Q (106")), L124>V (110")/*Homo sapiens* IGKV1-39*01 (78.2%) Q44>E (44") -IGKJ1*01 (100%), CDR-IMGT [12.3.9] (27"-38".56"-58".95"-103")) (1"-113") -*Homo sapiens* IGKC*01 (99.1%) Km3 A45.1, V101, E3 (C-KAPPA S3>E (120"), A45.1 (159"), V101 (197")) (114"-220")]; dimer (223-228":226-231":351-351")-trisdisulfide, produced in Chinese hamster ovary (CHO) cells, glycoform alfa

spévatamig

immunoglobuline (H-gamma1_L-kappa)_ (H-gamma1_L-kappa), anti-[*Homo sapiens* CD47 (CD47 molécule, protéine associée à l'intégrine, IAP, MER6, OA3)] et anti-[*Homo sapiens* CLDN18 (claudine 18, claudine-18, SFTPJ, protéine J associée au surfactant) isoforme 2], bispécifique; chaîne lourde H-gamma1 anti-CD47 (1-444) G1v92-1 VH E44, CH1 E77 [VH E44 (*Homo sapiens* IGHV1-46*01 (87.6%) Q44>E (39') -(IGHD) -IGHJ4*01 (100%), CDR-IMGT [8.8.7] (26-33.51-58.97-103)) (1-114) -*Homo sapiens* IGHG1*01, G1m17,1 CH1 K120, CH3 D12, L14, CH1 E77, G1v93 CH1 C12, G1v37 h S5, G1v74 CH3 C10, G1v32 CH3 W22 (knob) (CH1 K12>C (130), G77>E (163), K120 (211) (115-212), charnière 1-15 C5>S (217) (213-227), CH2 (228-337), CH3 S10>C (351), D12 (353), L14 (355), T22>W (363) (338-442), CHS (443-444)) (115-444)], (130-209')-disulfure avec la chaîne légère L-kappa anti-CD47 (1'-214') Kv92-1 V-KAPPA K44, C-KAPPA K3 [V-KAPPA K44 (*Homo sapiens* IGKV3-20*01 (83.3%) Q44>K (38') -IGKJ1*01 (91.7%), CDR-IMGT [6.3.9] (27'-32'.50'-52'.89'-97')) (1'-107') -*Homo sapiens* IGKC*01 (98.1%) Km3 A45.1, V101, K3, KCv37 C121, S126 (C-KAPPA S3>K (114'), A45.1 (153'), V101 (191'), F121>C (209'), C126>S (214')) (108'-214')];
 chaîne lourde H-gamma1 anti-CLDN18 (1-449) G1v92-2 VH K44, CH1 K77 [VH K44 (*Homo sapiens* IGHV3-48*01 (87.8%) Q44>K (39") -(IGHD) -IGHJ4*01 (92.9%), CDR-IMGT [8.8.12] (26"-33".51"-58".97"-108")) (1"-119") -*Homo sapiens* IGHG1*01, G1m17,1 CH1 K120, CH3 D12, L14, CH1 K77, G1v75 CH3 C5, G1v33 CH3 S22, A24, V86 (hole) (CH1 G77>K (168"), K120 (216") (120"-217"), charnière 1-15 (218"-232"), CH2 (233"-342"), CH3 Y5>C (351"), D12 (358"), L14 (360"), T22>S (368"), L24>A (370"), Y86>V (409") (343"-447"), CHS (448"-449")) (120"-449')], (222"-220")-disulfure

avec la chaîne légère L-kappa anti-CLDN18 (1"-220") Kv92-2 V-KAPPA E44, C-KAPPA E3 [V-KAPPA E44 (Musmus/Homsap (*Mus musculus*) IGKV8-19*01 (79.2%) Q44>E (44") -IGKJ2*03 (81.8%) S120>Q (106"), L124>V (110")/*Homo sapiens* IGKV1-39*01 (78.2%) Q44>E (44") -IGKJ1*01 (100%), CDR -IMGT [12.3.9] (27"-38".56"-58"".95"-103")) (1"-113") -*Homo sapiens* IGKC*01 (99.1%) Km3 A45.1, V101, E3 (C-KAPPA S3>E (120"), A45.1 (159"), V101 (197")) (114"-220"]); dimère (223-228":226-231":351-351")-trisdisulfure, produit dans des cellules ovariennes de hamster chinois (CHO), glycoforme alfa

espevatumig

inmunoglobulina (H-gamma1_L-kappa)_(H-gamma1_L-kappa), anti-[*Homo sapiens* CD47 (CD47 molécula, proteína asociada a la integrina, IAP, MER6, OA3)] y anti-[*Homo sapiens* CLDN18 (claudina 18, claudina-18, SFTPJ, proteína J asociada al surfactante) isoforma 2], anticuerpo monoclonal humanizado y quimérico, biespecífico; cadena pesada H-gamma1 anti-CD47 (1-444) G1v92-1 VH E44, CH1 E77 [VH E44 (*Homo sapiens*IGHV1-46*01 (87.6%) Q44>E (39") -(IGHD) -IGHJ4*01 (100%), CDR-IMGT [8.8.7] (26-33.51-58.97-103)) (1-114) -*Homo sapiens*IGHG1*01, G1m17.1 CH1 K120, CH3 D12, L14, CH1 E77, G1v93 CH1 C12, G1v37 h S5, G1v74 CH3 C10, G1v32 CH3 W22 (knob) (CH1 K12>C (130), G77>E (163), K120 (211) (115-212), bisagra 1-15 C5>S (217) (213-227), CH2 (228-337), CH3 S10>C (351), D12 (353), L14 (355), T22>W (363) (338-442), CHS (443-444)) (115-444)], (130-209")-disulfuro con la cadena ligera L-kappa anti-CD47 (1'-214') Kv92-1 V-KAPPA K44, C-KAPPA K3 [V-KAPPA K44 (*Homo sapiens* IGKV3-20*01 (83.3%) Q44>K (38") -IGKJ1*01 (91.7%), CDR-IMGT [6.3.9] (27"-32".50"-52".89"-97")) (1'-107") -*Homo sapiens* IGKC*01 (98.1%) Km3 A45.1, V101, K3, KCv37 C121, S126 (C-KAPPA S3>K (114'), A45.1 (153'), V101 (191'), F121>C (209'), C126>S (214')) (108'-214']); cadena pesada H-gamma1 anti-CLDN18 (1-449) G1v92-2 VH K44, CH1 K77 [VH K44 (*Homo sapiens*IGHV3-48*01 (87.8%) Q44>K (39") -(IGHD) -IGHJ4*01 (92.9%), CDR-IMGT [8.8.12] (26"-33".51"-58".97"-108")) (1"-119") -*Homo sapiens*IGHG1*01, G1m17.1 CH1 K120, CH3 D12, L14, CH1 K77, G1v75 CH3 C5, G1v33 CH3 S22, A24, V86 (hole) (CH1 G77>K (168"), K120 (216") (120"-217"), bisagra 1-15 (218"-232"), CH2 (233"-342"), CH3 Y5>C (351"), D12 (358"), L14 (360"), T22>S (368"), L24>A (370"), Y86>V (409") (343"-447"), CHS (448"-449")) (120"-449")], (222"-220")-disulfuro con la cadena ligera L-kappa anti-CLDN18 (1"-220") Kv92-2 V-KAPPA E44, C-KAPPA E3 [V-KAPPA E44 (Musmus/Homsap (*Mus musculus*) IGKV8-19*01 (79.2%) Q44>E (44") -IGKJ2*03 (81.8%) S120>Q (106"), L124>V (110")/*Homo sapiens* IGKV1-39*01 (78.2%) Q44>E (44") -IGKJ1*01 (100%), CDR -IMGT [12.3.9] (27"-38".56"-58"".95"-103")) (1"-113") -*Homo sapiens* IGKC*01 (99.1%) Km3 A45.1, V101, E3 (C-KAPPA S3>E (120"), A45.1 (159"), V101 (197")) (114"-220"]); dímero (223-228":226-231":351-351")-trisdisulfuro, producido en las células ováricas de hámster chino (CHO), forma glicosilada alfa

Heavy chain / Chaîne lourde / Cadena pesada : H-gamma1 anti-CD47 (knob) (H)
QVQLVQSGAE VKPGASVKV SCKASGYTFT SYWMHWVREA PGQGLEWIGN 50
IDPSDSETHY AQQKFGQRVTL TVDKSTSTVY MELSSLRSED TAVYYCAGTD 100
LAYWGQGTIV TVSSASTKGP SVFGLAPSSC STSGGTAALIG CLVKDYFPEP 150
TVTVSNNSGAL TSEVHTFPAV LQSSGLYLS SVTVTPSSL GTQTYICNVN 200
HKPSNTKVDK KVEPKSSDKT HTCPCPAPE LLGGPSVFLF PPKPKDLM 250
SRTPEVTCVV VDVSHEDPEV KFNWYVDGVE VHNAKTKPQE QYINSTYRVV 300
SVLTVLHQDW LNGKEYKCKV SNKALPAPIE KTISKAKGQP REPVQVTLPP 350
CRDELTKNQV SLWCLLVKGFY PSDIAWEWS NGOPENNYKT TFPVLDSGDS 400
FFFLYSKLTVD KSRWQQGNVF SCSVMHEALH NYHTQKSLSL SPGK 444

Light chain / Chaîne légère / Cadena ligera : L-kappa anti-CD47 (L)
EIVLQTSPGT LSLSLTGERAT LSCHASNQIN VVLSWYQKKP GOAPRLLIYK 50
ASNLTHTGIPD RFSGGSGCTD FTLLTISLEP EDFAVYYCQQ GOSYFTFGQ 100
GTKVIEKRTV AAPKVIFPP SDEQLKSGTA SVVCLNNNFY PREAKVQWKV 150
DNALQSGNSQ ESVTEQDSKD STYSLSSTLT LSKADYEKHK YVACEVTHQG 200
LSSPVTKSCN RGES 214

Heavy chain / Chaîne lourde / Cadena pesada : H-gamma1 anti-CLDN18 (hole) (H")
EVQLVESGGG LVQPGGSLRL SCAASGFIFS SFGMHWRKA PGKGLEWVAY 50
ISSGRSTMYY ADSVKGREFTI SRDNSNKNTLY LQMNSLTAED TAVYYCARGG 100
FYGNSLDYWG QGTLTVVSSA STKGPSVFPL APFSKSTSGG TAALGCLVKD 150
YFPEPVTWSW NSGALTSKVH TFPAVLQSSG LYSLSSVTVT PSSSLGTQTY 200
ICVNWHKPSN TKVDKVKEPK SCDKTHTCPP CPAPELLGGP SVFLPPKPK 250
DITLMISRTE VTCVVVDVSH EDPEVKFNWY VDGVEVHNK TKPREEQINS 300
TYRVSVSVLTV LHQDWLNKE YKCKVSNKAL PAPIEKTIK AKGQPREQPV 350
CTLPPSRDEL TKNQVSLSCA VKGFYPSDIA VEWESENQPE NNYKTPPPV 400
DSDGSFFLVS KLTVDKSRWQ QGNVFSCSVM HEALHNHYTQ KSLSLSPGK 449

Light chain / Chaîne légère / Cadena ligera : L-kappa anti-CLDN18 (L")
DIQMTQSPSS LSASVGDRTV ITCKSSLSSLL NSGNQNLYT WYQEKGPKAP 50
KLLIYWASTR ESGVPSRSFG SGSGTDFLT ISSLQPEDFA TYSQNAYSY 100
PLTFQGQTKV EIKRTVAAPE VFIFPPSDEQ LKSGTASVVC LLNNFYPREAA 150
KVQWKVDNAL QSGNSQESVT EQDSKDDSTYS LSSTLTSKA DYEKHKVYAC 200
EVTHQGLSSP VTKSFNRGEC 220

Post-translational modifications

Disulfide bridges location / Position des ponts disulfure / Posiciones de los puentes disulfuro
 Intra-H (C23-C104) 22-96 141-197 258-318 364-422

22"-96" 146"-202" 263"-323" 369"-427"

Intra-L (C23-C104) 23-88" 134"-194"

23"-94" 140"-200"

Inter-H-L (h 5-CL 126), no H-L 222"-220"

Inter-H-L (CH1 C12-CL 121)* 130-209"

Inter-H-H (h 11, h 14) 223-228" 226-231"

Inter-H-H (CH3 C10-C5)** 351-351"

*variants G1v93 (H CH1 C12) and KCv37 (L' C-KAPPA C121, S126) creating a novel inter-H-L disulfide bond to promote H-L' heteropairing.

**variants G1v74 (H CH3 C10) and G1v75 (H" CH3 C5) creating an additional inter-H-H disulfide bond.

N-terminal glutaminyl cyclization / Cyclisation du glutaminyle N-terminal / Ciclación del glutamínico N-terminal
 Q > pyroglutamyl (pE, 5-oxoprolyl) / pyroglutamyle (pE, 5-oxoprolyle) / piroglutamilo (pE, 5-oxoprolilo)
 H VH Q1: 1

N-glycosylation sites / Sites de N-glycosylation / Posiciones de N-glicosilación

H CH2 N84.4: 294, 299"

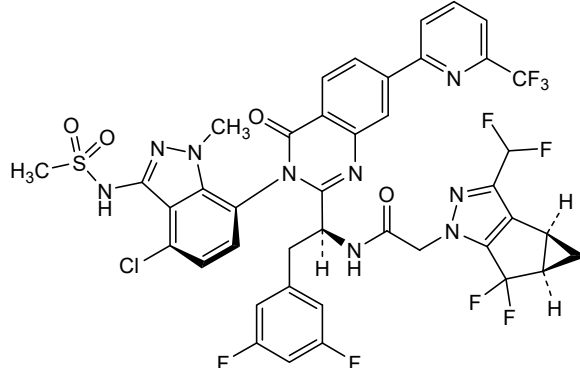
Fucosylated complex bi-antennary CHO-type glycans / glycanes de type CHO bi-antennaires complexes fucosylés / glicanos de tipo CHO biantenarios complejos fucosilados.

C-terminal lysine clipping / Coupure de la lysine C-terminale / Recorte de lisina C-terminal
 H CHS K2:
 444, 449"

suricapavirum suricapavir

N-[(1*S*)-1-((3*P*)-3-[4-chloro-3-(methanesulfonamido)-1-methyl-1*H*-indazol-7-yl]-4-oxo-7-[6-(trifluoromethyl)pyridin-2-yl]-3,4-dihydroquinazolin-2-yl]-2-(3,5-difluorophenyl)ethyl]-2-[(3*b*S,4*a*R)-3-(difluoromethyl)-5,5-difluoro-3*b*,4,4*a*,5-tetrahydro-1*H*-cyclopropa[3,4]cycloperenta[1,2-c]pyrazol-1-yl]acetamide

suricapavir	<i>N</i> -(1 <i>S</i>)-1-((3 <i>P</i>)-3-[4-chloro-3-(méthanesulfonamido)-1-méthyl-1 <i>H</i> -indazol-7-yl]-4-oxo-7-[6-(trifluorométhyl)pyridin-2-yl]-3,4-dihydroquinazolin-2-yl)-2-(3,5-difluorophényl)éthyl]-2-[(3 <i>bS,4aR</i>)-3-(difluorométhyl)-5,5-difluoro-3 <i>b</i> ,4,4 <i>a</i> ,5-tétrahydro-1 <i>H</i> -cyclopropa[3,4]cyclopenta[1,2- <i>c</i>]pirazol-1-yl]acétamide
suricapavir	<i>N</i> -(1 <i>S</i>)-1-((3 <i>P</i>)-3-[4-cloro-3-(metanosulfonamido)-1-metil-1 <i>H</i> -indazol-7-yl]-4-oxo-7-[6-(trifluorometil)piridin-2-il]-3,4-dihdroquinazolin-2-il)-2-(3,5-difluorofenil)etil]-2-[(3 <i>bS,4aR</i>)-3-(difluorometil)-5,5-difluoro-3 <i>b</i> ,4,4 <i>a</i> ,5-tétrahdro-1 <i>H</i> -ciclopropa[3,4]ciclopenta[1,2- <i>c</i>]pirazol-1-il]acetamida



surovatamig #

surovatamig

immunoglobulin (H-gamma4_L-kappa)_VH-G4(h-CH2-CH3), anti-[*Homo sapiens* CD3D (CD3 delta) and CD3E (CD3 epsilon, Leu-4) dimer] and anti-[*Homo sapiens* CD19 (B lymphocyte surface antigen B4, Leu-12)], *Homo sapiens* and humanized monoclonal antibody, asymmetric, bispecific, bivalent; H-gamma4 heavy chain anti-CD3D/CD3E dimer, *Homo sapiens* (1-450) [VH (*Homo sapiens* IGHV3-9*01 (100%) -(IGHD) -IGHJ4*01 (100%), CDR-IMGT [8.8.16] (26-33.51-58.97-112)) (1-123)-*Homo sapiens* IGHG4*01 nG4m(a) CH2 L92, G4v5 h P10, G4v4 CH2 A1.3, A1.2, G4v32 CH3 W22 (knob) (CH1 (124-221), hinge 1-12 S10>P (231) (222-233), CH2 F1.3>A (237), L1.2>A (238), L92 (312) (234-343), CH3 T22>W (369) (344-448), CHS (449-450)) (124-450)], (137-214')-disulfide with L-kappa light chain anti-CD3D-CD3E *Homo sapiens* (1'-214') [V-KAPPA (*Homo sapiens* IGKV3-15*01 (100%) -IGKJ1*01 (100%), CDR-IMGT [6.3.9] (27'-32'.50'-52'.89'-97')) (1'-107') -*Homo sapiens* IGKC*01 (100%) Km3 A45.1, V101 (C-KAPPA A45.1 (153'), V101 (191')) (108'-214')]; VH-G4(h-CH2-CH3) heavy chain anti-CD19, humanized and *Homo sapiens* (1"-345") [humanized VH (*Homo sapiens* IGHV3-7*01 (91.8%) -(IGHD) -IGHJ4*01 (92.9%) W118>R (106"), CDR-IMGT [8.8.9] (26"-33".51"-58".97"-105")) (1"-116")-*Homo sapiens* IGHG4*01 h-CH2-CH3, G4v5 h P10,nG4m(a) CH2 L92, G4v4 CH2 A1.3, A1.2, G1v33 CH3 S22, A24, V86 (hole) (hinge 1-12 S10>P (126") (117"-128"), CH2 F1.3>A (132"), L1.2>A (133"), L92 (207") (129"-238"), CH3 T22>S (264"), L24>A (266"), Y86>V (305") (239"-343"), CHS (344"-345")) (117"-345")]; dimer (229-124":232-127")-bisdisulfide, produced in a cell line from Chinese hamster ovary (CHO) cells, derived from the cell line CHO-K1, glycoform alfa

surovatamig	immunoglobuline (H-gamma4_L-kappa)_VH-G4(h-CH2-CH3), anti-[<i>Homo sapiens</i> CD3D (CD3 delta) et CD3E (CD3 epsilon, Leu-4) dimère] et anti-[<i>Homo sapiens</i> CD19 (antigène de surface B4 des lymphocytes B, Leu-12)], anticorps monoclonal <i>Homo sapiens</i> et humanisé, asymétrique, bispécifique, bivalent; chaîne lourde H-gamma4 anti-CD3D/CD3E dimer, <i>Homo sapiens</i> (1-450) [VH (<i>Homo sapiens</i> IGHV3-9*01 (100%) -(IGHD) -IGHJ4*01 (100%), CDR-IMGT [8.8.16] (26-33.51-58.97-112)) (1-123)- <i>Homo sapiens</i> IGHG4*01 nG4m(a) CH2 L92, G4v5 h P10, G4v4 CH2 A1.3, A1.2, G4v32 CH3 W22 (knob) (CH1 (124-221), charnière 1-12 S10>P (231) (222-233), CH2 F1.3>A (237), L1.2>A (238), L92 (312) (234-343), CH3 T22>W (369) (344-448), CHS (449-450)) (124-450)], (137-214')-disulfure avec la chaîne légère L-kappa anti-CD3D-CD3E <i>Homo sapiens</i> (1'-214') [V-KAPPA (<i>Homo sapiens</i> IGKV3-15*01 (100%) -IGKJ1*01 (100%), CDR-IMGT [6.3.9] (27'-32'.50'-52'.89'-97')) (1'-107') - <i>Homo sapiens</i> IGKC*01 (100%) Km3 A45.1, V101 (C-KAPPA A45.1 (153'), V101 (191')) (108'-214')]; chaîne lourde VH-G4(h-CH2-CH3) anti-CD19, humanisée et <i>Homo sapiens</i> (1"-345") [VH humanisé (<i>Homo sapiens</i> IGHV3-7*01 (91.8%) -(IGHD) -IGHJ4*01 (92.9%) W118>R (106"), CDR-IMGT [8.8.9] (26"-33".51"-58".97"-105")) (1"-116")- <i>Homo sapiens</i> IGHG4*01 h-CH2-CH3, nG4m(a) CH2 L92, G4v5 h P10, G4v4 CH2 A1.3, A1.2, G1v33 CH3 S22, A24, V86 (hole) (charnière 1-12 S10>P (126") (117"-128"), CH2 F1.3>A (132"), L1.2>A (133"), L92 (207") (129"-238"), CH3 T22>S (264"), L24>A (266"), Y86>V (305") (239"-343"), CHS (344"-345") (117"-345")]; dimère (229-124":232-127")-bisdisulfure, produit dans une lignée cellulaire des cellules ovaries de hamster chinois (CHO), dérivant de la lignée cellulaire CHO-K1, glycoforme alfa
surovatamig	inmunoglobulina (H-gamma4_L-kappa)_VH-G4(h-CH2-CH3), anti-[<i>Homo sapiens</i> CD3D (CD3 delta) y CD3E (CD3 épsilon, Leu-4) dímero] y anti-[<i>Homo sapiens</i> CD19 (antígeno de superficie B4 de los linfocitos B, Leu-12)], anticuerpo monoclonal <i>Homo sapiens</i> y humanizado, asimétrico, biespecífico, bivalente; cadena pesada H-gamma4 anti-CD3D/CD3E dímero, <i>Homo sapiens</i> (1-450) [VH (<i>Homo sapiens</i> IGHV3-9*01 (100%) -(IGHD) -IGHJ4*01 (100%), CDR-IMGT [8.8.16] (26-33.51-58.97-112)) (1-123)- <i>Homo sapiens</i> IGHG4*01 nG4m(a) CH2 L92, G4v5 h P10, G4v4 CH2 A1.3, A1.2, G4v32 CH3 W22 (knob) (CH1 (124-221), bisagra 1-12 S10>P (231) (222-233), CH2 F1.3>A (237), L1.2>A (238), L92 (312) (234-343), CH3 T22>W (369) (344-448), CHS (449-450)) (124-450)], (137-214')-disulfuro con la cadena ligera L-kappa anti-CD3D-CD3E <i>Homo sapiens</i> (1'-214') [V-KAPPA (<i>Homo sapiens</i> IGKV3-15*01 (100%) -IGKJ1*01 (100%), CDR-IMGT [6.3.9] (27'-32'.50'-52'.89'-97')) (1'-107') - <i>Homo sapiens</i> IGKC*01 (100%) Km3 A45.1, V101 (C-KAPPA A45.1 (153'), V101 (191')) (108'-214')]; cadena pesada VH-G4(h-CH2-CH3) anti-CD19, humanizada y <i>Homo sapiens</i> (1"-345") [VH humanizado (<i>Homo sapiens</i> IGHV3-7*01 (91.8%) -(IGHD) -IGHJ4*01 (92.9%) W118>R (106"), CDR-IMGT [8.8.9] (26"-33".51"-58".97"-105")) (1"-116")- <i>Homo sapiens</i> IGHG4*01 h-CH2-CH3, nG4m(a) CH2 L92, G4v5 h P10, G4v4 CH2 A1.3, A1.2, G1v33 CH3 S22, A24, V86 (hole) (bisagra 1-12 S10>P (126") (117"-128"), CH2 F1.3>A (132"), L1.2>A (133"), L92 (207") (129"-238"), CH3 T22>S (264"), L24>A (266"), Y86>V (305") (239"-343"), CHS (344"-345") (117"-345")];dímero (229-124":232-127")-bisdisulfuro, producido en una línea celular de las células ováricas de hámster chino (CHO), línea celular derivada de CHO-K1, forma glicosilada alfa

Heavy chain / Chaîne lourde / Cadena pesada : H-gamma4 anti-CD3D/CD3E (knob) (H)

EVQLVESGG LVQPGSRL SCAASGFTFD DYAMHWVRQA PGKGLEWVSG 50
 ISWNNSGSIGY ADSVKGRFTI SRDNAAKNSLY LQMNLSRAED TALYYCAKDS 100
 RGYGDYRIGG AYWGGQTIVT VSSASTRGPS VFPLAPCSRS TSESTAALGC 150
 LVKDVFPEPV TVSWNSGALT SGVHTFPAVL QSSGLYSLSS VVTVPSSSLG 200
 TKTYTCNVDH KPSNTKVKDR VESKYGPPCP PCPAPEAAGG PSVFLFPKPK 250
 KDTLMISRTP EVTCVVVDVS QEDPEVQFNW YVDGVEVHNA KTKPREEQFN 300
 STYRVSVLTV VLHQDWLNGK EYKCKVSNKG LPSSIEKTIS KAKGQPREFQ 350
 VYTLPPSQQE MTKNQVSLWC LVKGFYPSDI AWEWSNQGP ENNYKTTFPV 400
 LDSDGSFFFL SRLTVDKSRW QEGNVFPCSV MHEALHNHYT QKSLSSLGK 450

Light chain / Chaîne légère / Cadena ligera : L-kappa anti-CD3D/CD3E (L')

EIVMTQSAT LSVSPGERAT LSCRAQSOSV SNLAWYQOKP GQAPRLLIYG 50
 ASTRATGIPA RFSGSGSGTE FTFTLISSLQS EDFAVYYCQQ YNNWPWTFGQ 100
 GTKVEIKRTV SDEQLKSGTA SVVCLLNNFY PREAKVQWKV 150
 DNALQSGNSQ ESVTEQDSKD STYSLSSLTLS LSKADYEKHK VYACEVTQHG 200
 LSSPVTKSFN RGEC 214

Heavy chain / Chaîne lourde / Cadena pesada : H-gamma4 anti-CD19 (hole) (H")

EVQLVESGG LVQPGSRL SCAASGFSRS DFVMSWVRQA PGKGLEWVAT 50
 ISQAGSEKDY VDSVKGRFTI SRDNAAKNSLY LQMNLSRAED TAVYYCASGV 100
 YSFDFYRGQGT LVTVSSESKY GPPCPCCPAP EAAGGPSVFL FPPPKDTL 150
 ISRPTPEVITV VVDVSVQEDPFV VQFNWVZDG EVHNAKTKPR EEQFNSTYRV 200
 VSVLTVLHQD WLNGKEYKCK VSNKGLPSSI EKTISKAKGQ PREPOVYTL 250
 PSQEEMTKNQ VSLSCAVKGF YPSDIAVEWE SNGQPENNYK TPPVLDSDG 300
 SFFLFLVSRLLT DKSRWQEGNV FSCSVMHEAL HNHYTQKSLS LSLGK 345

Post-translational modifications

Disulfide bridges location / Position des ponts disulfure / Posiciones de los puentes disulfuro

Intra-H (C23-C104) 22"-96" 150-206 264-324 370-428
 22"-96" no CH1 159"-219" 265"-323"
 Intra-L (C23-C104) 23"-88" 134"-194"
 Inter-H-L (CH1 10-CL 126) 137-214"
 Inter-H-H (h 8, h 11) 229-124" 232-127"

N-glycosylation sites / Sites de N-glycosylation / Posiciones de N-glicosilación

H CH2 N84.4: 300, 195"

Fucosylated complex bi-antennary CHO-type glycans / glycanes de type CHO bi-antennaires complexes fucosylés / glicanos de tipo CHO biantenarios complejos fucosilados.

C-terminal lysine clipping / Coupure de la lysine C-terminale / Recorte de lisina C-terminal

H CHS K2: 450, 345"

sutacimig

sutacimig

immunoglobulin (H-gamma4_L-kappa)(H-gamma4_L-kappa), anti-[*Homo sapiens* F7 (coagulation factor 7, blood coagulation factor VII, coagulation serum prothrombin conversion accelerator) activated (F7a, F7A, FVIIa, FVIIa)] and anti-[*Homo sapiens* TREML1 (triggering receptor expressed on myeloid cells like 1, TREM-like transcript 1, TLT1, TLT-1)], humanized monoclonal antibody, bispecific, bivalent;

H-gamma4 heavy chain anti-F7a humanized (1-448) [VH (*Homo sapiens* IGHV4-30-2*07 (92.9%) -(IGHD) -IGHJ4*01 (100%), CDR-IMGT [9.7.15] (26-34.52-58.97-111)) (1-122)-*Homo sapiens* IGHG4*01 nG4m(a) CH2 L92, G4v5 h P10, G4v10 CH3 L85.1, K88 (CH1 (123-220), hinge 1-12 S10>P (230) (221-232), CH2 L92 (311) (233-342), CH3 F85.1>L (407), R88>K (411) (343-447), CHS K2>del (448)) (123-448)], (136-214")-disulfide with L-kappa light chain humanized anti-F7a (1"-214") [V-KAPPA (*Homo sapiens* IGKV3D-11*01 (88.8%) -IGKJ2*01 (100%), CDR-IMGT [6.3.9] (27"-32".50"-52".89"-97")) (1"-107") -*Homo sapiens* IGKC*01 (100%) Km3 A45.1, V101 (C-KAPPA A45.1 (153'), V101 (191')) (108"-214")];

H-gamma4 heavy chain anti-TREML1 humanized (1"-440") [VH (*Homo sapiens* IGHV3-74*01 (89.7%) -(IGHD) -IGHJ5*01 (92.9%), CDR-IMGT [8.8.7] (26"-33".51"-58".97"-103")) (1"-114") -*Homo sapiens* IGHG4*01 nG4m(a) CH2 L92, G4v5 h P10 (CH1 (115"-212"), hinge 1-12 S10>P (222") (213"-224"), CH2 L92 (303") (225"-334"), CH3 (335"-439"), CHS K2>del (440")) (115"-440")), (128"-219")-disulfide with L-kappa light chain, anti-TREML1 humanized (1"-219") [V-KAPPA (*Homo sapiens* IGKV2-24*02 (91.0%) -IGKJ2*01 (100%), CDR-IMGT [11.3.9] (27"-37".55"-57".94"-102")) (1"-112") -*Homo sapiens* IGKC*01 (100%) Km3 A45.1, V101 (C-KAPPA A45.1 (158''), V101 (196'')) (113"-219")]; dimer (228-220":231-223")-bisdisulfide, produced in Chinese hamster ovary (CHO) cells, glycoform alfa

sutacimig	immunoglobuline (H-gamma4_L-kappa)_(H-gamma4_L-kappa), anti-[<i>Homo sapiens</i> F7 (facteur de coagulation 7, facteur de coagulation VII du sang, accélérateur de la conversion de la prothrombine sérique de coagulation) activé (F7a, F7A, FVIIa, FVIIIA)] et anti-[<i>Homo sapiens</i> TREML1 (apparenté 1 du récepteur déclencheur exprimé sur les cellules myéloïdes, transcrit 1 TREM-like, TLT1, TLT-1)], anticorps monoclonal humanisé, bispécifique, bivalent; chaîne lourde H-gamma4 anti-F7a humanisée (1-448) [VH (<i>Homo sapiens</i> IGHV4-30-2*07 (92.9%) -(IGHD) -IGHJ4*01 (100%), CDR-IMGT [9.7.15] (26-34.52-58.97-111)) (1-122)- <i>Homo sapiens</i> IGHG4*01 nG4m(a) CH2 L92, G4v5 h P10, G4v10 CH3 L85.1, K88 (CH1 (123-220), charnière 1-12 S10>P (230) (221-232), CH2 L92 (311) (233-342), CH3 F85.1>L (407), R88>K (411) (343-447), CHS K2>del (448)) (123-214')-disulfure avec la chaîne légère L-kappa humanisée anti-F7a (1'-214') [V-KAPPA (<i>Homo sapiens</i> IGKV3D-11*01 (88.8%) -IGKJ2*01 (100%), CDR-IMGT [6.3.9] (27'-32'.50'-52'.89'-97')) (1'-107') - <i>Homo sapiens</i> IGKC*01 (100%) Km3 A45.1, V101 (C-KAPPA A45.1 (153'), V101 (191')) (108'-214')]; chaîne lourde H-gamma4 anti-TREML1 humanisée (1"-440") [VH (<i>Homo sapiens</i> IGHV3-74*01 (89.7%) -(IGHD) -IGHJ5*01 (92.9%), CDR-IMGT [8.8.7] (26"-33".51"-58".97"-103")) (1"-114")- <i>Homo sapiens</i> IGHG4*01 nG4m(a) CH2 L92, G4v5 h P10 (CH1 (115"-212"), charnière 1-12 S10>P (222") (213"-224"), CH2 L92 (303") (225"-334"), CH3 (335"-439"), CHS K2>del (440")) (115"-440")], (128"-219")-disulfure avec la chaîne légère L-kappa, anti-TREML1 humanisée (1"-219") [V-KAPPA (<i>Homo sapiens</i> IGKV2-24*02 (91.0%) -IGKJ2*01 (100%), CDR-IMGT [11.3.9] (27"-37".55"-57".94"-102")) (1"-112") - <i>Homo sapiens</i> IGKC*01 (100%) Km3 A45.1, V101 (C-KAPPA A45.1 (158"), V101 (196")) (113"-219")]; dimère (228-220":231-223")-bisdisulfure, produit dans des cellules ovaries de hamster chinois (CHO), glycoforme alfa
sutacimig	inmunoglobulina (H-gamma4_L-kappa)_(H-gamma4_L-kappa), anti-[<i>Homo sapiens</i> F7 (factor de coagulación 7, factor VII de coagulación sanguínea, acelerador de la conversión de la protomolina sérica de coagulación) activado (F7a, F7A, FVIIa, FVIIIA)] y anti-[<i>Homo sapiens</i> TREML1 (expresado en el receptor desencadenante expresado en células mieloides de tipo 1, transcripto 1 TREM-like, TLT1, TLT-1)], anticuerpo monoclonal humanizado, biespecífico, bivalente; cadena pesada H-gamma4 anti-F7a humanizada (1-448) [VH (<i>Homo sapiens</i> IGHV4-30-2*07 (92.9%) -(IGHD) -IGHJ4*01 (100%), CDR-IMGT [9.7.15] (26-34.52-58.97-111)) (1-122)- <i>Homo sapiens</i> IGHG4*01 nG4m(a) CH2 L92, G4v5 h P10, G4v10 CH3 L85.1, K88 (CH1 (123-220), hinge 1-12 S10>P (230) (221-232), CH2 L92 (311) (233-342), CH3 F85.1>L (407), R88>K (411) (343-447), CHS K2>del (448)) (123-214')-disulfuro con la cadena ligera L-kappa humanizada anti-F7a (1'-214') [V-KAPPA (<i>Homo sapiens</i> IGKV3D-11*01 (88.8%) -IGKJ2*01 (100%), CDR-IMGT [6.3.9] (27'-32'.50'-52'.89'-97')) (1'-107') - <i>Homo sapiens</i> IGKC*01 (100%) Km3 A45.1, V101 (C-KAPPA A45.1 (153'), V101 (191')) (108'-214')]; cadena pesada H-gamma4 anti-TREML1 humanizada (1"-440") [VH (<i>Homo sapiens</i> IGHV3-74*01 (89.7%) -(IGHD) -IGHJ5*01 (92.9%), CDR-IMGT [8.8.7] (26"-33".51"-58".97"-103")) (1"-114")- <i>Homo sapiens</i> IGHG4*01 nG4m(a) CH2 L92, G4v5 h P10 (CH1 (115"-212"), bisagra 1-12 S10>P (222") (213"-224"), CH2 L92 (303") (225"-334"), CH3 (335"-439"), CHS K2>del (440")) (115"-440")], (128"-219")-disulfuro con la cadena ligera L-kappa, anti-TREML1 humanizada (1"-219") [V-KAPPA (<i>Homo sapiens</i> IGKV2-24*02 (91.0%) -IGKJ2*01 (100%), CDR-IMGT [11.3.9] (27"-37".55"-57".94"-102")) (1"-112") - <i>Homo sapiens</i> IGKC*01 (100%) Km3 A45.1, V101 (C-KAPPA A45.1 (158"), V101 (196")) (113"-219")]; dímero (228-220":231-223")-bisdisulfuro, producido en las células ováricas de hamster chino (CHO), forma glicosilada alfa

Heavy chain / Chaîne lourde / Cadena pesada: H-gamma4 anti-F7a (H)
 QVQLQESGPV LVKPSQTLSL TCTVSGYSIS SDSAWSWIRQ PPGKGLEWIG 50
 YIQYGSSTNY NPSLKSRSVTI SRDTSKKNFS LKLSSVTAAD TAVYYCARSV 100
 NYYGQSFAVY WYQGQTLVTV SSASTSKGSFV FFLAPCRSRT SESTAALGCL 150
 VKDYFFEPVT VSWNSGALT S GVHTFPAVLQ SGGLYSLSSLV VTVPPSSLGT 200
 KTYTCNVDHK PSNTKVDKRV ESKYGPCCP CPAAPEFLGGE SVFLFPKKPK 250
 DTMISRTEF VTCVVVWDVSQ EDPEVQFNWY WDGVEVHNK TPKPREOFNS 300
 TYRVSVLTV LHQDWLNKGK YEKKVSNKGL PSSIEKTIK AKGQPREPVQ 350
 YTLPSPQEEM TNQNVLTCL VKGFIYPSDIA VEWESENQPE NNYKTTPVLI 400
 DSIGSFLLYS KLTVDKSRWQ EGNVFSCSVM HEALHNHYTQ KSLSLSLG 448

Light chain / Chaîne légère / Cadena ligera: L-kappa anti-F7a (L')
 EIVLTQSPAT LSLSPLGERAT LSCRASQGIS DXLYHWWQQKP GEAPRLLIKY 50
 TSQPATGIPA RFGSGSSGTD FTLTISSELE EDFAVYYCQN GHSPFLTFGQ 100
 GTKLEIKRTV AAESPVIFFP DSEQLKSGTA SVVCLLNNFY PREAKVQWKV 150
 DNAHQSGNSQ ESVTEQDSDKT STYSLSSSTLT LSKADYEKHKH VYACEVTHQG 200
 LSSPVTKFSN RGEC 214

Heavy chain / Chaîne lourde / Cadena pesada: H-gamma4 anti-TREML1 (H")
 EVQLVESGGG LVQPQGSSLRL SCAASGFTFS RXWMTWVRQA PGKGLVWVNGE 50
 INPDSSSTINY AP5VKGRTFI SRDNKANTLY LMQNSLRAED TAVYYCAGSV 100
 FTSGWQGTLV TVSSASTKGPV SFVFLAPCSR STSESTAALG CLVKDYFPEP 150
 VTVSNWSGAL TGSVHHTPAV LQSGGLYSLSS SVVTPPSSL GTKYTTCNVD 200
 HKPSNTKVDK RVESKYGPVC PFCPCAPPEFLG GFSVFLFPPK PRDTLMISRT 250
 PEVTCVVDVQ SQEDPEVQFN WYVGDGEVHN ARTKPREEQF NSTYRVSVL 300
 TVLHQDWLNG KEYCKVSNK GLPSSIEKTI SKAKGQPREP QVYTLPFPSQE 350
 EMTKQNVSLT CLVKGFYPSDIA IAVEWENSQ PENNYKTTTP VLDSDGSSFL 400
 YSRLTVDKSR WQEGNVFSCSM VMHEALHNHY TQKSLSLSLG 440

Light chain / Chaîne légère / Cadena ligera: L-kappa anti-TREML1 (L")
 DIVMTQPLS SPVTLQGPAS ISCRSSQSLV HRQGNTYFHW LQQRPGOPPR 50
 LLYIKVSNRF SGPVDRFGSS GAGTDFTLKI SRVEAEDVGV YYCQSOTHVP 100
 YTFGQGTTKLE IKRTVAAPSV FIFPPSDQEL KSGTAGSVCL LNNFYPREAK 150
 VQNKVDNALQ SGNSQESVTE QDSKDSTYSL SSTLTLSKAD YEKHKVYACE 200
 VTHQGLSSFPV TKSFRNRGEC 219

Post-translational modifications

Disulfide bridges location / Position des ponts disulfure / Posiciones de los puentes disulfuro
 Intra-H (C23-C104) 22"-96" 149"-205" 263"-323" 369"-427"
 22"-96" 141"-197" 255"-315" 361"-419"
 Intra-L (C23-C104) 23"-88" 134"-194"
 23"-93" 139"-199"
 Inter-H-L (CH1 10-CL 126) 136-214" 128"-219"
 Inter-H-H (h 8, h 11) 228-220" 231-223"

N-terminal glutaminyl cyclization / Cyclisation du glutaminyle N-terminal / Ciclación del glutamínico N-terminal
 Q>pyroglutamyl (pE, 5-oxopropyl) / pyroglutamyle (pE, 5-oxopropile) / piroglutamilo (pE, 5-oxopropilo)
 H VH Q1: 1

N-glycosylation sites / Sites de N-glycosylation / Posiciones de N-glicosilación
 H CH2 N84.4: 299, 291"
 Fucosylated complex bi-antennary CHO-type glycans / glycanes de tipo CHO bi-antennarios complejos fucosilados

tabirafuspum alfa

tabirafusp alfa

human vascular endothelial growth factor receptor 1 (VEGFR-1) fragment containing immunoglobulin-like extracellular domain 2 (103-206, 1-104 in the current sequence) fused to a human vascular endothelial growth factor receptor 2 (VEGFR-2) fragment containing immunoglobulin-like extracellular domain 3 (208-308, 105-205 in the current sequence) fused via peptide linker ²⁰⁶GGGGSGGGGS²¹⁵ to the gamma 1 heavy chain of anti-[human interleukin 6 (IL-6)] (216-664) [VH (*Homo sapiens*IGHV3-23*03 -(IGHD)-IGHJ3*02, CDR-Kabat [5.17.10] (246-250.265-281.314-323)) (216-334) -*Homo sapiens*IGHG1*03 R⁴³¹>K (CH1 (335-432), hinge (433-447), CH2 L⁴⁵¹>A, L⁴⁵²>A, G⁴⁵⁴>A (448-557), CH3 L⁶⁶⁰>C (558-662), CHS (663-664)) (433-664], (437-213')-disulfide with kappa light chain anti-[human interleukin 6 (IL-6)] (1'-213') [V-KAPPA (*Homo sapiens* IGKV1-13*02 -IGKJ1*01, CDR-Kabat [10.7.9] (24'-33'.49'-55'.88'-96')) (1'-106') -*Homo sapiens* IGKC*01 (107'-213')]; dimer (443-443":446-446")-bisdisulfide, produced in Chinese hamster ovary (CHO) cells, cell line CHO-K1SV, glycoform alfa;

tabirafusp alfa

fragment du récepteur 1 du facteur de croissance endothéliale vasculaire (VEGFR-1) humain contenant le domaine extracellulaire 2 de type immunoglobuline (103-206, 1-104 dans la séquence en cours) fusionné au fragment du récepteur 2 du facteur de croissance endothéliale vasculaire humain (VEGFR-2) contenant le

domaine extracellulaire 3 de type immunoglobuline (208-308, 105-205 dans la séquence en cours) fusionné avec l'aide du coupleur peptidique
²⁰⁶**GGGGSGGGGS²¹⁵** à la chaîne lourde gamma 1 de l'anti-[interleukine-6 humaine (IL-6)] (216-334) [VH (*Homo sapiens* IGHV3-23*03 -(IGHD) -IGHJ3*02, CDR-Kabat [5.17.10] (246-250.265-281.314-323)) (216-334) -*Homo sapiens*IGHG1*03 R⁴³¹>K (CH1 (335-432), charnière (433-447), CH2 L⁴⁵¹>A, L⁴⁵²>A, G⁴⁵⁴>A (448-557), CH3 L⁶⁶⁰>C (558-662), CHS (663-664)) (433-664)], (437-213')-disulfure avec la chaîne légère kappa anti-[interleukine-6 humaine (IL-6)] (1'-213') [V-KAPPA (*Homo sapiens* IGKV1-13*02 -IGKJ1*01, CDR-Kabat [10.7.9] (24'-33'.49'-55'.88'-96')) (1'-106') -*Homo sapiens* IGKC*01 (107'-213')]; dimère (443-443":446-446")-bis-disulfure, produit dans des cellules ovarianes de hamster chinois (CHO), lignée cellulaire CHO-K1SV, glycoforme alfa

tabirafusp alfa fragmento del receptor 1 del factor de crecimiento endotelial vascular humano (VEGFR-1) que contiene el dominio extracelular 2 similar a la inmunoglobulina (103-206, 1-104 en la secuencia actual) fusionado a un fragmento del receptor 2 del factor de crecimiento endotelial vascular humano (VEGFR-2) que contiene el dominio extracelular 3 similar a la inmunoglobulina (208-308, 105-205 en la secuencia actual) fusionado a través de enlace peptídico
²⁰⁶**GGGGSGGGGS²¹⁵** a la cadena pesada gamma 1 de anti-[interleukina 6 (IL-6) humana] (216-664) [VH (*Homo sapiens* IGHV3-23*03 -(IGHD) -IGHJ3*02, CDR-Kabat [5.17.10] (246-250.265-281.314-323)) (216-334) -*Homo sapiens*IGHG1*03 R⁴³¹>K (CH1 (335-432), bisagra (433-447), CH2 L⁴⁵¹>A, L⁴⁵²>A, G⁴⁵⁴>A (448-557), CH3 L⁶⁶⁰>C (558-662), CHS (663-664)) (433-664)], (437-213')-disulfuro con la cadena ligera kappa anti-[interleukina 6 humana (IL-6)] (1'-213') [V-KAPPA (*Homo sapiens* IGKV1-13*02 -IGKJ1*01, CDR-Kabat [10.7.9] (24'-33'.49'-55'.88'-96')) (1'-106') -*Homo sapiens* IGKC*01 (107'-213')]; dímero (443-443":446-446")-bisdisulfuro, producido en células ováricas de hamster Chino (CHO) K1SV, glicoforma alfa

Sequence / Séquence / Secuencia

VEGFR1/2-IgG1 heavy chain

```

SDTGRPFVEM YSEIPEIHM TEGRELVIPC RVTSPNITVT LKKFFPLDTLI 50
PDGKRRIWDS RKGFIISNAT YKEICGLLTAT ATVNGLHLVKT NYLTHRQTNNT 100
IIDVLSLSPH GIELSVGKEL VLNCTARTEL NVGIDENNEY PSSKHQHKKL 150
VNDRDLKTSQG SEMMKKFSLSTL TIDGVTRSDP GLYTCASSG LMTKKNSTFV 200
RVHEKGGGGS GGGGSEVQLV ESGGGLVQPG GSRLSCASAS GTTFSPFAMH 250
WVRQAFGRGL EWAKVISPG SWTYYSDTVT DRFTFSLDTS KSTAYLQMNS 300
LRAEDTAVYY CARQAWGYYA LDIWGQGTLYV TVSSASTKGP SVFFLAPSSK 350
STSGGTAALYL CLVKDVFPEP VTWSNSGAL TSGVHTFPBV LQSSGLYSLS 400
SVTGTVESSL GTQTYICINVN HRFNSNTKVKD KVEPKSCDKT HTCPCPFAPE 450
AACAPSVLFLE PPKPKDTLMR SRTPEVTCVV DVDSHEDPEV KENNYVDGVE 500
VHNAAKTKPRE EQYNSTYRVV SVLTVLHQDW LNGKEYKCKV SNKALPAPIE 550
KTISAKAKQQP REPVQYTLPP SREEMTQNQV SLTCLVKGFY PSDIAVEWES 600
NGQPENNYKTC TPFVLDSLDS FFFLYSKLTVL KSRWQQGNVF SCSVMHEALH 650
NHYTQKSLSC SPKG 664

```

Light chain

```

DQLQTSPSS LSASVGDVRT ITCSASISVS YLYWYQQKPG KAPKLLIYDD 50
SSIASGVPSR FSFGSGSTDF TLTIISLQPE DFATYCCQW SGYPYTFQGG 100
TKWEIKRTVA APSVFIFPPS DEQLKSGTAS VVCLLNNFYP REAKWQKVD 150
NALQSGNSQEVTEQDSKDS YTSLSSTLTL SKADYEKHKV YACEVTHQGL 200
SSFVTKSFNR GEC 213

```

Mutations / Mutations / Mutaciones

L⁴⁵¹>A, L⁴⁵²>A, G⁴⁵⁴>A, L⁶⁶⁰>C

Peptide linker / Peptide liant / Péptido de unión

²⁰⁶**GGGGSGGGGS²¹⁵**

Post-translational modifications

Disulfide bridges location / Position des ponts disulfure / Posiciones de los puentes disulfuro

Intra VEGFR1/2-heavy chain: 30-79, 124-185, 237-311, 361-417, 478-538, 584-642
30"-79", 124"-185", 237"-311", 361"-417", 478"-538", 584"-642"

Intra kappa light chain: 23"-87", 133"-193", 23"-87", 133"-193"

Inter VEGFR1/2-heavy chain: 443-443", 446-446"

Inter heavy chain-light chain: 437-213", 437"-437"

N-glycosylation sites / Sites de N-glycosylation / Posiciones de N-glicosilación

N36, N68, N123, N196, N514, N36", N68", N123", N196", N514"

C-terminal lysine clipping / Coupe de la lysine C-terminale / Recorte de lisina C-terminal

664, 664"

tabirafuspum alfa tedromer #

tabirafusp alfa tedromer

human vascular endothelial growth factor receptor 1 (VEGFR-1) fragment containing immunoglobulin-like extracellular domain 2 (103-206, 1-104 in the current sequence) fused to a human vascular endothelial growth factor receptor 2 (VEGFR-2) fragment containing immunoglobulin-like extracellular domain 3 (208-308, 105-205 in the current sequence) fused via peptide linker ²⁰⁶GGGGSGGGGS²¹⁵ to the gamma 1 heavy chain of anti-[human interleukin 6 (IL-6)] (216-664) [VH (*Homo sapiens*IGHV3-23*03 -(IGHD) -IGHJ3*02, CDR-Kabat [5.17.10] (246-250.265-281.314-323)) (216-334) -*Homo sapiens*IGHG1*03 R⁴³¹>K (CH1 (335-432), hinge (433-447), CH2 L⁴⁵¹>A, L⁴⁵²>A, G⁴⁵⁴>A (448-557), CH3 L⁶⁶⁰>C (558-662), CHS (663-664)) (433-664)], (437-213')-disulfide with kappa light chain anti-[human interleukin 6 (IL-6)] (1'-213') [VKAPPA (*Homo sapiens*IGKV1-13*02 -IGKJ1*01, CDR-Kabat [10.7.9] (24'-33'.49'-55'.88'-96')) (1'-106') -*Homo sapiens*IGKC*01 (107'-213')]; dimer (443-443":446-446")-bisdisulfide, produced in Chinese hamster ovary (CHO) cells, cell line CHO-K1SV, glycoform alfa; substituted at an average of one sulfur atom of cysteine residues 660 and 660" with (3RS)-1-[1,1,1-tris({3-[2-(2,2,2-tris{[(2-{α-(bromo/ethoxy)/hydro/hydroxy)poly[1-(10,10-dimethyl-6-oxido-6-oxo-2,5,7-trioxa-10-aza-6⁵-phosphoundecan-10-iium-1-oyl)-1-methylethane-1,2-diyI]-ω-yl}-2-methylpropanoyl)oxy]methyl}ethoxy)acetamido]propan amido)methyl)-16,32-dioxo-3,6,9,12,19,22,25,28-octaoxa-15,31-diazatetraaccontan-34-yl]-2,5-dioxopyrrolidin-3-yl (*tedromer*)

tabirafusp alfa tédomère

fragment du récepteur 1 du facteur de croissance endothéliale vasculaire (VEGFR-1) humain contenant le domaine extracellulaire 2 de type immunoglobuline (103-206, 1-104 dans la séquence en cours) fusionné au fragment du récepteur 2 du facteur de croissance endothéliale vasculaire humain (VEGFR-2) contenant le domaine extracellulaire 3 de type immunoglobuline (208-308, 105-205 dans la séquence en cours) fusionné avec l'aide du coupleur peptidique ²⁰⁶GGGGSGGGGS²¹⁵ à la chaîne lourde gamma 1 de l'anti-[interleukine-6 humaine (IL-6)] (216-334) [VH (*Homo sapiens*IGHV3-23*03 -(IGHD) -IGHJ3*02, CDR-Kabat [5.17.10] (246-250.265-281.314-323)) (216-334) -*Homo sapiens*IGHG1*03 R⁴³¹>K (CH1 (335-432), charnière (433-447), CH2 L⁴⁵¹>A, L⁴⁵²>A, G⁴⁵⁴>A (448-557), CH3 L⁶⁶⁰>C (558-662), CHS (663-664)) (433-664)], (437-213')-disulfure avec la chaîne

légère kappa anti-[interleukine-6 humaine (IL-6)] (1'-213') [V-KAPPA (*Homo sapiens* IGKV1-13*02 - IGKJ1*01, CDR-Kabat [10.7.9] (24'-33'.49'-55'.88'-96')) (1'-106') -*Homo sapiens* IGKC*01 (107'-213')]; dimère (443-443":446-446")-bis-disulfure, produit dans des cellules ovariennes de hamster chinois (CHO), lignée cellulaire CHO-K1SV, glycoforme alfa; substitué à une moyenne d'un atome de souffre des résidus cystéine 660 et 660" par (3RS)-1-[1,1,1-tris({3-[2-(2,2,2-tris{[(2-{α-(bromo/éthoxy/hydro/hydroxy)poly[1-(10,10-diméthyl-6-oxido-6-oxo-2,5,7-trioxa-10-aza-6λ⁵-phospho undécan-10-iun-1-oyl)-1-méthyléthane-1,2-diyl]-ω-yl}-2-méthylpropanoyl)oxy]méthyl}éthoxy)acétamido]propana mido)méthyl)-16,32-dioxo-3,6,9,12,19,22,25,28-octaoxa-15,31-diazatétratracontan-34-il]-2,5-dioxopirrolidin-3-yle (*tédromère*)

tabirafusp alfa tédromère

fragmento del receptor 1 del factor de crecimiento endotelial vascular humano (VEGFR-1) que contiene el dominio extracelular 2 similar a la inmunoglobulina (103-206, 1-104 en la secuencia actual) fusionado a un fragmento del receptor 2 del factor de crecimiento endotelial vascular humano (VEGFR-2) que contiene el dominio extracelular 3 similar a la inmunoglobulina (208-308, 105-205 en la secuencia actual) fusionado a través de enlace peptídico ²⁰⁶GGGGSGGGGS²¹⁵ a la cadena pesada gamma 1 de anti-[interleukina 6 (IL-6) humana] (216-664) [VH (*Homo sapiens* IGHV3-23*03 - (IGHD) -IGHJ3*02, CDR-Kabat [5.17.10] (246-250.265-281.314-323)) (216-334) -*Homo sapiens* IGHG1*03 R⁴³¹>K (CH1 (335-432), bisagra (433-447), CH2 L⁴⁵¹>A, L⁴⁵²>A, G⁴⁵⁴>A (448-557), CH3 L⁶⁶⁰>C (558-662), CHS (663-664)) (433-664)], (437-213')-disulfuro con la cadena ligera kappa anti-[interleukina 6 humana (IL-6)] (1'-213') [V-KAPPA (*Homo sapiens* IGKV1-13*02 - IGKJ1*01, CDR-Kabat [10.7.9] (24'-33'.49'-55'.88'-96')) (1'-106') -*Homo sapiens* IGKC*01 (107'-213')]; dímero (443-443":446-446")-bisdisulfuro, producido en células ováricas de hamster Chino (CHO) K1SV, glicoforma alfa; sustituido en una media de un átomo de azufre de residuos de cisteína 660 y 660" con (3RS)-1-[1,1,1-tris({3-[2-(2,2,2-tris{[(2-{α-(bromo/ethoxy/hydroxy)poly[1-(10,10-dimethyl-6-oxido-6-oxo-2,5,7-trioxa-10-aza-6λ⁵-phospho undecan-10-iun-1-oyl)-1-metiletano-1,2-diil]-ω-yl}-2-metilpropanoyl)oxy]metil}ethoxy)acetamido]propanamido]metil)-16,32-dioxo-3,6,9,12,19,22,25,28-octaoxa-15,31-diazatetratracontan-34-il]-2,5-dioxopirrolidin-3-il (*tédromère*)

Sequence / Séquence / Secuencia	VEGFR1/1-lgG heavy chain	
SDTGRPFVEM	YSEIPEIIHHN	TEGRELVIIPC
EDGKRILWDS	RKGFISNSAT	RVTSNPNTVT
IDIVLSPSH	YKEIGLTTE	LKKFPPLDTLI
GIELSVGEKL	ATVNGLHLYKT	NYLTHRQTRNT
VNRDLKTTQS	VLNCARTTEL	100
SMKKFLSTL	VGIFDNPWHEY	PSSKHQHKKL
TIDGVTRTSQD	PPSKKQHKKL	200
RVHEVKGGGS	GLYTCASSG	LMTKKNSTFV
GGGGSEVQLV	GLYTCASSG	200
WPRVQAPKGKL	EGGSSVQPG	GLSRLSCAAS
EWAKVAPISGK	LSLRRPSSAA	GFTFSPPFAM
WTYYTSVDT	CGTTSVQKQD	250
DRFTFLSCAAS	KTASYLQMNQ	300
LRAEDTAVVY	LSLRRPSSAA	350
CARQANGYYA	LSLRRPSSAA	350
LDIINGQGTLV	LSLRRPSSAA	350
TVSSASTKGP	SVPFLAPSSK	400
STSGGTAALG	LSLRRPSSAA	400
CLVKDYFFEP	LSLRRPSSAA	400
TVWSNGSL	TGSVGFHTPAV	400
LSQSSLSSLS	HTCPFCPCPFE	450
SVTTVPSNS	HTCPFCPCPFE	450
GQTTYICNVN	HTCPFCPCPFE	450
HKPNSTKVDK	HTCPFCPCPFE	450
VEPKCPSDK	HTCPFCPCPFE	450
AACAPSVLFV	HTCPFCPCPFE	450
PPKPKDLMV	HTCPFCPCPFE	450
REFPVEVTCV	HTCPFCPCPFE	450
VWDSEHDEPV	HTCPFCPCPFE	450
FNKNWYDVGE	HTCPFCPCPFE	450
VHNALKTPEK	HTCPFCPCPFE	450
EQSYNTVYR	HTCPFCPCPFE	450
SVLTVLHQW	HTCPFCPCPFE	450
LNKGEYKCKV	HTCPFCPCPFE	450
SNKALPAFIE	HTCPFCPCPFE	450
KTISKAKGP	REFQVYTLLP	450
REFQVYTLLP	SREEMTQNQV	500
SLTCVLKGFY	PSDIAVENES	600
NGQPENQKF	TTPVPLSDGS	600
FFLYSKLTVD	KSRWRQQGNV	650
KSRWRQQGNV	SCSVMHEALH	650
NYHQTQSLSC	SPGK	664

Light chain	
DILQITQSPSS	LSASVGDVRV ITCSASISVS YLYWYQQKPG KAPKLIIYDD 50
SSLASVGPSR	FSGSSGSGTDF TLITLSSLQPE DFATYYCQW SGYPYTFQGQ 100
TKVEIKRTVA	APSVFIFPPS DEQLKSGTAS VVCLLNNFYP REAKVQWKVD 150
NALQSGNSQE	SSTVEQDSKDS TYSLSSTLTL SKADYEKKHVY YACEVTQHGL 200
SSPVNRRNFGC	EEG 213

Mutations / Mutaciones / Mutaciones

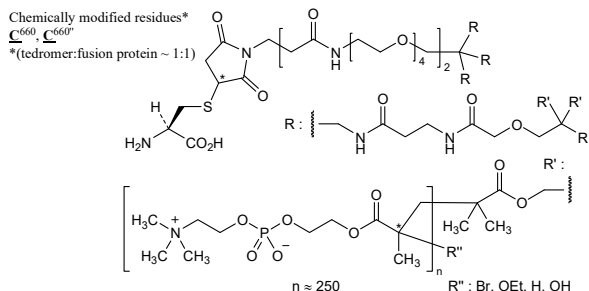
Peptide linker / Peptide liant / Péptido de unión
 $^{206}\text{GGGGSGGGGS}^{215}$

Post-translational modifications

Distal functional modifications:
 Disulfide bridges location / Position des ponts disulfure / Posiciones de los puentes disulfuro
 Intra VEGFR1/2-heavy chain: 30'-79', 124'-185', 237'-311', 361'-417', 478'-538', 584'-642
 30%'-79%, 124%'-185%, 237%'-311%, 361%'-417%, 478%'-538%, 584%'-642
 Intra kappa light chain: 23'-87', 133'-193', 23%'-87%', 133%'-193'
 Inter VEGFR1/2-heavy chain: 443'-443', 446'-446'
 Inter heavy chain-light chain: 437'-213', 437%'-437"

N-glycosylation sites / Sites de N-glicosilación / Posiciones de N-glicosilación
N36, N68, N123, N196, N514, N36'', N68'', N123'', N196'', N514''

C-terminal lysine clipping / Coupe de la lysine C-terminale / Recorte de lisina C-terminal
664_664"



tegtociclibum

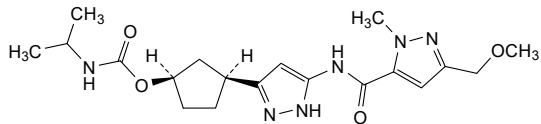
tegtociclib

(1*R*,3*S*)-3-[5-[3-(methoxymethyl)-1-methyl-1*H*-pyrazole-5-carboxamido]-1*H*-pyrazol-3-yl]cyclopentyl (propan-2-yl)carbamate

tegtociclib

(propan-2-yl)carbamate de (1*R*,3*S*)-3-[5-[3-(méthoxyméthyl)-1-méthyl-1*H*-pyrazole-5-carboxamido]-1*H*-pyrazol-3-yl]cyclopentyle

tegtociclib

(propan-2-il)carbamato de (1*R*,3*S*)-3-[5-[1-méthyl-3-(métoxyméthyl)-1*H*-pirazol-5-carboxamido]-1*H*-pirazol-3-il]cyclopentilo $C_{19}H_{28}N_6O_4$ **telikibartum #**

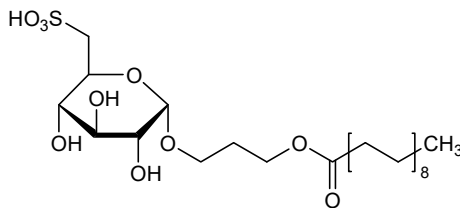
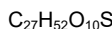
telikibart

immunoglobulin G1-kappa, anti-[*Homo sapiens* IL4R (interleukin 4 receptor, IL4RA, IL-4RA, interleukin 13 receptor, CD124)], *Homo sapiens* monoclonal antibody; H-gamma1 heavy chain *Homo sapiens* (1-455) [VH (*Homo sapiens*IGHV3-23*04 (92.9%) -(IGHD) - IGHJ6*01 (82.4%), CDR-IMGT [8.8.18] (26-33.51-58.97-114)) (1-125) -*Homo sapiens*IGHG1*03, G1m3, nG1m1 CH1 R120, CH3 E12, M14, G1v39 CH2 F1.3, E1.2, S116 (CH1 R120 (222) (126-223), hinge 1-15 (224-238), CH2 L1.3>F (242), L1.2>E (243), P116>S (339) (239-348), CH3 E12 (364), M14 (366) (349-453), CHS (454-455)) (126-455)], (228-219')-disulfide with L-kappa light chain *Homo sapiens* (1'-219') [V-KAPPA (*Homo sapiens*IGKV2-28*01 (92.0%) -IGKJ2*01 (100%), CDR-IMGT [11.3.9] (27'-37'.55'-57'.94'-102')) (1'-112') -*Homo sapiens* IGKC*01 (100%) Km3 A45.1, V101 (C-KAPPA A45.1 (158'), V101 (196')) (113'-219')]; dimer (234"-237-237")-bisdisulfide, produced in Chinese hamster ovary (CHO) cells, glycoform alfa

télikibart

immunoglobuline G1-kappa, anti-[*Homo sapiens* IL4R (récepteur de l'interleukine 4, IL4RA, IL-4RA, récepteur de l'interleukine 13, CD124)], anticorps monoclonal *Homo sapiens*; chaîne lourde H-gamma1 *Homo sapiens* (1-455) [VH (*Homo sapiens*IGHV3-23*04 (92.9%) -(IGHD) - IGHJ6*01 (82.4%), CDR-IMGT [8.8.18] (26-33.51-58.97-114)) (1-125) -*Homo sapiens*IGHG1*03, G1m3, nG1m1 CH1 R120, CH3 E12, M14, G1v39 CH2 F1.3, E1.2, S116 (CH1 R120 (222) (126-223), charnière 1-15 (224-238), CH2 L1.3>F (242), L1.2>E (243), P116>S (339) (239-348), CH3 E12 (364), M14 (366) (349-453), CHS (454-455)) (126-455)], (228-219')-disulfure avec la chaîne légère L-kappa *Homo sapiens* (1'-219') [V-KAPPA (*Homo sapiens*IGKV2-28*01 (92.0%) -IGKJ2*01 (100%), CDR-IMGT [11.3.9] (27'-37'.55'-57'.94'-102')) (1'-112') -*Homo sapiens* IGKC*01 (100%) Km3 A45.1, V101 (C-KAPPA A45.1 (158'), V101 (196')) (113'-219')]; dimère (234-234":237-237")-bisdisulfure, produit dans des cellules ovariennes de hamster chinois (CHO), glycoforme alfa

telikibart	inmunoglobulina G1-kappa, anti-[<i>Homo sapiens</i> IL4R (receptor de la interleukina 4, IL4RA, IL-4RA, receptor de la interleukina 13, CD124)], anticuerpo monoclonal <i>Homo sapiens</i> ; cadena pesada H-gamma1 <i>Homo sapiens</i> (1-455) [VH (<i>Homo sapiens</i> IGHV3-23*04 (92.9%) -(IGHD)-IGHJ6*01 (82.4%), CDR-IMGT [8.8.18] (26-33.51-58.97-114)) (1-125) - <i>Homo sapiens</i> IGHG1*03, G1m3, nG1m1 CH1 R120, CH3 E12, M14, G1v39 CH2 F1.3, E1.2, S116 (CH1 R120 (222) (126-223), bisagra 1-15 (224-238), CH2 L1.3>F (242), L1.2>E (243), P116>S (339) (239-348), CH3 E12 (364), M14 (366) (349-453), CHS (454-455)) (126-455)], (228-219')-disulfuro con la cadena ligera L-kappa <i>Homo sapiens</i> (1'-219') [V-KAPPA (<i>Homo sapiens</i> IGKV2-28*01 (92.0%)-IGKJ2*01 (100%), CDR-IMGT [11.3.9] (27'-37'.55'-57'.94'-102')) (1'-112') - <i>Homo sapiens</i> IGKC*01 (100%) Km3 A45.1, V101 (C-KAPPA A45.1 (158'), V101 (196')) (113-219')]; dímero (234-234":237-237")-bisdisulfuro, producido en las células ováricas de hámster chino (CHO), forma glicosilada alfa
	Heavy chain / Chaîne lourde / Cadena pesada EVQIVESGGG LVQPFGSLRL SCAVSGFTFS SYAMSWVRQA PGKGLEWVSS 50 ITGGGGGYYY ADSVKGRFTI SRDNNSKNTVY LQMNNSLRAED TAVYYCAKDR 100 ISITIRPRFY GLDFWGQQTT VTVSSASTKG PSVFPLAPSS KSTSGGTAAL 150 GCLVKDYFPE PVTVSWNSGA LTSGVHTFPAA VLQSSGLYSL SSVVTPVSS 200 LGTQTQYICNV NHKPSNTKVD KRVEPKSCDCD THTCPCCPAP EFEFGGPSVFL 250 FFPKPKDITLM ISRTPEVTCV VVDVSHEDEPE VKFNWYVDGV EVHNAKTKPR 300 EQYQNSTYRV VSVLTVLHQD WLNGKEYKCK VSNKALPASI EKTISKAKGQ 350 PREPQVYTLF PSREEMTKNQ VSILCLVKG YPSDIAWEVE SNGQPENNYK 400 TTPPVLDSDG SFFLYSKLTV DKSRSRWWQQGNV FSCSVMHEAL HNHYTQKSLS 450 LSPGK 455
	Light chain / Chaîne légère / Cadena ligera DIVMTQSPLS LPVTGPGEFAS ISCRSSQSLL YSIGYNYLDW YLQKSGQSPO 50 LLIYLGSNRA SGVPDRFSGS GSGTDFTLKI SRVEAEDVGF YYCMQSFKAP 100 YTFQGQGTKLE IKRTVVAAPSV FIFPPSDEQL KSGTASVVCV LNNFYPREAK 150 VQWKVDNALQ SGNSQESVTE QDSKDSTYSL SSTLTLASKAD YEKKHVYACE 200 VTHQGLSSPV TKSFNRGEC 219
	Post-translational modifications Disulfide bridges location / Position des ponts disulfure / Posiciones de los puentes disulfuro Intra-H (C23-C104) 22-96 152-208 269-329 375-433 22"-96" 152"-208" 269"-329" 375"-433" Intra-L (C23-C104) 23"-93" 139"-199" 23""-93"" 139""-199"" Inter-H-L (h 5-CL 126) 228-219" 228"-219" Inter-H-H (h 11, h 14) 234-234" 237-237"
	N-glycosylation sites / Sites de N-glycosylation / Posiciones de N-glicosilación H CH2 N84.4: 305, 305" Fucosylated complex bi-antennary CHO-type glycans / glycanes de type CHO bi-antennaires complexes fucosylés / glicanos de tipo CHO biantenarios complejos fucosilados
	C-terminal lysine clipping / Coupure de la lysine C-terminale / Recorte de lisina C-terminal H CHS K2: 455, 455"
teprosulvolum	
teprosulvose	3-(octadecanoyloxy)propyl 6-deoxy-6-sulfo- α -D-glucopyranoside
téprosulvose	6-désoxy-6-sulfo- α -D-glucopyranoside de 3-(octadécanoxyloxy)propyle
teprosulvosa	6-desoxi-6-sulfo- α -D-glucopiranósido de 3-(octadecanoiloxy)propilo

**tigemocoxibum**

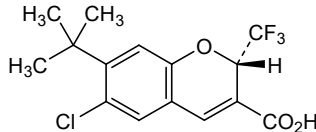
tigemocoxib

(2S)-7-*tert*-butyl-6-chloro-2-(trifluoromethyl)-2*H*-1-benzopyran-3-carboxylic acid

tigémocoxib

acide (2S)-7-*tert*-butyl-6-chloro-2-(trifluorométhyl)-2*H*-1-benzopyrane-3-carboxylique

tigemocoxib

ácido (2S)-7-*terc*-butil-6-cloro-2-(trifluorometil)-2*H*-1-benzopirano-3-carboxílico**tizetatugum #**

tizetatug

immunoglobulin G1-kappa, anti-[*Homo sapiens* TACSTD2 (tumor-associated calcium signal transducer 2, membrane component chromosome 1 surface marker 1, M1S1, gastrointestinal tumor-associated antigen GA7331, pancreatic carcinoma marker protein GA733-1, epithelial glycoprotein-1, EGP-1, trophoblast antigen-2, cell surface glycoprotein Trop-2, TROP2)], humanized monoclonal antibody;H-gamma1 heavy chain humanized (1-451) [VH (*Homo sapiens* IGHV1-69*02 (88.8%) -(IGHD -IGHJ4*01 (93.3%), CDR-IMGT [8.8.14] (26-35.51-58.97-110)) (1-121) -*Homo sapiens*IGHG1*01 (100%) G1m17,1 CH1 K120, CH3 D12, L14 (CH1 K120 (218) (122-219), hinge 1-15 (220-234), CH2 (235-344), CH3 D12 (360), L14 (362) (345-449), CHS (450-451)) (122-451)], (224-214')-disulfide with L-kappa light chain humanized (1'-214') [V-KAPPA (*Homo sapiens* IGKV1-9*03 (84.3%) -IGKJ4*01 (91.7%) G120>A (100'), CDR-IMGT [6.3.9] (27'-32'.50'-52'.89'-97')) (1'-107') -*Homo sapiens* IGKC*01 (100%) Km3 A45.1, V101 (C-KAPPA A45.1 (153'), V101 (191')) (108'-214')]; dimer (230-230":233-233")-bisdisulfide, produced in Chinese hamster ovary (CHO) cells, cell line CHO-K1SV lacking the glutamine synthetase (GS-KO) gene, glycoform alfa

tizétatug

immunoglobuline G1-kappa, anti-[*Homo sapiens* TACSTD2 (transducteur 2 de signaux calciques associé aux tumeurs, composant membranaire du chromosome 1 marqueur de surface 1, M1S1, antigène GA7331 associé aux tumeurs gastrointestinales, protéine GA733-1 marqueur de carcinomes pancréatiques, glycoprotéine épithéliale 1, EGP-1, antigène 2 du trophoblaste, glycoprotéine Trop-2 à la surface des cellules, TROP2)], anticorps monoclonal humanisé;

chaîne lourde H-gamma1 humanisée (1-451) [VH (*Homo sapiens* IGHV1-69*02 (88.8%) -(IGHD)-IGHJ4*01 (93.3%), CDR-IMGT [8.8.14] (26-35.51-58.97-110)) (1-121) -*Homo sapiens* IGHG1*01 (100%) G1m17,1 CH1 K120, CH3 D12, L14 (CH1 K120 (218) (122-219), charnière 1-15 (220-234), CH2 (235-344), CH3 D12 (360), L14 (362) (345-449), CHS (450-451)) (122-451)], (224-214')-disulfure avec la chaîne légère L-kappa humanisée (1'-214') [V-KAPPA (*Homo sapiens* IGKV1-9*03 (84.3%) -IGKJ4*01 (91.7%) G120>A (100'), CDR-IMGT [6.3.9] (27'-32'.50'-52'.89'-97')) (1'-107') -*Homo sapiens* IGKC*01 (100%) Km3 A45.1, V101 (C-KAPPA A45.1 (153'), V101 (191')) (108'-214')]; dimère (230-230":233-233")-bisdisulfure, produit dans des cellules ovariennes de hamster chinois (CHO), lignée cellulaire CHO-K1SV ne présentant pas le gène de la glutamine synthétase (GS-KO), glycoforme alfa

tizetatug inmunoglobulina G1-kappa, anti-[*Homo sapiens* TACSTD2 (transductor 2 de señales cárnicas asociado a los tumores, componente de membrana del cromosoma 1 marcador de superficie 1, M1S1, antígeno GA733-1 asociado con los tumores gastrointestinales, proteína GA733-1 marcador de carcinomas pancreáticos, glicoproteína epitelial 1, EGP-1, antígeno 2 del trofoblasto, glicoproteína Trop-2 en la superficie de las células, TROP2)], anticuerpo monoclonal humanizado; cadena pesada H-gamma1 humanizada (1-451) [VH (*Homo sapiens* IGHV1-69*02 (88.8%) -(IGHD)-IGHJ4*01 (93.3%), CDR-IMGT [8.8.14] (26-35.51-58.97-110)) (1-121) -*Homo sapiens* IGHG1*01 (100%) G1m17,1 CH1 K120, CH3 D12, L14 (CH1 K120 (218) (122-219), bisagra 1-15 (220-234), CH2 (235-344), CH3 D12 (360), L14 (362) (345-449), CHS (450-451)) (122-451)], (224-214')-disulfuro con la cadena ligera L-kappa humanizada (1'-214') [V-KAPPA (*Homo sapiens* IGKV1-9*03 (84.3%) -IGKJ4*01 (91.7%) G120>A (100'), CDR-IMGT [6.3.9] (27'-32'.50'-52'.89'-97')) (1'-107') -*Homo sapiens* IGKC*01 (100%) Km3 A45.1, V101 (C-KAPPA A45.1 (153'), V101 (191')) (108'-214')]; dímero (230-230":233-233")-bisdisulfuro, producido en las células ováricas de hámster chino (CHO), línea celular CHO-K1SV en ausencia del gen de la glutamina sintetasa (GS-KO), forma glicosilada alfa

Heavy chain / Chaîne lourde / Cadena pesada
EVQLVQSGSE LKKPGASVKV SCKASGYTFT NYGMNWKQ PGQGLKWMGW 50
INTYTLGEPTY TDQDFKGRFAF SLDTSVSTAY LQISSLKAED TAVYYCARGG 100
FGSSYWYFDV WGQGTLVTVS SASTKGPSVF PLAPSSKSTS GGTAALGCLV 150
KDYPSEPEPTV SWNSGALTSG VHTFPAVLQS SGLYSLSSVV TVPSSSLGTQ 200
TYICVNHNKP SNTKVDKKVE PKSCDKTHTC PPCPAPELLG GPSVFLFPK 250
PKDTLMISRT PEVTCVVVDV SHEDPEVKFN WYVDGVEVHN AKTKPRREOY 300
NSTYRVSVSL TVLHQDWLNG KEYKCKVSNK ALPAPIEKTI SKAKGQPREG 350
QVYTLPPSRD ELTKNQVSLT CLVKGFYPSD IAVEWESNQQ PENNYKTTTP 400
VLDSDGSFFL YSKLTVDKSR WQQGNVFSCS VMHEALHNHY TQKSLSLSPG 450
K 451

Light chain / Chaîne légère / Cadena ligera
DIQLTQSPSS LSASVGDRVS ITCKASQDV5 TAVAWYQQKE GRAPKLLIYS 50
ASYRTGVPD RFSGSGSGTD FTLLTISLQP EDFAVYYCQQ HYITPLTFGA 100
GTKVEIKRTV AAPSVFIFPP SDEQLKSGTA SVVCLLNNFY PREAKVQWKV 150
DNALQSGNSQ ESVTQEDSKD STYSLSSTLT LSKADYEKHK VYACEVTHQG 200
LSSPVTKSFN RGEC 214

Post-translational modifications

Disulfide bridges location / Position des ponts disulfure / Posiciones de los puentes disulfuro

Intra-H (C23-C104) 22-96 148-204 265-325 371-429

22"-96" 148"-204" 265"-325" 371"-429"

Intra-L (C23-C104) 23"-88' 134"-194'

23"-88" 134"-194""

Inter-H-L (h 5-CL 126) 224-214' 224"-214"

Inter-H-H (h 11, h 14) 230-230" 233-233"

N-glycosylation sites / Sites de N-glycosylation / Posiciones de N-glicosilación
H CH2 N84.4: 301, 301"

Fucosylated complex bi-antennary CHO-type glycans / glycanes de type CHO bi-antennaires complexes fucosylés / glicanos de tipo CHO biantenarios complejos fucosilados

C-terminal lysine clipping / Coupure de la lysine C-terminale / Recorte de lisina C-terminal
H CHS K2: 451, 451"

tizetatugum rezetecanum #

tizetatug rezetecan

immunoglobulin G1-kappa, anti-[*Homo sapiens* TACSTD2 (tumor-associated calcium signal transducer 2, membrane component chromosome 1 surface marker 1, M1S1, gastrointestinal tumor-associated antigen GA7331, pancreatic carcinoma marker protein GA733-1, epithelial glycoprotein-1, EGP-1, trophoblast antigen-2, cell surface glycoprotein Trop-2, TROP2)], humanized monoclonal antibody; conjugated on an average of four cysteinyl residues to *rezetecan*: H-gamma1 heavy chain humanized (1-451) [VH (*Homo sapiens*IGHV1-69*02 (88.8%) -(IGHD) -IGHJ4*01 (93.3%), CDR-IMGT [8.8.14] (26-35.51-58.97-110)) (1-121) -*Homo sapiens*IGHG1*01 (100%) G1m17,1 CH1 K120, CH3 D12, L14 (CH1 K120 (218) (122-219), hinge 1-15 (220-234), CH2 (235-344), CH3 D12 (360), L14 (362) (345-449), CHS (450-451)) (122-451)], (224-214')-disulfide with L-kappa light chain humanized (1'-214') [V-KAPPA (*Homo sapiens*IGKV1-9*03 (84.3%) -IGKJ4*01 (91.7%) G120>A (100), CDR-IMGT [6.3.9] (27'-32'.50'-52'.89'-97')) (1'-107') -*Homo sapiens*IGKC*01 (100%) Km3 A45.1, V101 (C-KAPPA A45.1 (153'), V101 (191')) (108'-214')]; dimer (230-230":233-233")-bisdisulfide, produced in Chinese hamster ovary (CHO) cells, cell line CHO-K1SV lacking the glutamine synthetase (GS-KO) gene, glycoform alfa; substituted at the sulfur atoms of four L-cysteinyl residues on an average among 224, 230, 233, 214', 224", 230", 233" and 214''' with (3RS)-1-[(2R,10S)-10-benzyl-2-cyclopropyl-1-[(1S,9S)-9-ethyl-5-fluoro-9-hydroxy-4-methyl-10,13-dioxo-2,3,9,10,13,15-hexahydro-1H,12H-benzo[de]pyrano[3',4':6,7]indolizino[1,2-b]quinolin-1-yl]amino]-1,6,9,12,15,18-hexaoxo-3-oxa-5,8,11,14,17-pentaazatricosan-23-yl]-2,5-dioxopyrrolidin-3-yl (*rezetecan*) groups

tizétatug rézétécan

immunoglobuline G1-kappa, anti-[*Homo sapiens* TACSTD2 (transducteur 2 de signaux calciques associé aux tumeurs, composant membranaire du chromosome 1 marqueur de surface 1, M1S1, antigène GA7331 associé aux tumeurs gastrointestinales, protéine GA733-1 marqueur de carcinomes pancréatiques, glycoprotéine épithéliale 1, EGP-1, antigène 2 du trophoblaste, glycoprotéine Trop-2 à la surface des cellules, TROP2)], anticorps monoclonal humanisé, conjuguée par quatre résidus cysteinyles en moyenne au rézétécan; chaîne lourde H-gamma1 humanisée (1-451) [VH (*Homo sapiens*IGHV1-69*02 (88.8%) -(IGHD) -IGHJ4*01 (93.3%), CDR-IMGT [8.8.14] (26-35.51-58.97-110)) (1-121) -*Homo sapiens*IGHG1*01 (100%) G1m17,1 CH1 K120, CH3 D12, L14 (CH1 K120 (218) (122-219), charnière 1-15 (220-234), CH2 (235-344), CH3 D12 (360), L14 (362) (345-449), CHS (450-451)) (122-451)], (224-214')-disulfure avec la chaîne légère L-kappa humanisée (1'-214') [V-KAPPA (*Homo sapiens*IGKV1-9*03 (84.3%) -IGKJ4*01 (91.7%) G120>A (100), CDR-IMGT [6.3.9] (27'-32'.50'-52'.89'-97')) (1'-107') -*Homo sapiens*IGKC*01 (100%) Km3 A45.1, V101 (C-KAPPA A45.1 (153'), V101 (191')) (108'-214')]; dimère (230-230":233-233")-

bisdisulfure, produit dans des cellules ovariennes de hamster chinois (CHO), lignée cellulaire CHO-K1SV ne présentant pas le gène de la glutamine synthétase (GS-KO), glycoformé alfa; substitué, sur les atomes de soufre de quatre résidus L-cystéinyle en moyenne parmi 224, 230, 233, 214', 224", 230", 233" et 214'', avec des groupes (3RS)-1-[(2R,10S)-10-benzyl-2-cyclopropyl-1-[(1S,9S)-9-éthyl-5-fluoro-9-hydroxy-4-méthyl-10,13-dioxo-2,3,9,10,13,15-hexahydro-1H,12H-benzo[de]pirano[3',4':6 ,7]indolizino[1,2-b]quinoléin-1-yl]amino}-1,6,9,12,15,18-hexaoxo-3-oxa-5,8,11,14,17-pentaazatricosan-23-yl]-2,5-dioxopyrrolidin-3-yle (rézétécan)

tizetatug rezetecán

imunoglobulina G1-kappa, anti-[*Homo sapiens* TACSTD2 (transductor 2 de señales cárnicas asociado con tumores, componente de membrana del cromosoma 1 marcador de superficie 1, M1S1, antígeno GA7331 asociado con los tumores gastrointestinales, proteína GA733-1 marcador de carcinomas pancreáticos, glicoproteína epitelial 1, EGP-1, antígeno 2 del trofoblasto, glicoproteína Trop-2 en la superficie de las células, TROP2)], anticuerpo monoclonal humanizado, conjugado, por cuatro residuos de cisteinilo, por término medio a rezetecán; cadena pesada H-gamma1 humanizada (1-451) [VH (*Homo sapiens* IGHV1-69*02 (88.8%) -(IGHD) -IGHJ4*01 (93.3%), CDR-IMGT [8.8.14] (26-35.51-58.97-110)) (1-121) -*Homo sapiens* IGHG1*01 (100%) G1m17,1 CH1 K120, CH3 D12, L14 (CH1 K120 (218) (122-219), bisagra 1-15 (220-234), CH2 (235-344), CH3 D12 (360), L14 (362) (345-449), CHS (450-451)) (122-451)], (224-214')-disulfuro con la cadena ligera L-kappa humanizada (1'-214') [V-KAPPA (*Homo sapiens* IGKV1-9*03 (84.3%) -IGKJ4*01 (91.7%) G120>A (100), CDR-IMGT [6.3.9] (27'-32'.50'-52'.89'-97')) (1'-107') -*Homo sapiens* IGKC*01 (100%) Km3 A45.1, V101 (C-KAPPA A45.1 (153'), V101 (191')) (108'-214')]; dímero (230-230":233-233")-bisdisulfuro, producido en las células ováricas de hámster chino (CHO), línea celular CHO-K1SV en ausencia del gen de la glutamina sintetasa (GS-KO), forma glicosilada alfa; sustituido, en los átomos de azufre de cuatro residuos de L-cisteinilo en promedio de 224, 230, 233, 214', 224", 230", 233" y 214", con grupos (3RS)-1-[(2R,10S)-10-bencil-2-ciclopropil-1-[(1S,9S)-9-étil-5-fluoro-9-hidroxi-4-méthyl-10,13-dioxo-2,3,9,10,13,15-hexahidro-1H,12H-benzo[de]pirano[3',4':6 ,7]indolizino[1,2-b]quinoléin-1-yl]amino}-1,6,9,12,15,18-hexaoxo-3-oxa-5,8,11,14,17-pentaazatricosan-23-il]-2,5-dioxopirrolidin-3-ilo (rezetecán)

Heavy chain / Chaîne lourde / Cadena pesada

EVQLVQSGSE LKKPGASVKV SCKASGYIFT NYGMNNWVKQA PGQGLKWMGW 50
 INTYTGEPTY TQDFKGRFAF SLDTSVSTAY LQISSLKAED TAVYYCARGG 100
 FGSSYWYFDV WGGOTLVTVS SASTKGPSVF PLAPSSKTS GGTAAALGCLV 150
 KDYFFPEPVTV SWNSGALTSG VHTFPFAVLQS SGLYSLSSVV TVPSSSLGQT 200
 TYICVNHNKP SNKTKVDKKVE PKSCDKTHTC PPCPAPELLG GPSVFLPPK 250
 PKDTLMISRT PEVTCVVVDV SHDEPEVKFV WYWDGVVEVHN AKTKPREEQY 300
 NSTYRVSVL TVLHQDWLNG KEYKCKVSNN ALPAPIEKTI SKAKGQPREG 350
 QVYTLPPSRD ELTKNQVSLT CLVKGFYPSD IAVEWESNGQ PENNYKTPP 400
 VLDSDGSSFL YSKLTVDKSR WQQGNVFSCS VMHEALHNHY TQKSLSLSPG 450
 K

Light chain / Chaîne légère / Cadena ligera

DIQLTQSPSS LSASVGDRVS ITCKASQDVS IAVAWYQQKPV GKAPKLLIYS 50
 ASYRYTGVPD RFSGSGSGTD FTLTISSLQPV EDFAVYYCQG HYITPLTFGA 100
 GTKVETIKRTV AAPSVFTIFFFF SDEQLKSGTA SVVCLLNNFY PREAKVQWKV 150
 200
 DNALQSGNSQ ESVTTEQDSKD STYSLSSSLT LSKADYEKHK VYACEVTHQG 214
 LSSPVTKSFN RGECA

Post-translational modifications

Disulfide bridges location / Position des ponts disulfure / Posiciones de los puentes disulfuro

Intra-H (C23-C104) 22-96 148-204 265-325 371-429
 22"-96" 148"-204" 265"-325" 371"-429"

Intra-L (C23-C104) 23"-88" 134"-194"
 23""-88"" 134""-194""

Inter-H-L (h 5-CL 126)* 224-214" 224"-214"

Inter-H-H (h 11, h 14)* 230-230" 233-233"

*Three or four inter-chain disulfide bridges are not present, an average of four cysteinyl being conjugated each via a thioether bond to a drug linker.

*Trois ou quatre ponts disulfures inter-chaines ne sont pas présents, quatre cystéinyl en moyenne étant chacun conjugué via une liaison thioéther à un linker-principe actif.

*Tres o cuatro puentes disulfuro inter-catenarios no estan presentes, una media de cuatro cisteinil está conjugada a conectores de principio activo.

N-glycosylation sites / Sites de N-glycosylation / Posiciones de N-glicosilación
 H CH2 N84.4: 301, 301"

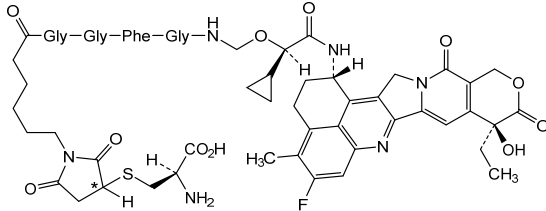
Fucosylated complex bi-antennary CHO-type glycans / glycanes de tipo CHO bi-antennaires complexes fucosylés / glicanos de tipo CHO biantenarios complejos fucosilados

C-terminal lysine clipping / Coupage de la lysine C-terminale / Recorte de lisina C-terminal
 H CHS K2: 451, 451"

Modified residues / Résidus modifiés / Restos modificados

C (224, 230, 233, 214", 224", 230", 233", 214")

rezeptor: mAb ~ 4:1



tovecimigum #
tovecimig

immunoglobulin G1-scFvlh_L-kappa, anti-[*Homo sapiens* VEGFA (vascular endothelial growth factor A, VEGF-A, VEGF)] and anti-[*Homo sapiens* DLL4 (delta-like 4)], humanized and *Homo sapiens* monoclonal antibody; bispecific;
 H-gamma1 heavy chain anti-VEGFA fused to a scFvlh anti-DLL4 (1-714) [H-gamma1 heavy chain anti-VEGFA humanized (1-453) [VH (*Homo sapiens* IGHV3-30*02 (76.8%) -(IGHD)-IGHJ4*01 (93.3%), CDR-IMGT [8.9.16] (26-33.51-59.97-112)) (1-123)-*Homo sapiens*IGHG1*03v, G1m3>G1m17, nG1m1, CH1 K120, CH3 E12, M14 (CH1 R120>K (220) (124-221), hinge 1-15 (222-236), CH2 (237-346), CH3 E12 (362), M14 (364) (347-451), CHS (452-453)) (124-453)] -15-mer tris(tetraglycyl-seryl) linker (454-468) - scFvlh anti-DLL4 *Homo sapiens* (469-714) [V-LAMBDA

	(<i>Homo sapiens</i> IGLV1-47*02 (89.7%) -IGLJ2*01 (90.9%) G120>C (571), CDR-IMGT [8.3.11] (494-501.519-521.558-568)) (469-578) -20-mer tetrakis(tetraglycyl-seryl) linker (579-598) -VH (<i>Homo sapiens</i> IGHV3-23*03 (91.8%) -IGHD -IGHJ4*01 (100%), CDR-IMGT [8.8.9] (624-631.649-656.695-703)) (599-714)]; (226-214')-disulfide with L-kappa light chain anti-VEGFA humanized (1'-214') [V-KAPPA (<i>Homo sapiens</i> IGKV1-16*01 (88.4%) -IGKJ1*01 (100%), CDR-IMGT [6.3.9] (27'-32'.50'-52'.89'-97')) (1'-107') - <i>Homo sapiens</i> IGKC*01 (100%), Km3 A45.1 (153'), V101 (191') (108'-214')]; dimer (232-232":235-235")-bisdisulfide, produced in Chinese hamster ovary (CHO) cells, cell line CHO-DG44, glycoform alfa
tovécimig	immunoglobuline G1_scFvlh_L-kappa, anti-[<i>Homo sapiens</i> VEGFA (facteur de croissance A de l'endothélium vasculaire, VEGF-A, VEGF)] et anti-[<i>Homo sapiens</i> DLL4 (delta-like 4)], anticorps monoclonal humanisé et <i>Homo sapiens</i> ; bispécifique; chaîne lourde H-gamma1 anti-VEGFA fusionnée à un scFvlh anti-DLL4 (1-714) [chaîne lourde H-gamma1 anti-VEGFA humanisée (1-453) [VH (<i>Homo sapiens</i> IGHV3-30*02 (76.8%) -IGHD -IGHJ4*01 (93.3%), CDR-IMGT [8.9.16] (26-33.51-59.97-112)) (1-123)- <i>Homo sapiens</i> IGHG1*03v, G1m3>G1m17, nG1m1, CH1 K120, CH3 E12, M14 (CH1 R120>K (220) (124-221), charnière 1-15 (222-236), CH2 (237-346), CH3 E12 (362), M14 (364) (347-451), CHS (452-453)) (124-453)] -15-mer tris(tetraglycyl-séryl) linker (454-468) -scFvlh anti-DLL4 <i>Homo sapiens</i> (469-714) [V-LAMBDA (<i>Homo sapiens</i> IGLV1-47*02 (89.7%) -IGLJ2*01 (90.9%) G120>C (571), CDR-IMGT [8.3.11] (494-501.519-521.558-568)) (469-578) -20-mer tetrakis(tetraglycyl-séryl) linker (579-598) -VH (<i>Homo sapiens</i> IGHV3-23*03 (91.8%) -IGHD -IGHJ4*01 (100%), CDR-IMGT [8.8.9] (624-631.649-656.695-703)) (599-714)]; (226-214')-disulfure avec la chaîne légère L-kappa anti-VEGFA humanisée (1'-214') [V-KAPPA (<i>Homo sapiens</i> IGKV1-16*01 (88.4%) -IGKJ1*01 (100%), CDR-IMGT [6.3.9] (27'-32'.50'-52'.89'-97')) (1'-107') - <i>Homo sapiens</i> IGKC*01 (100%), Km3 A45.1 (153'), V101 (191') (108'-214')]; dimère (232-232":235-235")-bisdisulfure, produit dans des cellules ovariennes de hamster chinois (CHO), lignée cellulaire CHO-DG44, glycoforme alfa
tovecimig	inmunoglobulina G1_scFvlh_L-kappa, anti-[<i>Homo sapiens</i> VEGFA (factor de crecimiento A del endotelio vascular, VEGF-A, VEGF)] y anti-[<i>Homo sapiens</i> DLL4 (delta-like 4)], anticuerpo monoclonal humanizado y <i>Homo sapiens</i> ; biespecífico; cadena pesada H-gamma1 anti-VEGFA fusionada con un scFvlh anti-DLL4 (1-714) [cadena pesada H-gamma1 anti-VEGFA humanizada (1-453) [VH (<i>Homo sapiens</i> IGHV3-30*02 (76.8%) -IGHD -IGHJ4*01 (93.3%), CDR-IMGT [8.9.16] (26-33.51-59.97-112)) (1-123)- <i>Homo sapiens</i> IGHG1*03v, G1m3>G1m17, nG1m1, CH1 K120, CH3 E12, M14 (CH1 R120>K (220) (124-221), bisagra 1-15 (222-236), CH2 (237-346), CH3 E12 (362), M14 (364) (347-451), CHS (452-453)) (124-453)] -15-mer tris(tetraglicil-seril) enlace (454-468) -scFvlh anti-DLL4 <i>Homo sapiens</i> (469-714) [V-LAMBDA (<i>Homo sapiens</i> IGLV1-47*02 (89.7%) -IGLJ2*01 (90.9%) G120>C (571), CDR-IMGT [8.3.11] (494-501.519-521.558-568)) (469-578) -20-mer tetrakis(tetraglicil-seril) enlace (579-598) -VH (<i>Homo sapiens</i> IGHV3-23*03 (91.8%) -IGHD -IGHJ4*01 (100%), CDR-IMGT [8.8.9] (624-631.649-656.695-703)) (599-714)]; (226-214')-disulfuro con la cadena ligera L-kappa anti-VEGFA humanizada (1'-214') [V-KAPPA (<i>Homo sapiens</i> IGKV1-16*01 (88.4%) -IGKJ1*01 (100%), CDR-IMGT [6.3.9] (27'-32'.50'-52'.89'-97')) (1'-107') - <i>Homo sapiens</i> IGKC*01 (100%), Km3 A45.1 (153'), V101 (191') (108'-214')]; dímero (232-232":235-235")-bisdisulfuro, producido en las células ováricas de hámster chino (CHO), línea celular CHO-DG44, forma glicosilada alfa

Heavy chain / Chaîne lourde / Cadena pesada: fused H-gamma1 anti-VEGFA -scFvH anti-DLL4 (H, H")
 EVQLVESGGGVQPGGSLRL SCAASGYTFT NYGMNWRQAA PGKGLEWVGW 50
 INTYTGEPTY AADFCKRRTFT SLDTSKSTAY LQMSLRAED TAVYYCAKYP 100
 HYYGSSHWWYF DVWGQGTLVT VSSASTKGPS VFPLAPSSKS TSGGTAALGC 150
 LVKDYFPEPV TVSWNSGALT SGVHTFPVAL QSSGLYSLSS VVTVPSSSLG 200
 TQTYICNVNH KPSNTKVDKK VEPKSCDKTH TCPCCPAFEL LGGEFSVLFPP 250
 PPKPKDTLMIS RTPEVITCVVV DVSHEDPEVK FNWYVDGVEV HNAKTKPREE 300
 QYNSTYRVVS VLTVLHQDWL NGKEYCKVS NKAALPAPIEK TISAKAKGOPR 350
 EPQVYTLPPS REEMTKNQVS LTCLVKGFYP SDIAWEWSN GQPENNYKTT 400
 FPVLDSDGSF FLYSKLTVDK SRWQQGNVFS CSVVMHEALHN HYTQKSLSGS 450
 PGKGGGGSSG GGGGGGSQS VLTQPFPSAGF TGFGQRTVISC TGSSSNIGSM 500
 DVTWYQOLPG TAPKLLIYAD SKRPQGPVDR FSQGSKSGTSA SLAISGLRSE 550
 DEADYYCGTW DYSLSAVFVG CGTKLTVLG GGGGGGGGG GGGGGGGSEV 600
 QLLESGGGLV QPGGSLRLSC AASGFTFSDY AMSWVRQAPG KCLEWWSWIY 650
 SGSGGNKYAAD SVKGRFTISR DNSKNTLYLQ MNSLRAELTA VYYCARADWP 700
 FDYWQGQTLV TVSS 714

Light chain / Chaîne légère / Cadena ligera: L-kappa anti-VEGFA (L', L")

DIQMTQSPSS	LSASVGDRTV	ITCSAQDIS	NYLNWYQQKP	GKAPKVLIYF	50
TSSLRFSQGSGTGT	FRTGQPSASG	FTLTISQDQP	EDFATYYCQQ	YSTVPWTFGQ	100
GTKVEIKRTV	AAASPVIIFPP	SDEQLKSGTAA	SVVCLLNNEY	PREAKVQWKV	150
DNALQSGNSQ	ESVTEQDSKD	STYSLSSSLT	LSKADYEKHK	VYACEVTHQG	200
LSSPVTKFSN	RGECA				214

Post-translational modifications

Disulfide bridges location / Position des ponts disulfure / Posiciones de los puentes disulfuro
 Intra-H (C23-C104) 22-96 150-206 267-327 373-431

22"-96" 150"-206" 267"-327" 373"-431"

490-557 620-694

490"-557" 620"-694"

Intra-H scFv C120 (VL)-C49 (VH)* 571-642

571"-642"

Intra-L (C23-C104) 23"-88" 134"-194"

23"-88" 134"-194"

Inter-H-L (CH1 10-CL 126) 226-214" 226"-214"

Inter-H-H (h 8, h 11) 232-232" 235-235"

*engineered additional disulfide bond C120 (VL)-C49 (VH) to stabilize the scFv (variant scFv-v2).

N-glycosylation sites / Sites de N-glycosylation / Posiciones de N-glicosilación

H CH2 N84.4: 303, 303"
 Fucosylated complex bi-antennary CHO-type glycans / glycanes de type CHO bi-antennaires complexes fucosylés / glicanos de tipo CHÓ biantenarios complejos fucosilados.

trastuzumab pamirtecan

trastuzumab pamirtecan

immunoglobulin G1-kappa, anti-[*Homo sapiens* ERBB2 (receptor tyrosine-protein kinase erbB-2, epidermal growth factor receptor 2, EGFR2, HER2, HER-2, p185c-erbB2, NEU, CD340)], humanized monoclonal antibody, conjugated on an average of eight cysteinyln residues to *pamirtecan*, comprising a linker and a camptothecin derivative (*exatecan*);
 H-gamma1 heavy chain humanized (1-449) [VH (*Homo sapiens* IGHV3-66*01 (81.6%) -(IGHD) -IGHJ4*01 (100%), CDR-IMGT [8.8.13] (26-33.51-58.97-109)) (1-120) -*Homo sapiens* IGHG1*03v, G1m3>G1m17, nG1m1 CH1 K120, CH3 E12, M14 (CH1 R120>K (217) (121-218), hinge 1-15 (219-233), CH2 (234-343), CH3 E12 (359), M14 (361) (344-448), CHS K2>del (449)) (121-449)], (223-214")-disulfide with L-kappa light chain humanized (1'-214') [V-KAPPA (*Homo sapiens* IGKV1-39*01 (86.3%) -IGKJ1*01 (100%), CDR-IMGT [6.3.9] (27'-32'.50'-52'.89'-97')) (1'-107') -*Homo sapiens* IGKC*01 (100%) Km3 A45.1, V101 (C-KAPPA A45.1 (153'), V101 (191')) (108'-214')]; dimer (229-229":232-232")-bisdisulfide, produced in a cell line from Chinese hamster ovary (CHO) cells, derived from the cell line CHO-K1, glycoform alfa; substituted at the sulfur atoms of L-cysteinyln residues 223, 229, 232, 214", 223", 229", 232" and 214" with (3RS)-1-[(7S)-7-benzyl-1-[(1R,3R)-3-[(1S,9S)-9-ethyl-5-fluoro-9-hydroxy-4-methyl-10,13-dioxo-2,3,9,10,13,15-hexahydro-1*H*,12*H*-benzo[*d*]pyran-3',4':6,7]indolizino[1,2-*b*]quinolin-1-yl]carbamoyl}cyclobutyl]oxy}-3,6,9,12,15-pentaoxo-2,5,8,11,14-pentaazaicosan-20-yl]-2,5-dioxopyrrolidin-3-yl (*pamirtecan*) groups

trastuzumab pamirtécan	immunoglobuline G1-kappa, anti-[<i>Homo sapiens</i> ERBB2 (récepteur tyrosine-protéine kinase erbB-2, récepteur 2 du facteur de croissance épidermique, EGFR2, HER2, HER-2, p185c-erbB2, NEU, CD340)], anticorps monoclonal humanisé, anticorps monoclonal humanisé, conjugué par huit résidus cystéinylole en moyenne au <i>pamirtécan</i> , comprenant un linker et un dérivé de la camptothécine (<i>exatécan</i>): chaîne lourde H-gamma1 humanisé(1-449) [VH (<i>Homo sapiens</i> IGHV3-66*01 (81.6%) -(IGHD) -IGHJ4*01 (100%), CDR-IMGT [8.8.13] (26-33.51-58.97-109)) (1-120) - <i>Homo sapiens</i> IGHG1*03v, G1m3>G1m17, nG1m1 CH1 K120, CH3 E12, M14 (CH1 R120>K (217) (121-218), charnière 1-15 (219-233), CH2 (234-343), CH3 E12 (359), M14 (361) (344-448), CHS K2>del (449)) (121-449)], (223-214')-disulfure avec la chaîne légère L-kappa humanisée (1'-214') [V-KAPPA (<i>Homo sapiens</i> IGKV1-39*01 (86.3%) -IGKJ1*01 (100%), CDR-IMGT [6.3.9] (27'-32'.50'-52'.89'-97')) (1'-107') - <i>Homo sapiens</i> IGKC*01 (100%) Km3 A45.1, V101 (C-KAPPA A45.1 (153'), V101 (191')) (108'-214')]; dimère (229-229":232-232")-bisdisulfure, produit dans une lignée cellulaire des cellules ovaries de hamster chinois (CHO), dérivant de la lignée cellulaire CHO-K1, glycoforme alfa; substitué sur l'atome de soufre de résidus L-cystéinylole 223, 229, 232, 214', 223", 229", 232" et 214" avec un groupement (3RS)-1-[(7S)-7-benzyl-1-[(1R,3R)-3-[(1S,9S)-9-éthyl-5-fluoro-9-hydroxy-4-méthyl-10,13-dioxo-2,3,9,10,13,15-hexahydro-1H,12H-benzo[de]pyrano[3',4':6,7]indolizino[1,2-b]quinoléin-1-yl]carbamoyl]cyclobutyl]oxy]-3,6,9,12,15-pentaoxo-2,5,8,11,14-pentaazacosan-20-yl]-2,5-dioxopirrolidin-3-yle (<i>pamirtécan</i>)
trastuzumab pamirtecán	imunoglobulina G1-kappa, anti-[<i>Homo sapiens</i> ERBB2 (receptor tirosina-proteína kinasa erbB-2, receptor 2 del factor de crecimiento epidérmico, EGFR2, HER2, HER-2, p185c-erbB2, NEU, CD340)], anticuerpo monoclonal humanizado, conjugado por ocho residuos cisteinilo por término medio con <i>pamirtecán</i> , que comprende un enlace y un derivado de la camptotecina (<i>exatecán</i>): cadena pesada H-gamma1 humanizada (1-449) [VH (<i>Homo sapiens</i> IGHV3-66*01 (81.6%) -(IGHD) -IGHJ4*01 (100%), CDR-IMGT [8.8.13] (26-33.51-58.97-109)) (1-120) - <i>Homo sapiens</i> IGHG1*03v, G1m3>G1m17, nG1m1 CH1 K120, CH3 E12, M14 (CH1 R120>K (217) (121-218), bisagra 1-15 (219-233), CH2 (234-343), CH3 E12 (359), M14 (361) (344-448), CHS K2>del (449)) (121-449)], (223-214')-disulfuro con la cadena ligera L-kappa humanizada (1'-214') [V-KAPPA (<i>Homo sapiens</i> IGKV1-39*01 (86.3%) -IGKJ1*01 (100%), CDR-IMGT [6.3.9] (27'-32'.50'-52'.89'-97')) (1'-107') - <i>Homo sapiens</i> IGKC*01 (100%) Km3 A45.1, V101 (C-KAPPA A45.1 (153'), V101 (191')) (108'-214')]; dímero (229-229":232-232")-bisdisulfuro, producido en una línea celular de las células ováricas de hámster chino (CHO), línea celular derivada de CHO-K1, forma glicosilada alfa; sustituido en el átomo de azufre de residuos L-cisteinilo 223, 229, 232, 214', 223", 229", 232" y 214" con un grupo (3RS)-1-[(7S)-7-bencil-1-[(1R,3R)-3-[(1S,9S)-9-etyl-5-fluoro-9-hidroxi-4-metil-10,13-dioxo-2,3,9,10,13,15-hexahidro-1H,12H-benzo[de]pirano[3',4':6,7]indolizino[1,2-b]quinolein-1-yl]carbamoyl)ciclobutil]oxi]-3,6,9,12,15-pentaoxo-2,5,8,11,14-pentaazacosan-20-il]-2,5-dioxopirrolidin-3-ilo (<i>pamirtecán</i>)

Heavy chain / Chaîne lourde / Cadena pesada

EVQLVESGGG LVQPGGLRL SCAASGFNIK DTYIHWVRQA PGKGLEWVAR 50
 IYPTNGYTRY ADSVKGRFTI SADTSKNTAY LQMNLSRAED TAVYYCSRWG 100
 GDGFYAMDYW GQGTIVTVSS ASTKGPSVFP LAPSSKSTSG GTAALGLVKG 150
 DYFPEPVTVS WNSGALTSGV HTFPAVLQSS GLYSLSSVVT VPSSSLGQT 200
 YICVNHNKPS NTKVDKKVER KSCDKTHTCP PCPAPELLGG PSVFLFPKP 250
 KDTLMISRTP EVTCVVVDVS HEDPEVKFNW YVDGEVEHNA KTKPREEQYN 300
 STYRVVSVLT VLHQDWLNKG EYKCKVSNKA LPAPIEKTIS KAKGQPREPQ 350
 VYTLPSPSREE MTKNQVSLTC LVKGFYPSDI AWEWESNQD ENNYKTPPV 400
 LDSDGSFFLY SKLTDKSRW QQGNVFCSV MHEALHNHYT QKSLSLSPG 449

Light chain / Chaîne légère / Cadena ligera

DIQMKTQSPSS LSASVGDRVT ITCRASQDVN TAVAWYQQKP GKAPKLLIYS 50
 ASFLYSGVPS RFSGSRSGTD FTLTISSLQP EDFATYYCQQ HYTTPPTFGQ 100
 GTKVEIKRTV AAPSVFIFPP SDEQLKSGTA SVVCLLNFY PREAKVQWKV 150
 DNAIQSGNSQ ESVTEQDSKD STYSLSSLT LSKADYEKHK VYACEVTHQG 200
 LSSPVTKSFN RGE 214

Post-translational modifications

Disulfide bridges location / Position des ponts disulfure / Posiciones de los puentes disulfuro

Intra-H (C23-C104) 22-96 147-203 264-324 370-428

22"-96" 147"-203" 264"-324" 370"-428"

Intra-L (C23-C104) 23"-88" 134"-194"

23"-88" 134"-194"

Inter-H-L (h 5-CL 126) 223-214" 223"-214"

Inter-H-H (h 11, h 14)* 229-229" 232-232"

*The four inter-chain disulfide bridges are not present, an average of eight cysteinyl being conjugated each via a thioether bond to a drug linker.

*Les quatre ponts disulfures inter-châines ne sont pas présents, huit cystéinyl en moyenne étant chacun conjugué via une liaison thioéther à un linker-principe actif.

*Los cuatro puentes disulfuro inter-catenarios no están presentes, una media de ocho cisteínil está conjugada a conectorres de principio activo.

N-glycosylation sites / Sites de N-glycosylation / Posiciones de N-glicosilación

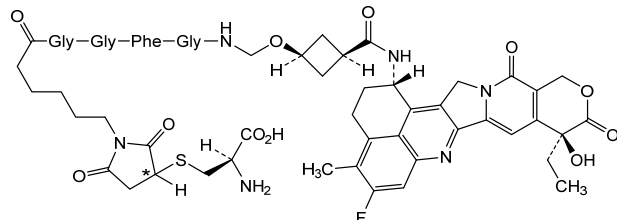
H CH2 N84.4: 300, 300"

Fucosylated complex bi-antennary CHO-type glycans / glycanes de tipo CHO bi-antennaires complexes fucosylés / glicanos de tipo CHO biantenarios complejos fucosilados

Modified residues / Résidus modifiés / Restos modificados

C (223, 229, 232, 214", 223", 229", 232", 214")

*(pamirtecan:mAb ~ 8:1)



trevotamig

trevotamig

immunoglobulin H-gamma1_L-kappa-scFvhl dimer bisdisulfide, anti-[*Homo sapiens*] EPCAM (epithelial cell adhesion molecule, tumor-associated calcium signal transducer 1, TACSTD1, gastrointestinal tumor-associated protein 2, GA733-2, epithelial glycoprotein 2, EGP-2, KSA, KS1/4 antigen, M4S1, tumor antigen 17-1A, Ep-CAM, EpCAM, CD326]) and scFv anti-[*Homo sapiens*] CD3E (CD3 epsilon, Leu-4]) humanized and chimeric monoclonal antibody, bispecific, tetravalent; H-gamma1 heavy chain anti-EPCAM humanized (1-447) [VH (*Homo sapiens*IGHV3-15*07 (74.5%) -(IGHD) -IGHJ1*01 (85.7%), CDR-IMGT [8.8.11] (26-33.51-58.97-107)) (1-118)-*Homo sapiens*IGHG1*01 G1m17,1 CH1 K120, CH3 D12, L14, G1v36 CH2 Q84.4 (CH1 K120 (215) (119-216), hinge 1-15 (217-231), CH2 N84.4>Q (298)(232-341), CH3 D12 (357), L14 (359) (342-446), CHS K2>del (447)) (119-447)]; (221-212')-disulfide with

L-kappa light chain anti-EPCAM humanized fused to a scFv anti-CD3E chimeric ('1'-419') [L-KAPPA anti-EPCAM humanized ('1'-212') [V-KAPPA (*Homo sapiens* IGKV1-39*01 (82.2%) -IGKJ1*01 (100%), CDR-IMGT [5.3.8] (27'-31'.49'-51'.88'-95')) ('1'-105') -*Homo sapiens* IGKC*01 (100%) Km3 A45.1, V101 (C-KAPPA A45.1 (151'), V101 (189')) (106'-212')] -7-mer (seryl-arginylin-seryl-tetraglycyl) linker (213'-219') -scFvhl anti-CD3E chimeric (220'-419') [VH Musmus/Homsap (*Mus musculus* IGHV10-1*04 (92.0%) -IGHD -IGHJ3*01 (92.3%) A128>S (344')/*Homo sapiens* IGHV3-72*01 (85.0%) -IGKJ6*01 (90.9%) T123>L (339'), CDR-IMGT [8.10.16] (245'-252'.270'-279'.318'-333')] (220'-344') -14-mer tetrakis(diglycyl-seryl)-diglycyl linker (345'-358') -V-LAMBDA Musmus/Homsap (*Mus musculus* IGLV1*01 (79.2%) -IGLJ1*01 (100%)/*Homo sapiens* IGLV7-46*01 (76.8%) -IGLJ3*02 (100%), CDR-IMGT [9.3.9] (384'-392'.410'-412'.449'-457')) (359'-469')]; dimer (227-227":230-230")-bisdisulfide, produced in Chinese hamster ovary (CHO) cells, derived from the cell line CHO-K1, lacking the glutamine synthetase (GS-KO) gene, non-glycosylated

trévoltamig

immunoglobuline H-gamma1_L-kappa-scFvhl dimère bisdisulfure, anti-[*Homo sapiens* EPCAM (molécule d'adhésion des cellules épithéliales, transducteur 1 du signal calcium associé aux tumeurs, TACSTD1, protéine 2 associée aux tumeurs gastrointestinales, GA733-2, glycoprotéine épithéliale 2, EGP-2, KSA, antigène KS1/4, M4S1, antigène tumoral 17-1A, Ep-CAM, EpCAM, CD326) et scFv anti-[*Homo sapiens* CD3E (CD3 epsilon, Leu-4)], anticorps monoclonal humanisé et chimérique, bispécifique, tétravalent; chaîne lourde H-gamma1 anti-EPCAM humanisée (1-447) [VH (*Homo sapiens* IGHV3-15*07 (74.5%) -(IGHD) -IGHJ1*01 (85.7%), CDR-IMGT [8.8.11] (26-33.51-58.97-107)) (1-118)-*Homo sapiens* IGHG1*01 G1m17.1 CH1 K120, CH3 D12, L14, G1v36 CH2 Q84.4 (CH1 K120 (215) (119-216), charnière 1-15 (217-231), CH2 N84.4>Q (298) (232-341), CH3 D12 (357), L14 (359) (342-446), CHS K2>del (447)) (119-447)]; (221-212')-disulfure avec la chaîne légère L-kappa anti-EPCAM humanisée fusionnée à un scFv anti-CD3E chimérique ('1'-419') [L-KAPPA anti-EPCAM humanisée ('1'-212') [V-KAPPA (*Homo sapiens* IGKV1-39*01 (82.2%) -IGKJ1*01 (100%), CDR-IMGT [5.3.8] (27'-31'.49'-51'.88'-95')) ('1'-105') -*Homo sapiens* IGKC*01 (100%) Km3 A45.1, V101 (C-KAPPA A45.1 (151'), V101 (189')) (106'-212')] -7-mer (seryl-arginylin-seryl-tetraglycyl) linker (213'-219') -scFvhl anti-CD3E chimérique (220'-419') [VH Musmus/Homsap (*Mus musculus* IGHV10-1*04 (92.0%) -IGHD -IGHJ3*01 (92.3%) A128>S (344')/*Homo sapiens* IGHV3-72*01 (85.0%) -IGKJ6*01 (90.9%) T123>L (339'), CDR-IMGT [8.10.16] (245'-252'.270'-279'.318'-333')] (220'-344') -14-mer tetrakis(diglycyl-seryl)-diglycyl linker (345'-358') -V-LAMBDA Musmus/Homsap (*Mus musculus* IGLV1*01 (79.2%) -IGLJ1*01 (100%)/*Homo sapiens* IGLV7-46*01 (76.8%) -IGLJ3*02 (100%), CDR-IMGT [9.3.9] (384'-392'.410'-412'.449'-457')) (359'-469')]; dimère (227-227":230-230")-bisdisulfure, produit dans des cellules ovariennes de hamster chinois (CHO), dérivant de la lignée cellulaire CHO-K1, ne présentant pas le gène de la glutamine synthétase (GS-KO), non-glycosylé

trevotamig

inmunoglobulina H-gamma1_L-kappa-scFvhl dímero bisdisulfuro, anti-[*Homo sapiens* EPCAM (molécula de adhesión de las células epiteliales, transductor 1 de señal calcio asociada a los tumores, TACSTD1, proteína 2 asociada a los tumores gastrointestinales, GA733-2, glicoproteína epitelial 2, EGP-2, KSA, antígeno KS1/4, M4S1, antígeno tumoral 17-1A, Ep-CAM, EpCAM, CD326) y scFv anti-[*Homo sapiens* CD3E (CD3 épsilon, Leu-4)], anticuerpo monoclonal humanizado y quimérico, biespecífico, tetravalente; cadena pesada H-gamma1 anti-EPCAM humanizada (1-447) [VH (*Homo sapiens* IGHV3-15'*07 (74.5%) -(IGHD) -IGHJ1*01 (85.7%), CDR-IMGT [8.8.11] (26-33.51-58.97-107)) (1-118)-*Homo sapiens* IGHG1*01 G1m17,1 CH1 K120, CH3 D12, L14, G1v36 CH2 Q84.4 (CH1 K120 (215) (119-216), bisagra 1-15 (217-231), CH2 N84.4>Q (298) (232-341), CH3 D12 (357), L14 (359) (342-446), CHS K2>del (447)) (119-447)]; (221-212')-disulfuro con la cadena ligera L-kappa anti-EPCAM humanizada fusionada a un scFv anti-CD3E quimérico (1'-419') [L-KAPPA anti-EPCAM humanizada (1'-212') [V-KAPPA (*Homo sapiens* IGKV1-39'*01 (82.2%) -IGKJ1*01 (100%), CDR-IMGT [5.3.8] (27'-31'.49'-51'.88'-95')) (1'-105') -*Homo sapiens* IGKC*01 (100%) Km3 A45.1, V101 (C-KAPPA A45.1 (151'), V101 (189')) (106'-212')] -7-mer (seril-arginil-seril-tetraglicil) linker (213'-219') -scFvhl anti-CD3E quimérico (220'-419') [VH Musmus/Homsap (*Mus musculus* IGHV10-1*04 (92.0%) -IGHD -IGHJ3*01 (92.3%) A128>S (344')/*Homo sapiens* IGHV3-72'*01 (85.0%) -IGKJ6*01 (90.9%) T123>L (339'), CDR-IMGT [8.10.16] (245'-252'.270'-279'.318'-333')) (220'-344') -14-mer tetrakis(diglicil-seril)-diglicil linker (345'-358') -V-LAMBDA Musmus/Homsap (*Mus musculus* IGLV1*01 (79.2%) -IGLJ1*01 (100%)/*Homo sapiens* IGLV7-46'*01 (76.8%) -IGLJ3*02 (100%), CDR-IMGT [9.3.9] (384'-392'.410'-412'.449'-457')) (359'-469')]; dímero (227-227"-230-230")-bisdisulfuro, producido en las células ováricas de hámster chino (CHO), línea celular derivada de CHO-K1, en ausencia del gen glutamina sintetasa (GS-KO), no glicosilado

Heavy chain / Chaîne lourde / Cadena pesada : H-gamma1 anti-EPCAM (H, H'')
EVQLVESGGGV LVQPGGSLRL SCAASGYTFT SYNMHHWIRQS PSRGLEWLGY 50
IRPSTGYTEY NQKFKDRFTI SRDDSKNTAY LQMNSLKTED TAVYYCGRGD 100
NWVGFKNWGGQ GTLVTVSSAS TKGSPVFPLA PSSKSTSGGT AALGCLVKDY 150
FPEPVTVSNW SGALTSGVHT FPAVLQSSGL YSSLSSVVTVP SSSLGQTQYI 200
CNVNHKPSNT KVDKTKVEPKS CDKTHTCPPC PAPELLGGPS VFLLFPKPKD 250
TLMISRTPEV TCVVVVDVSHE DPEVKFNWYV DGVEVHNAKT KPREEQYQST 300
YRVVSVLTVEL HQDWLNGKEY KCKVSNKALP APIEKTISKA KGQPREPQVY 350
TLPPPSRDELT KNQVSLTCLV KGFYPSDIAV EWESNGQPEEN NYKTPPVLD 400
SDGSFFLYSK LTVDKSRWQQ GNVFSCSVMH EALHNHYTQK SLSLSPG 447

Light chain / Chaîne légère / Cadena ligera: L-kappa anti-EPCAM -scFvhk anti-CD3E (L', L'')
DIQMTQSPSS LSASVGDRVT ITCSASSSIS YMHWYQQKPG QAPRLLIYST 50
SNLASGVPSR FSGSGSGTDF TFTISSLAEAE DAATYYCHQW STYHTFGGQT 100
KVEIKRTVAA PSVFTIFPPSD EQLKSGTASV VCLNNNFYPR EAIVQWKVDN 150
AQSGNNSQES VTEQDSKSTD YSLSSLTLS KADYEKHKVY ACEVTHQGLS 200
SPVTKSFNRG ECSRSGGGE VQLVESGGGL VQPGGSLRSL CAASGFTFNT 250
YAMNNWRQAP GKGGLEWARI RSKYNNNATY YADSVKDRFT ISRDSKNSL 300
YLQMNLSLKTET DTAVYYCVRH SNFGNSKWSV FAYWGQGTIV TVSSGGSGGS 350
GGSGGGSGGQA VVTQEPESLTV SPGGTVTLC RSSAGAVTTTS NYDNWVQQKP 400
GQAPRGLIGG TNKRAPWTPA RFSGSLLGGK AALTITGAQA EDEADYYCAL 450
WYSNLWVFGG GTKLTVLSR 469

Post-translational modifications

Disulfide bridges location / Position des ponts disulfure / Posiciones de los puentes disulfuro
Intra-H (C23-C104) 22-96 145-201 262-322 368-426
22"-96" 145"-201" 262"-322" 368"-426"
Intra-L (C23-C104) 23"-87" 132"-192" 241"-317" 380"-448"
23"-87" 132"-192" 241"-317" 380"-448"
Inter-H-L (h 5-CL 126) 221-212" 221"-212"
Inter-H-H (h 11, h 14) 227-227" 230-230"

No N-glycosylation sites / pas de sites de N-glycosylation / ningùm posición de N-glicosilación
H CH2 N84.4>Q (G1v36): 298, 298"

turenkibartum #

turenkibart

immunoglobulin G1-kappa, anti-[*Homo sapiens* IL17A (Interleukin 17A, IL-17), humanized monoclonal antibody;
 H-gamma1 heavy chain humanized (1-448) [VH (*Homo sapiens* IGHV1-69-2*01 (86.5%) -(IGHD) -IGHJ4*01 (100%), CDR-IMGT [8.8.11] (26-33.51-58.97-107)) (1-118) -*Homo sapiens* IGHG1*01, G1m17,1 CH1 K120, CH3 D12, L14, G1v78 CH3 L107, A114 (CH1 K120 (215) (119-216), hinge 1-15 (217-231), CH2 (232-341), CH3 D12 (357), L14 (359), M107>L (429), N114>A (435) (342-446), CHS (447-448)) (119-448)], (221-220')-disulfide with L-kappa light chain humanized (1'-220') [V-KAPPA (*Homo sapiens* IGKV4-1*01 (90.1%) -IGKJ3*01 (100%), CDR-IMGT [12.3.9] (27'-38'.56'-58'.95'-103')) (1'-113') -*Homo sapiens* IGKC*01 (100%) Km3 A45.1, V101 (C-KAPPA A45.1 (159'), V101 (197')) (114'-220')]; dimer (227-227":230-230")-bisdisulfide, produced in Chinese hamster ovary (CHO) cells, glycoform alfa

turenkibart

immunoglobuline G1-kappa, anti-[*Homo sapiens* IL17A (interleukine 17A, IL-17)]; anticorps monoclonal humanisé;
 chaîne lourde H-gamma1 humanisée (1-448) [VH (*Homo sapiens* IGHV1-69-2*01 (86.5%) -(IGHD) -IGHJ4*01 (100%), CDR-IMGT [8.8.11] (26-33.51-58.97-107)) (1-118) -*Homo sapiens* IGHG1*01, G1m17,1 CH1 K120, CH3 D12, L14, G1v78 CH3 L107, A114 (CH1 K120 (215) (119-216), charnière 1-15 (217-231), CH2 (232-341), CH3 D12 (357), L14 (359), M107>L (429), N114>A (435) (342-446), CHS (447-448)) (119-448)], (221-220')-disulfure avec la chaîne légère L-kappa humanisée (1'-220') [V-KAPPA (*Homo sapiens* IGKV4-1*01 (90.1%) -IGKJ3*01 (100%), CDR-IMGT [12.3.9] (27'-38'.56'-58'.95'-103')) (1'-113') -*Homo sapiens* IGKC*01 (100%) Km3 A45.1, V101 (C-KAPPA A45.1 (159'), V101 (197')) (114'-220')]; dimère (227-227":230-230")-bisdisulfure, produit dans des cellules ovarianes de hamster chinois (CHO), glycoforme alfa

turenkibart

inmunoglobulina G1-kappa, anti-[*Homo sapiens* IL17A (interleukina 17A, IL-17)]; anticuerpo monoclonal humanizado;
 cadena pesada H-gamma1 humanizada (1-448) [VH (*Homo sapiens* IGHV1-69-2*01 (86.5%) -(IGHD) -IGHJ4*01 (100%), CDR-IMGT [8.8.11] (26-33.51-58.97-107)) (1-118) -*Homo sapiens* IGHG1*01, G1m17,1 CH1 K120, CH3 D12, L14, G1v78 CH3 L107, A114 (CH1 K120 (215) (119-216), bisagra 1-15 (217-231), CH2 (232-341), CH3 D12 (357), L14 (359), M107>L (429), N114>A (435) (342-446), CHS (447-448)) (119-448)], (221-220')-disulfuro con la cadena ligera L-kappa humanizada (1'-220') [V-KAPPA (*Homo sapiens* IGKV4-1*01 (90.1%) -IGKJ3*01 (100%), CDR-IMGT [12.3.9] (27'-38'.56'-58'.95'-103')) (1'-113') -*Homo sapiens* IGKC*01 (100%) Km3 A45.1, V101 (C-KAPPA A45.1 (159'), V101 (197')) (114'-220')]; dímero (227-227":230-230")-bisdisulfuro, producido en las células ováricas de hámster chino (CHO), forma glicosilada alfa

Heavy chain / Chaîne lourde / Cadena pesada

EVQLVQSGAE	VKKPGATVKI	SCKASGYIFT	DYEMHWVQQA	PGHGLEWMGV	50
IHPGGGGTAY	NQKFKGRVTI	TADTSTDAY	MELSSLRSED	TAVYYCTRGD	100
HDGRTDYWQQ	GTLTVTVSSAS	TKGPSVFFLA	PSSKSTSGT	AALGCLVKDY	150
FPEPVTVSWN	SGALTSGVHT	FPAVLQSSGL	YSLSSVVTVP	SSSLGTQTYI	200
CNVNHPKPSNT	KVDKKVEPKS	CDKTHTCPC	PAPELLGGPS	VFLFPKKPKD	250
TLMISRTEPV	TCVVVVDVSHE	DPEVKFNWYV	DGVEVHNAKT	KPREEQYNST	300
YRVSVLTVEL	HQDWLNGKEY	KCKVSNKALP	APIEKTISKA	KGQPREGQVY	350
LTPLPSRDELT	KNQVSLTCLV	KGFYPSDIAV	EWESENQOPEN	NYKTTTPVLD	400
SDGSFFLYSK	LTVDKSRWQQ	GNVFSCSVLH	EALHAHYTQK	SLSLSPGK	448

Light chain / Chaîne légère / Cadena ligera

DIVMTQSPDS	LAWSLGERAT	INCKSSQSLL	NRSNQKNYLA	WYQQKPGQPP	50
KLLVDFASTR	ESGVPDFRFSQ	SGSGTDFTLT	ISSLQAEQDV	VYFCQQHYTT	100
PFTFGPGTKV	DIKRTVAAFPS	VFIFPPSDEQ	LKGSTASVVC	LLNNFYPREA	150
KVQWKVDNAL	QSGNSQESVT	EQDSKDSTYS	LSSTLTLASKA	DYEHKHVYAC	200
EVTHQGLSSP	VTKSFSNRGEC				220

Post-translational modifications

Disulfide bridges location / Position des ponts disulfure / Posiciones de los puentes disulfuro
Intra-H (C23-C104) 22-96 145-201 262-322 368-426

22"-96" 145"-201" 262"-322" 368"-426"

Intra-L (C23-C104) 23"-94' 140"-200'

23""-94" 140""-200""

Inter-H-L (h 5-CL 126) 221-220" 221"-220"

Inter-H-H (h 11, h 14) 227-227" 230-230"

N-glycosylation sites / Sites de N-glycosylation / Posiciones de N-glicosilación

H CH2 N84.4: 298, 298'
Fucosylated complex bi-antennary CHO-type glycans / glycanes de type CHO bi-antennaires complexes fucosylés / glicanos de tipo CHO biantenarios complejos fucosilados

C-terminal lysine clipping / Coupe de la lysine C-terminale / Recorte de lisina C-terminal
H CHS K2: 448, 448"

ulacamtenum

ulacamten

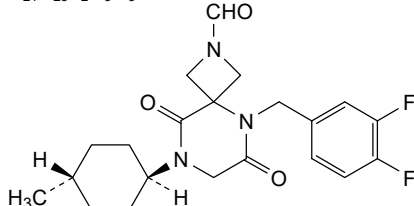
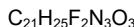
5-[(3,4-difluorophenyl)methyl]-8-[(1*r*,4*r*)-4-methylcyclohexyl]-
6,9-dioxo-2,5,8-triazaspiro[3.5]nonane-2-carbaldehyde

ulacamtène

5-[(3,4-difluorophényle)méthyl]-8-[(1*r*,4*r*)-4-méthylcyclohexyl]-
6,9-dioxo-2,5,8-triazaspiro[3.5]nonane-2-carbaldéhyde

ulacamténe

5-[(3,4-difluorofenil)metil]-8-[(1*r*,4*r*)-4-metilciclohexil]-6,9-dioxo-
2,5,8-triazaespiro[3.5]nonano-2-carbaldehido



utigamglobenum autogedtemcelum

utigamglobene autogedtemcel

autologous CD34+ hematopoietic stem and progenitor cells (HSPCs) derived from apheresis peripheral blood collection of transfusion dependent β-thalassemia patients, genetically modified at the +58 erythroid specific enhancer region of the *BCL11A* gene by CRISPR/Cas9 (Clustered Regularly Interspaced Short Palindromic Repeats/CRISPR-associated protein 9) gene editing. The *Streptococcus pyogenes* Cas9 protein (spCas9) and gRNA are electroporated into the cells as a ribonucleoprotein (RNP) complex. The spCas9 sequence is appended on the N-terminus to include a Myc-like nuclear localisation signal (NLS) and appended on the C terminus to include NLS sequences derived from simian virus 40 (SV40) and nucleoplasmin.

The cell suspension was enriched in CD34+ cells using immunomagnetic microbeads, gene-edited and then cultured in the presence of media containing FMS-like tyrosine kinase 3 ligand (Flt-3L), thrombopoietin (TPO) and stem cell factor (SCF). The final substance contains ≥70% CD34+ cells

utigamglogène autogedtemcel

cellules souches et progénitrices hématopoïétiques CD34+ autologues (HSPC) dérivées d'un prélèvement de sang périphérique, par aphérèse, chez des patients atteints de β-talassémie dépendants de transfusions, modifiées génétiquement au niveau du site +58 de l'amplificateur spécifique aux érythroïdes du gène *BCL11* par édition génique à l'aide de CRISPR/Cas9 (répétitions palindromiques courtes régulièrement espacées/protéine associée à CRISPR 9). La protéine Cas9 et l'ARN guide (ARNg) de *Streptococcus pyogenes* (spCas9) sont introduits dans les cellules par électroporation sous forme d'un complexe ribonucléoprotéique (RNP). La séquence spCas9 comporte un signal de localisation nucléaire (NLS) de type Myc en position N-terminale et des séquences NLS dérivées du virus simien 40 (SV40) et de la nucléoplasmine en position C-terminale. La suspension cellulaire a été enrichie en cellules CD34+ à l'aide de microbilles immunomagnétiques, modifiées génétiquement, puis cultivées en présence d'un milieu contenant un ligand de tyrosine kinase 3 de type FMS (Flt-3L), la thrombopoïétine, et le facteur de croissance des cellules souches (FCS). Le produit final contient ≥70% de cellules CD34+

utigamglogén autogedtemcel

células madre y progenitoras hematopoyéticas (HSPC) CD34+ autólogas, derivadas de aféresis de sangre periférica obtenidas de pacientes con β-talasemia dependiente de transfusión, modificadas genéticamente en el sitio +58 de la región potenciadora específica de eritrocitos del gen *BCL11A* mediante edición génica con CRISPR/Cas9 (repeticiones palindrómicas agrupadas y espaciadas regularmente/proteína asociada a CRISPR 9). La proteína Cas9 de *Streptococcus pyogenes* (spCas9) y el ARN guía (ARNg) se electroporan en las células como complejos ribonucleoproteicos (RNP). La secuencia de spCas9 lleva anexada en la posición N-terminal una señal de localización nuclear (NLS) similar a Myc y en la posición C-terminal secuencias NLS derivadas del virus de simio 40 (SV40) y nucleoplasmina.

La suspensión celular se enriqueció en células CD34+ usando microbolas inmunomagnéticas, se editaron genéticamente y después se cultivaron en presencia de medio que contiene ligando de tirosina quinasa 3 similar a FMS (Flt-3L), trombopoyetina (TPO) y factor de células madre (SCF). La substancia contiene ≥70% de células CD34+

velinotamigum #

velinotamig

immunoglobulin H-gamma1_L-kappa/H-gamma1_L-kappa, anti-[*Homo sapiens* CD3E (CD3 epsilon, Leu-4)] and anti-[*Homo sapiens* TNFRSF17 (tumor necrosis factor (TNF) receptor superfamily member 17, B cell maturation antigen, BCMA, TNFRSF13A, CD269)], *Homo sapiens* monoclonal antibody, bispecific; H-gamma1 heavy chain anti-CD3E *Homo sapiens* (1-445) [VH (*Homo sapiens*IGHV3-33*01 (94.9%) -(IGHD) -IGHJ2*01 (88.2%), CDR-IMGT [8.8.11] (26-33.51-58.97-107)) (1-118) -*Homo sapiens*IGHG1*03 G1m3, nG1m1 CH1 R120, CH3 E12, M14, G1v39 CH2 F1.3, E1.2, S116, G1v74 CH3 C10, G1v32 CH3 W22 (knob) (CH1 R120 (215) (119-216), hinge 1-12 P2>R (218), DKTHT 6-10 > VE (222, 223) (217-228), CH2 L1.3>F (232), L1.2>E (233), P116>S (329) (229-338), CH3 S10>C (352), E12 (354), M14 (356), T22>W (364) (339-443), CHS (444-445)) (119-445)], (221-214')-disulfide with common L-kappa light chain *Homo sapiens* (1'-214') [V-KAPPA (*Homo sapiens*IGKV1-39*01 (90.5%) -IGKJ1*01 (100%), CDR-IMGT [6.3.9] (27'-32'.50'-52'.89'-97')) (1'-107') -*Homo sapiens*IGKC*01 (100%) Km3 A45.1, V101 (C-KAPPA A45.1 (153'), V101 (191')) (108'-214')]; H-gamma1 heavy chain anti-TNFRSF17 *Homo sapiens* (1"-448") [VH (*Homo sapiens*IGHV1-3*01 (81.6%) -(IGHD) -IGHJ4*01 (85.7%) L123>T (116"), CDR-IMGT [8.8.14] (26"-33".51"-58".97"-110")) (1"-121") -*Homo sapiens*IGHG1*03 noG1m3, nG1m1 CH1 T120, CH3 E12, M14, G1v39 CH2 F1.3, E1.2, S116, G1v75 CH3 C5, G1v33 CH3 S22, A24, V86 (hole) (CH1 G16>E (141"), N107>D (207"), R120>T (218") (122"-219"), hinge 1-12 P2>R (221"), DKTHT 6-10 > VE (225", 226") (220"-231"), CH2 L1.3>F (235"), L1.2>E (236"), H30>Q (269"), K38>Q (275"), P116>S (332") (232"-341"), CH3 Y5>C (350"), R11>Q (356"), E12 (357"), M14 (359"), T22>S (367"), L24>A (369"), Y86>V (408"), Q98>E (420") (342"-446"), CHS (447"-448")) (122"-448")], (224"-214")-disulfide with common L-kappa light chain *Homo sapiens* (1"-214") [V-KAPPA (*Homo sapiens*IGKV1-39*01 (90.5%) -IGKJ1*01 (100%), CDR-IMGT [6.3.9] (27"-32".50"-52".89"-97")) (1"-107") -*Homo sapiens*IGKC*01 (100%) Km3 A45.1, V101 (C-KAPPA A45.1 (153"), V101 (191")) (108"-214")]; dimer (224-227":227-230":352-350")-trisdisulfide, produced in Chinese hamster ovary (CHO) cells, glycoform alfa

vélinotamig

immunoglobuline H-gamma1_L-kappa/H-gamma1_L-kappa, anti-[*Homo sapiens* CD3E (CD3 epsilon, Leu-4)] et anti-[*Homo sapiens* TNFRSF17 (membre 17 de la superfamille des récepteurs du facteur de nécrose tumorale (TNF), antigène de maturation de cellule B, BCMA, TNFRSF13A, CD269)], anticorps monoclonal *Homo sapiens*, bispécifique; chaîne lourde H-gamma1 anti-CD3E *Homo sapiens* (1-445) [VH (*Homo sapiens*IGHV3-33*01 (94.9%) -(IGHD) -IGHJ2*01 (88.2%), CDR-IMGT [8.8.11] (26-33.51-58.97-107)) (1-118) -*Homo sapiens*IGHG1*03 G1m3, nG1m1 CH1 R120, CH3 E12, M14, G1v39 CH2 F1.3, E1.2, S116, G1v74 CH3 C10, G1v32 CH3 W22 (knob) (CH1 R120 (215) (119-216), charnière 1-12 P2>R (218), DKTHT 6-10 > VE (222, 223) (217-228), CH2 L1.3>F (232), L1.2>E (233), P116>S (329) (229-338), CH3 S10>C (352), E12 (354), M14 (356), T22>W (364) (339-443), CHS (444-445)) (119-445)], (221-214')-disulfure avec la chaîne légère L-kappa *Homo sapiens* commune (1'-214') [V-KAPPA (*Homo sapiens*IGKV1-39*01 (90.5%) -IGKJ1*01 (100%), CDR-IMGT [6.3.9] (27'-32'.50'-52'.89'-97')) (1'-107') -*Homo sapiens*IGKC*01 (100%) Km3 A45.1, V101 (C-KAPPA A45.1 (153'), V101 (191')) (108'-214')];

chaîne lourde H-gamma1 anti-TNFRSF17 *Homo sapiens* (1"-448") [VH (*Homo sapiens* IGHV1-3*01 (81.6%) -(IGHD) -IGHJ4*01 (85.7%) L123>T (116"), CDR-IMGT [8.8.14] (26"-33".51"-58".97"-110")) (1"-121") -*Homo sapiens* IGHG1*03 noG1m3, nG1m1 CH1 T120, CH3 E12, M14, G1v39 CH2 F1.3, E1.2, S116, G1v75 CH3 C5, G1v33 CH3 S22, A24, V86 (hole) (CH1 G16>E (141"), N107>D (207"), R120>T (218") (122"-219"), charnière 1-12 P2>R (221"), DKTHT 6-10 > VE (225", 226") (220"-231"), CH2 L1.3>F (235"), L1.2>E (236"), H30>Q (269"), K38>Q (275"), P116>S (332") (232"-341"), CH3 Y5>C (350"), R11>Q (356"), E12 (357"), M14 (359"), T22>S (367"), L24>A (369"), Y86>V (408"), Q98>E (420") (342"-446"), CHS (447"-448")) (122"-448")], (224"-214")-disulfure avec la chaîne légère L-kappa *Homo sapiens* commune (1"-214") [V-KAPPA (*Homo sapiens* IGKV1-39*01 (90.5%) -IGKJ1*01 (100%), CDR-IMGT [6.3.9] (27"-32".50"-52".89"-97")) (1"-107") -*Homo sapiens* IGKC*01 (100%) Km3 A45.1, V101 (C-KAPPA A45.1 (153"), V101 (191")) (108"-214")]; dimère (224-227":227-230":352-350")-tridisulfure, produit dans des cellules ovarianes de hamster chinois (CHO), glycoforme alfa

velinotamig

inmunoglobulina H-gamma1_L-kappa/H-gamma1_L-kappa, anti-[*Homo sapiens* CD3E (CD3 épsilon, Leu-4)] y anti-[*Homo sapiens* TNFRSF17 (miembro 17 de la superfamilia de los receptores del factor de necrosis tumoral (TNF), antígeno de maduración de células B, BCMA, TNFRSF13A, CD269)], anticuerpo monoclonal *Homo sapiens*, biespecífico; cadena pesada H-gamma1 anti-CD3E *Homo sapiens* (1-445) [VH (*Homo sapiens* IGHV3-33*01 (94.9%) -(IGHD) -IGHJ2*01 (88.2%), CDR-IMGT [8.8.11] (26-33.51-58.97-107)) (1-118) -*Homo sapiens* IGHG1*03 G1m3, nG1m1 CH1 R120, CH3 E12, M14, G1v39 CH2 F1.3, E1.2, S116, G1v74 CH3 C10, G1v32 CH3 W22 (knob) (CH1 R120 (215) (119-216), bisagra 1-12 P2>R (218), DKTHT 6-10 > VE (222, 223) (217-228), CH2 L1.3>F (232), L1.2>E (233), P116>S (329) (229-338), CH3 S10>C (352), E12 (354), M14 (356), T22>W (364) (339-443), CHS (444-445)) (119-445")], (221-214")-disulfuro con la cadena ligera L-kappa *Homo sapiens* común (1"-214") [V-KAPPA (*Homo sapiens* IGKV1-39*01 (90.5%) -IGKJ1*01 (100%), CDR-IMGT [6.3.9] (27"-32".50"-52".89"-97")) (1"-107") -*Homo sapiens* IGKC*01 (100%) Km3 A45.1, V101 (C-KAPPA A45.1 (153'), V101 (191')) (108"-214")]; cadena pesada H-gamma1 anti-TNFRSF17 *Homo sapiens* (1"-448") [VH (*Homo sapiens* IGHV1-3*01 (81.6%) -(IGHD) -IGHJ4*01 (85.7%) L123>T (116"), CDR-IMGT [8.8.14] (26"-33".51"-58".97"-110")) (1"-121") -*Homo sapiens* IGHG1*03 noG1m3, nG1m1 CH1 T120, CH3 E12, M14, G1v39 CH2 F1.3, E1.2, S116, G1v75 CH3 C5, G1v33 CH3 S22, A24, V86 (hole) (CH1 G16>E (141"), N107>D (207"), R120>T (218") (122"-219"), bisagra 1-12 P2>R (221"), DKTHT 6-10 > VE (225", 226") (220"-231"), CH2 L1.3>F (235"), L1.2>E (236"), H30>Q (269"), K38>Q (275"), P116>S (332") (232"-341"), CH3 Y5>C (350"), R11>Q (356"), E12 (357"), M14 (359"), T22>S (367"), L24>A (369"), Y86>V (408"), Q98>E (420") (342"-446"), CHS (447"-448")) (122"-448")], (224"-214")-disulfuro con la cadena ligera L-kappa *Homo sapiens* común (1"-214") [V-KAPPA (*Homo sapiens* IGKV1-39*01 (90.5%) -IGKJ1*01 (100%), CDR-IMGT [6.3.9] (27"-32".50"-52".89"-97")) (1"-107") -*Homo sapiens* IGKC*01 (100%) Km3 A45.1, V101 (C-KAPPA A45.1 (153'), V101 (191')) (108"-214")]; dímero (224-227":227-230":352-350")-tridisulfuro, producido en las células ováricas de hamster chino (CHO), forma glicosilada alfa

Heavy chain / Chaîne lourde / Cadena pesada: H-gamma1 anti-CD3E (knob) (H)
 QVQLVESGGG VVQPGGRSLRL SCAASGFKFS GYGMHWVRQA PGKGLEWAV 50
 IWFQDGSRKYY VDSVKGRFTI SRDNDSKNTLY LQMNSLRAED TAVYYCARQM 100
 GWXHFGLNGR GTLTVTSSAS TKGPSVPFLA PSSKSTSGGT AALGCLVKDY 150
 FPEPVTVWSNR SGALTSGVHT FPAVLQSSGL YSLSVVTVP SSSLGQTQYI 200
 CNVNHKPSNT KVDKRVERKS CVECPCCPAP EFEPPGPVFL FPPKPKDLM 250
 ISRTPEVTCV VVDDVSHEDEP VFKNWYDVGV EVHNAKTKEP EEQQNSTYRV 300
 VSVLTVLQD WLNGKEYKCK VSNKALPASI EKTISAKAQQ PREFQVYTLPL 350
 PCREEMTKNQ VSLWCLVKGF YPSDIAVEWE SNGQFENNYK TTFFVLDSDG 400
 SFFLYSKLTV DKSRWQQGNV FSCSVMHEAL HHNYTQKSLS LSPGK 445

Heavy chain / Chaîne lourde / Cadena pesada: H-gamma1 anti-TNFRSF17 (hole) (H')
 QVQLVQSGAE VKKPGSSVKV SCKASGKFS NYWMHWVRQA PGQGLEWMGA 50
 TYRGHSDTYY NQKFKGRVTI TADKSTSTAY MELSSLRSED TAVYYCTRGA 100
 VYAGYGVLDY WGQGTTVTVS SASTKGPSVF PLAPSSKSTS EGTAALGCLIV 150
 KDYFPEPVTV SWNSGALTSG VHTFPFAVLQS SGLYSSLSVV TVPSSSLGTQ 200
 TYICNVDHKP SNTRKVDTVE RKSCKVECPVC PAPEFEGGPPS VFLLPPPKPD 250
 TLIMSRTPEV TCVVVVDVSQE DPEVQFNWYV DGVEVHNAKT KPREEQVNST 300
 YRVSVSLTVL HQDWLNGKEY KCKVSNKALP ASIEKTISKA KGQFREFQVC 350
 TLIPPSQEEMT KNQVSLSCAV KGFPYPSDIAV EWESNQOPEN NYKTTPFVLD 400
 SDGSFLVLSK LTVDKSRWQEQ GNVFSCSVMH EALHHNYTQK SLSLSPGK 448

Light chain / Chaîne légère / Cadena ligera: L-kappa common (L', L'')
 D1QMTQSPSS LSASVGDRVT ITCRASQIS NYLTWYQQKPGKAKPQLLIYE 50
 ASSRPGVPS RFSGSGSGTD FTLTISLQP EDFATYQCOQ WSRLPVTFQG 100
 GTKVEIKRTV AAPSVFIFPP SDEQLKSGTA SVVCLLNNFY PREAKVQWKV 150
 DNALQSGNSQ ESVTEQDSDKD STYSLSSTLT LSKADYEKHK VYACEVTHQG 200
 LSPPVTKSFVN RGECE 214

Post-translational modifications

Disulfide bridges location / Position des ponts disulfure / Posiciones de los puentes disulfuro
 Intra-H (C23-C104) 22-96 145-201 259-319 365-423
 22"-96" 148"-204" 262"-322" 368"-426"

Intra-L (C23-C104) 23"-88" 134"-194"
 23"-88" 134"-194"

Inter-H-L (h 5-CL 126) 221-214" 224"-214"

Inter-H-H (h 8, h 11) 224-227" 227-230"

Inter-H-H (CH3 C10-C5)* 352-350"

*variants G1v74 (CH3 C10) and G1v75 (CH3 C5) creating an additional inter-H-H disulfide bond.

N-terminal glutaminyl cyclization / Cyclisation du glutaminyle N-terminal / Ciclación del glutaminilo N-terminal
 Q > pyroglutamyl (pE, 5-oxopropyl) / pyroglutamyle (pE, 5-oxopropyle) / piroglutamilo (pE, 5-oxopropilo)
 H VH Q1: 1, 1"

N-glycosylation sites / Sites de N-glycosylation / Posiciones de N-glicosilación
 H CH2 N84: 295, 298"
 Fucosylated complex bi-antennary CHO-type glycans / glycanes de type CHO bi-antennaires complexes fucosylés / glicanos de tipo CHO biantenarios complejos fucosilados.

C-terminal lysine clipping / Coupage de la lysine C-terminale / Recorte de lisina C-terminal
 H CHS K2: 445, 448"

vensemaglutidum

vensemaglutide

$N^{2.2}\{-2\text{-(4S)-4-carboxy-4-(15-carboxypentadecanamido)butanamido}]\text{ethyl}\}-N^{6.22}\text{-[}(22S)\text{-22,40-dicarboxy-10,19,24-trioxo-3,6,12,15-tetraoxa-9,18,23-triazatetracontan-1-oyl]}-\text{[E}^5\text{>}G^1\text{,R}^6\text{>}G^2\text{,A}^8\text{>}Aib^4\text{,K}^{34}\text{>}R^{30}\text{]human glucagon-like peptide 1(5-37)}$

vensémaglutide

$N^{2.2}\{-2\text{-(4S)-4-carboxy-4-(15-carboxypentadécanamido)butanamido}]\text{éthyl}\}-N^{6.22}\text{-[}(22S)\text{-22,40-dicarboxy-10,19,24-trioxo-3,6,12,15-tétraoxa-9,18,23-triazatétracontan-1-oyl]}-\text{[E}^5\text{>}G^1\text{,R}^6\text{>}G^2\text{,A}^8\text{>}Aib^4\text{,K}^{34}\text{>}R^{30}\text{]peptide 1(5-37) apparenté au glucagon humain (GLP-1(5-37))}$

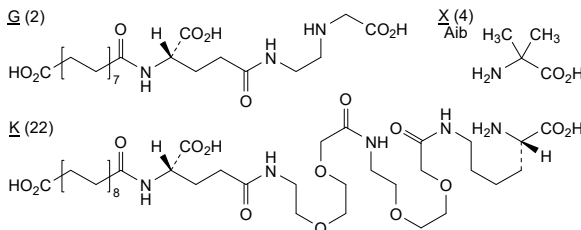
vensemaglutida

$N^{2.2}\{-2\text{-(4S)-4-carboxy-4-(15-carboxypentadecanamido)butanamido}]\text{etyl}\}-N^{6.22}\text{-[}(22S)\text{-22,40-dicarboxi-10,19,24-trioxo-3,6,12,15-tetraoxa-9,18,23-triazatetracontan-1-oil]}-\text{[E}^5\text{>}G^1\text{,R}^6\text{>}G^2\text{,A}^8\text{>}Aib^4\text{,K}^{34}\text{>}R^{30}\text{]péptido 1(5-37) similar al glucagón humano (GLP-1(5-37))}$



GGHXEGTFTS DVSSYLEGQA AKEFIAWI.VR GRG 33

Modified residues / Résidus modifiés / Restos modificados



veonetinibum

veonetinib

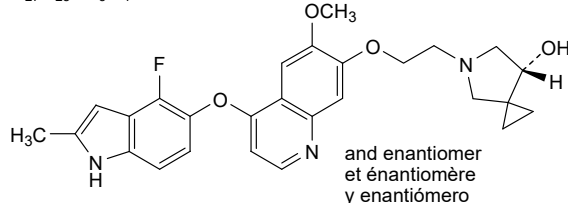
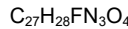
(7RS)-5-[2-({4-[(4-fluoro-2-methyl-1*H*-indol-5-yl)oxy]-6-methoxyquinolin-7-yl}oxy)ethyl]-5-azaspiro[2.4]heptan-7-ol

véonétinib

(7RS)-5-[2-({4-[(4-fluoro-2-méthyl-1*H*-indol-5-yl)oxy]-6-méthoxyquinoléin-7-yl}oxy)éthyl]-5-azaspiro[2.4]heptan-7-ol

veonetinib

(7RS)-5-[2-({4-[(4-fluoro-2-metil-1*H*-indol-5-il)oxi]-6-metoxiquinolin-7-il}oxi)etil]-5-azaespiro[2.4]heptan-7-ol



verenafuspum alfa

verenafusp alfa

chimeric immunoglobulin G1-kappa antigen-binding fragment (Fab) anti-[human insulin receptor (INSR)] fused at the C-terminus of the heavy chain via peptide linker $^{221}\text{LSS}^{223}$ to human iduronate-2-sulfatase fragment, glycoform alfa; gamma 1 heavy chain (1-220) [VH (*Mus musculus* IGHV1S56*01 -(IGHD) -IGHJ3*01, CDR-Kabat [5.17.4] (31-35.50-66.99-102)) (1-113) -*Homo sapiens* IGHG1*01 (CH1 (114-211), hinge truncated removing C-terminal TCPPCP (212-220))] fused via peptide linker $^{221}\text{LSS}^{223}$ to human iduronate-2-sulfatase (EC:3.1.6.13, alpha-L-iduronate sulfate sulfatase (*idursulfase*)) (224-748 in the current sequence, residue 282 posttranslationally modified to formylglycine (fGly)), (216-214') -disulfide with kappa light chain (1'-214') [V-KAPPA (*Mus musculus* IGKV9-120*01 -IGKJ1*01, CDR-Kabat [11.7.9] (24'-34'.50'-56'.89'-97')) (1'-107') -*Homo sapiens* IGKC*01 (108'-214')]; dimer, produced in Chinese hamster ovary (CHO) cells, glycoform alfa

vérénafusp alfa

fragment de liaison à l'antigène (Fab) de l'immunoglobuline chimérique G1-kappa anti-[récepteur humain de l'insuline (INSR)] fusionné à l'extrémité C-terminale de la chaîne lourde, via un coupleur tripeptidique $^{221}\text{LSS}^{223}$, à un fragment d'iduronate-2-sulfatase humaine, glycoforme alfa; chaîne lourde gamma 1 (1-220) [VH (*Mus musculus* IGHV1S56*01 -(IGHD)-IGHJ3*01, CDR-Kabat [5.17.4] (31-35.50-66.99-102)) (1-113) -*Homo sapiens* IGHG1*01 (CH1 (114-211), charnière tronquée supprimant le C-terminal TCPCCP (212-220))] fusionné, via un coupleur tripeptidique $^{221}\text{LSS}^{223}$, à l'iduronate-2-sulfatase humaine (EC:3.1.6.13, alpha-L-iduronate sulfate sulfatase (*idursulfase*)), (224-748 dans la séquence actuelle, le résidu 282 est modifié post-traductionnellement en formylglycine (fGly)) (216-214') -disulfure avec la chaîne légère kappa (1'-214') [V-KAPPA (*Mus musculus* IGKV9-120*01 -IGKJ1*01, CDR-Kabat [11. 7.9] (24'-34'.50'-56'.89'-97')) (1'-107') -*Homo sapiens* IGKC*01 (108'-214')]; dimère, produit dans des cellules ovarianes de hamster chinois (CHO), glycoforme alfa

verenafusp alfa

fragmento de unión a antígeno (Fab) de inmunoglobulina químérica G1-kappa anti-[receptor de la insulina humana (INSR)] fusionado en la terminal C de la cadena pesada a través del enlace peptídico $^{221}\text{LSS}^{223}$ al fragmento humano de la iduronato-2-sulfatasa, glicoforma alfa; cadena pesada gamma 1 (1-220) [VH (*Mus musculus* IGHV1S56*01 -(IGHD)-IGHJ3*01, CDR-Kabat [5.17.4] (31-35.50-66.99-102)) (1-113) -*Homo sapiens* IGHG1*01 (CH1 (114-211), bisagra truncada que elimina el terminal C TCPCCP (212-220))] fusionada a través de enlace peptídico $^{221}\text{LSS}^{223}$ a la iduronato-2-sulfatasa humana (EC:3.1.6.13, alfa-L-iduronato sulfato sulfatasa (*idursulfasa*))) (224-748 en la secuencia actual, el residuo 282 está modificado postraduccionalmente a formilglicina (fGly)), (216-214') -disulfuro con la cadena ligera kappa (1'-214') [V-KAPPA (*Mus musculus* IGKV9-120*01 -IGKJ1*01, CDR-Kabat [11.7.9] (24'-34'.50'-56'.89'-97')) (1'-107') -*Homo sapiens* IGKC*01 (108'-214')]; dímero, producido en las células ováricas de hámster chino (CHO), glicoforma alfa

Sequence / Séquence / Secuencia
Fab heavy chain-IDS

QVQLQQSGPE	LVKPGALVKI	SCKASGYTFT	NYDIHWVKQR	PGQGLEWIGW	50
IYPGDGSTKV	NEFKFKGKATL	TADKSSSTAY	MHLSSLTSEK	SAVYFCAREW	100
AYWGQGTLVT	VSAASTKGPS	VFPLAPSSKS	TSGGTAALGC	LVKDYFPEPV	150
TVSWNSGALT	SGVHTFPAVI	QSSGLYSLS	VVTVPSSSLG	TQTYICNVNH	200
KPSNTKVDKK	VEPKSCDKTH	LSSSETQANS	TTDALNVLLI	IVDDLRPSLG	250
CYGDKLVRSP	NIDQLASHSL	LFQNAFAQQA	VCAPSRSVFL	TGRRPDTTRL	300
YDFNSYWRVH	AGNFSTIPQY	FKENGXVITMS	VGKVFHPGIS	SNHTDDSFYS	350
WSFPPYHSS	EKYENTKTCTR	GPDGELHANL	LCPVVDLDPV	EGTLPDQST	400
EQAIQLLEKM	KTSASPFFLA	VGYHKPHIPF	RYPKEFQKLY	PLENITLAPD	450
PEVPDFGLPPV	AYNFWMDIRQ	REDVQALNIS	VFYGIPVPDF	QRKIRQSYFA	500
SVSYLDTQVG	RLLSALDDLQ	LANSTIIAFT	SDHGWLGEH	GEWAKYSNFD	550
VATHVPLIFY	VPGRTASLPE	AGEKLFFPYLD	FFDSASQLME	PGRQSMSDLVE	600
LVSLSLFPPTLAG	LAGLQVFPVRC	PVFSFHVELC	REGKNLLKHF	RFRDLEEDPY	650
LPGNPNRELIA	YSQYPRPSDI	PQWNSDKPSL	KDIKIMGYSI	RTIDYRYTVM	700
VGFnPNDPEFLA	NFSDIHAGEL	YFVDSDPLQD	HNMYNDSQGG	DLFQLLMP	748

Fab light chain

DIQMTQSPSS	LSASLGGERVS	LTCRASQD1G	GNLYWLQQGP	DGTIKRLIYA	50
TSSLDSGVPK	RFGSSRSRGSD	YSLTISSLES	EDFVDYYCLQ	YSSSPWTFGG	100
GTKMIEIKRTV	AAPSVFIFPP	SDEQLKSGTA	SVVCLLNNFY	PREAKVQWKV	150
DNALQSGNSQ	ESVTEQDSKD	STYSLSSLT	LSKADYEKHK	VYACEVTHQG	200
LSSPVTKSFN	RGEC				214

Peptide linker / Peptide liant / Péptido de unión

Fab heavy chain-IDS: 221**LS**223**Post-translational modifications**

Disulfide bridges location / Position des ponts disulfure / Posiciones de los puentes disulfuro

Intra Fab heavy chain: 22-96, 140-196, 22"-96", 140"-196"

Intra IDS: 369-382, 620-630, 369"-382", 620"-630"

Intra Fab light chain: 23"-88", 134"-194", 23""-88"", 134""-194""

Inter Fab heavy-light chain: 216-214', 216"-214"

N-glycosylation sites / Sites de N-glycosylation / Posiciones de N-glicosilación

Fab heavy chain-IDS: 229, 313, 342, 444, 478, 523, 711, 735
229", 313", 342", 444", 478", 523", 711", 735"

Oxidation sites / Sites d'oxydation / Posiciones de oxidación

Fab heavy chain-IDS: M81, M329, H377, M410, W465, M466, M589, M596, M686, M747
M81", M329", H377", M410", W465", M466", M589", M596", M686", M747"

Fab light chain: M4", M4"

Posttranslationally generated catalytical oxidation site:

Fab heavy chain-IDS: C282, C282" > formylglycine (fGly)

Deamidation sites / Sites de déamidation / Posiciones de desamidación

Fab heavy chain-IDS: N229, N304, N324, N365, N379, N674,
N229", N304", N324", N365", N379", N674"

Fab light chain: N152', N158', N152", N158""

N-terminal glutaminyl cyclization / Cyclisation du glutaminyle N-terminal / Ciclación del
glutamino N-terminal

Fab heavy chain Q1,Q1"> pyroglutamyl (pE, 5-oxo-L-prolyl)

vispacabtagenum regedleucelum #

vispacabtagene regedleucel allogeneic T lymphocytes obtained from peripheral blood mononuclear cells by leukapheresis of healthy donors, electroporated with CRISPR/Cas9 (clustered regularly interspaced short palindromic repeats/ CRISPR-associated protein 9) hybrid RNA-DNA nucleoprotein complexes to knock out the T cell receptor alpha chain constant (*TRAC*) and programmed cell death protein 1 (*PDCD1*) genes and transduced with a recombinant adeno-associated virus vector serotype 6 (AAV6) vector to introduce an anti-CD19 chimeric antigen receptor (CAR) expression cassette at the *TRAC* locus by homology-directed repair.

The integrated sequence comprises a 5' TRAC homology arm, a protospacer adjacent motif (PAM), the CAR expression cassette, and a 3' TRAC homology arm. The CAR expression cassette consists of an elongation factor alpha (EF-1 α) promoter, Kozak sequence, CD8 α signal sequence, anti-CD19 single chain variable fragment (scFv clone FMC63), CD8 hinge region, CD8 transmembrane (TM) domain, 4-1BB signaling co-stimulatory domain, CD3 ζ signaling domain, and a bovine growth hormone (bGH) polyadenylation sequence.

The leukapheresis material is enriched for CD4/CD8 T lymphocytes by positive immunoselection and subsequently transduced with the vector. Residual TCR $\alpha\beta$ + lymphocytes are removed by magnetic depletion, and the cells are then activated in media containing CD3 and CD28 agonists and interleukin 2 (IL-2). The suspension consists primarily of T lymphocytes (CD45+ and CD4+, CD8+, or CD3+) which are >32% CAR+, have a high proportion PDCD1 knockout cells (average 97%) and are cytotoxic to CD19-expressing cells

vispacabtagène régedleucel

lymphocytes T allogéniques obtenus, par leucaphérèse, à partir de cellules mononucléées du sang périphérique (CMSP) de donneurs sains, électroporés avec des complexes de nucléoprotéines hybrides ARN-ADN de CRISPR/Cas9 (courtes répétitions en palindrome regroupées et régulièrement espacées /protéine 9 associée à CRISPR), pour invalider la région constante de la chaîne alpha du récepteur des lymphocytes T (*TRAC*) et le gène codant la protéine de mort cellulaire programmée de type 1 (*PDCD1*), et transduits avec un vecteur recombinant du virus adéno-associé de sérotype 6 (AAV6), pour introduire au locus *TRAC*, par la réparation dirigée par l'homologie, une cassette d'expression d'un récepteur d'antigène chimérique (CAR) anti-CD19.

La séquence intégrée comprend un bras d'homologie 5' TRAC, un motif de reconnaissance du proto-espacement (PAM), la cassette d'expression de CAR, et un bras d'homologie 3' TRAC. La cassette d'expression CAR contient un promoteur du facteur d'elongation alpha (EF-1 α), une séquence de Kozak, une séquence signal CD8 α , un fragment variable à chaîne unique anti-CD19 (clone scFv FMC63), une région charnière CD8, un domaine transmembranaire CD8, un domaine co-stimulant de signalisation 4-1BB, un domaine de signalisation de CD3 ζ , et une séquence de polyadénylation de l'hormone de croissance bovine (bGH). Le matériel de la leucophorèse est enrichi en lymphocytes T CD4/CD8 par immunosélection positive, et ensuite transduits avec le vecteur. Les lymphocytes TCR $\alpha\beta$ + sont éliminés par déplétion magnétique, puis les cellules sont activées dans un milieu contenant des agonistes CD3 et CD28, et de l'interleukine-2 (IL-2). La suspension se compose principalement de lymphocytes T (CD45+ et CD4+, CD8+ ou CD3+), qui contiennent plus de 32% de CAR+, ayant une forte proportion de cellules PDCD1 invalidant (en moyenne 97%) qui sont cytotoxiques pour les cellules exprimant CD19

vispacabtagén regedleucel

linfocitos T alogénicos obtenidos de células mononucleares de sangre periférica a partir de leucoaféresis de donantes sanos, electroporados con complejos de nucleoproteína híbridos ARN-ADN de CRISPR/Cas9 (repeticiones palindrómicas agrupadas y espaciadas regularmente/proteína asociada a CRISPR 9) para eliminar los genes de la cadena constante alfa del receptor de linfocitos T (*TRAC*) y de la proteína de muerte celular programada 1 (*PDCP1*) y transducidos con un vector de virus adenasoociado de serotipo 6 (AAV6) recombinante para introducir un casete de expresión de un receptor de antígenos químérico (CAR) anti CD-19 en el locus *TRAC* mediante reparación dirigida por homología. La secuencia integrada consta de un brazo de homología 5' *TRAC*, un motivo protoespaciador adyacente (PAM), el casete de expresión del CAR y un brazo de homología 3' *TRAC*. El casete de expresión CAR consiste en un promotor del factor de elongación alfa (EF-1 α), una secuencia Kozak, una secuencia señal de CD8 α , un fragmento variable de cadena sencilla (scFv clon FMC63) anti-CD19, una región bisagra de CD8, un dominio transmembrana (TM) de CD8, un dominio de señalización coestimulador de 4-1BB, un dominio de señalización de CD3 ζ y una secuencia de poliadenilación de la hormona de crecimiento bovina (BGH). El material de leucoaféresis se enriquece en linfocitos T CD4/CD8 mediante inmunoselección positiva y posteriormente se transduce con el vector. Los linfocitos TCR $\alpha\beta+$ residuales se eliminan por depleción magnética y las células a continuación se activan en medio con agonistas de CD3 y CD28 e interleuquina 2 (IL-2). La suspensión consiste principalmente en linfocitos T (CD45+ y CD4+, CD8+ o CD3+) que son en >32% CAR+, tienen una alta proporción de células con PDCD1 eliminado (97% de media) y son citotóxicos frente a células que expresan CD19.

vormatrinium

vormatrigine

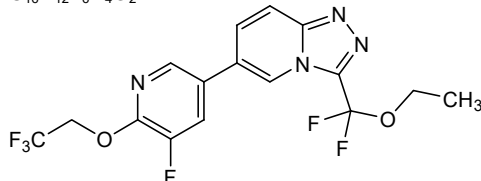
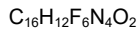
3-[ethoxydi(fluoro)methyl]-6-[5-fluoro-6-(2,2,2-trifluoroethoxy)pyridin-3-yl][1,2,4]triazolo[4,3-a]pyridine

vormatrigine

3-[éthoxydi(fluoro)méthyl]-6-[5-fluoro-6-(2,2,2-trifluoroéthoxy)pyridin-3-yl][1,2,4]triazolo[4,3-a]pyridine

vormatrigina

3-[etoxidi(fluoro)metil]-6-[5-fluoro-6-(2,2,2-trifluoroetoxi)piridin-3-il][1,2,4]triazolo[4,3-a]piridina



xelafaslatidum

xelafaslatide

L-histidyl-L-histidyl-L-isoleucyl-L-tyrosyl-L-leucylglycyl-L-alanyl-L-valyl-L-asparaginyl-L-tyrosyl-L-isoleucyl-L-tyrosinamide

xélaufaslatide

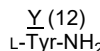
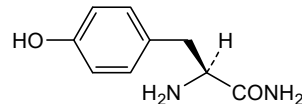
L-histidyl-L-histidyl-L-isoleucyl-L-tyrosyl-L-leucylglycyl-L-alanyl-L-valyl-L-asparaginyl-L-tyrosyl-L-isoleucyl-L-tyrosinamide

xelafaslatida

L-histidil-L-histidil-L-isoleucil-L-tirosil-L-leucilglicil-L-alanil-L-valil-L-asparaginil-L-tirosil-L-isoleucil-L-tirosinamida



Modified residue / Résidu modifié / Resto modificado

**zabilugenum almadenorepvecum #**

zabilugene almadenorepvec

recombinant, replication-competent oncolytic human adenovirus type 5 (Ad5) vector, encoding human hyaluronidase PH-20 (sperm adhesion molecule 1 [SPAM1] soluble form), under the control of the adenovirus major late promoter via insertion of the pIIIa splice acceptor and a Kozak sequence. Genetic modifications of the viral genome also include the insertion of four E2F-responsive sites along with one extra Sp-1 transcription factor binding site to control expression of the viral early region 1A (E1A) gene, a 24 base pair deletion in the E1A gene, and the replacement of the KKTK domain of the fiber shaft with an integrin-binding, tumour-selective RGDK motif

zabilugène almadénorépvec

vecteur recombinant, oncolytique de l'adénovirus humain de type 5 (Ad5), capable de se répliquer, codant l'hyaluronidase humaine PH-20 (molécule d'adhésion du sperme 1 [SPAM1]) forme soluble), sous le contrôle du promoteur majeur tardif de l'adénovirus par insertion de l'accepteur d'épissure pIIIa, et d'une séquence de Kozak. Les modifications génétiques du génome viral comprennent également l'insertion de quatre sites sensibles à l'E2F, ainsi qu'un site supplémentaire de liaison au facteur de transcription Sp-1, pour contrôler l'expression du gène de la région virale précoce 1A (E1A), une délétion de 24 paires de bases dans le gène E1A et le remplacement du domaine KKTK de la tige de la protéine fibre, par un motif RGDK de liaison à l'intégrine spécifique de la tumeur

zabilugén almadenorepvec

vector de adenovirus tipo 5 (Ad5) humano recombinante, competente de replicación, oncolítico, que codifica para la hialuronidasa PH-20 humana (molécula de adhesión a esperma 1 [SPAM1]) (forma soluble), bajo el control del promotor principal tardío del adenovirus y mediante la inserción del sitio aceptor del procesamiento pIIIa y una secuencia Kozak. Las modificaciones genéticas del genoma viral también incluyen la inserción de

cuatro sitios sensibles a E2F junto con un sitio adicional de unión del factor de transcripción Sp-1 para controlar la expresión del gen de la región viral temprana 1A (E1A), una delección de 24 pares de bases en el gen E1A y el reemplazo del dominio KTKT del eje de la fibra con un motivo RGDK de unión a integrina específica de tumor

zadoprubartum #

zadoprubart

immunoglobulin G4-kappa, anti-[*Homo sapiens* BTLA (B and T lymphocyte attenuator, BTLA1, CD272)], humanized monoclonal antibody;
 H-gamma4 heavy chain humanized (1-451) [VH (*Homo sapiens* IGHV1-69*08 (80.6%) -(IGHD) -IGHJ6*05 (92.3%) A127>S (123), CDR-IMGT [8.8.17] (26-33.51-58.97-113)) (1-124) -*Homo sapiens* IGHG4*01, nG4m(a) CH2 L92, G4v5 h P10(CH1 (125-222), hinge 1-12 S10>P (232) (223-234), CH2 L92 (313) (235-344), CH3 (345-449), CHS (450-451)) (125-451)], (138-214')-disulfide with L-kappa light chain humanized (1'-214') [V-KAPPA (*Homo sapiens* IGKV1-12*01 (86.4%) -IGKJ4*01 (100%), CDR-IMGT [6.3.9] (27'-32'.50'-52'.89'-97')) (1'-107') -*Homo sapiens* IGKC*01 (100%) Km3 A45.1, V101 (C-KAPPA A45.1 (153'), V101 (191')) (108'-214')]; dimer (230-230":233-233")-bisdisulfide, produced in Chinese hamster ovary (CHO) cells, cell line CHO-K1, glycoform alfa

zadoprubart

immunoglobuline G4-kappa, anti-[*Homo sapiens* BTLA (atténuateur des lymphocytes B et T, BTLA1, CD272)], anticorps monoclonal humanisé;
 chaîne lourde H-gamma4 humanisée (1-451) [VH (*Homo sapiens* IGHV1-69*08 (80.6%) -(IGHD) -IGHJ6*05 (92.3%) A127>S (123), CDR-IMGT [8.8.17] (26-33.51-58.97-113)) (1-124) -*Homo sapiens* IGHG4*01, nG4m(a) CH2 L92, G4v5 h P10(CH1 (125-222), charnière 1-12 S10>P (232) (223-234), CH2 L92 (313) (235-344), CH3 (345-449), CHS (450-451)) (125-451)], (138-214')-disulfure avec la chaîne légère L-kappa humanisée (1'-214') [V-KAPPA (*Homo sapiens* IGKV1-12*01 (86.4%) -IGKJ4*01 (100%), CDR-IMGT [6.3.9] (27'-32'.50'-52'.89'-97')) (1'-107') -*Homo sapiens* IGKC*01 (100%) Km3 A45.1, V101 (C-KAPPA A45.1 (153'), V101 (191')) (108'-214')]; dimère (230-230":233-233")-bisdisulfure, produit dans des cellules ovarianes de hamster chinois (CHO), lignée cellulaire CHO-K1, glycoforme alfa

zadoprubart

inmunoglobulina G4-kappa, anti-[*Homo sapiens* BTLA (atenuador de los linfocitos B y T, BTLA1, CD272)], anticuerpo monoclonal humanizado;
 cadena pesada H-gamma4 humanizada (1-451) [VH (*Homo sapiens* IGHV1-69*08 (80.6%) -(IGHD) -IGHJ6*05 (92.3%) A127>S (123), CDR-IMGT [8.8.17] (26-33.51-58.97-113)) (1-124) -*Homo sapiens* IGHG4*01, nG4m(a) CH2 L92, G4v5 h P10(CH1 (125-222), bisagra 1-12 S10>P (232) (223-234), CH2 L92 (313) (235-344), CH3 (345-449), CHS (450-451)) (125-451)], (138-214')-disulfuro con la cadena ligera L-kappa humanizada (1'-214') [V-KAPPA (*Homo sapiens* IGKV1-12*01 (86.4%) -IGKJ4*01 (100%), CDR-IMGT [6.3.9] (27'-32'.50'-52'.89'-97')) (1'-107') -*Homo sapiens* IGKC*01 (100%) Km3 A45.1, V101 (C-KAPPA A45.1 (153'), V101 (191')) (108'-214')]; dímero (230-230":233-233")-bisdisulfuro, producido en las células ováricas de hamster chino (CHO), línea celular CHO-K1, forma glicosilada alfa

Heavy chain / Chaîne lourde / Cadena pesada
 QVQLVQSGAE VKKPQSSVKV SCKASGVYFS TSWMNWVRQA PGQGLEWMGR 50
 IYFGDADTNV VGKFKGRTVI TADKSTTTAY MELSSLRSED TAVYFCAKSG 100
 TFNFGNYRWY FDWVGKGTV TVSSASTKGP SVFPLAPCSR STSESTAALG 150
 CLVKDYFPEP VTVSWNSGAL TSGVHTFPBV LQSSGLYSLS SVVTVPSSSL 200
 GTKTYTCNVD HKPSNTKVDK RVESKYGPVC PPCPAPEFLG GPSVFLFPK 250
 PKDTLMISRT PEVTCVVVDDV SQEDPEVQFV WYVDGVEVHN ARTKPKREEQF 300
 NSTYRVVSVL TVLHQDWLNG KEYKCKVSNL GLPSSIEKTI SKAKGQPREP 350
 QVYTLPSPQE EMTKNQVSLLT CLVKGFYPSD IAVEWESNGQ PENNYKTPP 400
 VLDSDGSSFL YSRLLTVDKSR WQEGNVFSCS VMHEALHNHY TQKSLSLSLG 450
 K 451

Light chain / Chaîne légère / Cadena ligera
 AÍQLTQSPSS LSASVGDRTV ITCRVSENIY SHLAWYQQKP GKAPKLLIYA 50
 ATNLALGVPS RFSGSGSGTD YTTLTSSLQ P EDFATYYCQL FWGPPLTFGG 100
 GTKVEIKRTV AAPSVFIFPP SDEQLKSGTA SVCLLNNFY PREAKVQWKV 150
 DNALQSGNSQ ESVTEQDSKD STYLSSTLT LSKADYEKHK VYACEVTHOG 200
 LSSPVTKSFN RGECA 214

Post-translational modifications

Disulfide bridges location / Position des ponts disulfure / Posiciones de los puentes disulfuro
 Intra-H (C23-C104) 22-96 151-207 265-325 371-429
 22"-96" 151"-207" 265"-325" 371"-429"
 Intra-L (C23-C104) 23"-88" 134"-194"
 23"-88" 134"-194"
 Inter-H-L (CH1 10-CL 126) 138-214' 138"-214"
 Inter-H-H (h 8, h 11) 230-230" 233-233"

N-terminal glutaminyl cyclization / Cyclisation du glutaminyle N-terminal / Ciclación del glutaminilo N-terminal
 Q > pyroglutamyl (pE, 5-oxoprolyl) / pyroglutamyle (pE, 5-oxoprolyle) / piroglutamilo (pE, 5-oxoprolilo)
 H VH Q1: 1, 1"

N-glycosylation sites / Sites de N-glycosylation / Posiciones de N-glicosilación
 H CH2 N84.4: 301, 301"
 Fucosylated complex bi-antennary CHO-type glycans / glycanes de tipo CHO bi-antennaires complejos fucosilados / glicanos de tipo CHO biantenarios complejos fucosilados

C-terminal lysine clipping / Coupure de la lysine C-terminale / Recorte de lisina C-terminal
 H CHS K2: 451, 451"

zamubafuspum alfa #

zamubafusp alfa

humanized immunoglobulin G1-kappa, anti-[human variable immunoglobulin light chain N-terminal cryptic neo-epitope] fused at the C-terminus of each light chain via a peptide linker to the pan-amyloid-reactive peptide p5R;
 gamma 1 heavy chain (1-441) [VH (*Homo sapiens* IGHV4-4*08 -(IGHD) -IGHJ4*01, CDR-Kabat [5.16.3] (31-35.50-65.98-100)) (1-111) -*Homo sapiens* IGHG1*01 (CH1 (112-209), hinge (210-224), CH2 (225-334), CH3 (335-439), CHS (440-441)) (112-441)], (214-219')-disulfide with kappa light chain (1'-219') [V-KAPPA (*Homo sapiens* IGKV2-30*01 -IGKJ2*01, CDR-Kabat [16.7.9] (24'-39'.55'-61'.94'-102')) (1'-112') -*Homo sapiens* IGKC*01 (113'-219')], fused via peptide linker ²²⁰VSPSV²²⁴ to the pan-amyloid-reactive peptide p5R (225'-250'), dimer (220-220":223-223")-bisdisulfide, produced in Chinese hamster ovary (CHO) cells, cell line CHO-K1, glycoform alfa

zamubafusp alfa

immunoglobuline G1-kappa humanisée, anti-[néo-épitope cryptique N-terminal de la chaîne légère variable de l'immunoglobuline humaine] fusionnée, à la partie C-terminale de chaque chaîne légère, à l'aide d'un coupleur peptidique, au peptide panamyloïde réactif p5R;
 chaîne lourde gamma 1 (1-441) [VH (*Homo sapiens* IGHV4-4*08 -(IGHD) -IGHJ4*01, CDR-Kabat [5.16.3] (31-35.50-65.98-100)) (1-111) -*Homo sapiens* IGHG1*01 (CH1 (112-209), charnière (210-224), CH2 (225-334), CH3 (335-439), CHS (440-441)) (112-441)], (214-219')-disulfure avec la

chaîne légère kappa (1'-219') [V-KAPPA (*Homo sapiens* IGKV2-30*01 -IGKJ2*01, CDR-Kabat [16.7.9] (24'-39'.55'-61'.94'-102')) (1'-112') -*Homo sapiens* IGKC*01 (113'-219')], fusionnée, à l'aide du coupleur peptidique ²²⁰VSPSV²²⁴ au peptide panamyloïde réactif p5R (225'-250'), dimère (220-220":223-223")-bisdisulfure, produite dans des cellules ovarianes de hamster chinois (CHO), lignée cellulaire CHO-K1, glycoforme alfa

zamubafusp alfa

inmunoglobulina humanizada G1-kappa, anti-[neoepítopo críptico N-terminal de cadena ligera de inmunoglobulina variable humana] fusionada al terminal C de cada cadena ligera a través de enlace peptídico al péptido pan-amiloide reactivo p5R; cadena pesada gamma 1 (1-441) [VH (*Homo sapiens* IGHV4-4*08 -(IGHD) -IGHJ4*01, CDR-Kabat [5.16.3] (31-35.50-65.98-100)) (1-111) -*Homo sapiens* IGHG1*01 (CH1 (112-209), bisagra (210-224), CH2 (225-334), CH3 (335-439), CHS (440-441)) (112-441), (214-219')-disulfuro con cadena ligera kappa (1'-219') [V-KAPPA (*Homo sapiens* IGKV2-30*01 -IGKJ2*01, CDR-Kabat [16.7.9] (24'-39'.55'-61'.94'-102')) (1'-112') -*Homo sapiens* IGKC*01 (113'-219')], fusionado a través de enlace peptídico ²²⁰VSPSV²²⁴ al péptido pan-amiloide reactivo p5R (225'-250'), dímero (220-220":223-223")-bisdisulfuro, producido en células ováricas de hámster Chino (CHO), línea celular CHO-K1, glicoforma alfa

Sequence / Séquence / Secuencia

IgG1 heavy chain

QVQLQESGP 50
GPKGLEWLGV 50
IWGEGSTNYH PNLMRSVTIS VDTSKSQVLF KLISSVTAADT AVYYCATLDY 100
WGCGTSVTVS SASTKGPSVF PLAPSSKSTS GGTAALGCLV KDYFFPEPVTV 150
SWNSGALTSG VHTFFAVLQS SGLYSLSSVV TVPSSLGLTQ TYICVNHNKP 200
SNTKVDDKVE PKSCDKTHTC PCPCPAPELLG GPSPFLLFPPK PKDTLMISRT 250
PEVTCVVVDV SHEDPEVKFN WYVDGVEVHN AKTKPREEQY NSTYRVVSVL 300
TVLHQDWLNG KEYKCKVSNK ALPAPIEKTI SKAKGQPREP QVYTLPPSRD 350
ELTKNQVSILT CLVKGFYPSD IAVEWEWSNGQ PENNYKTTPP VLDSDGSFFL 400
YSKLTVDKSR WQQGNVFSCS VMHEALHNHY TQKSLSLSPG K 441

IgG1 light chain-p5R

DVVMQTQSP 50
PLPVTLGQPAS ISCRSSQSLV HRSGNTYLHW FQQRPGQSPR 50
LITYKVSNRF SGVPDRFSGS GS 100
GTDFTLKI SRVEABDVGV YFCFQTTVVP 100
NTFGGGT 150
KLE IKTVAAPSV FIFPPSDEQL KSCTASVCL LNNFYPREAK 150
VQWKVDNALQ SGNSQESVTE QDSKDSTYSL SST 200
LSLTKAD YEKKHVYACE 200
VTHQGLSSPV TKSFNRGECV <u>SPSV</u> 250
<u>RAORAO</u> <u>ARQAROAQRA</u> <u>ORAQARQARO</u> 250

Peptide linker / Peptide liant / Péptido de unión

²²⁰VSPSV²²⁴

Post-translational modifications

Disulfide bridges location / Position des ponts disulfure / Posiciones de los puentes disulfuro

Intra IgG1 heavy-chain: 22-95, 138-194, 255-315, 361-419

22"-95", 138"-194", 255"-315", 361"-419"

Intra IgG1 light chain-p5R: 23"-93', 139"-199', 23""-93", 139""-199"

Inter heavy chain-heavy chain: 220-220", 223-223"

Inter heavy chain-light chain: 214-219', 214"-219"

N-glycosylation sites / Sites de N-glycosylation / Posiciones de N-glicosilación

Heavy chain: N291, N291"

N-terminal glutaminyl cyclization / Cyclisation du glutaminyle N-terminal / Ciclación del glutaminilo N-terminal

Heavy chain: Q1,Q1"> pyroglutamyl (pE, 5-oxo-L-prolyl)

C-terminal lysine clipping / Coupure de la lysine C-terminale / Recorte de lisina C-terminal
441, 441"

zanvipixantum

zanvipixant

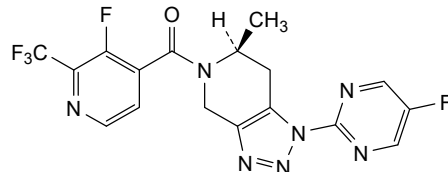
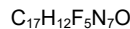
$[(6S)\text{-}1\text{-(5-fluoropyrimidin-2-yl)\text{-}6-methyl-1,4,6,7-tetrahydro-5H-[1,2,3]triazolo[4,5-c]pyridin-5-yl}\text{[}3\text{-fluoro-2-(trifluoromethyl)pyridin-4-yl]\text{methanone}}$

zanvipixant

$[(6S)\text{-}1\text{-(5-fluoropyrimidin-2-yl)\text{-}6-méthyl-1,4,6,7-tétrahydro-5H-[1,2,3]triazolo[4,5-c]pyridin-5-yl}\text{[}3\text{-fluoro-2-(trifluorométhyl)pyridin-4-yl]\text{méthanone}}$

zanvipixant

$[(6S)\text{-}1\text{-(5-fluoropirimidin-2-il)\text{-}6-metil-1,4,6,7-tetrahidro-5H-[1,2,3]triazolo[4,5-c]piridin-5-il}\text{[}3\text{-fluoro-2-(trifluorometil)piridin-4-il]\text{metanona}}$

**zelebrudomidum**

zelebrudomide

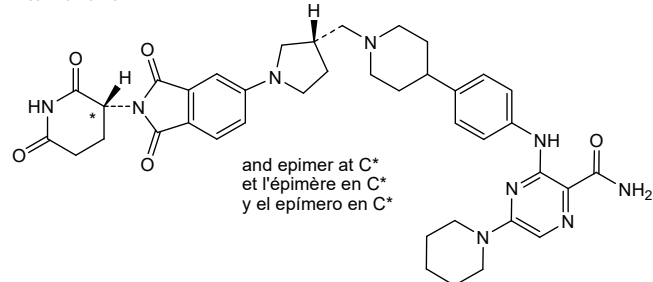
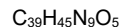
$(1^3RS,3^3S)\text{-}1^2,1^6,2^1,2^3\text{-tetraoxo-2}^1,2^3\text{-dihydro-7-aza-2(2,5)-isoindola-8(2,6)-pyrazina-1(3),5(1,4),9(1)\text{-tripiperidina-3(1,3)-pyrrolidina-6(1,4)\text{-benzenanonaphane-8}^3\text{-carboxamide}}$

zélébrudomide

$(1^3RS,3^3S)\text{-}1^2,1^6,2^1,2^3\text{-tétraoxo-2}^1,2^3\text{-dihydro-7-aza-2(2,5)-isoindola-8(2,6)-pyrazina-1(3),5(1,4),9(1)\text{-tripipérídina-3(1,3)-pyrrolidina-6(1,4)\text{-benzénanonaphane-8}^3\text{-carboxamide}}$

zelebrudomida

$(1^3RS,3^3S)\text{-}1^2,1^6,2^1,2^3\text{-tetraoxo-2}^1,2^3\text{-dihidro-7-aza-2(2,5)-isoindola-8(2,6)-pirazina-1(3),5(1,4),9(1)\text{-tripiperidina-3(1,3)-pirrolidina-6(1,4)\text{-bencenanonafano-8}^3\text{-carboxamida}}$

**zeprumetostatum**

zeprumetostat

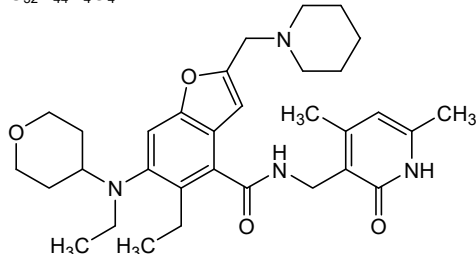
$N\text{[-}(4,6\text{-dimethyl-2-oxo-1,2-dihydropyridin-3-yl)methyl]\text{-}5\text{-ethyl-6-[ethyl(oxan-4-yl)amino]-2-[(piperidin-1-yl)methyl]\text{-}1\text{-benzofuran-4-carboxamide}}$

zéprumétostat

$N\text{[-}(4,6\text{-diméthyl-2-oxo-1,2-dihydropyridin-3-yl)méthyl]\text{-}5\text{-éthyl-6-[éthyl(oxan-4-yl)amino]-2-[(pipéridin-1-yl)méthyl]\text{-}1\text{-benzofurane-4-carboxamide}}$

zeprumetostat

N-[(4,6-dimetil-2-oxo-1,2-dihidropiridin-3-il)metil]-5-etil-6-[etil(oxan-4-il)amino]-2-[(piperidin-1-il)metil]-1-benzofurano-4-carboxamida

 $C_{32}H_{44}N_4O_4$ **zertomibgenum cazparvovecum #**

zertomibgene cazparvovec

recombinant, non-replicating adeno-associated virus serotype 9 (rAAV9) vector, encoding myosin-binding protein C (MYBPC3), under control of a synthetic cardiomyocyte-specific cardiac troponin T2 (TNNT2) promoter (pCard1) and a synthetic polyadenylation signal; flanked by adeno-associated virus 2 (AAV2) inverted terminal repeats

zertomibgène cazparvovec

vecteur recombinant, non répliquant du virus adéno-associé de sérotype 9 (rAAV9), codant la protéine C de liaison à la myosine (MYBPC3), sous le contrôle d'un promoteur synthétique de la troponine cardiaque T2 (TNNT2) spécifique aux cardiomyocytes (pCard1) et d'un signal synthétique de polyadénylation, flanqué de répétitions terminales inversées du virus adéno-associé de type 2 (AAV2)

zertomibgén cazparvovec

vector de virus adenoasociado del serotipo 9, recombinante (rAAV9), no replicativo, que codifica para la proteína C de unión a miosina (MYBPC3) bajo el control de un promotor sintético de troponina cardíaca T2 (TNNT2) específico de cardiomocitos (pCard1) y una señal de poliadenilación sintética; está flanqueado por las repeticiones terminales invertidas del virus adenoasociado 2 (AAV2)

zintrodiazinum

zintrodiazine

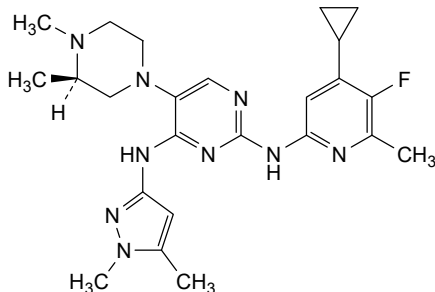
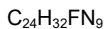
*N*²-(4-cyclopropyl-5-fluoro-6-methylpyridin-2-yl)-*N*⁴-(1,5-dimethyl-1*H*-pyrazol-3-yl)-5-[(3*R*)-3,4-dimethylpiperazin-1-yl]pyrimidine-2,4-diamine

zintrodiazine

*N*²-(4-cyclopropyl-5-fluoro-6-méthylpyridin-2-yl)-*N*⁴-(1,5-diméthyl-1*H*-pyrazol-3-yl)-5-[(3*R*)-3,4-diméthylpipérazin-1-yl]pyrimidine-2,4-diamine

zintrodiazina

*N*²-(4-ciclopropil-5-fluoro-6-metilpiridin-2-il)-5-[(3*R*)-3,4-dimetilpiperazin-1-il]-*N*⁴-(1,5-dimetil-1*H*-pirazol-3-il)pirimidina-2,4-diamina


zunibergenum rocparvovec #

zunibergene rocparvovec

recombinant non-replicating adeno-associated virus (AAV) vector with a retina-specific capsid variant, encoding a microRNA (miRNA) targeting expression of vascular endothelial growth factor C (VEGF-C) and a codon-optimised fusion protein that consists of VEGF-binding regions derived from the extracellular domains of human VEGF receptors 1 and 2 fused to the Fc portion of human immunoglobulin G1 (the mature expressed protein is equivalent to *aflibercept*), under control of a synthetic CAG promoter and the simian virus 40 polyadenylation sequence, flanked by AAV2 inverted terminal repeats. The VEGF-C targeting miRNA sequence is located within the chicken beta-actin intron of the CAG promoter

zunibergène rocparvovec

vecteur recombinant, non réplicatif du virus adéno-associé (AAV) portant une variante de la capside spécifique de la rétine, codant un micro-ARN (miARN) ciblant l'expression du facteur de croissance de l'endothélium vasculaire C (VEGF-C) et une protéine de fusion optimisée par codon, composée des régions de liaison au VEGF dérivées des domaines extracellulaires des récepteurs VEGF-1 et VEGF-2 humains, fusionnées à la partie Fc de l'immunoglobuline G1 humaine (la protéine mature exprimée est équivalente à *aflibercept*), sous contrôle d'un promoteur CAG synthétique et de la séquence de polyadénylation du virus simien 40 (SV40), flanquée de répétitions terminales inversées AAV2. La séquence de miARN ciblant le VEGF-C se trouve dans l'intron bêta-actine de poulet du promoteur CAG

zunibergén rocparvovec

vector de virus adenoasociado (AAV), recombinante, no replicativo, con una cápsida variante específica de retina, que codifica para un microARN (miARN) dirigido a la expresión del factor C de crecimiento del endotelio vascular (VEGF-C) y una proteína de fusión, con codones optimizados, que consiste en regiones de unión al factor de crecimiento del endotelio vascular (VEGF) derivadas de los dominios extracelulares de los receptores 1 y 2 del VEGF humano fusionadas a la porción Fc de la IgG1 humana (la proteína madura expresada es equivalente a *aflibercept*), bajo el control de un promotor CAG sintético y la señal de poliadenilación del virus de simio 40, flanqueado por las repeticiones terminales invertidas del AAV2. La secuencia del micro-ARN (miARN) dirigido a VEGF-C está localizada en el intrón de la beta actina de pollo del promotor CAG

**AMENDMENTS TO PREVIOUS LISTS
MODIFICATIONS APPORTÉES AUX LISTES ANTÉRIEURES
MODIFICACIONES A LAS LISTAS ANTERIORES**

Recommended International Non Proprietary Names (Rec. INN): List 80
Dénominations communes internationales recommandées (DCI Rec.): Liste 80
Denominaciones Comunes Internacionales Recomendadas (DCI Rec.): Lista 80
(WHO Drug Information, Vol. 32, No. 3, 2018)

p.481- **rebiisufligenum etisparvovecum #**

482 rebiisufligene etisparvovec Please note that the MedNet file has been updated
rébiisufligène étisparvovec Veuillez noter que le fichier MedNet a été mis à jour
rebiisufligén etisparvovec Tenga en cuenta que se ha actualizado el archivo MedNet

Recommended International Non Proprietary Names (Rec. INN): List 91
Dénominations communes internationales recommandées (DCI Rec.): Liste 91
Denominaciones Comunes Internacionales Recomendadas (DCI Rec.): Lista 91
(WHO Drug Information, Vol. 38, No. 1, 2024)

p.42- **cemacabtagenum ansegdedleucelum #**

43 cemacabtagene ansegdedleucel replace the chemical name by the following one
cémacabtagène anségédleucel remplacer le nom chimique par le suivant
cemacabtagén ansegdedleucel sustitúyase el nombre químico por el siguiente

EN, lines 13-19 The expressed transgene comprises a mouse kappa light chain leader sequence, an anti-CD19 single chain variable fragment (scFv) derived from clone 4G7, a CD8α hinge and transmembrane domain, **and a 4-1BB (CD137) co-stimulatory and CD3ζ (TCRζ) intracellular signalling domain**, under control of the human elongation factor 1 alpha (EF1α) short (EFS) promoter.

EN, lines 31-34 At the end of expansion, **TCR- cells are enriched by negative selection with residual TCR+ cells depleted** using magnetic bead purification.

FR, lignes 14-21 Le transgène exprimé comprend une séquence de tête de chaîne légère kappa de souris, un fragment variable à chaîne unique (scFv) anti-CD19 dérivé du clone 4G7, un domaine charnière et transmembranaire CD8α, **ainsi que un domaine de co-stimulation 4-1BB (CD137) et un domaine de signalisation intracellulaire CD3ζ (TCRζ)**, sous le contrôle du promoteur court (EFS) du facteur d'elongation 1 alpha (EF1α) humain.

FR, lignes 35-38 A la fin de l'expansion, les cellules TCR- **sont enrichies par sélection négative et les cellules TCR+ résiduelles sont éliminées** à l'aide d'une technologie de purification magnétique.

ES, líneas 15-22 El transgén expresado contiene una secuencia líder de la cadena ligera kappa de ratón, un fragmento variable de cadena sencilla (scFv) anti-CD19 derivado del clon 4G7, un dominio bisagra y transmembrana de CD8α, **un dominio co-estimulador de 4-1BB (CD137) y un dominio de señalización intracelulares de CD3ζ (TCRζ)**, bajo el control

ES, líneas 35-38

del promotor corto del factor de elongación 1 alfa (EF1 α) humano.

Al final de la expansión, las células TCR- se enriquecen mediante selección negativa y las células TCR+ residuales se eliminan usando tecnología de purificación magnética.

p.109

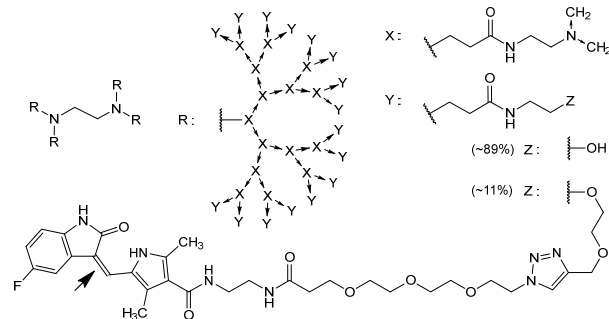
migaldendranibum

migaldendranib *replace the chemical name and structure by the following ones*
 migaldendranib *remplacer le nom chimique et la structure par les suivants*
 migaldendranib *sustitúyase el nombre químico y la estructura por los siguientes*

2-[[1-(1-{[**Z**]-5-fluoro-2-oxo-1,2-dihydro-3H-indol-3-ylidene)methyl]-2,4-dimethyl-1*H*-pyrrol-3-yl]-1,6-dioxo-9,12,15-trioxa-2,5-diazahexadecan-17-yl]-1*H*-1,2,3-triazol-4-yl]methoxyethyl ether with about 11% of hydroxy groups of a regular dendrimer $\alpha,\alpha',\alpha'',\alpha'''$ -(ethylenedinitrilo)tetrakis(ω -hexadecakis{3-[(2-hydroxyethyl)amino]-3-oxopropyl}-dendro^{G4}-[(3-oxopropane-1,3-diyl)azanediyilethylenenitrilo])

éther 2-[[1-(1-{[**Z**]-5-fluoro-2-oxo-1,2-dihydro-3*H*-indol-3-ylidène)méthyl]-2,4-diméthyl-1*H*-pyrrol-3-yl]-1,6-dioxo-9,12,15-trioxa-2,5-diazahexadécane-17-yl]-1*H*-1,2,3-triazol-4-yl]méthoxyéthyllique avec approximativement 11% de groupes terminaux hydroxy d'un dendrimère régulier $\alpha,\alpha',\alpha'',\alpha'''$ -(éthylènedinitrilo)tétrakis(ω -hexadécakis{3-[(2-hydroxyéthyl)amino]-3-oxopropyl}-dendro^{G4}-[(3-oxopropane-1,3-diyl)azanediyilethylénénitrilo])

éter 2-[[1-(1-{[**Z**]-5-fluoro-2-oxo-1,2-dihidro-3*H*-indol-3-ilideno)metil]-2,4-dimetil-1*H*-pirrol-3-il]-1,6-dioxo-9,12,15-trioxa-2,5-diazahexadecan-17-il]-1*H*-1,2,3-triazol-4-il]metoxiétílico con aproximadamente 11% de grupos terminales hidroxi de un dendrímero regular $\alpha,\alpha',\alpha'',\alpha'''$ -(etilenodinitrilo)tetrakis(ω -hexadecakis{3-[(2-hidroxietil)amino]-3-oxopropil}-dendro^{G4}-[(3-oxopropano-1,3-diil)azanedíiletilenonitrilo])



Recommended International Non Proprietary Names (Rec. INN): List 92
Dénominations communes internationales recommandées (DCI Rec.): Liste 92
Denominaciones Comunes Internacionales Recomendadas (DCI Rec.): Lista 92
(WHO Drug Information, Vol. 38, No. 3, 2024)

p.630- 631	atigotatugum #	<p>replace the chemical name and structure by the following ones remplacer le nom chimique et la structure par les suivants sustitúyase el nombre químico y la estructura por los siguientes</p> <p>immunoglobulin G1-kappa, anti-[Fucosyl-GM1 (fucosylated monosialoganglioside 1)], <i>Homo sapiens</i> monoclonal antibody; H-gamma1 heavy chain <i>Homo sapiens</i> (1-451) [VH (<i>Homo sapiens</i> IGHV3-48*02 (90.7%) -(IGHD) -IGHJ3*01 (92.3%) M123>T (117), CDR-IMGT [8.8.15] (26-33.51-58.97-111)) (1-122) -<i>Homo sapiens</i> IGHG1*03 (100%), G1m3, nG1m1 CH1 R120, CH3 E12, M14 (CH1 R120 (219) (123-220), hinge 1-15 (221-235), CH2 (236-345), CH3 E12 (361), M14 (363) (346-450), CHS K2>del (451) (123-451)], (225-214')-disulfide with L-kappa light chain <i>Homo sapiens</i> (1'-214') [V-KAPPA (<i>Homo sapiens</i> IGKV1D-16*01 (100%) -IGKJ4*01 (100%), CDR-IMGT [6.3.9] (27-32'.50'-52'.89'-97')) (1'-107') -<i>Homo sapiens</i> IGKC*01 (100%), Km3 A45.1 (153'), V101 (191') (108'-214')]; dimer (231-231":234-234")-bisdisulfide, produced in Chinese hamster ovary (CHO) cells, cell line CHO-K1, lacking the enzyme alpha-(1,6)-fucosyltransferase (FUT8), glycoform alfa</p> <p>immunoglobuline G1-kappa, anti-[Fucosyl-GM1 (monosialoganglioside 1 fucosylé)], anticorps monoclonal <i>Homo sapiens</i>; chaîne lourde H-gamma1 <i>Homo sapiens</i> (1-451) [VH (<i>Homo sapiens</i> IGHV3-48*02 (90.7%) -(IGHD) -IGHJ3*01 (92.3%) M123>T (117), CDR-IMGT [8.8.15] (26-33.51-58.97-111)) (1-122) -<i>Homo sapiens</i> IGHG1*03 (100%), G1m3, nG1m1 CH1 R120, CH3 E12, M14 (CH1 R120 (219) (123-220), charnière 1-15 (221-235), CH2 (236-345), CH3 E12 (361), M14 (363) (346-450), CHS K2>del (451) (123-451)], (225-214')-disulfure avec la chaîne légère L-kappa <i>Homo sapiens</i> (1'-214') [V-KAPPA (<i>Homo sapiens</i> IGKV1D-16*01 (100%) -IGKJ4*01 (100%), CDR-IMGT [6.3.9] (27-32'.50'-52'.89'-97')) (1'-107') -<i>Homo sapiens</i> IGKC*01 (100%), Km3 A45.1 (153'), V101 (191') (108'-214')]; dimère (231-231":234-234")-bisdisulfure, produit dans des cellules ovariennes de hamster chinois (CHO), lignée cellulaire CHO-K1, ne présentant pas l'enzyme alpha-(1,6)-fucosyltransférase (FUT8), glycoforme alfa</p> <p>inmunoglobulina G1-kappa, anti-[Fucosil-GM1 (monosialogangliósido 1 fucosilado)], anticuerpo monoclonal <i>Homo sapiens</i>; cadena pesada H-gamma1 <i>Homo sapiens</i> (1-451) [VH (<i>Homo sapiens</i> IGHV3-48*02 (90.7%) -(IGHD) -IGHJ3*01 (92.3%) M123>T (117), CDR-IMGT [8.8.15] (26-33.51-58.97-111)) (1-122) -<i>Homo sapiens</i> IGHG1*03 (100%), G1m3, nG1m1 CH1 R120, CH3 E12, M14 (CH1 R120 (219) (123-220), bisagra 1-15 (221-235), CH2 (236-345), CH3 E12 (361), M14 (363) (346-450), CHS K2>del (451) (123-451)], (225-214')-disulfuro con la cadena ligera L-kappa <i>Homo sapiens</i> (1'-214') [V-KAPPA (<i>Homo sapiens</i> IGKV1D-16*01 (100%) -IGKJ4*01 (100%), CDR-IMGT [6.3.9] (27-32'.50'-52'.89'-97')) (1'-107') -<i>Homo sapiens</i> IGKC*01 (100%), Km3 A45.1 (153'), V101 (191') (108'-214')]; dímero (231-231":234-234")-bisdisulfuro, producido en las células ováricas de hámster chino (CHO), línea celular CHO-K1, en ausencia de la enzima alfa-1,6-fucosiltransferasa (FUT8), forma glicosilada alfa</p>
---------------	-----------------------	---

Heavy chain / Chaîne lourde	Cadena pesada
EVLWESGGG	PVSQCESLRV SCAVGCFSTFS RYKMNWNVRQAG PKGKGLEWVSY 50
1SRSRGRDYY	ADSVKGFRFTI SRDNAKNSLY LQMNNSLRLRQED TAVVYCCAGTV 100
ITTYYDFDGFY	WWGQGTGTTVY SSASATKGPVS FFLAPLSSKST SGAAALGCL 150
KVDFYFFEFV	VSWNSGALTS GVHTPPFVAQL SGSSLYLSSV TVTPVSSLLGT 200
QTIVCNHNN	PSNTVKDWRHK EFKPSCKDTHT CPCPCPAPPEL GGGVSPFLV 250
TPKCDTMISH	TEPTVFCVVDV VSHPEDPEVKW NYVUDGEVHEW NAKTKPREQ 300
YNSTYRTVVS	LTLVHQDNLN GKEYKKVCSN KALPAPIEKT ISKAKGPRKE 350
QPYTLVPPBS	EEMTQNKLVS TCLVGKFPYS DAIEWENSG QPNENNYKTPP 400
PVLDSGDSFF	LYSKLTVDKS RWQQGNVFSC SVMHEALTHN YTKQKSLSLSP 450
G	

Light chain / Chaîne légère / Cadena ligera			
DIQMTQSPSLSASVGDRVTITCRASQGSWISLAWYQQKPEAKPKSLIYA	50		
ASSLQSGQWSRFPSGSGSDFTLTISLQPEDFATYYCQQYNSPVPTFGG	100		
GTKVEIKRTVAAEPSVFIPPSDEQLKSGTAVSVCLNNFYPREAKVQWKV	150		
DNALQGSNSQEVSQEKGDSKDSTYSLSSLTLSKADYEKHKVYACEVTHQG	200		
LSSFVPTSKRGECE	214		

Post-translational modifications

Disulfide bridges location / Posición des ponts disulfure / Posiciones de los puentes disulfuro
 Intra-H (C23-C104) 22°-94° 149°-205° 266°-326° 372°-430°
 22°-96° 149°-205° 266°-326° 372°-430°
 Intra-L (C23-C104) 23°-88° 134°-194°
 23°-88° 134°-194°
 Inter-H-L (h 5-CL 126) 225°-214° 225°-214°
 Inter-H-H (h 11, h 14) 231°-231° 234°-234°

N-glycosylation sites / Sites de N-glycosylation / Posiciones de N-glicosilación
H CH2 N844: 302, 302"
Afucosylated complex bi-antennary CHO-type glycans / glycanes de type CHO bi-antennaire
complexes afucosylés / glicanos de tipo CHO biantenarios complejos afucosilados

p.713

Ionvoguranum

lonvoguram

replace the chemical name by the following one

p.813-
-816 **tilatamigum samrotecanum #**
 tilatamig samrotecan replace the chemical name and structure by the following ones
 tilatamig samrotécan remplacer le nom chimique et la structure par les suivants
 tilatamig samrotecán sustitúyase el nombre químico y la estructura por los
 siguientes

immunoglobulin G1-kappa/G1-lambda, anti-[*Homo sapiens* MET (met proto-oncogene, hepatocyte growth factor (HGF) receptor, HGFR, scatter factor (SF) receptor, HGF/SF receptor, receptor tyrosine-protein kinase c-met, papillary renal cell carcinoma 2, RCCP2]) and anti-[*Homo sapiens* EGFR (epidermal growth factor receptor, receptor tyrosine-protein kinase erbB-1, ERBB1, HER1, HER-1, ERBB)], *Homo sapiens* monoclonal antibody, bispecific, conjugated on 6 cysteinyl residues to *samrotecan*;

H-gamma1 heavy chain anti-MET *Homo sapiens* (1-446) [VH (*Homo sapiens* IGHV1-8*01 (95.9%) -(IGHD) -IGHJ3*01 (100%), CDR-IMGT [8.8.9] (26-33.51-58.97-105)) (1-116)-*Homo sapiens* IGHG1*03, G1m3, nG1m1 CH1 R120, CH3 E12, M14, G1v39 CH2 F1.3, E1.2, S116, G1v33 CH3 S22, A24, V86 (hole), G1v75 CH3 C5 (CH1 R120 (213) (117-214), hinge 1-15 (215-229), CH2 L1.3>F (233), L1.2>E (234), P116>S (330) (230-339), CH3 Y5>C (348), E12 (355), M14 (357) T22>S (365), L24>A (367), Y86>V (406) (hole) (340-444), CHS (445-446)] (117-214')-disulfide with L-kappa light chain anti-MET *Homo sapiens* (1'-214') [V-KAPPA (*Homo sapiens* IGKV1-5*03 (92.6%) -IGKJ4*01 (90.9%) V124>L (104'), CDR-IMGT [6.3.9] (27'-32'.50'-52'.89'-97')) (1'-107') -*Homo sapiens* IGKC*01 (100%), Km3 A45.1 (153'), V101 (191') (108'-214')];

H-gamma1 heavy chain anti-EGFR *Homo sapiens* (1"-454") [VH (*Homo sapiens* IGHV1-69*06 (83.7%) -(IGHD) -IGHJ1*01 (100%), CDR-IMGT [8.8.17] (26"-33".51"-58".97"-113")) (1"-124") -*Homo sapiens* IGHG1*03, G1m3, nG1m1 CH1 R120, CH3 E12, M14, G1v39 CH2 F1.3, E1.2, S116, G1v32 CH3 W22 (knob), G1v74 CH3 C10, G1v58 CH1 C5, h V5 (CH1 F5>C (133"), R120 (221") (125"-222"), hinge 1-15 C5>V (227") (223"-237"), CH2 L1.3>F (241"), L1.2>E (242"), P116>S (338") (238"-347"), CH3 S10>C (361"), E12 (363"), M14 (365"), T22>W (373") (348"-452"), CHS (453"-454")) (125"-454")) (133"-126")-disulfide with L-lambda2 light chain anti-EGFR *Homo sapiens* (1"-217") [V-LAMBDA (*Homo sapiens* IGLV2-14*05 (94.9%) -IGLJ2*01 (90.9%), CDR-IMGT [9.3.11] (26"-34".52"-54".91"-101")) (1"-111") -*Homo sapiens* IGLC2*01 (98.1%), LC2v58 C10, V126, S10>C (126"), C126>V (216") (112"-217")]; dimer (225-233":228-236")-bisdisulfide, produced in a cell line from Chinese hamster ovary (CHO) cells, derived from the cell line CHO-K1, glycoform alfa; substituted at the sulfur atoms of L-cysteinyl residues **219, 225, 228, 214', 233" and 236"** with (3RS)-1-[(2S,5S)-1-[(9S)-9-ethyl-9-hydroxy-10,13-dioxo-2,3,9,10,13,15-hexahydro-1H,12H-benzo[de]pyrano[3',4':6,7]indolizino[1,2-b]quinolin-4-yl]amino]-2-methyl-1,4,7,35-tetraoxo-5-(propan-2-yl)-10,13,16,19,22,25,28,31-octaoxa-3,6,34-triazahaptatriacontan-37-yl]-2,5-dioxopyrrolidin-3-yl (*samrotecan*) groups

immunoglobuline G1-kappa/G1-lambda, anti-[*Homo sapiens* MET (proto-oncogène met, récepteur du facteur de croissance hépatocytaire, HGFR, récepteur du facteur de dispersion (SF), récepteur de l'HGF/SF, récepteur protéine-tyrosine kinase c-met, carcinome papillaire à cellules rénales 2, RCCP2]) et anti-[*Homo sapiens* EGFR (récepteur du facteur de croissance épidermique, récepteur tyrosine-protéine kinase erbB-1, ERBB1, HER1, HER-1, ERBB)], anticorps monoclonal *Homo sapiens*, bispécifique, conjugué par 6 résidus cystéinylo au *samrotécan*;

chaîne lourde H-gamma1 anti-MET *Homo sapiens* (1-446) [VH (*Homo sapiens* IGHV1-8*01 (95.9%) -(IGHD) -IGHJ3*01 (100%), CDR-IMGT [8.8.9] (26-33.51-58.97-105)) (1-116)-*Homo sapiens* IGHG1*03, G1m3, nG1m1 CH1 R120, CH3 E12, M14, G1v39 CH2 F1.3, E1.2, S116, G1v33 CH3 S22, A24, V86 (hole), G1v75 CH3 C5 (CH1 R120 (213) (117-214), charnière 1-15 (215-229), CH2 L1.3>F (233), L1.2>E (234), P116>S (330) (230-339), CH3 Y5>C (348), E12 (355), M14 (357), T22>S (365), L24>A (367), Y86>V (406) (hole) (340-444), CHS (445-446)] (117-214')-disulfure avec la chaîne légère L-kappa

anti-MET *Homo sapiens* (1'-214') [V-KAPPA (*Homo sapiens* IGKV1-5*03 (92.6%) -IGKJ4*01 (90.9%) V124>L (104), CDR-IMGT [6.3.9] (27'-32'.50'-52'.89'-97')) (1'-107') -*Homo sapiens* IGKC*01 (100%), Km3 A45.1 (153'), V101 (191') (108'-214')]; chaîne lourde H-gamma1 anti-EGFR *Homo sapiens* 1"-454") [VH (*Homo sapiens* IGHV1-69*06 (83.7%) -(IGHD) -IGHJ1*01 (100%), CDR-IMGT [8.8.17] (26"-33".51"-58".97"-113")) (1"-124") -*Homo sapiens* IGHG1*03, G1m3, nG1m1 CH1 R120, CH3 E12, M14, G1v39 CH2 F1.3, E1.2, S116, G1v32 CH3 W22 (knob), G1v74 CH3 C10, G1v58 CH1 C5, h V5 (CH1 F5>C (133")), R120 (221") (125"-222"), charnière 1-15 C5>V (227") (223"-237"), CH2 L1.3>F (241"), L1.2>E (242"), P116>S (338") (238"-347"), CH3 S10>C (361"), E12 (363"), M14 (365"), T22>W (373") (348"-452"), CHS (453"-454") (125"-454")], (133"-126")-disulfure avec la chaîne légère L-lambda2 anti-EGFR *Homo sapiens* (1"-217") [V-LAMBDA (*Homo sapiens* IGLV2-14*05 (94.9%) -IGLJ2*01 (90.9%), CDR-IMGT [9.3.11] (26"-34".52"-54".91"-101")) (1"-111") -*Homo sapiens* IGLC2*01 (98.1%), LC2v58 C10, V126, S10>C (126"), C126>V (216") (112"-217")]; dimère (225-233":228-236")-bisdisulfure, produit dans une lignée cellulaire des cellules ovaries de hamster chinois (CHO), dérivant de la lignée cellulaire CHO-K1, glycoforme alfa; substitué sur l'atome de soufre des résidus L-cystéinyle **219, 225, 228, 214', 233" et 236"** avec des groupes (**3RS**)-1-[(2S,5S)-1-[(9S)-9-éthyl-9-hydroxy-10,13-dioxo-2,3,9,10,13,15-hexahydro-1H,12H-benzod[*e*]pyrano[3',4'-6,7]indolizino[1,2-*b*]quinoléin-4-yl]amino]-2-méthyl-1,4,7,35-tétraoxo-5-(propan-2-yl)-10,13,16,19,22,25,28,31-octaoxa-3,6,34-triazaheptatriacontan-37-yl]-2,5-dioxopyrrolidin-3-yle (*samrotécan*)

inmunoglobulina G1-kappa/G1-lambda, anti-[*Homo sapiens* MET (proto-oncogén met, receptor del factor de crecimiento hepatocitario, HGFR, receptor del factor de dispersión (SF), receptor del HGF/SF, receptor proteína-tirosina kinasa c-met, carcinoma papilar con células renales 2, RCCP2)] y anti-[*Homo sapiens* EGFR (receptor del factor de crecimiento epidérmico, receptor tirosina-proteína kinasa erbB-1, ERBB1, HER1, HER-1, ERBB)], anticuerpo monoclonal *Homo sapiens*, biespecífico, conjugado por 6 residuos cysteinyle au *samrotécan*; cadena pesada H-gamma1 anti-MET *Homo sapiens* (1-446) [VH (*Homo sapiens* IGHV1-8*01 (95.9%) -(IGHD) -IGHJ3*01 (100%), CDR-IMGT [8.8.9] (26-33.51-58.97-105)) (1-116)-*Homo sapiens* IGHG1*03, G1m3, nG1m1 CH1 R120, CH3 E12, M14, G1v39 CH2 F1.3, E1.2, S116, G1v33 CH3 S22, A24, V86 (hole), G1v75 CH3 C5 (CH1 R120 (213) (117-214), bisagra 1-15 (215-229), CH2 L1.3>F (233), L1.2>E (234), P116>S (330) (230-339), CH3 Y5>C (348), E12 (355), M14 (357), T22>S (365), L24>A (367), Y86>V (406) (hole) (340-444), CHS (445-446)) (117-446)], (219-214")-disulfuro con la cadena ligera L-kappa anti-MET *Homo sapiens* (1'-214') [V-KAPPA (*Homo sapiens* IGKV1-5*03 (92.6%) -IGKJ4*01 (90.9%) V124>L (104), CDR-IMGT [6.3.9] (27'-32'.50'-52'.89'-97')) (1'-107') -*Homo sapiens* IGKC*01 (100%), Km3 A45.1 (153'), V101 (191') (108'-214')]; cadena pesada H-gamma1 anti-EGFR *Homo sapiens* 1"-454") [VH (*Homo sapiens* IGHV1-69*06 (83.7%) -(IGHD) -IGHJ1*01 (100%), CDR-IMGT [8.8.17] (26"-33".51"-58".97"-113")) (1"-124") -*Homo sapiens* IGHG1*03, G1m3, nG1m1 CH1 R120, CH3 E12, M14, G1v39 CH2 F1.3, E1.2, S116, G1v32 CH3 W22 (knob), G1v74 CH3 C10, G1v58 CH1 C5, h V5 (CH1 F5>C (133")), R120 (221") (125"-222"), bisagra 1-15 C5>V (227") (223"-237"), CH2 L1.3>F (241"), L1.2>E (242"), P116>S (338") (238"-347"), CH3 S10>C (361"), E12 (363"), M14 (365"), T22>W (373") (348"-452"), CHS (453"-454") (125"-454")], (133"-126")-disulfuro con la cadena ligera L-lambda2 anti-EGFR *Homo sapiens* (1"-217") [V-LAMBDA (*Homo sapiens* IGLV2-14*05 (94.9%) -IGLJ2*01 (90.9%), CDR-IMGT [9.3.11] (26"-34".52"-54".91"-101")) (1"-111") -*Homo sapiens* IGLC2*01 (98.1%), LC2v58 C10, V126, S10>C (126"), C126>V (216") (112"-217")]; dímero (225-233":228-236")-bisdisulfuro, producido en una línea celular de las células ováricas de hamster chino (CHO), línea celular derivada de CHO-K1, forma glicosilada alfa; sustituido en el átomo de azufre de los residuos L-cisteínilo **219, 225, 228, 214', 233" y 236"** con grupos (**3RS**)-1-[(2S,5S)-1-[(9S)-9-étil-9-hidroxi-10,13-dioxo-2,3,9,10,13,15-hexahidro-1H,12H-

benzo[de]pirano[3',4':6,7]indolizino [1,2-*b*]quinolin-4-il]amino)-2-metil-1,4,7,35-tetraoxo-5-(propan-2-il)-10,13,16,19, 22, 25,28,31-octaoxa-3,6,34-triazaheptatriacontan-37-il]-2,5-dioxopirrolidin-3-ilo (samrotecán)

Heavy chain / Chaîne lourde / Cadena pesada: anti-MET (hole) (H)

```
QVQLVQSGAE VKKPQGASVKV SCKASGYFT DYIHWVRQQA TGQGLEWMGW 50
MNPNNSGNTGY AQQFQGRVTM TRDTSRRTY MELSSLRSED TAVYYCARGQ 100
GYTHSWGQGT MVTVVSSASTK GPSVPFLAPS SKSTSGGTAA LGCLVKDYFP 150
EPVTHSWNNG ALTSGVHTFP AVLQSGGLYS LSSVTVTPSS SLGTQTYICIN 200
VNHKPSNTKV DKRVEPKSCD KTHTCPCPA PEEFEGGEFSVPE 250
MSISRTPEVTC VVVDFVSHDPV EVKFWNYWDG VEVHNAKTFP REEQYNSTYR 300
VVSVLTVLHQ DWLNQKEYKVA KVSΝΑLKPAS IEKTISKAKG QPRQPQVCLT 350
PPSRREEMTRN QVSLSACAVKG FYPDSIAVEW ESNQCPENNY KTTPPVLDSD 400
GSFFLVLVSKLT VDKSRWQOGN VFSCSVHMEA LHNYTQKSL SLSPGK 446
```

Light chain / Chaîne légère / Cadena ligera: anti-MET (L)

```
DIQMTQSPST LSASVGDRTV ITCRASVPTQ HWLAWYQQPK GAKPKLLIYK 50
ASSLASGVPS RFGSGSGTE FTLTISLQP DDFATYYCCQ YSNYPPTFGG 100
GTLKEIKRTV AAΨVVIFFP SDEQLKSGTA SVVCLNNFY PREAKVQNKV 150
DNALQSGNSQ ESVTEQDSDK STYSLSSLT LSKADYEHKH VYACEVTHQG 200
LSSPVTKSFN RGECA 214
```

Heavy chain / Chaîne lourde / Cadena pesada: anti-EGFR (knob) (H)

```
QVQLVQSGAE VKKPQGSSVKV SCKASGGTFS DNDFSWVRQQA PGCGLEWMGA 50
IVAVFERTETY AQQFQDRVKI TADISTRRTY MELSSLRSED TAVYYCARRL 100
MSAISGPGAP LLMWQGGLTV TVSSASTKGP SVCFLAPSSK STSGGTAALG 150
CLVKDYYFPEP VTWSWNNSGL TSGVHTFPVQ IQSSGGLYSLS SVVTVPVSSL 200
GTQTYICINVN HKPSNTKVDDA RVEPKSVDKTV HTCPCPFAPE FEGGGPSVLF 250
PPKPKDITMI SRTEVTCVU VDVSHEPDEV KENWYVVDGVE VHNAKTKPFE 300
EYONSTYRVV SVLTVLHQDLV LNGKEYKKV SNKALPASTIE KTISKAKG 350
REPOVYTLPP CREAMTKNVQ SLWCLVKGFY PSDIAVEWES NGQPENNYKT 400
TPFVLDSDGs FFLYSKLTVD KSRWQQGNVF SCSTMHEALH NYHTQKSLSI 450
SPGK 454
```

Light chain / Chaîne légère / Cadena ligera: anti-EGFR (L)

```
QSALTQPRSV SGSPGGSVTFI SCTGTSSDVG GYNVWSWYQQ HPGKAPKLM 50
YDVSQKRPSGV PDRFSGSKSG NTASITISGL QAEDEADYYC SSYTSSDTLE 100
I FGGGTKLTV LGQPKAAPS V TLFPCCSEBL QANKATLVCVL ISDFYYPGAVT 150
VAWKADSPV KAGVETTTPS KQSNNKYAA SYSLSLTPEQW KSHRSYSQCV 200
THEGSTVEKT VAPTEVS 217
```

Post-translational modifications

Disulfide bridges location / Position des ponts disulfure / Posiciones de los puentes disulfuro

Intra-H (C23-C104) 22-96 143-199 260-320 366-424
22"-96" 151"-207" 268"-328" 374"-432"

Intra-L (C23-C104) 23"-88" 134"-194"
22"-90" 139"-198"

Inter-H-L (h 5-CL 126)* 219-214" 133"-126"

Inter-H-H (h 11, h 14)* 225-233" 228-236"

Inter-H-H (CH3 C5-C10)** 348-361"

*At least three inter-chain disulfide bridges are not present, an average of 6 cysteinyI being conjugated each via a thioether bond to a drug linker.

*Au moins trois ponts disulfures inter-chaines ne sont pas présents, 6 cystéinyI en moyenne étant chacun conjugué via une liaison thioether à un linker-principe actif.

*Al menos tres puentes disulfuro inter-catenarios no estan presentes, una media de 6 cisteinil està conjugada a conectores de principio activo.

**variants G1v75 (CH3 C5) and G1v74 (CH3 C10) creating an additional inter-H-H disulfide bond.

***variants G1v75 (CH3 C5) et G1v74 (CH3 C10) créant une liaison disulfure inter-H-H supplémentaire.

****variants G1v75 (CH3 C5) y G1v74 (CH3 C10) que crean un enlace disulfuro inter-H-H adicional.

N-terminal glutaminyl cyclization / Cyclisation du glutaminyile N-terminal / Ciclación del glutaminiilo N-terminal

Q> pyroglutamyl (pE, 5-oxoprolyl) / pyroglutamyle (pE, 5-oxoprolyle) / piroglutamilo

(pE, 5-oxoprolilo)

H VH Q1: 1,1"

L VL Q1: 1"

N-glycosylation sites / Sites de N-glycosylation / Posiciones de N-glicosilación

H CH2 N84.4: 296, 304"

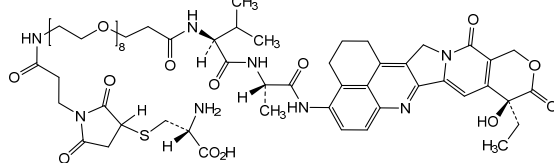
Fucosylated complex bi-antennary CHO-type glycans / glycanes de type CHO bi-antennaires complexes fucosylés / glicanos de tipo CHO biantenarios complejos fucosilados.

C-terminal lysine clipping / Coupage de la lysine C-terminale / Recorte de lisina C-terminal
H CHS K2: 446, 454"

Modified residues / résidus modifiés / restos modificados*

C (219, 225, 228, 214", 233", 236")

*(samrotecan:mAb ~ 6:1)



p.820-	tro sunilimabum #	<i>replace the chemical name by the following one remplacer le nom chimique par le suivante sustitúyase el nombre químico por lo siguiente</i>
	trosunilimab	immunoglobulin G1-kappa, anti-[<i>Homo sapiens</i> integrin ITGA4_ITGB7 (integrin alpha4 (CD49d)_beta7, integrin alpha4beta7, lymphocyte Peyer's patch adhesion molecule 1, LPAM-1)]; gamma1 heavy chain (1-442) [VH (<i>Homo sapiens</i> IGHV1-69*11 (79.2%) -(IGHD) -IGHJ3*01 (92.3%) M123>T (107), CDR-IMGT [8.8.5] (26-33.51-58.97-101)) (1-112) - <i>Homo sapiens</i> IGHG1*03v, G1m3>G1m17, nG1m1 (CH1 R120>K (209) (113-210), hinge 1-15 (211-225), CH2 (226-335), CH3 E12 (351), M14 (353) (336-440), CHS (441-442)) (113-442)], (215-214')-disulfide with kappa light chain (1'-214') [V-KAPPA Musmus/Homsap (<i>Mus musculus</i> IGKV14-100*01 (85.3%) -IGKJ1*01 (91.7%) L124>V (104)/ <i>Homo sapiens</i> IGKV1-33*01 (80.0%) -IGKJ4*01 (100%), CDR-IMGT [6.3.9] (27-32.50-52.89-97)) (1'-107') - <i>Homo sapiens</i> IGKC*01 (100%), Km3 A45.1 (153), V101 (191) (108'-214')]; dimer (221-221":224-224")-bisdisulfide, produced in Chinese hamster ovary (CHO) cells, glycoform alfa
	trosunilimab	immunoglobuline G1-kappa, anti-[<i>Homo sapiens</i> intégrine ITGA4_ITGB7 (intégrine alpha4 (CD49d)_beta7, intégrine alpha4beta7, récepteur d'adressage spécifique des plaques de Peyer, LPAM-1)]; chaîne lourde gamma1 (1-442) [VH (<i>Homo sapiens</i> IGHV1-69*11 (79.2%) -(IGHD) -IGHJ3*01 (92.3%) M123>T (107), CDR-IMGT [8.8.5] (26-33.51-58.97-101)) (1-112) - <i>Homo sapiens</i> IGHG1*03v, G1m3>G1m17, nG1m1 (CH1 R120>K (209) (113-210), charnière 1-15 (211-225), CH2 (226-335), CH3 E12 (351), M14 (353) (336-440), CHS (441-442)) (113-442)], (215-214')-disulfure avec la chaîne légère kappa (1'-214') [V-KAPPA Musmus/Homsap (<i>Mus musculus</i> IGKV14-100*01 (85.3%) -IGKJ1*01 (91.7%) L124>V (104)/ <i>Homo sapiens</i> IGKV1-33*01 (80.0%) -IGKJ4*01 (100%), CDR-IMGT [6.3.9] (27-32.50-52.89-97)) (1'-107') - <i>Homo sapiens</i> IGKC*01 (100%), Km3 A45.1 (153), V101 (191) (108'-214')]; dimère (221-221":224-224")-bisdisulfure, produit dans des cellules ovariennes de hamster chinois (CHO), glycoforme alfa
	trosunilimab	inmunoglobulina G1-kappa, anti-[<i>Homo sapiens</i> integrina ITGA4_ITGB7 (integrina alfa4 (CD49d)_beta7, integrina alpha4beta7, receptor específico de las placas de Peyer, LPAM-1)]; cadena pesada gamma1 (1-442) [VH (<i>Homo sapiens</i> IGHV1-69*11 (79.2%) -(IGHD) -IGHJ3*01 (92.3%) M123>T (107), CDR-IMGT [8.8.5] (26-33.51-58.97-101)) (1-112) - <i>Homo sapiens</i> IGHG1*03v, G1m3>G1m17, nG1m1 (CH1 R120>K (209) (113-210), bisagra 1-15 (211-225), CH2 (226-335), CH3 E12 (351), M14 (353) (336-440), CHS (441-442)) (113-442)], (215-214')-disulfure con la cadena ligera kappa (1'-214') [V-KAPPA Musmus/Homsap (<i>Mus musculus</i> IGKV14-100*01 (85.3%) -IGKJ1*01 (91.7%) L124>V (104)/ <i>Homo sapiens</i> IGKV1-33*01 (80.0%) -IGKJ4*01 (100%), CDR-IMGT [6.3.9] (27-32.50-52.89-97)) (1'-107') - <i>Homo sapiens</i> IGKC*01 (100%), Km3 A45.1 (153), V101 (191) (108'-214')]; dímero (221-221":224-224")-bisdisulfuro, producido en las células ováricas de hámster chino (CHO), forma glicosilada alfa

Electronic structure available on MedNet: <https://extranet.who.int/soinn/>
Structure électronique disponible sur MedNet: <https://extranet.who.int/soinn/>
Estructura electrónica disponible en MedNet: <https://extranet.who.int/soinn/>

Procedure and Guiding Principles / Procédure et Directives / Procedimientos y principios generales

The text of the *Procedures for the Selection of Recommended International Nonproprietary Names for Pharmaceutical Substances and General Principles for Guidance in Devising International Nonproprietary Names for Pharmaceutical Substances* will be reproduced in proposed INN lists only.

Les textes de la *Procédure à suivre en vue du choix de dénominations communes internationales recommandées pour les substances pharmaceutiques* et des *Directives générales pour la formation de dénominations communes internationales applicables aux substances pharmaceutiques* seront publiés seulement dans les listes des DCI proposées.

El texto de los *Procedimientos de selección de denominaciones comunes internacionales recomendadas para las sustancias farmacéuticas* y de los *Principios generales de orientación para formar denominaciones comunes internacionales para sustancias farmacéuticas* aparece solamente en las listas de DCI propuestas.